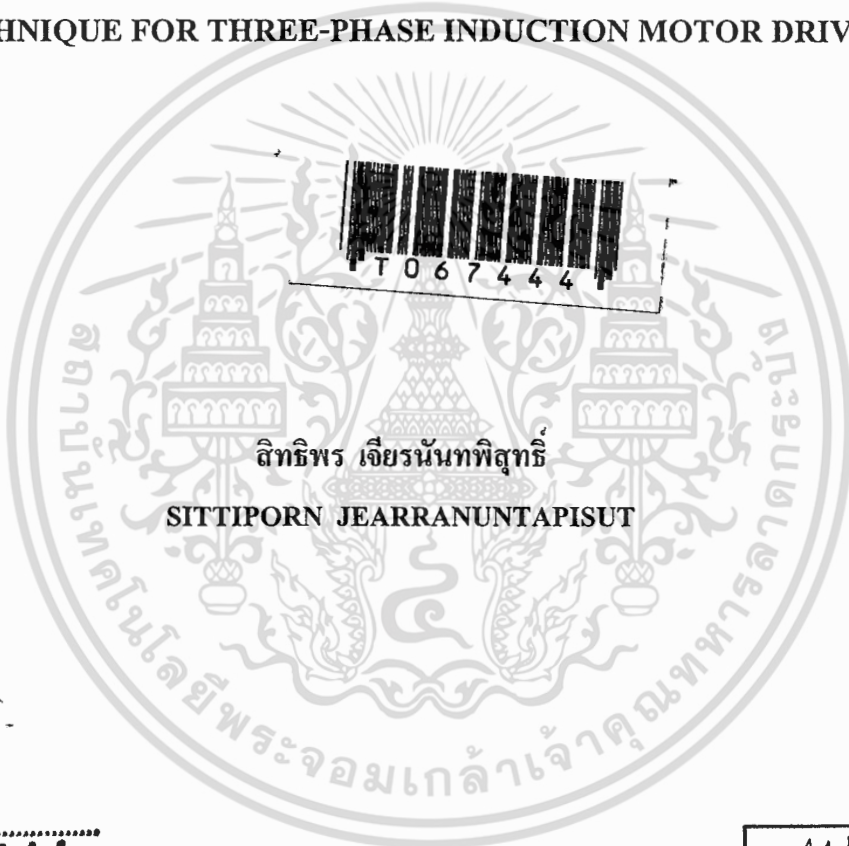


สำนักหอสมุดกลาง พระจอมเกล้าลาดกระบัง

อินเวอร์เตอร์หลายระดับชนิดแคสเคดแหล่งจ่ายที่ส่งผ่านกำลังไฟฟ้าสมดุล  
โดยใช้เทคนิคการกำจัดฮาร์มอนิกส์ที่เหมาะสมแบบรูปคลื่นขั้นบันได  
สำหรับขับเคลื่อนมอเตอร์เหนี่ยวนำสามเฟส

A BALANCED SOURCE POWER TRANSFER CASCADE  
MULTILEVEL INVERTER BASED ON  
AN OPTIMIZED STEPPED-WAVEFORM HARMONIC ELIMINATION  
TECHNIQUE FOR THREE-PHASE INDUCTION MOTOR DRIVE



สิทธิพร เจียรนันทพิสุทธิ  
SITTIPORN JEARRANUNTAPISUT

เลขหมู่.....  
เลขทะเบียน..... 67444  
วัน,เดือน,ปี 15 S.A. 2549

b. 11671099  
i. ....

วิทยานิพนธ์นี้เป็นส่วนหนึ่งของการศึกษาตามหลักสูตรปริญญาวิศวกรรมศาสตรมหาบัณฑิต  
สาขาวิชาวิศวกรรมไฟฟ้า  
บัณฑิตวิทยาลัย  
สถาบันเทคโนโลยีพระจอมเกล้าเจ้าคุณทหารลาดกระบัง  
พ.ศ.2549

ISBN 974-15-2818-3

เอกสารนี้เป็นเอกสารที่สงวนไว้สำหรับการใช้งานเพื่อการศึกษาเท่านั้น ไม่อนุญาตให้นำไปใช้ประโยชน์ด้านการค้า  
ไม่ว่ากรณีใดๆทั้งสิ้น อีกทั้งห้ามมิให้ตัดแปลงเนื้อหา และต้องอ้างอิงถึงเจ้าของเอกสารทุกครั้งที่มีการนำไปใช้

**A BALANCED SOURCE POWER TRANSFER CASCADE  
MULTILEVEL INVERTER BASED ON  
AN OPTIMIZED STEPPED-WAVEFORM HARMONIC ELIMINATION  
TECHNIQUE FOR THREE-PHASE INDUCTION MOTOR DRIVE**



**A THESIS SUBMITTED IN PARTIAL FULFILLMENT  
OF THE REQUIREMENT FOR THE DEGREE OF  
MASTER OF ENGINEERING IN ELECTRICAL ENGINEERING  
SCHOOL OF GRADUATE STUDIES  
KING MONGKUT'S INSTITUTE OF TECHNOLOGY LADKRABANG**

**2006**

**ISBN 974-15-2818-3**

เอกสารนี้เป็นเอกสารที่สงวนไว้สำหรับการใช้งานเพื่อการศึกษาเท่านั้น ไม่อนุญาตให้นำไปใช้ประโยชน์ด้านการค้า  
ไม่ว่ากรณีใดๆทั้งสิ้น อีกทั้งห้ามมิให้ดัดแปลงเนื้อหา และต้องอ้างอิงถึงเจ้าของเอกสารทุกครั้งที่มีการนำไปใช้



**COPYRIGHT 2006**

**SCHOOL OF GRADUATE STUDIES**

**KING MONGKUT'S INSTITUTE OF TECHNOLOGY LADGRABANG**

เอกสารนี้เป็นเอกสารที่สงวนไว้สำหรับการใช้งานเพื่อการศึกษาเท่านั้น ไม่อนุญาตให้นำไปใช้ประโยชน์ด้านการค้า  
ไม่ว่ากรณีใดๆทั้งสิ้น อีกทั้งห้ามมิให้ตัดแปลงเนื้อหา และต้องอ้างอิงถึงเจ้าของเอกสารทุกครั้งที่มีการนำไปใช้

หัวข้อวิทยานิพนธ์	อินเวอร์เตอร์หลายระดับชนิดแคสเคดแหล่งจ่ายที่ส่งผ่านกำลังไฟฟ้า สมดุล โดยใช้เทคนิคการกำจัดฮาร์มอนิกส์ที่เหมาะสมแบบรูปคลื่น ขั้นบันไดสำหรับขับเคลื่อนมอเตอร์เหนี่ยวนำสามเฟส
นักศึกษา	นายสิทธิพร เจียรนนทพิสุทธิ์
รหัสนักศึกษา	44611003
ปริญญา	วิศวกรรมศาสตรมหาบัณฑิต
สาขาวิชา	วิศวกรรมไฟฟ้า
พ.ศ.	2549
อาจารย์ผู้ควบคุมวิทยานิพนธ์	รศ.ดร.วิจิตร กิณเรศ

### บทคัดย่อ

วิทยานิพนธ์ฉบับนี้เป็นการนำเสนอการวิเคราะห์และศึกษาเกี่ยวกับการควบคุมการทำงานของอินเวอร์เตอร์หลายระดับชนิดแคสเคดในการขับเคลื่อนมอเตอร์เหนี่ยวนำสามเฟส รูปแบบการสวิตช์ได้ใช้เทคนิคการกำจัดฮาร์มอนิกส์ที่เหมาะสมแบบรูปคลื่นขั้นบันได และเทคนิคการหมุนพัลส์ ในการออกแบบรูปแบบการสวิตช์ ที่ทำให้แรงดันเอาต์พุตของอินเวอร์เตอร์เอชบริดจ์แต่ละเซลล์มีลักษณะเหมือนกันในหนึ่งคาบเวลาการทำงาน โดยมีวัตถุประสงค์เพื่อทำให้แหล่งจ่ายแรงดันไฟตรงของอินเวอร์เตอร์เอชบริดจ์แต่ละเซลล์ จ่ายกำลังไฟฟ้าได้เท่าๆ กัน โดยในงานวิจัยนี้ได้จำลองการทำงานของอินเวอร์เตอร์หลายระดับชนิดแคสเคด ด้วยโปรแกรม MATLAB/SIMULINK เปรียบเทียบกับผลการทดลองจริง เพื่อยืนยันความถูกต้องของการทำงาน ทั้งในกรณีของแหล่งจ่ายมีการส่งผ่านกำลังไฟฟ้าไม่สมดุล และในกรณีของแหล่งจ่ายมีการส่งผ่านกำลังไฟฟ้าสมดุล ซึ่งได้ผลการทดลองเป็นที่น่าพอใจ

เอกสารนี้เป็นเอกสารที่สงวนไว้สำหรับการใช้งานเพื่อการศึกษาเท่านั้น ไม่อนุญาตให้นำไปใช้ประโยชน์ด้านการค้า  
ไม่ว่ากรณีใดๆทั้งสิ้น อีกทั้งห้ามมิให้ดัดแปลงเนื้อหา และต้องอ้างอิงถึงเจ้าของเอกสารทุกครั้งที่มีการนำไปใช้

**Thesis Title** A Balanced Source Power Transfer Cascade Multilevel  
Inverter Based on an Optimized Stepped-Waveform  
Harmonic Elimination Technique for Three-Phase  
Induction Motor Drive

**Student** Mr.Sittiporn Jearranuntapisut

**Student ID** 44611003

**Degree** Master of Engineering

**Program** Electrical Engineering

**Year** 2006

**Thesis Advisor** Assoc. Prof. Dr.Vijit Kinnares

### ABSTRACT

This thesis presents analysis and operation of a cascade multilevel inverter for three phase induction motor drives. The switching pattern is based on an optimized stepped-waveform harmonic elimination and pulse rotation technique providing similar waveform output voltage of each H-bridge inverter in a period operation. The objective of this technique is to offer similarly useful power transfer of each dc supply of the H-bridge inverter. Simulation using MATLAB/SIMULINK program is also included. Additionally, testing of the prototype for verifying operation compared with simulation was conducted under both conditions of balanced source and unbalanced source power transfer. The result appears satisfactory.

เอกสารนี้เป็นเอกสารที่สงวนไว้สำหรับการใช้งานเพื่อการศึกษาเท่านั้น ไม่อนุญาตให้นำไปใช้ประโยชน์ด้านการค้า  
ไม่ว่ากรณีใดๆทั้งสิ้น อีกทั้งห้ามมิให้ดัดแปลงเนื้อหา และต้องอ้างอิงถึงเจ้าของเอกสารทุกครั้งที่มีการนำไปใช้

# กิตติกรรมประกาศ

ผู้วิจัยขอขอบพระคุณ รศ.ดร.วิจิตร กิณเรศ อาจารย์ที่ปรึกษาเป็นอย่างสูงที่ได้ให้ความรู้ ให้คำปรึกษาและแนะนำความช่วยเหลือในด้านต่างๆ จนวิทยานิพนธ์เล่มนี้สำเร็จลงได้ด้วยดี

ขอขอบพระคุณคณะอาจารย์ภาควิชาวิศวกรรมไฟฟ้า มหาวิทยาลัยสยามทุกท่าน ที่ให้คำปรึกษาและแนะนำในบางจุดที่ผู้วิจัยติดปัญหา ซึ่งเป็นประโยชน์ต่อการทำวิทยานิพนธ์ให้สำเร็จได้ด้วยดี

ขอขอบคุณภาควิชาวิศวกรรมไฟฟ้าและห้องสมุดคณะวิศวกรรมศาสตร์ ที่เป็นแหล่งสนับสนุนทางด้านตำราและเอกสารอ้างอิง รวมทั้งเครื่องมือและอุปกรณ์ในการทำวิจัย

ขอขอบคุณเพื่อนๆ พี่ๆ น้องๆ นักศึกษาปริญญาโททุกคนที่ประจำห้องปฏิบัติการ Power Electronics and Machine Control ของภาควิชาวิศวกรรมไฟฟ้า ที่มีส่วนช่วยเหลือในการทำวิทยานิพนธ์

ขอกราบขอบพระคุณ บิดา มารดา ที่เคารพรักยิ่ง ตลอดจนญาติผู้ใหญ่ และพี่ๆ ที่ให้การสนับสนุนและเป็นกำลังใจที่ดียิ่งยามผู้วิจัยรู้สึกท้อแท้

คุณค่าและประโยชน์ที่พึงมีจากวิทยานิพนธ์ฉบับนี้ ผู้วิจัยขอมอบแด่ บิดา มารดา ครูบาอาจารย์ และผู้มีพระคุณทุกท่าน

สิทธิพร เจียรนนทพิสูทธิ์

เอกสารนี้เป็นเอกสารที่สงวนไว้สำหรับการใช้งานเพื่อการศึกษาเท่านั้น ไม่อนุญาตให้นำไปใช้ประโยชน์ด้านการค้า  
ไม่ว่ากรณีใดๆทั้งสิ้น อีกทั้งห้ามมิให้ตัดแปลงเนื้อหา และต้องอ้างอิงถึงเจ้าของเอกสารทุกครั้งที่มีการนำไปใช้

# สารบัญ

	หน้า
บทคัดย่อภาษาไทย.....	I
บทคัดย่อภาษาอังกฤษ.....	II
กิตติกรรมประกาศ.....	III
สารบัญ.....	IV
สารบัญตาราง.....	VIII
สารบัญรูป.....	IX
บทที่ 1 บทนำ.....	1
1.1 ความเป็นมาและความสำคัญของปัญหา.....	1
1.2 ความมุ่งหมายและวัตถุประสงค์.....	2
1.3 ทฤษฎีและแนวคิดที่ใช้ในการวิจัย.....	2
1.4 ขอบเขตการวิจัย.....	3
1.5 ขั้นตอนการศึกษา.....	3
1.6 ประโยชน์ที่ได้จากการวิจัย.....	4
บทที่ 2 อินเวอร์เตอร์หลายระดับ.....	5
2.1 บทนำ.....	5
2.2 อินเวอร์เตอร์เอชบริดจ์ (H-Bridge Inverter).....	5
2.2.1 โครงสร้างอินเวอร์เตอร์เอชบริดจ์.....	5
2.2.2 สัญญาณเกตและการทำงานของอินเวอร์เตอร์เอชบริดจ์.....	6
2.2.3 เวลาประวิง (Dead Time).....	8
2.3 องค์ประกอบของอินเวอร์เตอร์หลายระดับชนิดแคสเคด.....	9
2.3.1 โครงสร้างของอินเวอร์เตอร์อินเวอร์เตอร์หลายระดับชนิดแคสเคดเฟสเดียว.....	9
2.3.2 โครงสร้างคาสเคดอินเวอร์เตอร์สามเฟส.....	16
2.3.3 การแยกแหล่งจ่ายแรงดันไฟฟ้ากระแสตรง (Separated DC Sources SDCSs).....	18
2.10 สรุป.....	20
บทที่ 3 เทคนิคการกำจัดฮาร์มอนิกส์ที่เหมาะสมแบบรูปคลื่นขั้นบันได.....	21
3.1 บทนำ.....	21
3.2 วิเคราะห์รูปคลื่นด้วยอนุกรมฟูเรียร์.....	21

เอกสารนี้เป็นเอกสารที่สงวนไว้สำหรับการใช้งานเพื่อการศึกษาเท่านั้น ไม่อนุญาตให้นำไปใช้ประโยชน์ด้านการค้า  
ไม่ว่ากรณีใดๆทั้งสิ้น อีกทั้งห้ามมิให้ดัดแปลงเนื้อหา และต้องอ้างอิงถึงเจ้าของเอกสารทุกครั้งที่มีการนำไปใช้

## สารบัญ (ต่อ)

	หน้า
3.3 การวิเคราะห์หามุมสวิทชิงเพื่อกำจัดฮาร์มอนิกส์.....	25
3.3.1 ทฤษฎีนิวตัน-ราปสัน.....	26
3.3.2 การหาคำตอบของสมการไม่เชิงเส้นโดยทฤษฎีนิวตัน-ราปสัน.....	28
3.3.3 การคำนวณค่าความผิดเพี้ยนฮาร์มอนิกส์รวม (Total Harmonic Distortion: THD).....	35
3.4 เทคนิคการหมุนพัลส์ (Pulse rotation).....	36
3.5 สรุป.....	36
<b>บทที่ 4 การจำลองการทำงานของอินเวอร์เตอร์หลายระดับชนิดแคสเคด.....</b>	<b>37</b>
4.1 บทนำ.....	37
4.2 การจำลองการทำงานของอินเวอร์เตอร์เจ็ดระดับชนิดแคสเคด.....	37
4.2.1 การจำลองการทำงานของอินเวอร์เตอร์เจ็ดระดับที่แหล่งจ่ายมีการส่งผ่านกำลัง ไฟฟ้าไม่สมดุล.....	39
4.2.1.1 ที่ $f = 30$ Hz, $M = 0.6$ .....	39
4.2.1.2 ที่ $f = 30$ Hz, $M = 0.8$ .....	41
4.2.1.3 ที่ $f = 30$ Hz, $M = 1$ .....	43
4.2.1.4 ที่ $f = 50$ Hz, $M = 0.6$ .....	45
4.2.1.5 ที่ $f = 50$ Hz, $M = 0.8$ .....	47
4.2.1.6 ที่ $f = 50$ Hz, $M = 1$ .....	49
4.2.1.7 ที่ $f = 70$ Hz, $M = 0.6$ .....	51
4.2.1.8 ที่ $f = 70$ Hz, $M = 0.8$ .....	53
4.2.1.9 ที่ $f = 70$ Hz, $M = 1$ .....	55
4.2.2 สรุปผลการจำลอง ในกรณีของแหล่งจ่ายมีการส่งผ่านกำลัง ไฟฟ้าไม่สมดุล.....	57
4.2.3 การจำลองการทำงานของอินเวอร์เตอร์เจ็ดระดับที่แหล่งจ่ายมีการส่งผ่านกำลัง ไฟฟ้าสมดุล.....	58
4.2.3.1 ที่ $f = 30$ Hz, $M = 0.6$ .....	58
4.2.3.2 ที่ $f = 30$ Hz, $M = 0.8$ .....	60
4.2.3.3 ที่ $f = 30$ Hz, $M = 1$ .....	62
4.2.3.4 ที่ $f = 50$ Hz, $M = 0.6$ .....	64

เอกสารนี้เป็นเอกสารที่สงวนไว้สำหรับการใช้งานเพื่อการศึกษาเท่านั้น ไม่อนุญาตให้นำไปใช้ประโยชน์ด้านการค้า  
ไม่ว่ากรณีใดๆทั้งสิ้น อีกทั้งห้ามมิให้ดัดแปลงเนื้อหา และต้องอ้างอิงถึงเจ้าของเอกสารทุกครั้งที่มีการนำไปใช้

## สารบัญ (ต่อ)

	หน้า
4.2.3.5 ที่ $f = 50 \text{ Hz}$ , $M = 0.8$ .....	66
4.2.3.6 ที่ $f = 50 \text{ Hz}$ , $M = 1$ .....	68
4.2.3.7 ที่ $f = 70 \text{ Hz}$ , $M = 0.6$ .....	70
4.2.3.8 ที่ $f = 70 \text{ Hz}$ , $M = 0.8$ .....	72
4.2.3.9 ที่ $f = 70 \text{ Hz}$ , $M = 1$ .....	74
4.2.4 สรุปผลการจำลอง ในกรณีของแหล่งจ่ายมีการส่งผ่านกำลังไฟฟ้าสมดุล.....	76
4.3 สรุป.....	77
<b>บทที่ 5 การออกแบบอินเวอร์เตอร์เจ็ดระดับชนิดแคสเคด.....</b>	<b>78</b>
5.1 บทนำ.....	78
5.2 การออกแบบวงจรกำลัง.....	78
5.2.1 การออกแบบสวิทช์กำลัง.....	78
5.2.2 การออกแบบวงจรขั้วนำเกท.....	80
5.3 การออกแบบวงจรควบคุม.....	82
5.3.1 สัญญาณเกทของสวิทช์แต่ละตัวในอินเวอร์เตอร์เจ็ดระดับชนิดแคสเคด.....	82
5.3.2 วงจรประวิงเวลา (แคด ไทม์).....	83
5.3.3 การออกแบบโปรแกรม.....	84
5.4 สรุป.....	86
<b>บทที่ 6 ผลการทดลอง.....</b>	<b>87</b>
6.1 บทนำ.....	87
6.2 การทดสอบการทำงานของอินเวอร์เตอร์เจ็ดระดับชนิดแคสเคด.....	87
6.2.1 ทดสอบขับมอเตอร์ที่สภาวะไร้อโหลด กรณีแหล่งจ่ายมีการส่งผ่านกำลังไฟฟ้า ไม่สมดุล.....	89
6.2.1.1 ที่ $f = 40 \text{ Hz}$ , $M = 0.6$ .....	89
6.2.1.2 ที่ $f = 40 \text{ Hz}$ , $M = 0.8$ .....	91
6.2.1.3 ที่ $f = 40 \text{ Hz}$ , $M = 1$ .....	93
6.2.1.4 ที่ $f = 50 \text{ Hz}$ , $M = 0.6$ .....	95
6.2.1.5 ที่ $f = 50 \text{ Hz}$ , $M = 0.8$ .....	97

เอกสารนี้เป็นเอกสารที่สงวนไว้สำหรับการใช้งานเพื่อการศึกษาเท่านั้น ไม่อนุญาตให้นำไปใช้ประโยชน์ด้านการค้า  
ไม่ว่ากรณีใดๆทั้งสิ้น อีกทั้งห้ามมิให้ดัดแปลงเนื้อหา และต้องอ้างอิงถึงเจ้าของเอกสารทุกครั้งที่มีการนำไปใช้

## สารบัญ (ต่อ)

หน้า

6.2.1.6 ที่ $f = 50 \text{ Hz}$ , $M = 1$ .....	99
6.2.1.7 ที่ $f = 70 \text{ Hz}$ , $M = 0.6$ .....	101
6.2.1.8 ที่ $f = 70 \text{ Hz}$ , $M = 0.8$ .....	103
6.2.1.9 ที่ $f = 70 \text{ Hz}$ , $M = 1$ .....	105
6.2.2 สรุปผลการทดสอบ ในกรณีของแหล่งจ่ายมีการส่งผ่านกำลังไฟฟ้าไม่สมดุล...	107
6.2.3 ทดสอบขับเคลื่อนมอเตอร์ที่สภาวะไร้อโหลด กรณีแหล่งจ่ายมีการส่งผ่านกำลังไฟฟ้า	
สมดุล.....	108
6.2.3.1 ที่ $f = 40 \text{ Hz}$ , $M = 0.6$ .....	108
6.2.3.2 ที่ $f = 40 \text{ Hz}$ , $M = 0.8$ .....	110
6.2.3.3 ที่ $f = 40 \text{ Hz}$ , $M = 1$ .....	112
6.2.3.4 ที่ $f = 50 \text{ Hz}$ , $M = 0.6$ .....	114
6.2.3.5 ที่ $f = 50 \text{ Hz}$ , $M = 0.8$ .....	116
6.2.3.6 ที่ $f = 50 \text{ Hz}$ , $M = 1$ .....	118
6.2.3.7 ที่ $f = 70 \text{ Hz}$ , $M = 0.6$ .....	120
6.2.3.8 ที่ $f = 70 \text{ Hz}$ , $M = 0.8$ .....	122
6.2.3.9 ที่ $f = 70 \text{ Hz}$ , $M = 1$ .....	124
6.2.4 สรุปผลการทดสอบ ในกรณีของแหล่งจ่ายมีการส่งผ่านกำลังไฟฟ้าสมดุล.....	126
6.3 ผลการทดสอบคุณสมบัติของอัตราส่วนแรงดันและความถี่ทางด้านเอาต์พุตของ	
อินเวอร์เตอร์เจ็ดระดับชนิดแคสเคด.....	127
6.4 ผลการทดสอบคุณสมบัติ speed – torque curve ของมอเตอร์เหนี่ยวนำสามเฟส.....	133
6.5 ผลการทดสอบกำลังไฟฟ้าและประสิทธิภาพของอินเวอร์เตอร์เจ็ดระดับชนิด	
แคสเคด.....	134
6.6 สรุป.....	136
บทที่ 7 สรุปผลการวิจัยและข้อเสนอแนะ.....	138
7.1 สรุปผลการทดสอบ.....	138
7.1.1 สรุปผลการทดสอบ ในกรณีของแหล่งจ่ายมีการส่งผ่านกำลังไฟฟ้าไม่สมดุล...	138
7.1.2 สรุปผลการทดสอบ ในกรณีของแหล่งจ่ายมีการส่งผ่านกำลังไฟฟ้าสมดุล.....	138

เอกสารนี้เป็นเอกสารที่สงวนไว้สำหรับการใช้งานเพื่อการศึกษาเท่านั้น ไม่อนุญาตให้นำไปใช้ประโยชน์ด้านการค้า  
ไม่ว่ากรณีใดๆทั้งสิ้น อีกทั้งห้ามให้คัดแปลงเนื้อหา และต้องอ้างอิงถึงเจ้าของเอกสารทุกครั้งที่มีการนำไปใช้

## สารบัญ (ต่อ)

	หน้า
7.2 สรุปผลการทำงานทั้งระบบ.....	139
7.3 ข้อเสนอแนะ.....	139
เอกสารอ้างอิง.....	141
ภาคผนวก	
ภาคผนวก ก .....	142
ภาคผนวก ข .....	145
ภาคผนวก ค .....	148
ค.1 หลักการหาค่ามุมสวิทช์ที่ค่าดัชนีมอดูเลชันต่ำ.....	149
ค.2 การจำลองการทำงานของอินเวอร์เตอร์แฉีกะดับชนิดแคสเคด ที่ค่าดัชนีมอดูเลชันต่ำ.....	152
ค.2.1 ที่ระดับมอดูเลชันกลาง $M = 0.4$ $f = 50$ Hz.....	152
ค.2.2 ที่ระดับมอดูเลชันต่ำ $M = 0.2$ $f = 50$ Hz.....	154
ค.3 ผลการทดสอบขับมอเตอร์ที่สภาวะไร้อโหลด.....	156
ค.3.1 กรณีแหล่งจ่ายมีการส่งผ่านกำลังไฟฟ้าไม่สมดุลที่ระดับมอดูเลชันกลาง $M = 0.4$ $f = 50$ Hz.....	156
ค.3.2 กรณีแหล่งจ่ายมีการส่งผ่านกำลังไฟฟ้าสมดุลที่ระดับมอดูเลชันกลาง $M = 0.4$ $f = 50$ Hz.....	158
ค.4 สรุป.....	161
ภาคผนวก ง .....	161
ภาคผนวก จ .....	199
ประวัติผู้เขียน .....	214

เอกสารนี้เป็นเอกสารที่สงวนไว้สำหรับการใช้งานเพื่อการศึกษาเท่านั้น ไม่อนุญาตให้นำไปใช้ประโยชน์ด้านการค้า  
ไม่ว่ากรณีใดๆทั้งสิ้น อีกทั้งห้ามมิให้ตัดแปลงเนื้อหา และต้องอ้างอิงถึงเจ้าของเอกสารทุกครั้งที่มีการนำไปใช้

## สารบัญตาราง

ตารางที่	หน้า
2.1 ลักษณะการสวิตช์ของอินเวอร์เตอร์เอชบริดจ์.....	6
2.2 สภาวะการสวิตช์ในหนึ่งคาบการทำงานของอินเวอร์เตอร์เอชบริดจ์ในแต่ละเซลล์.....	16
3.1 จำนวนฮาร์มอนิกส์ที่ถูกกำจัดทิ้งในระบบเฟสเดียวและระบบสามเฟส.....	29
3.2 แสดงความสัมพันธ์ระหว่างค่าเปอร์เซ็นต์ THD <sub>v</sub> ของแรงดันไลน์กับจำนวนระดับของอินเวอร์เตอร์ ที่ค่า M=1.....	33
3.3 แสดงค่ามุมสวิตช์ของอินเวอร์เตอร์เจ็ดระดับชนิดแคสเคดที่ค่าดัชนีมอดูเลชันต่างๆ.....	34
4.1 แสดงค่ากำลังไฟฟ้าที่แหล่งจ่ายแรงดันไฟตรงจ่ายให้กับอินเวอร์เตอร์เอชบริดจ์แต่ละเซลล์ในเฟส A.....	57
4.2 ความสัมพันธ์ระหว่างค่าดัชนีมอดูเลชันกับเปอร์เซ็นต์ค่าความผิดเพี้ยนของแรงดันไลน์และกระแสไลน์.....	57
4.3 แสดงค่ากำลังไฟฟ้าที่แหล่งจ่ายแรงดันไฟตรงจ่ายให้กับอินเวอร์เตอร์เอชบริดจ์แต่ละเซลล์ในเฟส A.....	76
4.4 ความสัมพันธ์ระหว่างค่าดัชนีมอดูเลชันกับเปอร์เซ็นต์ค่าความผิดเพี้ยนของแรงดันไลน์และกระแสไลน์.....	77
5.1 แสดงสัญญาณเกทสวิตช์.....	84
6.1 แสดงค่ากำลังไฟฟ้าที่แหล่งจ่ายแรงดันไฟตรงจ่ายให้กับอินเวอร์เตอร์เอชบริดจ์แต่ละเซลล์ในเฟส A.....	107
6.2 ความสัมพันธ์ระหว่างค่าดัชนีมอดูเลชันกับเปอร์เซ็นต์ค่าความผิดเพี้ยนของแรงดันไลน์และกระแสไลน์.....	107
6.3 แสดงค่ากำลังไฟฟ้าที่แหล่งจ่ายแรงดันไฟตรงจ่ายให้กับอินเวอร์เตอร์เอชบริดจ์แต่ละเซลล์ในเฟส A.....	126
6.4 ความสัมพันธ์ระหว่างค่าดัชนีมอดูเลชันกับเปอร์เซ็นต์ค่าความผิดเพี้ยนของแรงดันไลน์และกระแสไลน์.....	127
6.5 ค่าขนาดของแรงดันไลน์ที่ค่าดัชนีมอดูเลชันต่างๆ.....	128
6.6 ค่าอัตราส่วนแรงดันมูลฐานต่อความถี่ ที่ความถี่กำหนด $f_{base1} = 40$ Hz.....	129
6.7 ค่าอัตราส่วนแรงดันมูลฐานต่อความถี่ ที่ความถี่กำหนด $f_{base2} = 50$ Hz.....	129
6.8 ค่าอัตราส่วนแรงดันมูลฐานต่อความถี่ ที่ความถี่กำหนด $f_{base3} = 60$ Hz.....	129
6.9 ค่าอัตราส่วนแรงดันมูลฐานต่อความถี่ ที่ความถี่กำหนด $f_{base4} = 70$ Hz.....	130

เอกสารนี้เป็นเอกสารที่สงวนไว้สำหรับการใช้งานเพื่อการศึกษาเท่านั้น ไม่อนุญาตให้นำไปใช้ประโยชน์ด้านการค้า ไม่ว่าจะกรณีใดๆทั้งสิ้น อีกทั้งห้ามมิให้ดัดแปลงเนื้อหา และต้องอ้างอิงถึงเจ้าของเอกสารทุกครั้งที่มีการนำไปใช้

## สารบัญตาราง(ต่อ)

ตารางที่	หน้า
6.10 ผลการทดลองอินเวอร์เตอร์เจ็ตระดับกรณีของแหล่งจ่ายมีการส่งผ่านกำลังไฟฟ้า ไม่สมดุล.....	135
6.11 ผลการทดลองอินเวอร์เตอร์เจ็ตระดับกรณีของแหล่งจ่ายมีการส่งผ่านกำลังไฟฟ้า สมดุล.....	135
ก.1 แสดงความสัมพันธ์ระหว่างค่า Modulation Index กับมุมสวิทชิงของอินเวอร์เตอร์เจ็ต ระดับชนิดแคสเคด.....	151



เอกสารนี้เป็นเอกสารที่สงวนไว้สำหรับการใช้งานเพื่อการศึกษาเท่านั้น ไม่อนุญาตให้นำไปใช้ประโยชน์ด้านการค้า  
ไม่ว่ากรณีใดๆทั้งสิ้น อีกทั้งห้ามมิให้ดัดแปลงเนื้อหา และต้องอ้างอิงถึงเจ้าของเอกสารทุกครั้งที่มีการนำไปใช้

# สารบัญรูป

รูปที่	หน้า
1.1 ลักษณะแรงดันเอาต์พุตของอินเวอร์เตอร์เอชบริดจ์ที่ยังไม่มีการปรับปรุงรูปแบบการสวิทช์.....	1
2.1 อินเวอร์เตอร์เอชบริดจ์ 1 เซลล์.....	6
2.2 ลักษณะการทำงานของสวิทช์ในอินเวอร์เตอร์เอชบริดจ์.....	7
2.3 รูปแบบการสวิทช์ด้วยวิธี Repeated zero-level.....	7
2.4 รูปแบบการสวิทช์ด้วยวิธี Swapped zero-level.....	8
2.5 เวลาประวิงในสัญญาณเกท.....	9
2.6 โครงสร้างของอินเวอร์เตอร์หลายระดับชนิดแคสเคด.....	10
2.7 รูปคลื่นแรงดันเฟส 1 $\pi$ ระดับ และรูปคลื่นเอาต์พุตอินเวอร์เตอร์เอชบริดจ์แต่ละเซลล์.....	11
2.8 รูปแบบการสวิทช์ของอินเวอร์เตอร์เจ็คระดับชนิดแคสเคด.....	12
2.9 โหมคการทำงานของอินเวอร์เตอร์เจ็คระดับชนิดแคสเคด.....	14
2.10 อินเวอร์เตอร์เจ็คระดับชนิดแคสเคด.....	17
2.11 แรงดันเฟสและแรงดันไลน์ของคาสเคดอินเวอร์เตอร์ 7 ระดับชั้น 3 เฟส.....	18
2.12 การต่อแหล่งจ่ายแรงดันไฟฟ้ากระแสตรง.....	19
2.13 การถัดวงจรของการต่อแหล่งจ่ายไฟฟ้ากระแสตรง.....	20
3.1 รูปคลื่นเอาต์พุตของอินเวอร์เตอร์แคสเคดที่ s เอชบริดจ์เซลล์.....	22
3.2 รูปคลื่นหลายระดับที่ s เอชบริดจ์เซลล์.....	23
3.3 ควอเตอร์แรกของรูปคลื่นรายคาบแบบควอเตอร์ซิมเมตรี.....	24
3.4 รูปคลื่นแรงดันเอาต์พุต ของอินเวอร์เตอร์เจ็คระดับ.....	30
3.5 กราฟแสดงความสัมพันธ์ระหว่างค่าเปอร์เซ็นต์ THD <sub>v</sub> ของแรงดัน ไลน์กับจำนวนระดับของอินเวอร์เตอร์.....	33
3.6 กราฟแสดงความสัมพันธ์ระหว่างค่า Modulation Index กับมุมสวิทซ์ซิ่ง.....	34
3.7 รูปคลื่นแรงดันเฟสเอาต์พุตของอินเวอร์เตอร์เจ็คระดับชนิดแคสเคดที่ได้ทำการปรับปรุงรูปแบบการสวิทช์ใหม่.....	36
4.1 แสดงวงจรอินเวอร์เตอร์เจ็คระดับที่ต่อแบบวาย (Y) .....	38
4.2 แสดงวงจรอินเวอร์เตอร์เจ็คระดับที่ใช้ในการจำลอง.....	38
4.3 แรงดันเอาต์พุตของอินเวอร์เตอร์เอชบริดจ์แต่ละเซลล์ในเฟส A ที่ $f = 30$ Hz.....	39
4.4 กระแสที่แหล่งจ่ายของอินเวอร์เตอร์เอชบริดจ์แต่ละเซลล์ในเฟส A ที่ $f = 30$ Hz.....	39

เอกสารนี้เป็นเอกสารที่สงวนไว้สำหรับการใช้งานเพื่อการศึกษาเท่านั้น ไม่อนุญาตให้นำไปใช้ประโยชน์ด้านการค้า ไม่ว่าจะกรณีใดๆทั้งสิ้น อีกทั้งห้ามมิให้ดัดแปลงเนื้อหา และต้องอ้างอิงถึงเจ้าของเอกสารทุกครั้งที่มีการนำไปใช้

## สารบัญรูป (ต่อ)

รูปที่	หน้า
4.5 สัญญาณแรงดันเฟสเอาต์พุต $v_{an}, v_{bn}, v_{cn}$ และ สเปกตรัมของแรงดันเฟสเอาต์พุต $v_{an}$ ที่ $f=30$ Hz.....	40
4.6 สัญญาณแรงดันเฟส, แรงดันไลน์, และกระแสเอาต์พุต $v_{an}, v_{ab}, i_a$ และสเปกตรัมของแรงดันไลน์เอาต์พุต $v_{ab}$ ที่ $f=30$ Hz.....	40
4.7 สเปกตรัมของกระแสเอาต์พุต $i_a$ .....	40
4.8 แรงดันเอาต์พุตของอินเวอร์เตอร์เอชบริดจ์แต่ละเซลล์ในเฟส A ที่ $f=30$ Hz.....	41
4.9 กระแสที่แหล่งจ่ายของอินเวอร์เตอร์เอชบริดจ์แต่ละเซลล์ในเฟส A ที่ $f=30$ Hz.....	41
4.10 สัญญาณแรงดันเฟสเอาต์พุต $v_{an}, v_{bn}, v_{cn}$ และ สเปกตรัมของแรงดันเฟสเอาต์พุต $v_{an}$ ที่ $f=30$ Hz.....	42
4.11 สัญญาณแรงดันเฟส, แรงดันไลน์, และกระแสเอาต์พุต $v_{an}, v_{ab}, i_a$ และสเปกตรัมของแรงดันไลน์เอาต์พุต $v_{ab}$ ที่ $f=30$ Hz.....	42
4.12 สเปกตรัมของกระแสเอาต์พุต $i_a$ .....	42
4.13 แรงดันเอาต์พุตของอินเวอร์เตอร์เอชบริดจ์แต่ละเซลล์ในเฟส A ที่ $f=30$ Hz.....	43
4.14 กระแสที่แหล่งจ่ายของอินเวอร์เตอร์เอชบริดจ์แต่ละเซลล์ในเฟส A ที่ $f=30$ Hz.....	43
4.15 สัญญาณแรงดันเฟสเอาต์พุต $v_{an}, v_{bn}, v_{cn}$ และ สเปกตรัมของแรงดันเฟสเอาต์พุต $v_{an}$ ที่ $f=30$ Hz.....	44
4.16 สัญญาณแรงดันเฟส, แรงดันไลน์, และกระแสเอาต์พุต $v_{an}, v_{ab}, i_a$ และสเปกตรัมของแรงดันไลน์เอาต์พุต $v_{ab}$ ที่ $f=30$ Hz.....	44
4.17 สเปกตรัมของกระแสเอาต์พุต $i_a$ .....	44
4.18 แรงดันเอาต์พุตของอินเวอร์เตอร์เอชบริดจ์แต่ละเซลล์ในเฟส A ที่ $f=50$ Hz.....	45
4.19 กระแสที่แหล่งจ่ายของอินเวอร์เตอร์เอชบริดจ์แต่ละเซลล์ในเฟส A ที่ $f=50$ Hz.....	45
4.20 สัญญาณแรงดันเฟสเอาต์พุต $v_{an}, v_{bn}, v_{cn}$ และ สเปกตรัมของแรงดันเฟสเอาต์พุต $v_{an}$ ที่ $f=50$ Hz.....	46
4.21 สัญญาณแรงดันเฟส, แรงดันไลน์, และกระแสเอาต์พุต $v_{an}, v_{ab}, i_a$ และสเปกตรัมของแรงดันไลน์เอาต์พุต $v_{ab}$ ที่ $f=50$ Hz.....	46
4.22 สเปกตรัมของกระแสเอาต์พุต $i_a$ .....	46
4.23 แรงดันเอาต์พุตของอินเวอร์เตอร์เอชบริดจ์แต่ละเซลล์ในเฟส A ที่ $f=50$ Hz.....	47
4.24 กระแสที่แหล่งจ่ายของอินเวอร์เตอร์เอชบริดจ์แต่ละเซลล์ในเฟส A ที่ $f=50$ Hz.....	47

เอกสารนี้เป็นเอกสารที่สงวนไว้สำหรับการใช้งานเพื่อการศึกษาเท่านั้น ไม่อนุญาตให้นำไปใช้ประโยชน์ด้านการค้า  
ไม่ว่ากรณีใดๆทั้งสิ้น อีกทั้งห้ามมิให้ดัดแปลงเนื้อหา และต้องอ้างอิงถึงเจ้าของเอกสารทุกครั้งที่มีการนำไปใช้

## สารบัญรูป (ต่อ)

รูปที่	หน้า
4.25 สัญญาณแรงดันเฟสเอาต์พุต $v_{an}, v_{bn}, v_{cn}$ และ สเปกตรัมของแรงดันเฟสเอาต์พุต $v_{an}$ ที่ $f=50$ Hz.....	48
4.26 สัญญาณแรงดันเฟส, แรงดันไลน์, และกระแสเอาต์พุต $v_{an}, v_{ab}, i_a$ และสเปกตรัมของแรงดันไลน์เอาต์พุต $v_{ab}$ ที่ $f=50$ Hz.....	48
4.27 สเปกตรัมของกระแสเอาต์พุต $i_a$ .....	48
4.28 แรงดันเอาต์พุตของอินเวอร์เตอร์เอชบริดจ์แต่ละเซลล์ในเฟส A ที่ $f=50$ Hz.....	49
4.29 กระแสที่แหล่งจ่ายของอินเวอร์เตอร์เอชบริดจ์แต่ละเซลล์ในเฟส A ที่ $f=50$ Hz.....	49
4.30 สัญญาณแรงดันเฟสเอาต์พุต $v_{an}, v_{bn}, v_{cn}$ และ สเปกตรัมของแรงดันเฟสเอาต์พุต $v_{an}$ ที่ $f=50$ Hz.....	50
4.31 สัญญาณแรงดันเฟส, แรงดันไลน์, และกระแสเอาต์พุต $v_{an}, v_{ab}, i_a$ และสเปกตรัมของแรงดันไลน์เอาต์พุต $v_{ab}$ ที่ $f=50$ Hz.....	50
4.32 สเปกตรัมของกระแสเอาต์พุต $i_a$ .....	50
4.33 แรงดันเอาต์พุตของอินเวอร์เตอร์เอชบริดจ์แต่ละเซลล์ในเฟส A ที่ $f=70$ Hz.....	51
4.34 กระแสที่แหล่งจ่ายของอินเวอร์เตอร์เอชบริดจ์แต่ละเซลล์ในเฟส A ที่ $f=70$ Hz.....	51
4.35 สัญญาณแรงดันเฟสเอาต์พุต $v_{an}, v_{bn}, v_{cn}$ และ สเปกตรัมของแรงดันเฟสเอาต์พุต $v_{an}$ ที่ $f=70$ Hz.....	52
4.36 สัญญาณแรงดันเฟส, แรงดันไลน์, และกระแสเอาต์พุต $v_{an}, v_{ab}, i_a$ และสเปกตรัมของแรงดันไลน์เอาต์พุต $v_{ab}$ ที่ $f=70$ Hz.....	52
4.37 สเปกตรัมของกระแสเอาต์พุต $i_a$ .....	52
4.38 แรงดันเอาต์พุตของอินเวอร์เตอร์เอชบริดจ์แต่ละเซลล์ในเฟส A ที่ $f=70$ Hz.....	53
4.39 กระแสที่แหล่งจ่ายของอินเวอร์เตอร์เอชบริดจ์แต่ละเซลล์ในเฟส A ที่ $f=70$ Hz.....	53
4.40 สัญญาณแรงดันเฟสเอาต์พุต $v_{an}, v_{bn}, v_{cn}$ และ สเปกตรัมของแรงดันเฟสเอาต์พุต $v_{an}$ ที่ $f=70$ Hz.....	54
4.41 สัญญาณแรงดันเฟส, แรงดันไลน์, และกระแสเอาต์พุต $v_{an}, v_{ab}, i_a$ และสเปกตรัมของแรงดันไลน์เอาต์พุต $v_{ab}$ ที่ $f=70$ Hz.....	54
4.42 สเปกตรัมของกระแสเอาต์พุต $i_a$ .....	54
4.43 แรงดันเอาต์พุตของอินเวอร์เตอร์เอชบริดจ์แต่ละเซลล์ในเฟส A ที่ $f=70$ Hz.....	55
4.44 กระแสที่แหล่งจ่ายของอินเวอร์เตอร์เอชบริดจ์แต่ละเซลล์ในเฟส A ที่ $f=70$ Hz.....	55

เอกสารนี้เป็นเอกสารที่สงวนไว้สำหรับการใช้งานเพื่อการศึกษาเท่านั้น ไม่อนุญาตให้นำไปใช้ประโยชน์ด้านการค้า  
ไม่ว่ากรณีใดๆทั้งสิ้น อีกทั้งห้ามมิให้ดัดแปลงเนื้อหา และต้องอ้างอิงถึงเจ้าของเอกสารทุกครั้งที่มีการนำไปใช้

## สารบัญรูป (ต่อ)

รูปที่	หน้า
4.45 สัญญาณแรงดันเฟสเอาต์พุต $v_{an}, v_{bn}, v_{cn}$ และ สเปกตรัมของแรงดันเฟสเอาต์พุต $v_{an}$ ที่ $f = 70$ Hz.....	56
4.46 สัญญาณแรงดันเฟส, แรงดันไลน์, และกระแสเอาต์พุต $v_{an}, v_{ab}, i_a$ และสเปกตรัมของแรงดันไลน์เอาต์พุต $v_{ab}$ ที่ $f = 70$ Hz.....	56
4.47 สเปกตรัมของกระแสเอาต์พุต $i_a$ .....	56
4.48 แรงดันเอาต์พุตของอินเวอร์เตอร์เอชบริดจ์แต่ละเซลล์ในเฟส A ที่ $f = 30$ Hz.....	58
4.49 กระแสที่แหล่งจ่ายของอินเวอร์เตอร์เอชบริดจ์แต่ละเซลล์ในเฟส A ที่ $f = 30$ Hz.....	58
4.50 สัญญาณแรงดันเฟสเอาต์พุต $v_{an}, v_{bn}, v_{cn}$ และ สเปกตรัมของแรงดันเฟสเอาต์พุต $v_{an}$ ที่ $f = 30$ Hz.....	59
4.51 สัญญาณแรงดันเฟส, แรงดันไลน์, และกระแสเอาต์พุต $v_{an}, v_{ab}, i_a$ และสเปกตรัมของแรงดันไลน์เอาต์พุต $v_{ab}$ ที่ $f = 30$ Hz.....	59
4.52 สเปกตรัมของกระแสเอาต์พุต $i_a$ .....	59
4.53 แรงดันเอาต์พุตของอินเวอร์เตอร์เอชบริดจ์แต่ละเซลล์ในเฟส A ที่ $f = 30$ Hz.....	60
4.54 กระแสที่แหล่งจ่ายของอินเวอร์เตอร์เอชบริดจ์แต่ละเซลล์ในเฟส A ที่ $f = 30$ Hz.....	60
4.55 สัญญาณแรงดันเฟสเอาต์พุต $v_{an}, v_{bn}, v_{cn}$ และ สเปกตรัมของแรงดันเฟสเอาต์พุต $v_{an}$ ที่ $f = 30$ Hz.....	61
4.56 สัญญาณแรงดันเฟส, แรงดันไลน์, และกระแสเอาต์พุต $v_{an}, v_{ab}, i_a$ และสเปกตรัมของแรงดันไลน์เอาต์พุต $v_{ab}$ ที่ $f = 30$ Hz.....	61
4.57 สเปกตรัมของกระแสเอาต์พุต $i_a$ .....	61
4.58 แรงดันเอาต์พุตของอินเวอร์เตอร์เอชบริดจ์แต่ละเซลล์ในเฟส A ที่ $f = 30$ Hz.....	62
4.59 กระแสที่แหล่งจ่ายของอินเวอร์เตอร์เอชบริดจ์แต่ละเซลล์ในเฟส A ที่ $f = 30$ Hz.....	62
4.60 สัญญาณแรงดันเฟสเอาต์พุต $v_{an}, v_{bn}, v_{cn}$ และ สเปกตรัมของแรงดันเฟสเอาต์พุต $v_{an}$ ที่ $f = 30$ Hz.....	63
4.61 สัญญาณแรงดันเฟส, แรงดันไลน์, และกระแสเอาต์พุต $v_{an}, v_{ab}, i_a$ และสเปกตรัมของแรงดันไลน์เอาต์พุต $v_{ab}$ ที่ $f = 30$ Hz.....	63
4.62 สเปกตรัมของกระแสเอาต์พุต $i_a$ .....	63
4.63 แรงดันเอาต์พุตของอินเวอร์เตอร์เอชบริดจ์แต่ละเซลล์ในเฟส A ที่ $f = 50$ Hz.....	64
4.64 กระแสที่แหล่งจ่ายของอินเวอร์เตอร์เอชบริดจ์แต่ละเซลล์ในเฟส A ที่ $f = 50$ Hz.....	64

เอกสารนี้เป็นเอกสารที่สงวนไว้สำหรับการใช้งานเพื่อการศึกษาเท่านั้น ไม่อนุญาตให้นำไปใช้ประโยชน์ด้านการค้า  
ไม่ว่ากรณีใดๆทั้งสิ้น อีกทั้งห้ามมิให้ดัดแปลงเนื้อหา และต้องอ้างอิงถึงเจ้าของเอกสารทุกครั้งที่มีการนำไปใช้

## สารบัญรูป (ต่อ)

รูปที่	หน้า
4.65 สัญญาณแรงดันเฟสเอาต์พุต $v_{an}, v_{bn}, v_{cn}$ และ สเปกตรัมของแรงดันเฟสเอาต์พุต $v_{an}$ ที่ $f = 50$ Hz.....	65
4.66 สัญญาณแรงดันเฟส, แรงดันไลน์, และกระแสเอาต์พุต $v_{an}, v_{ab}, i_a$ และสเปกตรัมของแรงดันไลน์เอาต์พุต $v_{ab}$ ที่ $f = 50$ Hz.....	65
4.67 สเปกตรัมของกระแสเอาต์พุต $i_a$ .....	65
4.68 แรงดันเอาต์พุตของอินเวอร์เตอร์เอชบริดจ์แต่ละเซลล์ในเฟส A ที่ $f = 50$ Hz.....	66
4.69 กระแสที่แหล่งจ่ายของอินเวอร์เตอร์เอชบริดจ์แต่ละเซลล์ในเฟส A ที่ $f = 50$ Hz.....	66
4.70 สัญญาณแรงดันเฟสเอาต์พุต $v_{an}, v_{bn}, v_{cn}$ และ สเปกตรัมของแรงดันเฟสเอาต์พุต $v_{an}$ ที่ $f = 50$ Hz.....	67
4.71 สัญญาณแรงดันเฟส, แรงดันไลน์, และกระแสเอาต์พุต $v_{an}, v_{ab}, i_a$ และสเปกตรัมของแรงดันไลน์เอาต์พุต $v_{ab}$ ที่ $f = 50$ Hz.....	67
4.72 สเปกตรัมของกระแสเอาต์พุต $i_a$ .....	67
4.73 แรงดันเอาต์พุตของอินเวอร์เตอร์เอชบริดจ์แต่ละเซลล์ในเฟส A ที่ $f = 50$ Hz.....	68
4.74 กระแสที่แหล่งจ่ายของอินเวอร์เตอร์เอชบริดจ์แต่ละเซลล์ในเฟส A ที่ $f = 50$ Hz.....	68
4.75 สัญญาณแรงดันเฟสเอาต์พุต $v_{an}, v_{bn}, v_{cn}$ และ สเปกตรัมของแรงดันเฟสเอาต์พุต $v_{an}$ ที่ $f = 50$ Hz.....	69
4.76 สัญญาณแรงดันเฟส, แรงดันไลน์, และกระแสเอาต์พุต $v_{an}, v_{ab}, i_a$ และสเปกตรัมของแรงดันไลน์เอาต์พุต $v_{ab}$ ที่ $f = 50$ Hz.....	69
4.77 สเปกตรัมของกระแสเอาต์พุต $i_a$ .....	69
4.78 แรงดันเอาต์พุตของอินเวอร์เตอร์เอชบริดจ์แต่ละเซลล์ในเฟส A ที่ $f = 70$ Hz.....	70
4.79 กระแสที่แหล่งจ่ายของอินเวอร์เตอร์เอชบริดจ์แต่ละเซลล์ในเฟส A ที่ $f = 70$ Hz.....	70
4.80 สัญญาณแรงดันเฟสเอาต์พุต $v_{an}, v_{bn}, v_{cn}$ และ สเปกตรัมของแรงดันเฟสเอาต์พุต $v_{an}$ ที่ $f = 70$ Hz.....	71
4.81 สัญญาณแรงดันเฟส, แรงดันไลน์, และกระแสเอาต์พุต $v_{an}, v_{ab}, i_a$ และสเปกตรัมของแรงดันไลน์เอาต์พุต $v_{ab}$ ที่ $f = 70$ Hz.....	71
4.82 สเปกตรัมของกระแสเอาต์พุต $i_a$ .....	71
4.83 แรงดันเอาต์พุตของอินเวอร์เตอร์เอชบริดจ์แต่ละเซลล์ในเฟส A ที่ $f = 70$ Hz.....	72
4.84 กระแสที่แหล่งจ่ายของอินเวอร์เตอร์เอชบริดจ์แต่ละเซลล์ในเฟส A ที่ $f = 70$ Hz.....	72

เอกสารนี้เป็นเอกสารที่สงวนไว้สำหรับการใช้งานเพื่อการศึกษาเท่านั้น ไม่อนุญาตให้นำไปใช้ประโยชน์ด้านการค้า  
ไม่ว่ากรณีใดๆทั้งสิ้น อีกทั้งห้ามมิให้ดัดแปลงเนื้อหา และต้องอ้างอิงถึงเจ้าของเอกสารทุกครั้งที่มีการนำไปใช้

## สารบัญรูป (ต่อ)

รูปที่	หน้า
4.85 สัญญาณแรงดันเฟสเอาต์พุต $v_{an}, v_{bn}, v_{cn}$ และ สเปกตรัมของแรงดันเฟสเอาต์พุต $v_{an}$ ที่ $f = 70$ Hz.....	73
4.86 สัญญาณแรงดันเฟส, แรงดันไลน์, และกระแสเอาต์พุต $v_{an}, v_{ab}, i_a$ และสเปกตรัมของแรงดันไลน์เอาต์พุต $v_{ab}$ ที่ $f = 70$ Hz.....	73
4.87 สเปกตรัมของกระแสเอาต์พุต $i_a$ .....	73
4.88 แรงดันเอาต์พุตของอินเวอร์เตอร์เอชบริดจ์แต่ละเซลล์ในเฟส A ที่ $f = 70$ Hz.....	74
4.89 กระแสที่แหล่งจ่ายของอินเวอร์เตอร์เอชบริดจ์แต่ละเซลล์ในเฟส A ที่ $f = 70$ Hz.....	74
4.90 สัญญาณแรงดันเฟสเอาต์พุต $v_{an}, v_{bn}, v_{cn}$ และ สเปกตรัมของแรงดันเฟสเอาต์พุต $v_{an}$ ที่ $f = 70$ Hz.....	75
4.91 สัญญาณแรงดันเฟส, แรงดันไลน์, และกระแสเอาต์พุต $v_{an}, v_{ab}, i_a$ และสเปกตรัมของแรงดันไลน์เอาต์พุต $v_{ab}$ ที่ $f = 70$ Hz.....	75
4.92 สเปกตรัมของกระแสเอาต์พุต $i_a$ .....	75
5.1 แสดงโครงสร้างของอินเวอร์เตอร์เจ็ดระดับชนิดแคสเคด.....	78
5.2 แสดงโครงสร้างของวงจรกำลังอินเวอร์เตอร์เอชบริดจ์.....	78
5.3 ชุดวงจรแหล่งจ่ายคอนเวอร์เตอร์ของอินเวอร์เตอร์เจ็ดระดับชนิดแคสเคดในเฟส A.....	79
5.4 วงจรขับนำเกตของอินเวอร์เตอร์เอชบริดจ์ที่ใช้ในวิทยานิพนธ์ฉบับนี้.....	80
5.5 วงจรกำลังหนึ่งเฟสที่ใช้ในวิทยานิพนธ์ฉบับนี้.....	81
5.6 วงจรกำลังทั้งหมดที่ใช้ในวิทยานิพนธ์ฉบับนี้.....	81
5.7 สัญญาณเกตของสวิตช์แต่ละตัวในอินเวอร์เตอร์เจ็ดระดับเฟส A ที่ ค่าดัชนีมอดูเลชันเท่ากับ 1 ความถี่มูลฐานเท่ากับ 50 Hz.....	82
5.8 วงจรประวิงเวลา (เดดไทม์) ที่ใช้ในวิทยานิพนธ์ฉบับนี้.....	83
5.9 แสดงไดอะแกรมการทำงานของโปรแกรม.....	85
6.1 วงจรอินเวอร์เตอร์เจ็ดระดับชนิดแคสเคดที่ใช้ในการทดสอบ.....	88
6.2 แสดงการวัดกระแส, แรงดัน, และกำลังไฟฟ้าทางคานอินพุตของอินเวอร์เตอร์เอช-บริดจ์ในแต่ละเซลล์.....	88
6.3 ลักษณะแรงดันเอาต์พุตของอินเวอร์เตอร์เอชบริดจ์แต่ละเซลล์ในเฟส A ที่ $f = 40$ Hz.....	89
6.4 สัญญาณกระแสและกำลังไฟฟ้าของอินเวอร์เตอร์เอชบริดจ์แต่ละเซลล์ในเฟส A ที่ $f = 40$ Hz.....	89
6.5 สัญญาณแรงดันเฟส $V_{an}, V_{bn}$ และ สเปกตรัมของแรงดันเฟส $V_{an}$ ที่ $f = 40$ Hz.....	90

เอกสารนี้เป็นเอกสารที่สงวนไว้สำหรับการใช้งานเพื่อการศึกษาเท่านั้น ไม่อนุญาตให้นำไปใช้ประโยชน์ด้านการค้า  
ไม่ว่ากรณีใดๆทั้งสิ้น อีกทั้งห้ามมิให้ดัดแปลงเนื้อหา และต้องอ้างอิงถึงเจ้าของเอกสารทุกครั้งที่มีการนำไปใช้

## สารบัญรูป (ต่อ)

รูปที่	หน้า
6.6 สัญญาณแรงดันเฟส, แรงดันไลน์, และกระแสเอาต์พุต $V_{an}, V_{ab}, i_a$ และสเปกตรัมของแรงดันไลน์ $V_{ab}$ ที่ $f = 40$ Hz.....	90
6.7 สเปกตรัมของกระแสเอาต์พุต $i_a$ .....	90
6.8 ลักษณะแรงดันเอาต์พุตของอินเวอร์เตอร์เอชบริดจ์แต่ละเซลล์ในเฟส A ที่ $f = 40$ Hz.....	91
6.9 สัญญาณกระแสและค่ากำลังไฟฟ้าของอินเวอร์เตอร์เอชบริดจ์แต่ละเซลล์ในเฟส A ที่ $f = 40$ Hz.....	91
6.10 สัญญาณแรงดันเฟส $V_{an}, V_{bn}$ และ สเปกตรัมของแรงดันเฟส $V_{an}$ ที่ $f = 40$ Hz.....	92
6.11 สัญญาณแรงดันเฟส, แรงดันไลน์, และกระแสเอาต์พุต $V_{an}, V_{ab}, i_a$ และสเปกตรัมของแรงดันไลน์ $V_{ab}$ ที่ $f = 40$ Hz.....	92
6.12 สเปกตรัมของกระแสเอาต์พุต $i_a$ .....	92
6.13 ลักษณะแรงดันเอาต์พุตของอินเวอร์เตอร์เอชบริดจ์แต่ละเซลล์ในเฟส A ที่ $f = 40$ Hz.....	93
6.14 สัญญาณกระแสและค่ากำลังไฟฟ้าของอินเวอร์เตอร์เอชบริดจ์แต่ละเซลล์ในเฟส A ที่ $f = 40$ Hz.....	93
6.15 สัญญาณแรงดันเฟส $V_{an}, V_{bn}$ และ สเปกตรัมของแรงดันเฟส $V_{an}$ ที่ $f = 40$ Hz.....	94
6.16 สัญญาณแรงดันเฟส, แรงดันไลน์, และกระแสเอาต์พุต $V_{an}, V_{ab}, i_a$ และสเปกตรัมของแรงดันไลน์ $V_{ab}$ ที่ $f = 40$ Hz.....	94
6.17 สเปกตรัมของกระแสเอาต์พุต $i_a$ .....	94
6.18 ลักษณะแรงดันเอาต์พุตของอินเวอร์เตอร์เอชบริดจ์แต่ละเซลล์ในเฟส A ที่ $f = 50$ Hz.....	95
6.19 สัญญาณกระแสและค่ากำลังไฟฟ้าของอินเวอร์เตอร์เอชบริดจ์แต่ละเซลล์ในเฟส A ที่ $f = 50$ Hz.....	95
6.20 สัญญาณแรงดันเฟส $V_{an}, V_{bn}$ และ สเปกตรัมของแรงดันเฟส $V_{an}$ ที่ $f = 50$ Hz.....	96
6.21 สัญญาณแรงดันเฟส, แรงดันไลน์, และกระแสเอาต์พุต $V_{an}, V_{ab}, i_a$ และสเปกตรัมของแรงดันไลน์ $V_{ab}$ ที่ $f = 50$ Hz.....	96
6.22 สเปกตรัมของกระแสเอาต์พุต $i_a$ .....	96
6.23 ลักษณะแรงดันเอาต์พุตของอินเวอร์เตอร์เอชบริดจ์แต่ละเซลล์ในเฟส A ที่ $f = 50$ Hz.....	97
6.24 สัญญาณกระแสและค่ากำลังไฟฟ้าของอินเวอร์เตอร์เอชบริดจ์แต่ละเซลล์ในเฟส A ที่ $f = 50$ Hz.....	97
6.25 สัญญาณแรงดันเฟส $V_{an}, V_{bn}$ และ สเปกตรัมของแรงดันเฟส $V_{an}$ ที่ $f = 50$ Hz.....	98

เอกสารนี้เป็นเอกสารที่สงวนไว้สำหรับการใช้งานเพื่อการศึกษาเท่านั้น ไม่อนุญาตให้นำไปใช้ประโยชน์ด้านการค้า ไม่ว่าจะกรณีใดๆทั้งสิ้น อีกทั้งห้ามมิให้ดัดแปลงเนื้อหา และต้องอ้างอิงถึงเจ้าของเอกสารทุกครั้งที่มีการนำไปใช้

## สารบัญญรูป (ต่อ)

รูปที่	หน้า
6.26 สัญญาณแรงดันเฟส, แรงดันไลน์, และกระแสเอาต์พุต $V_{an}, V_{ab}, i_a$ และสเปกตรัมของแรงดันไลน์ $V_{ab}$ ที่ $f = 50$ Hz.....	98
6.27 สเปกตรัมของกระแสเอาต์พุต $i_a$ .....	98
6.28 ลักษณะแรงดันเอาต์พุตของอินเวอร์เตอร์เอชบริดจ์แต่ละเซลล์ในเฟส A ที่ $f = 50$ Hz.....	99
6.29 สัญญาณกระแสและค่ากำลังไฟฟ้าของอินเวอร์เตอร์เอชบริดจ์แต่ละเซลล์ในเฟส A ที่ $f = 50$ Hz.....	99
6.30 สัญญาณแรงดันเฟส $V_{an}, V_{bn}$ และ สเปกตรัมของแรงดันเฟส $V_{an}$ ที่ $f = 50$ Hz.....	100
6.31 สัญญาณแรงดันเฟส, แรงดันไลน์, และกระแสเอาต์พุต $V_{an}, V_{ab}, i_a$ และสเปกตรัมของแรงดันไลน์ $V_{ab}$ ที่ $f = 50$ Hz.....	100
6.32 สเปกตรัมของกระแสเอาต์พุต $i_a$ .....	100
6.33 ลักษณะแรงดันเอาต์พุตของอินเวอร์เตอร์เอชบริดจ์แต่ละเซลล์ในเฟส A ที่ $f = 70$ Hz.....	101
6.34 สัญญาณกระแสและค่ากำลังไฟฟ้าของอินเวอร์เตอร์เอชบริดจ์แต่ละเซลล์ในเฟส A ที่ $f = 70$ Hz.....	101
6.35 สัญญาณแรงดันเฟส $V_{an}, V_{bn}$ และ สเปกตรัมของแรงดันเฟส $V_{an}$ ที่ $f = 70$ Hz.....	102
6.36 สัญญาณแรงดันเฟส, แรงดันไลน์, และกระแสเอาต์พุต $V_{an}, V_{ab}, i_a$ และสเปกตรัมของแรงดันไลน์ $V_{ab}$ ที่ $f = 70$ Hz.....	102
6.37 สเปกตรัมของกระแสเอาต์พุต $i_a$ .....	102
6.38 ลักษณะแรงดันเอาต์พุตของอินเวอร์เตอร์เอชบริดจ์แต่ละเซลล์ในเฟส A ที่ $f = 70$ Hz.....	103
6.39 สัญญาณกระแสและค่ากำลังไฟฟ้าของอินเวอร์เตอร์เอชบริดจ์แต่ละเซลล์ในเฟส A ที่ $f = 70$ Hz.....	103
6.40 สัญญาณแรงดันเฟส $V_{an}, V_{bn}$ และ สเปกตรัมของแรงดันเฟส $V_{an}$ ที่ $f = 70$ Hz.....	104
6.41 สัญญาณแรงดันเฟส, แรงดันไลน์, และกระแสเอาต์พุต $V_{an}, V_{ab}, i_a$ และสเปกตรัมของแรงดันไลน์ $V_{ab}$ ที่ $f = 70$ Hz.....	104
6.42 สเปกตรัมของกระแสเอาต์พุต $i_a$ .....	104
6.43 ลักษณะแรงดันเอาต์พุตของอินเวอร์เตอร์เอชบริดจ์แต่ละเซลล์ในเฟส A ที่ $f = 70$ Hz....	105
6.44 สัญญาณกระแสและค่ากำลังไฟฟ้าของอินเวอร์เตอร์เอชบริดจ์แต่ละเซลล์ในเฟส A ที่ $f = 70$ Hz.....	105
6.45 สัญญาณแรงดันเฟส $V_{an}, V_{bn}$ และ สเปกตรัมของแรงดันเฟส $V_{an}$ ที่ $f = 70$ Hz.....	106

เอกสารนี้เป็นเอกสารที่สงวนไว้สำหรับการใช้งานเพื่อการศึกษาเท่านั้น ไม่อนุญาตให้นำไปใช้ประโยชน์ด้านการค้า  
ไม่ว่ากรณีใดๆทั้งสิ้น อีกทั้งห้ามมิให้ดัดแปลงเนื้อหา และต้องอ้างอิงถึงเจ้าของเอกสารทุกครั้งที่มีการนำไปใช้

## สารบัญรูป (ต่อ)

รูปที่	หน้า
6.46 สัญญาณแรงดันเฟส, แรงดันไลน์, และกระแสเอาต์พุต $V_{an}, V_{ab}, i_a$ และสเปกตรัมของแรงดันไลน์ $V_{ab}$ ที่ $f = 70$ Hz.....	106
6.47 สเปกตรัมของกระแสเอาต์พุต $i_a$ .....	106
6.48 ลักษณะแรงดันเอาต์พุตของอินเวอร์เตอร์เอชบริดจ์แต่ละเซลล์ในเฟส A ที่ $f = 40$ Hz.....	108
6.49 สัญญาณกระแสและค่ากำลังไฟฟ้าของอินเวอร์เตอร์เอชบริดจ์แต่ละเซลล์ในเฟส A ที่ $f = 40$ Hz.....	108
6.50 สัญญาณแรงดันเฟส $V_{an}, V_{bn}$ และ สเปกตรัมของแรงดันเฟส $V_{an}$ ที่ $f = 40$ Hz.....	109
6.51 สัญญาณแรงดันเฟส, แรงดันไลน์, และกระแสเอาต์พุต $V_{an}, V_{ab}, i_a$ และสเปกตรัมของแรงดันไลน์ $V_{ab}$ ที่ $f = 40$ Hz.....	109
6.52 สเปกตรัมของกระแสเอาต์พุต $i_a$ .....	109
6.53 ลักษณะแรงดันเอาต์พุตของอินเวอร์เตอร์เอชบริดจ์แต่ละเซลล์ในเฟส A ที่ $f = 40$ Hz.....	110
6.54 สัญญาณกระแสและค่ากำลังไฟฟ้าของอินเวอร์เตอร์เอชบริดจ์แต่ละเซลล์ในเฟส A ที่ $f = 40$ Hz.....	110
6.55 สัญญาณแรงดันเฟส $V_{an}, V_{bn}$ และ สเปกตรัมของแรงดันเฟส $V_{an}$ ที่ $f = 40$ Hz.....	111
6.56 สัญญาณแรงดันเฟส, แรงดันไลน์, และกระแสเอาต์พุต $V_{an}, V_{ab}, i_a$ และสเปกตรัมของแรงดันไลน์ $V_{ab}$ ที่ $f = 40$ Hz.....	111
6.57 สเปกตรัมของกระแสเอาต์พุต $i_a$ .....	111
6.58 ลักษณะแรงดันเอาต์พุตของอินเวอร์เตอร์เอชบริดจ์แต่ละเซลล์ในเฟส A ที่ $f = 40$ Hz.....	112
6.59 สัญญาณกระแสและค่ากำลังไฟฟ้าของอินเวอร์เตอร์เอชบริดจ์แต่ละเซลล์ในเฟส A ที่ $f = 40$ Hz.....	112
6.60 สัญญาณแรงดันเฟส $V_{an}, V_{bn}$ และ สเปกตรัมของแรงดันเฟส $V_{an}$ ที่ $f = 40$ Hz.....	113
6.61 สัญญาณแรงดันเฟส, แรงดันไลน์, และกระแสเอาต์พุต $V_{an}, V_{ab}, i_a$ และสเปกตรัมของแรงดันไลน์ $V_{ab}$ ที่ $f = 40$ Hz.....	113
6.62 สเปกตรัมของกระแสเอาต์พุต $i_a$ .....	113
6.63 ลักษณะแรงดันเอาต์พุตของอินเวอร์เตอร์เอชบริดจ์แต่ละเซลล์ในเฟส A ที่ $f = 50$ Hz.....	114
6.64 สัญญาณกระแสและค่ากำลังไฟฟ้าของอินเวอร์เตอร์เอชบริดจ์แต่ละเซลล์ในเฟส A ที่ $f = 50$ Hz.....	114
6.65 สัญญาณแรงดันเฟส $V_{an}, V_{bn}$ และ สเปกตรัมของแรงดันเฟส $V_{an}$ ที่ $f = 50$ Hz.....	115

เอกสารนี้เป็นเอกสารที่สงวนไว้สำหรับการใช้งานเพื่อการศึกษาเท่านั้น ไม่อนุญาตให้นำไปใช้ประโยชน์ด้านการค้า ไม่ว่าจะกรณีใดๆทั้งสิ้น อีกทั้งห้ามมิให้ดัดแปลงเนื้อหา และต้องอ้างอิงถึงเจ้าของเอกสารทุกครั้งที่มีการนำไปใช้

## สารบัญรูป (ต่อ)

รูปที่	หน้า
6.66 สัญญาณแรงดันเฟส, แรงดันไลน์, และกระแสเอาต์พุต $V_{an}, V_{ab}, i_a$ และสเปกตรัมของแรงดันไลน์ $V_{ab}$ ที่ $f=50$ Hz.....	115
6.67 สเปกตรัมของกระแสเอาต์พุต $i_a$ .....	115
6.68 ลักษณะแรงดันเอาต์พุตของอินเวอร์เตอร์เอชบริดจ์แต่ละเซลล์ในเฟส A ที่ $f=50$ Hz.....	116
6.69 สัญญาณกระแสและค่ากำลังไฟฟ้าของอินเวอร์เตอร์เอชบริดจ์แต่ละเซลล์ในเฟส A ที่ $f=50$ Hz.....	116
6.70 สัญญาณแรงดันเฟส $V_{an}, V_{bn}$ และ สเปกตรัมของแรงดันเฟส $V_{an}$ ที่ $f=50$ Hz.....	117
6.71 สัญญาณแรงดันเฟส, แรงดันไลน์, และกระแสเอาต์พุต $V_{an}, V_{ab}, i_a$ และสเปกตรัมของแรงดันไลน์ $V_{ab}$ ที่ $f=50$ Hz.....	117
6.72 สเปกตรัมของกระแสเอาต์พุต $i_a$ .....	117
6.73 ลักษณะแรงดันเอาต์พุตของอินเวอร์เตอร์เอชบริดจ์แต่ละเซลล์ในเฟส A ที่ $f=50$ Hz.....	118
6.74 สัญญาณกระแสและค่ากำลังไฟฟ้าของอินเวอร์เตอร์เอชบริดจ์แต่ละเซลล์ในเฟส A ที่ $f=50$ Hz.....	118
6.75 สัญญาณแรงดันเฟส $V_{an}, V_{bn}$ และ สเปกตรัมของแรงดันเฟส $V_{an}$ ที่ $f=50$ Hz.....	119
6.76 สัญญาณแรงดันเฟส, แรงดันไลน์, และกระแสเอาต์พุต $V_{an}, V_{ab}, i_a$ และสเปกตรัมของแรงดันไลน์ $V_{ab}$ ที่ $f=50$ Hz.....	119
6.77 สเปกตรัมของกระแสเอาต์พุต $i_a$ .....	119
6.78 ลักษณะแรงดันเอาต์พุตของอินเวอร์เตอร์เอชบริดจ์แต่ละเซลล์ในเฟส A ที่ $f=70$ Hz.....	120
6.79 สัญญาณกระแสและค่ากำลังไฟฟ้าของอินเวอร์เตอร์เอชบริดจ์แต่ละเซลล์ในเฟส A ที่ $f=70$ Hz.....	120
6.80 สัญญาณแรงดันเฟส $V_{an}, V_{bn}$ และ สเปกตรัมของแรงดันเฟส $V_{an}$ ที่ $f=70$ Hz.....	121
6.81 สัญญาณแรงดันเฟส, แรงดันไลน์, และกระแสเอาต์พุต $V_{an}, V_{ab}, i_a$ และสเปกตรัมของแรงดันไลน์ $V_{ab}$ ที่ $f=70$ Hz.....	121
6.82 สเปกตรัมของกระแสเอาต์พุต $i_a$ .....	121
6.83 ลักษณะแรงดันเอาต์พุตของอินเวอร์เตอร์เอชบริดจ์แต่ละเซลล์ในเฟส A ที่ $f=70$ Hz.....	122
6.84 สัญญาณกระแสและค่ากำลังไฟฟ้าของอินเวอร์เตอร์เอชบริดจ์แต่ละเซลล์ในเฟส A ที่ $f=70$ Hz.....	122
6.85 สัญญาณแรงดันเฟส $V_{an}, V_{bn}$ และ สเปกตรัมของแรงดันเฟส $V_{an}$ ที่ $f=70$ Hz.....	123

เอกสารนี้เป็นเอกสารที่สงวนไว้สำหรับการใช้งานเพื่อการศึกษาเท่านั้น ไม่อนุญาตให้นำไปใช้ประโยชน์ด้านการค้า  
ไม่ว่ากรณีใดๆทั้งสิ้น อีกทั้งห้ามมิให้ดัดแปลงเนื้อหา และต้องอ้างอิงถึงเจ้าของเอกสารทุกครั้งที่มีการนำไปใช้

## สารบัญรูป (ต่อ)

รูปที่	หน้า
6.86	123
6.87	123
6.88	124
6.89	124
6.90	125
6.91	125
6.92	125
6.93	130
6.94	131
6.95	131
6.96	132
6.97	132
6.98	133
6.99	134
6.100	136
ค.1	150

เอกสารนี้เป็นเอกสารที่สงวนไว้สำหรับการใช้งานเพื่อการศึกษาเท่านั้น ไม่อนุญาตให้นำไปใช้ประโยชน์ด้านการค้า  
ไม่ว่ากรณีใดๆทั้งสิ้น อีกทั้งห้ามมิให้ดัดแปลงเนื้อหา และต้องอ้างอิงถึงเจ้าของเอกสารทุกครั้งที่มีการนำไปใช้

## สารบัญรูป (ต่อ)

รูปที่	หน้า
ค.2 แรงดันเอาต์พุตของอินเวอร์เตอร์เอชบริดจ์แต่ละเซลล์ในเฟส A.....	152
ค.3 กระแสที่แหล่งจ่ายของอินเวอร์เตอร์เอชบริดจ์แต่ละเซลล์ในเฟส A.....	152
ค.4 สัญญาณแรงดันเฟส $V_{an}$ , $V_{bn}$ , $V_{cn}$ และสเปกตรัมของแรงดันเฟส $V_{an}$ .....	153
ค.5 สัญญาณแรงดันเฟส, แรงดันไลน์, กระแสเอาต์พุต $V_{an}$ , $V_{ab}$ , $i_a$ และสเปกตรัมของแรงดันไลน์ $V_{ab}$ .....	153
ค.6 สเปกตรัมของกระแสเอาต์พุต $i_a$ .....	153
ค.7 แรงดันเอาต์พุตของอินเวอร์เตอร์เอชบริดจ์แต่ละเซลล์ในเฟส A.....	154
ค.8 กระแสที่แหล่งจ่ายของอินเวอร์เตอร์เอชบริดจ์แต่ละเซลล์ในเฟส A.....	154
ค.9 สัญญาณแรงดันเฟส $V_{an}$ , $V_{bn}$ , $V_{cn}$ และสเปกตรัมของแรงดันเฟส $V_{an}$ .....	155
ค.10 สัญญาณแรงดันเฟส, แรงดันไลน์, กระแสเอาต์พุต $V_{an}$ , $V_{ab}$ , $i_a$ และสเปกตรัมของแรงดันไลน์ $V_{ab}$ .....	155
ค.11 สเปกตรัมของกระแสเอาต์พุต $i_a$ .....	155
ค.12 แรงดันเอาต์พุตของอินเวอร์เตอร์เอชบริดจ์แต่ละเซลล์ในเฟส A.....	156
ค.13 กระแสที่แหล่งจ่ายของอินเวอร์เตอร์เอชบริดจ์แต่ละเซลล์ในเฟส A.....	156
ค.14 สัญญาณแรงดันเฟส $V_{an}$ , $V_{bn}$ และ สเปกตรัมของแรงดันเฟส $V_{an}$ ที่ $f = 50$ Hz.....	157
ค.15 สัญญาณแรงดันเฟส, แรงดันไลน์, กระแสเอาต์พุต $V_{an}$ , $V_{ab}$ , $i_a$ และสเปกตรัมของ แรงดันไลน์ $V_{ab}$ ที่ $f = 50$ Hz.....	157
ค.16 สเปกตรัมของกระแสเอาต์พุต $i_a$ .....	157
ค.17 แรงดันเอาต์พุตของอินเวอร์เตอร์เอชบริดจ์แต่ละเซลล์ในเฟส A.....	158
ค.18 กระแสที่แหล่งจ่ายของอินเวอร์เตอร์เอชบริดจ์แต่ละเซลล์ในเฟส A.....	158
ค.19 สัญญาณแรงดันเฟส $V_{an}$ , $V_{bn}$ และ สเปกตรัมของแรงดันเฟส $V_{an}$ ที่ $f = 50$ Hz.....	159
ค.20 สัญญาณแรงดันเฟส, แรงดันไลน์, กระแสเอาต์พุต $V_{an}$ , $V_{ab}$ , $i_a$ และสเปกตรัมของ แรงดันไลน์ $V_{ab}$ ที่ $f = 50$ Hz.....	159
ค.21 สเปกตรัมของกระแสเอาต์พุต $i_a$ .....	159

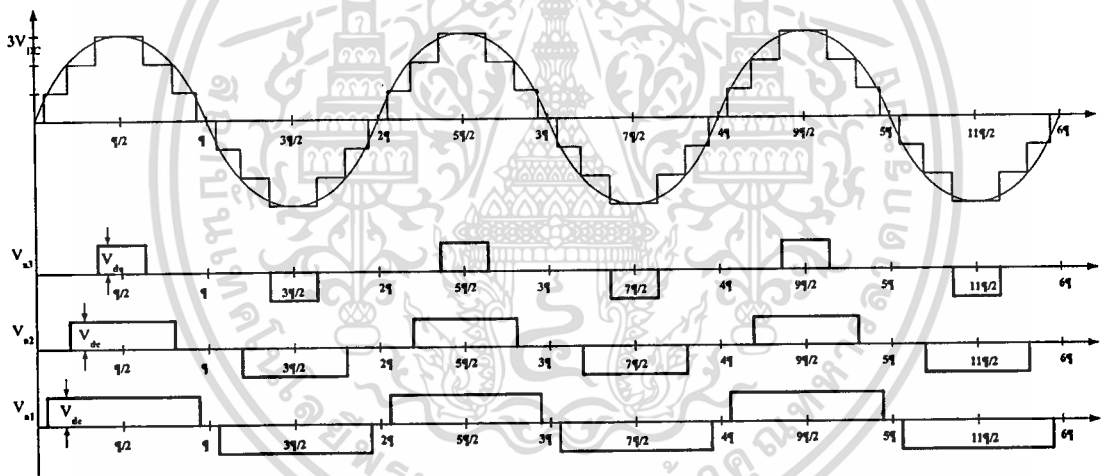
เอกสารนี้เป็นเอกสารที่สงวนไว้สำหรับการใช้งานเพื่อการศึกษาเท่านั้น ไม่อนุญาตให้นำไปใช้ประโยชน์ด้านการค้า  
ไม่ว่ากรณีใดๆทั้งสิ้น อีกทั้งห้ามมิให้ดัดแปลงเนื้อหา และต้องอ้างอิงถึงเจ้าของเอกสารทุกครั้งที่มีการนำไปใช้

# บทที่ 1

## บทนำ

### 1.1 ความเป็นมาและความสำคัญของปัญหา

ปัจจุบันในงานภาคอุตสาหกรรมได้มีการนำอินเวอร์เตอร์หลายระดับชนิดแคสเคดมาใช้ ในการขับเคลื่อนมอเตอร์กันอย่างแพร่หลาย อีกทั้งอินเวอร์เตอร์หลายระดับชนิดแคสเคดยังมีความสามารถในการทำงานที่แรงดันและกำลังไฟฟ้าที่สูงกว่าอินเวอร์เตอร์สองระดับ และยังมีค่าลดทอนจากฮาร์มอนิกส์ของแรงดันด้านเอาต์พุตลดลง เพราะมีลักษณะของสัญญาณเข้าใกล้ไซน์มากกว่า และคุณสมบัติในการใช้ประโยชน์จากแรงดันไฟฟ้ากระแสตรงด้านอินพุตที่ดีกว่า เมื่อมีการแบ่งระดับแรงดัน อุปกรณ์สวิตช์ก็จะทำงานที่ระดับแรงดันไฟฟ้าที่ลดลง ทำให้ราคาของอุปกรณ์สวิตช์ต่อหน่วยจึงมีค่าถูกลง แต่เนื่องจากลักษณะรูปคลื่นแรงดันเอาต์พุตของอินเวอร์เตอร์เอชบริดจ์ ในแต่ละระดับแรงดันนั้น มีความแตกต่างกัน ดังแสดงในรูปที่ 1.1



รูปที่ 1.1 ลักษณะแรงดันเอาต์พุตของอินเวอร์เตอร์เอชบริดจ์ที่ยังไม่มีการปรับปรุงรูปแบบการสวิตช์

จากรูปที่ 1.1 จะเห็นว่าเกิดจากรูปแบบของการสวิตช์ในหนึ่งคาบเวลาที่แตกต่างกันของอินเวอร์เตอร์เอชบริดจ์แต่ละชุดในเฟสเดียวกัน ซึ่งรูปแบบของการสวิตช์ในลักษณะนี้จะทำให้แหล่งจ่ายอินพุตของอินเวอร์เตอร์เอชบริดจ์แต่ละตัวในกิ่งเดียวกันจ่ายพลังงานออกไปไม่เท่ากัน ส่งผลให้แหล่งจ่ายพลังงานหรือแบตเตอรี่ (หรือหม้อแปลงแยกเทป) จ่ายพลังงานหมดไปไม่พร้อมกัน ทำให้อายุการใช้งานของแหล่งจ่ายพลังงานแต่ละตัวสั้น-ยาวไม่เท่ากัน ,ความร้อนที่สะสมภายในอุปกรณ์สวิตช์ของอินเวอร์เตอร์เอชบริดจ์เซลล์ที่ระดับแรงดันด้านล่างมีช่วงเวลางานที่นานกว่าจะมีค่ามากขึ้น ทำให้อุปกรณ์สวิตช์ของอินเวอร์เตอร์เอชบริดจ์เซลล์นั้นเกิดความเอกสารถนี้เป็นเอกสารที่สงวนไว้สำหรับการใช้งานเพื่อการศึกษาเท่านั้น ไม่อนุญาตให้นำไปใช้ประโยชน์ด้านการค้า ไม่ว่าจะกรณีใดๆทั้งสิ้น อีกทั้งห้ามมิให้ดัดแปลงเนื้อหา และต้องอ้างอิงถึงเจ้าของเอกสารทุกครั้งที่มีการนำไปใช้

เสียหายได้ และจะมีผลอย่างมากกับระบบชาร์จแบตเตอรี่ในระบบขับเคลื่อนของรถยนต์ไฟฟ้า (Hybrid Electric Vehicles) [4], [5] เมื่อนำอินเวอร์เตอร์หลายระดับชนิดแคสเคดนี้ไปใช้งาน โดยจะทำให้ระบบชาร์จแบตเตอรี่ทำงานไม่พร้อมกัน ซึ่งส่งผลให้ประสิทธิภาพของอินเวอร์เตอร์หลายระดับชนิดแคสเคดนั้นลดลงด้วย

ในงานวิจัยนี้ได้เห็นถึงความสำคัญของรูปแบบการควบคุมการสวิตช์ ที่จะช่วยให้ช่วยยืดอายุการใช้งานของแหล่งจ่ายพลังงานของอินเวอร์เตอร์และอุปกรณ์สวิตซ์ซึ่งให้มีอายุการใช้งานที่ใกล้เคียงกัน ซึ่งจะส่งผลให้ประสิทธิภาพของอินเวอร์เตอร์หลายระดับชนิดแคสเคดดีขึ้น

## 1.2 ความมุ่งหมายและวัตถุประสงค์

จุดมุ่งหมายในการทำวิทยานิพนธ์นี้เพื่อจัดสร้างชุดทดสอบ การทำงานของอินเวอร์เตอร์หลายระดับชนิดแคสเคด โดยเปรียบเทียบทางทฤษฎี โดยมีวัตถุประสงค์หลักดังต่อไปนี้

- 1.2.1 เพื่อศึกษาการทำงานของอินเวอร์เตอร์หลายระดับชนิดแคสเคด
- 1.2.2 เพื่อศึกษาเทคนิคการกำจัดฮาร์มอนิกส์ที่เหมาะสมแบบรูปคลื่นขั้นบันได
- 1.2.3 ปรับปรุงรูปแบบการสวิตซ์ให้เอาท์พุทของอินเวอร์เตอร์เอชบริดจ์แต่ละเซลล์มีลักษณะเหมือนกันในหนึ่งคาบการทำงาน
- 1.2.4 เพื่อรักษาระดับสมดุลของแหล่งจ่ายไฟตรงของอินเวอร์เตอร์เอชบริดจ์แต่ละเซลล์ให้จ่ายกำลังไฟฟ้าออกไปได้เท่าๆ กัน
- 1.2.5 เพื่อศึกษาผลกระทบของฮาร์มอนิกส์ที่เกิดขึ้นกับแรงดันเฟส, แรงดันไลน์และกระแสเอาท์พุท เมื่อความถี่มูลฐานและค่าดัชนีมอดูเลชันเปลี่ยนแปลง
- 1.2.6 เพื่อเป็นพื้นฐานในการวิจัยและพัฒนาเทคนิคการควบคุมการทำงานของอินเวอร์เตอร์หลายระดับชนิดแคสเคด ให้มีประสิทธิภาพดียิ่งขึ้น

## 1.3 ทฤษฎีและแนวคิดที่ใช้ในการวิจัย

โดยในวิทยานิพนธ์เป็นการนำเอาเทคนิคการกำจัดฮาร์มอนิกส์ที่เหมาะสมแบบขั้นบันได [8] และเทคนิคการหมุนพัลส์ (Pulse rotation) [4], [5] มาใช้กับอินเวอร์เตอร์หลายระดับชนิดแคสเคด โดยจะใช้เทคนิคการกำจัดฮาร์มอนิกส์ที่เหมาะสมแบบขั้นบันไดในการหาค่ามุมสวิตซ์ให้กับอุปกรณ์สวิตซ์ของอินเวอร์เตอร์เอชบริดจ์แต่ละชุด เพื่อกำจัดฮาร์มอนิกส์ที่ไม่ต้องการในรูปคลื่นแรงดันไลน์ออกไป ส่วนเทคนิคการหมุนพัลส์ (Pulse rotation) นั้นจะใช้ในการปรับปรุงรูปแบบการสวิตซ์ของอินเวอร์เตอร์เอชบริดจ์แต่ละเซลล์ในเฟสเดียวกัน ให้มีลักษณะของแรงดันเอาท์พุทเหมือนกัน เพิ่มทำให้แหล่งจ่ายแรงดันไฟฟ้ากระแสตรงของอินเวอร์เตอร์เอชบริดจ์แต่ละเซลล์ในเฟสเดียวกัน จ่ายกำลังไฟฟ้าออกมาได้เท่าๆ กัน

เอกสารนี้เป็นเอกสารที่สงวนไว้สำหรับการใช้งานเพื่อการศึกษาเท่านั้น ไม่อนุญาตให้นำไปใช้ประโยชน์ด้านการค้า ไม่ว่าจะกรณีใดๆทั้งสิ้น อีกทั้งห้ามมิให้ดัดแปลงเนื้อหา และต้องอ้างอิงถึงเจ้าของเอกสารทุกครั้งที่มีการนำไปใช้

## 1.4 ขอบเขตการวิจัย

1.4.1 ทำการศึกษาหลักการนิวตัน-ราฟสัน เพื่อนำมาประยุกต์ใช้กับการกำจัดฮาร์มอนิกส์ที่เหมาะสมแบบขั้นบันได

1.4.2 จำลองการทำงานของอินเวอร์เตอร์หลายระดับชนิดแคสเคด ด้วยโปรแกรม MATLAB/SIMULINK

1.4.3 ทำการสร้างชุดทดลองอินเวอร์เตอร์เจ็ดระดับชนิดแคสเคด

1.4.4 ทำการทดลองขับโหลดมอเตอร์เหนี่ยวนำสามเฟส ขนาด 3 HP 380 V ที่ค่าความถี่มูลฐานและค่าดัชนีมอดูเลชันต่างๆ

## 1.5 ขั้นตอนการศึกษา

วิทยานิพนธ์นี้เป็นการศึกษาหลักการการทำงานของอินเวอร์เตอร์หลายระดับชนิดแคสเคด โดยได้ทำการศึกษาเทคนิคการกำจัดฮาร์มอนิกส์ที่เหมาะสมแบบขั้นบันได เพื่อนำมาใช้ในการหา มุมสวิทซ์ให้กับอินเวอร์เตอร์หลายระดับชนิดแคสเคด เพื่อกำจัดฮาร์มอนิกส์ที่ไม่ต้องการออกไป จากนั้นทำการจำลองการทำงานของอินเวอร์เตอร์หลายระดับชนิดแคสเคดด้วย โปรแกรม คอมพิวเตอร์ MATLAB/SIMULINK สร้างอินเวอร์เตอร์เจ็ดระดับชนิดแคสเคดเครื่องต้นแบบเพื่อ ทดลองขับโหลดมอเตอร์เหนี่ยวนำสามเฟสที่ค่าความถี่เอาท์พุทและค่าดัชนีมอดูเลชันต่างๆ สรุปผล การทดลองและวิจารณ์ และจัดทำรูปเล่มวิทยานิพนธ์ โดยรายละเอียดที่จะกล่าวถึงในวิทยานิพนธ์ ได้แบ่งออกเป็น 7 บท ดังต่อไปนี้

บทที่ 1 ความเป็นมาและความสำคัญของปัญหา จุดมุ่งหมายวัตถุประสงค์ของการศึกษา ทฤษฎีและแนวคิดที่ใช้ในการวิจัย ขอบเขตการวิจัย เนื้อหาโดยย่อในแต่ละบท ตลอดจนประ โยชน์ที่ได้จากการวิจัย

บทที่ 2 ทฤษฎีพื้นฐานการทำงานของอินเวอร์เตอร์เอชบริดจ์, ทฤษฎีพื้นฐานการทำงานของอินเวอร์เตอร์หลายระดับชนิดแคสเคด และสรุป

บทที่ 3 ทฤษฎี Newton-Raphson Method, เทคนิคกำจัดฮาร์มอนิกส์ที่เหมาะสมแบบ รูปคลื่นขั้นบันได และสรุป

บทที่ 4 การจำลองการทำงานของอินเวอร์เตอร์หลายระดับชนิดแคสเคดด้วยคอมพิวเตอร์ กรณีแหล่งจ่ายส่งผ่านกำลังไฟฟ้าไม่สมดุล, กรณีแหล่งจ่ายส่งผ่านกำลังไฟฟ้าสมดุล และสรุป

บทที่ 5 การออกแบบอินเวอร์เตอร์เจ็ดระดับชนิดแคสเคด การออกแบบวงจรกำลัง ,การ ออกแบบวงจรควบคุม ,การออกแบบโปรแกรม และสรุป

บทที่ 6 ผลการทดลอง กรณีแหล่งจ่ายส่งผ่านกำลังไฟฟ้าไม่สมดุล, กรณีแหล่งจ่ายส่งผ่าน กำลังไฟฟ้าสมดุล และสรุป

เอกสารนี้เป็นเอกสารที่สงวนไว้สำหรับการใช้งานเพื่อการศึกษาเท่านั้น ไม่อนุญาตให้นำไปใช้ประโยชน์ด้านการค้า ไม่ว่ากรณีใดๆทั้งสิ้น อีกทั้งห้ามมิให้ดัดแปลงเนื้อหา และต้องอ้างอิงถึงเจ้าของเอกสารทุกครั้งที่มีการนำไปใช้

บทที่ 7 บทสรุปและวิจารณ์ผลการทดลอง ผลการทดสอบ ,สรุป และข้อเสนอแนะในการพัฒนาต่อไป

## 1.6 ประโยชน์ที่ได้รับจากการวิจัย

1.6.1 สามารถเข้าใจถึงหลักการทำงานของอินเวอร์เตอร์หลายระดับชนิดแคสเคด

1.6.2 สามารถนำเอาทฤษฎี Newton-Raphson Method มาประยุกต์เทคนิคกำจัดฮาร์มอนิกส์ที่เหมาะสมแบบรูปคลื่นขั้นบันได

1.6.3 สามารถนำเอาเทคนิคการหมุนพัลส์ (Pulse rotation) มาใช้กับอินเวอร์เตอร์หลายระดับชนิดแคสเคด เพื่อช่วยเพิ่มประสิทธิภาพการทำงานทางด้านแหล่งจ่ายของอินเวอร์เตอร์หลายระดับชนิดแคสเคดได้



เอกสารนี้เป็นเอกสารที่สงวนไว้สำหรับการใช้งานเพื่อการศึกษาเท่านั้น ไม่อนุญาตให้นำไปใช้ประโยชน์ด้านการค้า  
ไม่ว่ากรณีใดๆทั้งสิ้น อีกทั้งห้ามมิให้ดัดแปลงเนื้อหา และต้องอ้างอิงถึงเจ้าของเอกสารทุกครั้งที่มีการนำไปใช้

## บทที่ 2

# อินเวอร์เตอร์หลายระดับ

### 2.1 บทนำ

อินเวอร์เตอร์หลายระดับจะอาศัยการต่ออนุกรมกันของอุปกรณ์สวิตช์เพื่อใช้ในการแบ่งแรงดันและเพิ่มจำนวนระดับทำให้สัญญาณแรงดันด้านเอาต์พุตมีลักษณะเข้าใกล้ไซน์มากยิ่งขึ้นเมื่อเปรียบเทียบกับอินเวอร์เตอร์ 2 ระดับ การอนุกรมกันของอุปกรณ์สวิตช์ดังกล่าวทำให้อินเวอร์เตอร์หลายระดับมีความสามารถในการทำงานที่ระดับกำลังไฟฟ้าที่สูงกว่าอินเวอร์เตอร์ 2 ระดับ นอกจากนี้การแบ่งย่อยแรงจ่ายไฟตรงยังทำให้เหมาะต่อการต่อใช้งานกับแหล่งจ่ายประเภทพลังงานทดแทนเช่น เซลล์แสงอาทิตย์, เซลล์พลังงาน หรือแบตเตอรี่ เป็นต้น

อินเวอร์เตอร์หลายระดับสามารถแบ่งออกได้ 4 ชนิด ดังนี้

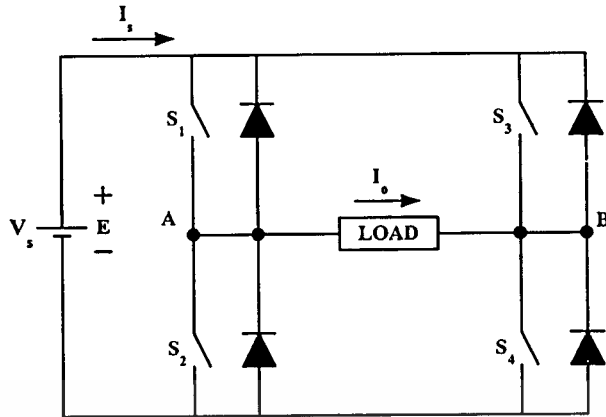
- อินเวอร์เตอร์หลายระดับชนิดไดโอดแคแลมป์ [1]
- อินเวอร์เตอร์หลายระดับชนิดคาปาซิเตอร์แคแลมป์
- อินเวอร์เตอร์หลายระดับชนิด Generalized
- อินเวอร์เตอร์หลายระดับชนิดแคสเคด

โดยในงานวิจัยนี้จะทำการศึกษาเฉพาะ อินเวอร์เตอร์หลายระดับชนิดแคสเคดเท่านั้น ซึ่งในบทนี้จะกล่าวถึง โครงสร้างของอินเวอร์เตอร์เอชบริดจ์, สัญญาณเกตและหลักการทำงานของอินเวอร์เตอร์เอชบริดจ์, เวลาประวิง (เดดไทม์) ของสวิตช์, โครงสร้างและหลักการทำงานของอินเวอร์เตอร์หลายระดับชนิดแคสเคด และการแยกแหล่งจ่ายแรงดันไฟฟ้ากระแสตรง

### 2.2 อินเวอร์เตอร์เอชบริดจ์ (H-Bridge Inverter)

#### 2.2.1 โครงสร้างของอินเวอร์เตอร์เอชบริดจ์

จำนวนระดับขั้นแรงดันที่น้อยที่สุดของอินเวอร์เตอร์หลายระดับชนิดใช้การแคสเคดด้วยอินเวอร์เตอร์แบบแยกอิสระแหล่งจ่ายดีซี มีแค่ 3 ระดับขั้น นั่นคืออินเวอร์เตอร์หลายระดับจะประกอบด้วยอินเวอร์เตอร์เอชบริดจ์ 1 เซลล์ ซึ่งอินเวอร์เตอร์เอชบริดจ์จะประกอบด้วย 4 สวิตช์หลักและ 4 ฟรีวิลลิ่งไดโอด



รูปที่ 2.1 อินเวอร์เตอร์เอชบริดจ์ 1 เซลล์

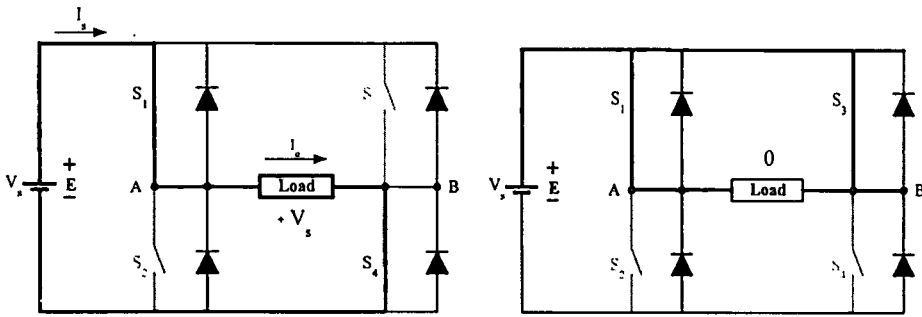
### 2.2.2 สัญญาณและการทำงานของอินเวอร์เตอร์เอชบริดจ์

อินเวอร์เตอร์เอชบริดจ์จะมีลักษณะการสวิตช์ดังแสดงในตารางที่ 2.1 สามารถวิเคราะห์แรงดันที่ตกคร่อมจุด A และจุด B ได้เป็น 3 ระดับด้วยกันคือ  $+E$ ,  $-E$  และระดับศูนย์ อินเวอร์เตอร์เอชบริดจ์ในรูปที่ 2.1 มีหลักการทำงานดังนี้คือ ถ้าสวิตช์  $S_1$  และ  $S_4$  ทำงานพร้อมกัน แรงดันตกคร่อมจุด A และจุด B,  $V_{AB}$  มีค่าเป็นบวก และทางเดินของกระแสคือ  $I_o$  ดังแสดงในรูปที่ 2.2 (ก) และถ้าสวิตช์  $S_2$  และ  $S_3$  ทำงานพร้อมกันแรงดันตกคร่อมจุด A และจุด B,  $V_{AB}$  มีค่าเป็นลบ ดังแสดงในรูปที่ 2.2 (ค)

ตารางที่ 2.1 ลักษณะการสวิตช์ของอินเวอร์เตอร์เอชบริดจ์

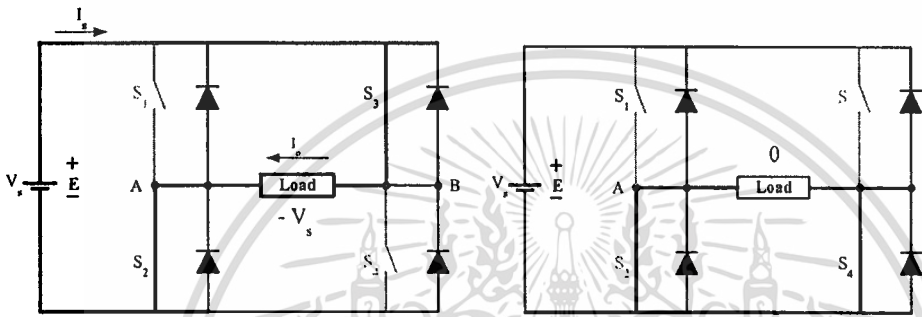
สวิตช์ที่นำกระแส	แรงดันเอาต์พุต $V_{AB}$
$S_1, S_4$	$+E$
$S_2, S_3$	$-E$
$S_1, S_3$ หรือ $S_2, S_4$	0

ในกรณีที่แรงดันตกคร่อมจุด A และจุด B,  $V_{AB}$  มีค่าเป็นศูนย์ สามารถเกิดได้ 2 กรณีคือกรณีที่หนึ่ง สวิตช์  $S_1$  และ  $S_3$  ทำงานพร้อมกัน ส่วน  $S_2$  และ  $S_4$  หยุดทำงาน ดังแสดงในรูปที่ 2.2 (ข) กรณีที่สอง สวิตช์  $S_2$  และ  $S_4$  ทำงานพร้อมกัน ส่วน  $S_1$  และ  $S_3$  หยุดทำงาน ดังแสดงในรูปที่ 2.2 (ง)



ก) สวิตช์  $S_1$  และ  $S_4$  นำกระแส

ข) สวิตช์  $S_1$  และ  $S_3$  นำกระแส

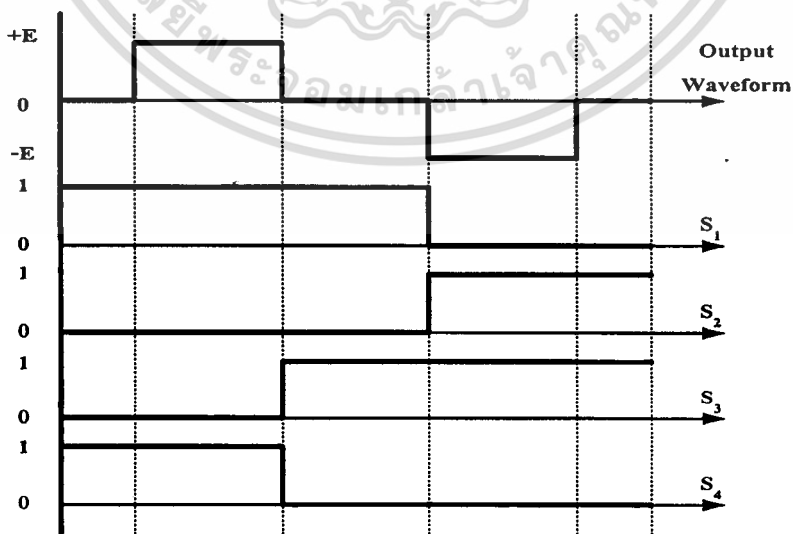


ค) สวิตช์  $S_2$  และ  $S_3$  นำกระแส

ง) สวิตช์  $S_2$  และ  $S_4$  นำกระแส

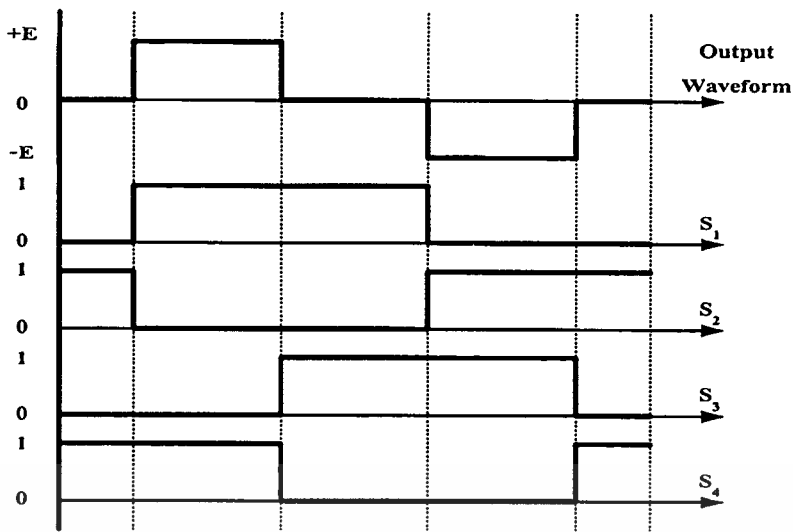
รูปที่ 2.2 ลักษณะการทำงานของสวิตช์ในอินเวอร์เตอร์เอชบริดจ์

สัญญาณเกทในรูปที่ 2.3 แสดงรูปแบบการสวิตช์ด้วยวิธี Repeated zero-level ด้วยวิธีนี้ แรงดันตกคร่อมจุด A และจุด B ที่เป็นศูนย์ทั้งหมด เกิดจากสวิตช์  $S_1$  และ  $S_3$  ทำงาน



รูปที่ 2.3 รูปแบบการสวิตช์ด้วยวิธี Repeated zero-level

เอกสารนี้เป็นเอกสารที่สงวนไว้สำหรับการใช้งานเพื่อการศึกษาเท่านั้น ไม่อนุญาตให้นำไปใช้ประโยชน์ด้านการค้า ไม่ว่าจะกรณีใดๆทั้งสิ้น อีกทั้งห้ามมิให้ดัดแปลงเนื้อหา และต้องอ้างอิงถึงเจ้าของเอกสารทุกครั้งที่มีการนำไปใช้

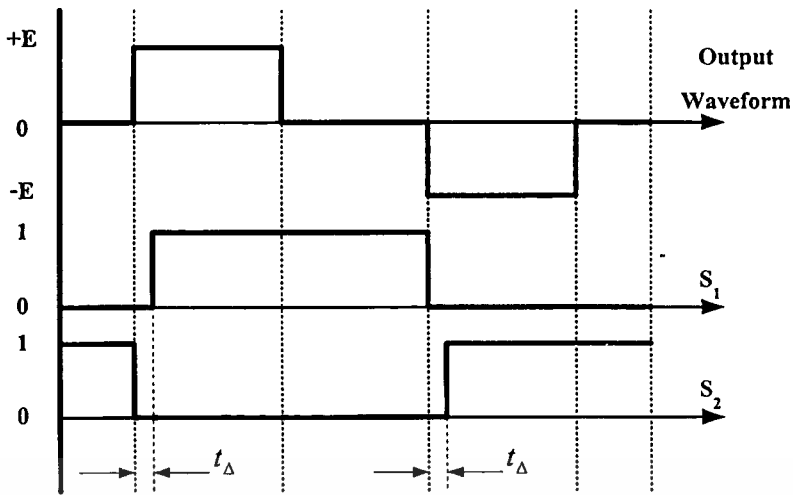


รูปที่ 2.4 รูปแบบการสวิตช์ด้วยวิธี Swapped zero-level

เมื่อสัญญาณเกทมีระดับเป็น 1 แทนการทำงานของสวิตช์ ส่วนเมื่อสัญญาณเกทมีระดับเป็น 0 แทนการหยุดทำงานของสวิตช์ ซึ่งจากรูปที่ 2.3 พบว่าสวิตช์  $S_1$  และ  $S_3$  ทำงานมากกว่าสวิตช์  $S_2$  และ  $S_4$  ในแต่ละรอบ ของหนึ่งคาบเวลาการทำงาน เป็นผลให้สวิตช์  $S_1$  และ  $S_3$  ใช้กำลังงานและเกิดความร้อนมากกว่าสวิตช์อีกสองตัว เพื่อหลีกเลี่ยงปัญหาดังกล่าว จึงได้เสนอรูปแบบการสวิตช์ด้วยวิธี Swapped zero-level ด้วยวิธีนี้แรงดันตกคร่อมจุด A และจุด B เป็นศูนย์ เกิดได้ 2 กรณี กรณีแรกสวิตช์  $S_1$  และ  $S_2$  ทำงาน กรณีที่สอง  $S_3$  และ  $S_4$  ทำงาน ด้วยวิธีนี้เวลาในการทำงานของสวิตช์แต่ละตัวจะใช้เวลาเท่ากันดังแสดงในรูปที่ 2.4 ซึ่งรูปแบบการสวิตช์แบบนี้จะช่วยลดปัญหาดังกล่าวได้

### 2.2.3 เวลาประวิง (Dead Time)

อีกส่วนหนึ่งที่ต้องสนใจสำหรับสัญญาณเกทคือ เวลาประวิง จากหัวข้อที่ 2.2.2 สวิตช์ที่ใช้จะเป็นแบบอูมคติ จึงยอมให้สวิตช์ 2 ตัวในกึ่งเดียวกัน เปลี่ยนแปลงการทำงานแบบทันทีทันใดได้ในทิศทางที่กลับกัน แต่ในความเป็นจริงแล้วนั้น อุปกรณ์สวิตช์จะต้องใช้เวลาส่วนหนึ่ง เพื่อให้เกิดการหยุดทำงานที่สมบูรณ์ ซึ่งอุปกรณ์สวิตช์แต่ละประเภทจะใช้เวลาไม่เท่ากัน ดังนั้น เพื่อหลีกเลี่ยงการลัดวงจรจากคุณสมบัติดังกล่าวของสวิตช์จึงจำเป็นต้องหน่วงเวลาด้วย เวลาประวิง,  $t_d$  ให้กับสวิตช์ในกึ่งเดียวกันเมื่อทำงานกลับสถานะ ดังแสดงในรูปที่ 2.5 ซึ่งแสดงสัญญาณเกทของสวิตช์  $S_1$  และ  $S_2$  ในกึ่งเดียวกันของอินเวอร์เตอร์



รูปที่ 2.5 เวลาประวิงในสัญญาณเกท

## 2.3 องค์ประกอบของอินเวอร์เตอร์หลายระดับชนิดแคสเคด

### 2.3.1 โครงสร้างของอินเวอร์เตอร์อินเวอร์เตอร์หลายระดับชนิดแคสเคดเฟสเดียว

จากการวิเคราะห์รูปคลื่นหลายระดับนั้น เกิดจากการนำอินเวอร์เตอร์เอชบริดจ์แต่ละเซลล์มาต่อเข้าด้วยกันในลักษณะอนุกรม ดังนั้นขนาดของแรงดันเฟสจะเท่ากับผลรวมของแรงดันเอาต์พุตของแต่ละเซลล์รวมกัน ซึ่งจำนวนระดับขั้นของแรงดันเฟสเอาต์พุตของอินเวอร์เตอร์ชนิดนี้สามารถคำนวณได้จากสมการที่ (2.1)

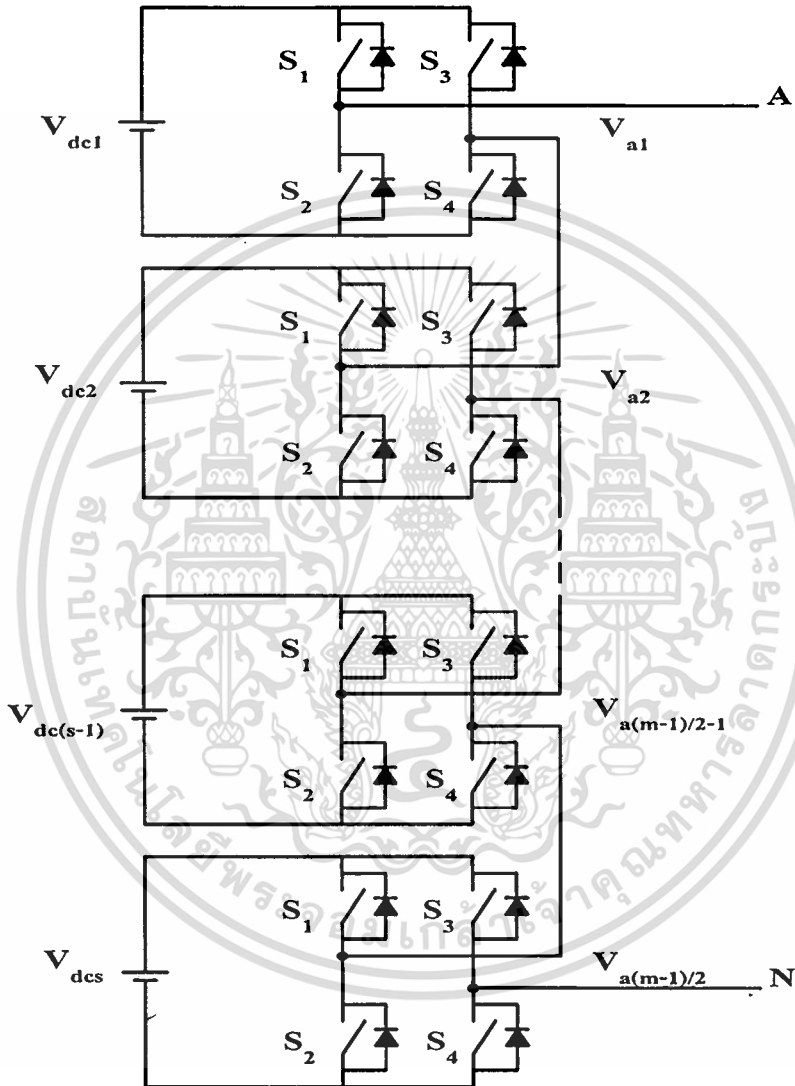
$$m = 2s + 1 \quad (2.1)$$

โดยที่  $m$  คือ จำนวนระดับขั้นของแรงดันเฟสเอาต์พุตของอินเวอร์เตอร์หลายระดับชนิดแคสเคด  
 $s$  คือ จำนวนแหล่งจ่ายแรงดันไฟฟ้ากระแสตรง

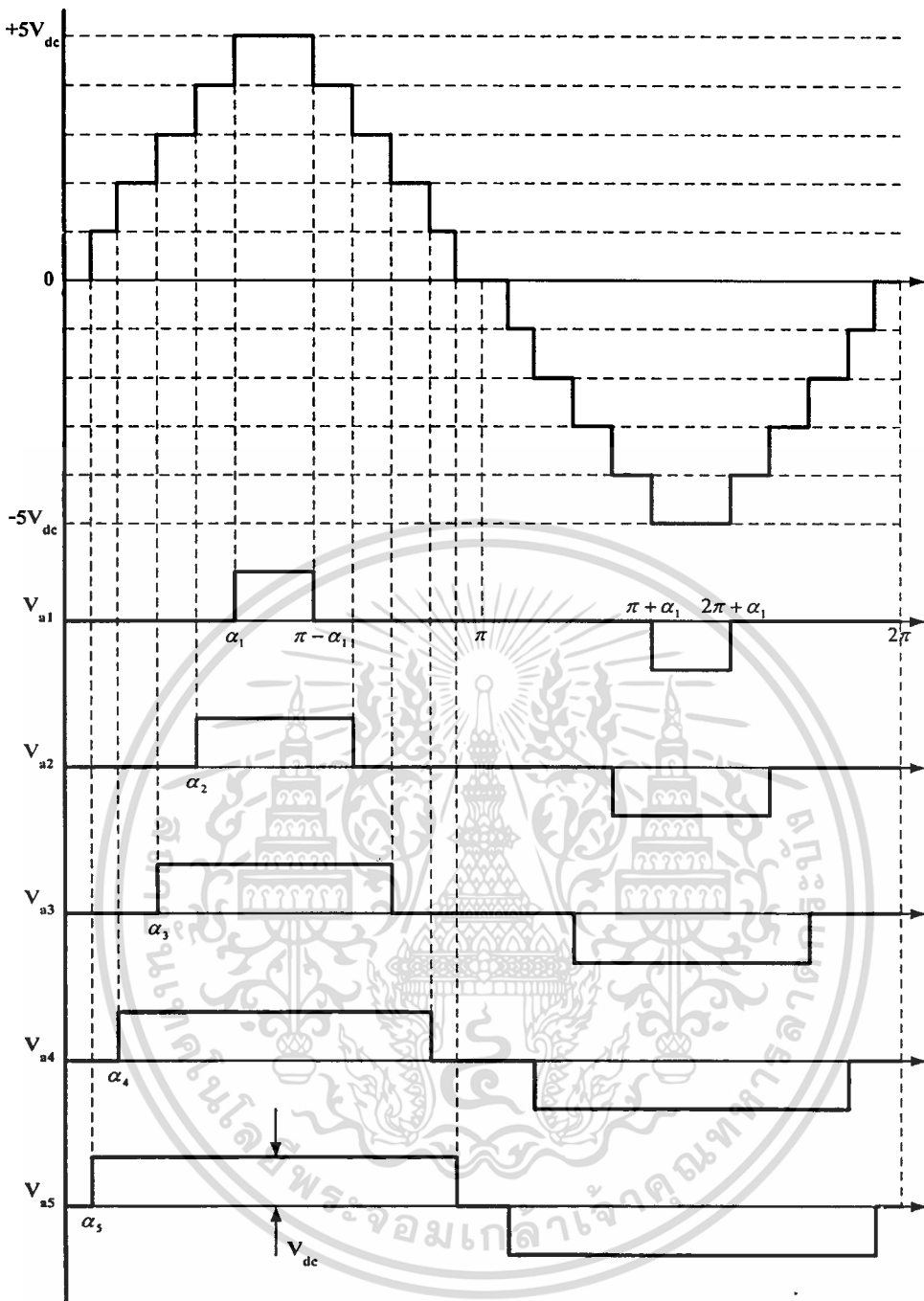
ยกตัวอย่างเช่นถ้าต้องการรูปคลื่นแรงดันเฟส 11 ระดับ จะต้องใช้อินเวอร์เตอร์เอชบริดจ์จำนวน 5 เซลล์ ในรูปที่ 2.6 จะแสดงโครงสร้างอินเวอร์เตอร์หลายระดับชนิดแคสเคดเฟสเดียวที่  $m$  ระดับ ซึ่งแรงดันเฟสเอาต์พุตก็คือ ผลรวมของอินเวอร์เตอร์เอชบริดจ์แต่ละเซลล์สามารถเขียนเป็นสมการได้ดังนี้

$$V_{AN} = V_{dc1} + V_{dc2} + \dots + V_{dc(s-1)} + V_{dcs} \quad (2.2)$$

เนื่องจากกำหนดให้ระดับแรงดันที่ศูนย์ คือจุดร่วมของเอาต์พุตอินเวอร์เตอร์ ดังนั้นจำนวนระดับของแรงดันเอาต์พุตคือ  $2s + 1$  รูปที่ 2.7 แสดงรูปคลื่นแรงดันเฟส ของอินเวอร์เตอร์หลายระดับชนิดแคสเคด 11 ระดับ และรูปคลื่นของอินเวอร์เตอร์เอชบริดจ์แต่ละเซลล์โดยกำหนดให้แรงดันไฟตรงแต่ละเซลล์ มีขนาดเท่ากัน  $V_{dc1} = V_{dc2} = \dots = V_{dc(s-1)} = V_{dcs} = V_{dc}$



รูปที่ 2.6 โครงสร้างของอินเวอร์เตอร์หลายระดับชนิดแคสเคด



รูปที่ 2.7 รูปคลื่นแรงดันเฟส 11 ระดับ และรูปคลื่นเอาต์พุตอินเวอร์เตอร์เอชบริดจ์แต่ละเซลล์

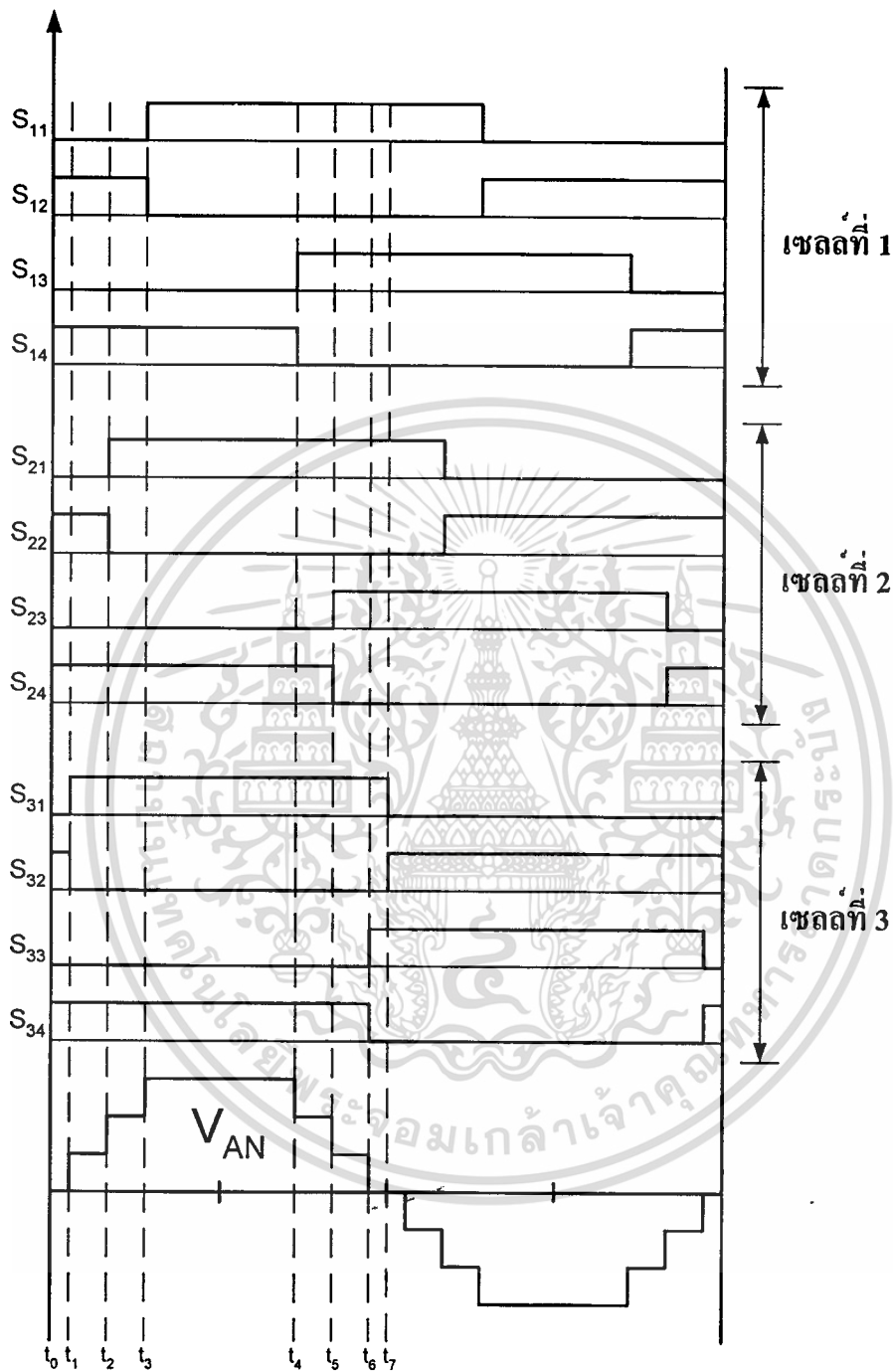
รูปคลื่นเอาต์พุตของอินเวอร์เตอร์หลายระดับชนิดแคสเคด ดังในรูปที่ 2.7 มีลักษณะใกล้เคียงรูปคลื่นไซน์ และรูปคลื่นเอาต์พุตของอินเวอร์เตอร์เอชบริดจ์แต่ละเซลล์ เป็นลักษณะ ควอเตอร์สมมาตร (Quarter-Symmetries) ทำให้ไม่มีส่วนประกอบของฮาร์มอนิกสแควร์ความถี่ต่ำ และยังสามารถลดค่าของ THD ได้ด้วยการควบคุมการสวิตช์จากการคำนวณแบบนิวเมอริคอล ซึ่งจะอธิบายในบทต่อไป

ซึ่งรูปแบบการควบคุมการสวิตช์และหลักการทำงานของอินเวอร์เตอร์หลายระดับชนิดแค

สเคด สามารถพิจารณาได้จากรูปที่ 2.8

เอกสารนี้เป็นเอกสารที่จัดทำขึ้นเพื่อการศึกษาเท่านั้น ไม่อนุญาตให้นำไปใช้ประโยชน์ด้านการค้า

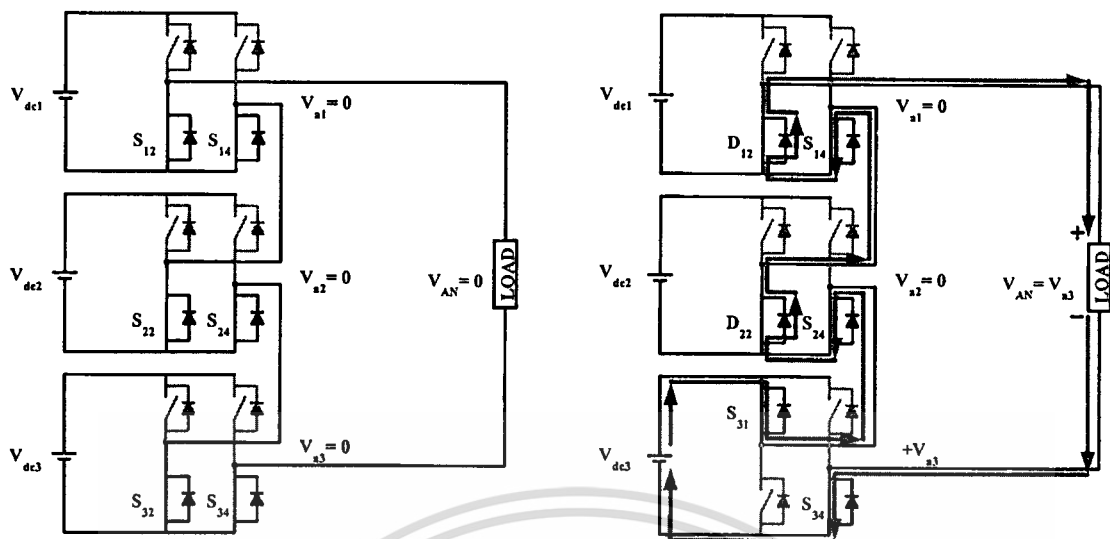
ไม่ว่ากรณีใดๆทั้งสิ้น อีกทั้งห้ามมิให้ดัดแปลงเนื้อหา และต้องอ้างอิงถึงเจ้าของเอกสารทุกครั้งที่มีการนำไปใช้



รูปที่ 2.8 รูปแบบการสวิตช์ของอินเวอร์เตอร์เฟสระดับชนิดแคสเคด

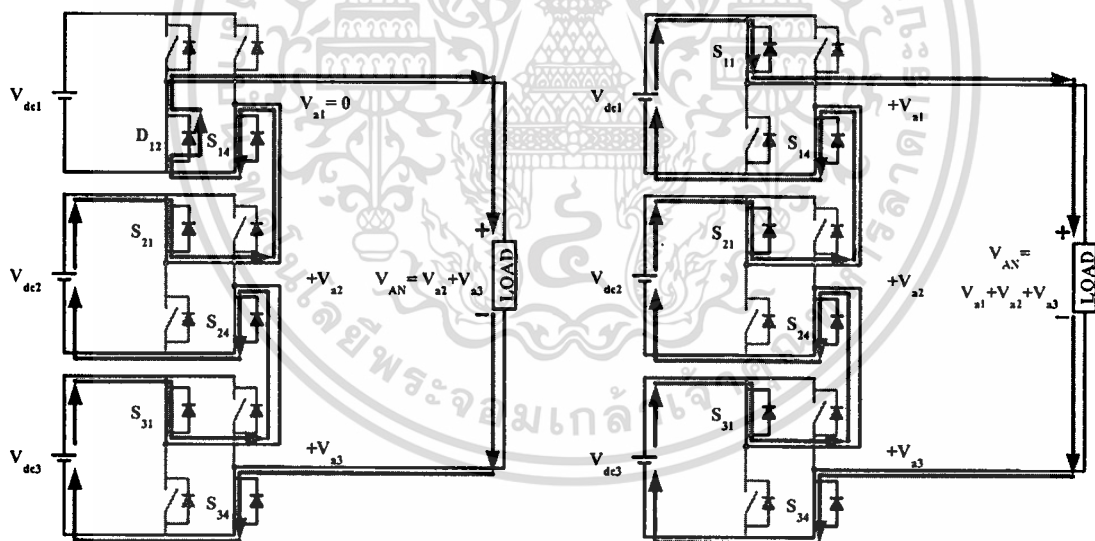
จากรูปที่ 2.8 สามารถแบ่งโหมดการทำงานของอินเวอร์เตอร์เฟสระดับชนิดแคสเคดได้เป็น 6 โหมดการทำงานด้วยกัน และสามารถอธิบายการทำงานของสวิตช์ได้ดังนี้

เอกสารนี้เป็นเอกสารที่สงวนไว้สำหรับการใช้งานเพื่อการศึกษาเท่านั้น ไม่อนุญาตให้นำไปใช้ประโยชน์ด้านการค้า ไม่ว่าจะกรณีใดๆทั้งสิ้น อีกทั้งห้ามมิให้ตัดแปลงเนื้อหา และต้องอ้างอิงถึงเจ้าของเอกสารทุกครั้งที่มีการนำไปใช้



(ก) โหมด 0

(ข) โหมด 1

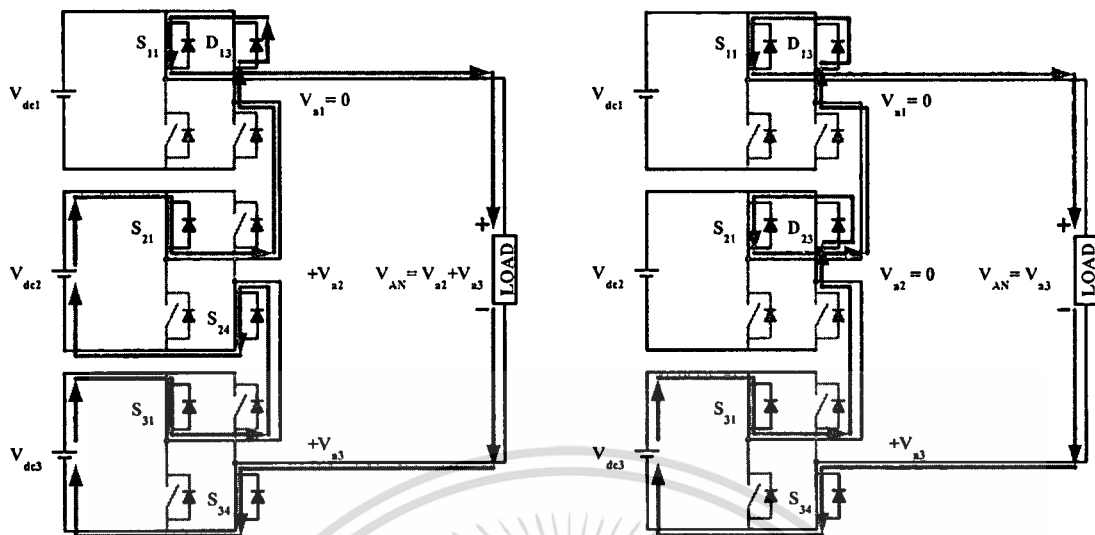


(ค) โหมด 2

(ง) โหมด 3

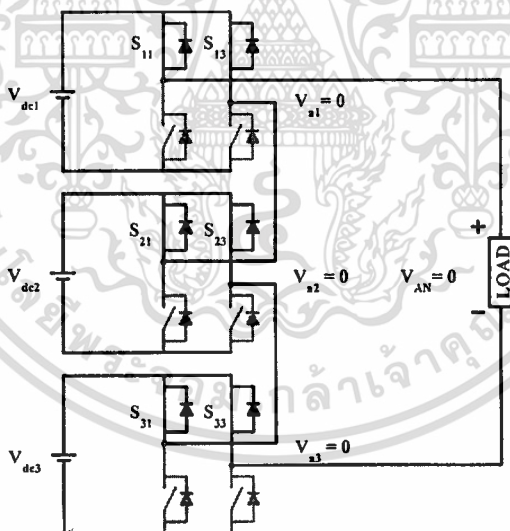
รูปที่ 2.9 โหมดการทำงานของอินเวอร์เตอร์เจ็ดระดับชนิดแคสเคด

เอกสารนี้เป็นเอกสารที่สงวนไว้สำหรับการใช้งานเพื่อการศึกษาเท่านั้น ไม่อนุญาตให้นำไปใช้ประโยชน์ด้านการค้า  
ไม่ว่ากรณีใดๆทั้งสิ้น อีกทั้งห้ามมิให้ดัดแปลงเนื้อหา และต้องอ้างอิงถึงเจ้าของเอกสารทุกครั้งที่มีการนำไปใช้



(จ) โหมด 4

(ข) โหมด 5



(ข) โหมด 6

รูปที่ 2.9 (ต่อ)

เอกสารนี้เป็นเอกสารที่สงวนไว้สำหรับการใช้งานเพื่อการศึกษาเท่านั้น ไม่อนุญาตให้นำไปใช้ประโยชน์ด้านการค้า  
ไม่ว่ากรณีใดๆทั้งสิ้น อีกทั้งห้ามมิให้ดัดแปลงเนื้อหา และต้องอ้างอิงถึงเจ้าของเอกสารทุกครั้งที่มีการนำไปใช้

**Mode 0 ( $t_0-t_1$ )** : ที่เวลา  $t_0$  สวิตช์  $S_{12}$  ,  $S_{14}$  ,  $S_{22}$  ,  $S_{24}$  ,  $S_{32}$  และ  $S_{34}$  ของอินเวอร์เตอร์ นำกระแส ทำให้ไม่เกิดการไหลของกระแสที่โหลด แรงดันที่ตกคร่อมโหลดจึงเท่ากับศูนย์  $V_{AN} = 0$  การทำงานของโหมคนี้อจะสิ้นสุดที่เวลา  $t_1$

**Mode 1 ( $t_1-t_2$ )** : ที่เวลา  $t_1$  จะมีสวิตช์  $S_{12}$  ,  $S_{14}$  ,  $S_{22}$  ,  $S_{24}$  ,  $S_{31}$  และ  $S_{34}$  นำกระแส ทำให้กระแสไหลจาก  $V_{dc3}$  ผ่านสวิตช์  $S_{31}$  ,  $S_{24}$  , ไดโอดของสวิตช์  $S_{22}$  ,  $S_{14}$  , ไดโอดของสวิตช์  $S_{12}$  เข้า โหลดผ่านสวิตช์  $S_{34}$  กลับไปยัง  $V_{dc3}$  สร้างแรงดันตกคร่อมโหลดเท่ากับ  $V_{AN} = +V_{a3}$  การทำงานของโหมคนี้อจะสิ้นสุดที่เวลา  $t_2$

**Mode 2 ( $t_2-t_3$ )** : ที่เวลา  $t_2$  จะมีสวิตช์  $S_{12}$  ,  $S_{14}$  ,  $S_{21}$  ,  $S_{24}$  ,  $S_{31}$  และ  $S_{34}$  นำกระแส ทำให้กระแสไหลจาก  $V_{dc3}$  ผ่านสวิตช์  $S_{31}$  ,  $S_{24}$  , เข้าขั้วลบของ  $V_{dc2}$  ,  $S_{21}$  ,  $S_{14}$  , ไดโอดของสวิตช์  $S_{12}$  เข้า โหลดผ่านสวิตช์  $S_{34}$  กลับไปยัง  $V_{dc3}$  สร้างแรงดันตกคร่อมโหลดเท่ากับ  $V_{AN} = V_{a2} + V_{a3}$  การทำงานของโหมคนี้อจะสิ้นสุดที่เวลา  $t_3$

**Mode 3 ( $t_3-t_4$ )** : ที่เวลา  $t_3$  จะมีสวิตช์  $S_{11}$  ,  $S_{14}$  ,  $S_{21}$  ,  $S_{24}$  ,  $S_{31}$  และ  $S_{34}$  นำกระแส ทำให้กระแสไหลจาก  $V_{dc3}$  ผ่านสวิตช์  $S_{31}$  ,  $S_{24}$  , เข้าขั้วลบของ  $V_2$  ,  $S_{21}$  ,  $S_{14}$  , เข้าขั้วลบของ  $V_1$  ,  $S_{11}$  , เข้า โหลดผ่านสวิตช์  $S_{34}$  กลับไปยัง  $V_{dc3}$  สร้างแรงดันตกคร่อมโหลดเท่ากับ  $V_{AN} = V_{a1} + V_{a2} + V_{a3}$  การทำงานของโหมคนี้อจะสิ้นสุดที่เวลา  $t_4$

**Mode 4 ( $t_4-t_5$ )** : ที่เวลา  $t_4$  จะมีสวิตช์  $S_{11}$  ,  $S_{13}$  ,  $S_{21}$  ,  $S_{24}$  ,  $S_{31}$  และ  $S_{34}$  นำกระแส ทำให้กระแสไหลจาก  $V_{dc3}$  ผ่านสวิตช์  $S_{31}$  ,  $S_{24}$  , เข้าขั้วลบของ  $V_{dc2}$  ,  $S_{21}$  ,  $S_{14}$  , ไดโอดของสวิตช์  $S_{13}$  เข้า โหลดผ่านสวิตช์  $S_{34}$  กลับไปยัง  $V_{dc3}$  สร้างแรงดันตกคร่อมโหลดเท่ากับ  $V_{AN} = V_{a2} + V_{a3}$  การทำงานของโหมคนี้อจะสิ้นสุดที่เวลา  $t_5$

**Mode 5 ( $t_5-t_6$ )** : ที่เวลา  $t_5$  จะมีสวิตช์  $S_{11}$  ,  $S_{13}$  ,  $S_{22}$  ,  $S_{23}$  ,  $S_{31}$  และ  $S_{34}$  นำกระแส ทำให้กระแสไหลจาก  $V_{dc3}$  ผ่านสวิตช์  $S_{31}$  , ไดโอดของสวิตช์  $S_{23}$  , สวิตช์  $S_{21}$  , ไดโอดของสวิตช์  $S_{13}$  , สวิตช์  $S_{11}$  เข้า โหลดผ่านสวิตช์  $S_{34}$  กลับไปยัง  $V_{dc3}$  สร้างแรงดันตกคร่อมโหลดเท่ากับ  $V_{AN} = +V_{a3}$  การทำงานของโหมคนี้อจะสิ้นสุดที่เวลา  $t_6$

**Mode 6 ( $t_6-t_7$ )** : ที่เวลา  $t_6$  สวิตช์  $S_{11}$  ,  $S_{13}$  ,  $S_{21}$  ,  $S_{23}$  ,  $S_{31}$  และ  $S_{33}$  ของอินเวอร์เตอร์ นำกระแส ทำให้ไม่เกิดการไหลของกระแสที่โหลด แรงดันที่ตกคร่อมโหลดจึงเท่ากับศูนย์  $V_{AN} = 0$  การทำงานของโหมคนี้อจะสิ้นสุดที่เวลา  $t_7$  ที่เวลานี้อจะทำให้แรงดันเฟส  $V_{AN}$  ที่ตกคร่อม โหลดครบครึ่งไซเคิลบวก ส่วนในครึ่งไซเคิลลบ ก็จะมีลักษณะการการทำงานที่คล้ายคลึงกันกับ ครึ่งไซเคิลบวก เพียงแต่ทิศทางของกระแสจะตรงข้ามกัน

จากหลักการข้างต้นสามารถสรุปสภาวะการสวิตช์ในหนึ่งคาบการทำงานของอินเวอร์เตอร์เซกปรดิจในแต่ละเซลล์ได้ดังตารางที่ 2.2

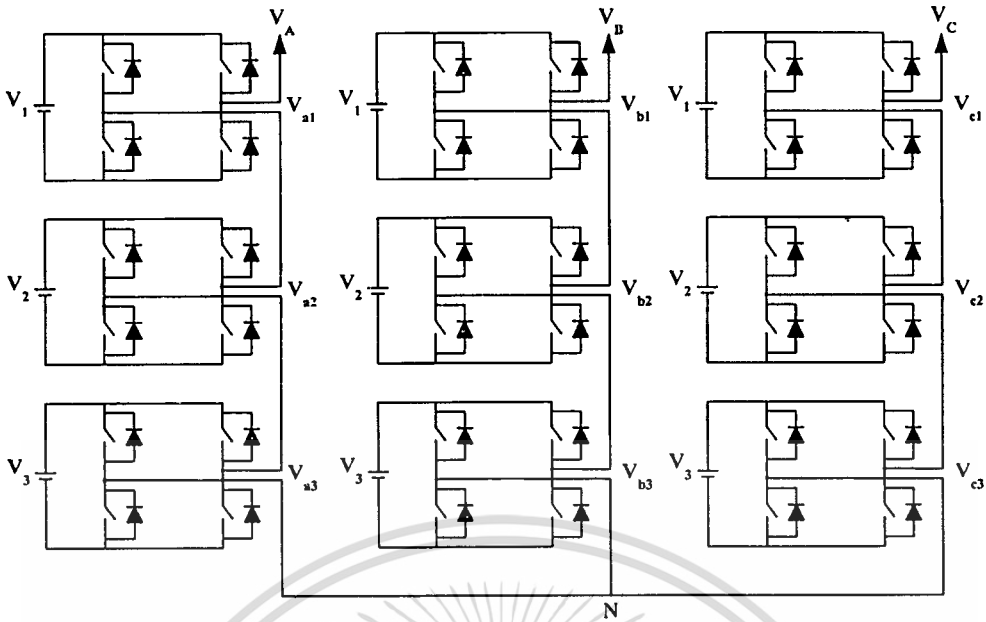
ตารางที่ 2.2 สภาวะการสวิตช์ในหนึ่งคาบการทำงานของอินเวอร์เตอร์เอชบริดจ์ในแต่ละเซลล์

เซลล์ที่ 1				เซลล์ที่ 2				เซลล์ที่ 3				ขนาดแรงดัน เฟสเอาต์พุต
S <sub>11</sub>	S <sub>12</sub>	S <sub>13</sub>	S <sub>14</sub>	S <sub>11</sub>	S <sub>12</sub>	S <sub>13</sub>	S <sub>14</sub>	S <sub>11</sub>	S <sub>12</sub>	S <sub>13</sub>	S <sub>14</sub>	
1	0	0	1	1	0	0	1	1	0	0	1	3V <sub>dc</sub>
0	1	0	1	1	0	0	1	1	0	0	1	2V <sub>dc</sub>
1	0	1	0	1	0	0	1	1	0	0	1	
0	1	0	1	0	1	0	1	1	0	0	1	V <sub>dc</sub>
1	0	1	0	0	1	0	1	1	0	0	1	
1	0	1	0	1	0	1	0	1	0	0	1	
0	1	0	1	1	0	1	0	1	0	0	1	
1	0	1	0	1	0	1	0	1	0	1	0	0
0	1	0	1	1	0	1	0	1	0	1	0	
0	1	0	1	0	1	0	1	1	0	1	0	
0	1	0	1	0	1	0	1	0	1	0	1	
0	1	0	1	1	0	1	0	0	1	0	1	
1	0	1	0	1	0	1	0	0	1	0	1	
0	1	0	1	0	1	0	1	0	1	1	0	-V <sub>dc</sub>
1	0	1	0	0	1	0	1	0	1	1	0	
1	0	1	0	1	0	1	0	0	1	1	0	
0	1	0	1	1	0	1	0	0	1	1	0	
0	1	0	1	0	1	1	0	0	1	1	0	-2V <sub>dc</sub>
1	0	1	0	0	1	1	0	0	1	1	0	
0	1	1	0	0	1	1	0	0	1	1	0	
0	1	1	0	0	1	1	0	0	1	1	0	-3V <sub>dc</sub>

### 2.3.2 โครงสร้างคาสเคดอินเวอร์เตอร์สามเฟส

สำหรับระบบสามเฟสเกิดจากการนำอินเวอร์เตอร์หลายระดับชนิดแคสเคดเฟสเดียว 3 ชุด ต่อกันในลักษณะเดลต้าหรือสตาร์ (วาย Y) ดังแสดงในรูปที่ 2.10 เป็นโครงสร้างอินเวอร์เตอร์เจ็ดระดับชนิดแคสเคดสามเฟส ต่อกันแบบสตาร์ (วาย Y) ซึ่งเกิดจากอินเวอร์เตอร์เจ็ดระดับชนิดแคสเคดเฟสเดียว มาต่อกันในลักษณะสตาร์

เอกสารนี้เป็นเอกสารที่สงวนไว้สำหรับการใช้งานเพื่อการศึกษาเท่านั้น ไม่อนุญาตให้นำไปใช้ประโยชน์ด้านการค้า ไม่ว่าจะกรณีใดๆทั้งสิ้น อีกทั้งห้ามมิให้คัดแปลงเนื้อหา และต้องอ้างอิงถึงเจ้าของเอกสารทุกครั้งที่มีการนำไปใช้



รูปที่ 2.10 อินเวอร์เตอร์เจ็ดระดับชนิดแคสเคด

จากรูปที่ 2.16 คือแรงดันของเฟส A เกิดจากผลรวมของแรงดัน  $V_{a1}$ ,  $V_{a2}$  และ  $V_{a3}$  เป็นเช่นเดียวกันในเฟส B และเฟส C เพียงแต่จะมิ่งเสาทางไฟฟ้าต่างกันคือ 0, 120 และ 240 ในเฟส A, เฟส B และเฟส C ตามลำดับ ตามทฤษฎีของระบบสามเฟส พบว่าแรงดันไลน์อธิบายได้ด้วยสองแรงดันเฟส ยกตัวอย่างเช่น ความต่างศักย์ระหว่างเฟส A และเฟส B คือแรงดันไลน์  $V_{AB}$  สามารถเขียนสมการได้เป็น

$$V_{AB} = V_{AN} - V_{BN} \tag{2.3}$$

โดยที่  $V_{AB}$  คือ แรงดันไลน์

$V_{AN}$  คือ แรงดันเฟส A เทียบกับจุด N

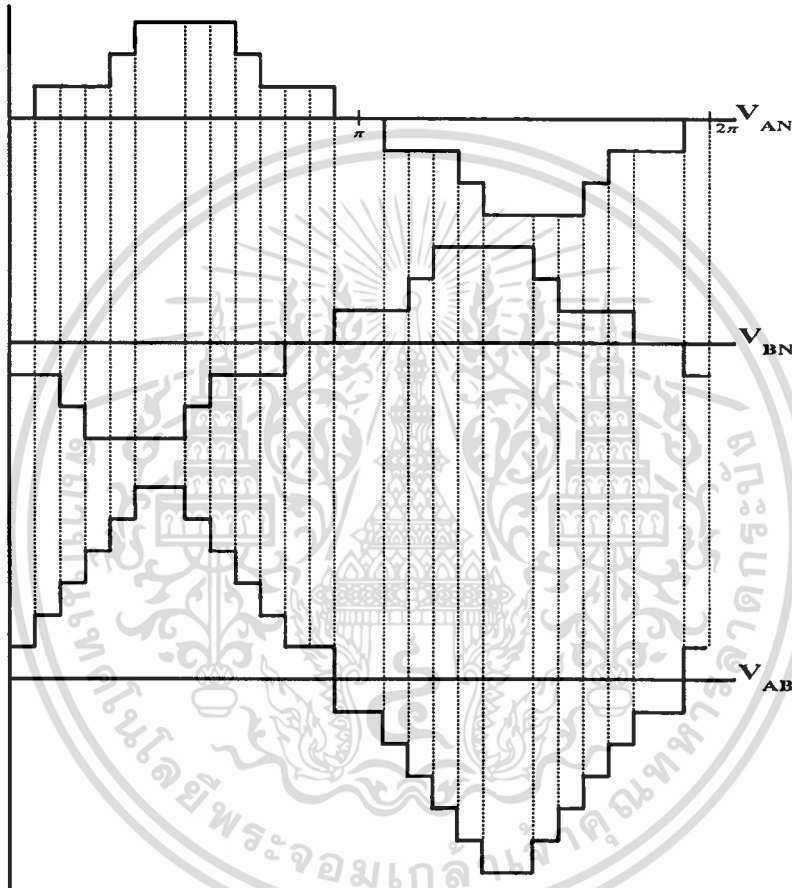
$V_{BN}$  คือ แรงดันเฟส B เทียบกับจุด N

ในระบบสามเฟส จำนวนระดับขั้นที่มากที่สุดของแรงดันไลน์หาได้จาก  $2m - 1$  โดยที่  $m$  คือ จำนวนระดับขั้นของแรงดันเฟส ซึ่งจำนวนระดับขั้นของแรงดันไลน์นั้นจะขึ้นอยู่กับ ดัชนีมอดูเลชันและความถี่ของฮาร์มอนิกส์ที่ถูกกำจัด เช่น ถ้าใช้อินเวอร์เตอร์เจ็ดระดับชนิดแคสเคด ก็จะได้แรงดันไลน์ 13 ระดับ ข้อดีของระบบสามเฟสก็คือ สามารถที่จะกำจัดฮาร์มอนิกส์เลขคี่ ที่เป็นผลคูณของเลขสาม (Triples Harmonic) ในแรงดันไลน์ ของแต่ละเฟสจะมีขนาดและเฟสตรงกันทุกประการดังนั้นในแรงดันไลน์จะหักล้างกันหมด ซึ่งลักษณะเช่นนี้เกิดกับฮาร์มอนิกส์ที่เป็นผลคูณ

ของเลข 3 ด้วย เช่น 6, 9, 12 เป็นต้น ดังนั้นจึงมีเพียงฮาร์มอนิกส์ที่ไม่เป็นผลคูณของเลข 3 ที่ไม่ว่ากรณีใดๆทั้งสิ้น อีกทั้งห้ามมิให้ตัดแปลงเนื้อหา และต้องอ้างอิงถึงเจ้าของเอกสารทุกครั้งที่มีการนำไปใช้

ต้องการกำจัดออกจากแรงดันเฟส เปรียบเทียบให้เห็นชัดเจนดังนี้ ถ้าเป็นรูปคลื่น 9 ระดับขั้นเฟส เดียว ฮาร์โมนิกส์ลำดับที่ต้องกำจัดคือ ฮาร์โมนิกส์ที่ 3, 5 และ 7 ส่วนในรูปคลื่น 9 ระดับขั้นสามเฟส ฮาร์โมนิกส์ลำดับที่ต้องกำจัดคือ ฮาร์โมนิกส์ที่ 5, 7 และ 11 ซึ่งเป็นข้อได้เปรียบที่เห็นได้ชัดในระบบสามเฟสนั่นเอง

จากรูปที่ 2.11 แสดงแรงดันเอาต์พุตของเฟส A,  $V_{AN}$  แรงดันเอาต์พุตของเฟส B,  $V_{BN}$  และรูปคลื่นแรงดันไลน์  $V_{AB}$  ของอินเวอร์เตอร์เจ็ดระดับชนิดแคสเคด



รูปที่ 2.11 แรงดันเฟสและแรงดันไลน์ของแคสเคดอินเวอร์เตอร์ 7 ระดับ 3 เฟส

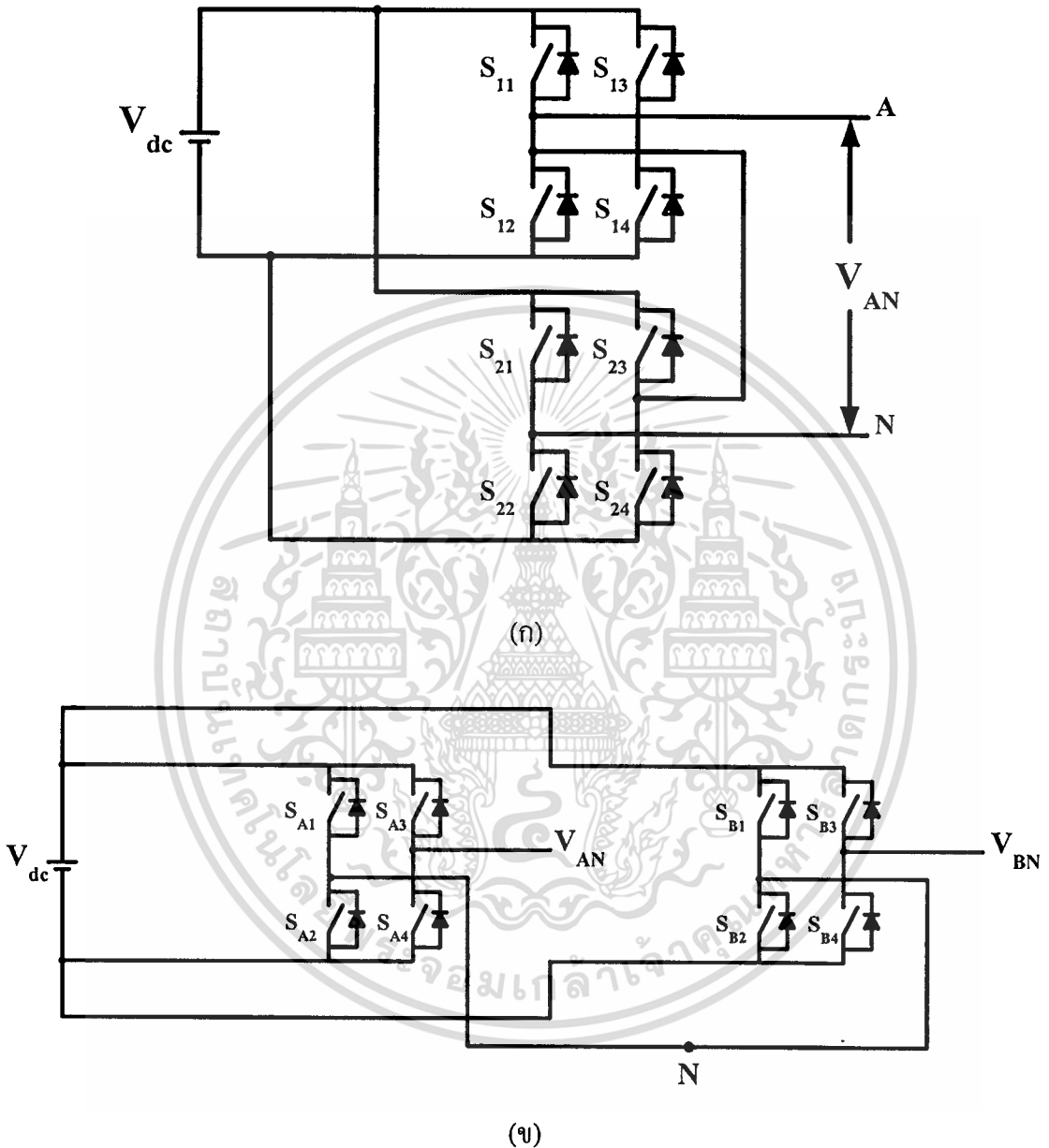
จากรูปที่ 2.11 จะเห็นได้ว่าแรงดันเฟส B ล้าหลังแรงดันเฟส A อยู่ 120 องศา และแรงดันไลน์นำหน้าแรงดันเฟส A อยู่ 30 องศา ซึ่งได้ตรงตามทฤษฎีของระบบไฟฟ้าสามเฟส

### 2.3.3 การแยกแหล่งจ่ายแรงดันไฟฟ้ากระแสตรง (Separated DC Sources SDCSs)

เพื่อหลีกเลี่ยงการลัดวงจรแหล่งจ่ายแรงดันไฟฟ้ากระแสตรง การแยกแหล่งจ่ายแรงดันไฟฟ้ากระแสตรง ถูกนำมาใช้กับอินเวอร์เตอร์หลายระดับชนิดแคสเคด ซึ่งในหัวข้อนี้จะอธิบายว่าเหตุใด อินเวอร์เตอร์ชนิดแคสเคดจึงต้องใช้การแยกแหล่งจ่ายแรงดันไฟฟ้ากระแสตรง

(SDCSs) ในการอธิบายจะแบ่งการต่อแหล่งจ่ายแรงดันไฟฟ้ากระแสตรงเป็น 2 กรณี กรณีแรก ไม่ว่าจะกรณีใดๆทั้งสิ้น อีกทั้งห้ามมิให้ตัดแปลงเนื้อหา และต้องอ้างอิงถึงเจ้าของเอกสารทุกครั้งที่มีการนำไปใช้

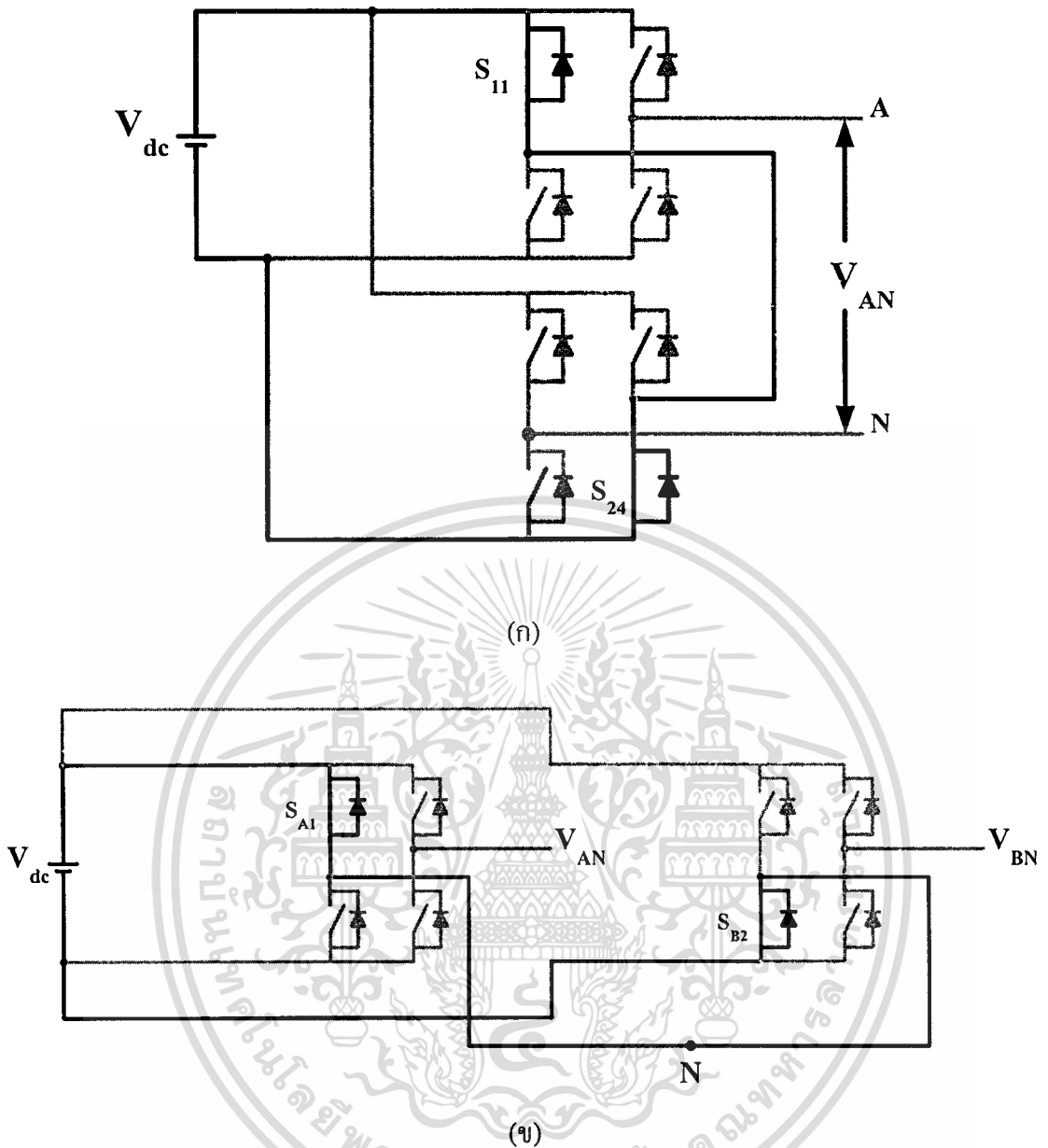
แหล่งจ่ายแรงดันไฟฟ้ากระแสตรงตัวเดียวจ่ายให้กับอินเวอร์เตอร์เอชบริดจ์แต่ละตัวเซลล์ในเฟสเดียวกัน ดังแสดงให้เห็นในรูปที่ 2.12 (ก) ส่วนในกรณีที่สอง แหล่งจ่ายแรงดันไฟฟ้ากระแสตรงตัวเดียวจ่ายให้แต่ละเฟส ดังแสดงในรูปที่ 2.12 (ข)



รูปที่ 2.12 การต่อแหล่งจ่ายแรงดันไฟฟ้ากระแสตรง

ในกรณีแรกเมื่อต่อแหล่งจ่ายแรงดันไฟฟ้ากระแสตรงในรูปที่ 2.12 (ก) จะเกิดการลัดวงจรของแหล่งจ่ายแรงดันไฟฟ้ากระแสตรงขึ้นเมื่อสวิตช์  $S_{11}$  และ  $S_{24}$  ทำงานพร้อมกันดังแสดงให้เห็นในรูปที่ 2.13 (ก) และเมื่อต่อแหล่งจ่ายแรงดันไฟฟ้ากระแสตรงในกรณีที่สอง ที่แสดงในรูป 2.12 (ข) จะเกิดการลัดวงจรขึ้นเมื่อสวิตช์  $S_{A1}$  และ  $S_{B2}$  ทำงาน

เอกสารนี้เป็นเอกสารที่สงวนไว้สำหรับการใช้งานเพื่อการศึกษาเท่านั้น ไม่อนุญาตให้นำไปใช้ประโยชน์ด้านการค้า ไม่ว่าจะกรณีใดๆทั้งสิ้น อีกทั้งห้ามมิให้ดัดแปลงเนื้อหา และต้องอ้างอิงถึงเจ้าของเอกสารทุกครั้งที่มีการนำไปใช้



รูปที่ 2.13 การลัดวงจรของการต่อแหล่งจ่ายไฟฟ้ากระแสตรง

## 2.4 สรุป

ในบทนี้เนื้อหาส่วนใหญ่จะเป็นการกล่าวถึงทฤษฎีพื้นฐานของอินเวอร์เตอร์เอชบริดจ์ หลักการทำงาน ลักษณะของสัญญาณขั้วเกทที่ช่วยลดปัญหา การสะสมความร้อนภายในอุปกรณ์ สวิตช์ ที่เกิดจากช่วงเวลาการนำกระแสที่ไม่เท่ากัน และยังได้กล่าวถึงทฤษฎีพื้นฐานของอินเวอร์เตอร์หลายระดับ หลักการทำงาน และการเลือกการต่อแหล่งจ่ายแรงดันไฟฟ้ากระแสตรงที่ไม่ทำให้เกิดการลัดวงจรของอินเวอร์เตอร์

### บทที่ 3

## เทคนิคการกำจัดฮาร์มอนิกส์ที่เหมาะสมแบบรูปคลื่นขั้นบันได

### 3.1 บทนำ

ในบทนี้จะได้กล่าวถึงการหาค่าของมุมสวิทช์ซึ่งเพื่อนำมาใช้ในการควบคุมอุปกรณ์สวิทช์ในอินเวอร์เตอร์เอชบริดจ์แต่ละเซลล์ โดยจะกล่าวถึงการวิเคราะห์รูปคลื่นด้วยอนุกรมฟูเรียร์, การหาค่าตอบของสมการไม่เชิงเส้นโดยทฤษฎีนิวตัน-ราฟสันเพื่อหาค่าคำตอบของมุมสวิทช์, ตัวอย่างของการหาค่ามุมสวิทช์ของเทคนิคการกำจัดฮาร์มอนิกส์ที่เหมาะสมแบบรูปคลื่นขั้นบันไดโดยทฤษฎีนิวตัน-ราฟสัน, และเทคนิคการหมุนพัลส์ (Pulse rotation)

### 3.2 วิเคราะห์รูปคลื่นด้วยอนุกรมฟูเรียร์ [8]

ในการวิเคราะห์ฮาร์มอนิกส์ในอินเวอร์เตอร์หลายระดับ จะใช้สัญญาณแรงดันเฟสเอาต์พุทของอินเวอร์เตอร์หลายระดับชนิดแคสเคด ในรูปที่ 3.1 เป็นรูปคลื่นหลายระดับจากแคสเคดอินเวอร์เตอร์ ซึ่งสมมุติว่ามีลักษณะเป็น ฟังก์ชันรายคาบแบบ ควอดเตอร์ซิมเมตรี ซึ่งจะมีมุมสวิทช์ในแต่ละระดับขั้นของรูปคลื่นอธิบายความสัมพันธ์ได้ดังนี้

ในควอดเตอร์ที่ 2

$$\alpha_{s+1} = \pi - \alpha_s$$

⋮

$$\alpha_{2s+1} = \pi - \alpha_2$$

$$\alpha_{2s} = \pi - \alpha_1$$

ในควอดเตอร์ที่ 3

$$\alpha_{2s+1} = \pi - \alpha_1$$

⋮

$$\alpha_{3s+1} = \pi - \alpha_{s-1}$$

$$\alpha_{3s} = \pi - \alpha_s$$

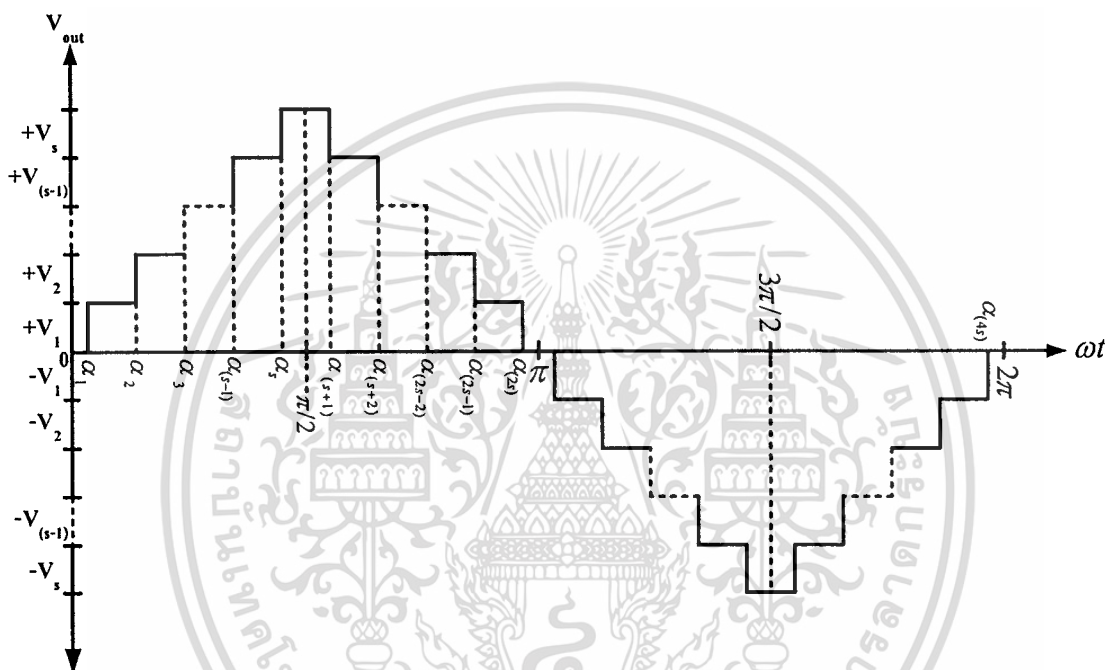
## ในควอเตอร์ที่ 4

$$\alpha_{3s+1} = 2\pi - \alpha_s$$

$$\vdots$$

$$\alpha_{4s+1} = 2\pi - \alpha_2$$

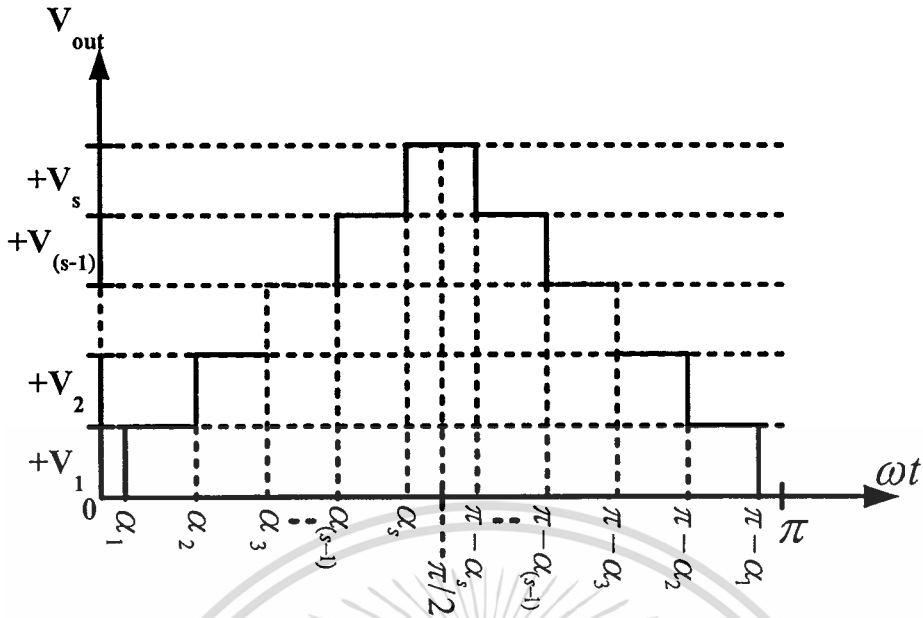
$$\alpha_{4s} = 2\pi - \alpha_1 \quad (3.1)$$



รูปที่ 3.1 รูปคลื่นเอาต์พุตของอินเวอร์เตอร์แคสเคดที่ s เซลล์บริดจ์เซลล์

จากรูปที่ 3.2 แสดงรูปคลื่นครึ่งไซเคิลของรูปราคาบบควอเตอร์สมมาตร ซึ่งจากรูปแรงดันเอาต์พุตที่ระดับศูนย์เริ่มจาก  $\omega t = 0$  ถึง  $\omega t = \alpha_1$  และที่  $\omega t = \alpha_1$  แรงดันเอาต์พุตจะเปลี่ยนจากศูนย์เป็น  $+V_1$  และเปลี่ยน  $+V_1$  เป็น  $+(V_1 + V_2)$  ที่  $\omega t = \alpha_1$  และเป็นลักษณะเช่นนี้จนกระทั่ง  $\omega t = \pi/2$  ระดับของแรงดันเอาต์พุตจะได้  $+V_1 + V_2 \dots + V_{(s-1)} + V_s$  จากนั้นในควอเตอร์ที่ 2 ระดับของแรงดันเอาต์พุตจะลดลงเป็น  $+V_1 + V_2 \dots + V_{(s-1)}$  ที่  $\omega t = \pi - \alpha_s$  และก็จะเป็นลักษณะเช่นนี้จนกระทั่ง  $\omega t = \pi - \alpha_1$  แรงดันเอาต์พุตจะกลับมาเป็นศูนย์อีกครั้ง

ส่วนในครึ่งไซเคิลหลัง (ครึ่งลบ) มีขั้นตอนของรูปคลื่นเช่นเดียวกันแต่แหล่งจ่ายไฟฟ้ากระแสตรงจะเปลี่ยนจากบวกเป็นลบ และเหมือนกันในคาบต่อไป



รูปที่ 3.2 รูปคลื่นหลายระดับที่ s เอชบริดจ์เซลล์

ดังนั้นในรูปที่ 3.3 จะแสดงให้เห็นว่ารูปคลื่นมีคุณลักษณะเป็นฟังก์ชันคี่ จึงทำให้สัมประสิทธิ์ของอนุกรมฟูเรียร์เขียนแทนได้ดังนี้

$$b_n = \frac{4}{\pi} \int_0^{\frac{\pi}{2}} f(\omega t) \sin(n\omega t) d(\omega t) \quad (3.2)$$

เมื่อ n เป็นเลขจำนวนเต็มคี่

$$b_n = 0 \quad (3.3)$$

เมื่อ n เป็นเลขจำนวนเต็มคู่

และ

$$a_n = 0 \quad (3.4)$$

ทุกๆ ค่าของ n

โดยที่

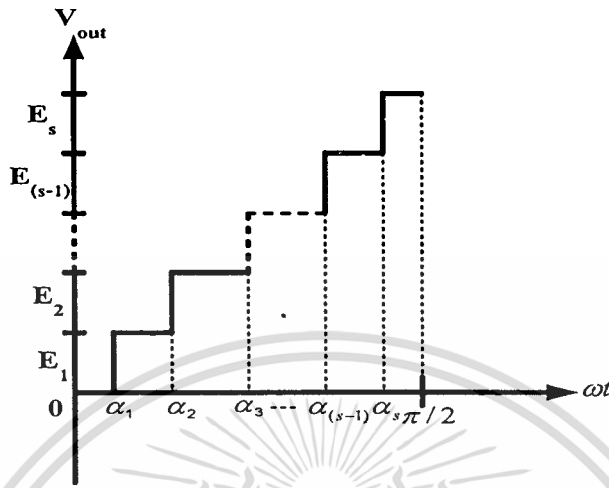
$$f(\omega t) = V_{out}(\omega t) \quad (3.5)$$

ดังนั้นจากสมการที่ 3.2 ถึง 3.4 เขียนเป็นอนุกรมฟูเรียร์ได้ดังนี้

$$f(\omega t) = \sum_{n=1}^{\infty} b_n \sin(n\omega t) \quad (3.6)$$

เอกสารนี้เป็นเอกสารที่มอบให้โดยศูนย์วิจัยเพื่อการพัฒนาการเรียนการสอน การศึกษาเท่านั้น ไม่อนุญาตให้นำไปใช้ประโยชน์ด้านการค้า  
ไม่ว่ากรณีใดๆทั้งสิ้น อีกทั้งห้ามมิให้ดัดแปลงเนื้อหา และต้องอ้างอิงถึงเจ้าของเอกสารทุกครั้งที่มีการนำไปใช้

$$b_n = \frac{4}{\pi} \int_0^{\frac{\pi}{2}} f(\alpha) \sin(n\omega t) d(\alpha) \quad (3.7)$$



รูปที่ 3.3 ควอดเตอร์แรกขงรูปคลื่นในหนึ่งคาบแบบควอดเตอร์สมมาตร

สมการที่ 3.7 และรูปที่ 3.3 เขียนได้เป็น

$$b_n = \frac{4}{\pi} \left[ \int_{\alpha_1}^{\alpha_2} E_1 \sin(n\alpha) d\alpha + \int_{\alpha_2}^{\alpha_3} E_2 \sin(n\alpha) d\alpha + \dots + \int_{\alpha_s}^{\frac{\pi}{2}} E_s \sin(n\alpha) d\alpha \right] \quad (3.8)$$

$$\begin{aligned} \therefore V_1 &= E_1 \\ V_2 &= E_2 \\ &\vdots \\ V_s &= E_s - E_{(s-1)} \end{aligned}$$

ดังนั้น

$$b_n = \frac{4}{n\pi} [V_1 \cos(n\alpha_1) + V_2 \cos(n\alpha_2) + \dots + V_s \cos(n\alpha_s)] \quad (3.9)$$

และ  $V_1 = V_2 = \dots = V_s = E$

เพราะฉะนั้น

เอกสารนี้เป็นเอกสารที่สงวนไว้สำหรับการใช้งานเพื่อการศึกษาเท่านั้น ไม่อนุญาตให้นำไปใช้ประโยชน์ด้านการค้า ไม่ว่าจะกรณีใดๆทั้งสิ้น อีกทั้งห้ามมิให้ดัดแปลงเนื้อหา และต้องอ้างอิงถึงเจ้าของเอกสารทุกครั้งที่มีการนำไปใช้

$$b_n = \frac{4E}{n\pi} [\cos(n\alpha_1) + \cos(n\alpha_2) + \dots + \cos(n\alpha_s)] \quad (3.10)$$

หรือ

$$b_n = \frac{4E}{n\pi} \sum_{k=1}^s \cos(n\alpha_k) \quad (3.11)$$

สุดท้ายอนุกรมฟูเรียร์ของรูปคลื่นหลายระดับที่  $s$  เชนบริดจ์เซลล์เขียนได้ดังนี้

$$v_{out}(\omega t) = \sum_{n=1}^{\infty} \left[ \frac{4E}{n\pi} \sum_{k=1}^s \cos(n\alpha_k) \right] \sin(n\omega t) \quad (3.12)$$

$\alpha_k$  คือ มุมสวิทซ์ซึ่งจะต้องเป็นไปตามเงื่อนไขของ

$$\alpha_1 < \alpha_2 < \dots < \alpha_s < \frac{\pi}{2}$$

$E$  คือ ขนาดของแรงดันไฟตรงของอินเวอร์เตอร์เชนบริดจ์แต่ละตัว

$n$  คือ อันดับฮาร์มอนิกส์เลขที่

$s$  คือ จำนวนแหล่งจ่ายแรงดันไฟฟ้ากระแสตรงของอินเวอร์เตอร์เชนบริดจ์แต่ละเซลล์ต่อเฟส

### 3.3 การวิเคราะห์หามุมสวิทซ์เพื่อกำจัดฮาร์มอนิกส์

ในหัวข้อนี้จะกล่าวถึงการหาค่ามุมสวิทซ์ เพื่อกำจัดฮาร์มอนิกส์ลำดับต่ำที่ต้องการซึ่งจากสมการที่ 3.11 และ 3.12 ส่วนประกอบของฮาร์มอนิกส์จากรูปคลื่นสามารถสรุปได้ดังนี้

1. ขนาดของส่วนประกอบไฟฟ้ากระแสตรงเท่ากับศูนย์ (DC Component)
2. ขนาดของความถี่มูลฐาน,  $n = 1$  และขนาดของฮาร์มอนิกส์ที่  $n$  เลขคี่ได้เป็น

$$h_1 = \frac{4E}{\pi} \sum_{k=1}^s \cos(\alpha_k) \quad \text{และ} \quad h_n = \frac{4E}{n\pi} \sum_{k=1}^s \cos(n\alpha_k) \quad (3.13)$$

โดยที่  $s$  คือ จำนวนแหล่งจ่ายแรงดันไฟฟ้ากระแสตรงของอินเวอร์เตอร์เชนบริดจ์แต่ละเซลล์ต่อเฟส

$E$  คือ ขนาดของแรงดันไฟตรงของอินเวอร์เตอร์เชนบริดจ์แต่ละตัว

$\alpha_k$  คือ มุมสวิทซ์ซึ่ง

$n$  คือ อันดับฮาร์มอนิกส์เลขที่

### 3. ขนาดของฮาร์มอนิกส์ที่ $n$ เป็นจำนวนเต็มคู่ เท่ากับศูนย์

เอกสารนี้เป็นเอกสารที่สงวนไว้สำหรับการใช้งานเพื่อการศึกษาเท่านั้น ไม่อนุญาตให้นำไปใช้ประโยชน์ด้านการค้า

ไม่ว่ากรณีใดๆทั้งสิ้น อีกทั้งห้ามมิให้ดัดแปลงเนื้อหา และต้องอ้างอิงถึงเจ้าของเอกสารทุกครั้งที่มีการนำไปใช้

ดังนั้นจึงมีเฉพาะฮาร์โมนิกส์เลขคี่เท่านั้นที่จะต้องกำจัดออกจากรูปคลื่นหลายระดับ ซึ่ง มุมสวิทช์ของรูปคลื่นจะถูกปรับทำให้ค่าเปอร์เซ็นต์ THD (Total Harmonics Distortion) ของ แรงดันเอาต์พุตลดลง

จากรูปคลื่นที่แสดงในรูปที่ 3.1 มุมสวิทช์  $\alpha_1, \alpha_2, \dots$ , และ  $\alpha_s$  คือค่าที่ต้องการหาคำตอบ โดยการแก้สมการจำนวน  $s$  สมการ ซึ่งได้มาจากสมการที่ 3.13 สมการที่ได้เหล่านี้จะเป็น สมการไม่เชิงเส้น (Nonlinear equation) และสมการมีคำตอบได้หลายค่า ในทางปฏิบัติจะสามารถ หาค่าของคำตอบโดยวิธีนิวเมอริกอล ซึ่งวิธีของนิวตัน- ราวสัน ก็เป็นอีกวิธีหนึ่งในการหาค่า คำตอบของสมการ ซึ่งในวิทยานิพนธ์ฉบับนี้จะนำวิธีการของนิวตัน- ราวสัน มาใช้หาคำตอบใน ระบบสมการไม่เชิงเส้นนี้

### 3.3.1 ทฤษฎีนิวตัน-ราวสัน

วิธีนิวตัน-ราวสัน เป็นวิธีการคำนวณรากของสมการด้วยวิธีการประมาณค่า ซึ่งเหมาะ สำหรับที่จะสร้างโปรแกรมจากคอมพิวเตอร์ เพื่อหาคำตอบ

สมการไม่เชิงเส้นที่มีตัวแปรจำนวน  $s$  ตัว สามารถเขียนได้ดังนี้

$$f_1(\alpha_1, \alpha_2, \dots, \alpha_s) = k_1$$

$$f_2(\alpha_1, \alpha_2, \dots, \alpha_s) = k_2$$

⋮

$$f_s(\alpha_1, \alpha_2, \dots, \alpha_s) = k_s$$

(3.14)

สมการที่ 3.14 สามารถเขียนให้อยู่ในรูปของเวกเตอร์ได้ดังนี้

$$F(\alpha) = K$$

(3.15)

โดยที่

$$F = [f_1, f_2, \dots, f_s]^T$$

$$\alpha = [\alpha_1, \alpha_2, \dots, \alpha_s]^T$$

$$K = [k_1, k_2, \dots, k_s]^T$$

และ  $F, \alpha, K$  คือ  $s \times 1$  เมตริกซ์

เอกสารนี้เป็นเอกสารที่สงวนไว้สำหรับการใช้งานเพื่อการศึกษาเท่านั้น ไม่อนุญาตให้นำไปใช้ประโยชน์ด้านการค้า ไม่ว่ากรณีใดๆทั้งสิ้น อีกทั้งห้ามมิให้ดัดแปลงเนื้อหา และต้องอ้างอิงถึงเจ้าของเอกสารทุกครั้งที่มีการนำไปใช้

ระบบสมการไม่เชิงเส้น (Non-Linear) สามารถหาคำตอบได้ โดยใช้เทคนิค ลินีयरไรเซชัน (Linearization) นั่นคือการทำสมการไม่เชิงเส้นให้เป็นสมการเชิงเส้น ด้วยการแทนค่าโดยประมาณ ผลลัพธ์ โดยมีขั้นตอนการคำนวณดังนี้

1) ประมาณค่าเริ่มต้นของ  $\alpha$  เมื่อ  $j = 0$

$$\alpha^j = [\alpha_1^j, \alpha_2^j, \dots, \alpha_s^j]^T \quad (3.16)$$

2) คำนวณหาค่าของ

$$F(\alpha^j) = F^j \quad (3.17)$$

3) ทำสมการที่ 3.15 เป็นสมการเชิงเส้นโดยแทนค่าด้วย  $\alpha^j$

$$F^j + \left[ \frac{\partial f}{\partial \alpha} \right]^j d\alpha^j = K \quad (3.18)$$

โดยที่

$$\left[ \frac{\partial f}{\partial \alpha} \right]^j = \begin{bmatrix} \frac{\partial f_1}{\partial \alpha_1} & \frac{\partial f_1}{\partial \alpha_2} & \dots & \frac{\partial f_1}{\partial \alpha_s} \\ \frac{\partial f_2}{\partial \alpha_1} & \frac{\partial f_2}{\partial \alpha_2} & \dots & \frac{\partial f_2}{\partial \alpha_s} \\ \vdots & \vdots & \ddots & \vdots \\ \frac{\partial f_s}{\partial \alpha_1} & \frac{\partial f_s}{\partial \alpha_2} & \dots & \frac{\partial f_s}{\partial \alpha_s} \end{bmatrix}$$

และ

$$d\alpha^j = [d\alpha_1^j \quad d\alpha_2^j \quad \dots \quad d\alpha_s^j]^T$$

4) คำนวณค่าของ  $d\alpha^j$  จากสมการที่ 3.18

$$d\alpha^j = INV \left[ \frac{\partial f}{\partial \alpha} \right]^j (K - F^j) \quad (3.19)$$

เอกสารนี้เป็นเอกสารที่สงวนไว้สำหรับการใช้งานเพื่อการศึกษาเท่านั้น ไม่อนุญาตให้นำไปใช้ประโยชน์ด้านการค้า ไม่ว่าจะกรณีใดๆทั้งสิ้น อีกทั้งห้ามมิให้ตัดแปลงเนื้อหา และต้องอ้างอิงถึงเจ้าของเอกสารทุกครั้งที่มีการนำไปใช้

ที่  $INV\left[\frac{\partial f}{\partial \alpha}\right]^j$  เป็นอินเวอร์สของเมตริกซ์  $\left[\frac{\partial f}{\partial \alpha}\right]^j$

5) ประมาณค่าเริ่มต้นใหม่โดยให้

$$\alpha^{j+1} = \alpha^j + d\alpha^j \quad (3.20)$$

6) ทำซ้ำตั้งแต่ขั้นตอนที่ 2 ถึง 5 ใหม่จนกระทั่งได้ค่าละเอียดตามต้องการ

### 3.3.2 การหาคำตอบของสมการไม่เชิงเส้นโดยทฤษฎีนิวตัน-ราฟสัน

ขนาดของฮาร์มอนิกส์ที่ความถี่เลขคี่ ของรูปคลื่นหลายระดับ เขียนอีกครั้งได้เป็น

$$h_n = \frac{4E}{n\pi} \sum_{k=1}^s \cos(n\alpha_k), \quad n = 3, 5, 7, \dots \quad (3.21)$$

ดังนั้น กลุ่มของสมการไม่เชิงเส้นตามสมการที่ 3.24 สามารถเขียนได้ดัง

1. สมการไม่เชิงเส้นของความถี่มูลฐาน

$$\frac{4E}{\pi} [\cos(\alpha_1) + \cos(\alpha_2) + \dots + \cos(\alpha_s)] = h_1 \quad (3.22)$$

2. สมการไม่เชิงเส้นของฮาร์มอนิกส์เลขคี่

$$\frac{4E}{3\pi} [\cos(3\alpha_1) + \cos(3\alpha_2) + \dots + \cos(3\alpha_s)] = h_3 \quad (3.23)$$

$$\frac{4E}{5\pi} [\cos(5\alpha_1) + \cos(5\alpha_2) + \dots + \cos(5\alpha_s)] = h_5 \quad (3.24)$$

⋮

$$\frac{4E}{n\pi} [\cos(n\alpha_1) + \cos(n\alpha_2) + \dots + \cos(n\alpha_s)] = h_n \quad (3.25)$$

สำหรับรูปคลื่นเอาท์พุทของวงจรอินเวอร์เตอร์เอชบริดจ์ s เซลล์ มีมุมสวิทช์ที่ต้องการทราบค่าอยู่ s มุม คือ  $\alpha_1, \alpha_2, \dots, \alpha_s$  ซึ่งจะจัดให้อยู่ในรูปสมการ s สมการ เพื่อหาคำตอบของมุมสวิทช์ แต่มีเงื่อนไขว่า มุมสวิทช์ทั้งหมดต้องมีค่าน้อยกว่า  $\frac{\pi}{2}$

เอกสารนี้เป็นเอกสารที่สงวนไว้สำหรับการใช้งานเพื่อการศึกษาเท่านั้น ไม่อนุญาตให้นำไปใช้ประโยชน์ด้านการค้า ไม่ว่ากรณีใดๆทั้งสิ้น อีกทั้งห้ามมิให้ดัดแปลงเนื้อหา และต้องอ้างอิงถึงเจ้าของเอกสารทุกครั้งที่มีการนำไปใช้

จากสมการที่ 3.22 คือสมการไม่เชิงเส้นของความถี่มูลฐานของรูปคลื่นแรงดันเอาต์พุต ส่วนสมการที่ 3.23, 3.24, 3.25 คือสมการไม่เชิงเส้นของฮาร์โมนิกส์ลำดับที่ 3 ลำดับที่ 5 และลำดับที่  $n$  เลขคี่ของแรงดันเอาต์พุตตามลำดับ และทางด้านขวามือของสมการคือขนาดของฮาร์โมนิกส์ต่างๆ ซึ่งสามารถควบคุมได้

การควบคุมขนาดของความถี่มูลฐาน พิจารณาให้อยู่ในรูปของดัชนีมอดูเลชัน ได้ดังสมการ

$$M = \frac{h_1}{sE} \quad (3.26)$$

$h_1$  คือ ขนาดของค่าความถี่มูลฐาน

$s$  คือ จำนวนแหล่งจ่ายไฟฟ้าดีซีของอินเวอร์เตอร์เอชบริดจ์แคเซลล์ต่อเฟส

จากสมการที่ 3.22 และ 3.26 เขียนได้ใหม่เป็น

$$\cos(\alpha_1) + \cos(\alpha_2) + \dots + \cos(\alpha_s) = \frac{sM\pi}{4} \quad (3.27)$$

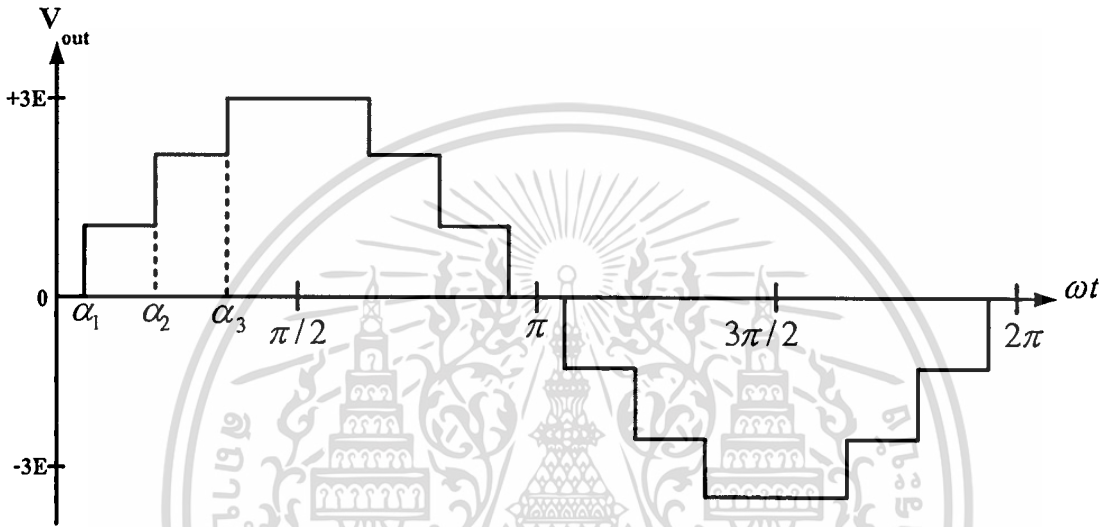
สมการที่ 3.27 เมื่อเปลี่ยนแปลงค่าของดัชนีมอดูเลชันถือเป็นการควบคุมขนาดของความถี่มูลฐาน ส่วนสมการที่เหลือ เป็นสมการขององค์ประกอบฮาร์โมนิกส์ที่ไม่ต้องการ ซึ่งจะกำหนดให้มีค่าเป็นศูนย์

ตารางที่ 3.1 จำนวนฮาร์โมนิกส์ที่ถูกกำจัดทั้งในระบบเฟสเดียวและระบบสามเฟส

	ระบบเฟสเดียว	ระบบสามเฟส
จำนวนแหล่งจ่ายแรงดันไฟฟ้ากระแสตรง	$s$	$s$ (ต่อเฟส)
จำนวนระดับของแรงดันเอาต์พุต	$2s+1$ ระดับแรงดันเฟส	$4s + 1$ ระดับแรงดันไลน์
จำนวนฮาร์โมนิกส์ที่กำจัดออกได้จากแรงดันเฟส	ฮาร์โมนิกส์ที่ $s - 1$ ลำดับ	ฮาร์โมนิกส์ที่เป็นผลคูณของเลข $3s - 1$ ลำดับ

ดังนั้นในระบบอินเวอร์เตอร์หลายระดับเฟสเดียว จำนวนลำดับฮาร์โมนิกส์ที่ถูกกำจัดออกสูงสุดคือ  $s - 1$  ลำดับ ส่วนในระบบอินเวอร์เตอร์หลายระดับสามเฟส จำนวนลำดับฮาร์โมนิกส์ที่เป็นผลคูณของเลข 3 ที่ถูกกำจัดออกสูงสุดคือ  $s - 1$  ลำดับ ดังแสดงในตารางที่ 3.1

เพื่อให้เข้าใจวิธีการของ นิวตัน-ราฟสัน มากยิ่งขึ้น จึงยกตัวอย่างรูปคลื่นของคาสเคดอินเวอร์เตอร์ 7 ระดับ ที่แสดงในรูปที่ 3.4 กำหนดให้เป็นระบบเฟสเดียว มีค่าดัชนีมอดูเลชันเท่ากับ 1 มุมสวิทช์ที่ต้องการทราบค่าคือ  $\alpha_1, \alpha_2$  และ  $\alpha_3$



รูปที่ 3.4 รูปคลื่นแรงดันเอาต์พุตของอินเวอร์เตอร์เจ็ดระดับ

เพื่อควบคุมขนาดของความถี่มูลฐานและกำจัดฮาร์โมนิกส์ สามารถกำหนดสมการได้ดังนี้

$$\cos(\alpha_1) + \cos(\alpha_2) + \cos(\alpha_3) = \frac{3\pi}{4} \quad (3.28a)$$

$$\cos(5\alpha_1) + \cos(5\alpha_2) + \cos(5\alpha_3) = 0 \quad (3.28b)$$

$$\cos(7\alpha_1) + \cos(7\alpha_2) + \cos(7\alpha_3) = 0 \quad (3.28c)$$

เมื่อหาค่ามุมสวิทช์ของสมการไม่เชิงเส้นจากสมการที่ 3.28a ถึง 3.28c ด้วยวิธีของนิวตัน-ราฟสัน จึงต้องจัดสมการให้อยู่ในรูปของเมตริกซ์ ซึ่งเขียนได้ดังนี้

1) เมตริกซ์ของมุมสวิทช์ซึ่ง

$$\alpha^j = [\alpha_1^j, \alpha_2^j, \alpha_3^j]^T \quad (3.29a)$$

เอกสารนี้เป็นเอกสารที่สงวนไว้สำหรับการใช้งานเพื่อการศึกษาเท่านั้น ไม่อนุญาตให้นำไปใช้ประโยชน์ด้านการค้า ไม่ว่าจะกรณีใดๆทั้งสิ้น อีกทั้งห้ามมิให้ตัดแปลงเนื้อหา และต้องอ้างอิงถึงเจ้าของเอกสารทุกครั้งที่มีการนำไปใช้

2) เมตริกซ์ของระบบไม่เชิงเส้น

$$F^j = \begin{bmatrix} \cos(\alpha_1^j) + \cos(\alpha_2^j) + \cos(\alpha_3^j) \\ \cos(5\alpha_1^j) + \cos(5\alpha_2^j) + \cos(5\alpha_3^j) \\ \cos(7\alpha_1^j) + \cos(7\alpha_2^j) + \cos(7\alpha_3^j) \end{bmatrix} \quad (3.29b)$$

และ

$$\left[ \frac{\partial f}{\partial \alpha} \right]^j = \begin{bmatrix} -\sin(\alpha_1^j) & -\sin(\alpha_2^j) & -\sin(\alpha_3^j) \\ -5\sin(5\alpha_1^j) & -5\sin(5\alpha_2^j) & -5\sin(5\alpha_3^j) \\ -7\sin(7\alpha_1^j) & -7\sin(7\alpha_2^j) & -7\sin(7\alpha_3^j) \end{bmatrix} \quad (3.29c)$$

3) เมตริกซ์ของขนาดฮาร์มอนิกส์

$$T = \begin{bmatrix} \frac{(3)(1)\pi}{4} & 0 & 0 \end{bmatrix}^T \quad (3.29d)$$

ดังนั้นสมการที่ 3.29a ถึง 3.29d เขียนให้อยู่ในรูปของเมตริกซ์ได้เป็น

$$F(\alpha) = T \quad (3.30)$$

โดยใช้เมตริกซ์ที่ 3.29a ถึง 3.29d และวิธีนิวตัน-ราฟสัน แสดงได้ดังนี้

1) กำหนดค่าเริ่มต้นของ  $\alpha$  ที่  $j = 0$

$$\alpha^0 = [\alpha_1^0, \alpha_2^0, \alpha_3^0]^T \quad (3.31)$$

2) คำนวณค่าของ

$$F(\alpha^0) = F^0 \quad (3.32)$$

3) ทำสมการที่ 3.30 เป็นสมการเชิงเส้นโดยแทน  $\alpha^0$

$$F^0 + \left[ \frac{\partial f}{\partial \alpha} \right]^0 d\alpha^0 = T \quad (3.33)$$

เอกสารนี้เป็นเอกสารที่สงวนไว้สำหรับการใช้งานที่การศึกษาเท่านั้น ไม่อนุญาตให้นำไปใช้ประโยชน์ด้านการค้า  
ไม่ว่ากรณีใดๆทั้งสิ้น อีกทั้งห้ามมิให้ตัดแปลงเนื้อหา และต้องอ้างอิงถึงเจ้าของเอกสารทุกครั้งที่มีการนำไปใช้

และ

$$d\alpha^0 = [d\alpha_1^0 \quad d\alpha_2^0 \quad d\alpha_3^0]^T$$

4) หาค่า  $d\alpha^0$  จากสมการที่ 3.33

$$d\alpha^0 = INV \left[ \frac{\partial f}{\partial \alpha} \right]^0 (T - F^0) \quad (3.34)$$

ที่  $INV \left[ \frac{\partial f}{\partial \alpha} \right]^0$  เป็นอินเวอร์สของเมตริกซ์  $\left[ \frac{\partial f}{\partial \alpha} \right]^0$

5) ประมาณค่าเริ่มต้นใหม่ โดยให้

$$\alpha^{j+1} = \alpha^j + d\alpha^j \quad (3.35)$$

6) ทำซ้ำขั้นตอนที่ 2 ถึง 5 จนกระทั่ง  $d\alpha^j$  มีค่าความละเอียดตามต้องการ และคำตอบต้องอยู่ภายใต้เงื่อนไข

$$\alpha_1 < \alpha_2 < \alpha_3 < \frac{\pi}{2} \quad (3.36)$$

ขั้นตอนการคำนวณหาค่าตอบข้างต้น สามารถเขียนโปรแกรมในคอมพิวเตอร์โดยใช้โปรแกรม MATLAB ในการคำนวณ ซึ่งจะคำนวณตามขั้นตอนซ้ำไปเรื่อยๆจนกว่า เมตริกซ์  $df^j$  มีค่าน้อยกว่า 0.0001 ซึ่งจะได้คำตอบคือ

$$\alpha_1 = 11.6817$$

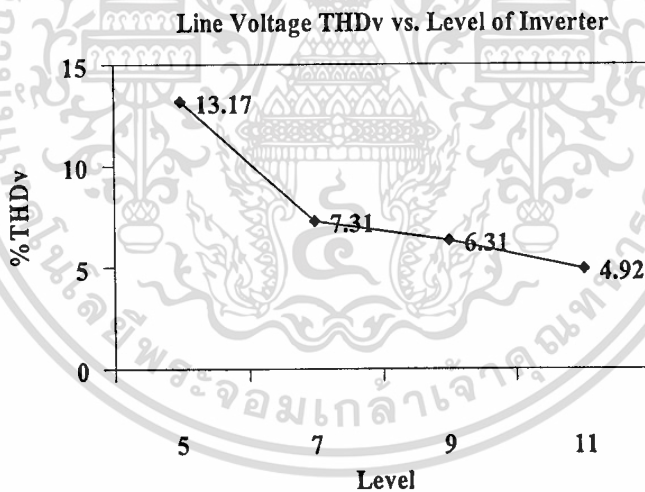
$$\alpha_2 = 31.1783$$

$$\alpha_3 = 58.5774$$

จากขั้นตอนข้างต้นสามารถทำการคำนวณหาค่ามุมสวิทช์ของสวิทช์ในอินเวอร์เตอร์เอชบริคจ์ได้และได้แสดงความสัมพันธ์ระหว่างจำนวนระดับของอินเวอร์เตอร์หลายระดับชนิดแคสเคดเปรียบเทียบกับค่าเปอร์เซ็นต์ THD<sub>v</sub> ของแรงดันไลน์ดังตารางที่ 3.2 ซึ่งค่าในตารางที่ 3.2 นั้นเป็นค่าที่ได้จากเทคนิคการกำจัดฮาร์มอนิกส์ที่เหมาะสมแบบรูปคลื่นขั้นบันไดเท่านั้น ซึ่งหากใช้เทคนิคอื่นๆ ที่ไม่ใช่เทคนิคนี้แล้ว ค่าความสัมพันธ์ดังตารางที่ 3.2 อาจจะแตกต่างกันออกไป

ตารางที่ 3.2 แสดงความสัมพันธ์ระหว่างค่าเปอร์เซ็นต์ THD<sub>v</sub> ของแรงดันไลน์กับจำนวนระดับของอินเวอร์เตอร์ ที่ค่า M=1

จำนวนระดับของอินเวอร์เตอร์	ค่า % THD <sub>v</sub> ของแรงดันไลน์
5	13.17
7	7.31
9	6.31
11	4.92



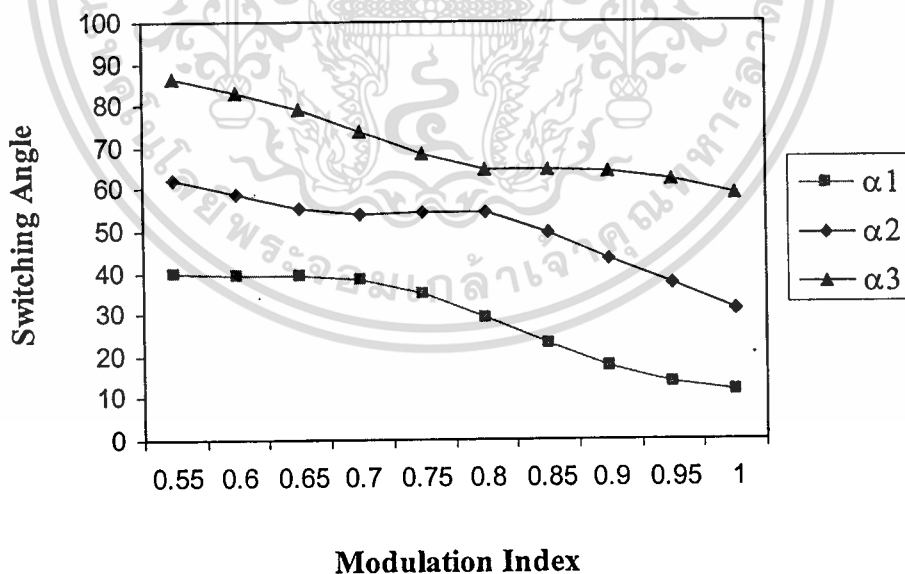
รูปที่ 3.5 กราฟแสดงความสัมพันธ์ระหว่างค่าเปอร์เซ็นต์ THD<sub>v</sub> ของแรงดันไลน์กับจำนวนระดับของอินเวอร์เตอร์

จากตารางที่ 3.2 จะเห็นว่าที่ค่า THD<sub>v</sub> ของอินเวอร์เตอร์ห้าระดับจะเท่ากับ 13.17 % และที่ระดับแรงดันเอาต์พุตเป็นเจ็ดระดับค่า THD<sub>v</sub> ลดลงเป็น 7.31 % และมีแนวโน้มที่จะลดลงเรื่อยๆ เมื่อจำนวนระดับของแรงดันเพิ่มขึ้น ซึ่งจากค่า THD<sub>v</sub> จะลดลงมากที่อินเวอร์เตอร์ห้าระดับเป็นอินเวอร์เตอร์เจ็ดระดับนั้น ส่วนที่อินเวอร์เตอร์เก้าและสิบเอ็ดระดับค่าเปอร์เซ็นต์ของ THD<sub>v</sub> จะเอกสลดลงไม่มากนัก เมื่อเปรียบเทียบกับอินเวอร์เตอร์เจ็ดระดับ ในงานวิจัยนี้จึงได้เลือกทำการศึกษาและไม่ว่ากรณีใดๆทั้งสิ้น อีกทั้งห้ามมิให้ตัดแปลงเนื้อหา และต้องอ้างอิงถึงเจ้าของเอกสารทุกครั้งที่มีการนำไปใช้

วิเคราะห์อินเวอร์เตอร์เจ็ดระดับชนิดแคสเคด และจากวิธีการข้างต้นสามารถนำมาหาค่าของมุมสวิทช์ซึ่งมาใช้กับอินเวอร์เตอร์เจ็ดระดับชนิดแคสเคด ได้ดังตารางที่ 3.3

ตารางที่ 3.3 แสดงค่ามุมสวิทช์ของอินเวอร์เตอร์เจ็ดระดับชนิดแคสเคดที่ค่าดัชนีมอดูเลชันต่างๆ

Modulation Index (M)	$\alpha_1$	$\alpha_2$	$\alpha_3$
1	11.6817	31.1783	58.5774
0.95	13.8158	37.1899	61.9216
0.9	17.5104	43.0523	64.1395
0.85	22.7654	49.3798	64.5562
0.8	29.2395	54.4383	64.4844
0.75	34.8935	54.4622	68.5500
0.7	38.3413	53.9297	73.9648
0.65	39.3876	55.5215	78.8979
0.6	39.4298	58.5839	83.1042
0.55	39.7742	62.1282	86.5693



รูปที่ 3.6 กราฟแสดงความสัมพันธ์ระหว่างค่า Modulation Index กับมุมสวิทช์

เอกสารนี้เป็นเอกสารที่สงวนไว้สำหรับการใช้งานเพื่อการศึกษาเท่านั้น ไม่อนุญาตให้นำไปใช้ประโยชน์ด้านการค้า ไม่ว่าจะกรณีใดๆทั้งสิ้น อีกทั้งห้ามมิให้ดัดแปลงเนื้อหา และต้องอ้างอิงถึงเจ้าของเอกสารทุกครั้งที่มีการนำไปใช้

### 3.3.3 การคำนวณค่าความผิดเพี้ยนฮาร์มอนิกสร่วม (Total Harmonic Distortion: THD)

ค่าผิดเพี้ยนฮาร์มอนิกสร่วม THD สามารถคำนวณได้ดังนี้

$$THD = \frac{\sqrt{\sum_{n=2}^{\infty} H_{(n)}^2}}{H_1} \quad (3.37)$$

โดยที่  $H_1$  คือ ขนาดของความถี่มูลฐาน ความถี่คือ  $\omega_0$

$H_{(n)}$  คือ ขนาดของฮาร์มอนิกที่ลำดับ  $n$  ความถี่คือ  $n\omega_0$

จากสมการที่ 3.21 ขนาดของความถี่มูลฐานและฮาร์มอนิกสร่วมของรูปคลื่นหลายระดับรายนามแบบควอเตอร์สมมาตร สามารถแสดงได้ดังนี้

$$h_n = \frac{4E}{n\pi} \sum_{k=1}^s \cos(n\alpha_k) \quad (3.38)$$

จาก 3.37,  $H_{(n)} = h_n$  และ  $H_1 = h_1$

$$THD = \frac{\sqrt{\sum_{n=2}^{\infty} h_{(n)}^2}}{h_1} \quad (3.39)$$

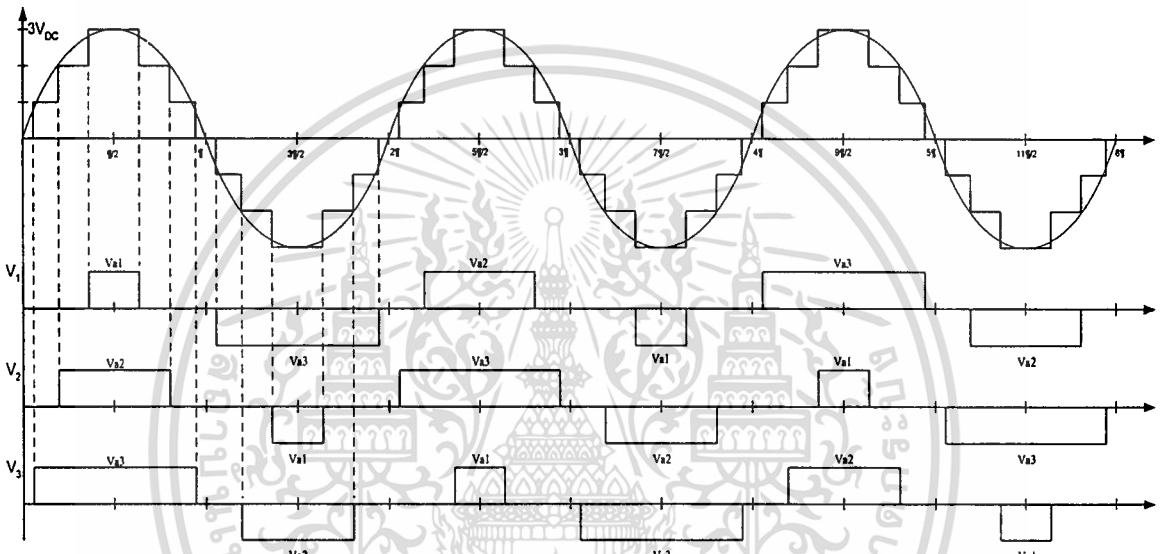
แทนค่าสมการที่ 3.38 ใน 3.39

$$THD = \frac{\sqrt{\sum_{n=2}^{\infty} \left[ \frac{1}{n} \sum_{k=1}^s \cos(n\alpha_k) \right]^2}}{\sum_{k=1}^s \cos(\alpha_k)} \quad (3.40)$$

เอกสารนี้เป็นเอกสารที่สงวนไว้สำหรับการใช้งานเพื่อการศึกษาเท่านั้น ไม่อนุญาตให้นำไปใช้ประโยชน์ด้านการค้า  
ไม่ว่ากรณีใดๆทั้งสิ้น อีกทั้งห้ามมิให้ตัดแปลงเนื้อหา และต้องอ้างอิงถึงเจ้าของเอกสารทุกครั้งที่มีการนำไปใช้

### 3.4 เทคนิคการหมุนพัลส์ (Pulse rotation)

จากหัวข้อที่ 3.3.2 เมื่อทำการคำนวณค่าคำตอบของมุมสวิทซ์ซึ่งได้แล้ว หลังจากนั้นก็จะทำการกำหนดรูปแบบการสวิทซ์ของอุปกรณ์สวิทซ์ของอินเวอร์เตอร์เอชบริดจ์แต่ละเซลล์ในเฟสเดียวกัน ให้มีลักษณะของแรงดันเอาต์พุตที่เหมือนกันในหนึ่งคาบของเวลาการทำงาน ดังแสดงในรูปที่ 3.7 จะเห็นได้ว่าเมื่อกำหนดรูปแบบการสวิทซ์ใหม่แล้ว เวลาการทำงานในหนึ่งคาบการทำงาน จะถูกยืดออกไป คือ จากเดิมหนึ่งคาบเวลาในการทำงานเท่ากับ 20 ms ก็จะถูกยืดออกไปเป็น 60 ms แทน



รูปที่ 3.7 รูปคลื่นแรงดันเฟสเอาต์พุตของอินเวอร์เตอร์เจ็ดระดับชนิดแคสเคดที่ได้ทำการปรับรูปแบบการสวิทซ์ใหม่

### 3.5 สรุป

จากหัวข้อข้างต้น จะเห็นว่าสามารถที่จะนำเอาทฤษฎีของนิวตัน-ราฟสัน มาประยุกต์ใช้ในการแก้สมการไม่เชิงเส้น เพื่อคำนวณหาค่าของมุมสวิทซ์ซึ่งได้ผลเป็นที่น่าพอใจ ดังแสดงในตารางที่ 3.3 จะเห็นว่าค่าคำตอบของมุมสวิทซ์นั้น จะหาได้แค่เพียงค่าดัชนีมอดูลชั้นเท่ากับ 0.55 เนื่องจากว่า เมื่อค่าดัชนีมอดูลชั้นลดลงต่ำกว่า 0.55 จะไม่สามารถหาค่าคำตอบของมุมสวิทซ์  $\alpha$  ที่เหมาะสมได้ ซึ่งวิธีในการหาค่าคำตอบของมุมสวิทซ์ที่ค่าดัชนีมอดูลชั้นต่ำๆ จะขอเสนออีกครั้ง ในภาคผนวก ค ส่วนในบทต่อไปจะทำการจำลองการทำงานของอินเวอร์เตอร์หลายระดับชนิดแคสเคด เพื่อทำการพิสูจน์ค่าของมุมสวิทซ์ที่คำนวณได้สามารถจำกัดฮาร์มอนิกส์ที่ไม่ต้องการได้หรือไม่

## บทที่ 4

# การจำลองการทำงานของอินเวอร์เตอร์หลายระดับชนิดแคสเคด

### 4.1 บทนำ

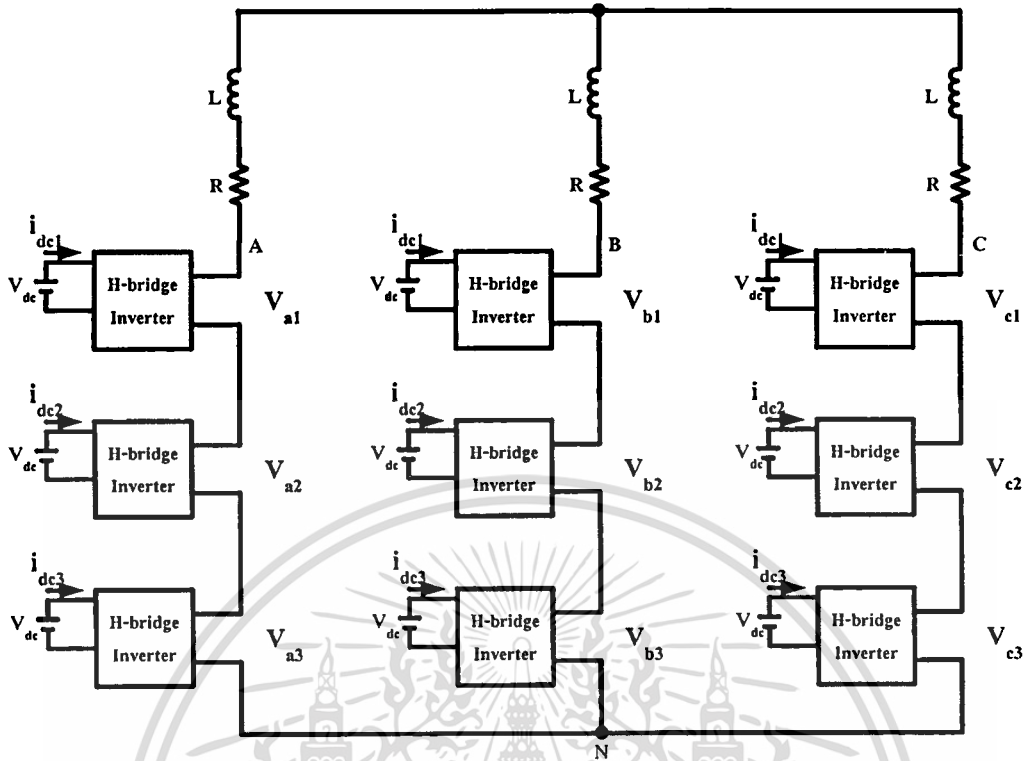
ในบทนี้จะกล่าวถึงการจำลองการทำงานของอินเวอร์เตอร์หลายระดับชนิดแคสเคด ด้วยโปรแกรม MATLAB/SIMULINK ซึ่งในการจำลองจะทำการปรับเปลี่ยนค่าดัชนีมอดูเลชันและความถี่มูลฐาน โดยจะแสดงผลทั้งในกรณีของแหล่งจ่ายส่งผ่านกำลังไฟฟ้าไม่สมดุล และกรณีของแหล่งจ่ายส่งผ่านกำลังไฟฟ้าสมดุล โดยในวิทยานิพนธ์ฉบับนี้จะทำการจำลองการทำงานของอินเวอร์เตอร์เจ็ดระดับขึ้น

### 4.2 การจำลองการทำงานของอินเวอร์เตอร์เจ็ดระดับชนิดแคสเคด

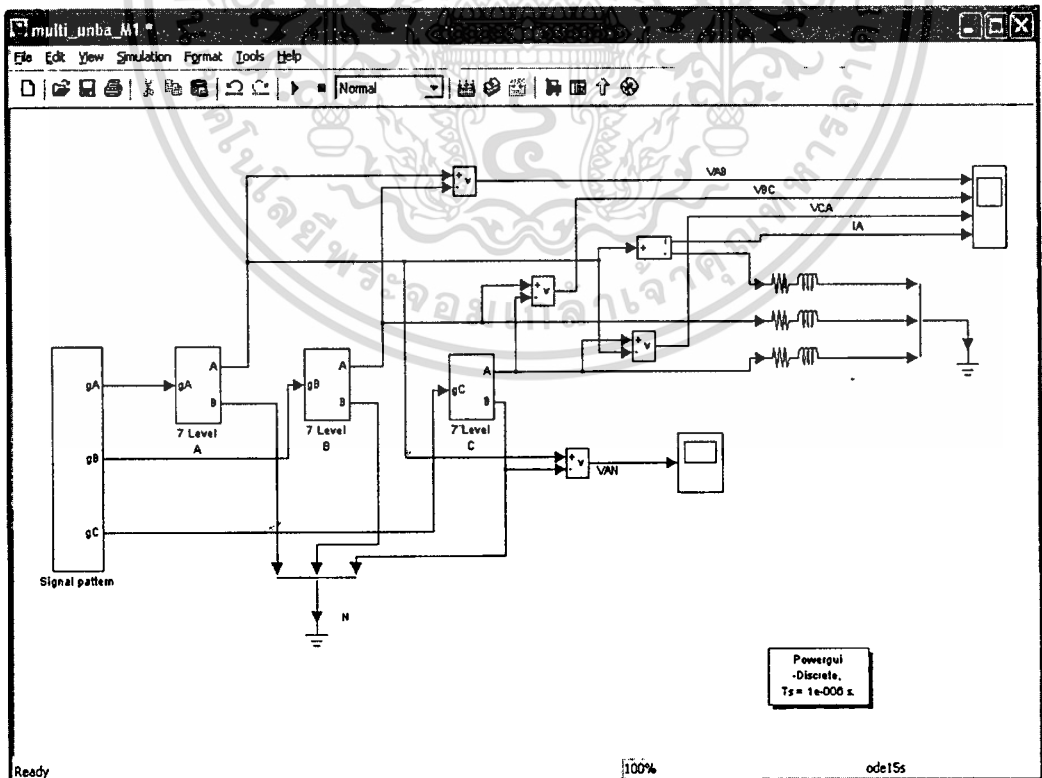
จากหลักการการทำงานของอินเวอร์เตอร์หลายระดับชนิดแคสเคด และหลักการการกำจัดฮาร์มอนิกที่ได้นำเสนอในบทที่ 2 และ 3 ตามลำดับ สามารถนำมาทำการจำลองการทำงานของอินเวอร์เตอร์หลายระดับชนิดแคสเคดด้วยโปรแกรม MATLAB/SIMULINK ทั้งในกรณีของแหล่งจ่ายส่งผ่านกำลังไฟฟ้าไม่สมดุล และกรณีของแหล่งจ่ายส่งผ่านกำลังไฟฟ้าสมดุล ซึ่งในหัวข้อนี้จะทำการจำลองการทำงานของอินเวอร์เตอร์เจ็ดระดับ ในระบบสามเฟสต่อแบบววาย (Y) ต่อเข้ากับโหลด R, L อนุกรมที่ต่อกันแบบววาย (Y) ดังรูปที่ 4.1 ซึ่งจะทำการคงค่าความถี่มูลฐานที่ 30 Hz, 50 Hz, และ 70 Hz แล้วทำการปรับค่าของดัชนีมอดูเลชันเป็น 0.6, 0.8 และ 1 เพื่อศึกษาผลของค่า THD ของแรงดันด้านเอาต์พุตเมื่อค่าความถี่และดัชนีมอดูเลชันเปลี่ยนแปลง

ค่ากำลังไฟฟ้าที่แหล่งจ่ายส่งผ่านไปให้กับอินเวอร์เตอร์เอชบริดจ์เซลล์ที่ 1, 2 และ 3 หาได้จากการนำค่าของกระแสและแรงดันที่แหล่งจ่ายไฟตรงของอินเวอร์เตอร์เอชบริดจ์แต่ละเซลล์มาคูณกัน ดังสมการที่ 4.1

$$P = IV \tag{4.1}$$



รูปที่ 4.1 แสดงวงจรอินเวอร์เตอร์เจ็ดระดับที่ต่อแบบวาย (Y)



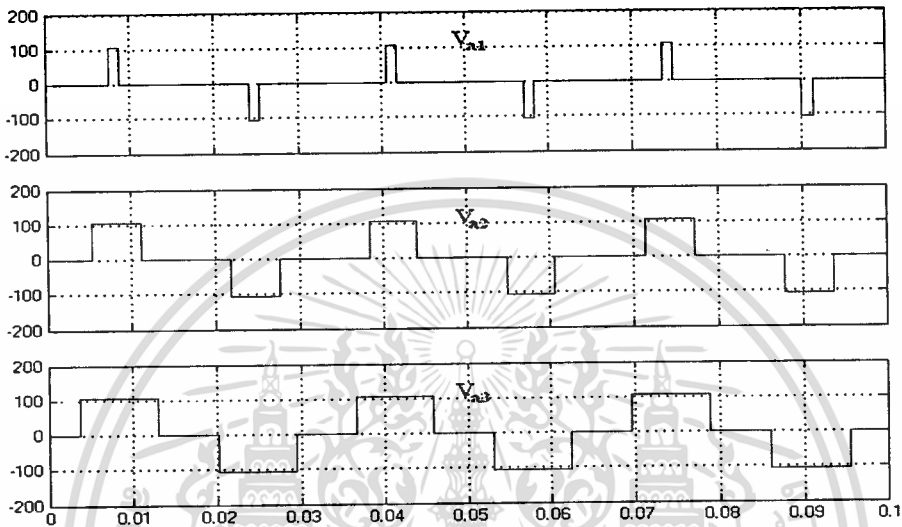
รูปที่ 4.2 แสดงวงจรอินเวอร์เตอร์เจ็ดระดับที่ใช้ในการจำลอง

เอกสารนี้เป็นเอกสารที่สงวนไว้สำหรับการใช้งานเพื่อการศึกษาเท่านั้น ไม่อนุญาตให้นำไปใช้ประโยชน์ด้านการค้า ไม่ว่าจะกรณีใดๆทั้งสิ้น อีกทั้งห้ามมิให้ตัดแปลงเนื้อหา และต้องอ้างอิงถึงเจ้าของเอกสารทุกครั้งที่มีการนำไปใช้

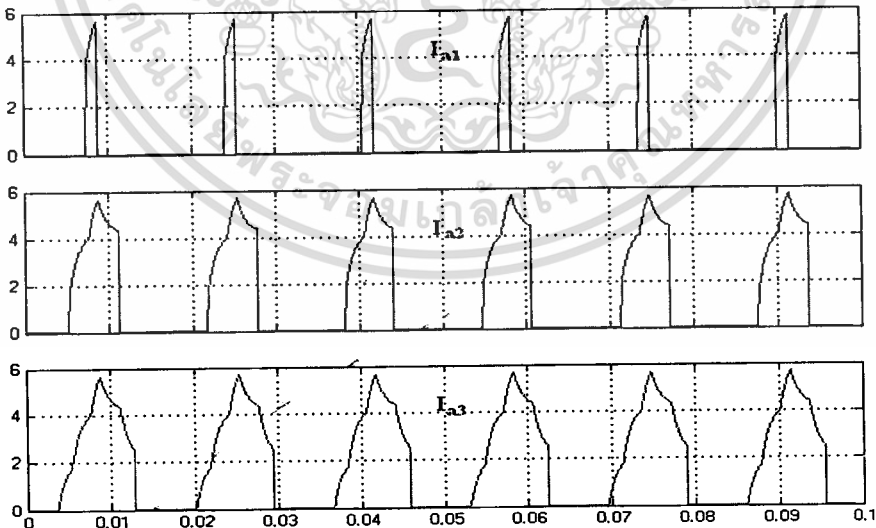
#### 4.2.1 การจำลองการทำงานของอินเวอร์เตอร์ جهدระดับที่แหล่งจ่ายมีการส่งผ่านกำลังไฟฟ้า ไม่สมดุล

##### 4.2.1.1 ที่ $f = 30 \text{ Hz}$ , $M = 0.6$

ทำการจำลองระบบเมื่อกำหนดให้  $f = 30 \text{ Hz}$ , ค่าดัชนีมอดูเลชัน ( $M$ ) เท่ากับ 0.6 ค่ามุม  
สวิตช์เป็น  $\alpha_1 = 39.3876^\circ$ ,  $\alpha_2 = 55.5215^\circ$  และ  $\alpha_3 = 78.8979^\circ$



รูปที่ 4.3 แรงดันเอาต์พุตของอินเวอร์เตอร์เอชบริดจ์แต่ละเซลล์ในเฟส A ที่  $f = 30 \text{ Hz}$

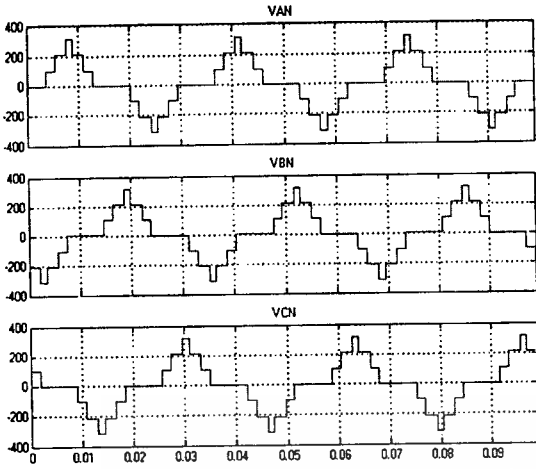


รูปที่ 4.4 กระแสที่แหล่งจ่ายของอินเวอร์เตอร์เอชบริดจ์แต่ละเซลล์ในเฟส A ที่  $f = 30 \text{ Hz}$

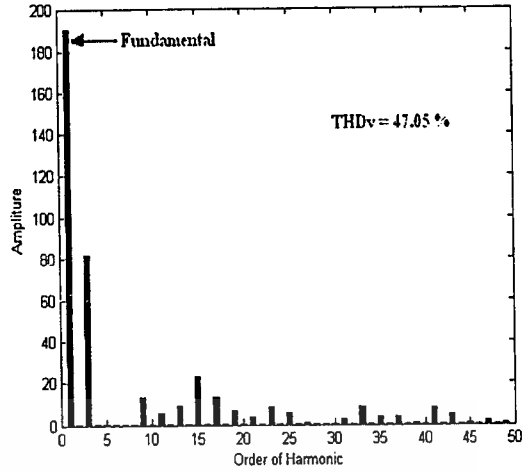
ค่ากำลังไฟฟ้าที่แหล่งจ่ายส่งผ่านไปให้กับอินเวอร์เตอร์เอชบริดจ์เซลล์ที่ 1, 2 และ 3

เท่ากับ 39.2 W, 155.3 W และ 203.4 W ตามลำดับ

เอกสารนี้เป็นเอกสารที่สงวนไว้สำหรับการใช้งานเพื่อการศึกษาเท่านั้น ไม่อนุญาตให้นำไปใช้ประโยชน์ด้านการค้า  
ไม่ว่ากรณีใดๆทั้งสิ้น อีกทั้งห้ามมิให้ดัดแปลงเนื้อหา และต้องอ้างอิงถึงเจ้าของเอกสารทุกครั้งที่มีการนำไปใช้

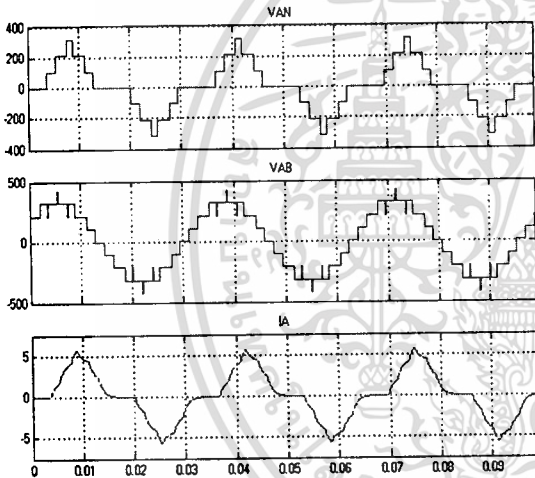


(ก)

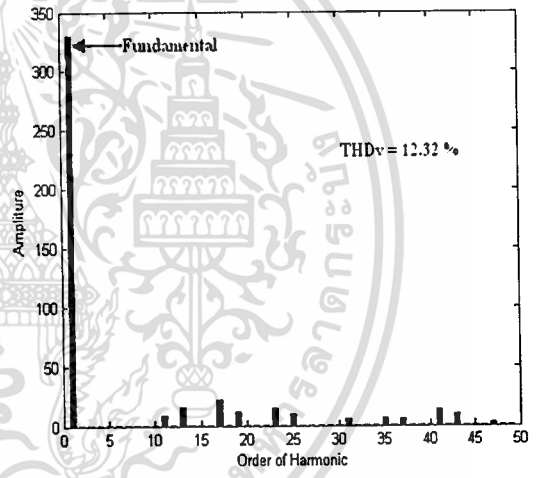


(จ)

รูปที่ 4.5 สัญญาณแรงดันเฟสเอที่พุด  $v_{an}$ ,  $v_{bn}$ ,  $v_{cn}$  และ สเปกตรัมของแรงดันเฟสเอที่พุด  $v_{an}$  ที่  $f = 30$  Hz

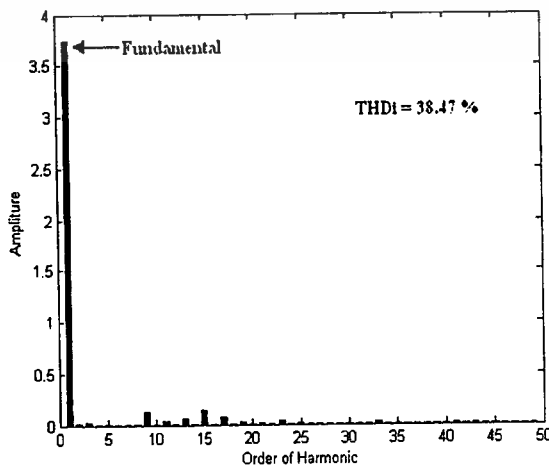


(ก)



(จ)

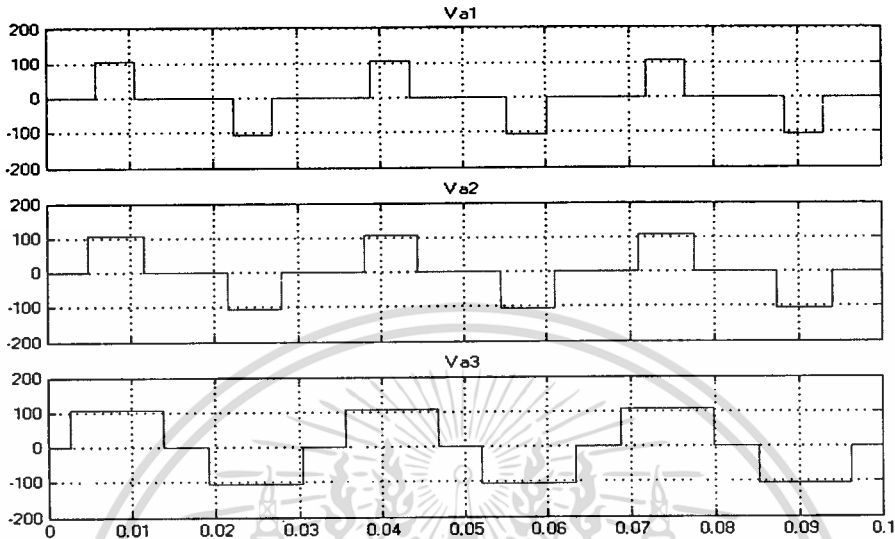
รูปที่ 4.6 สัญญาณแรงดันเฟส, แรงดันไลน์, และกระแสเอที่พุด  $v_{an}$ ,  $v_{ab}$ ,  $i_a$  และสเปกตรัมของแรงดันไลน์เอที่พุด  $v_{ab}$  ที่  $f = 30$  Hz



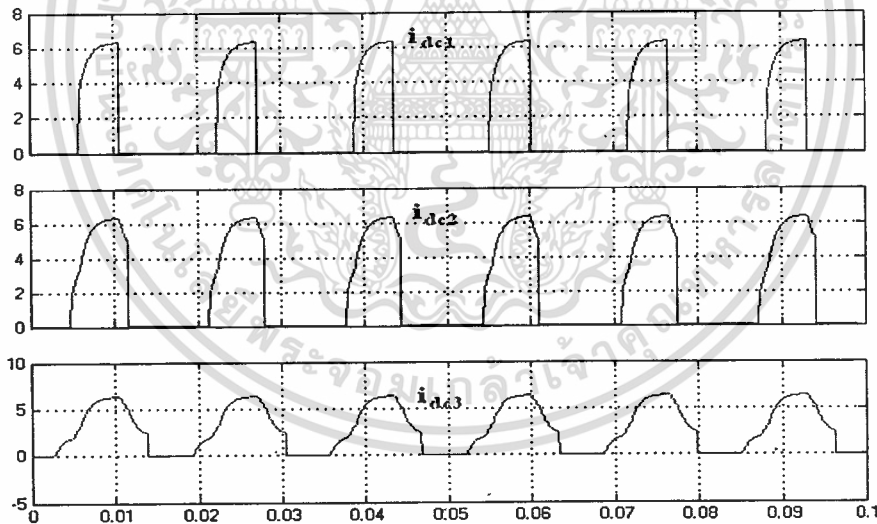
เอกสารนี้เป็นเอกสารที่สงวนไว้สำหรับใช้ภายในเท่านั้น หากท่านนำไปใช้ประโยชน์ด้านการค้า  
ไม่ว่ากรณีใดๆทั้งสิ้น อีกทั้งห้ามมิให้ดัดแปลงเนื้อหา และต้องอ้างอิงถึงเจ้าของเอกสารทุกครั้งที่มีการนำไปใช้

#### 4.2.1.2 ที่ $f = 30 \text{ Hz}$ , $M = 0.8$

ทำการจำลองระบบเมื่อกำหนดให้  $f = 30 \text{ Hz}$ , ค่าดัชนีมอดูเลชัน ( $M$ ) เท่ากับ 0.8 ค่ามุมสวิตช์ซึ่งเป็น  $\alpha_1 = 29.2355^\circ$ ,  $\alpha_2 = 54.4383^\circ$  และ  $\alpha_3 = 64.4844^\circ$

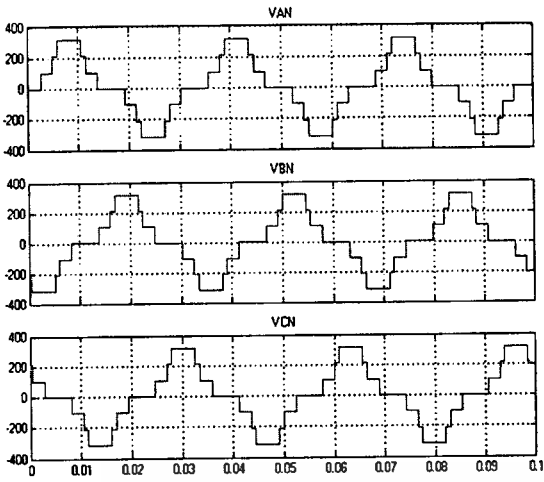


รูปที่ 4.8 แรงดันเอาต์พุตของอินเวอร์เตอร์เอชบริดจ์แต่ละเซลล์ในเฟส A ที่  $f = 30 \text{ Hz}$

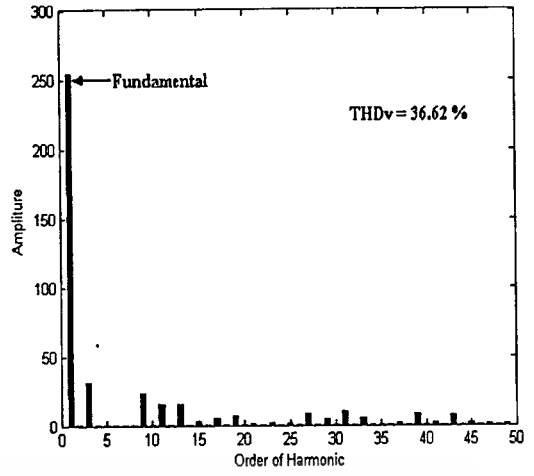


รูปที่ 4.9 กระแสที่แหล่งจ่ายของอินเวอร์เตอร์เอชบริดจ์แต่ละเซลล์ในเฟส A ที่  $f = 30 \text{ Hz}$

ค่ากำลังไฟฟ้าที่แหล่งจ่ายส่งผ่านไปให้กับอินเวอร์เตอร์เอชบริดจ์เซลล์ที่ 1, 2 และ 3 เท่ากับ 170.2 W, 218.9 W และ 286 W ตามลำดับ

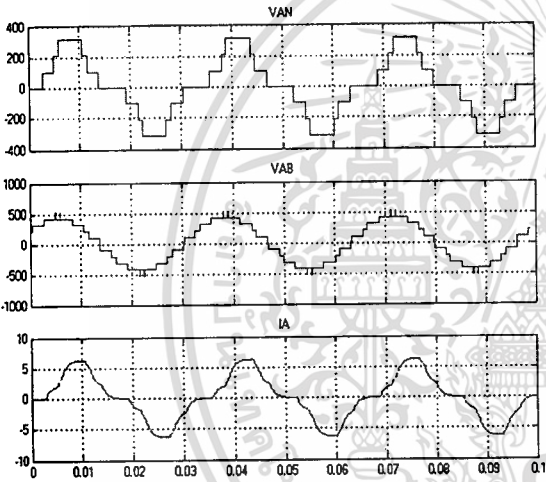


(ก)

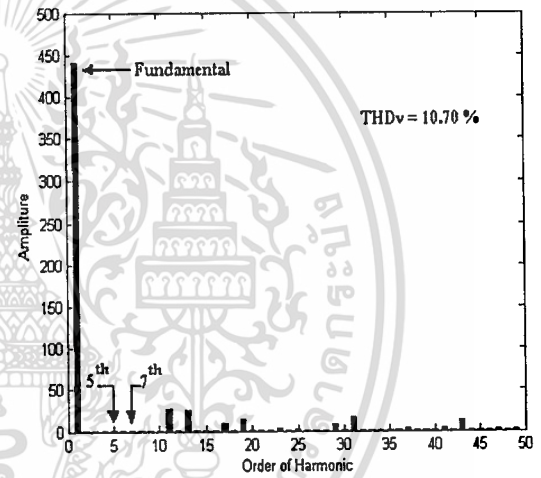


(ข)

รูปที่ 4.10 สัญญาณแรงดันเฟสเอาต์พุต  $v_{an}$ ,  $v_{bn}$ ,  $v_{cn}$  และ สเปกตรัมของแรงดันเฟสเอาต์พุต  $v_{an}$  ที่  $f = 30$  Hz

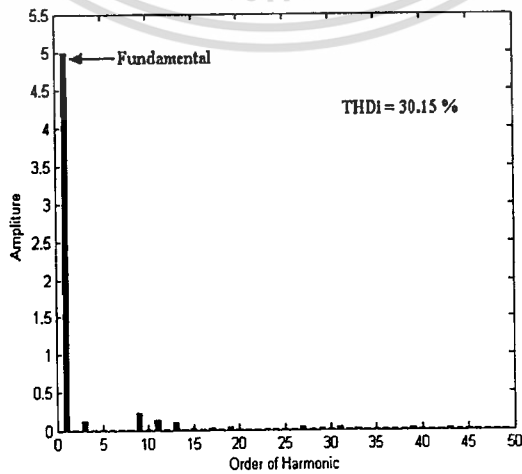


(ก)



(ข)

รูปที่ 4.11 สัญญาณแรงดันเฟส, แรงดันไลน์, และกระแสเอาต์พุต  $v_{an}$ ,  $v_{ab}$ ,  $i_a$  และสเปกตรัมของแรงดันไลน์เอาต์พุต  $v_{ab}$  ที่  $f = 30$  Hz

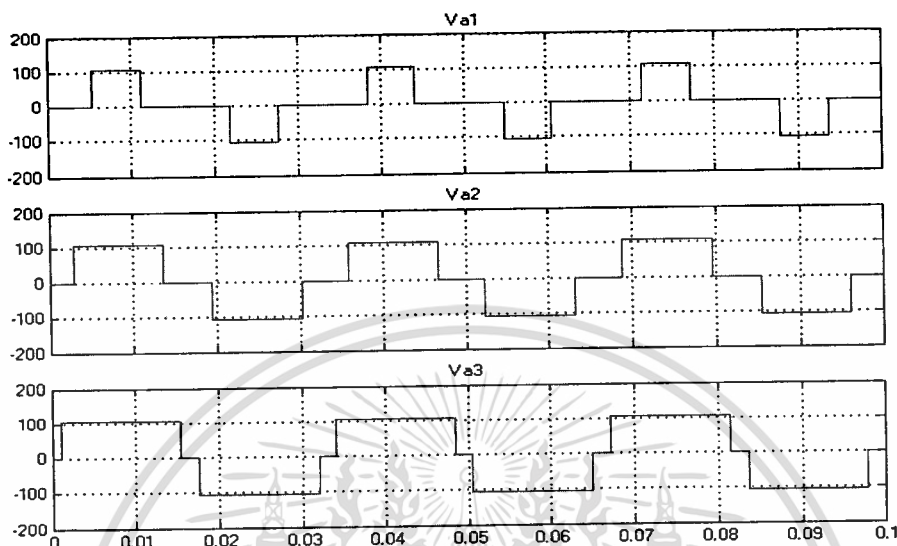


รูปที่ 4.12 สเปกตรัมของกระแสเอาต์พุต  $i_a$

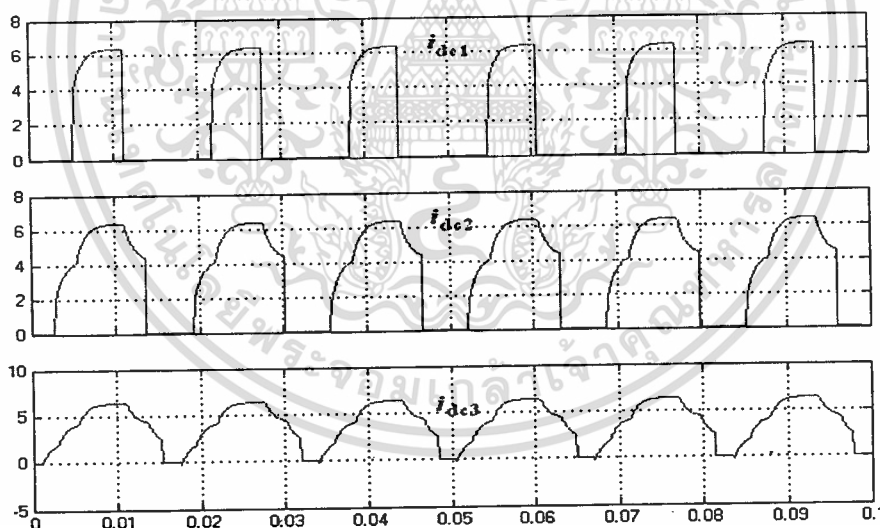
เอกสารนี้เป็นเอกสารที่สงวนไว้สำหรับการใช้งานเพื่อการศึกษาเท่านั้น ไม่อนุญาตให้นำไปใช้ประโยชน์ด้านการค้า  
ไม่ว่ากรณีใดๆทั้งสิ้น อีกทั้งห้ามมิให้ดัดแปลงเนื้อหา และต้องอ้างอิงถึงเจ้าของเอกสารทุกครั้งที่มีการนำไปใช้

### 4.2.1.3 ที่ $f = 30 \text{ Hz}$ , $M = 1$

ทำการจำลองระบบเมื่อกำหนดให้  $f = 30 \text{ Hz}$ , ค่าดัชนีมอดูเลชัน ( $M$ ) เท่ากับ 1 ค่ามุมสวิตช์ ซึ่งเป็น  $\alpha_1 = 11.6817^\circ$ ,  $\alpha_2 = 31.1783^\circ$  และ  $\alpha_3 = 58.5774^\circ$

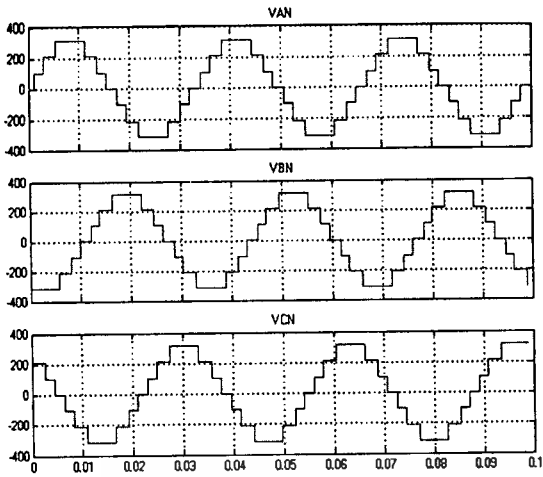


รูปที่ 4.13 แรงดันเอาต์พุตของอินเวอร์เตอร์เอชบริดจ์แต่ละเซลล์ในเฟส A ที่  $f = 30 \text{ Hz}$

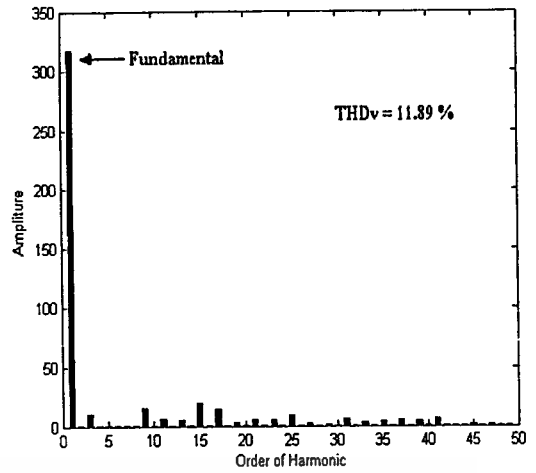


รูปที่ 4.14 กระแสที่แหล่งจ่ายของอินเวอร์เตอร์เอชบริดจ์แต่ละเซลล์ในเฟส A ที่  $f = 30 \text{ Hz}$

ค่ากำลังไฟฟ้าที่แหล่งจ่ายส่งผ่าน ไปให้กับอินเวอร์เตอร์เอชบริดจ์เซลล์ที่ 1, 2 และ 3 เท่ากับ 218.5 W, 351.5 W และ 399.1 W ตามลำดับ

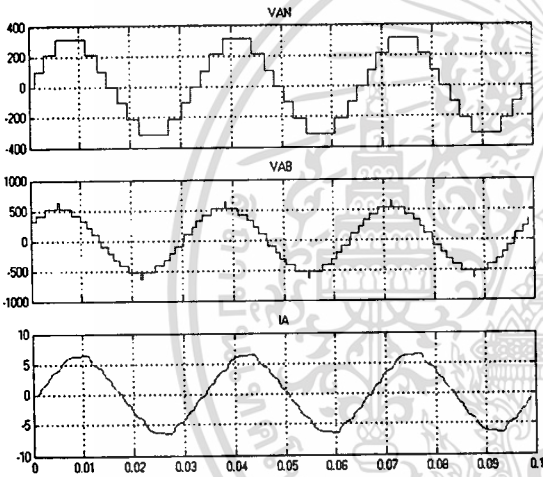


(ก)

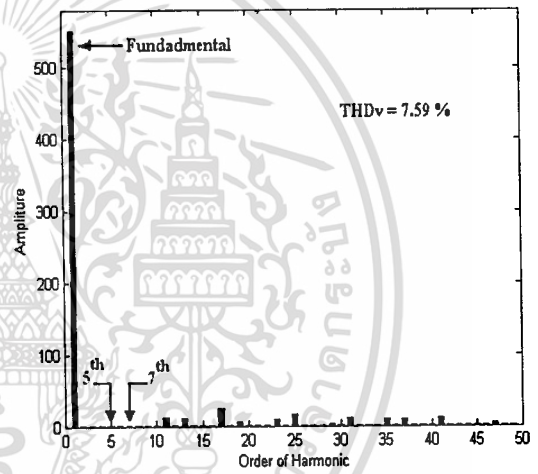


(ข)

รูปที่ 4.15 สัญญาณแรงดันเฟสเอาต์พุต  $v_{an}$ ,  $v_{bn}$ ,  $v_{cn}$  และ สเปกตรัมของแรงดันเฟสเอาต์พุต  $v_{an}$  ที่  $f = 30$  Hz

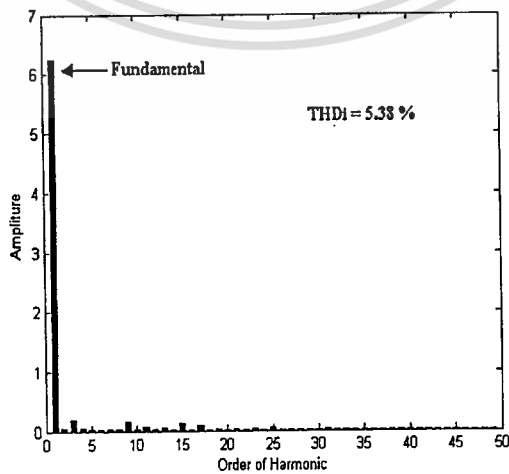


(ก)



(ข)

รูปที่ 4.16 สัญญาณแรงดันเฟส, แรงดันไลน์, และกระแสเอาต์พุต  $v_{an}$ ,  $v_{ab}$ ,  $i_a$  และสเปกตรัมของแรงดันไลน์เอาต์พุต  $v_{ab}$  ที่  $f = 30$  Hz

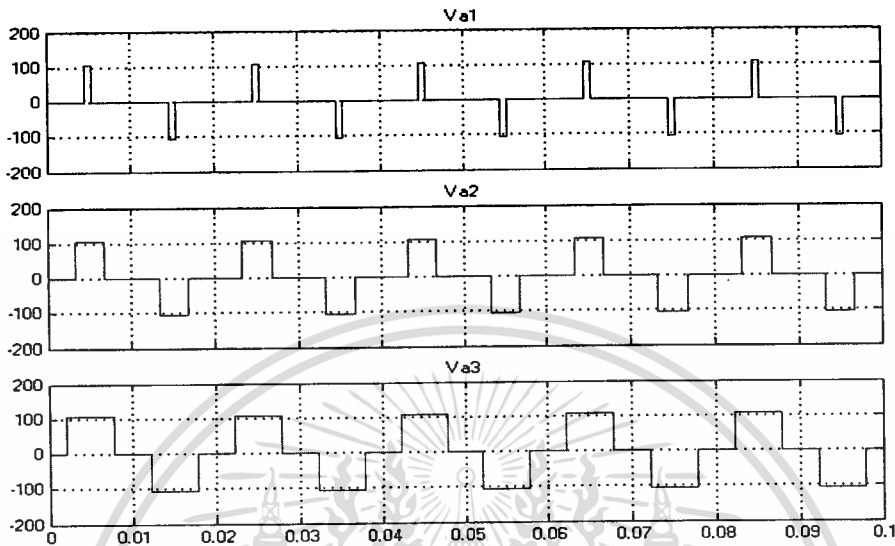


รูปที่ 4.17 สเปกตรัมของกระแสเอาต์พุต  $i_a$

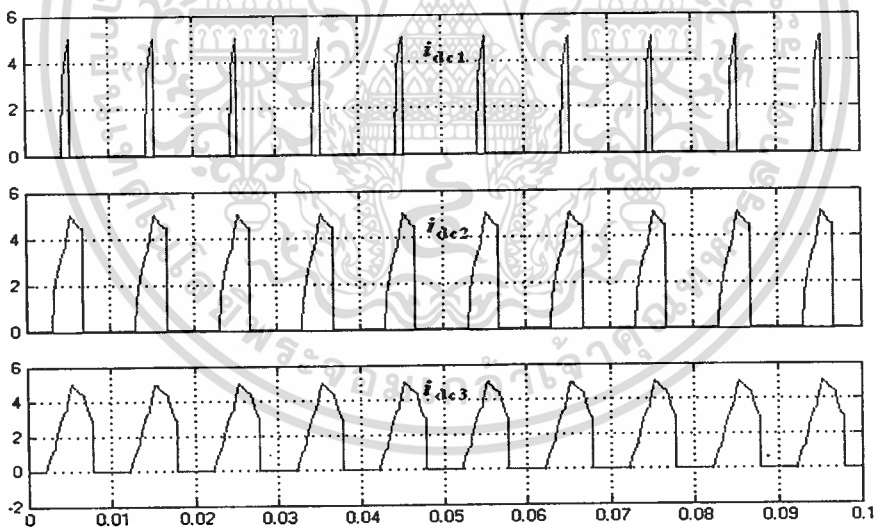
เอกสารนี้เป็นเอกสารที่สงวนไว้สำหรับการใช้งานเพื่อการศึกษาเท่านั้น ไม่อนุญาตให้นำไปใช้ประโยชน์ด้านการค้า ไม่ว่าจะกรณีใดๆทั้งสิ้น อีกทั้งห้ามมิให้ดัดแปลงเนื้อหา และต้องอ้างอิงถึงเจ้าของเอกสารทุกครั้งที่มีการนำไปใช้

#### 4.2.1.4 ที่ $f = 50 \text{ Hz}$ , $M = 0.6$

ทำการจำลองระบบเมื่อกำหนดให้  $f = 50 \text{ Hz}$ , ค่าดัชนีมอดูเลชัน ( $M$ ) เท่ากับ 0.6 ค่ามุมสวิทช์เป็น  $\alpha_1 = 39.3876^\circ$ ,  $\alpha_2 = 55.5215^\circ$  และ  $\alpha_3 = 78.8979^\circ$

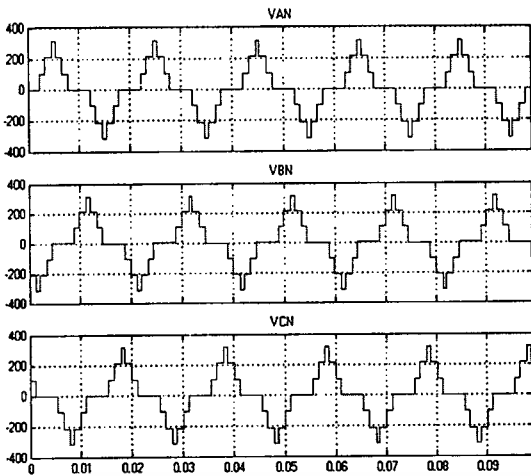


รูปที่ 4.18 แรงดันเอาต์พุตของอินเวอร์เตอร์เอชบริดจ์แต่ละเซลล์ในเฟส A ที่  $f = 50 \text{ Hz}$

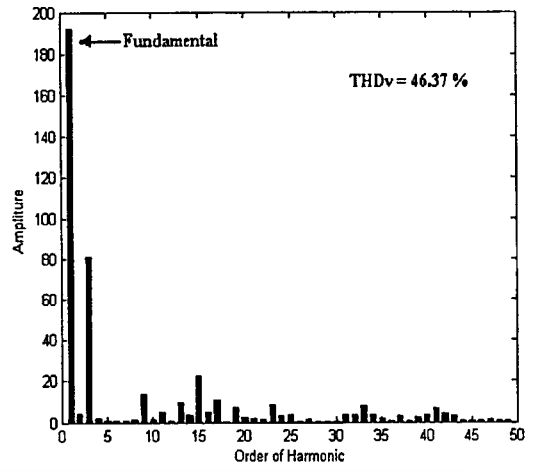


รูปที่ 4.19 กระแสที่แหล่งจ่ายของอินเวอร์เตอร์เอชบริดจ์แต่ละเซลล์ในเฟส A ที่  $f = 50 \text{ Hz}$

ค่ากำลังไฟฟ้าที่แหล่งจ่ายส่งผ่าน ไปให้กับอินเวอร์เตอร์เอชบริดจ์เซลล์ที่ 1, 2 และ 3 เท่ากับ 35.74 W, 141.8 W และ 190.8 W ตามลำดับ



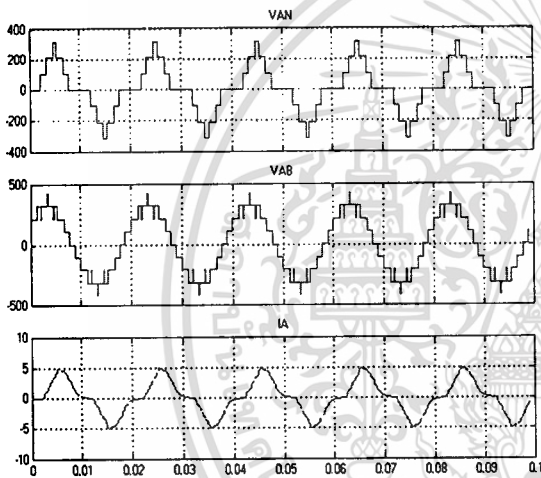
(ก)



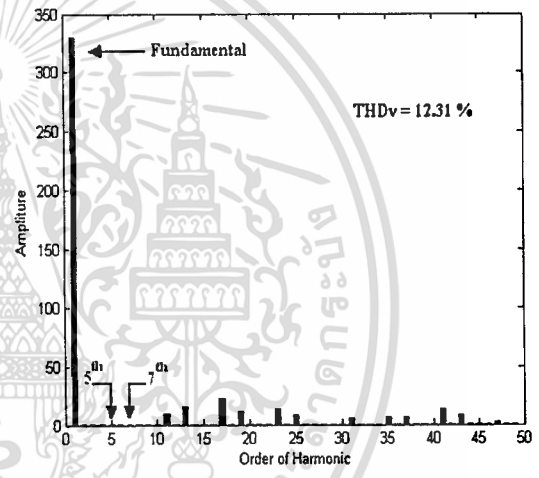
(ข)

รูปที่ 4.20 สัญญาณแรงดันเฟสเอาต์พุต  $v_{an}$ ,  $v_{bn}$ ,  $v_{cn}$  และ สเปกตรัมของแรงดันเฟสเอาต์พุต  $v_{an}$

ที่  $f = 50$  Hz



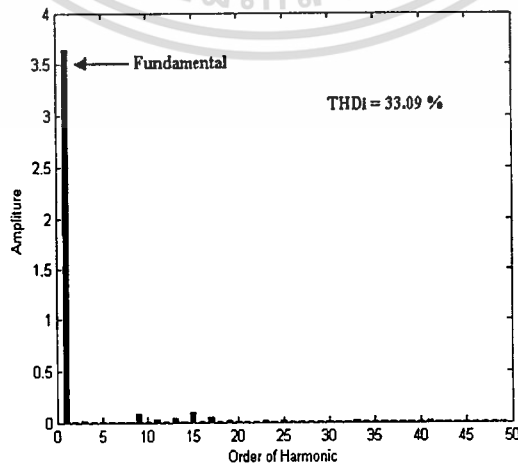
(ก)



(ข)

รูปที่ 4.21 สัญญาณแรงดันเฟส, แรงดันไลน์, และกระแสเอาต์พุต  $v_{an}$ ,  $v_{ab}$ ,  $i_a$

และสเปกตรัมของแรงดันไลน์เอาต์พุต  $v_{ab}$  ที่  $f = 50$  Hz

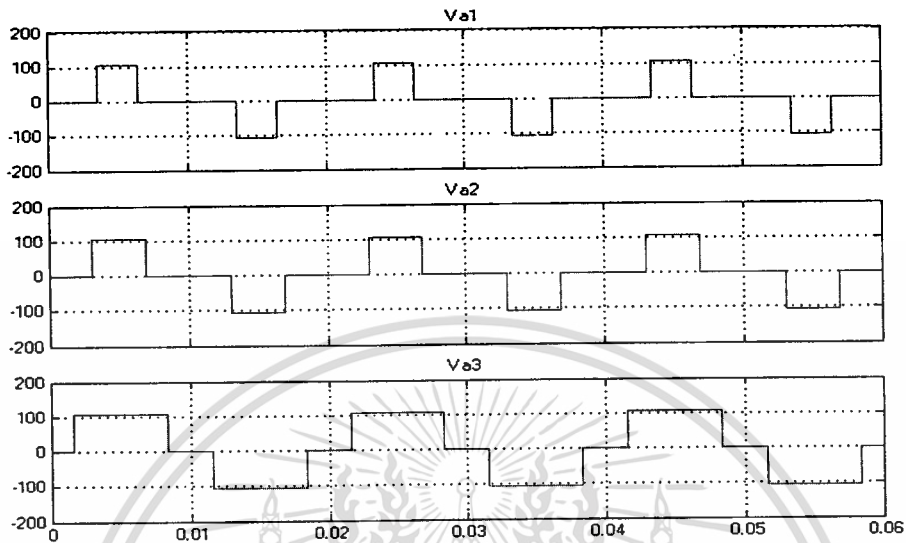


รูปที่ 4.22 สเปกตรัมของกระแสเอาต์พุต  $i_a$

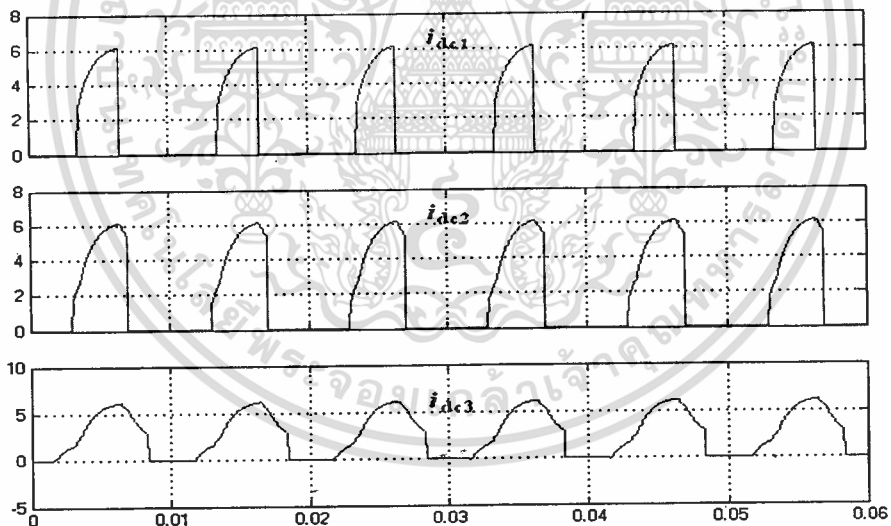
เอกสารนี้เป็นเอกสารที่สงวนไว้สำหรับการใช้งานเพื่อการศึกษาเท่านั้น ไม่อนุญาตให้นำไปใช้ประโยชน์ด้านการค้า  
ไม่ว่ากรณีใดๆทั้งสิ้น อีกทั้งห้ามมิให้ตัดแปลงเนื้อหา และต้องอ้างอิงถึงเจ้าของเอกสารทุกครั้งที่มีการนำไปใช้

#### 4.2.1.5 ที่ $f = 50 \text{ Hz}$ , $M = 0.8$

ทำการจำลองระบบเมื่อกำหนดให้  $f = 50 \text{ Hz}$ , ค่าดัชนีมอดูเลชัน ( $M$ ) เท่ากับ 0.8 ค่ามุมสวิตช์เป็น  $\alpha_1 = 29.2355^\circ$ ,  $\alpha_2 = 54.4383^\circ$  และ  $\alpha_3 = 64.4844^\circ$



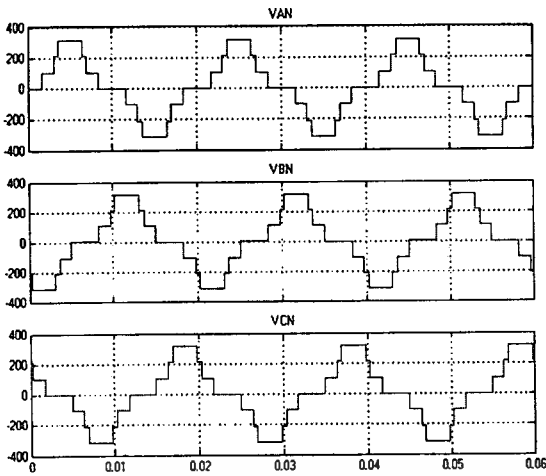
รูปที่ 4.23 แรงดันเอาต์พุตของอินเวอร์เตอร์เอชบริดจ์แต่ละเซลล์ในเฟส A ที่  $f = 50 \text{ Hz}$



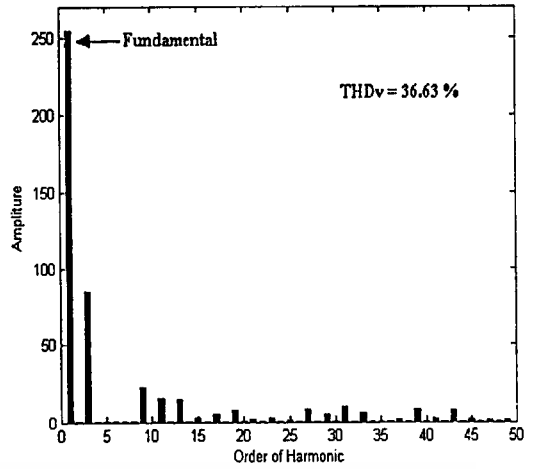
รูปที่ 4.24 กระแสที่แหล่งจ่ายของอินเวอร์เตอร์เอชบริดจ์แต่ละเซลล์ในเฟส A ที่  $f = 50 \text{ Hz}$

ค่ากำลังไฟฟ้าที่แหล่งจ่ายส่งผ่านไปให้กับอินเวอร์เตอร์เอชบริดจ์เซลล์ที่ 1, 2 และ 3 เท่ากับ 154.9 W, 201.6 W และ 272.3 W ตามลำดับ

เอกสารนี้เป็นเอกสารที่สงวนไว้สำหรับการใช้งานเพื่อการศึกษาเท่านั้น ไม่อนุญาตให้นำไปใช้ประโยชน์ด้านการค้า ไม่ว่าจะกรณีใดๆทั้งสิ้น อีกทั้งห้ามมิให้ตัดแปลงเนื้อหา และต้องอ้างอิงถึงเจ้าของเอกสารทุกครั้งที่มีการนำไปใช้

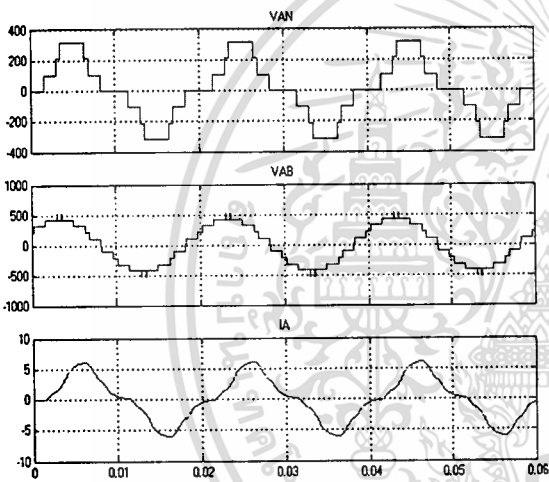


(ก)

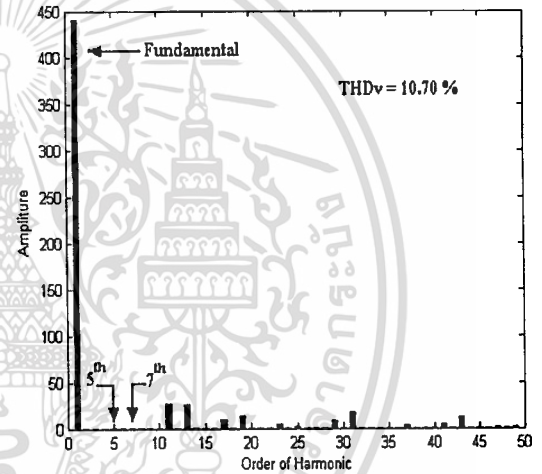


(ข)

รูปที่ 4.25 สัญญาณแรงดันเฟสเอาต์พุต  $v_{an}$ ,  $v_{bn}$ ,  $v_{cn}$  และ สเปกตรัมของแรงดันเฟสเอาต์พุต  $v_{an}$  ที่  $f = 50$  Hz

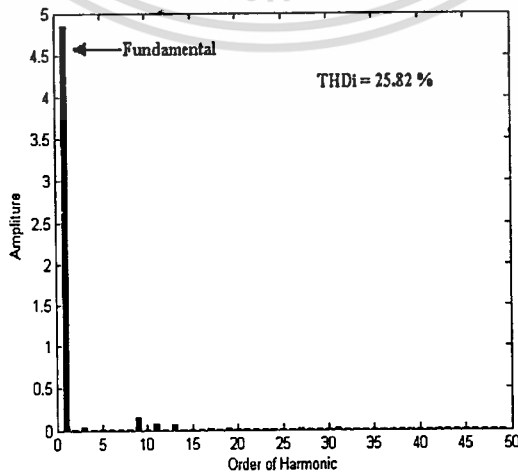


(ก)



(ข)

รูปที่ 4.26 สัญญาณแรงดันเฟส, แรงดันไลน์, และกระแสเอาต์พุต  $v_{an}$ ,  $v_{ab}$ ,  $i_a$  และสเปกตรัมของแรงดันไลน์เอาต์พุต  $v_{ab}$  ที่  $f = 50$  Hz

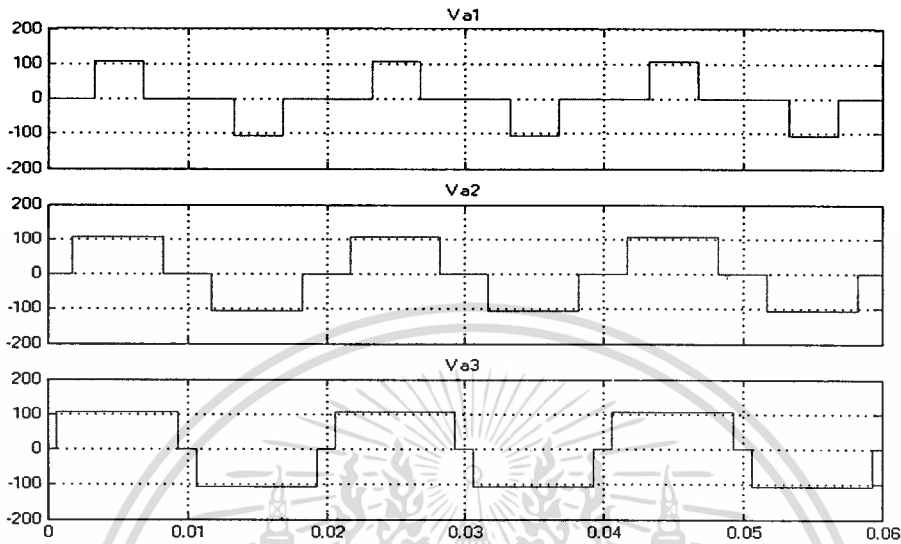


รูปที่ 4.27 สเปกตรัมของกระแสเอาต์พุต  $i_a$

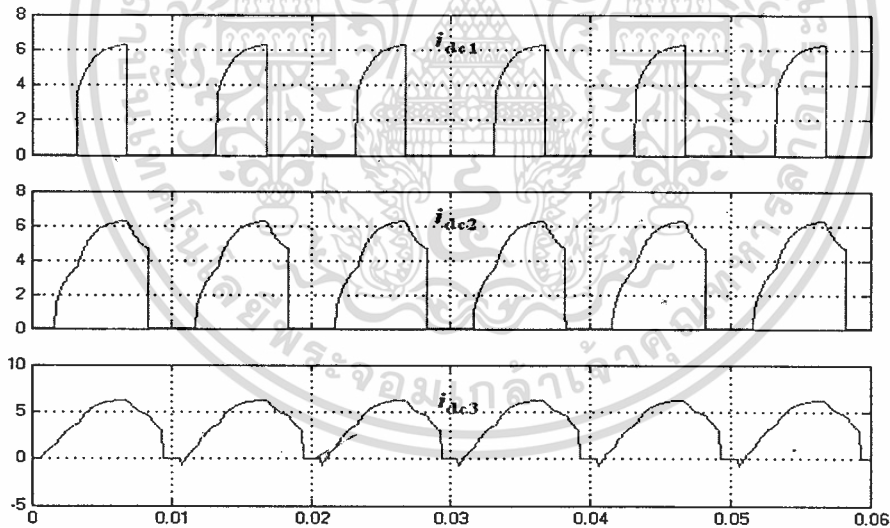
เอกสารนี้เป็นเอกสารที่สงวนไว้สำหรับการใช้งานเพื่อการศึกษาเท่านั้น ไม่อนุญาตให้นำไปใช้ประโยชน์ด้านการค้า ไม่ว่าจะกรณีใดๆทั้งสิ้น อีกทั้งห้ามมิให้ดัดแปลงเนื้อหา และต้องอ้างอิงถึงเจ้าของเอกสารทุกครั้งที่มีการนำไปใช้

#### 4.2.1.6 ที่ $f = 50 \text{ Hz}$ , $M = 1$

ทำการจำลองระบบเมื่อกำหนดให้  $f = 50 \text{ Hz}$ , ค่าดัชนีมอดูเลชัน ( $M$ ) เท่ากับ 1 ค่ามุมสวิตช์ ซึ่งเป็น  $\alpha_1 = 11.6817^\circ$ ,  $\alpha_2 = 31.1783^\circ$  และ  $\alpha_3 = 58.5774^\circ$

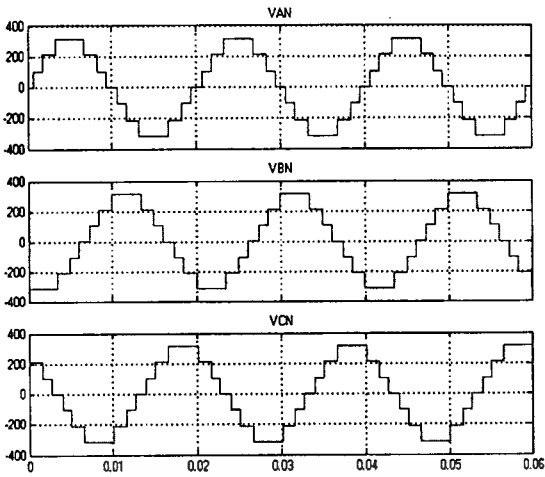


รูปที่ 4.28 แรงดันเอาต์พุทของอินเวอร์เตอร์เอชบริดจ์แต่ละเซลล์ในเฟส A ที่  $f = 50 \text{ Hz}$

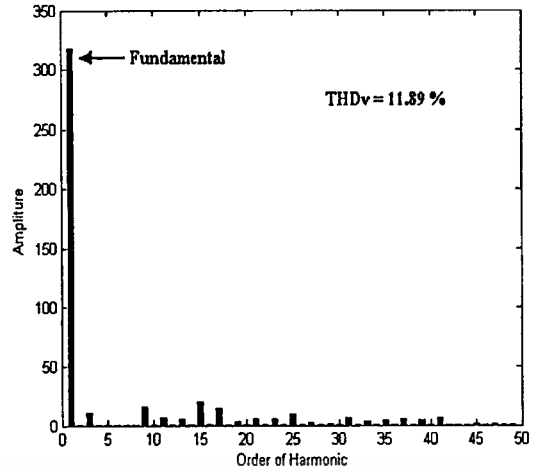


รูปที่ 4.29 กระแสที่แหล่งจ่ายของอินเวอร์เตอร์เอชบริดจ์แต่ละเซลล์ในเฟส A ที่  $f = 50 \text{ Hz}$

ค่ากำลังไฟฟ้าที่แหล่งจ่ายส่งผ่านไปให้กับอินเวอร์เตอร์เอชบริดจ์เซลล์ที่ 1, 2 และ 3 เท่ากับ 206.8 W, 334.6 W และ 380.8 W ตามลำดับ

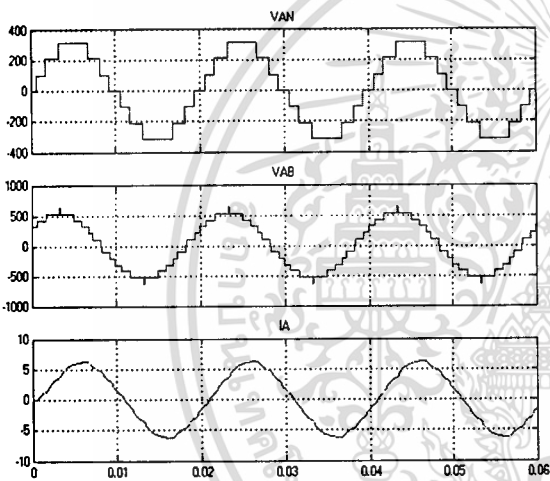


(ก)

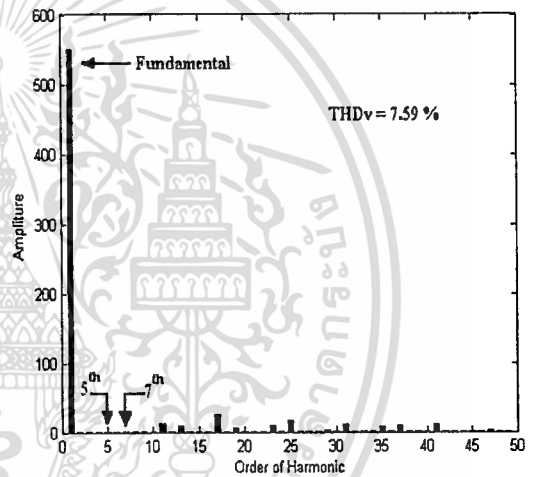


(ข)

รูปที่ 4.30 สัญญาณแรงดันเฟสเอาต์พุต  $v_{an}$ ,  $v_{bn}$ ,  $v_{cn}$  และ สเปกตรัมของแรงดันเฟสเอาต์พุต  $v_{an}$  ที่  $f = 50$  Hz

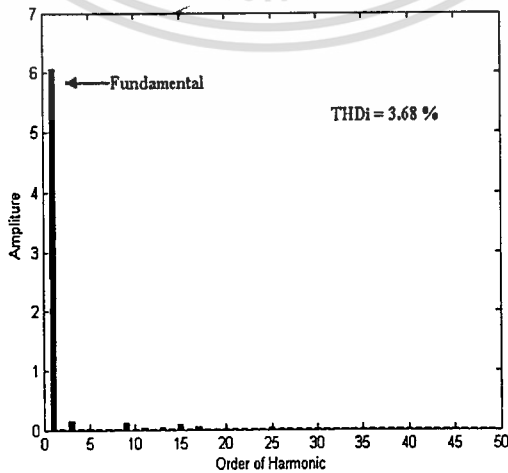


(ก)



(ข)

รูปที่ 4.31 สัญญาณแรงดันเฟส, แรงดันไลน์, และกระแสเอาต์พุต  $v_{an}$ ,  $v_{ab}$ ,  $i_a$  และสเปกตรัมของแรงดันไลน์เอาต์พุต  $v_{ab}$  ที่  $f = 50$  Hz

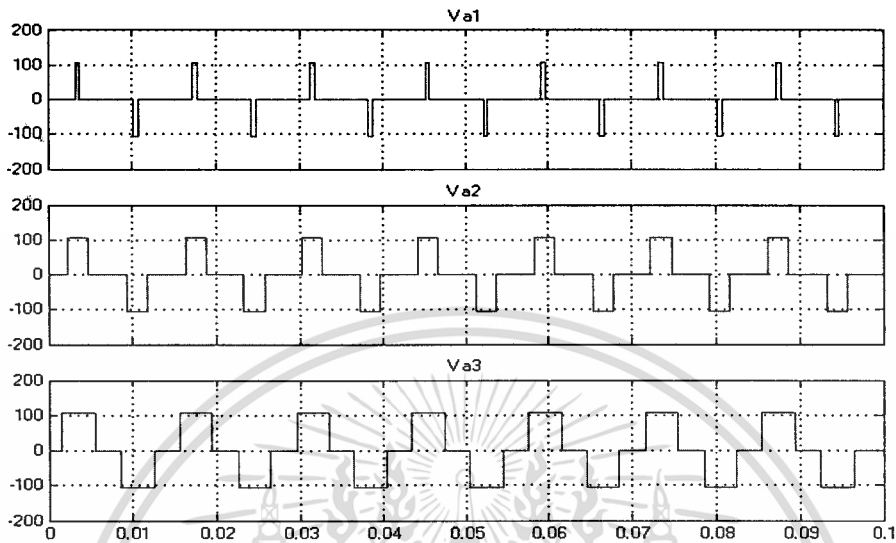


รูปที่ 4.32 สเปกตรัมของกระแสเอาต์พุต  $i_a$

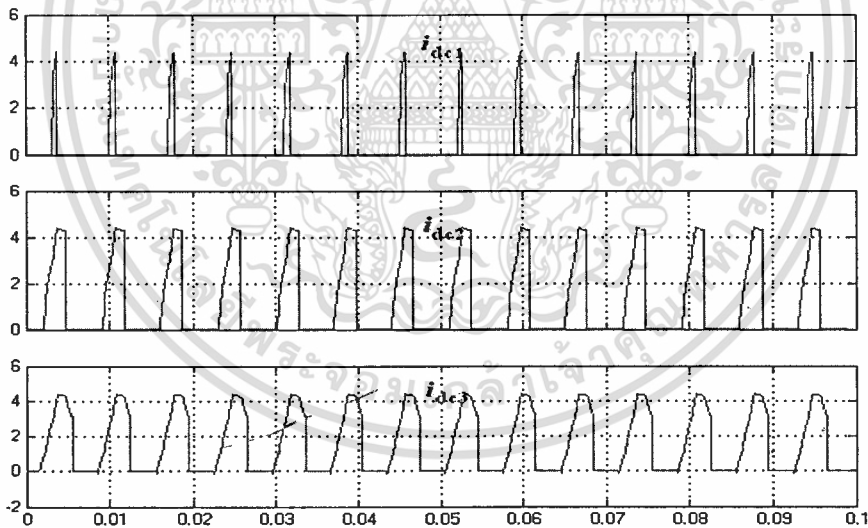
เอกสารนี้เป็นเอกสารที่สงวนไว้สำหรับการใช้งานเพื่อการศึกษาเท่านั้น ไม่อนุญาตให้นำไปใช้ประโยชน์ด้านการค้า  
ไม่ว่ากรณีใดๆทั้งสิ้น อีกทั้งห้ามมิให้ดัดแปลงเนื้อหา และต้องอ้างอิงถึงเจ้าของเอกสารทุกครั้งที่มีการนำไปใช้

#### 4.2.1.7 ที่ $f = 70 \text{ Hz}$ , $M = 0.6$

ทำการจำลองระบบเมื่อกำหนดให้  $f = 70 \text{ Hz}$ , ค่าดัชนีมอดูเลชัน ( $M$ ) เท่ากับ 0.6 ค่ามุมสวิตช์เป็น  $\alpha_1 = 39.3876^\circ$ ,  $\alpha_2 = 55.5215^\circ$  และ  $\alpha_3 = 78.8979^\circ$

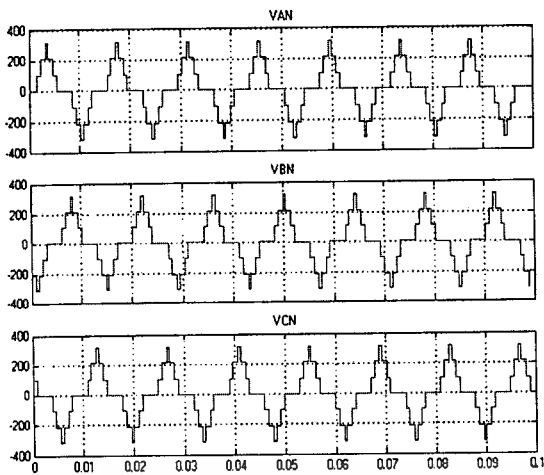


รูปที่ 4.33 แรงดันเอาต์พุตของอินเวอร์เตอร์เอชบริดจ์แต่ละเซลล์ในเฟส A ที่  $f = 70 \text{ Hz}$

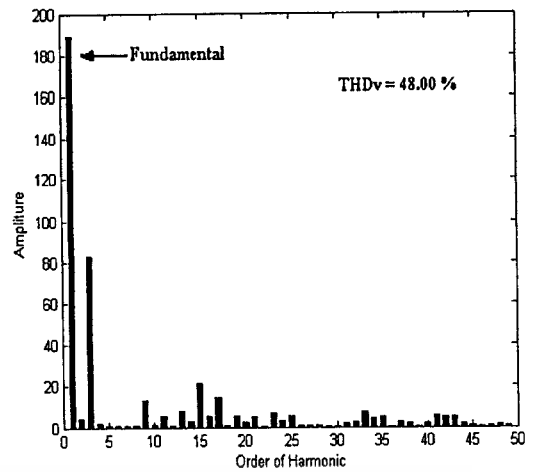


รูปที่ 4.34 กระแสที่แหล่งจ่ายของอินเวอร์เตอร์เอชบริดจ์แต่ละเซลล์ในเฟส A ที่  $f = 70 \text{ Hz}$

ค่ากำลังไฟฟ้าที่แหล่งจ่ายส่งผ่านไปให้กับอินเวอร์เตอร์เอชบริดจ์เซลล์ที่ 1, 2 และ 3 เท่ากับ 30.25 W, 122.5 W และ 168.7 W ตามลำดับ

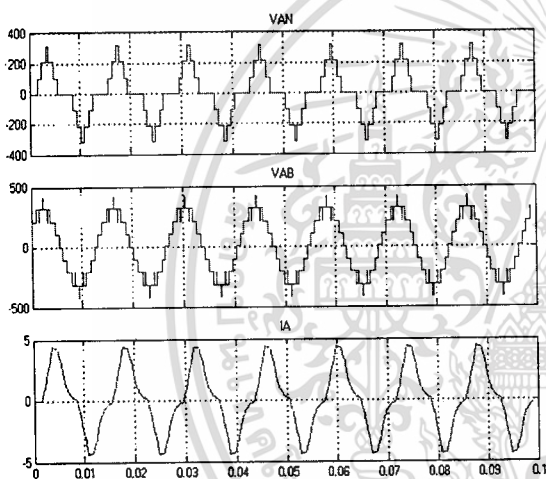


(ก)

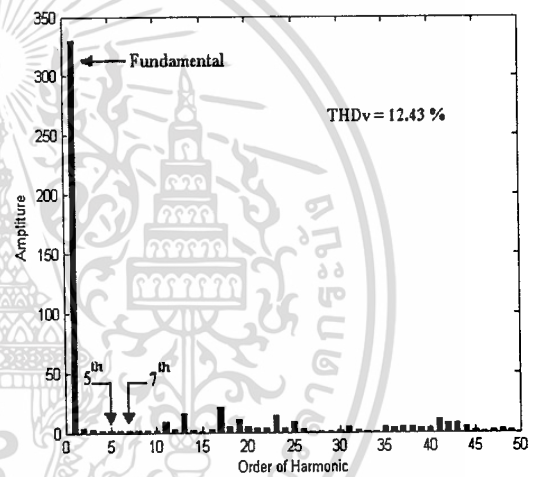


(ข)

รูปที่ 4.35 สัญญาณแรงดันเฟสเอาต์พุต  $v_{an}$ ,  $v_{bn}$ ,  $v_{cn}$  และ สเปกตรัมของแรงดันเฟสเอาต์พุต  $v_{an}$  ที่  $f = 70$  Hz

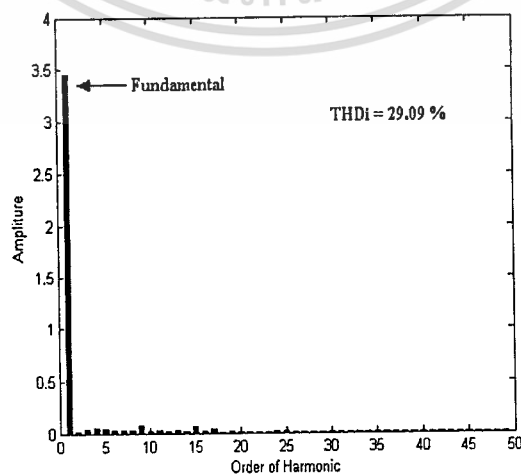


(ก)



(ข)

รูปที่ 4.36 สัญญาณแรงดันเฟส, แรงดันไลน์, และกระแสเอาต์พุต  $v_{an}$ ,  $v_{ab}$ ,  $i_a$  และสเปกตรัมของแรงดันไลน์เอาต์พุต  $v_{ab}$  ที่  $f = 70$  Hz

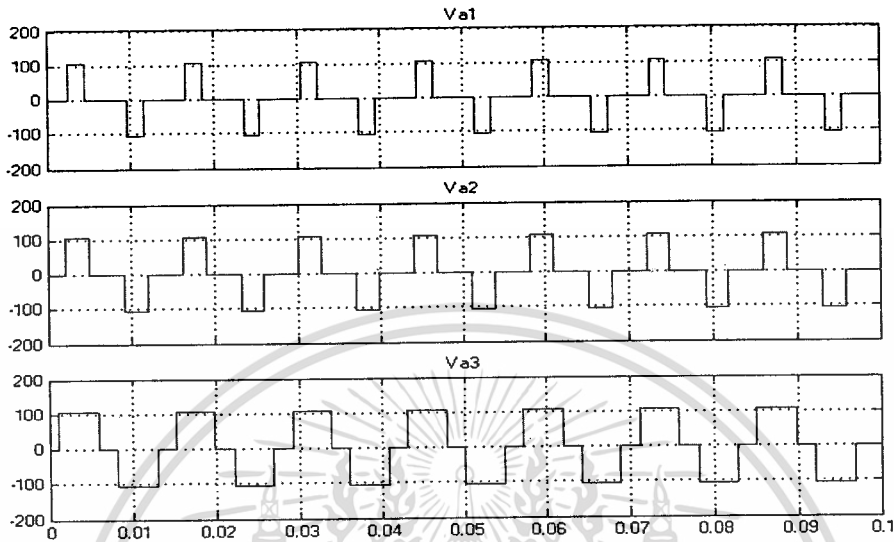


รูปที่ 4.37 สเปกตรัมของกระแสเอาต์พุต  $i_a$

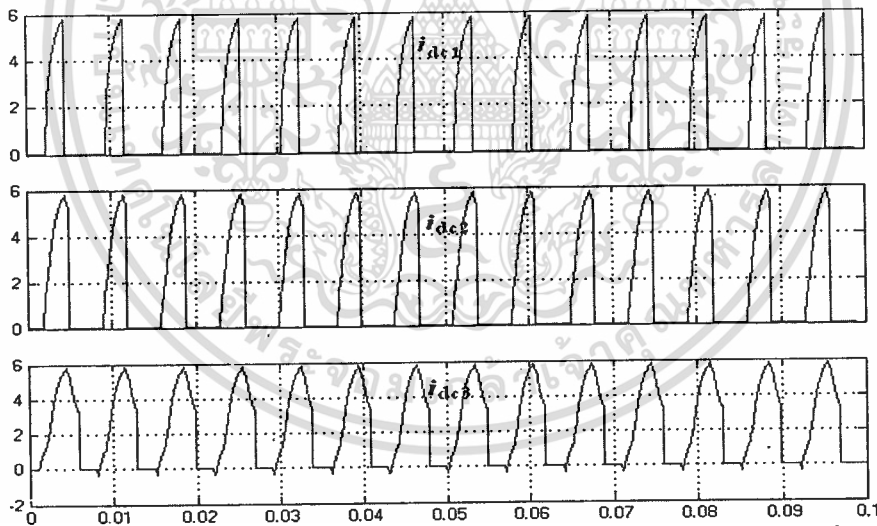
เอกสารนี้เป็นเอกสารที่สงวนไว้สำหรับการใช้งานเพื่อการศึกษาเท่านั้น ไม่อนุญาตให้นำไปใช้ประโยชน์ด้านการค้า  
ไม่ว่ากรณีใดๆทั้งสิ้น อีกทั้งห้ามมิให้ดัดแปลงเนื้อหา และต้องอ้างอิงถึงเจ้าของเอกสารทุกครั้งที่มีการนำไปใช้

#### 4.2.1.8 ที่ $f = 70 \text{ Hz}$ , $M = 0.8$

ทำการจำลองระบบเมื่อกำหนดให้  $f = 70 \text{ Hz}$ , ค่าดัชนีมอดูเลชัน ( $M$ ) เท่ากับ 0.8 ค่ามุมสวิตช์เป็น  $\alpha_1 = 29.2355^\circ$ ,  $\alpha_2 = 54.4383^\circ$  และ  $\alpha_3 = 64.4844^\circ$

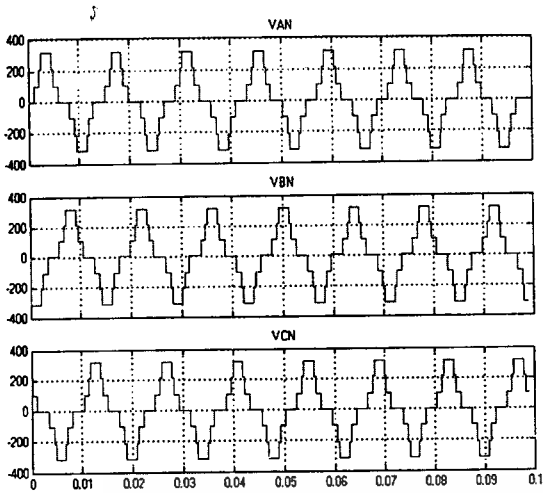


รูปที่ 4.38 แรงดันเอาต์พุตของอินเวอร์เตอร์เอชบริดจ์แต่ละเซลล์ในเฟส A ที่  $f = 70 \text{ Hz}$

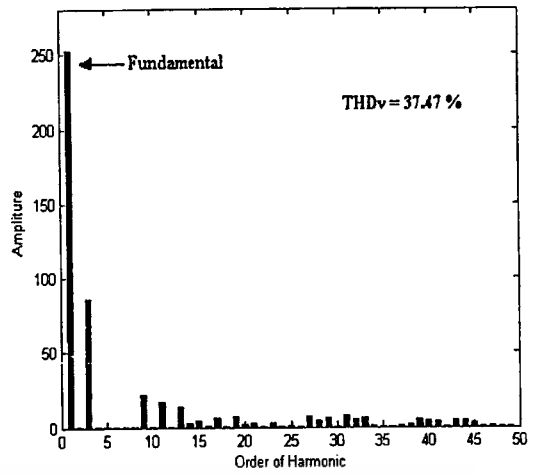


รูปที่ 4.39 กระแสที่แหล่งจ่ายของอินเวอร์เตอร์เอชบริดจ์แต่ละเซลล์ในเฟส A ที่  $f = 70 \text{ Hz}$

ค่ากำลังไฟฟ้าที่แหล่งจ่ายส่งผ่านไปให้กับอินเวอร์เตอร์เอชบริดจ์เซลล์ที่ 1, 2 และ 3 เท่ากับ 134.1 W, 176 W และ 244.2 W ตามลำดับ

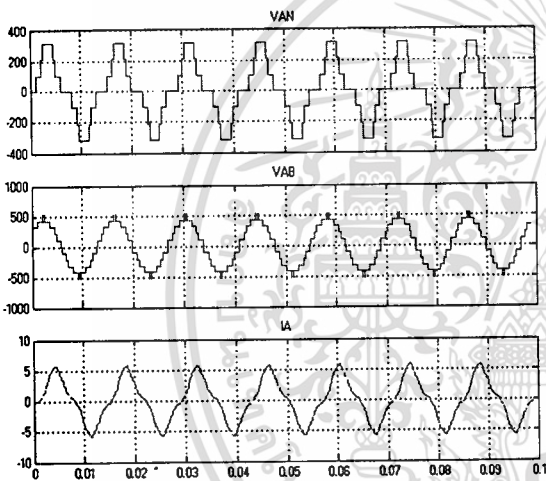


(ก)

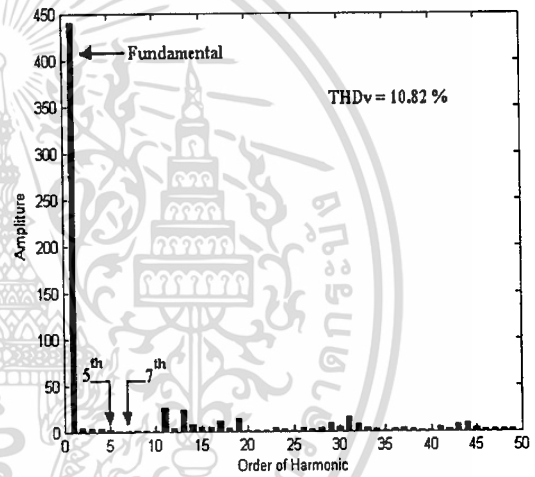


(จ)

รูปที่ 4.40 สัญญาณแรงดันเฟสเอาต์พุต  $v_{an}$ ,  $v_{bn}$ ,  $v_{cn}$  และ สเปกตรัมของแรงดันเฟสเอาต์พุต  $v_{an}$  ที่  $f = 70 \text{ Hz}$

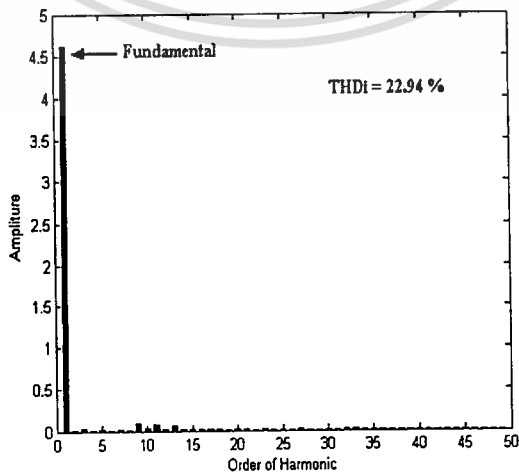


(ก)



(จ)

รูปที่ 4.41 สัญญาณแรงดันเฟส, แรงดันไลน์, และกระแสเอาต์พุต  $v_{an}$ ,  $v_{ab}$ ,  $i_a$  และสเปกตรัมของแรงดันไลน์เอาต์พุต  $v_{ab}$  ที่  $f = 70 \text{ Hz}$

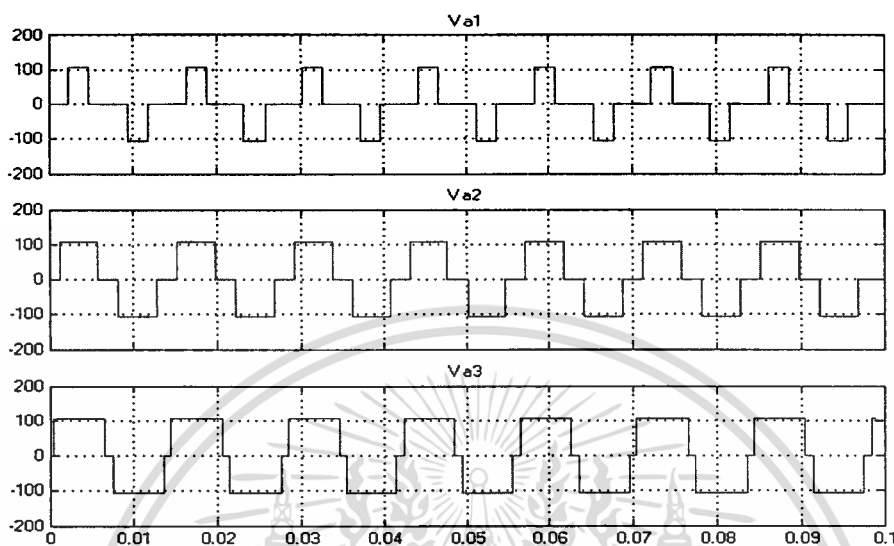


รูปที่ 4.42 สเปกตรัมของกระแสเอาต์พุต  $i_a$

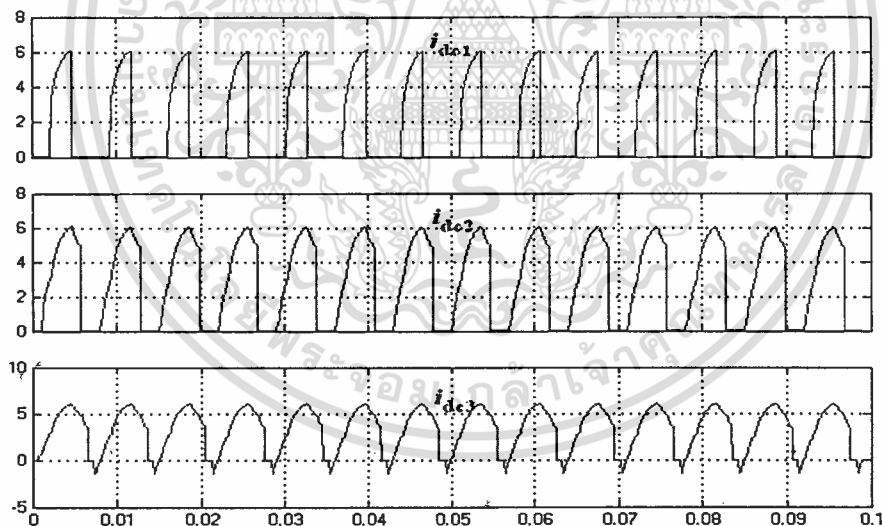
เอกสารนี้เป็นเอกสารที่สงวนไว้สำหรับการใช้งานเพื่อการศึกษาเท่านั้น ไม่อนุญาตให้นำไปใช้ประโยชน์ด้านการค้า ไม่ว่าจะกรณีใดๆทั้งสิ้น อีกทั้งห้ามมิให้ตัดแปลงเนื้อหา และต้องอ้างอิงถึงเจ้าของเอกสารทุกครั้งที่มีการนำไปใช้

#### 4.2.1.9 ที่ $f = 70 \text{ Hz}$ , $M = 1$

ทำการจำลองระบบเมื่อกำหนดให้  $f = 70 \text{ Hz}$ , ค่าดัชนีมอดูเลชัน ( $M$ ) เท่ากับ 1 ค่ามุมสวิตช์ ซึ่งเป็น  $\alpha_1 = 11.6817^\circ$ ,  $\alpha_2 = 31.1783^\circ$  และ  $\alpha_3 = 58.5774^\circ$

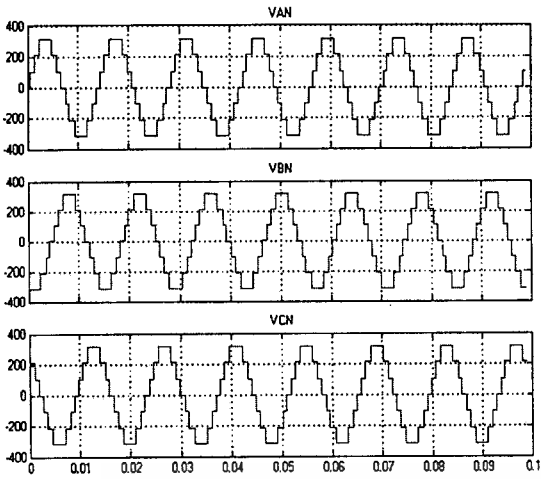


รูปที่ 4.43 แรงดันเอาต์พุตของอินเวอร์เตอร์เอชบริดจ์แต่ละเซลล์ในเฟส A ที่  $f = 70 \text{ Hz}$

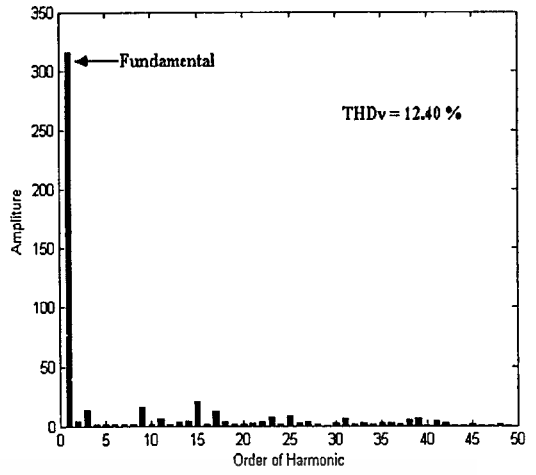


รูปที่ 4.44 กระแสที่แหล่งจ่ายของอินเวอร์เตอร์เอชบริดจ์แต่ละเซลล์ในเฟส A ที่  $f = 70 \text{ Hz}$

ค่ากำลังไฟฟ้าที่แหล่งจ่ายส่งผ่านไปให้กับอินเวอร์เตอร์เอชบริดจ์เซลล์ที่ 1, 2 และ 3 เท่ากับ 184.5 W, 299.9 W และ 341.2 W ตามลำดับ

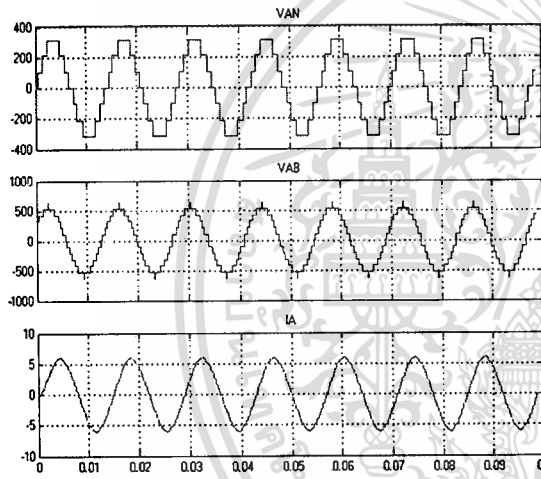


(ก)

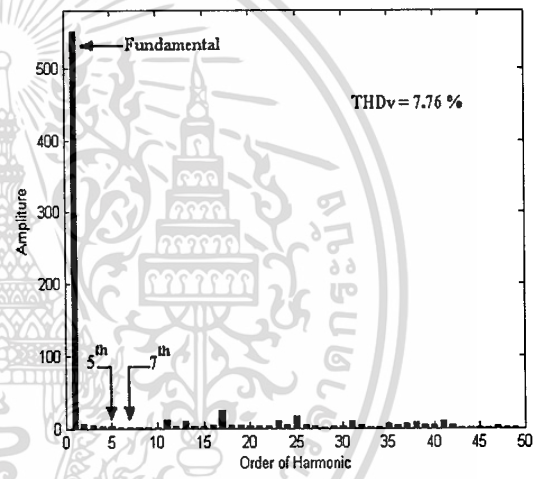


(จ)

รูปที่ 4.45 สัญญาณแรงดันเฟสเอาต์พุต  $v_{an}$ ,  $v_{bn}$ ,  $v_{cn}$  และ สเปกตรัมของแรงดันเฟสเอาต์พุต  $v_{an}$  ที่  $f = 70$  Hz

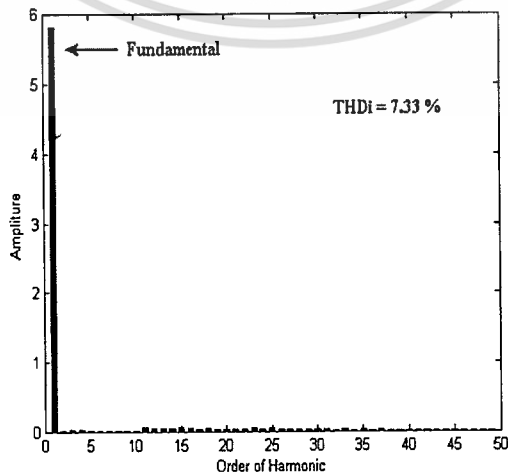


(ก)



(จ)

รูปที่ 4.46 สัญญาณแรงดันเฟส, แรงดันไลน์, และกระแสเอาต์พุต  $v_{an}$ ,  $v_{ab}$ ,  $i_a$  และสเปกตรัมของแรงดันไลน์เอาต์พุต  $v_{ab}$  ที่  $f = 70$  Hz



รูปที่ 4.47 สเปกตรัมของกระแสเอาต์พุต  $i_a$

เอกสารนี้เป็นเอกสารที่สงวนไว้สำหรับการใช้งานเพื่อการศึกษาเท่านั้น ไม่อนุญาตให้นำไปใช้ประโยชน์ด้านการค้า  
ไม่ว่ากรณีใดๆทั้งสิ้น อีกทั้งห้ามมิให้ดัดแปลงเนื้อหา และต้องอ้างอิงถึงเจ้าของเอกสารทุกครั้งที่มีการนำไปใช้

#### 4.2.2 สรุปผลการจำลอง ในกรณีของแหล่งจ่ายมีการส่งผ่านกำลังไฟฟ้าไม่สมดุล

จากผลการจำลอง เพื่อหาความสัมพันธ์ระหว่างค่าดัชนีมอดูลेशनกับเปอร์เซ็นต์ค่าความผิดเพี้ยนของแรงดันไลน์ โดยปรับเปลี่ยนค่าดัชนีมอดูลेशन ซึ่งมีความถี่กำหนด  $f_1$  เท่ากับ 30 Hz,  $f_2$  เท่ากับ 50 Hz, และ  $f_3$  เท่ากับ 70 Hz จากผลการจำลองจะเห็นว่า แหล่งจ่ายแรงดันไฟตรงของอินเวอร์เตอร์เอชบริดจ์แต่ละเซลล์ของอินเวอร์เตอร์เจ็คระดับ จะจ่ายกำลังไฟฟ้าออกมาได้ไม่เท่ากัน ส่งผลให้แหล่งจ่ายแรงดันไฟตรงของอินเวอร์เตอร์เอชบริดจ์แต่ละเซลล์มีอายุการใช้งานไม่เท่ากัน ซึ่งเป็นสาเหตุเนื่องมาจากรูปแบบของการสวิทช์ที่ทำให้ลักษณะแรงดันเอาต์พุทของอินเวอร์เตอร์เอชบริดจ์แต่ละเซลล์ไม่เหมือนกันนั่นเอง

ตารางที่ 4.1 แสดงค่ากำลังไฟฟ้าที่แหล่งจ่ายแรงดันไฟตรงจ่ายให้กับอินเวอร์เตอร์เอชบริดจ์แต่ละ

เซลล์ในเฟส A

ดัชนีมอดูลेशन (M)	ค่ากำลังไฟฟ้าที่แหล่งจ่ายของอินเวอร์เตอร์เอชบริดจ์ (Watt) ที่ 30 Hz			ค่ากำลังไฟฟ้าที่แหล่งจ่ายของอินเวอร์เตอร์เอชบริดจ์ (Watt) ที่ 50 Hz			ค่ากำลังไฟฟ้าที่แหล่งจ่ายของอินเวอร์เตอร์เอชบริดจ์ (Watt) ที่ 70 Hz		
	1	2	3	1	2	3	1	2	3
0.6	39.2	155.3	203.4	35.7	141.8	190.8	30.2	122.5	168.7
0.8	170.2	218.9	286	154.9	201.6	272.3	134.1	176	244.2
1	218.5	351.5	399.1	206.8	334.6	380.8	184.5	299.9	341.2

ส่วนในด้านของค่าเปอร์เซ็นต์ความผิดเพี้ยนรวม (% THD) ของแรงดันไลน์ จากผลการจำลองจะเห็นว่า ที่ทุกค่าความถี่ที่กำหนด เมื่อค่าดัชนีมอดูลेशनเพิ่มขึ้น ค่า THD ของแรงดันไลน์จะมีค่าลดลง ดังแสดงในตารางที่ 4.2

ตารางที่ 4.2 ความสัมพันธ์ระหว่างค่าดัชนีมอดูลेशनกับเปอร์เซ็นต์ค่าความผิดเพี้ยนของแรงดันไลน์และกระแสไลน์

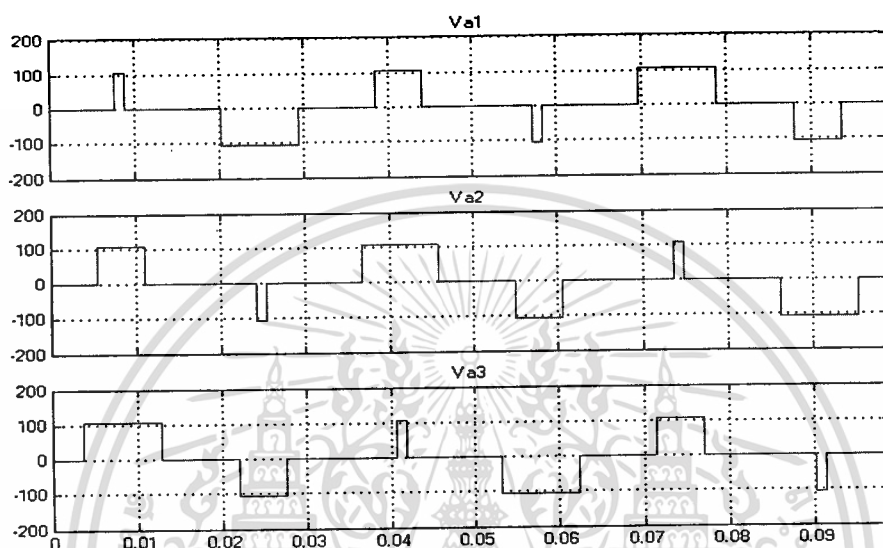
ค่าดัชนีมอดูลेशन (M)	เปอร์เซ็นต์ค่าความผิดเพี้ยนของแรงดันไลน์ และกระแสไลน์ (% THD)					
	30 Hz		50 Hz		70 Hz	
	$V_{ab}$	$I_a$	$V_{ab}$	$I_a$	$V_{ab}$	$I_a$
0.6	12.32	38.47	12.31	33.09	12.43	29.09
0.8	10.70	30.15	10.70	25.82	10.82	2294
1	7.59	5.38	7.59	3.68	7.76	7.33

เอกสารนี้เป็นเอกสารที่สงวนไว้สำหรับการใช้งานเพื่อการศึกษาเท่านั้น ไม่อนุญาตให้นำไปใช้ประโยชน์ด้านการค้า ไม่ว่าจะกรณีใดๆทั้งสิ้น อีกทั้งห้ามมิให้ตัดแปลงเนื้อหา และต้องอ้างอิงถึงเจ้าของเอกสารทุกครั้งที่มีการนำไปใช้

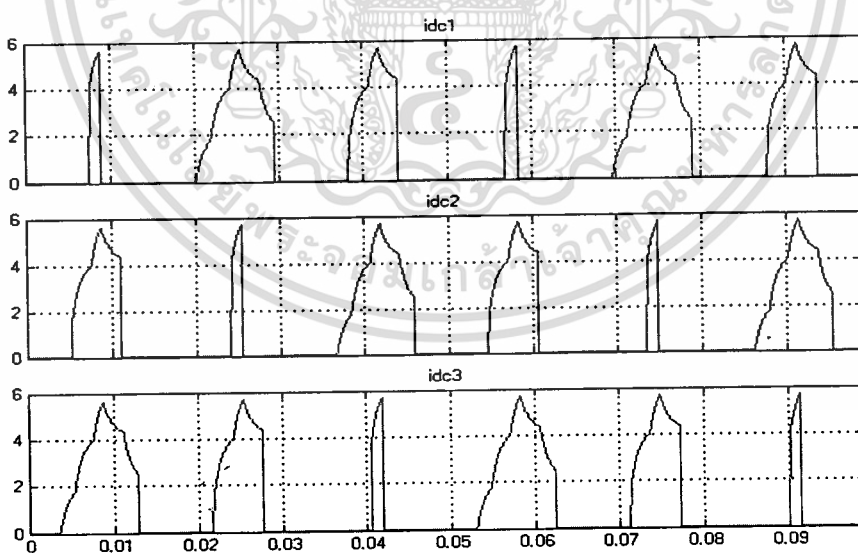
## 4.2.3 การจำลองการทำงานของอินเวอร์เตอร์ جهدระดับที่แหล่งจ่ายมีการส่งผ่านกำลังไฟฟ้า สมดุล

### 4.2.3.1 ที่ $f = 30 \text{ Hz}$ , $M = 0.6$

ทำการจำลองระบบเมื่อกำหนดให้  $f = 30 \text{ Hz}$ , ค่าดัชนีมอดูเลชัน ( $M$ ) เท่ากับ 0.6 ค่ามุม  
สวิตช์เป็น  $\alpha_1 = 39.3876^\circ$ ,  $\alpha_2 = 55.5215^\circ$  และ  $\alpha_3 = 78.8979^\circ$



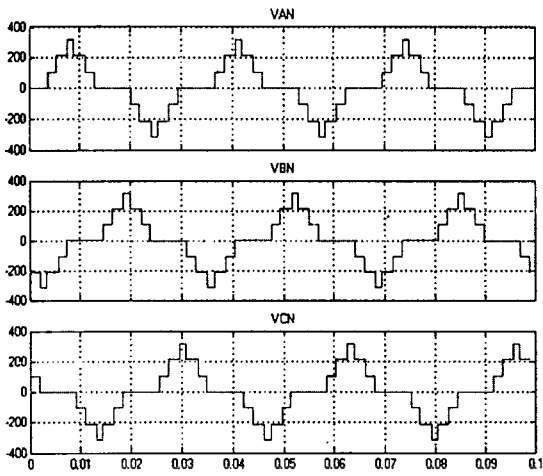
รูปที่ 4.48 แรงดันเอาต์พุตของอินเวอร์เตอร์เฮชบริดจ์แต่ละเซลล์ในเฟส A ที่  $f = 30 \text{ Hz}$



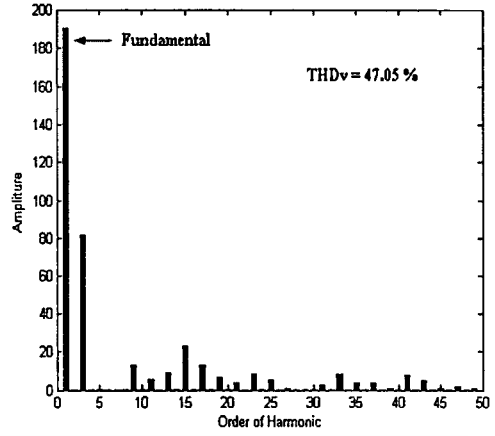
รูปที่ 4.49 กระแสที่แหล่งจ่ายของอินเวอร์เตอร์เฮชบริดจ์แต่ละเซลล์ในเฟส A ที่  $f = 30 \text{ Hz}$

ค่ากำลังไฟฟ้าที่แหล่งจ่ายส่งผ่านไปให้กับอินเวอร์เตอร์เฮชบริดจ์เซลล์ที่ 1, 2 และ 3  
เท่ากับ 133.4 W, 133.4 W และ 133.4 W ตามลำดับ

เอกสารนี้เป็นเอกสารที่สงวนไว้สำหรับการใช้งานเพื่อการศึกษาเท่านั้น ไม่อนุญาตให้นำไปใช้ประโยชน์ด้านการค้า  
ไม่ว่ากรณีใดๆทั้งสิ้น อีกทั้งห้ามมิให้ดัดแปลงเนื้อหา และต้องอ้างอิงถึงเจ้าของเอกสารทุกครั้งที่มีการนำไปใช้

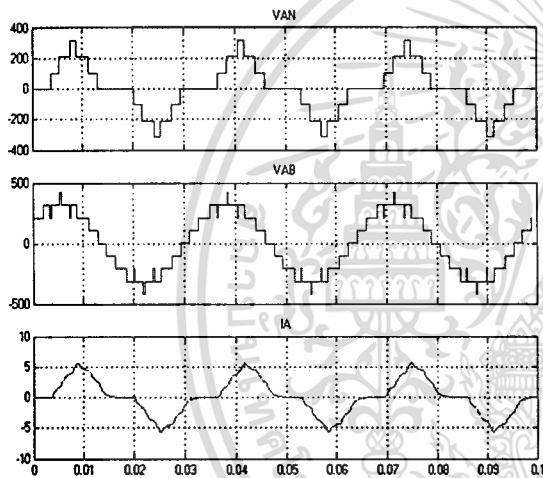


(ก)

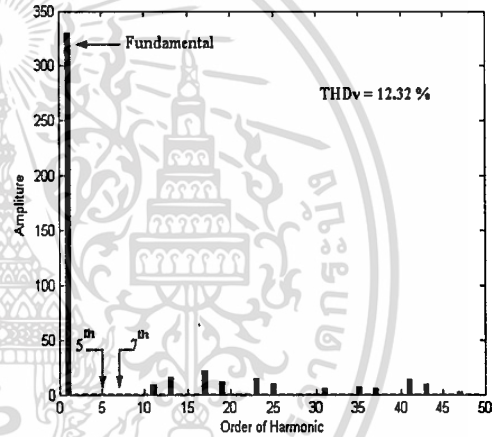


(จ)

รูปที่ 4.50 สัญญาณแรงดันเฟสเอาต์พุต  $v_{an}$ ,  $v_{bn}$ ,  $v_{cn}$  และ สเปกตรัมของแรงดันเฟสเอาต์พุต  $v_{an}$  ที่  $f = 30$  Hz

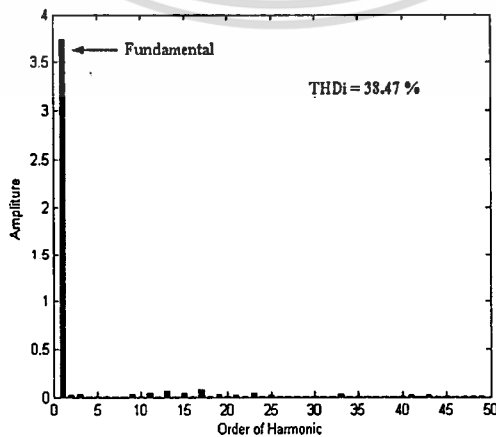


(ก)



(จ)

รูปที่ 4.51 สัญญาณแรงดันเฟส, แรงดันไลน์, และกระแสเอาต์พุต  $v_{an}$ ,  $v_{ab}$ ,  $i_a$  และสเปกตรัมของแรงดันไลน์เอาต์พุต  $v_{ab}$  ที่  $f = 30$  Hz

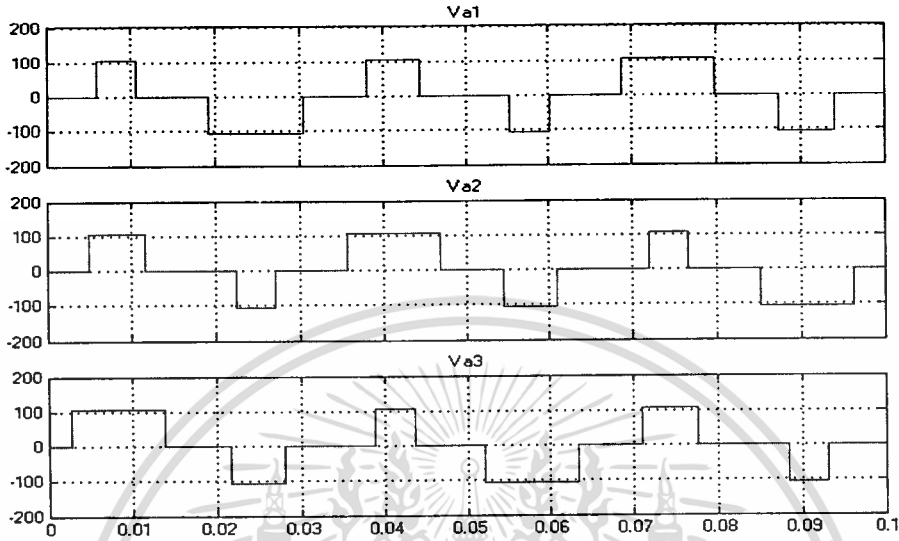


รูปที่ 4.52 สเปกตรัมของกระแสเอาต์พุต  $i_a$

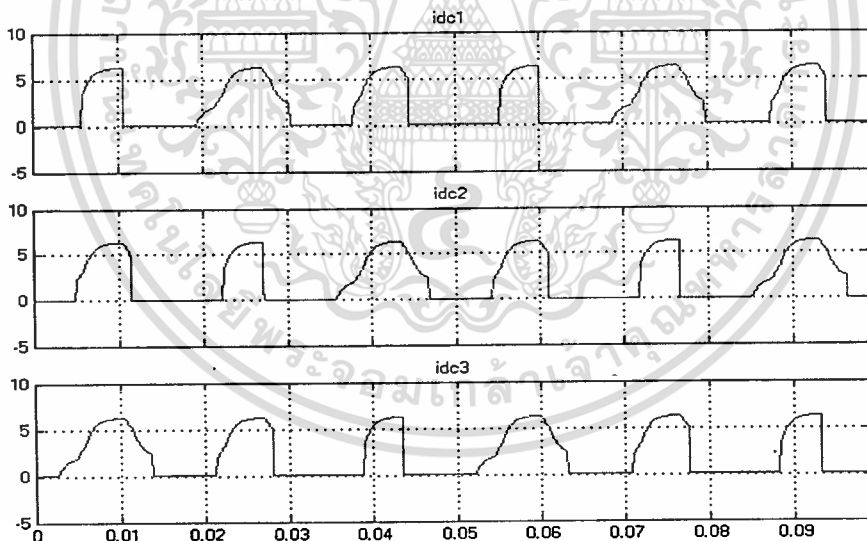
เอกสารนี้เป็นเอกสารที่สงวนไว้สำหรับการใช้งานเพื่อการศึกษาเท่านั้น ไม่อนุญาตให้นำไปใช้ประโยชน์ด้านการค้า ไม่ว่าจะกรณีใดๆทั้งสิ้น อีกทั้งห้ามมิให้ดัดแปลงเนื้อหา และต้องอ้างอิงถึงเจ้าของเอกสารทุกครั้งที่มีการนำไปใช้

#### 4.2.3.2 ที่ $f = 30 \text{ Hz}$ , $M = 0.8$

ทำการจำลองระบบเมื่อกำหนดให้  $f = 30 \text{ Hz}$ , ค่าดัชนีมอดูเลชัน ( $M$ ) เท่ากับ 0.8 ค่ามุมสวิตช์เป็น  $\alpha_1 = 29.2355^\circ$ ,  $\alpha_2 = 54.4383^\circ$  และ  $\alpha_3 = 64.4844^\circ$

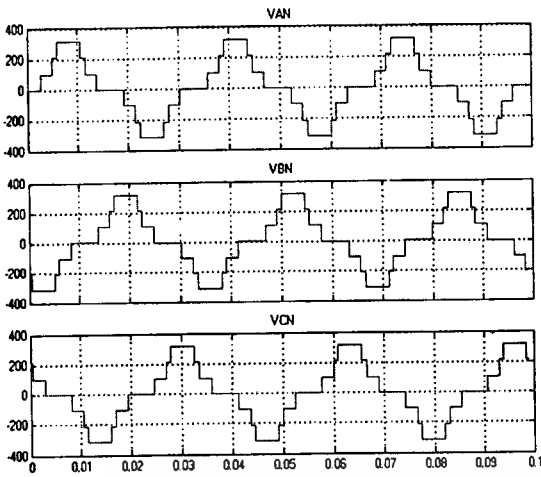


รูปที่ 4.53 แรงดันเอาต์พุตของอินเวอร์เตอร์เอชบริดจ์แต่ละเซลล์ในเฟส A ที่  $f = 30 \text{ Hz}$

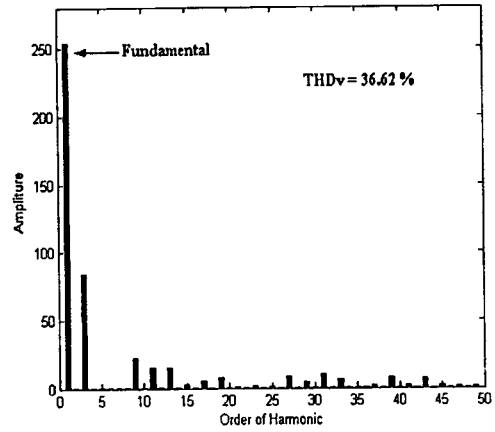


รูปที่ 4.54 กระแสที่แหล่งจ่ายของอินเวอร์เตอร์เอชบริดจ์แต่ละเซลล์ในเฟส A ที่  $f = 30 \text{ Hz}$

ค่ากำลังไฟฟ้าที่แหล่งจ่ายส่งผ่านไปให้กับอินเวอร์เตอร์เอชบริดจ์เซลล์ที่ 1, 2 และ 3 เท่ากับ 225 W, 225 W และ 225 W ตามลำดับ

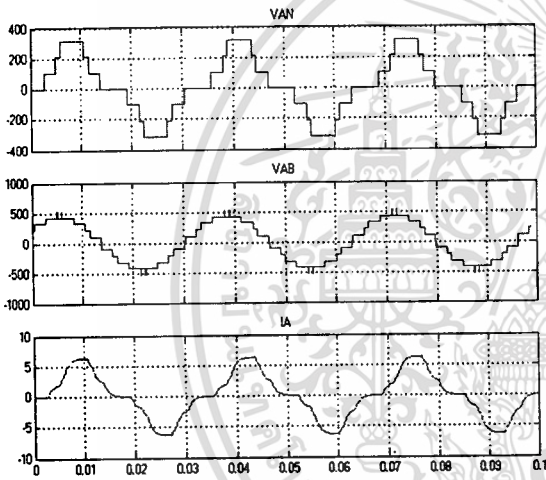


(ก)

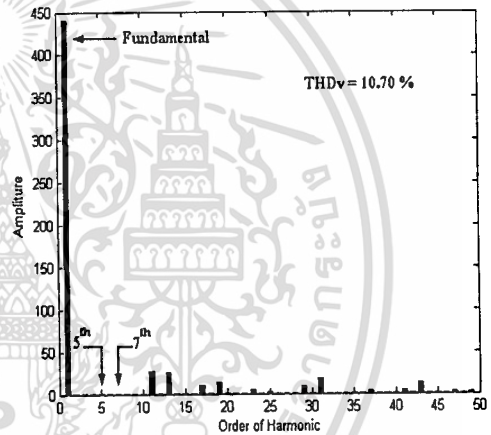


(จ)

รูปที่ 4.55 สัญญาณแรงดันเฟสเอาร์ทพุท  $v_{an}$ ,  $v_{bn}$ ,  $v_{cn}$  และ สเปกตรัมของแรงดันเฟสเอาร์ทพุท  $v_{an}$  ที่  $f = 30$  Hz

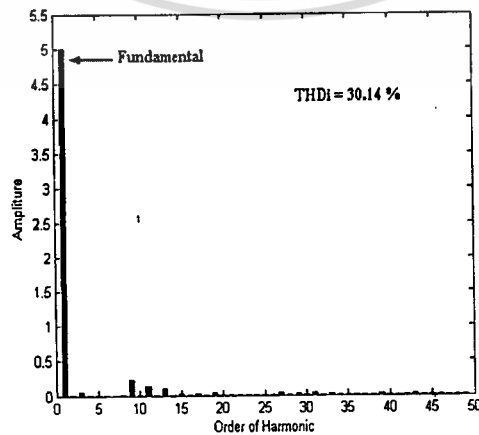


(ก)



(จ)

รูปที่ 4.56 สัญญาณแรงดันเฟส, แรงดันไลน์, และกระแสเอาร์ทพุท  $v_{an}$ ,  $v_{ab}$ ,  $i_a$  และสเปกตรัมของแรงดันไลน์เอาร์ทพุท  $v_{ab}$  ที่  $f = 30$  Hz

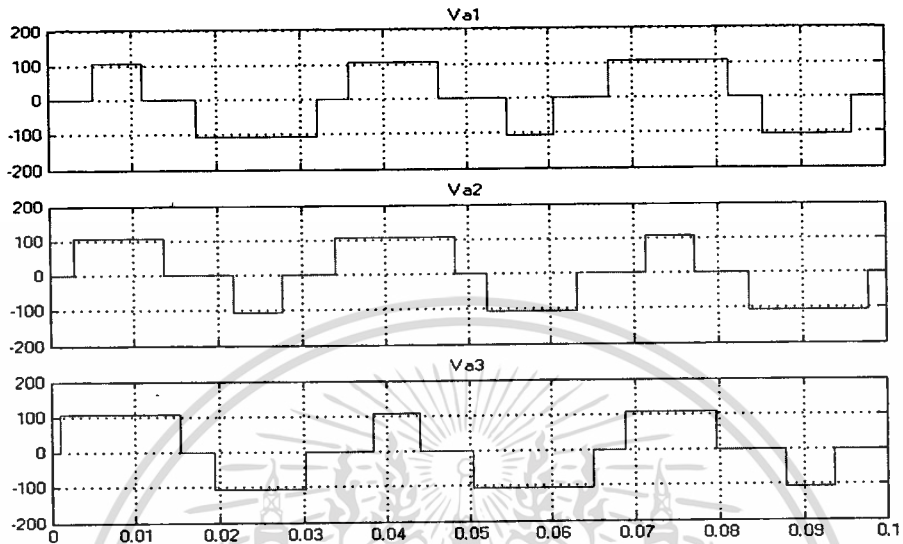


รูปที่ 4.57 สเปกตรัมของกระแสเอาร์ทพุท  $i_a$

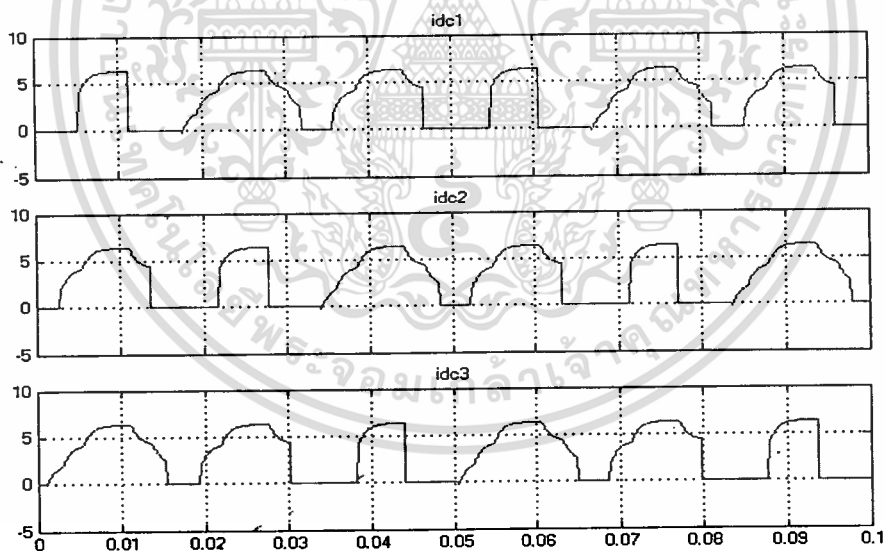
เอกสารนี้เป็นเอกสารที่สงวนไว้สำหรับการใช้งานเพื่อการศึกษาเท่านั้น ไม่อนุญาตให้นำไปใช้ประโยชน์ด้านการค้า ไม่ว่าจะกรณีใดๆทั้งสิ้น อีกทั้งห้ามมิให้ดัดแปลงเนื้อหา และต้องอ้างอิงถึงเจ้าของเอกสารทุกครั้งที่มีการนำไปใช้

### 4.2.3.3 ที่ $f = 30 \text{ Hz}$ , $M = 1$

ทำการจำลองระบบเมื่อกำหนดให้  $f = 30 \text{ Hz}$ , ค่าดัชนีมอดูเลชัน ( $M$ ) เท่ากับ 1 ค่ามุมสวิตช์ ซึ่งเป็น  $\alpha_1 = 11.6817^\circ$ ,  $\alpha_2 = 31.1783^\circ$  และ  $\alpha_3 = 58.5774^\circ$

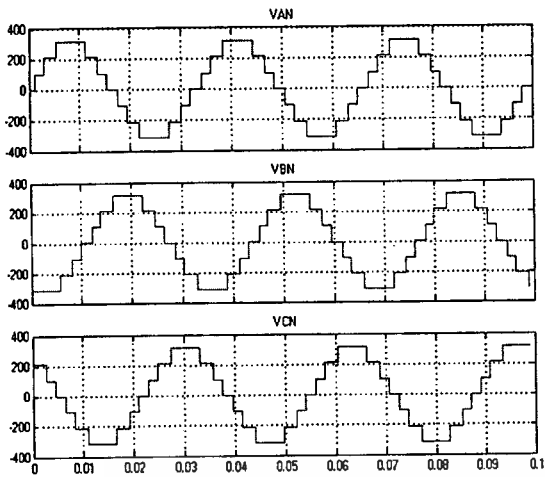


รูปที่ 4.58 แรงดันเอาต์พุตของอินเวอร์เตอร์เอชบริดจ์แต่ละเซลล์ในเฟส A ที่  $f = 30 \text{ Hz}$

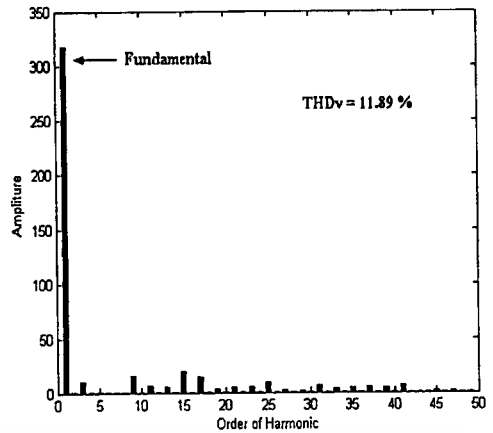


รูปที่ 4.59 กระแสที่แหล่งจ่ายของอินเวอร์เตอร์เอชบริดจ์แต่ละเซลล์ในเฟส A ที่  $f = 30 \text{ Hz}$

ค่ากำลังไฟฟ้าที่แหล่งจ่ายส่งผ่านไปให้กับอินเวอร์เตอร์เอชบริดจ์เซลล์ที่ 1, 2 และ 3 เท่ากับ 323 W, 323 W และ 323 W ตามลำดับ



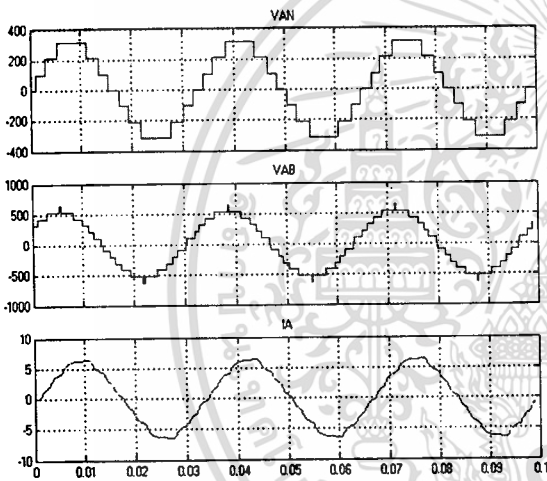
(ก)



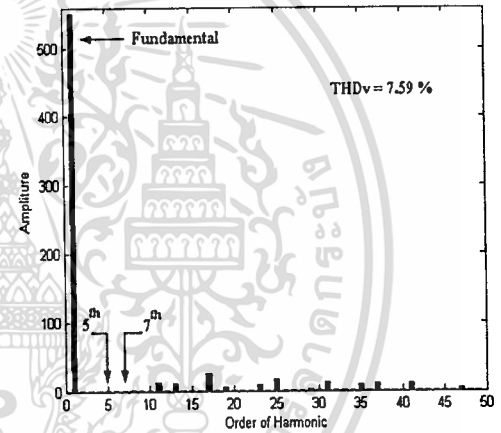
(จ)

รูปที่ 4.60 สัญญาณแรงดันเฟสเอ้าท์พุท  $v_{an}$ ,  $v_{bn}$ ,  $v_{cn}$  และ สเปกตรัมของแรงดันเฟสเอ้าท์พุท  $v_{an}$

ที่  $f = 30 \text{ Hz}$



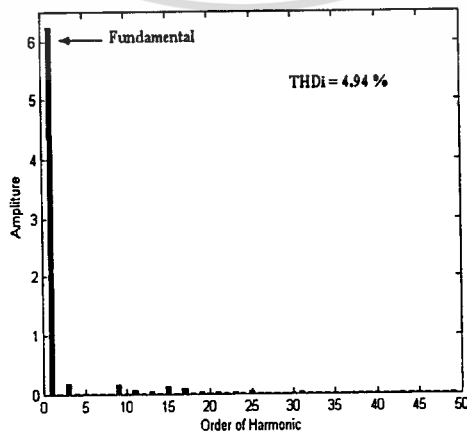
(ก)



(จ)

รูปที่ 4.61 สัญญาณแรงดันเฟส, แรงดันไลน์, และกระแสเอ้าท์พุท  $v_{an}$ ,  $v_{ab}$ ,  $i_a$

และสเปกตรัมของแรงดันไลน์เอ้าท์พุท  $v_{ab}$  ที่  $f = 30 \text{ Hz}$



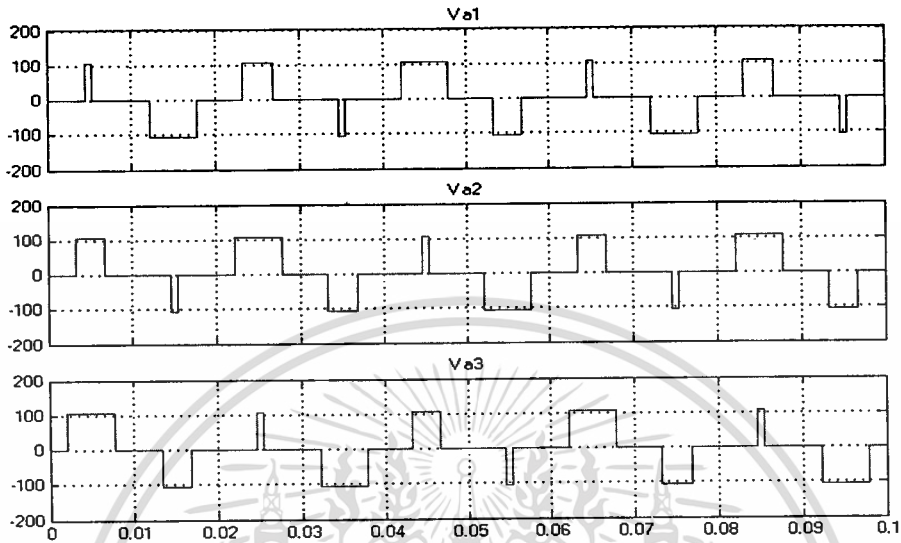
รูปที่ 4.62 สเปกตรัมของกระแสเอ้าท์พุท  $i_a$

เอกสารนี้เป็นเอกสารที่สงวนไว้สำหรับการใช้งานเพื่อการศึกษาเท่านั้น ไม่นอนุญาตให้นำไปใช้ประโยชน์ด้านการค้า

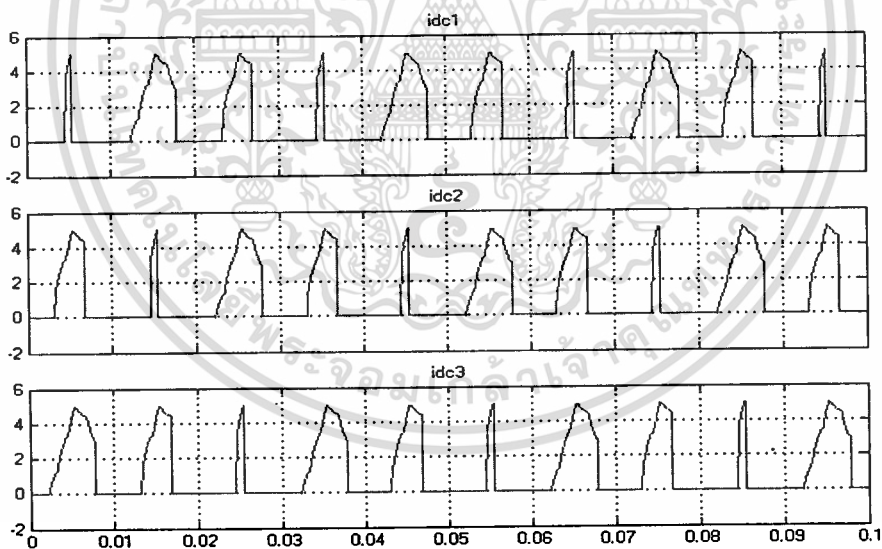
ไม่ว่ากรณีใดๆทั้งสิ้น อีกทั้งห้ามมิให้ดัดแปลงเนื้อหา และต้องอ้างอิงถึงเจ้าของเอกสารทุกครั้งที่มีการนำไปใช้

#### 4.2.3.4 ที่ $f = 50 \text{ Hz}$ , $M = 0.6$

ทำการจำลองระบบเมื่อกำหนดให้  $f = 50 \text{ Hz}$ , ค่าดัชนีมอดูเลชัน ( $M$ ) เท่ากับ 0.6 ค่ามุมสวิตช์เป็น  $\alpha_1 = 39.3876^\circ$ ,  $\alpha_2 = 55.5215^\circ$  และ  $\alpha_3 = 78.8979^\circ$

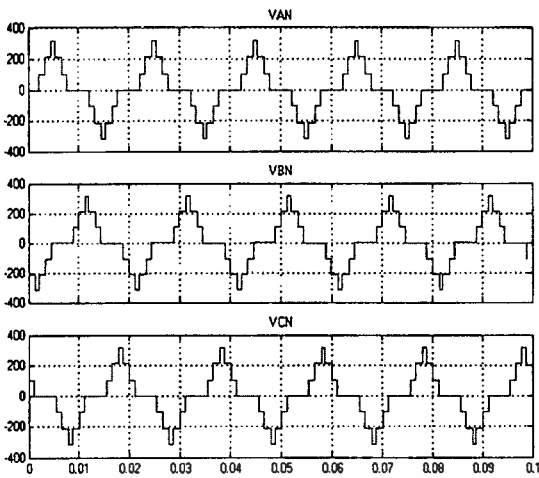


รูปที่ 4.63 แรงดันเอาต์พุตของอินเวอร์เตอร์เอชบริดจ์แต่ละเซลล์ในเฟส A ที่  $f = 50 \text{ Hz}$

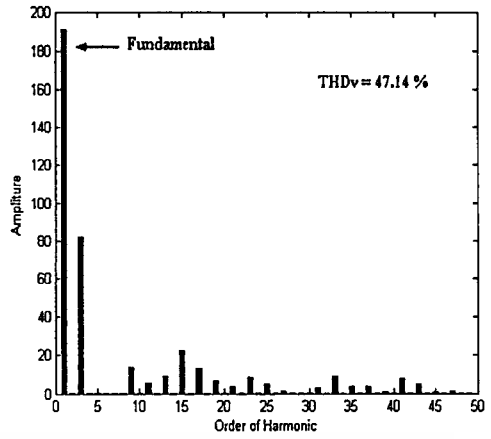


รูปที่ 4.64 กระแสที่แหล่งจ่ายของอินเวอร์เตอร์เอชบริดจ์แต่ละเซลล์ในเฟส A ที่  $f = 50 \text{ Hz}$

ค่ากำลังไฟฟ้าที่แหล่งจ่ายส่งผ่านไปให้กับอินเวอร์เตอร์เอชบริดจ์เซลล์ที่ 1, 2 และ 3 เท่ากับ 122.8 W, 122.8 W และ 122.8 W ตามลำดับ

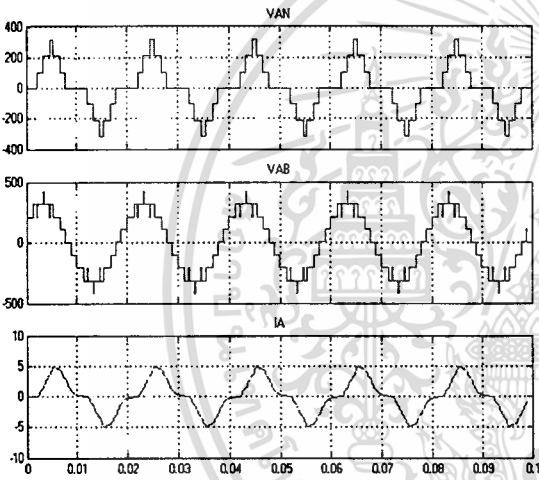


(ก)

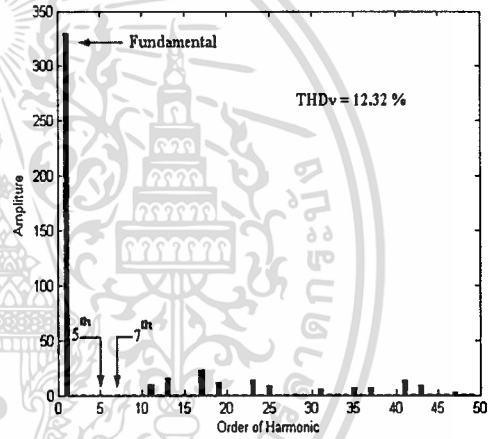


(จ)

รูปที่ 4.65 สัญญาณแรงดันเฟสเอาต์พุต  $v_{an}$ ,  $v_{bn}$ ,  $v_{cn}$  และ สเปกตรัมของแรงดันเฟสเอาต์พุต  $v_{an}$  ที่  $f = 50$  Hz

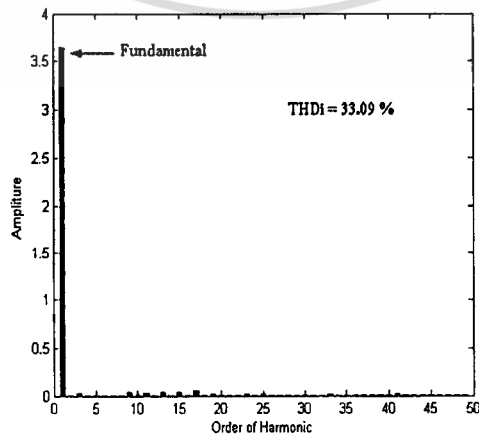


(ก)



(จ)

รูปที่ 4.66 สัญญาณแรงดันเฟส, แรงดันไลน์, และกระแสเอาต์พุต  $v_{an}$ ,  $v_{ab}$ ,  $i_a$  และสเปกตรัมของแรงดันไลน์เอาต์พุต  $v_{ab}$  ที่  $f = 50$  Hz

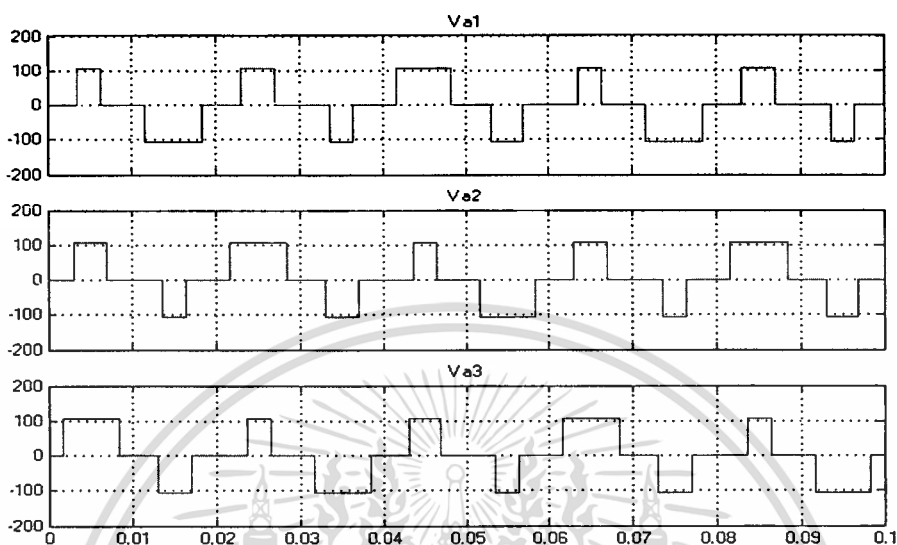


รูปที่ 4.67 สเปกตรัมของกระแสเอาต์พุต  $i_a$

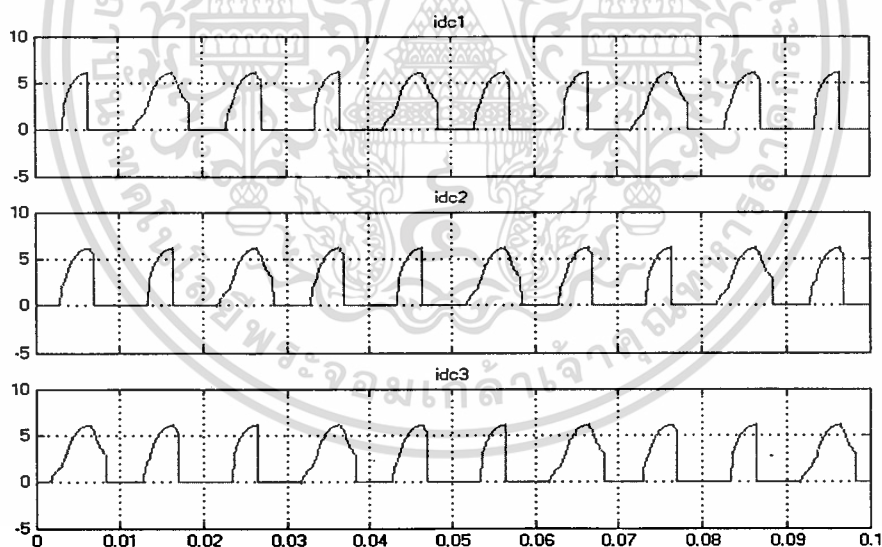
เอกสารนี้เป็นเอกสารที่สงวนไว้สำหรับการใช้งานเพื่อการศึกษาเท่านั้น ไม่อนุญาตให้นำไปใช้ประโยชน์ด้านการค้า ไม่ว่าจะกรณีใดๆทั้งสิ้น อีกทั้งห้ามมิให้ตัดแปลงเนื้อหา และต้องอ้างอิงถึงเจ้าของเอกสารทุกครั้งที่มีการนำไปใช้

#### 4.2.3.5 ที่ $f = 50 \text{ Hz}$ , $M = 0.8$

ทำการจำลองระบบเมื่อกำหนดให้  $f = 50 \text{ Hz}$ , ค่าดัชนีมอดูเลชัน ( $M$ ) เท่ากับ 0.8 ค่ามุมสวิตช์เป็น  $\alpha_1 = 29.2355^\circ$ ,  $\alpha_2 = 54.4383^\circ$  และ  $\alpha_3 = 64.4844^\circ$

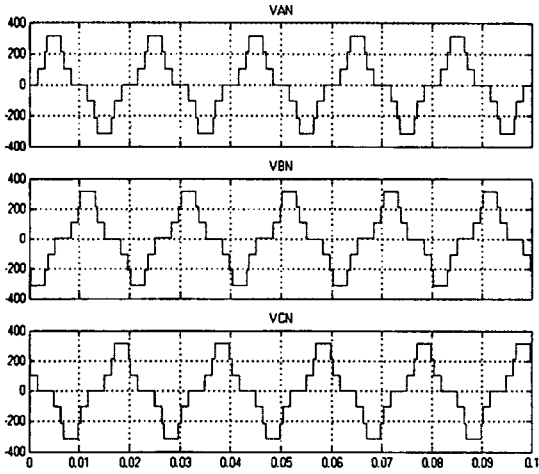


รูปที่ 4.68 แรงดันเอาต์พุตของอินเวอร์เตอร์เซชบริดจ์แต่ละเซลล์ในเฟส A ที่  $f = 50 \text{ Hz}$

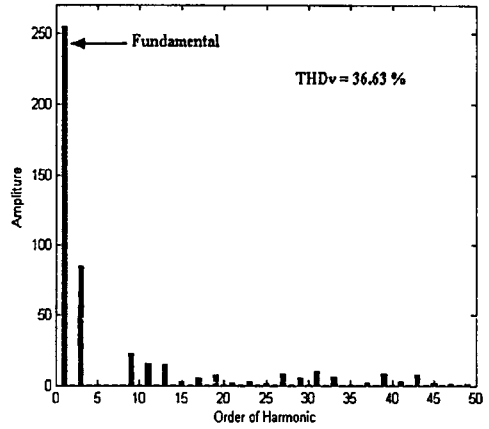


รูปที่ 4.69 กระแสที่แหล่งจ่ายของอินเวอร์เตอร์เซชบริดจ์แต่ละเซลล์ในเฟส A ที่  $f = 50 \text{ Hz}$

ค่ากำลังไฟฟ้าที่แหล่งจ่ายส่งผ่าน ไปให้กับอินเวอร์เตอร์เซชบริดจ์เซลล์ที่ 1, 2 และ 3 เท่ากับ 209.7 W, 209.7 W และ 209.7 W ตามลำดับ



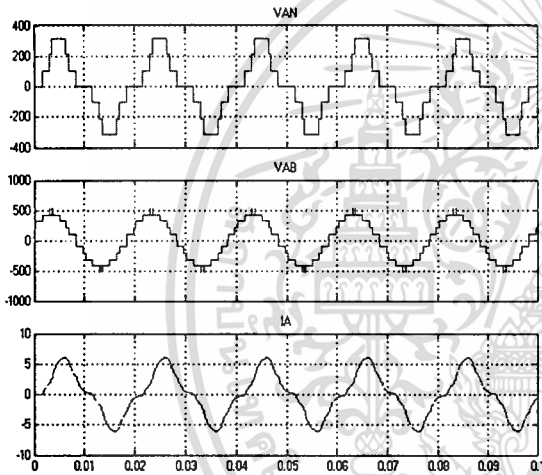
(ก)



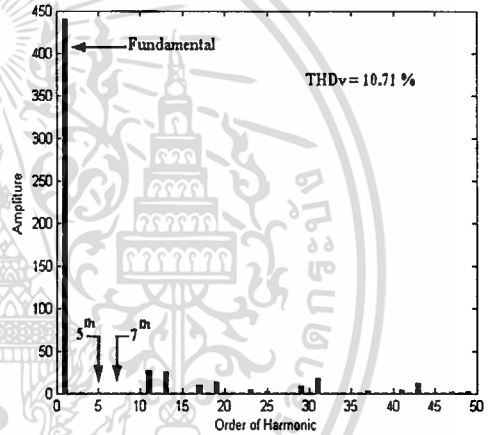
(ข)

รูปที่ 4.70 สัญญาณแรงดันเฟสเอาต์พุต  $v_{an}$ ,  $v_{bn}$ ,  $v_{cn}$  และ สเปกตรัมของแรงดันเฟสเอาต์พุต  $v_{an}$

ที่  $f = 50$  Hz



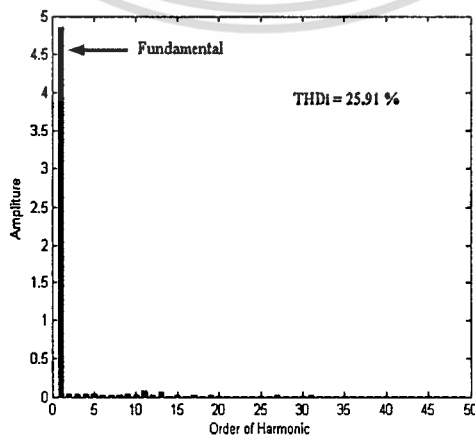
(ก)



(ข)

รูปที่ 4.71 สัญญาณแรงดันเฟส, แรงดันไลน์, และกระแสเอาต์พุต  $v_{an}$ ,  $v_{ab}$ ,  $i_a$

และสเปกตรัมของแรงดันไลน์เอาต์พุต  $v_{ab}$  ที่  $f = 50$  Hz

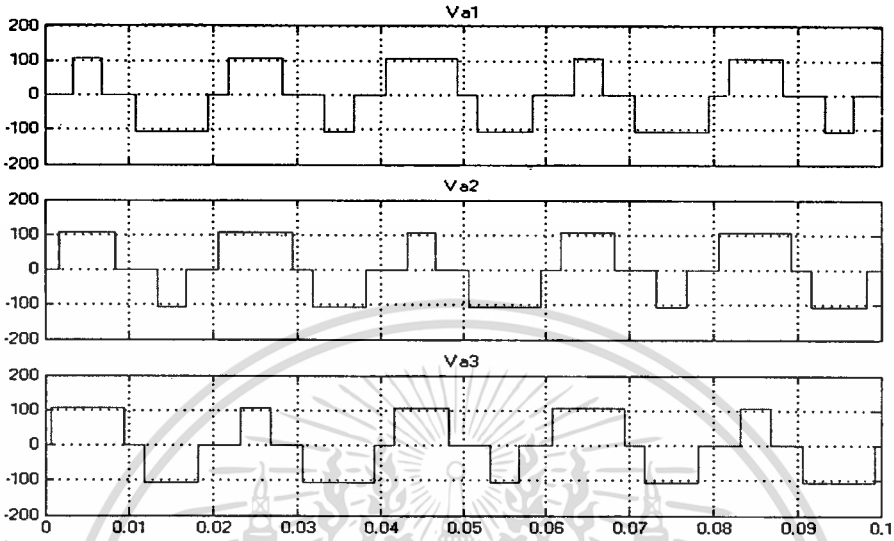


รูปที่ 4.72 สเปกตรัมของกระแสเอาต์พุต  $i_a$

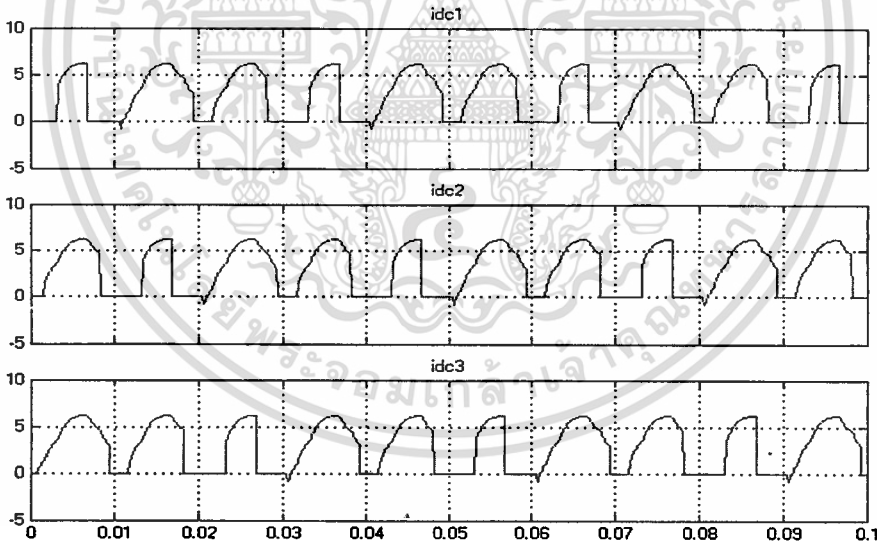
เอกสารนี้เป็นเอกสารที่สงวนไว้สำหรับการใช้งานเพื่อการศึกษาเท่านั้น ไม่อนุญาตให้นำไปใช้ประโยชน์ด้านการค้า  
ไม่ว่ากรณีใดๆทั้งสิ้น อีกทั้งห้ามมิให้ดัดแปลงเนื้อหา และต้องอ้างอิงถึงเจ้าของเอกสารทุกครั้งที่มีการนำไปใช้

#### 4.2.3.6 ที่ $f = 50 \text{ Hz}$ , $M = 1$

ทำการจำลองระบบเมื่อกำหนดให้  $f = 50 \text{ Hz}$ , ค่าดัชนีมอดูเลชัน ( $M$ ) เท่ากับ 1 ค่ามุมสวิตช์ ซึ่งเป็น  $\alpha_1 = 11.6817^\circ$ ,  $\alpha_2 = 31.1783^\circ$  และ  $\alpha_3 = 58.5774^\circ$

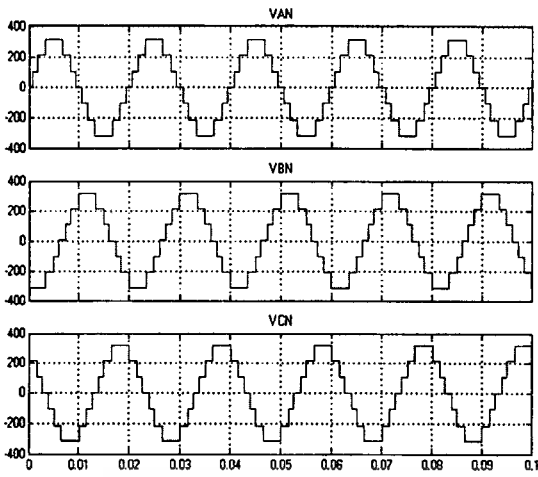


รูปที่ 4.73 แรงดันเอาต์พุตของอินเวอร์เตอร์เอชบริดจ์แต่ละเซลล์ในเฟส A ที่  $f = 50 \text{ Hz}$

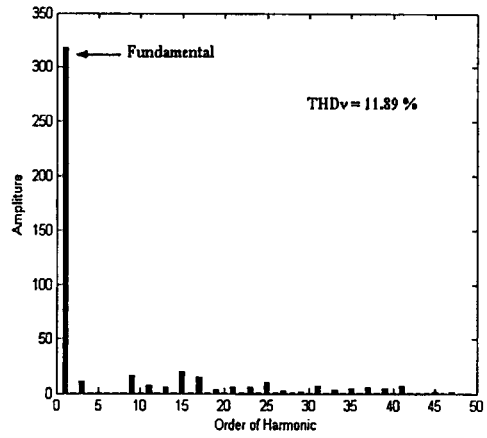


รูปที่ 4.74 กระแสที่แหล่งจ่ายของอินเวอร์เตอร์เอชบริดจ์แต่ละเซลล์ในเฟส A ที่  $f = 50 \text{ Hz}$

ค่ากำลังไฟฟ้าที่แหล่งจ่ายส่งผ่านไปให้กับอินเวอร์เตอร์เอชบริดจ์เซลล์ที่ 1, 2 และ 3 เท่ากับ 307.5 W, 307.5 W และ 307.5 W ตามลำดับ

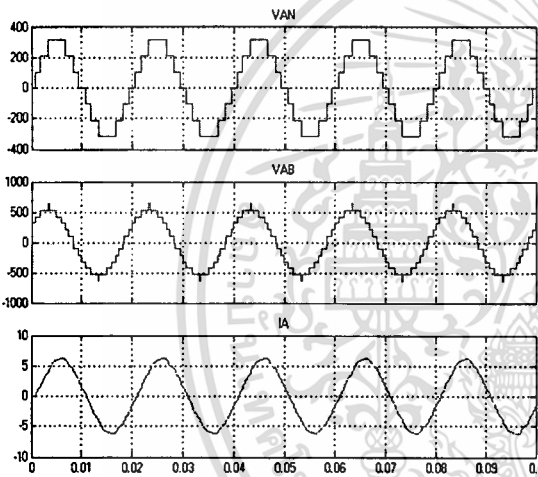


(ก)

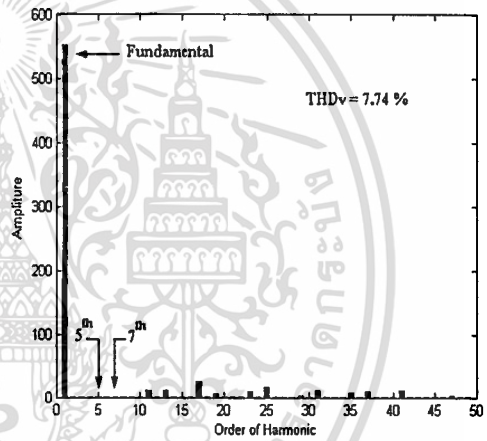


(จ)

รูปที่ 4.75 สัญญาณแรงดันเฟสเอาต์พุต  $v_{an}$ ,  $v_{bn}$ ,  $v_{cn}$  และ สเปกตรัมของแรงดันเฟสเอาต์พุต  $v_{an}$  ที่  $f = 50$  Hz

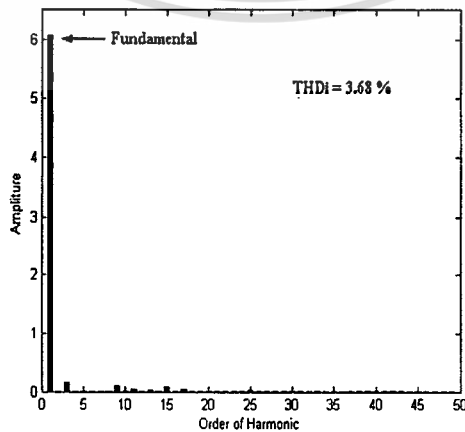


(ก)



(จ)

รูปที่ 4.76 สัญญาณแรงดันเฟส, แรงดันไลน์, และกระแสเอาต์พุต  $v_{an}$ ,  $v_{ab}$ ,  $i_a$  และสเปกตรัมของแรงดันไลน์เอาต์พุต  $v_{ab}$  ที่  $f = 50$  Hz

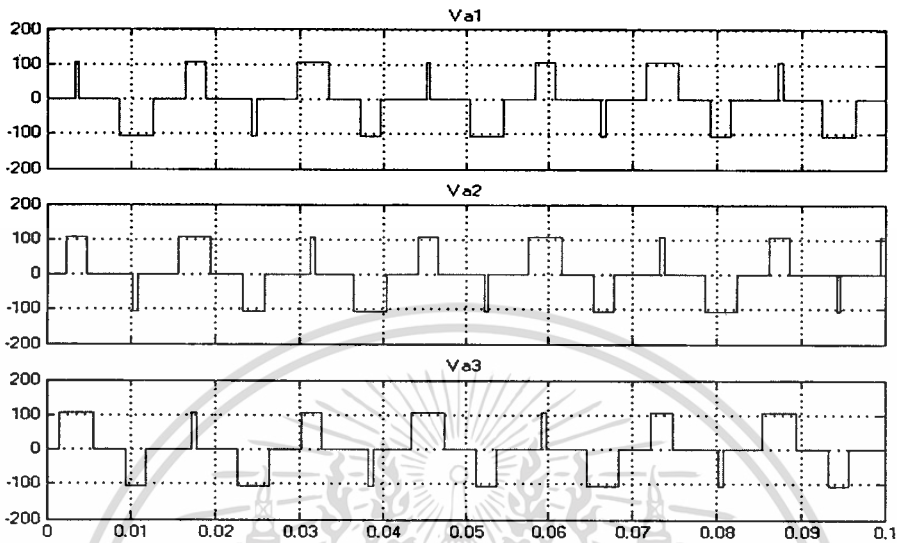


รูปที่ 4.77 สเปกตรัมของกระแสเอาต์พุต  $i_a$

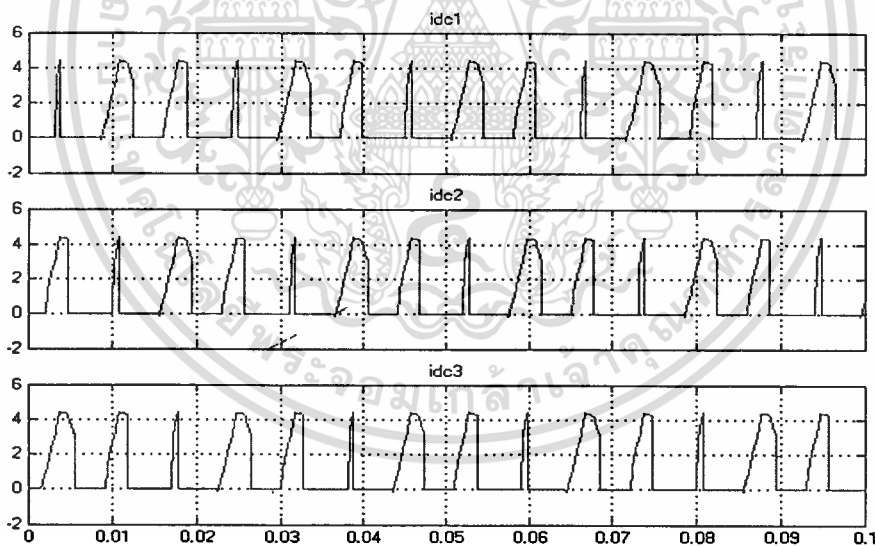
เอกสารนี้เป็นเอกสารที่สงวนไว้สำหรับการใช้งานเพื่อการศึกษาเท่านั้น ไม่อนุญาตให้นำไปใช้ประโยชน์ด้านการค้า  
ไม่ว่ากรณีใดๆทั้งสิ้น อีกทั้งห้ามมิให้ดัดแปลงเนื้อหา และต้องอ้างอิงถึงเจ้าของเอกสารทุกครั้งที่มีการนำไปใช้

#### 4.2.3.7 ที่ $f = 70 \text{ Hz}$ , $M = 0.6$

ทำการจำลองระบบเมื่อกำหนดให้  $f = 70 \text{ Hz}$ , ค่าดัชนีมอดูเลชัน ( $M$ ) เท่ากับ 0.6 ค่ามุมสวิตช์เป็น  $\alpha_1 = 39.3876^\circ$ ,  $\alpha_2 = 55.5215^\circ$  และ  $\alpha_3 = 78.8979^\circ$

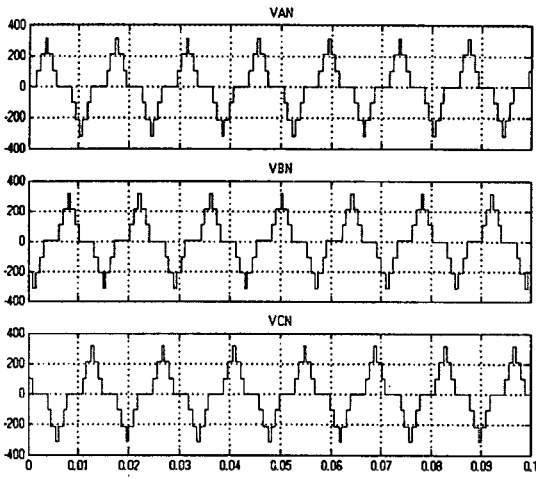


รูปที่ 4.78 แรงดันเอาต์พุตของอินเวอร์เตอร์เซบรีดจ์แต่ละเซลล์ในเฟส A ที่  $f = 70 \text{ Hz}$

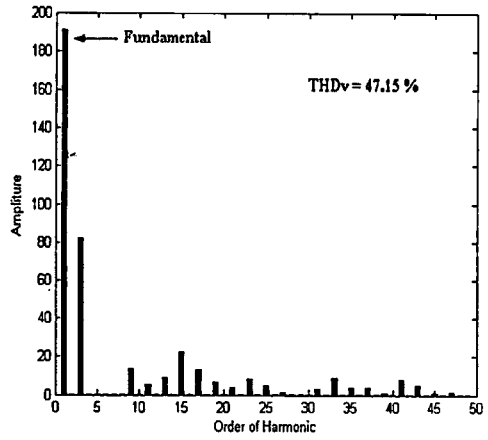


รูปที่ 4.79 กระแสที่แหล่งจ่ายของอินเวอร์เตอร์เซบรีดจ์แต่ละเซลล์ในเฟส A ที่  $f = 70 \text{ Hz}$

ค่ากำลังไฟฟ้าที่แหล่งจ่ายส่งผ่านไปให้กับอินเวอร์เตอร์เซบรีดจ์เซลล์ที่ 1, 2 และ 3 เท่ากับ 105.6 W, 105.6 W และ 105.6 W ตามลำดับ

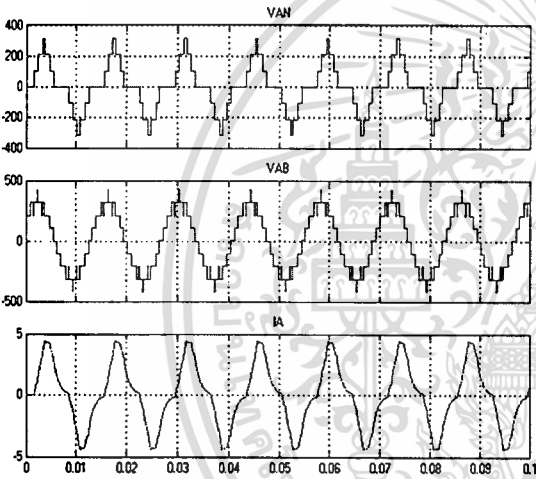


(ก)

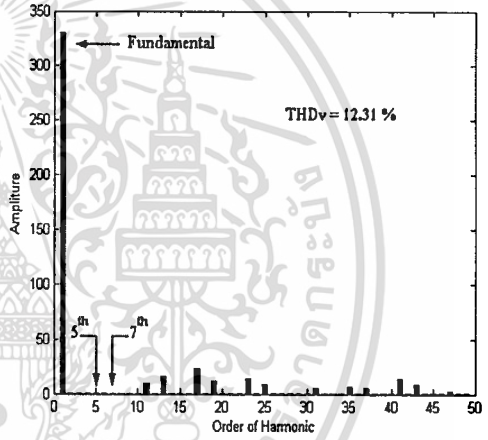


(จ)

รูปที่ 4.80 สัญญาณแรงดันเฟสเอาต์พุต  $v_{an}, v_{bn}, v_{cn}$  และ สเปกตรัมของแรงดันเฟสเอาต์พุต  $v_{an}$  ที่  $f = 70$  Hz

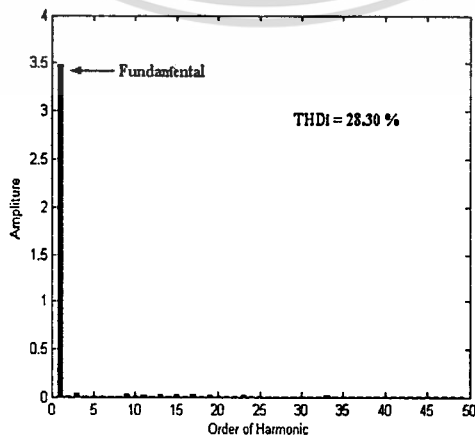


(ก)



(จ)

รูปที่ 4.81 สัญญาณแรงดันเฟส, แรงดันไลน์, และกระแสเอาต์พุต  $v_{an}, v_{ab}, i_a$  และสเปกตรัมของแรงดันไลน์เอาต์พุต  $v_{ab}$  ที่  $f = 70$  Hz

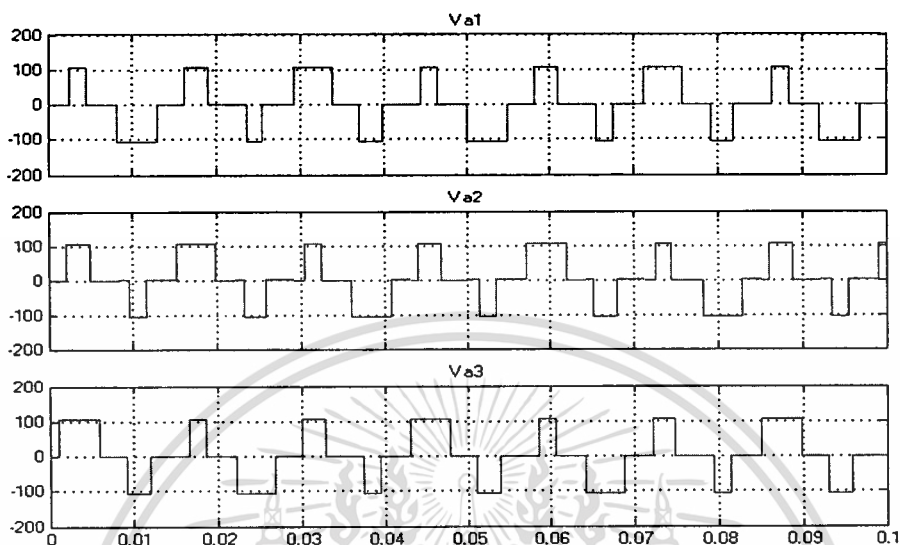


รูปที่ 4.82 สเปกตรัมของกระแสเอาต์พุต  $i_a$

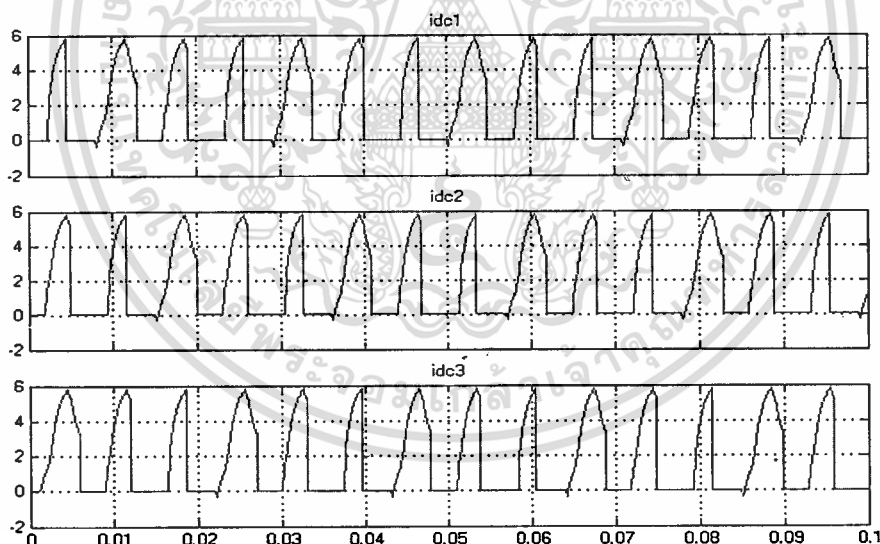
เอกสารนี้เป็นเอกสารที่สงวนไว้สำหรับการใช้งานเพื่อการศึกษาเท่านั้น ไม่อนุญาตให้นำไปใช้ประโยชน์ด้านการค้า ไม่ว่าจะกรณีใดๆทั้งสิ้น อีกทั้งห้ามมิให้ดัดแปลงเนื้อหา และต้องอ้างอิงถึงเจ้าของเอกสารทุกครั้งที่มีการนำไปใช้

#### 4.2.3.8 ที่ $f = 70 \text{ Hz}$ , $M = 0.8$

ทำการจำลองระบบเมื่อกำหนดให้  $f = 70 \text{ Hz}$ , ค่าดัชนีมอดูเลชัน ( $M$ ) เท่ากับ 0.8 ค่ามุมสวิทช์เป็น  $\alpha_1 = 29.2355^\circ$ ,  $\alpha_2 = 54.4383^\circ$  และ  $\alpha_3 = 64.4844^\circ$

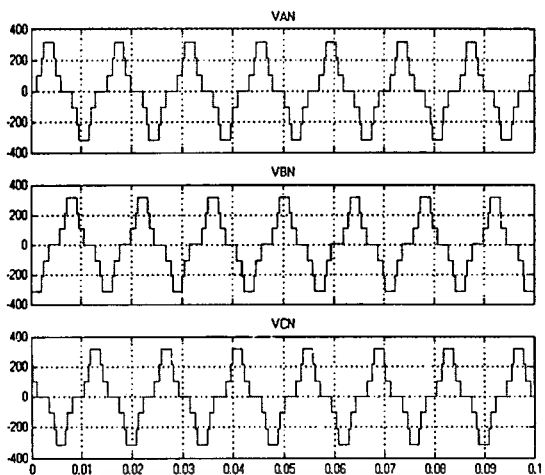


รูปที่ 4.83 แรงดันเอาต์พุตของอินเวอร์เตอร์เอชบริดจ์แต่ละเซลล์ในเฟส A ที่  $f = 70 \text{ Hz}$

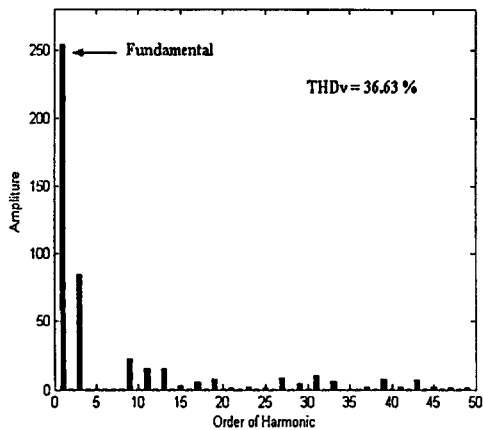


รูปที่ 4.84 กระแสที่แหล่งจ่ายของอินเวอร์เตอร์เอชบริดจ์แต่ละเซลล์ในเฟส A ที่  $f = 70 \text{ Hz}$

ค่ากำลังไฟฟ้าที่แหล่งจ่ายส่งผ่านไปให้กับอินเวอร์เตอร์เอชบริดจ์เซลล์ที่ 1, 2 และ 3 เท่ากับ 182.1 W, 182.1 W และ 182.1 W ตามลำดับ

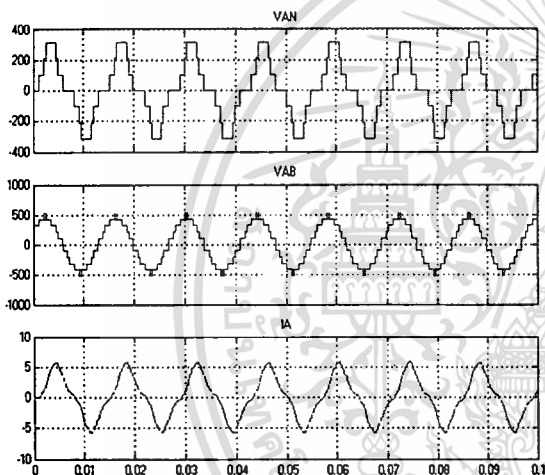


(ก)

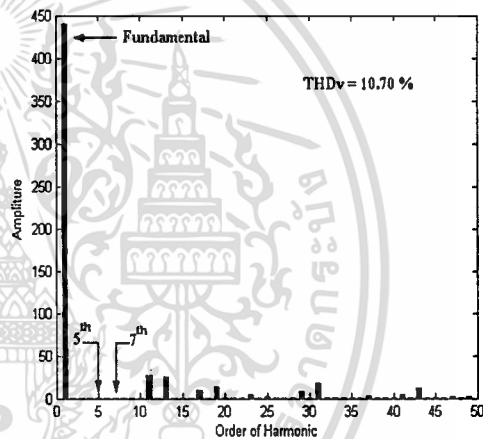


(จ)

รูปที่ 4.85 สัญญาณแรงดันเฟสเอาต์พุต  $v_{an}$ ,  $v_{bn}$ ,  $v_{cn}$  และ สเปกตรัมของแรงดันเฟสเอาต์พุต  $v_{an}$  ที่  $f = 70$  Hz

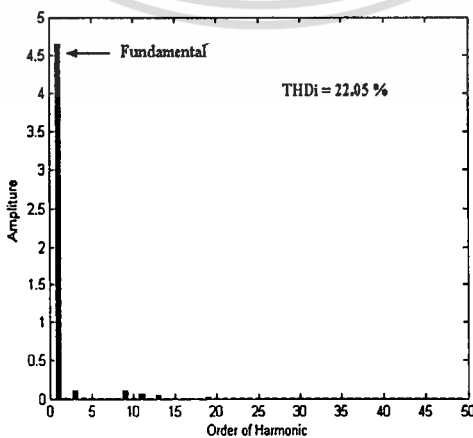


(ก)



(จ)

รูปที่ 4.86 สัญญาณแรงดันเฟส, แรงดันไลน์, และกระแสเอาต์พุต  $v_{an}$ ,  $v_{ab}$ ,  $i_a$  และสเปกตรัมของแรงดันไลน์เอาต์พุต  $v_{ab}$  ที่  $f = 70$  Hz

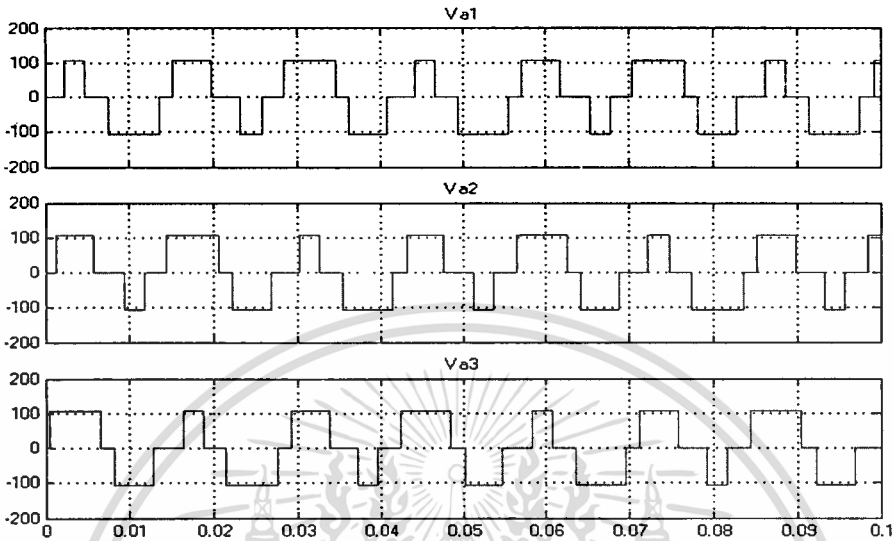


รูปที่ 4.87 สเปกตรัมของกระแสเอาต์พุต  $i_a$

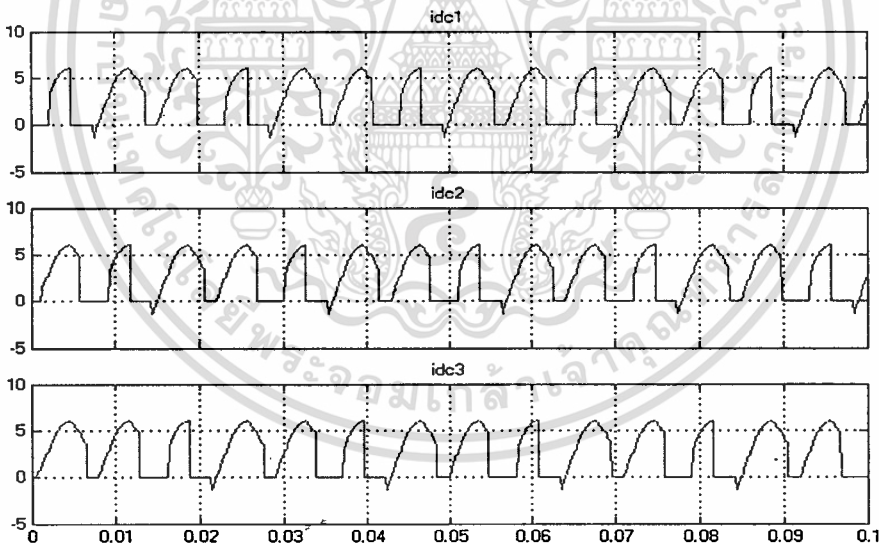
เอกสารนี้เป็นเอกสารที่สงวนไว้สำหรับการใช้งานเพื่อการศึกษาเท่านั้น ไม่อนุญาตให้นำไปใช้ประโยชน์ด้านการค้า ไม่ว่าจะกรณีใดๆทั้งสิ้น อีกทั้งห้ามมิให้ดัดแปลงเนื้อหา และต้องอ้างอิงถึงเจ้าของเอกสารทุกครั้งที่มีการนำไปใช้

#### 4.2.3.9 ที่ $f = 70 \text{ Hz}$ , $M = 1$

ทำการจำลองระบบเมื่อกำหนดให้  $f = 70 \text{ Hz}$ , ค่าดัชนีมอดูเลชัน ( $M$ ) เท่ากับ 1 ค่ามุมสวิตช์ ซึ่งเป็น  $\alpha_1 = 11.6817^\circ$ ,  $\alpha_2 = 31.1783^\circ$  และ  $\alpha_3 = 58.5774^\circ$

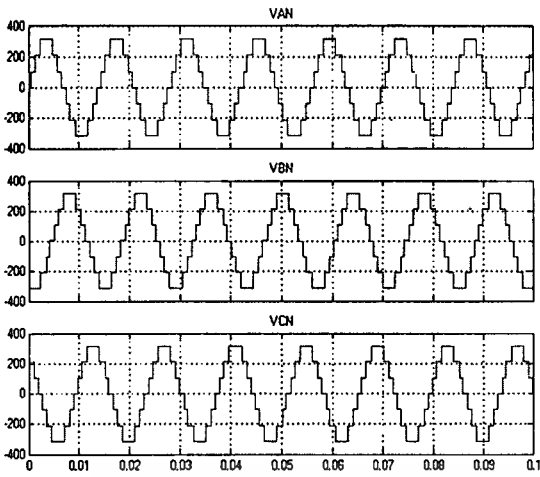


รูปที่ 4.88 แรงดันเอาต์พุตของอินเวอร์เตอร์เอชบริดจ์แต่ละเซลล์ในเฟส A ที่  $f = 70 \text{ Hz}$

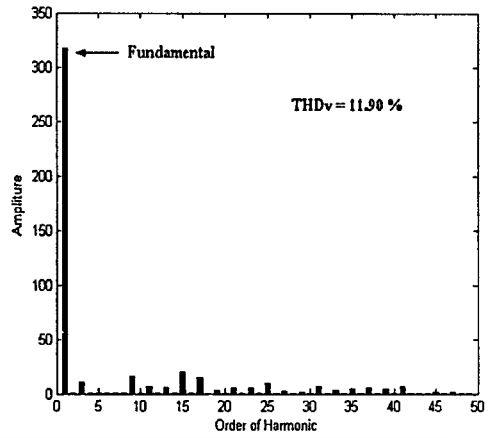


รูปที่ 4.89 กระแสที่แหล่งจ่ายของอินเวอร์เตอร์เอชบริดจ์แต่ละเซลล์ในเฟส A ที่  $f = 70 \text{ Hz}$

ค่ากำลังไฟฟ้าที่แหล่งจ่ายส่งผ่านไปให้กับอินเวอร์เตอร์เอชบริดจ์เซลล์ที่ 1, 2 และ 3 เท่ากับ  $277.6 \text{ W}$ ,  $277.6 \text{ W}$  และ  $277.6 \text{ W}$  ตามลำดับ

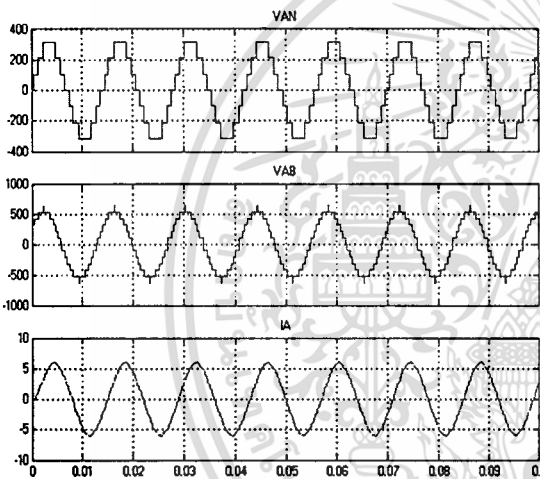


(ก)

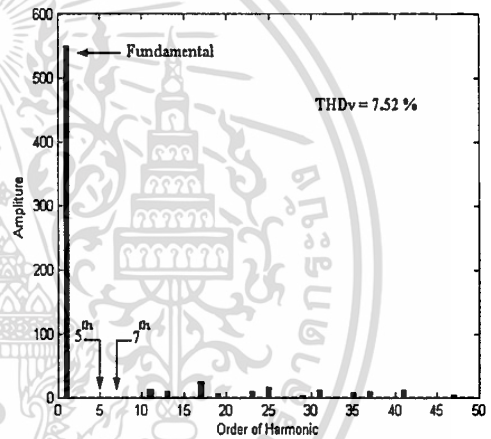


(ข)

รูปที่ 4.90 สัญญาณแรงดันเฟสเอาต์พุต  $v_{an}$ ,  $v_{bn}$ ,  $v_{cn}$  และ สเปกตรัมของแรงดันเฟสเอาต์พุต  $v_{an}$  ที่  $f = 70 \text{ Hz}$

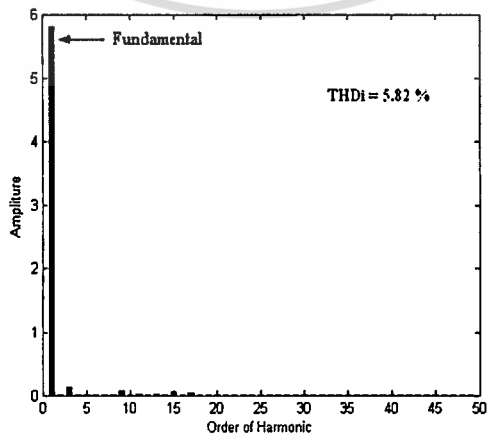


(ก)



(ข)

รูปที่ 4.91 สัญญาณแรงดันเฟส, แรงดันไลน์, และกระแสเอาต์พุต  $v_{an}$ ,  $v_{ab}$ ,  $i_a$  และสเปกตรัมของแรงดันไลน์เอาต์พุต  $v_{ab}$  ที่  $f = 70 \text{ Hz}$



รูปที่ 4.92 สเปกตรัมของกระแสเอาต์พุต  $i_a$

เอกสารนี้เป็นเอกสารที่สงวนไว้สำหรับการใช้งานเพื่อการศึกษาเท่านั้น ไม่อนุญาตให้นำไปใช้ประโยชน์ด้านการค้า  
ไม่ว่ากรณีใดๆทั้งสิ้น อีกทั้งห้ามมิให้ดัดแปลงเนื้อหา และต้องอ้างอิงถึงเจ้าของเอกสารทุกครั้งที่มีการนำไปใช้

#### 4.2.4 สรุปผลการจำลอง ในกรณีของแหล่งจ่ายมีการส่งผ่านกำลังไฟฟ้าสมดุล

จากผลการจำลองอินเวอร์เตอร์เจ็ดระดับชนิดแคสเคด เพื่อหาความสัมพันธ์ระหว่างค่าดัชนีมอดูเลชันกับเปอร์เซ็นต์ค่าความผิดเพี้ยนของแรงดันไลน์ (% THD<sub>v</sub>) และความสัมพันธ์ระหว่างค่าดัชนีมอดูเลชันกับค่ากำลังไฟฟ้าที่แหล่งจ่ายแรงดันไฟตรงจ่ายให้กับอินเวอร์เตอร์เอชบริดจ์แต่ละเซลล์ โดยจะทำการปรับเปลี่ยนค่าดัชนีมอดูเลชัน ซึ่งมีความถี่กำหนด  $f_1$  เท่ากับ 30 Hz,  $f_2$  เท่ากับ 50 Hz, และ  $f_3$  เท่ากับ 70 Hz จากผลการจำลองจะเห็นว่า แหล่งจ่ายแรงดันไฟตรงของอินเวอร์เตอร์เอชบริดจ์แต่ละเซลล์ของอินเวอร์เตอร์เจ็ดระดับ จะจ่ายกำลังไฟฟ้าออกมาได้เท่ากัน ส่งผลให้แหล่งจ่ายแรงดันไฟตรงของอินเวอร์เตอร์เอชบริดจ์แต่ละเซลล์มีอายุการใช้งานใกล้เคียงกัน ซึ่งเป็นผลเนื่องมาจาก ได้มีการปรับปรุงรูปแบบของการสวิตช์ใหม่ โดยใช้เทคนิคการหมุนพัลส์ (Pulse rotation) ที่ทำให้ลักษณะแรงดันเอาต์พุตของอินเวอร์เตอร์เอชบริดจ์แต่ละเซลล์เหมือนกันในหนึ่งคาบเวลาการทำงานนั่นเอง

ตารางที่ 4.3 แสดงค่ากำลังไฟฟ้าที่แหล่งจ่ายแรงดันไฟตรงจ่ายให้กับอินเวอร์เตอร์เอชบริดจ์แต่ละเซลล์ในเฟส A

ดัชนีมอดูเลชัน	ค่ากำลังไฟฟ้าที่แหล่งจ่ายของอินเวอร์เตอร์เอชบริดจ์ (Watt) ที่ 30 Hz			ค่ากำลังไฟฟ้าที่แหล่งจ่ายของอินเวอร์เตอร์เอชบริดจ์ (Watt) ที่ 50 Hz			ค่ากำลังไฟฟ้าที่แหล่งจ่ายของอินเวอร์เตอร์เอชบริดจ์ (Watt) ที่ 70 Hz		
	1	2	3	1	2	3	1	2	3
M									
0.6	133.4	133.4	133.4	122.8	122.8	122.8	105.6	105.6	105.6
0.8	225	225	225	209.7	209.7	209.7	182.1	182.1	182.1
1	323	323	323	307.5	307.5	307.5	277.6	277.6	277.6

ส่วนในด้านของค่าเปอร์เซ็นต์ความผิดเพี้ยนรวม (% THD) ของแรงดันไลน์ จากผลการจำลองจะเห็นว่า ที่ทุกค่าความถี่ที่กำหนด เมื่อค่าดัชนีมอดูเลชันเพิ่มขึ้น ค่า THD ของแรงดันไลน์จะมีค่าลดลง ดังแสดงในตารางที่ 4.4

#### ตารางที่ 4.4 ความสัมพันธ์ระหว่างค่าดัชนีมอดูเลชันกับเปอร์เซ็นต์ค่าความผิดเพี้ยนของแรงดันไลน์ และกระแสไลน์

ค่าดัชนีมอดูเลชัน (M)	เปอร์เซ็นต์ค่าความผิดเพี้ยนของแรงดันไลน์ และกระแสไลน์ (% THD)					
	30 Hz		50 Hz		70 Hz	
	$V_{ab}$	$I_a$	$V_{ab}$	$I_a$	$V_{ab}$	$I_a$
0.6	12.32	38.47	12.32	33.09	12.31	28.30
0.8	10.70	30.14	10.71	25.91	10.70	22.05
1	7.59	4.94	7.74	3.68	7.52	5.82

### 4.3 สรุป

จากผลการจำลองการทำงานของอินเวอร์เตอร์เจ็ดระดับชนิดแคสเคด ด้วยโปรแกรม MATLAB/SIMULINK สามารถยืนยันการทำงานทั้งในกรณีที่แหล่งจ่ายของอินเวอร์เตอร์มีการส่งผ่านกำลังไฟฟ้าไม่สมดุล และในกรณีที่แหล่งจ่ายส่งผ่านกำลังไฟฟ้าสมดุลนั้นเป็นไปตามหลักการในบทที่ 2 และ 3 ซึ่งเห็นได้ว่าเมื่อค่าดัชนีมอดูเลชันเพิ่มขึ้นค่าความผิดเพี้ยน THD<sub>v</sub> ของแรงดันไลน์จะลดลง และเมื่อค่าความถี่ทางด้านเอาต์พุตเพิ่มขึ้นก็ไม่ส่งผลให้ค่าความผิดเพี้ยน THD<sub>v</sub> ของแรงดันไลน์เปลี่ยนแปลง (ที่ค่าดัชนีมอดูเลชันเดียวกัน) ซึ่งในกรณีของแหล่งจ่ายมีการส่งผ่านกำลังไฟฟ้าไม่สมดุล จะเห็นว่าในกรณีนี้แหล่งจ่ายแรงดันไฟตรงของอินเวอร์เตอร์เอชบริดจ์แต่ละเซลล์จะจ่ายกำลังไฟฟ้าออกมาได้ไม่เท่ากันคือ เซลล์ที่ 1 น้อยกว่าเซลล์ที่ 2 น้อยกว่าเซลล์ที่ 3 ตามลำดับ ดังแสดงในตารางที่ 4.1 ซึ่งเกิดจากรูปแบบการสวิตช์ที่ทำให้ ลักษณะแรงดันเอาต์พุตของอินเวอร์เตอร์เอชบริดจ์แต่ละเซลล์ไม่เหมือนกันในหนึ่งคาบเวลาการทำงาน ซึ่งจะส่งผลให้แหล่งจ่ายแรงดันไฟตรงของอินเวอร์เตอร์เอชบริดจ์แต่ละเซลล์ มีอายุการใช้งานไม่เท่ากัน ส่วนในกรณีของแหล่งจ่ายมีการส่งผ่านกำลังไฟฟ้าสมดุล จะเห็นว่าแหล่งจ่ายแรงดันไฟตรงของอินเวอร์เตอร์เอชบริดจ์แต่ละเซลล์จะจ่ายกำลังไฟฟ้าออกมาได้เท่ากัน ดังแสดงในตารางที่ 4.3 ซึ่งเกิดจากการปรับปรุงการสวิตช์ใหม่ โดยใช้เทคนิคการหมุนพัลส์ (Pulse rotation) ที่ทำให้ลักษณะแรงดันเอาต์พุตของอินเวอร์เตอร์เอชบริดจ์แต่ละเซลล์เหมือนกันในหนึ่งคาบเวลาการทำงานนั่นเอง และจากข้อมูลเหล่านี้สามารถนำมาใช้อ้างอิงในการออกแบบอินเวอร์เตอร์หลายระดับสำหรับควบคุมมอเตอร์เหนี่ยวนำ ซึ่งจะนำเสนอในบทต่อไป

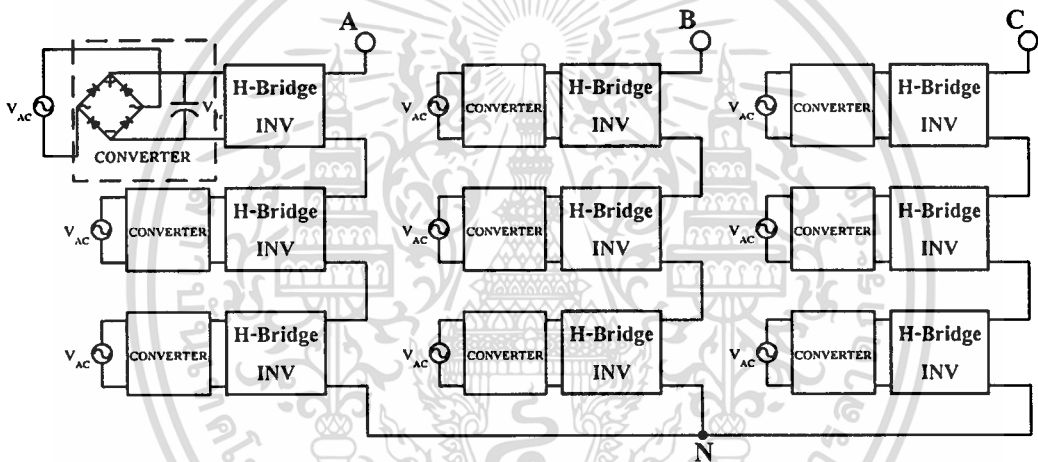
## บทที่ 5

# การออกแบบอินเวอร์เตอร์เจ็คระดับชนิดแคสเคด

### 5.1 บทนำ

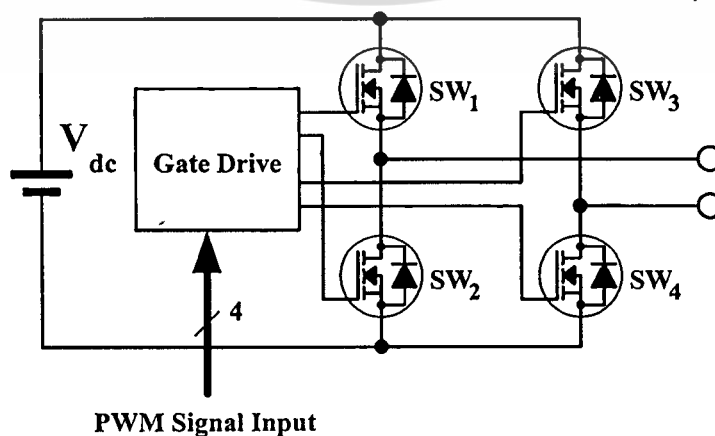
ในบทนี้จะกล่าวถึง การออกแบบสร้างอินเวอร์เตอร์เจ็คระดับชนิดแคสเคดเครื่องต้นแบบ ซึ่งจะประกอบด้วย วงจรสวิตช์กำลัง, การออกแบบวงจรคอนเวอร์เตอร์เพื่อใช้เป็นแหล่งจ่ายไฟตรง ให้กับอินเวอร์เตอร์เจ็คระดับชนิดแคสเคด, วงจรขับนำเกต, วงจรควบคุม และการออกแบบ โปรแกรม เพื่อสร้างอินเวอร์เตอร์เจ็คระดับชนิดแคสเคดเครื่องต้นแบบ

### 5.2 การออกแบบวงจรกำลัง



รูปที่ 5.1 แสดงโครงสร้างของอินเวอร์เตอร์เจ็คระดับชนิดแคสเคด

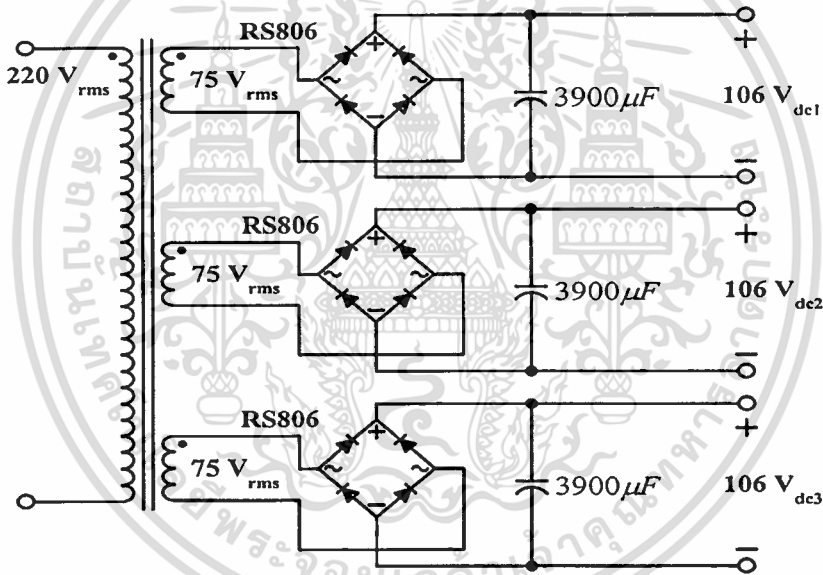
#### 5.2.1 การออกแบบสวิตช์กำลัง



รูปที่ 5.2 แสดงโครงสร้างของวงจรกำลังอินเวอร์เตอร์เอชบริดจ์

เอกสารนี้เป็นเอกสารที่สงวนไว้สำหรับการใช้งานเพื่อการศึกษาเท่านั้น ไม่อนุญาตให้นำไปใช้ประโยชน์ด้านการค้า  
ไม่ว่ากรณีใดๆทั้งสิ้น อีกทั้งห้ามมิให้ดัดแปลงเนื้อหา และต้องอ้างอิงถึงเจ้าของเอกสารทุกครั้งที่มีการนำไปใช้

ในวิทยานิพนธ์ฉบับนี้จะทำการทดสอบควบคุมมอเตอร์เหนี่ยวนำสามเฟสขนาด 3 แรงม้า 380 โวลต์ ด้วยอินเวอร์เตอร์เจ็ดระดับชนิดแคสเคด สำหรับอินเวอร์เตอร์เจ็ดระดับชนิดแคสเคดในแต่ละเฟสจะประกอบไปด้วยอินเวอร์เตอร์เอชบริดจ์ดังรูปที่ 5.2 จำนวน 3 ชุด (3 เฟสจะใช้ 9 ชุด) โดยนำเอาท์พุทมาทำการต่ออนุกรมกัน และได้ออกแบบให้แรงดันเอาท์พุทของอินเวอร์เตอร์หลายระดับชนิดแคสเคดต่อเฟสมีขนาดสูงสุดเท่ากับ  $220 \text{ V}_{\text{rms}}$  ดังแสดงในรูปที่ 5.1 โดยทั่วไปแล้วแหล่งจ่ายแรงดันไฟตรงของอินเวอร์เตอร์หลายระดับชนิดแคสเคดนั้น จะได้จากแบตเตอรี่หรือเซลล์พลังงานชนิดอื่นที่สามารถแยกอิสระต่อกัน แต่เนื่องจากต้องใช้งบประมาณสูงในการจัดหา ในงานวิจัยนี้จึงได้มีความจำเป็นที่จะต้องใช้หม้อแปลงไฟฟ้าชนิดแยกเก็บแปลงแรงดันไฟฟ้ากระแสสลับ ดังรูปที่ 5.3 ได้เลือกใช้ชุดคอนเวอร์เตอร์เป็นบริดจ์ไดโอดเบอร์ RS806 ทำหน้าที่แปลงแรงดันไฟฟ้ากระแสสลับเป็นแรงดันไฟฟ้ากระแสตรงที่มีรีปเปิล ใช้ตัวเก็บประจุกรองแรงดัน (Filter Capacitor) เพื่อกรองแรงดันให้เรียบ ซึ่งมีวิธีในการออกแบบดังนี้



รูปที่ 5.3 ชุดวงจรแหล่งจ่ายคอนเวอร์เตอร์ของอินเวอร์เตอร์เจ็ดระดับชนิดแคสเคดในเฟส A

การหาค่าของแหล่งจ่ายไฟฟ้าแรงดันกระแสตรงในแต่ละเซลล์หาได้จาก

$$V_{dc} = \frac{\sqrt{2}V_{rms}}{s} \quad (5.1)$$

ตัวอย่างเช่น ต้องการแรงดันเอาท์พุท  $220 \text{ V}_{\text{rms}}$  ที่อินเวอร์เตอร์เจ็ดระดับชนิดแคสเคด

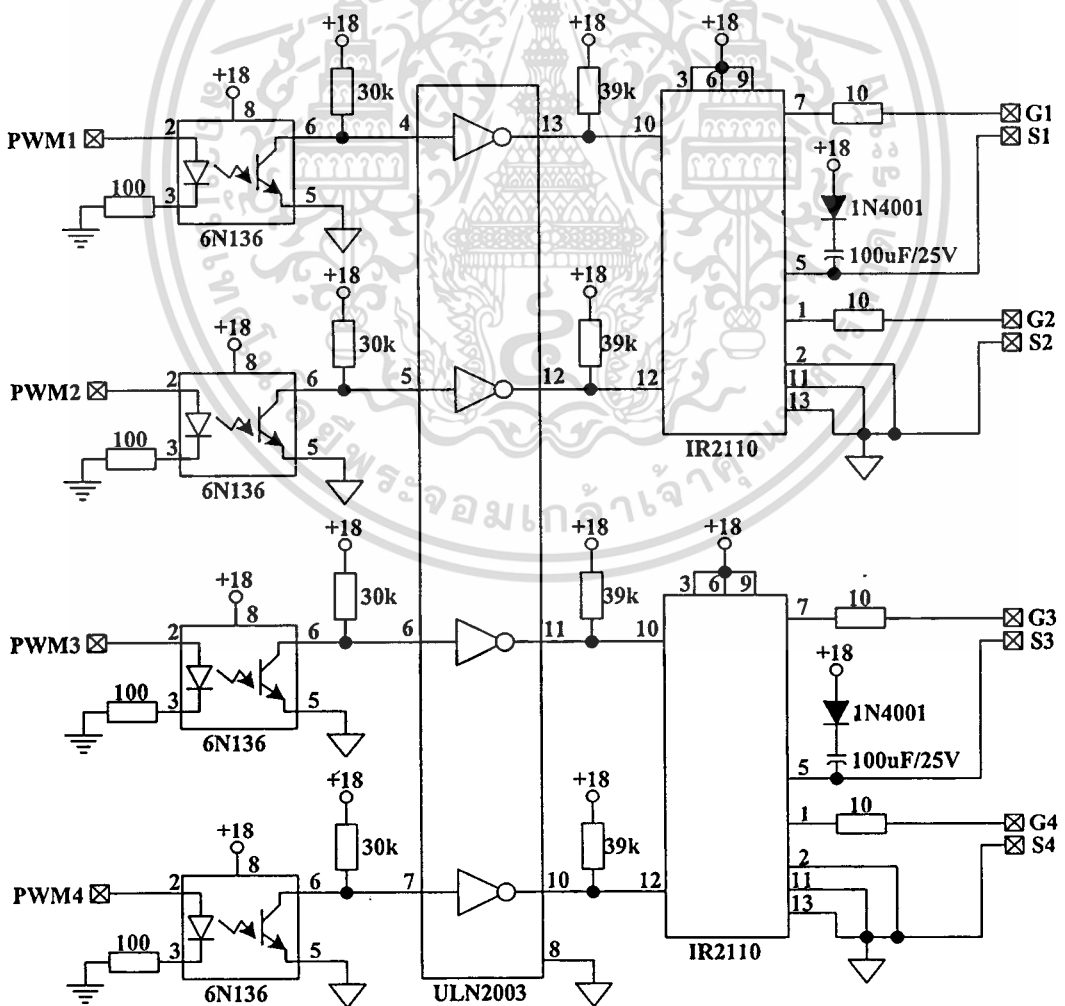
$$\begin{aligned} V_{dc} &= \frac{\sqrt{2} \times 220}{3} \\ &= 103.708 \text{ V} \end{aligned}$$

เอกสารนี้เป็นเอกสารที่สงวนไว้สำหรับการใช้งานเพื่อการศึกษาเท่านั้น ไม่อนุญาตให้นำไปใช้ประโยชน์ด้านการค้า  
ไม่ว่ากรณีใดๆทั้งสิ้น อีกทั้งห้ามมิให้ดัดแปลงเนื้อหา และต้องอ้างอิงถึงเจ้าของเอกสารทุกครั้งที่มีการนำไปใช้

ในงานวิจัยนี้ได้ออกแบบให้แหล่งจ่ายไฟฟ้าแรงดันกระแสตรงในแต่ละเซลล์มีค่าเท่ากับ  $106 V_{dc}$  จึงจำเป็นต้องทำการออกแบบให้หม้อแปลงไฟฟ้าชนิดแยกแท็บแปลงแรงดันไฟฟ้ากระแสสลับจาก  $220 V_{rms}$  เป็น  $75 V_{rms}$  ทั้งหมด 9 ชุด (3 เฟส) เพื่อให้เมื่อผ่านชุดคอนเวอร์เตอร์แล้วจะได้แรงดันไฟฟ้ากระแสตรงเท่ากับ  $106 V_{dc}$  ตามที่ได้ออกแบบไว้เพื่อแปลงแรงดันไฟฟ้ากระแสสลับเป็นแรงดันไฟฟ้ากระแสตรง และได้เลือกใช้อุปกรณ์สวิตช์เป็นมอสเฟสชนิดเอ็นเบอร์ IRFS640N ซึ่งมีพิกัดแรงดัน 200 V และพิกัดกระแส 18 A เป็นอุปกรณ์ในการสวิตช์

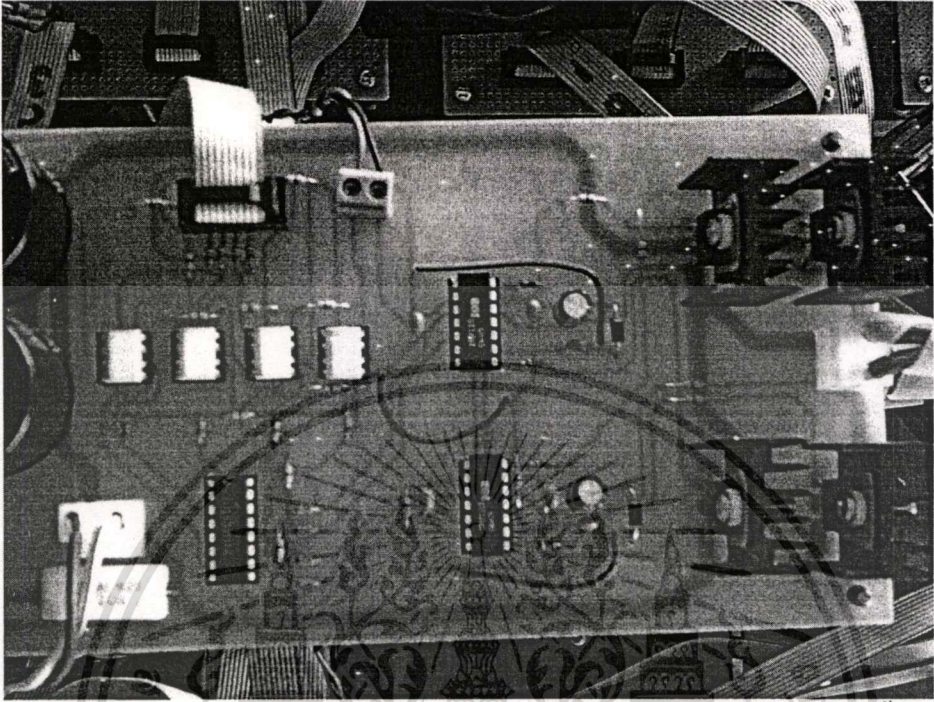
### 5.2.2 การออกแบบวงจรขั้วนำเกท

วงจรขั้วนำเลือกใช้ไอซีเบอร์ IR2110 เป็นตัวขั้วนำเพราะสามารถใช้ไฟเลี้ยงเพียงชุดเดียวทำให้วงจรมีขนาดเล็กลงและต้นทุนก็มีราคาลดลง โดยใช้ฮอปโตไดโอดเบอร์ 6N136 ต่อแบบกลับสัญญาณ (Invert) เพื่อแยกกราวด์ระหว่างวงจรกำลังกับวงจรควบคุม และใช้ไอซีเบอร์ ULN2003 เพื่อกลับสัญญาณให้เป็นเหมือนด้านอินพุตก่อนเข้าไอซีขั้วนำ

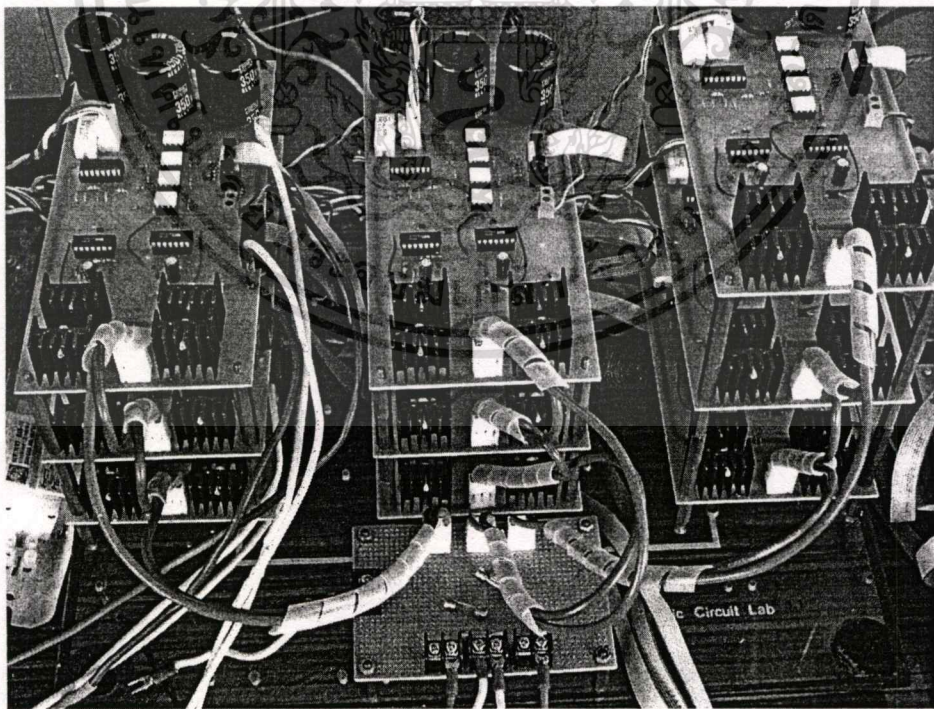


รูปที่ 5.4 วงจรขั้วนำเกทของอินเวอร์เตอร์เอชบริดจ์ที่ใช้ในวิทยานิพนธ์ฉบับนี้

เอกสารนี้เป็นเอกสารที่สงวนไว้สำหรับการใช้งานเพื่อการศึกษาเท่านั้น ไม่อนุญาตให้นำไปใช้ประโยชน์ด้านการค้า ไม่ว่าจะกรณีใดๆทั้งสิ้น อีกทั้งห้ามมิให้ดัดแปลงเนื้อหา และต้องอ้างอิงถึงเจ้าของเอกสารทุกครั้งที่มีการนำไปใช้



รูปที่ 5.5 วงจรกำลังของอินเวอร์เตอร์เอชบริดจ์ที่ใช้ในวิทยานิพนธ์ฉบับนี้



รูปที่ 5.6 วงจรกำลังทั้งหมดที่ใช้ในวิทยานิพนธ์ฉบับนี้

เอกสารนี้เป็นเอกสารที่สงวนไว้สำหรับการใช้งานเพื่อการศึกษาเท่านั้น ไม่อนุญาตให้นำไปใช้ประโยชน์ด้านการค้า  
ไม่ว่ากรณีใดๆทั้งสิ้น อีกทั้งห้ามมิให้ดัดแปลงเนื้อหา และต้องอ้างอิงถึงเจ้าของเอกสารทุกครั้งที่มีการนำไปใช้

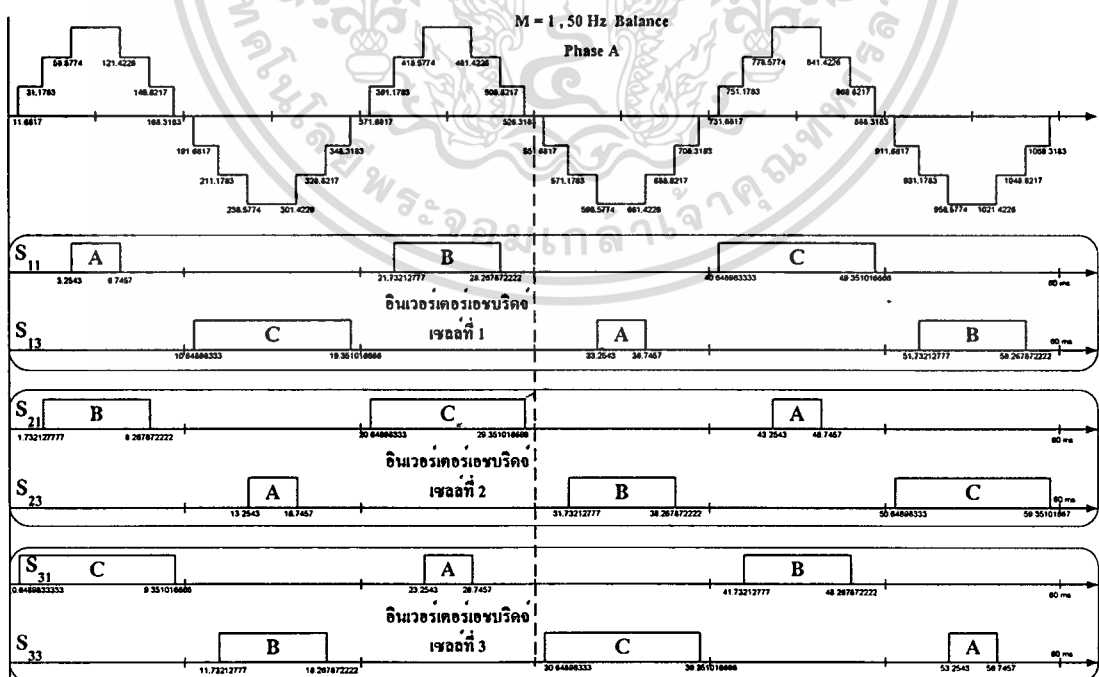
### 5.3 การออกแบบวงจรควบคุม

ในการออกแบบวงจรควบคุม นั้นความยุ่งยากจะทวีตามจำนวนระดับของอินเวอร์เตอร์ เพราะนั่นหมายถึงจำนวนอุปกรณ์สวิตช์ที่เพิ่มขึ้น ถ้าหากใช้ระบบการควบคุมแบบอนาล็อกจะต้องใช้ตัวคอมแพเลเตอร์หลายชุดด้วยกัน ซึ่งใช้การคอมแพเลเตอร์ในทางอนาล็อกแม้จะง่ายต่อการออกแบบก็จริงแต่ก็จะพบความยุ่งยากในเรื่องวงจรที่ซับซ้อน และค่าออฟเซตที่จะเกิดขึ้น วิธีการหลีกเลี่ยงปัญหาดังกล่าวโดยการใช้ไมโครคอนโทรลเลอร์เป็นตัวกำเนิดสัญญาณและควบคุมการทำงาน เพราะจะทำให้วงจรควบคุมมีขนาดเล็กลงและสามารถปรับเปลี่ยนการควบคุมได้สะดวกกว่า

จากบทที่ 3 สามารถนำค่าของมุมสวิทซ์ซึ่งและเทคนิคการหมุนพัลส์ (Pulse rotation) มาทำการออกแบบรูปแบบของการสวิทซ์ได้ดังนี้

#### 5.3.1 สัญญาณเกทของสวิทซ์แต่ละตัวในอินเวอร์เตอร์เจ็ดระดับชนิดแคสเคด

ในวิทยานิพนธ์ฉบับนี้ใช้เทคนิคการกำจัดฮาร์มอนิกส์ที่เหมาะสมแบบรูปคลื่นขั้นบันได ร่วมกับเทคนิคการหมุนพัลส์ (Pulse rotation) ดังแสดงในรูปที่ 5.7 เป็นสัญญาณเกทของสวิทซ์  $S_{11}$ ,  $S_{13}$ ,  $S_{21}$ ,  $S_{23}$ ,  $S_{31}$  และ  $S_{33}$  ของอินเวอร์เตอร์เจ็ดระดับชนิดแคสเคดในเฟส A ส่วนในเฟส B และเฟส C มุมระหว่างเฟสจะเป็น  $120^\circ$  และ  $240^\circ$  ตามลำดับ ซึ่งจะเห็นว่าช่วงของคาบเวลาการทำงานในหนึ่งคาบจะถูกยัดออกไปเป็น 60 ms จากเดิม 20 ms โดยจะมีหลักการอยู่ว่า จะต้องสร้างสัญญาณการสวิทซ์ในหนึ่งคาบเวลาการทำงานจะต้องครบหมดทุกลักษณะ ซึ่งจะเห็นว่าจากรูปที่ 5.7 นั้น



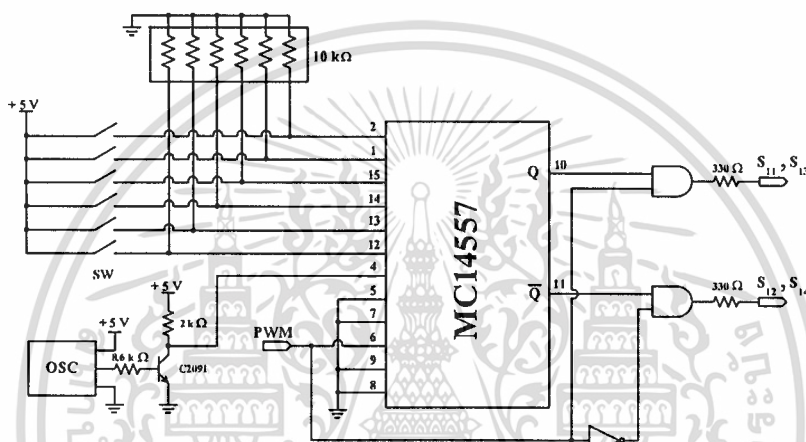
รูปที่ 5.7 สัญญาณเกทของสวิทซ์แต่ละตัวในอินเวอร์เตอร์เจ็ดระดับเฟส A ที่ ค่าดัชนีมอดูเลชัน

เท่ากับ 1 ความถี่มูลฐานเท่ากับ 50 Hz

เอกสารนี้เป็นเอกสารที่สงวนไว้สำหรับการใช้งานเพื่อการศึกษาเท่านั้น ไม่อนุญาตให้นำไปใช้ประโยชน์ด้านการค้า ไม่ว่าจะกรณีใดๆทั้งสิ้น อีกทั้งห้ามมิให้ดัดแปลงเนื้อหา และต้องอ้างอิงถึงเจ้าของเอกสารทุกครั้งที่มีการนำไปใช้

คาบเวลาในการทำงานจะเท่ากับ 60 ms ซึ่งในช่วงเวลานี้สวิทช์แต่ละตัวจะมีลักษณะของการทำงานครบทั้ง 3 ลักษณะคือ จะมีทั้ง A, B และ C ทุกตัว และในแต่ละครั้งของคาบเวลาการทำงานสวิทช์  $S_{11}$ ,  $S_{13}$ ,  $S_{21}$ ,  $S_{23}$ ,  $S_{31}$  และ  $S_{33}$  ของอินเวอร์เตอร์เอชบริดจ์ในแต่ละเซลล์ จะต้องมิลักษณะการทำงานที่ไม่ซ้ำกันด้วย จึงจะส่งผลให้แหล่งจ่ายแรงดัน ไฟตรงของอินเวอร์เตอร์เอชบริดจ์แต่ละเซลล์จ่ายกำลังไฟฟ้าออกมาได้เท่าๆ กัน

### 5.3.2 วงจรประวิงเวลา (เดคไทม์)



รูปที่ 5.8 วงจรประวิงเวลา (เดคไทม์) ที่ใช้ในวิทยานิพนธ์ฉบับนี้

เนื่องจากในการทำงานของมอสเฟสนั้น อาจมีการสวิทช์ในกึ่งเดิวกันทำงานพร้อมกัน ส่งผลให้เกิดการลัดวงจรภายในกึ่งเดิวกันและทำให้มอสเฟสกึ่งนั้นเสียหายได้ โดยวงจรที่ทำหน้าที่ในการสร้างสัญญาณประวิงเวลาเพื่อป้องกันไม่ให้ไอจีบีทีโมดูลในกึ่งเดิวกัน เกิดการสวิทช์พร้อมกัน โดยใช้วงจรประวิงเวลา ซึ่งสามารถแสดงได้ดังรูปที่ 5.8 สัญญาณขับเคลื่อนกึ่งบนและกึ่งล่างต้องมีค่าเวลาหน่วงกันเล็กน้อยและเวลาในการประวิงเวลานี้จะขึ้นอยู่กับช่วงเวลากการไต่ขึ้นและการไต่ลงของอุปกรณ์สวิทช์แต่ละประเภท

จากรูปที่ 5.7 จะเห็นว่าสัญญาณเกทของสวิทช์จะมีเฉพาะสวิทช์  $S_{11}$ ,  $S_{13}$ ,  $S_{21}$ ,  $S_{23}$ ,  $S_{31}$  และ  $S_{33}$  ส่วนสัญญาณเกทของสวิทช์  $S_{12}$  และ  $S_{14}$  จะได้จากการนำสัญญาณเกทของสวิทช์  $S_{11}$  และ  $S_{13}$  ผ่านวงจรวจรประวิงเวลา สัญญาณเกทของสวิทช์  $S_{22}$  และ  $S_{24}$  จะได้จากการนำสัญญาณเกทของสวิทช์  $S_{21}$  และ  $S_{23}$  ผ่านวงจรวจรประวิงเวลา และสัญญาณเกทของสวิทช์  $S_{32}$  และ  $S_{34}$  จะได้จากการนำสัญญาณเกทของสวิทช์  $S_{31}$  และ  $S_{33}$  ผ่านวงจรวจรประวิงเวลา

## ตารางที่ 5.1 แสดงสัญญาณเกทสวิตช์

เฟส	สัญญาณ
A	$S_{12} = \overline{S_{11}}$
	$S_{14} = \overline{S_{13}}$
	$S_{22} = \overline{S_{21}}$
	$S_{24} = \overline{S_{23}}$
	$S_{32} = \overline{S_{31}}$
	$S_{34} = \overline{S_{33}}$

จากตารางที่ 5.1 จะเห็นว่าสัญญาณเกทของสวิตช์ในเฟส B และเฟส C ก็จะมีลักษณะเดียวกันกับตารางที่ 5.1

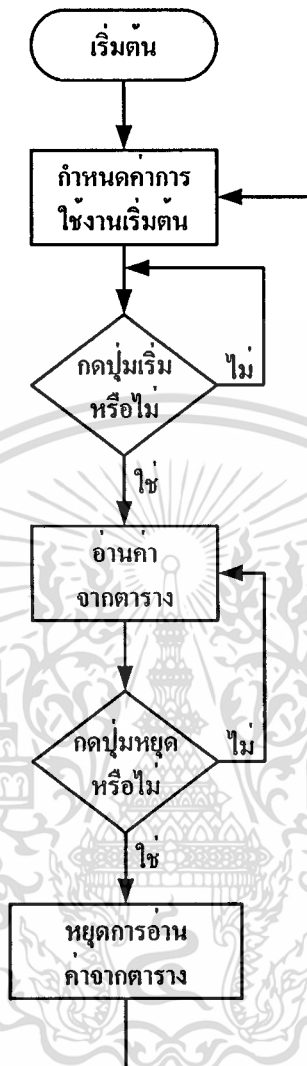
### 5.3.3 การออกแบบโปรแกรม

ในการออกแบบโปรแกรมจะต้องขึ้นอยู่กับคุณสมบัติของไมโครคอนโทรลเลอร์และอุปกรณ์ที่ใช้งาน โดยในวิทยานิพนธ์ฉบับนี้เลือกใช้ไมโครคอนโทรลเลอร์เบอร์ dsPIC30F4011 ซึ่งมีคุณสมบัติหลักๆ ดังนี้

- ความเร็วในการทำงานสูงถึง 30 ล้านคำสั่งต่อวินาที
- มีแอสเซมบลีเลอร์ขนาด 40 บิต 2 ตัว
- มีไทม์เมอร์/เคาน์เตอร์ขนาด 16 บิต 5 ตัว สามารถต่อใช้งานร่วมกันเป็น ไทม์เมอร์ 32 บิต
- มี 84 คำสั่งภาษาแอสเซมบลีมาตรฐาน
- ชุดคำสั่งมีขนาด 24 บิต สามารถประมวลผลข้อมูลได้ 16 บิต
- มีหน่วยความจำโปรแกรมแบบแฟลช ขนาด 48 กิโลไบต์ x 16 บิต
- มีหน่วยความจำข้อมูลแบบ ROM ขนาด 2 กิโลไบต์ x 16 บิต
- มีหน่วยความจำข้อมูลแบบ EEPROM ขนาด 1 กิโลไบต์ x 16 บิต
- มีวอตช์ด็อกไทม์เมอร์โปรแกรมได้
- มีวงจรตรวจสอบการทำงานของวงจรกำเนิดสัญญาณนาฬิกา
- รองรับการโปรแกรมในวงจรแบบอนุกรม
- มีขาอินพุต-เอาต์พุต 30 ขา
- มีโมดูลตรวจจับและเปรียบเทียบสัญญาณดิจิตอล
- มีโมดูลสร้างสัญญาณ PWM สำหรับควบคุมมอเตอร์

เอกสารนี้เป็นเอกสารที่สงวนไว้สำหรับการใช้งานเพื่อการศึกษาเท่านั้น ไม่อนุญาตให้นำไปใช้ประโยชน์ด้านการค้า ไม่ว่ากรณีใดๆทั้งสิ้น อีกทั้งห้ามมิให้ดัดแปลงเนื้อหา และต้องอ้างอิงถึงเจ้าของเอกสารทุกครั้งที่มีการนำไปใช้

จากหลักการสร้างสัญญาณเกทสวิทช์ในหัวข้อที่ 5.3.1 เมื่อนำมาเขียนเป็นโปรแกรมจะมีไคอะแกรมการทำงานดังรูปที่ 5.9



รูปที่ 5.9 แสดงไคอะแกรมการทำงานของโปรแกรม

โดยเทคนิคในการเขียน โปรแกรมในงานวิจัยนี้ จะใช้เทคนิคการเปิดค่าในตาราง (Look Up Table) ซึ่งเป็นเทคนิคที่ง่ายและไม่ยุ่งยากในการเขียนโปรแกรม ซึ่งมีหลักการดังนี้

- 1) ทำการกำหนดค่าเริ่มต้นต่างๆ ของ โปรแกรม
- 2) กดปุ่มเพื่อเริ่มต้นทำงาน
- 3) อ่านค่าจากตาราง
- 4) เปรียบเทียบค่าจากตารางกับค่าที่กำหนด
- 5) ส่งค่าที่ได้จากการเปรียบเทียบไปยังบิตที่ต้องการแสดงค่า
- 6) กดปุ่มหยุดทำงาน

7) หยุดการอ่านค่าจากตาราง

เอกสารนี้เป็นเอกสารที่สงวนไว้สำหรับการใช้งานเพื่อการศึกษาเท่านั้น ไม่อนุญาตให้นำไปใช้ประโยชน์ด้านการค้า ไม่ว่าจะกรณีใดๆทั้งสิ้น อีกทั้งห้ามมิให้ดัดแปลงเนื้อหา และต้องอ้างอิงถึงเจ้าของเอกสารทุกครั้งที่มีการนำไปใช้

## 5.4 สรุป

ในบทนี้ได้กล่าวถึงวิธีการออกแบบอินเวอร์เตอร์เจ็ทระดับชนิดแคสเคด ทั้งวงจรกำลังและ วงจรควบคุม ซึ่งในวงจรกำลังจะประกอบด้วยวงจรกำลังอินเวอร์เตอร์เจ็ทระดับ, วงจรขับนำเกต, วงจรคอนเวอร์เตอร์ ส่วนวงจรควบคุมจะประกอบไปด้วย วงจรประวิงเวลา (วงจรถัดไทม์) และชุด สร้างสัญญาณเกตสวิตช์ด้วยไมโครคอนโทรลเลอร์ ซึ่งจะนำมาควบคุมวงจรถัดไทม์อีกทีหนึ่ง ส่วน โปรแกรมในการสร้างสัญญาณเกตสวิตช์ได้ถูกนำเสนอไว้ในภาคผนวก ง เมื่อทำการสร้าง อินเวอร์เตอร์เจ็ทระดับชนิดแคสเคดได้แล้ว ในบทต่อไปจะนำเสนอการทดสอบอินเวอร์เตอร์เจ็ท ระดับชนิดแคสเคดเครื่องต้นแบบ



## บทที่ 6

### ผลการทดลอง

#### 6.1 บทนำ

ในบทนี้จะกล่าวถึงการทดสอบอินเวอร์เตอร์เจ็ทระดับชนิดแคสเคดเครื่องต้นแบบที่ได้สร้างขึ้นจากบทที่ 5 โดยจะทำการขับมอเตอร์เหนี่ยวนำสามเฟส และทำการปรับเปลี่ยนค่าดัชนีมอดูเลชันและความถี่มูลฐาน ซึ่งจะแสดงผลการทดสอบทั้งในกรณีของแหล่งจ่ายส่งผ่านกำลังไฟฟ้าไม่สมดุล และกรณีของแหล่งจ่ายส่งผ่านกำลังไฟฟ้าสมดุล และสรุปผลของการทดสอบ

#### 6.2 การทดสอบการทำงานของอินเวอร์เตอร์เจ็ทระดับชนิดแคสเคด

ในหัวข้อนี้จะทำการทดสอบอินเวอร์เตอร์เจ็ทระดับชนิดแคสเคดเครื่องต้นแบบที่ได้สร้างขึ้นจากบทที่ 5 โดยจะทำการขับมอเตอร์เหนี่ยวนำสามเฟส ซึ่งถูกต่อแบบวาย (Y) ดังรูปที่ 6.1 โดยจะแบ่งการทดสอบออกเป็น 2 กรณีใหญ่ๆ ด้วยกันคือ ที่กรณีของแหล่งจ่ายส่งผ่านกำลังไฟฟ้าไม่สมดุล และกรณีของแหล่งจ่ายส่งผ่านกำลังไฟฟ้าสมดุล ซึ่งทั้ง 2 กรณีนั้นจะทำการคงค่าดัชนีมอดูเลชันแล้วทำการปรับเปลี่ยนค่าความถี่มูลฐาน ที่ค่าดัชนีมอดูเลชันเป็น 0.6, 0.8, และ 1 ความถี่มูลฐานเป็น 40 Hz, 50 Hz, และ 70 Hz เพื่อศึกษาผลกระทบของฮาร์มอนิกส์ที่เกิดขึ้นกับแรงดันเฟส, แรงดันไลน์และกระแสเอาท์พุท เมื่อความถี่มูลฐานและค่าดัชนีมอดูเลชันเปลี่ยนแปลง

พิกัดของมอเตอร์เหนี่ยวนำสามเฟสที่ใช้ในการทดสอบ

พิกัดแรงดัน 220/380  $\Delta$  - Y

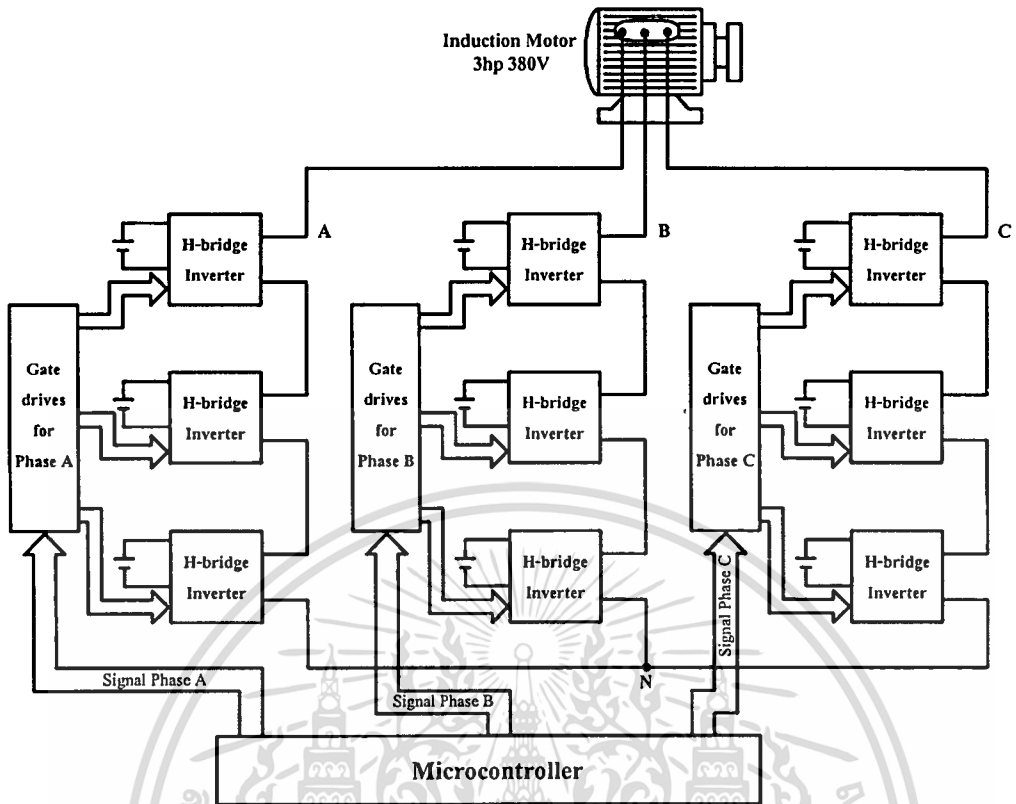
พิกัดกระแส 8.91/5.16  $\Delta$  - Y

พิกัดกำลัง 3HP/2.2 kW

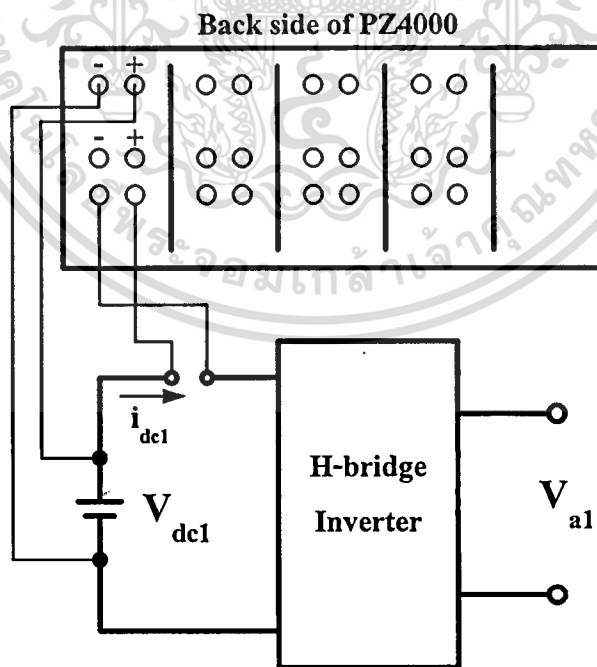
ความถี่ 50 Hz

พิกัดความเร็วรอบ 1430 RPM

จำนวนขั้ว 4 POLE



รูปที่ 6.1 วงจรอินเวอร์เตอร์เฟสสามชนิดแคสเคดที่ใช้ในการทดสอบ



รูปที่ 6.2 แสดงการวัดกระแส, แรงดัน, และกำลังไฟฟ้าทางด้านอินพุทของอินเวอร์เตอร์เฮชบริดจ์

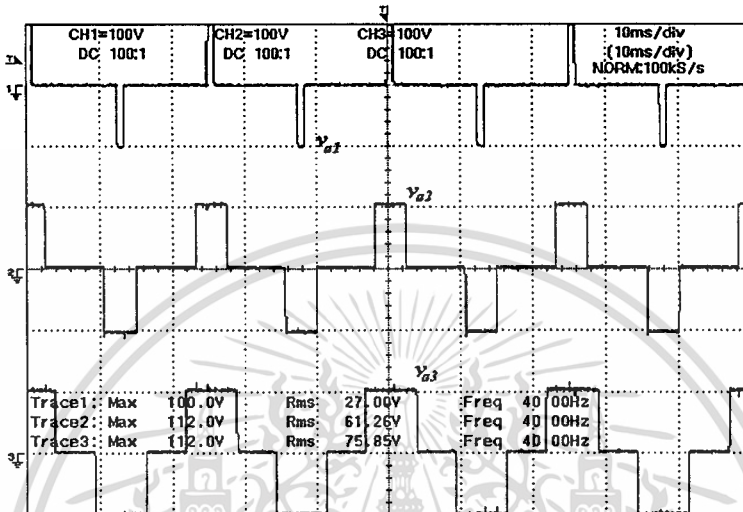
ในแต่ละเซลล์

เอกสารนี้เป็นเอกสารที่สงวนไว้สำหรับการใช้งานเพื่อการศึกษาเท่านั้น ไม่อนุญาตให้นำไปใช้ประโยชน์ด้านการค้า  
ไม่ว่ากรณีใดๆทั้งสิ้น อีกทั้งห้ามมิให้ดัดแปลงเนื้อหา และต้องอ้างอิงถึงเจ้าของเอกสารทุกครั้งที่มีการนำไปใช้

## 6.2.1 ทดสอบขั้วมอเตอร์ที่สภาวะไร้อโหลด กรณีแหล่งจ่ายมีการส่งผ่านกำลังไฟฟ้าไม่สมดุล

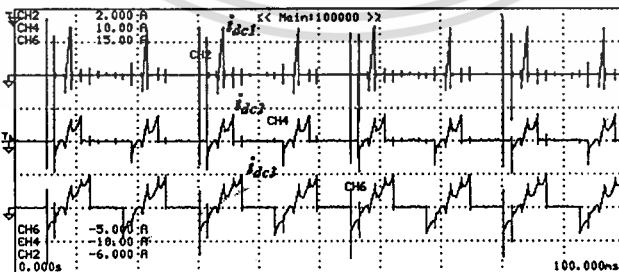
### 6.2.1.1 ที่ $f = 40 \text{ Hz}$ , $M = 0.6$

ทำการทดลองขั้วมอเตอร์เมื่อกำหนดให้  $f = 40 \text{ Hz}$ , ค่าดัชนีมอดูละชัน ( $M$ ) เท่ากับ 0.6 ค่ามุมสวิตช์ซึ่งเป็น  $\alpha_1 = 39.4298^\circ$ ,  $\alpha_2 = 58.5839^\circ$  และ  $\alpha_3 = 83.1042^\circ$



รูปที่ 6.3 ลักษณะแรงดันเอาต์พุตของอินเวอร์เตอร์เอชบริดจ์แต่ละเซลล์ในเฟส A ที่  $f = 40 \text{ Hz}$

YOKOGAWA	Uover: == ==	100ms	1MS/s			
CH2	4Apk	Iover: == ==	100ms	1MS/s		
	Element1	Element2	Element3	Element4	Σ A	Σ B
Urms[V]	101.65	100.49	100.15	0.00	101.65	100.49
Umn [V]	112.91	111.62	111.24	0.00	112.91	111.62
Udc [V]	101.65	100.49	100.15	0.01	101.65	100.49
Uac [V]	0.16	0.24	0.38	0.00	0.16	0.24
Irms[A]	0.2073	0.489	0.896	0.0000	0.2073	0.489
Ipn [A]	0.0566	0.268	0.645	0.0000	0.0566	0.268
Idc [A]	0.0437	0.157	0.201	0.0005	0.0437	0.157
Iac [A]	0.2027	0.463	0.824	0.0000	0.2027	0.463
P [W]	4.44	0.0157k	0.0201k	0.00	4.44	0.0157k
S [VA]	21.08	0.0492k	0.0898k	0.00	21.08	0.0492k
Q [var]	20.60	0.0466k	0.0875k	0.00	20.60	0.0466k
λ [ ]	0.2106	0.3201	0.2241	Error	0.2106	0.3201



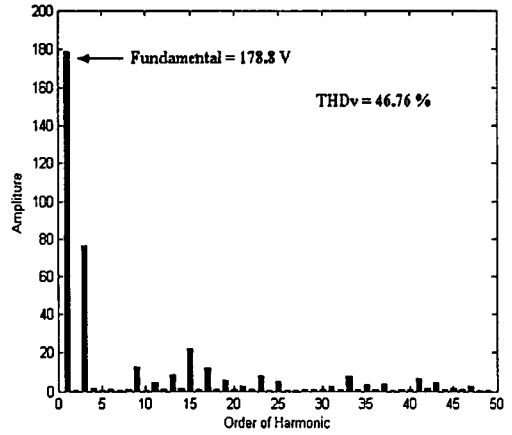
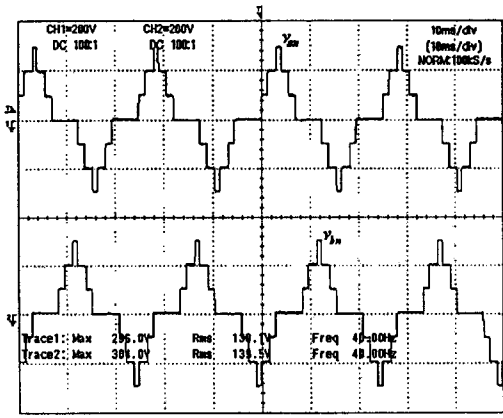
รูปที่ 6.4 สัญญาณกระแสและค่ากำลังไฟฟ้าของอินเวอร์เตอร์เอชบริดจ์แต่ละเซลล์ในเฟส A ที่  $f = 40 \text{ Hz}$

ค่ากำลังไฟฟ้าที่แหล่งจ่ายส่งผ่านไปให้กับอินเวอร์เตอร์เอชบริดจ์เซลล์ที่ 1, 2 และ 3

เท่ากับ 4.44 W, 15.7 W และ 20.1 W ตามลำดับ

ไม่อนุญาติให้นำไปใช้ประโยชน์ด้านการค้า

ไม่ว่ากรณีใดๆทั้งสิ้น อีกทั้งห้ามมิให้ดัดแปลงเนื้อหา และต้องอ้างอิงถึงเจ้าของเอกสารทุกครั้งที่มีการนำไปใช้

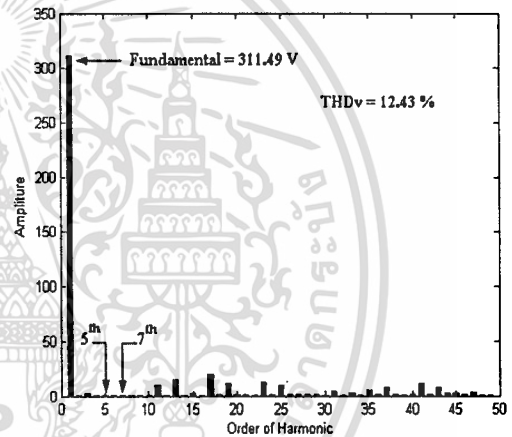
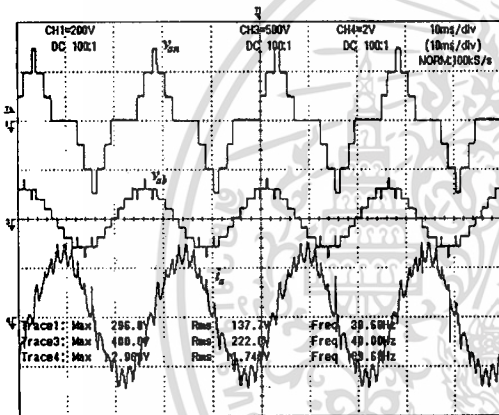


(ก) รูปสัญญาณ  $V_{an}$ ,  $V_{bn}$

(ข) สเปกตรัมของแรงดันเฟสเอาต์พุต  $V_{an}$

$V_{an}, V_{bn} = 200\text{V/div}, 10\text{ms/div}$

รูปที่ 6.5 สัญญาณแรงดันเฟส  $V_{an}, V_{bn}$  และ สเปกตรัมของแรงดันเฟส  $V_{an}$  ที่  $f = 40\text{ Hz}$



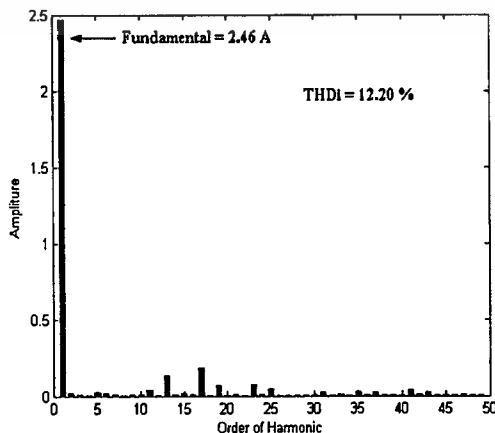
(ก) รูปสัญญาณ  $V_{an}, V_{ab}, i_a$  ตามลำดับ

(ข) สเปกตรัมของแรงดันไลน์  $V_{ab}$

$V_{an} = 200\text{V/div}, V_{ab} = 500\text{V/div}, i_a = 2\text{ A/div}$

รูปที่ 6.6 สัญญาณแรงดันเฟส, แรงดันไลน์, และกระแสเอาต์พุต  $V_{an}, V_{ab}, i_a$

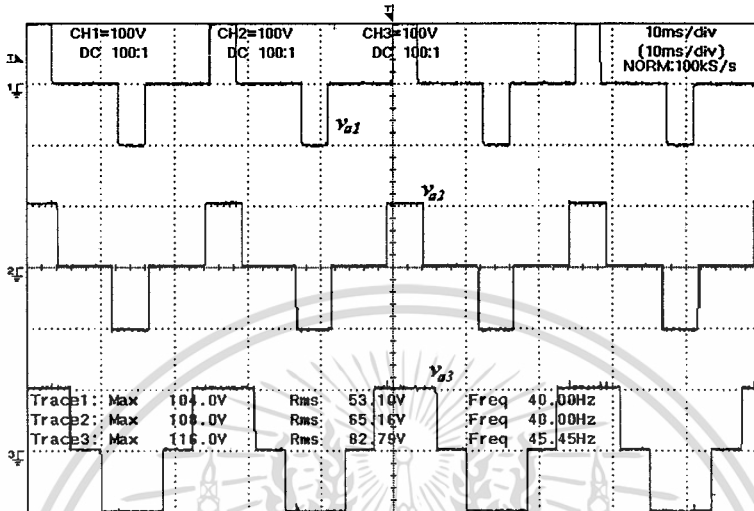
และสเปกตรัมของแรงดันไลน์  $V_{ab}$  ที่  $f = 40\text{ Hz}$



เอกสารนี้เป็นเอกสารที่สงวนไว้สำหรับรูปที่ 6.7 สเปกตรัมของกระแสเอาต์พุต ให้นำไปใช้ประโยชน์ด้านการค้า  
ไม่ว่ากรณีใดๆทั้งสิ้น อีกทั้งห้ามมิให้ดัดแปลงเนื้อหา และต้องอ้างอิงถึงเจ้าของเอกสารทุกครั้งที่มีการนำไปใช้

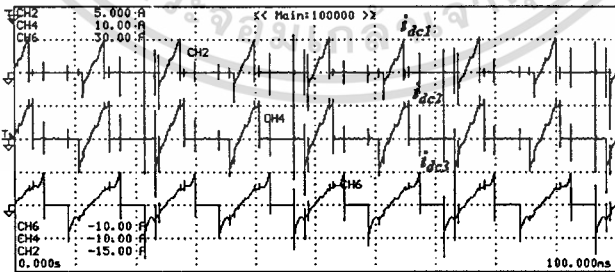
6.2.1.2 ที่  $f = 40 \text{ Hz}$ ,  $M = 0.8$

ทำการทดลองขับมอเตอร์เมื่อกำหนดให้  $f = 40 \text{ Hz}$ , ค่าดัชนีมอดูเลชัน ( $M$ ) เท่ากับ 0.8 ค่ามุมสวิตช์ซึ่งเป็น  $\alpha_1 = 29.2355^\circ$ ,  $\alpha_2 = 54.4383^\circ$  และ  $\alpha_3 = 64.4844^\circ$



รูปที่ 6.8 ลักษณะแรงดันเอาต์พุตของอินเวอร์เตอร์เอชบริดจ์แต่ละเซลล์ในเฟส A ที่  $f = 40 \text{ Hz}$

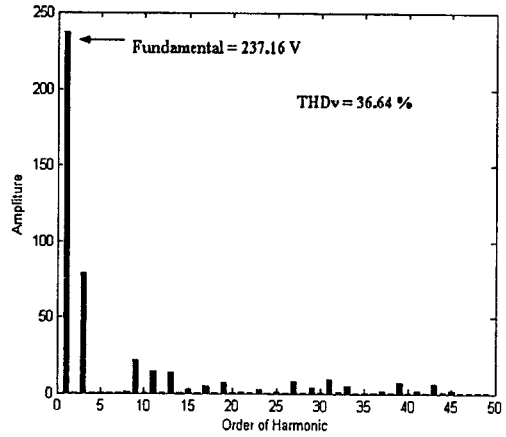
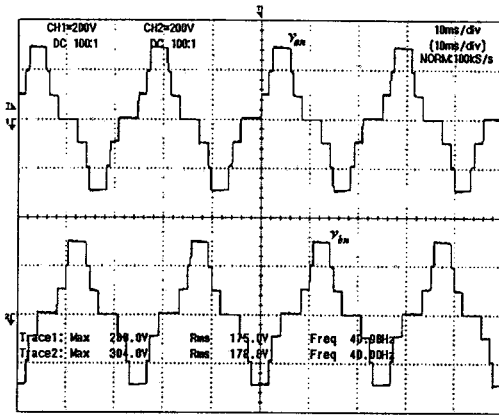
YOKOGAWA	Uover: - - - -	100ms	1MS/s			
CHZ	10Apk	Iover: - - - -	100ns			
	Element1	Element2	Element3			
Urms[V]	99.22	98.86	98.43	0.00	99.22	98.86
Umn[V]	110.21	109.80	109.32	0.00	110.21	109.80
Udc[V]	99.22	98.86	98.43	0.01	99.22	98.86
Uac[V]	0.25	0.37	0.75	0.00	0.25	0.37
Irms[A]	0.658	0.989	1.912	0.0000	0.658	0.989
Ian[A]	0.332	0.596	1.555	0.0000	0.332	0.596
Iac[A]	0.204	0.261	0.408	0.0004	0.204	0.261
Iac[A]	0.626	0.954	1.868	0.0000	0.626	0.954
P [W]	0.0203k	0.0258k	0.0400k	0.00	0.0203k	0.0258k
S [VA]	0.0653k	0.0977k	0.1862k	0.00	0.0653k	0.0977k
Q [var]	0.0621k	0.0943k	-0.1839k	0.00	0.0621k	0.0943k
λ	0.3106	0.2635	0.2127	Error	0.3106	0.2635



รูปที่ 6.9 สัญญาณกระแสและค่ากำลังไฟฟ้าของอินเวอร์เตอร์เอชบริดจ์แต่ละเซลล์ในเฟส A ที่  $f = 40 \text{ Hz}$

ค่ากำลังไฟฟ้าที่แหล่งจ่ายส่งผ่านไปให้กับอินเวอร์เตอร์เอชบริดจ์เซลล์ที่ 1, 2 และ 3 เท่ากับ 20.3 W, 25.8 W และ 40 W ตามลำดับ

เอกสารนี้เป็นเอกสารที่สงวนไว้สำหรับการใช้งานเพื่อการศึกษาเท่านั้น ไม่อนุญาตให้นำไปใช้ประโยชน์ด้านการค้า ไม่ว่าจะกรณีใดๆทั้งสิ้น อีกทั้งห้ามมิให้ดัดแปลงเนื้อหา และต้องอ้างอิงถึงเจ้าของเอกสารทุกครั้งที่มีการนำไปใช้

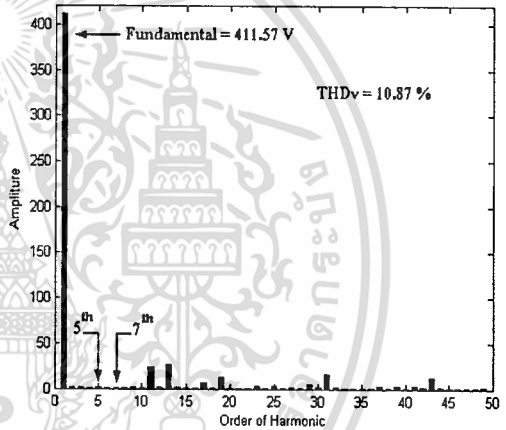
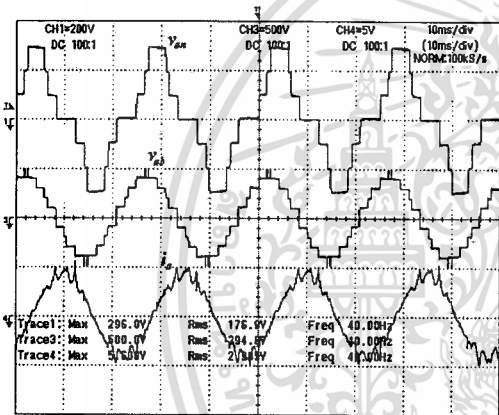


(ก) รูปสัญญาณ  $V_{an}$ ,  $V_{bn}$

(ข) สเปกตรัมของแรงดันเฟสเอาต์พุต  $V_{an}$

$V_{an}$ ,  $V_{bn} = 200\text{V/div}$ ,  $10\text{ms/div}$

รูปที่ 6.10 สัญญาณแรงดันเฟส  $V_{an}$ ,  $V_{bn}$  และสเปกตรัมของแรงดันเฟส  $V_{an}$  ที่  $f = 40\text{ Hz}$

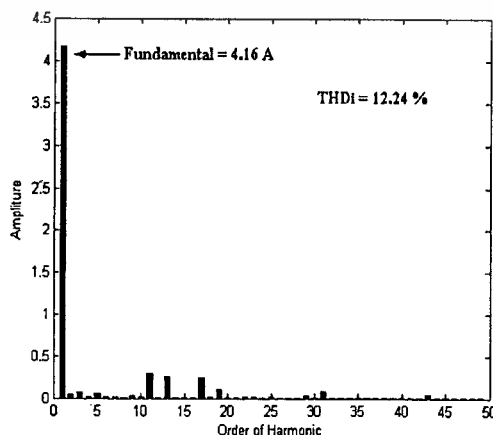


(ก) รูปสัญญาณ  $V_{an}$ ,  $V_{ab}$ ,  $i_a$  ตามลำดับ

(ข) สเปกตรัมของแรงดันไลน์  $V_{ab}$

$V_{an} = 200\text{V/div}$ ,  $V_{ab} = 500\text{V/div}$ ,  $i_a = 5\text{ A/div}$

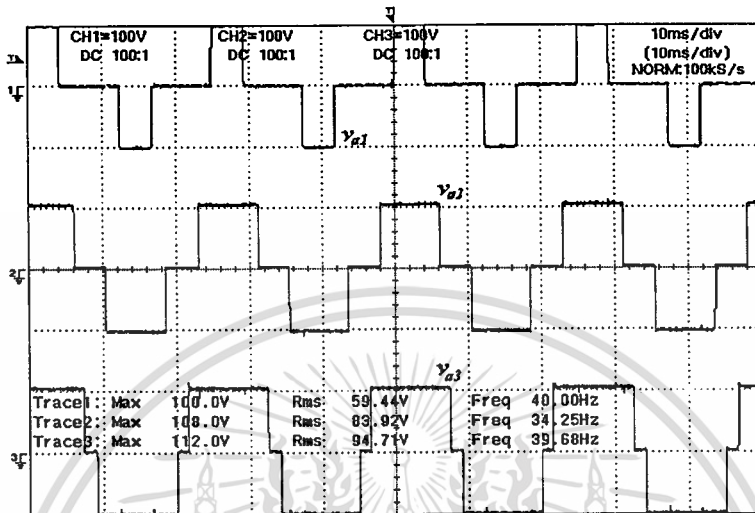
รูปที่ 6.11 สัญญาณแรงดันเฟส, แรงดันไลน์, และกระแสเอาต์พุต  $V_{an}$ ,  $V_{ab}$ ,  $i_a$  และสเปกตรัมของแรงดันไลน์  $V_{ab}$  ที่  $f = 40\text{ Hz}$



เอกสารนี้เป็นเอกสารที่สงวนไว้สำหรับรูปที่ 6.12 สเปกตรัมของกระแสเอาต์พุต กรุณาอย่าให้นำไปใช้ประโยชน์ด้านการค้า  
ไม่ว่ากรณีใดๆทั้งสิ้น อีกทั้งห้ามมิให้ดัดแปลงเนื้อหา และต้องอ้างอิงถึงเจ้าของเอกสารทุกครั้งที่มีการนำไปใช้

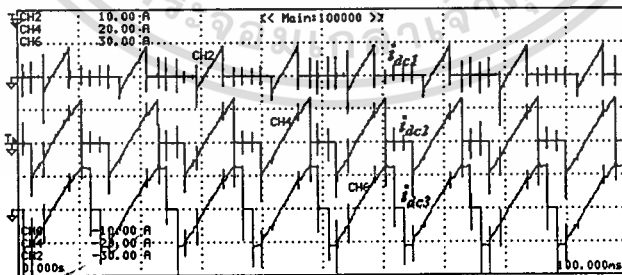
6.2.1.3 ที่  $f = 40 \text{ Hz}$ ,  $M = 1$

ทำการทดลองขับมอเตอร์เมื่อกำหนดให้  $f = 40 \text{ Hz}$ , ค่าดัชนีมอดูเลชัน ( $M$ ) เท่ากับ 1 ค่ามุมสวิตช์ซึ่งเป็น  $\alpha_1 = 11.6817^\circ$ ,  $\alpha_2 = 31.1783^\circ$  และ  $\alpha_3 = 58.5774^\circ$



รูปที่ 6.13 ลักษณะแรงดันเอาต์พุตของอินเวอร์เตอร์เอชบริดจ์แต่ละเซลล์ในเฟส A ที่  $f = 40 \text{ Hz}$

YOKOGAWA	20Apk	Uover: - - - -	100ns	1MS/s		
CHZ	Element1	Element2	Element3	Element4	Σ A	Σ B
Urms[V]	94.95	93.76	93.62	0.00	94.95	93.76
Umn[V]	105.46	104.13	103.96	0.00	105.46	104.13
Udc[V]	94.94	93.75	93.60	-0.01	94.94	93.75
Uac[V]	0.48	1.24	1.71	0.00	0.48	1.24
Irms[A]	1.302	2.830	3.969	0.0000	1.302	2.830
Imn[A]	0.738	2.214	3.655	0.0000	0.738	2.214
Idc[A]	0.370	0.565	0.719	0.0005	0.370	0.565
Iac[A]	1.248	2.273	3.903	0.0000	1.248	2.773
P [W]	0.0351k	0.0527k	0.0666k	-0.00	0.0351k	0.0527k
S [VA]	0.1236k	0.2653k	0.3716k	0.00	0.1236k	0.2653k
Q [var]	0.1185k	0.2600k	0.3656k	0.00	0.1185k	0.2600k
λ	0.2841	0.1986	0.1793	Error	0.2841	0.1986

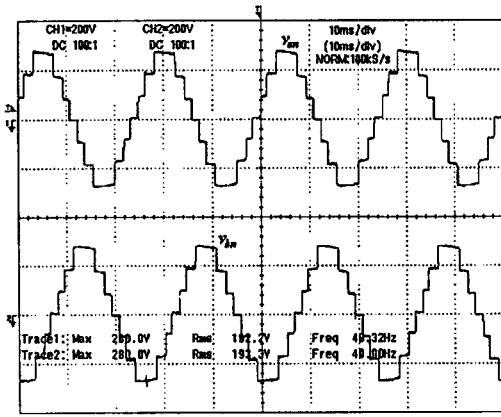


รูปที่ 6.14 สัญญาณกระแสและค่ากำลังไฟฟ้าของอินเวอร์เตอร์เอชบริดจ์แต่ละเซลล์ในเฟส A ที่  $f = 40 \text{ Hz}$

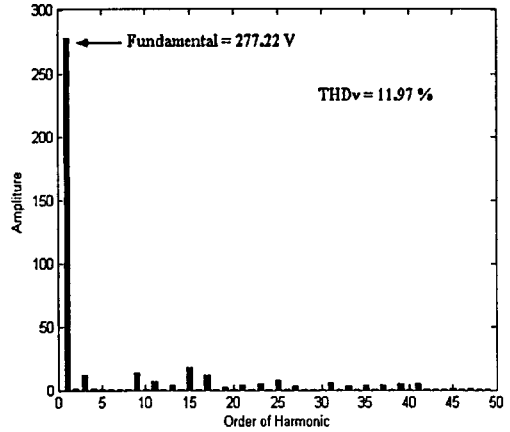
ค่ากำลังไฟฟ้าที่แหล่งจ่ายส่งผ่านไปให้กับอินเวอร์เตอร์เอชบริดจ์เซลล์ที่ 1, 2 และ 3

เท่ากับ 35.1 W, 52.7 W และ 66.6 W ตามลำดับ

เอกสารนี้เป็นเอกสารที่สงวนไว้สำหรับการใช้งานเพื่อการศึกษาเท่านั้น ไม่อนุญาตให้นำไปใช้ประโยชน์ด้านการค้า ไม่ว่าจะกรณีใดๆทั้งสิ้น อีกทั้งห้ามมิให้ดัดแปลงเนื้อหา และต้องอ้างอิงถึงเจ้าของเอกสารทุกครั้งที่มีการนำไปใช้



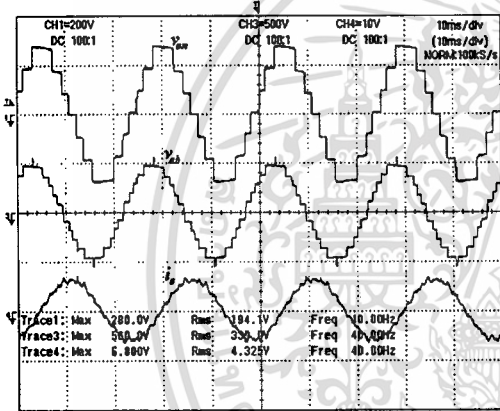
(ก) รูปสัญญาณ  $V_{an}$ ,  $V_{bn}$



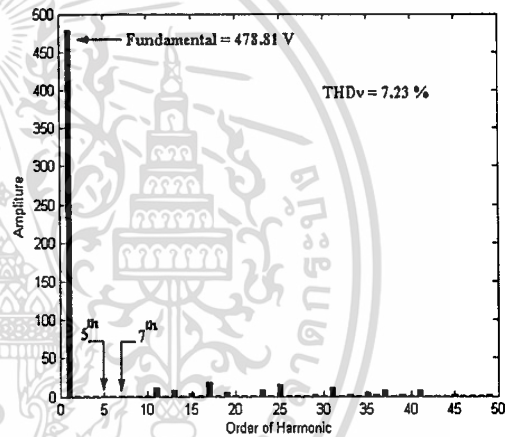
(ข) สเปกตรัมของแรงดันเฟสเอาต์พุต  $V_{an}$

$V_{an}$ ,  $V_{bn}$  = 200V/div, 10ms/div

รูปที่ 6.15 สัญญาณแรงดันเฟส  $V_{an}$ ,  $V_{bn}$  และสเปกตรัมของแรงดันเฟส  $V_{an}$  ที่  $f = 40$  Hz



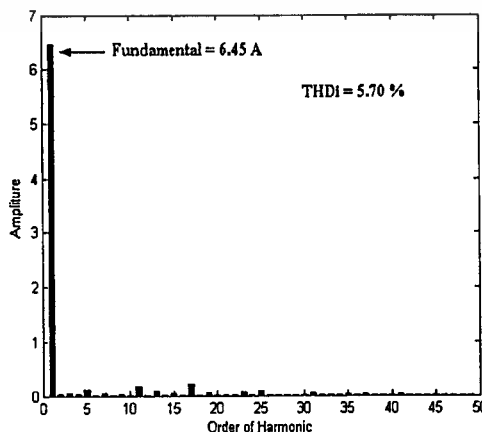
(ก) รูปสัญญาณ  $V_{an}$ ,  $V_{ab}$ ,  $i_a$  ตามลำดับ



(ข) สเปกตรัมของแรงดันไลน์  $V_{ab}$

$V_{an}$  = 200V/div,  $V_{ab}$  = 500V/div,  $i_a$  = 5 A/div

รูปที่ 6.16 สัญญาณแรงดันเฟส, แรงดันไลน์, และกระแสเอาต์พุต  $V_{an}$ ,  $V_{ab}$ ,  $i_a$  และสเปกตรัมของแรงดันไลน์  $V_{ab}$  ที่  $f = 40$  Hz

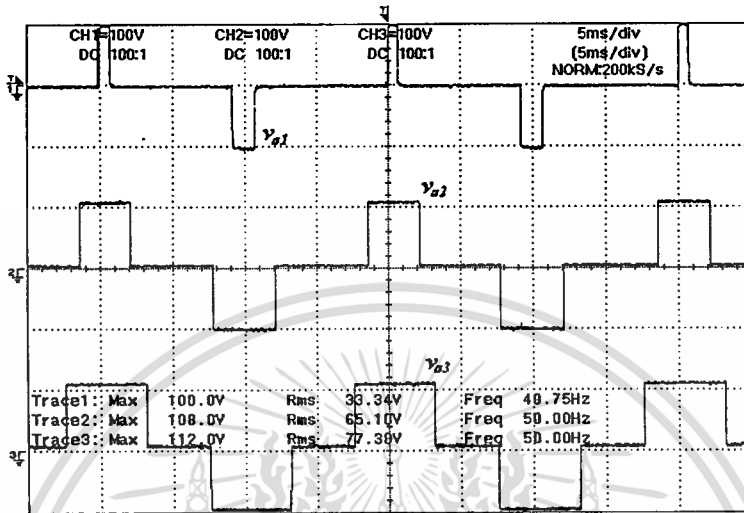


รูปที่ 6.17 สเปกตรัมของกระแสเอาต์พุต  $i_a$

เอกสารนี้เป็นเอกสารที่สงวนไว้สำหรับใช้ภายในเท่านั้น ไม่ควรเผยแพร่ให้บุคคลอื่นนำไปใช้ประโยชน์ด้านการค้า  
ไม่ว่ากรณีใดๆทั้งสิ้น อีกทั้งห้ามมิให้ดัดแปลงเนื้อหา และต้องอ้างอิงถึงเจ้าของเอกสารทุกครั้งที่มีการนำไปใช้

6.2.1.4 ที่  $f = 50 \text{ Hz}$ ,  $M = 0.6$

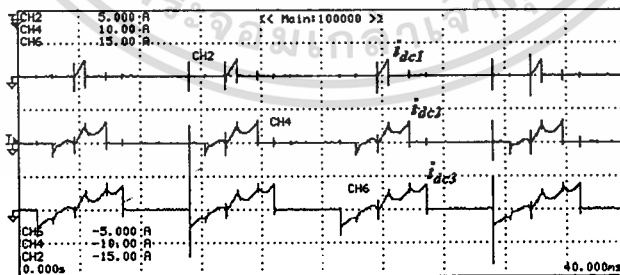
ทำการทดลองจับมอดเตอร์เมื่อกำหนดให้  $f = 50 \text{ Hz}$ , ค่าดัชนีมอดูเลชัน ( $M$ ) เท่ากับ 0.6 ค่ามุมสวิทช์เป็น  $\alpha_1 = 39.4298^\circ$ ,  $\alpha_2 = 58.5839^\circ$  และ  $\alpha_3 = 83.1042^\circ$



รูปที่ 6.18 ลักษณะแรงดันเอาต์พุตของอินเวอร์เตอร์เซชบริดจ์แต่ละเซลล์ในเฟส A ที่  $f = 50 \text{ Hz}$

YOKOGAWA  $\blacktriangle$  Uover: == == 40ms 2.5MS/s  
 ~CH1 200Vpk Iover: == == 40ms 2.5MS/s

	Element1	Element2	Element3	Element4	$\Sigma A$	$\Sigma B$
Uras[V]	102.25	101.12	100.71	0.00	102.25	101.12
Urn[V]	113.57	112.31	111.86	0.00	113.57	112.31
Udc[V]	102.25	101.12	100.71	0.01	102.25	101.12
Uac[V]	0.15	0.20	0.21	0.00	0.15	0.20
Iras[A]	0.211	0.411	0.697	0.0000	0.211	0.411
Irn[A]	0.072	0.226	0.500	0.0000	0.072	0.226
Idc[A]	0.055	0.164	0.226	0.0004	0.055	0.164
Iac[A]	0.203	0.326	0.659	0.0000	0.203	0.376
P [W]	0.0057k	0.0166k	0.0227k	0.00	0.0057k	0.0166k
S [VA]	0.0215k	0.0415k	0.0702k	0.00	0.0215k	0.0415k
Q [var]	0.0208k	0.0381k	-0.0664k	0.00	0.0208k	0.0381k
$\lambda$	0.2623	0.3992	0.3237	Error	0.2623	0.3992

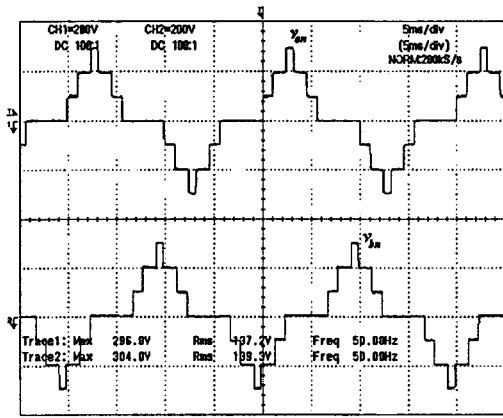


รูปที่ 6.19 สัญญาณกระแสและค่ากำลังไฟฟ้าของอินเวอร์เตอร์เซชบริดจ์แต่ละเซลล์ในเฟส A ที่  $f = 50 \text{ Hz}$

ค่ากำลังไฟฟ้าที่แหล่งจ่ายส่งผ่านไปให้กับอินเวอร์เตอร์เซชบริดจ์เซลล์ที่ 1, 2 และ 3

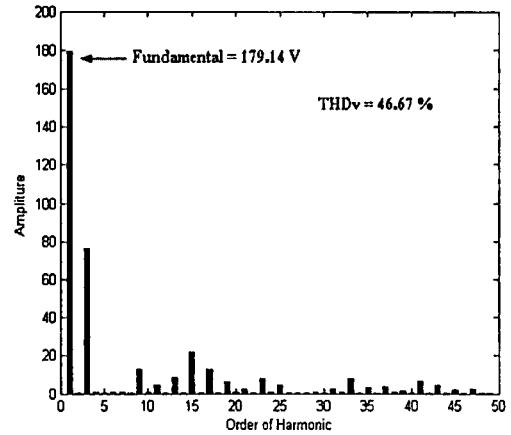
เท่ากับ 5.7 W, 16.6 W และ 22.7 W ตามลำดับ

เอกสารนี้เป็นเอกสารที่สงวนไว้สำหรับการใช้งานเพื่อการศึกษาเท่านั้น ไม่อนุญาตให้นำไปใช้ประโยชน์ด้านการค้า ไม่ว่าจะกรณีใดๆทั้งสิ้น อีกทั้งห้ามมิให้ดัดแปลงเนื้อหา และต้องอ้างอิงถึงเจ้าของเอกสารทุกครั้งที่มีการนำไปใช้



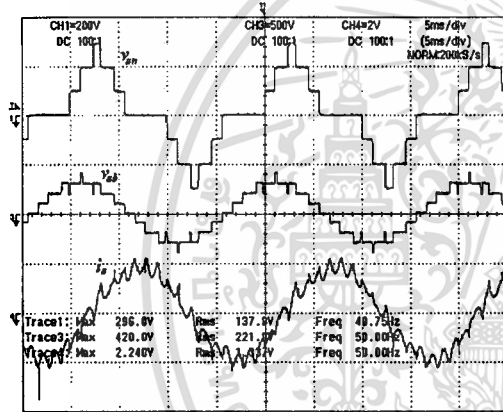
(ก) รูปสัญญาณ  $V_{an}, V_{bn}$

$V_{an}, V_{bn} = 200V/div, 5 ms/div$



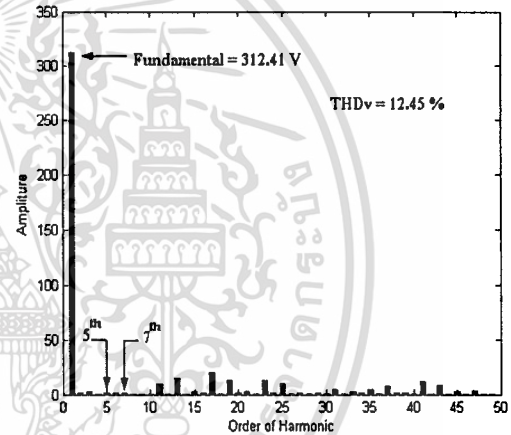
(ข) สเปกตรัมของแรงดันเฟสเอาต์พุต  $V_{an}$

รูปที่ 6.20 สัญญาณแรงดันเฟส  $V_{an}, V_{bn}$  และสเปกตรัมของแรงดันเฟส  $V_{an}$  ที่  $f = 50$  Hz



(ก) รูปสัญญาณ  $V_{an}, V_{ab}, i_a$  ตามลำดับ

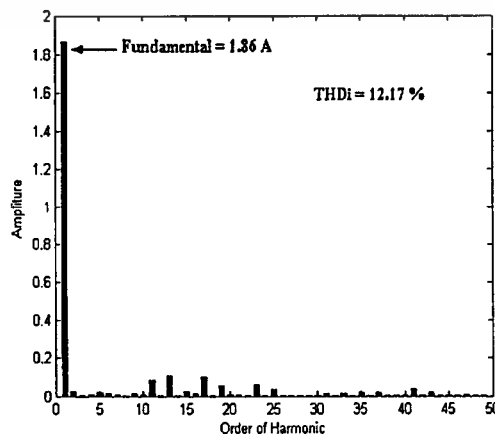
$V_{an} = 200V/div, V_{ab} = 500V/div, i_a = 2 A/div$



(ข) สเปกตรัมของแรงดันไลน์  $V_{ab}$

รูปที่ 6.21 สัญญาณแรงดันเฟส, แรงดันไลน์, และกระแสเอาต์พุต  $V_{an}, V_{ab}, i_a$

และสเปกตรัมของแรงดันไลน์  $V_{ab}$  ที่  $f = 50$  Hz

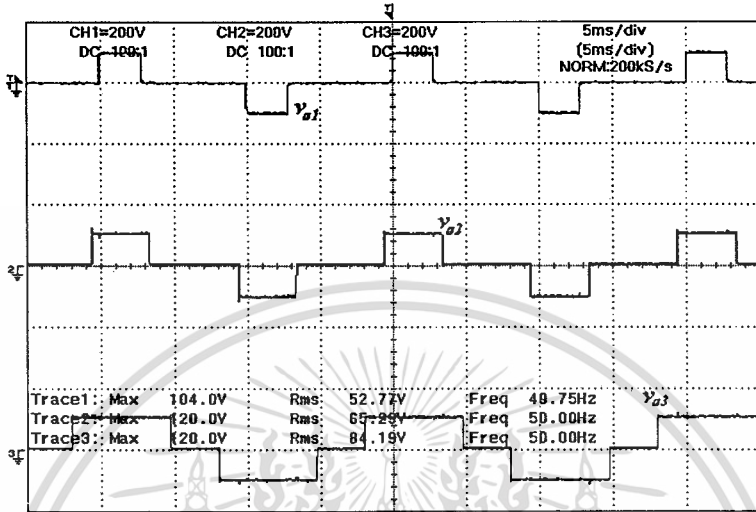


รูปที่ 6.22 สเปกตรัมของกระแสเอาต์พุต  $i_a$

เอกสารนี้เป็นเอกสารที่สงวนไว้สำหรับใช้ภายในห้องเรียนของหน่วยงานนี้ ไม่อนุญาตให้นำไปใช้ประโยชน์ด้านการค้า  
ไม่ว่ากรณีใดๆทั้งสิ้น อีกทั้งห้ามมิให้ดัดแปลงเนื้อหา และต้องอ้างอิงถึงเจ้าของเอกสารทุกครั้งที่มีการนำไปใช้

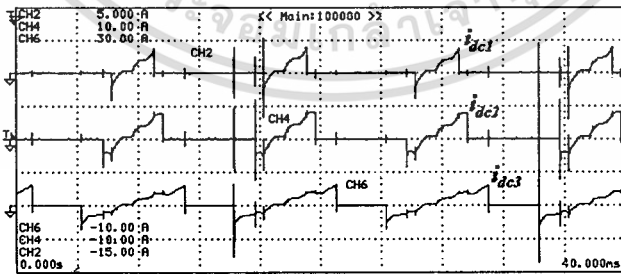
6.2.1.5 ที่  $f = 50 \text{ Hz}$ ,  $M = 0.8$

ทำการทดลองขั้วมอเตอร์เมื่อกำหนดให้  $f = 50 \text{ Hz}$ , ค่าดัชนีมอดูลेशन ( $M$ ) เท่ากับ 0.8 ค่ามุมสวิทช์ซึ่งเป็น  $\alpha_1 = 29.2355^\circ$ ,  $\alpha_2 = 54.4383^\circ$  และ  $\alpha_3 = 64.4844^\circ$



รูปที่ 6.23 ลักษณะแรงดันเอาต์พุตของอินเวอร์เตอร์เซชบริดจ์แต่ละเซลล์ในเฟส A ที่  $f = 50 \text{ Hz}$

YOKOGAWA	Over: - - - -	40ms 2.5MS/s				
CH1	200Upk	Over: - - - -	40ms 2.5MS/s			
	Element1	Element2	Element3	Element4	Σ A	Σ B
Urms [V]	100.05	99.57	99.05	0.00	100.05	99.57
Umn [V]	111.13	110.60	110.02	0.00	111.13	110.60
Udc [V]	100.05	99.57	99.05	-0.01	100.05	99.57
Uac [V]	0.19	0.25	0.44	0.00	0.19	0.25
Irms [A]	0.448	0.688	1.259	0.0000	0.448	0.688
Imn [A]	0.229	0.414	1.008	0.0000	0.229	0.414
Idc [A]	0.139	0.193	0.260	0.0005	0.139	0.193
Iac [A]	0.427	0.660	1.232	0.0000	0.427	0.660
P [W]	0.0139k	0.0192k	0.0259k	-0.00	0.0139k	0.0192k
S [VA]	0.0449k	0.0685k	0.1247k	0.00	0.0449k	0.0685k
Q [var]	0.0427k	0.0657k	0.1220k	0.00	0.0427k	0.0657k
λ	0.3091	0.2810	0.2074	Error	0.3091	0.2810

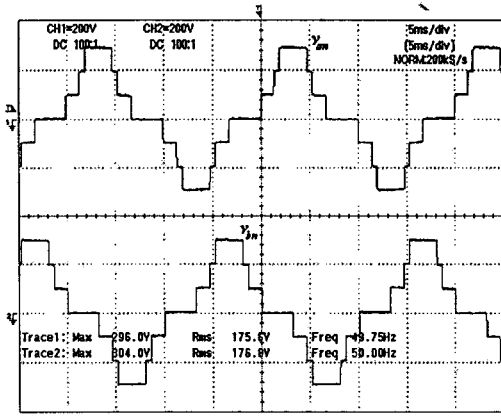


รูปที่ 6.24 สัญญาณกระแสและค่ากำลังไฟฟ้าของอินเวอร์เตอร์เซชบริดจ์แต่ละเซลล์ในเฟส A ที่  $f = 50 \text{ Hz}$

ค่ากำลังไฟฟ้าที่แหล่งจ่ายส่งผ่านไปให้กับอินเวอร์เตอร์เซชบริดจ์เซลล์ที่ 1, 2 และ 3

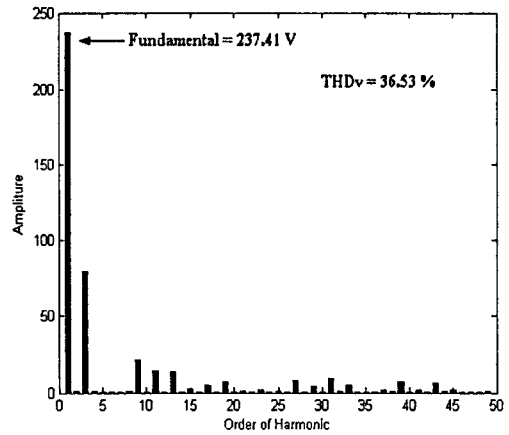
เท่ากับ 13.9 W, 19.2 W และ 25.9 W ตามลำดับ

เอกสารนี้เป็นเอกสารที่สงวนไว้สำหรับการใช้งานเพื่อการศึกษาเท่านั้น ไม่อนุญาตให้นำไปใช้ประโยชน์ด้านการค้า ไม่ว่าจะกรณีใดๆทั้งสิ้น อีกทั้งห้ามมิให้ดัดแปลงเนื้อหา และต้องอ้างอิงถึงเจ้าของเอกสารทุกครั้งที่มีการนำไปใช้



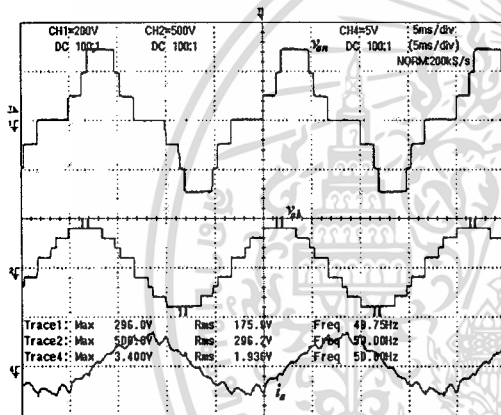
(ก) รูปสัญญาณ  $V_{an}$ ,  $V_{bn}$

$V_{an}$ ,  $V_{bn} = 200 \text{ V/div}$ ,  $5 \text{ ms/div}$



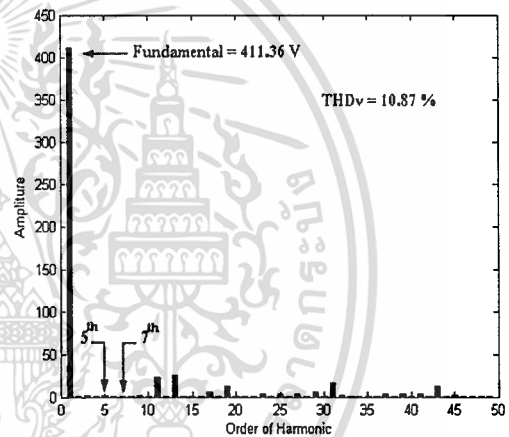
(ข) สเปกตรัมของแรงดันเฟสเอาต์พุต  $V_{an}$

รูปที่ 6.25 สัญญาณแรงดันเฟส  $V_{an}$ ,  $V_{bn}$  และสเปกตรัมของแรงดันเฟส  $V_{an}$  ที่  $f = 50 \text{ Hz}$



(ก) รูปสัญญาณ  $V_{an}$ ,  $V_{ab}$ ,  $i_a$  ตามลำดับ

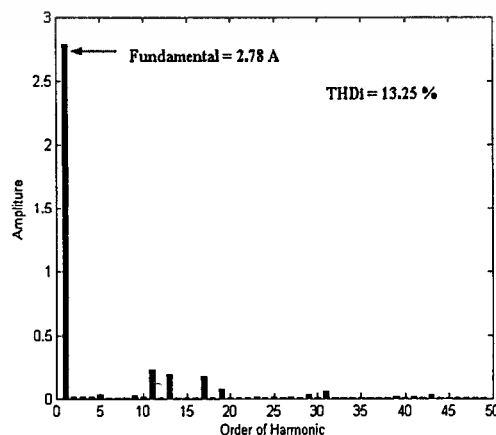
$V_{an} = 200\text{V/div}$ ,  $V_{ab} = 500\text{V/div}$ ,  $i_a = 5 \text{ A/div}$



(ข) สเปกตรัมของแรงดันไลน์  $V_{ab}$

รูปที่ 6.26 สัญญาณแรงดันเฟส, แรงดันไลน์, และกระแสเอาต์พุต  $V_{an}$ ,  $V_{ab}$ ,  $i_a$

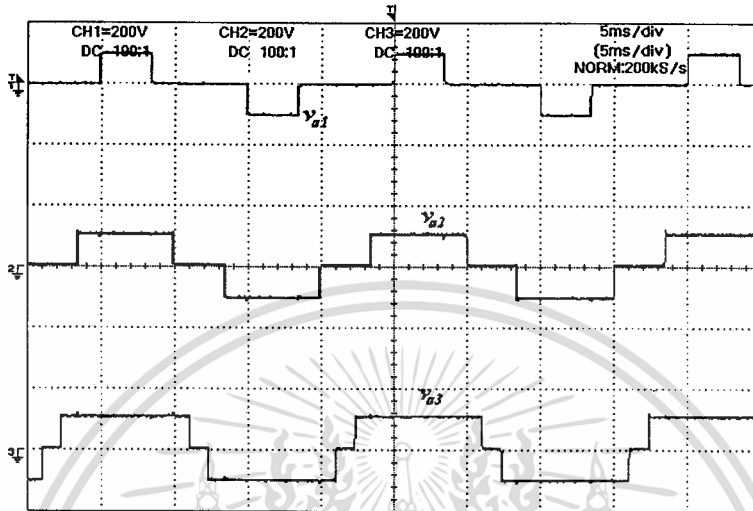
และสเปกตรัมของแรงดันไลน์  $V_{ab}$  ที่  $f = 50 \text{ Hz}$



เอกสารนี้เป็นเอกสารที่สงวนไว้สำหรับรูปที่ 6.27 สเปกตรัมของกระแสเอาต์พุตให้นำไปใช้ประโยชน์ด้านการค้า  
ไม่ว่ากรณีใดๆทั้งสิ้น อีกทั้งห้ามมิให้ดัดแปลงเนื้อหา และต้องอ้างอิงถึงเจ้าของเอกสารทุกครั้งที่มีการนำไปใช้

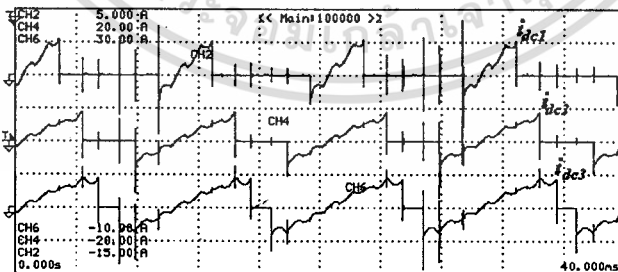
### 6.2.1.6 ที่ $f = 50 \text{ Hz}$ , $M = 1$

ทำการทดลองขั้วมอเตอร์เมื่อกำหนดให้  $f = 50 \text{ Hz}$ , ค่าดัชนีมอดูละชั้น ( $M$ ) เท่ากับ 1 ค่ามุมสวิตช์ซึ่งเป็น  $\alpha_1 = 11.6817^\circ$ ,  $\alpha_2 = 31.1783^\circ$  และ  $\alpha_3 = 58.5774^\circ$



รูปที่ 6.28 ลักษณะแรงดันเอาต์พุตของอินเวอร์เตอร์เอชบริดจ์แต่ละเซลล์ในเฟส A ที่  $f = 50 \text{ Hz}$

YOKOGAWA		Uover: - - - -				40ms	2.5MS/s
CH1		Iover: - - - -				40ms	2.5MS/s
	Element1	Element2	Element3	Element4	$\Sigma A$	$\Sigma B$	
Urms [V]	99.70	99.16	99.17	0.00	99.70	99.16	
Umn [V]	110.74	110.14	110.14	0.00	110.74	110.14	
Udc [V]	99.70	99.16	99.16	0.01	99.70	99.16	
Uac [V]	0.29	0.61	0.81	0.00	0.29	0.61	
Irms [A]	0.841	1.854	2.510	0.0000	0.841	1.854	
Irn [A]	0.491	1.519	2.362	0.0000	0.491	1.519	
Idc [A]	0.264	0.517	0.643	0.0005	0.264	0.517	
Iac [A]	0.798	1.781	2.426	0.0000	0.798	1.781	
P [W]	0.0263k	0.0511k	0.0634k	0.00	0.0263k	0.0511k	
S [VA]	0.0838k	0.1839k	0.2407k	0.00	0.0838k	0.1839k	
Q [var]	0.0796k	0.1766k	0.2406k	0.00	0.0796k	0.1766k	
$\lambda$	0.3140	0.2781	0.2549	Error	0.3140	0.2781	

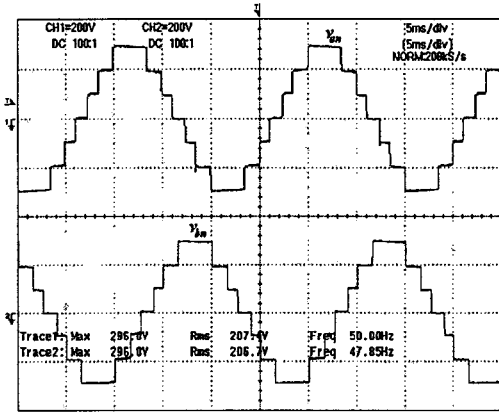


รูปที่ 6.29 สัญญาณกระแสและค่ากำลังไฟฟ้าของอินเวอร์เตอร์เอชบริดจ์แต่ละเซลล์ในเฟส A ที่  $f = 50 \text{ Hz}$

ค่ากำลังไฟฟ้าที่แหล่งจ่ายส่งผ่านไปให้กับอินเวอร์เตอร์เอชบริดจ์เซลล์ที่ 1, 2 และ 3

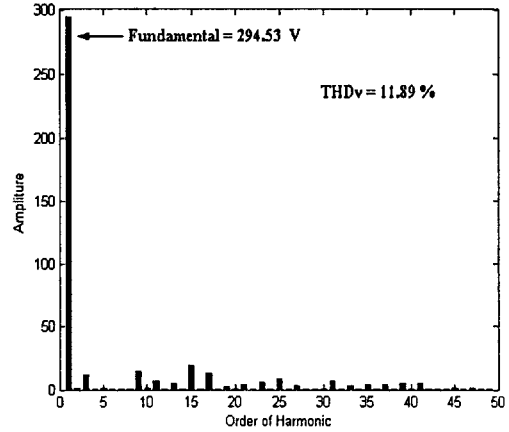
เท่ากับ 26.3 W, 51.1 W และ 63.4 W ตามลำดับ

เอกสารนี้เป็นเอกสารที่สงวนไว้สำหรับการใช้งานเพื่อการศึกษาเท่านั้น ไม่อนุญาตให้นำไปใช้ประโยชน์ด้านการค้า ไม่ว่าจะกรณีใดๆทั้งสิ้น อีกทั้งห้ามมิให้ดัดแปลงเนื้อหา และต้องอ้างอิงถึงเจ้าของเอกสารทุกครั้งที่มีการนำไปใช้



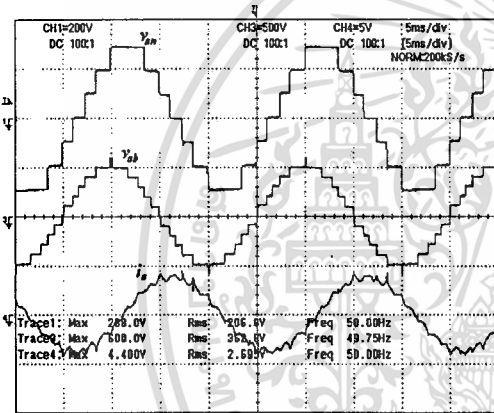
(ก) รูปสัญญาณ  $V_{an}$ ,  $V_{bn}$

$V_{an}$ ,  $V_{bn} = 200\text{V/div}$ ,  $5\text{ms/div}$



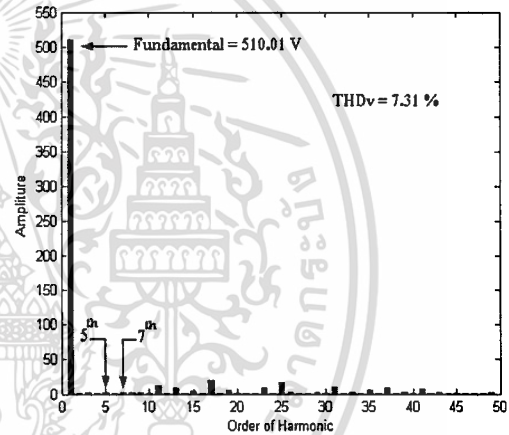
(ข) สเปกตรัมของแรงดันเฟสเอาต์พุต  $V_{an}$

รูปที่ 6.30 สัญญาณแรงดันเฟส  $V_{an}$ ,  $V_{bn}$  และสเปกตรัมของแรงดันเฟส  $V_{an}$  ที่  $f = 50\text{ Hz}$



(ก) รูปสัญญาณ  $V_{an}$ ,  $V_{ab}$ ,  $i_a$  ตามลำดับ

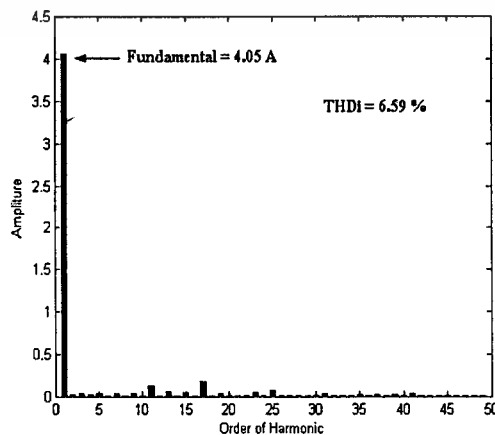
$V_{an} = 200\text{V/div}$ ,  $V_{ab} = 500\text{V/div}$ ,  $i_a = 5\text{ A/div}$



(ข) สเปกตรัมของแรงดันไลน์  $V_{ab}$

รูปที่ 6.31 สัญญาณแรงดันเฟส, แรงดันไลน์, และกระแสเอาต์พุต  $V_{an}$ ,  $V_{ab}$ ,  $i_a$

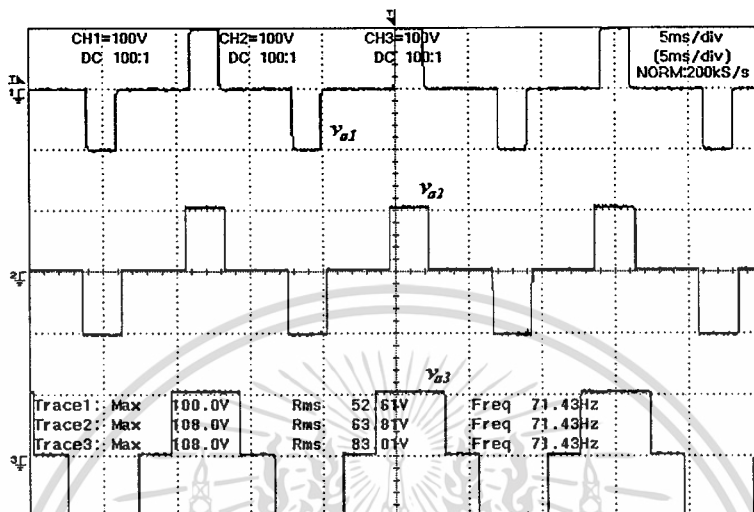
และสเปกตรัมของแรงดันไลน์  $V_{ab}$  ที่  $f = 50\text{ Hz}$



เอกสารนี้เป็นเอกสารที่สงวนไว้สำหรับรูปที่ 6.32 สเปกตรัมของกระแสเอาต์พุตให้นำไปใช้ประโยชน์ด้านการค้า  
ไม่ว่ากรณีใดๆทั้งสิ้น อีกทั้งห้ามมิให้ดัดแปลงเนื้อหา และต้องอ้างอิงถึงเจ้าของเอกสารทุกครั้งที่มีการนำไปใช้

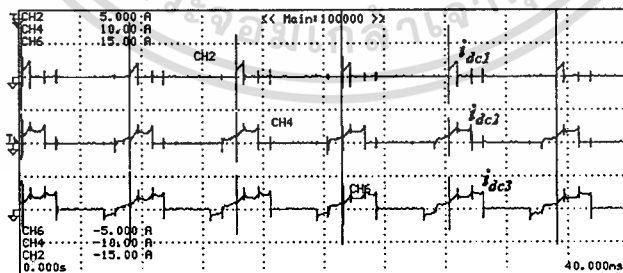
6.2.1.7 ที่  $f = 70 \text{ Hz}$ ,  $M = 0.6$

ทำการทดลองขับมอเตอร์เมื่อกำหนดให้  $f = 70 \text{ Hz}$ , ค่าดัชนีมอดูเลชัน ( $M$ ) เท่ากับ 0.6 ค่ามุมสวิทช์ซึ่งเป็น  $\alpha_1 = 39.4298^\circ$ ,  $\alpha_2 = 58.5839^\circ$  และ  $\alpha_3 = 83.1042^\circ$



รูปที่ 6.33 ลักษณะแรงดันเอาต์พุตของอินเวอร์เตอร์เอชบริดจ์แต่ละเซลล์ในเฟส A ที่  $f = 70 \text{ Hz}$

YOKOGAWA		uover: - - - -				40ns	2.5MS/s
CH1		uover: - - - -				40ns	2.5MS/s
	Element1	Element2	Element3	Element4	Σ A	Σ B	
Urms [V]	100.50	99.06	98.61	0.00	100.50	99.06	
Umh [V]	111.63	110.03	109.53	0.00	111.63	110.03	
Udc [V]	100.50	99.06	98.61	0.02	100.50	99.06	
Uac [V]	0.16	0.22	0.23	0.00	0.16	0.22	
Irms [A]	0.233	0.430	0.595	0.0000	0.233	0.430	
Imh [A]	0.085	0.268	0.455	0.0000	0.085	0.268	
Idc [A]	0.067	0.233	0.322	0.0004	0.067	0.233	
Iac [A]	0.223	0.361	0.500	0.0000	0.223	0.361	
P [W]	0.0068k	0.0231k	0.0318k	0.00	0.0068k	0.0231k	
S [VA]	0.0234k	0.0426k	0.0586k	0.00	0.0234k	0.0426k	
Q [var]	0.0224k	0.0358k	0.0493k	0.00	0.0224k	0.0358k	
λ	0.2893	0.5428	0.5414	Error	0.2893	0.5428	

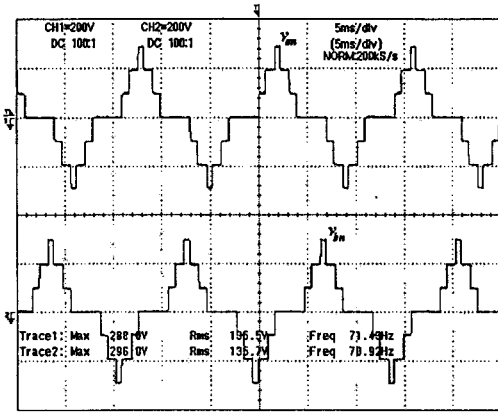


รูปที่ 6.34 สัญญาณกระแสและค่ากำลังไฟฟ้าของอินเวอร์เตอร์เอชบริดจ์แต่ละเซลล์ในเฟส A ที่  $f = 70 \text{ Hz}$

ค่ากำลังไฟฟ้าที่แหล่งจ่ายส่งผ่านไปให้กับอินเวอร์เตอร์เอชบริดจ์เซลล์ที่ 1, 2 และ 3

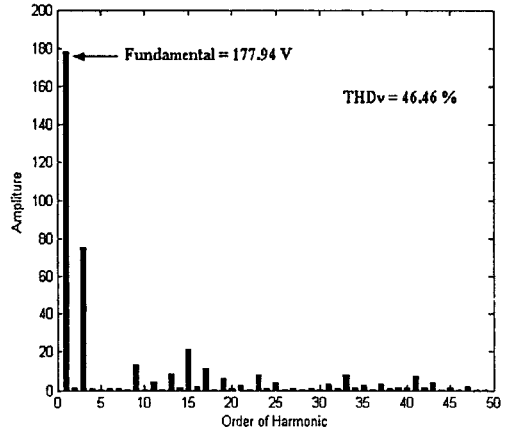
เท่ากับ 6.8 W, 23.1 W และ 31.8 W ตามลำดับ

เอกสารนี้เป็นเอกสารที่สงวนไว้สำหรับการใช้งานเพื่อการศึกษาเท่านั้น ไม่อนุญาตให้นำไปใช้ประโยชน์ด้านการค้า ไม่ว่าจะกรณีใดๆทั้งสิ้น อีกทั้งห้ามมิให้ดัดแปลงเนื้อหา และต้องอ้างอิงถึงเจ้าของเอกสารทุกครั้งที่มีการนำไปใช้



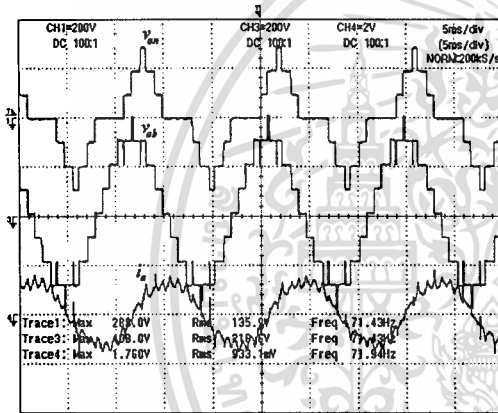
(ก) รูปสัญญาณ  $V_{an}$ ,  $V_{bn}$

$V_{an}, V_{bn} = 200V/div, 5 ms/div$



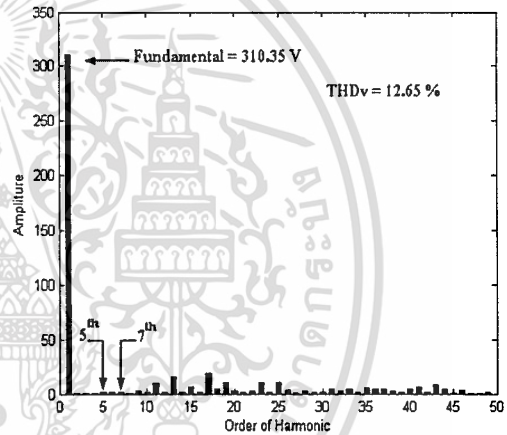
(ข) สเปกตรัมของแรงดันเฟสเอาต์พุต  $V_{an}$

รูปที่ 6.35 สัญญาณแรงดันเฟส  $V_{an}$ ,  $V_{bn}$  และสเปกตรัมของแรงดันเฟส  $V_{an}$  ที่  $f = 70$  Hz



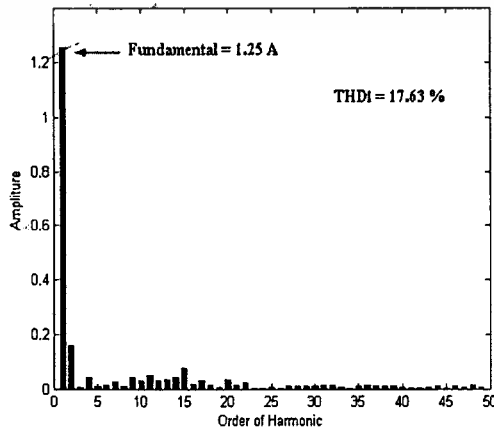
(ก) รูปสัญญาณ  $V_{an}$ ,  $V_{ab}$ ,  $i_a$  ตามลำดับ

$V_{an} = 200V/div, V_{ab} = 200V/div, i_a = 2 A/div$



(ข) สเปกตรัมของแรงดันไลน์  $V_{ab}$

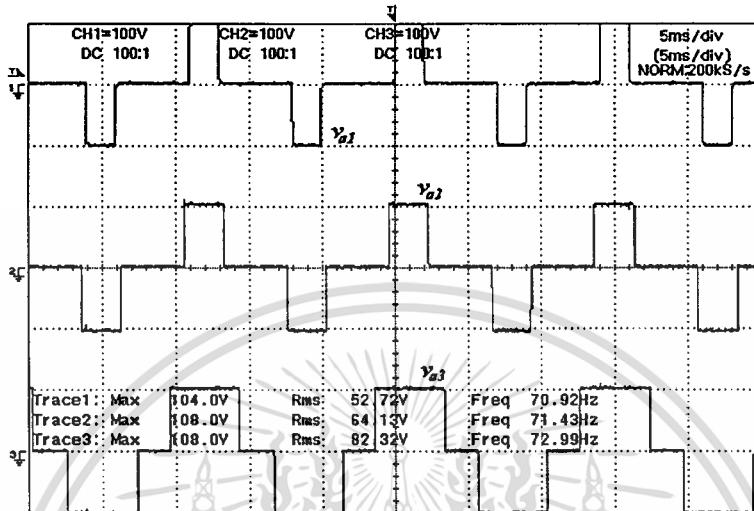
รูปที่ 6.36 สัญญาณแรงดันเฟส, แรงดันไลน์, และกระแสเอาต์พุต  $V_{an}$ ,  $V_{ab}$ ,  $i_a$  และสเปกตรัมของแรงดันไลน์  $V_{ab}$  ที่  $f = 70$  Hz



เอกสารนี้เป็นเอกสารที่สงวนไว้สำหรับรูปที่ 6.37 สเปกตรัมของกระแสเอาต์พุต  $i_a$  ให้นำไปใช้ประโยชน์ด้านการค้า  
ไม่ว่ากรณีใดๆทั้งสิ้น อีกทั้งห้ามมิให้ดัดแปลงเนื้อหา และต้องอ้างอิงถึงเจ้าของเอกสารทุกครั้งที่มีการนำไปใช้

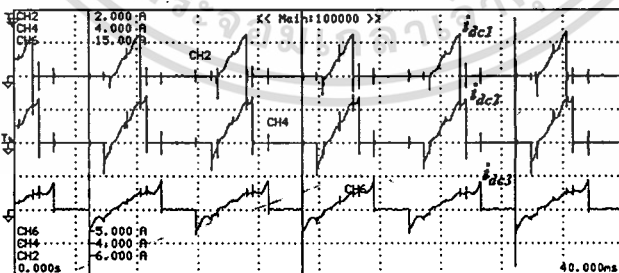
### 6.2.1.8 ที่ $f = 70 \text{ Hz}$ , $M = 0.8$

ทำการทดลองจับมอเตอร์เมื่อกำหนดให้  $f = 70 \text{ Hz}$ , ค่าดัชนีมอดูลชัน ( $M$ ) เท่ากับ 0.8 ค่ามุมสวิตชิ่งเป็น  $\alpha_1 = 29.2355^\circ$ ,  $\alpha_2 = 54.4383^\circ$  และ  $\alpha_3 = 64.4844^\circ$



รูปที่ 6.38 ลักษณะแรงดันเอาต์พุตของอินเวอร์เตอร์เซมิบริดจ์แต่ละเซลล์ในเฟส A ที่  $f = 70 \text{ Hz}$

YOKOGAWA		Uover: ==				40ns 2.5MS/s	
CH1 200Upk		lower: ==				40ns 2.5MS/s	
		Element1	Element2	Element3	Element4	$\Sigma A$	$\Sigma B$
Urms[V]	J	91.18	90.86	90.44	0.00	91.18	90.86
Umn[V]	J	101.27	100.92	100.46	0.00	101.27	100.92
Udc[V]	J	91.18	90.86	90.44	-0.01	91.18	90.86
Uac[V]	J	0.25	0.28	0.34	0.00	0.25	0.28
Irms[A]	J	0.3676	0.4812	0.793	0.0000	0.3676	0.4812
Irn[A]	J	0.1847	0.2887	0.635	0.0000	0.1847	0.2887
Idc[A]	J	0.1587	0.2020	0.277	0.0006	0.1587	0.2020
Iac[A]	J	0.3316	0.4367	0.743	0.0000	0.3316	0.4367
P[W]	J	14.48	18.36	0.0250k	-0.00	14.48	18.36
S[VAr]	J	33.52	43.72	0.0710k	0.00	33.52	43.72
Q[VAr]	J	30.23	39.68	0.0673k	0.00	30.23	39.68
$\lambda$	I	0.4320	0.4199	0.3487	Error	0.4320	0.4199

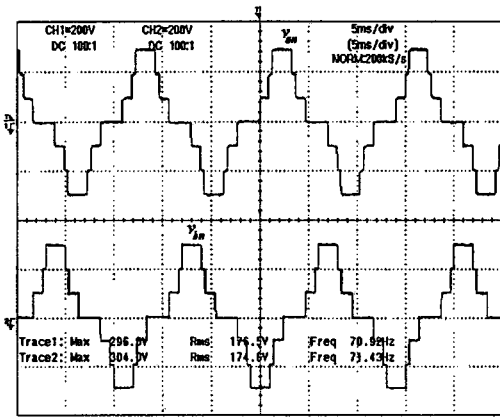


รูปที่ 6.39 สัญญาณกระแสและค่ากำลังไฟฟ้าของอินเวอร์เตอร์เซมิบริดจ์แต่ละเซลล์ในเฟส A ที่  $f = 70 \text{ Hz}$

ค่ากำลังไฟฟ้าที่แหล่งจ่ายส่งผ่านไปให้กับอินเวอร์เตอร์เซมิบริดจ์เซลล์ที่ 1, 2 และ 3

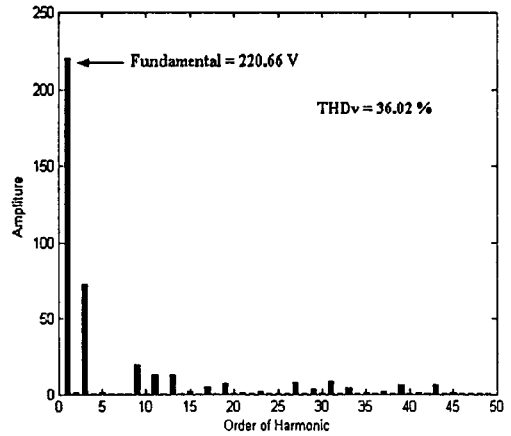
เท่ากับ 14.48 W, 18.36 W และ 25 W ตามลำดับ

เอกสารนี้เป็นเอกสารที่สงวนไว้สำหรับการใช้งานเพื่อการศึกษาเท่านั้น ไม่อนุญาตให้นำไปใช้ประโยชน์ด้านการค้า ไม่ว่าจะกรณีใดๆทั้งสิ้น อีกทั้งห้ามมิให้ดัดแปลงเนื้อหา และต้องอ้างอิงถึงเจ้าของเอกสารทุกครั้งที่มีการนำไปใช้



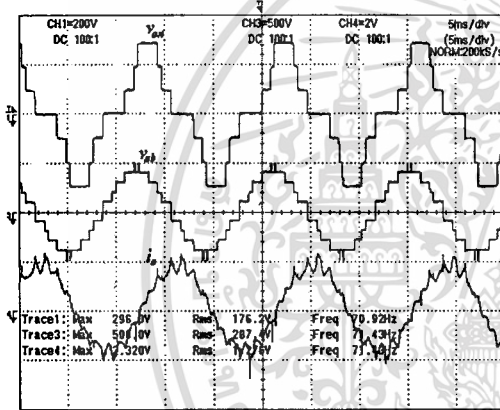
(ก) รูปสัญญาณ  $V_{an}$ ,  $V_{bn}$

$V_{an}$ ,  $V_{bn} = 200 \text{ V/div}$ ,  $5 \text{ ms/div}$



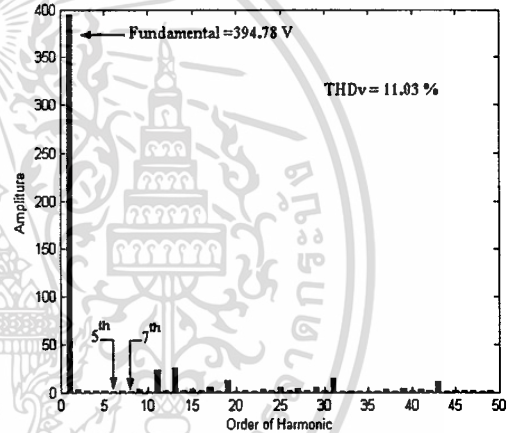
(ข) สเปกตรัมของแรงดันเฟสเอาต์พุต  $V_{an}$

รูปที่ 6.40 สัญญาณแรงดันเฟส  $V_{an}$ ,  $V_{bn}$  และสเปกตรัมของแรงดันเฟส  $V_{an}$  ที่  $f = 70 \text{ Hz}$



(ก) รูปสัญญาณ  $V_{an}$ ,  $V_{ab}$ ,  $i_a$  ตามลำดับ

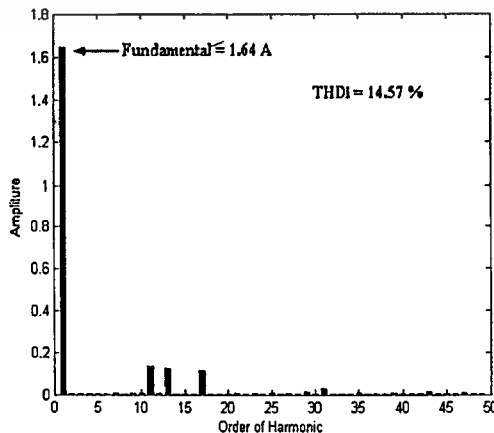
$V_{an} = 200\text{V/div}$ ,  $V_{ab} = 500\text{V/div}$ ,  $i_a = 2 \text{ A/div}$



(ข) สเปกตรัมของแรงดันไลน์  $V_{ab}$

รูปที่ 6.41 สัญญาณแรงดันเฟส, แรงดันไลน์, และกระแสเอาต์พุต  $V_{an}$ ,  $V_{ab}$ ,  $i_a$

และสเปกตรัมของแรงดันไลน์  $V_{ab}$  ที่  $f = 70 \text{ Hz}$

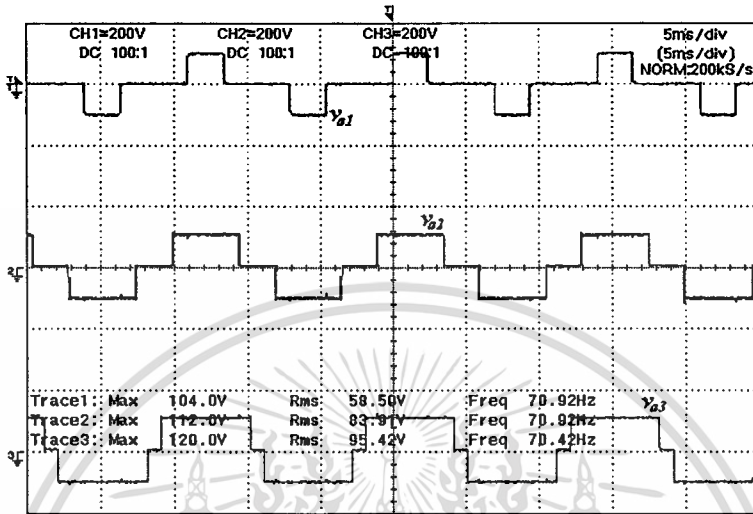


รูปที่ 6.42 สเปกตรัมของกระแสเอาต์พุต  $i_a$

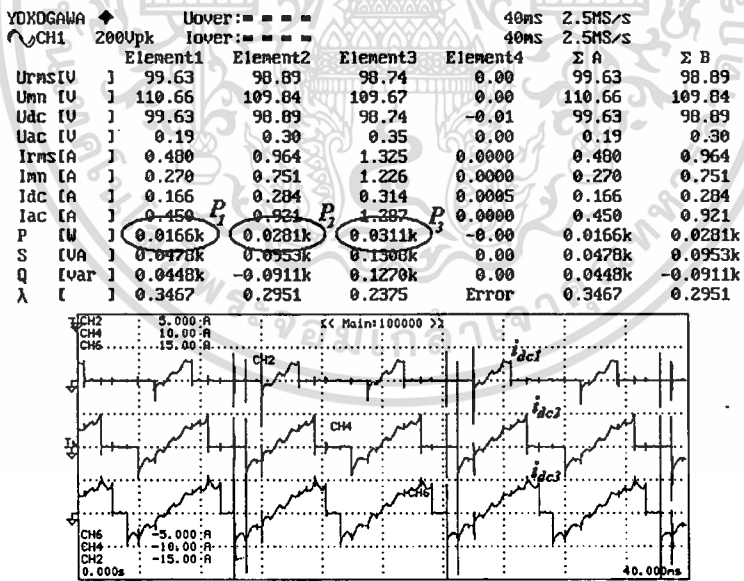
เอกสารนี้เป็นเอกสารที่สงวนไว้สำหรับใช้ในการเรียนการสอนเท่านั้น ไม่ควรเผยแพร่ให้บุคคลอื่นนำไปใช้ประโยชน์ด้านการค้า  
ไม่ว่ากรณีใดๆทั้งสิ้น อีกทั้งห้ามมิให้ดัดแปลงเนื้อหา และต้องอ้างอิงถึงเจ้าของเอกสารทุกครั้งที่มีการนำไปใช้

6.2.1.9 ที่  $f = 70 \text{ Hz}$ ,  $M = 1$

ทำการทดลองขั้วมอเตอร์เมื่อกำหนดให้  $f = 70 \text{ Hz}$ , ค่าดัชนีมอดูลชัน ( $M$ ) เท่ากับ 1 ค่ามุมสวิทช์เป็น  $\alpha_1 = 11.6817^\circ$ ,  $\alpha_2 = 31.1783^\circ$  และ  $\alpha_3 = 58.5774^\circ$



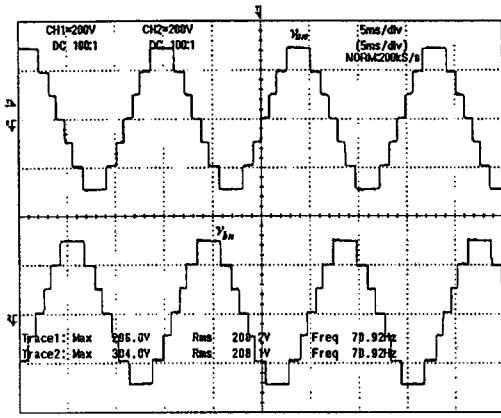
รูปที่ 6.43 ลักษณะแรงดันเอาต์พุตของอินเวอร์เตอร์เอชบริดจ์แต่ละเซลล์ในเฟส A ที่  $f = 70 \text{ Hz}$



รูปที่ 6.44 สัญญาณกระแสและค่ากำลังไฟฟ้าของอินเวอร์เตอร์เอชบริดจ์แต่ละเซลล์ในเฟส A ที่  $f = 70 \text{ Hz}$

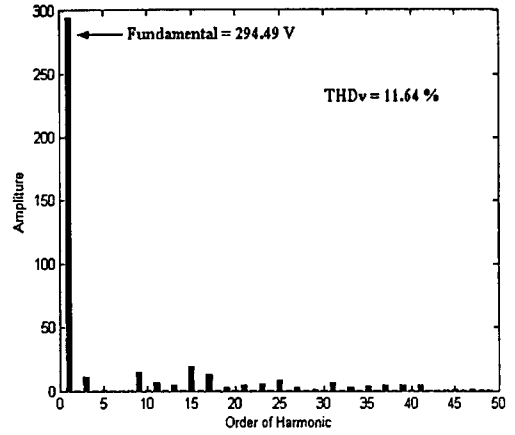
ค่ากำลังไฟฟ้าที่แหล่งจ่ายส่งผ่าน ไปให้กับอินเวอร์เตอร์เอชบริดจ์เซลล์ที่ 1, 2 และ 3 เท่ากับ 16.6 W, 28.1 W และ 31.1 W ตามลำดับ

เอกสารนี้เป็นเอกสารที่สงวนไว้สำหรับการใช้งานเพื่อการศึกษาเท่านั้น ไม่อนุญาตให้นำไปใช้ประโยชน์ด้านการค้า ไม่ว่าจะกรณีใดๆทั้งสิ้น อีกทั้งห้ามมิให้ดัดแปลงเนื้อหา และต้องอ้างอิงถึงเจ้าของเอกสารทุกครั้งที่มีการนำไปใช้



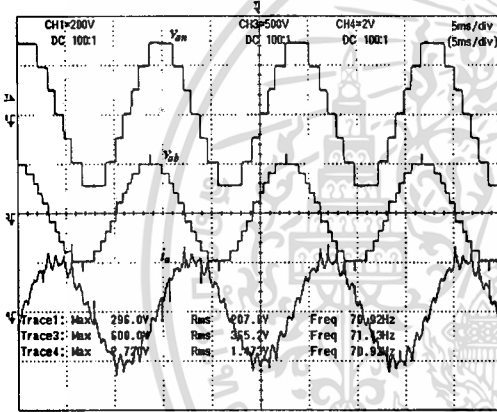
(ก) รูปสัญญาณ  $V_{an}, V_{bn}$

$V_{an}, V_{bn} = 200V/div, 5ms/div$



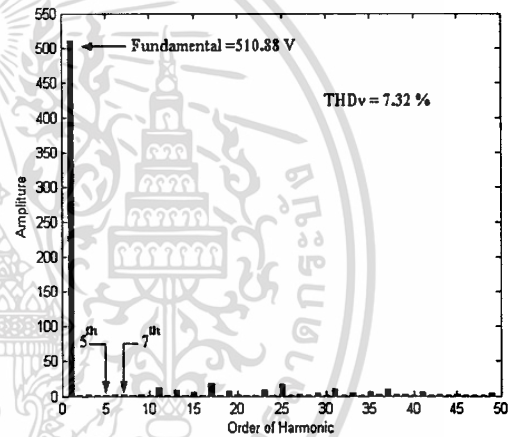
(ข) สเปกตรัมของแรงดันเฟสเอาต์พุต  $V_{an}$

รูปที่ 6.45 สัญญาณแรงดันเฟส  $V_{an}, V_{bn}$  และสเปกตรัมของแรงดันเฟส  $V_{an}$  ที่  $f = 70$  Hz



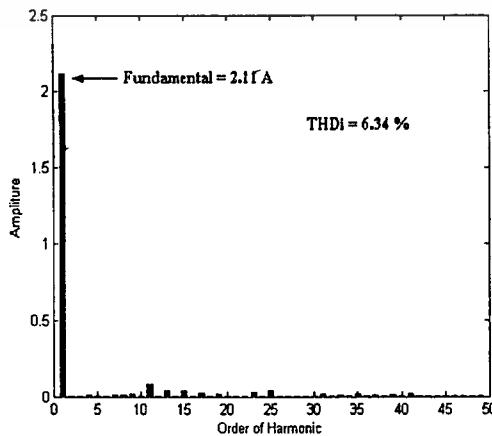
(ก) รูปสัญญาณ  $V_{an}, V_{ab}, i_a$  ตามลำดับ

$V_{an} = 200V/div, V_{ab} = 500V/div, i_a = 5 A/div$



(ข) สเปกตรัมของแรงดันไลน์  $V_{ab}$

รูปที่ 6.46 สัญญาณแรงดันเฟส, แรงดันไลน์, และกระแสเอาต์พุต  $V_{an}, V_{ab}, i_a$  และสเปกตรัมของแรงดันไลน์  $V_{ab}$  ที่  $f = 70$  Hz



รูปที่ 6.47 สเปกตรัมของกระแสเอาต์พุต  $i_a$

เอกสารนี้เป็นเอกสารที่สงวนไว้สำหรับใช้ภายในเท่านั้น ไม่ควรเผยแพร่ให้ภายนอกนำไปใช้ประโยชน์ด้านการค้า  
ไม่ว่ากรณีใดๆทั้งสิ้น อีกทั้งห้ามมิให้ดัดแปลงเนื้อหา และต้องอ้างอิงถึงเจ้าของเอกสารทุกครั้งที่มีการนำไปใช้

## 6.2.2 สรุปผลการทดสอบ ในกรณีของแหล่งจ่ายมีการส่งผ่านกำลังไฟฟ้าไม่สมดุล

จากผลการทดสอบอินเวอร์เตอร์เจ็ดระดับชนิดแคสเคด โดยทดลองขับมอเตอร์เหนี่ยวนำสามเฟส เพื่อหาความสัมพันธ์ระหว่างค่าดัชนีมอดูเลชันกับเปอร์เซ็นต์ค่าความผิดเพี้ยนของแรงดันไลน์ โดยปรับเปลี่ยนค่าดัชนีมอดูเลชัน ซึ่งมีความถี่กำหนด  $f_1$  เท่ากับ 40 Hz,  $f_2$  เท่ากับ 50 Hz, และ  $f_3$  เท่ากับ 70 Hz จากผลการทดลองจะเห็นว่า แหล่งจ่ายแรงดันไฟตรงของอินเวอร์เตอร์เอชบริดจ์แต่ละเซลล์ของอินเวอร์เตอร์เจ็ดระดับ จะจ่ายกำลังไฟฟ้าออกมาได้ไม่เท่ากัน ส่งผลให้แหล่งจ่ายแรงดันไฟตรงของอินเวอร์เตอร์เอชบริดจ์แต่ละเซลล์มีอายุการใช้งานไม่เท่ากัน ซึ่งเป็นสาเหตุเนื่องมาจากรูปแบบของการสวิตช์ที่ทำให้ลักษณะแรงดันเอาต์พุตของอินเวอร์เตอร์เอชบริดจ์แต่ละเซลล์ไม่เหมือนกันนั่นเอง

ตารางที่ 6.1 แสดงค่ากำลังไฟฟ้าที่แหล่งจ่ายแรงดันไฟตรงจ่ายให้กับอินเวอร์เตอร์เอชบริดจ์แต่ละเซลล์ในเฟส A

ดัชนี มอดู เลชัน (M)	ค่ากำลังไฟฟ้าที่แหล่งจ่าย ของอินเวอร์เตอร์เอชบริดจ์ (Watt) ที่ 40 Hz			ค่ากำลังไฟฟ้าที่แหล่งจ่าย ของอินเวอร์เตอร์เอชบริดจ์ (Watt) ที่ 50 Hz			ค่ากำลังไฟฟ้าที่แหล่งจ่าย ของอินเวอร์เตอร์เอชบริดจ์ (Watt) ที่ 70 Hz		
	1	2	3	1	2	3	1	2	3
0.6	4.44	15.7	20.1	5.7	16.6	22.7	6.8	23.1	31.8
0.8	20.3	25.8	40	13.9	19.2	25.9	14.48	18.36	25
1	35.1	52.7	66.6	26.3	51.1	63.4	16.6	28.1	31.1

ส่วนในด้านของค่าเปอร์เซ็นต์ความผิดเพี้ยนรวม (% THD) ของแรงดันไลน์ จากผลการทดลองจะเห็นว่า ที่ทุกค่าความถี่ที่กำหนด เมื่อค่าดัชนีมอดูเลชันเพิ่มขึ้น ค่า THD จะมีค่าลดลง ดังแสดงในตารางที่ 6.2

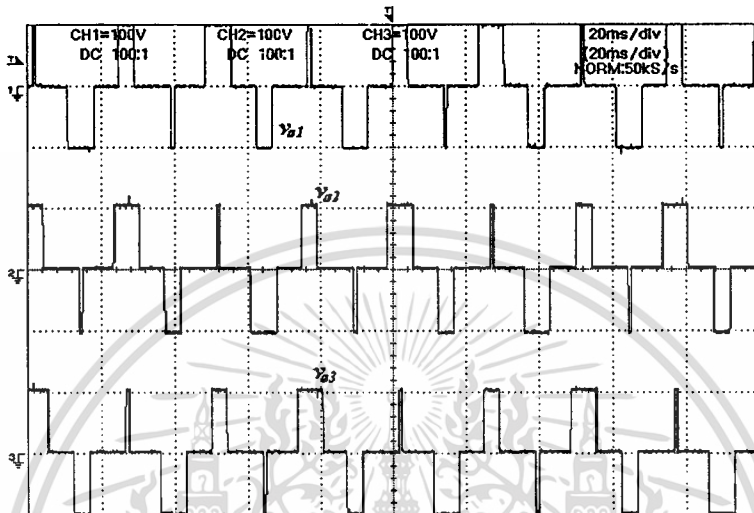
ตารางที่ 6.2 ความสัมพันธ์ระหว่างค่าดัชนีมอดูเลชันกับเปอร์เซ็นต์ค่าความผิดเพี้ยนของแรงดันไลน์และกระแสไลน์

ค่าดัชนีมอดู เลชัน (M)	เปอร์เซ็นต์ค่าความผิดเพี้ยนของแรงดันไลน์ และกระแสไลน์ (% THD)					
	40 Hz		50 Hz		70 Hz	
	$V_{ab}$	$I_a$	$V_{ab}$	$I_a$	$V_{ab}$	$I_a$
0.6	12.43	12.20	12.45	12.17	12.65	17.63
0.8	10.87	12.24	10.87	13.25	11.03	14.57
1	7.23	5.7	7.31	6.59	7.32	6.34

6.2.3 ทดสอบขั้วมอเตอร์ที่สภาวะไร้อโหลด กรณีแหล่งจ่ายมีการส่งผ่านกำลังไฟฟ้าสมดุล

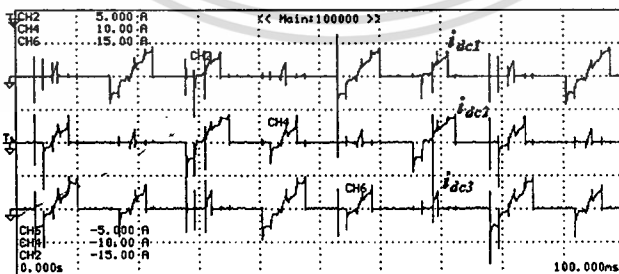
6.2.3.1 ที่  $f = 40 \text{ Hz}$ ,  $M = 0.6$

ทำการทดลองขั้วมอเตอร์เมื่อกำหนดให้  $f = 40 \text{ Hz}$ , ค่าดัชนีมอดูเลชัน ( $M$ ) เท่ากับ 0.6 ค่ามุมสวิทช์ซึ่งเป็น  $\alpha_1 = 39.4298^\circ$ ,  $\alpha_2 = 58.5839^\circ$  และ  $\alpha_3 = 83.1042^\circ$



รูปที่ 6.48 ลักษณะแรงดันเอาต์พุทของอินเวอร์เตอร์เอชบริดจ์แต่ละเซลล์ในเฟส A ที่  $f = 40 \text{ Hz}$

YOKOGAWA	Uover: - - - -	100ns	1MS/s			
CH2	Iover: - - - -	100ms	1MS/s			
	Element1	Element2	Element3	Element4	Σ A	Σ B
U <sub>ms1V</sub> J	99.97	99.90	100.18	0.00	99.97	99.90
U <sub>ms2V</sub> J	111.04	110.96	111.27	0.00	111.04	110.96
U <sub>dc1V</sub> J	99.97	99.90	100.18	0.02	99.97	99.90
U <sub>ac1V</sub> J	0.35	0.34	0.30	0.00	0.35	0.34
I <sub>rms1A</sub> J	0.594	0.566	0.619	0.0000	0.594	0.566
I <sub>ms1A</sub> J	0.325	0.305	0.349	0.0000	0.325	0.305
I <sub>dc1A</sub> J	0.120	0.130	0.128	0.0004	0.120	0.130
I <sub>ac1A</sub> J	0.582	0.551	0.606	0.0000	0.582	0.551
P J	0.0120k	0.0129k	0.0128k	0.00	0.0120k	0.0129k
S I VA	0.0594k	0.0566k	0.0620k	0.00	0.0594k	0.0566k
Q I var	0.0582k	0.0551k	-0.0607k	0.00	0.0582k	0.0551k
λ I	0.2017	0.2287	0.2065	Error	0.2017	0.2287



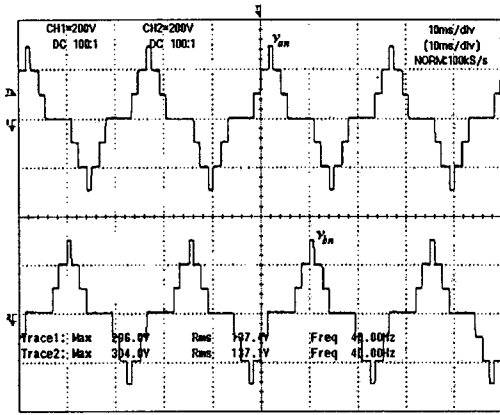
รูปที่ 6.49 สัญญาณกระแสและค่ากำลังไฟฟ้าของอินเวอร์เตอร์เอชบริดจ์แต่ละเซลล์ในเฟส A ที่  $f = 40 \text{ Hz}$

ค่ากำลังไฟฟ้าที่แหล่งจ่ายส่งผ่านไปให้กับอินเวอร์เตอร์เอชบริดจ์เซลล์ที่ 1, 2 และ 3

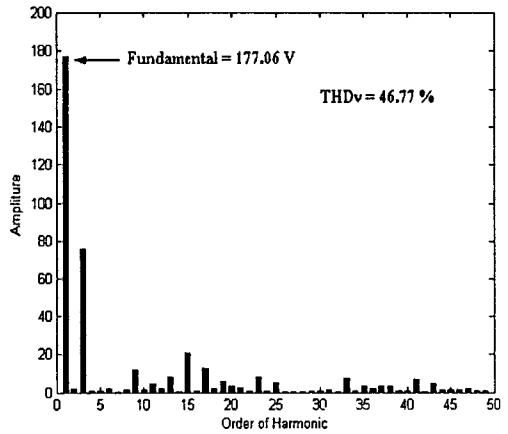
เท่ากับ 12 W, 12.9 W และ 12.8 W ตามลำดับ

ไม่อย่างนั้น การศึกษาเท่านั้น ไม่อนุญาตให้นำไปใช้ประโยชน์ด้านการค้า

ไม่ว่ากรณีใดๆทั้งสิ้น อีกทั้งห้ามมิให้ดัดแปลงเนื้อหา และต้องอ้างอิงถึงเจ้าของเอกสารทุกครั้งที่มีการนำไปใช้



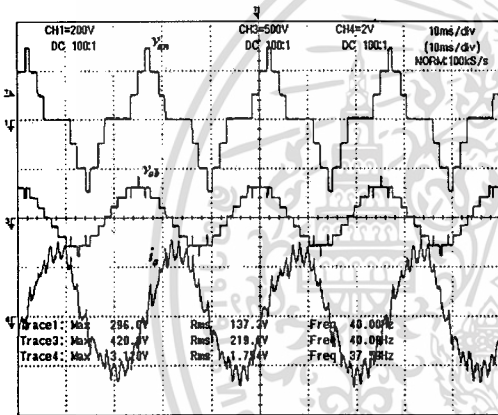
(ก) รูปสัญญาณ  $V_{an}$ ,  $V_{bn}$



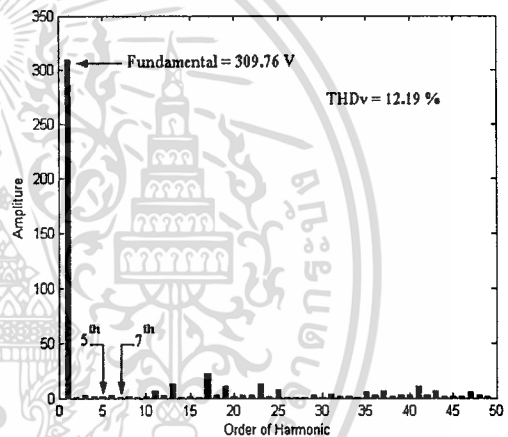
(ข) สเปกตรัมของแรงดันเฟสเอาต์พุต  $V_{an}$

$V_{an}$ ,  $V_{bn}$  = 200V/div, 10ms/div

รูปที่ 6.50 สัญญาณแรงดันเฟส  $V_{an}$ ,  $V_{bn}$  และสเปกตรัมของแรงดันเฟส  $V_{an}$  ที่  $f = 40$  Hz



(ก) รูปสัญญาณ  $V_{an}$ ,  $V_{ab}$ ,  $i_a$  ตามลำดับ

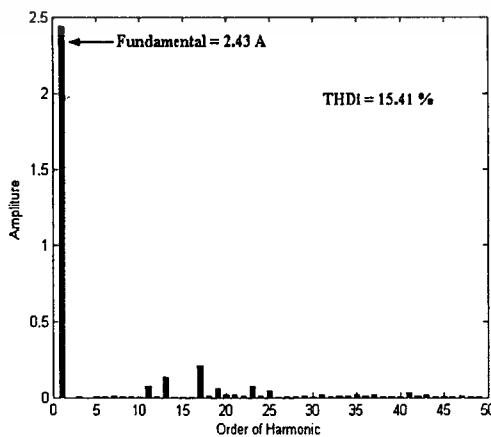


(ข) สเปกตรัมของแรงดันไลน์  $V_{ab}$

$V_{an}$  = 200V/div,  $V_{ab}$  = 500V/div,  $i_a$  = 2 A/div

รูปที่ 6.51 สัญญาณแรงดันเฟส, แรงดันไลน์, และกระแสเอาต์พุต  $V_{an}$ ,  $V_{ab}$ ,  $i_a$

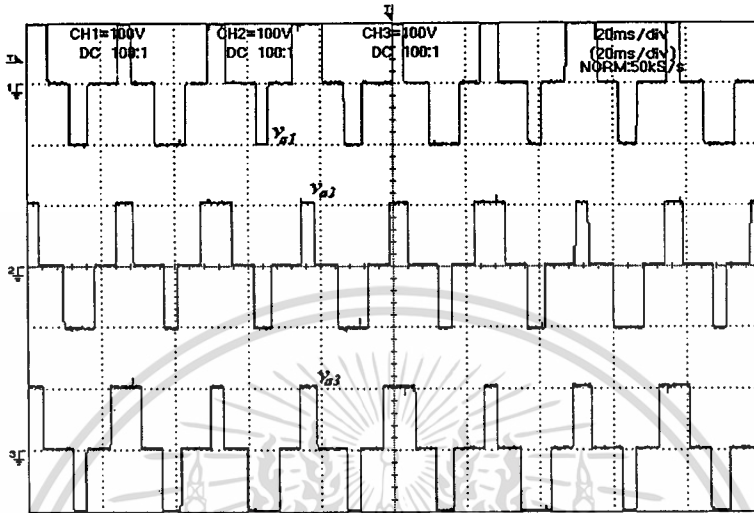
และสเปกตรัมของแรงดันไลน์  $V_{ab}$  ที่  $f = 40$  Hz



เอกสารนี้เป็นเอกสารที่สงวนไว้สำหรับรูปที่ 6.52 สเปกตรัมของกระแสเอาต์พุต  $i_a$  ให้นำไปใช้ประโยชน์ด้านการค้า  
ไม่ว่ากรณีใดๆทั้งสิ้น อีกทั้งห้ามมิให้ดัดแปลงเนื้อหา และต้องอ้างอิงถึงเจ้าของเอกสารทุกครั้งที่มีการนำไปใช้

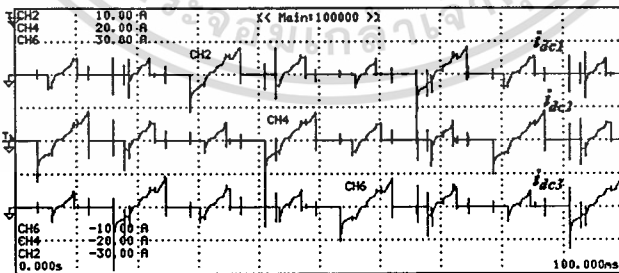
6.2.3.2 ที่  $f = 40 \text{ Hz}$ ,  $M = 0.8$

ทำการทดลองขั้วมอเตอร์เมื่อกำหนดให้  $f = 40 \text{ Hz}$ , ค่าดัชนีมอดูละชั้น ( $M$ ) เท่ากับ 0.8 ค่ามุมสวิตช์ซึ่งเป็น  $\alpha_1 = 29.2355^\circ$ ,  $\alpha_2 = 54.4383^\circ$  และ  $\alpha_3 = 64.4844^\circ$



รูปที่ 6.53 ลักษณะแรงดันเอาต์พุตของอินเวอร์เตอร์เซมิคอนดักเตอร์แต่ละเซลล์ในเฟส A ที่  $f = 40 \text{ Hz}$

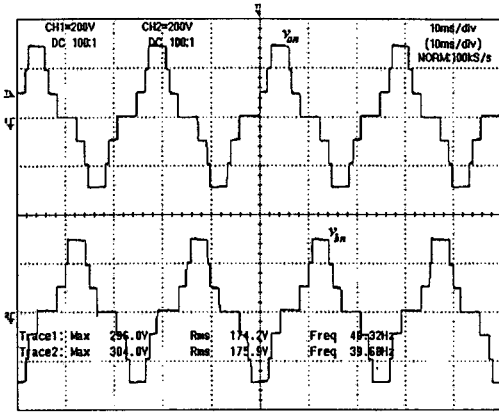
YOKOGAWA		Uover: - - - -				100ms	1MS/s	
CHI		Iover: - - - -				100ms	1MS/s	
		Element1	Element2	Element3	Element4	$\Sigma A$	$\Sigma B$	
Urms [V]	I	98.26	98.30	98.43	0.00	98.26	98.30	
Umn [V]	I	109.14	109.18	109.33	0.00	109.14	109.18	
Uac [V]	I	98.26	98.30	98.43	-0.01	98.26	98.30	
Udc [V]	I	0.59	0.59	0.63	0.00	0.59	0.59	
Irms [A]	I	1.168	1.239	1.262	0.0000	1.168	1.239	
Imin [A]	I	0.712	0.785	0.817	0.0000	0.712	0.785	
Idc [A]	I	0.243	0.290	0.245	0.0005	0.243	0.290	
Iac [A]	I	1.143	1.205	1.238	0.0000	1.143	1.205	
P [W]	I	0.0238k	0.0285k	0.0241k	-0.00	0.0238k	0.0285k	
S [VA]	I	0.1148k	0.1218k	0.1242k	0.00	0.1148k	0.1218k	
Q [var]	I	0.1123k	0.1184k	0.1219k	0.00	0.1123k	0.1184k	
$\lambda$	I	0.2071	0.2342	0.1938	Error	0.2071	0.2342	



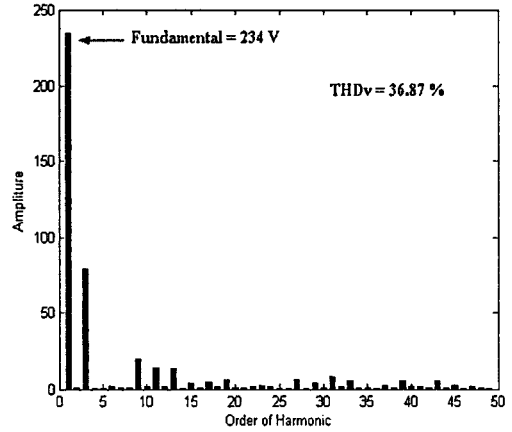
รูปที่ 6.54 สัญญาณกระแสและค่ากำลังไฟฟ้าของอินเวอร์เตอร์เซมิคอนดักเตอร์แต่ละเซลล์ในเฟส A ที่  $f = 40 \text{ Hz}$

ค่ากำลังไฟฟ้าที่แหล่งจ่ายส่งผ่านไปให้กับอินเวอร์เตอร์เซมิคอนดักเตอร์เซลล์ที่ 1, 2 และ 3 เท่ากับ 23.8 W, 28.5 W และ 24.1 W ตามลำดับ

เอกสารนี้เป็นเอกสารที่สงวนไว้สำหรับการใช้งานเพื่อการศึกษาเท่านั้น ไม่อนุญาตให้นำไปใช้ประโยชน์ด้านการค้า ไม่ว่าจะกรณีใดๆทั้งสิ้น อีกทั้งห้ามมิให้ดัดแปลงเนื้อหา และต้องอ้างอิงถึงเจ้าของเอกสารทุกครั้งที่มีการนำไปใช้



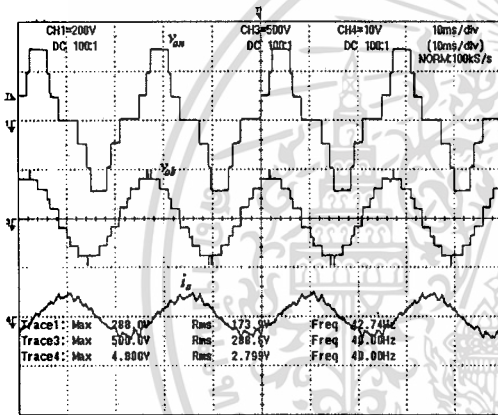
(ก) รูปสัญญาณ  $V_{an}$ ,  $V_{bn}$



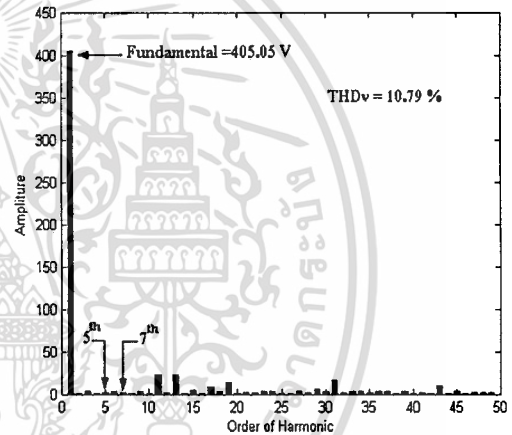
(ข) สเปกตรัมของแรงดันเฟสเอที่พุด  $V_{an}$

$V_{an}$ ,  $V_{bn} = 200V/div$ ,  $10ms/div$

รูปที่ 6.55 สัญญาณแรงดันเฟส  $V_{an}$ ,  $V_{bn}$  และสเปกตรัมของแรงดันเฟส  $V_{an}$  ที่  $f = 40$  Hz



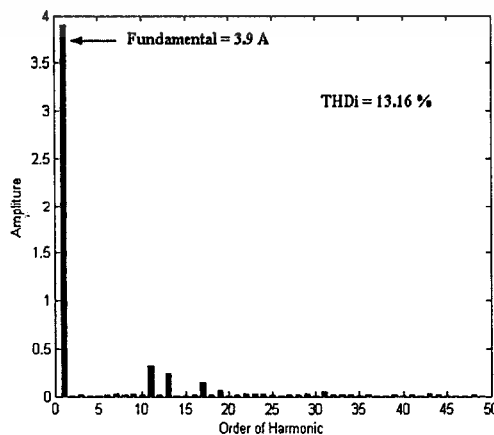
(ก) รูปสัญญาณ  $V_{an}$ ,  $V_{ab}$ ,  $i_a$  ตามลำดับ



(ข) สเปกตรัมของแรงดันไลน์  $V_{ab}$

$V_{an} = 200V/div$ ,  $V_{ab} = 500V/div$ ,  $i_a = 10 A/div$

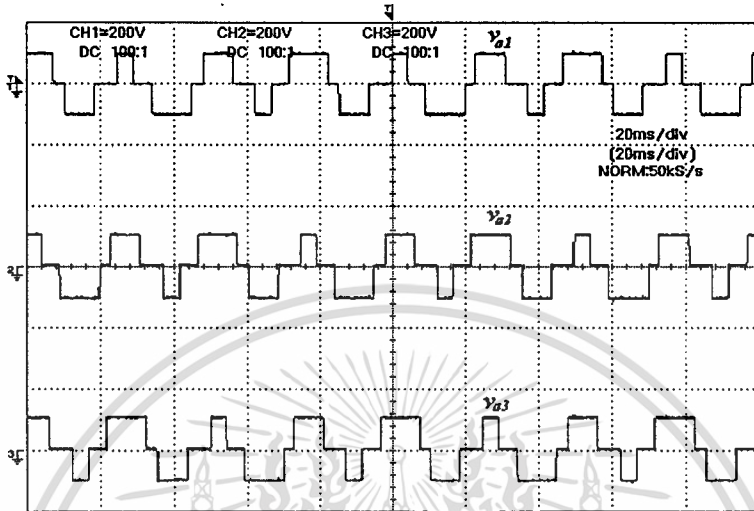
รูปที่ 6.56 สัญญาณแรงดันเฟส, แรงดันไลน์, และกระแสเอที่พุด  $V_{an}$ ,  $V_{ab}$ ,  $i_a$  และสเปกตรัมของแรงดันไลน์  $V_{ab}$  ที่  $f = 40$  Hz



เอกสารนี้เป็นเอกสารที่สงวนไว้สำหรับรูปที่ 6.57 สเปกตรัมของกระแสเอที่พุด  $i_a$  ที่นำไปใช้ประโยชน์ด้านการค้า  
ไม่ว่ากรณีใดๆทั้งสิ้น อีกทั้งห้ามมิให้ดัดแปลงเนื้อหา และต้องอ้างอิงถึงเจ้าของเอกสารทุกครั้งที่มีการนำไปใช้

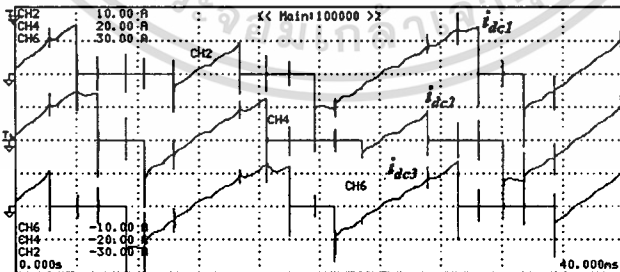
6.2.3.3 ที่  $f = 40 \text{ Hz}$ ,  $M = 1$

ทำการทดลองขับมอเตอร์เมื่อกำหนดให้  $f = 40 \text{ Hz}$ , ค่าดัชนีมอดูลชัน ( $M$ ) เท่ากับ 1 ค่ามุมสวิตช์ซึ่งเป็น  $\alpha_1 = 11.6817^\circ$ ,  $\alpha_2 = 31.1783^\circ$  และ  $\alpha_3 = 58.5774^\circ$



รูปที่ 6.58 ลักษณะแรงดันเอาต์พุทของอินเวอร์เตอร์เซชบริดจ์แต่ละเซลล์ในเฟส A ที่  $f = 40 \text{ Hz}$

YOKOGAWA		Uover: = = = =				40ns 2.5MS/s	
CH1 200Upk		lower: = = = =				40ns 2.5MS/s	
		Element1	Element2	Element3	Element4	Σ A	Σ B
Urms[V]	I	95.16	95.62	95.30	0.00	95.16	95.62
Umn [V]	I	105.69	106.18	105.84	0.00	105.69	106.18
Udc [V]	I	95.15	95.60	95.29	-0.09	95.15	95.60
Uac [V]	I	1.59	1.73	1.40	0.00	1.59	1.73
Irms[A]	I	2.962	3.036	2.897	0.0000	2.962	3.036
Ipn [A]	I	2.208	2.260	2.209	0.0000	2.208	2.260
Idc [A]	I	0.623	0.547	0.662	0.0004	0.623	0.547
Iac [A]	I	2.895	2.987	2.821	0.0000	2.895	2.987
P [W]	I	0.0590k	0.0514k	0.0625k	-0.00	0.0590k	0.0514k
S [VA]	I	0.2819k	0.2983k	0.2761k	0.00	0.2819k	0.2983k
Q [var]	I	0.2756k	0.2857k	0.2690k	0.00	0.2756k	0.2857k
λ	I	0.2093	0.1771	0.2264	Error	0.2093	0.1771

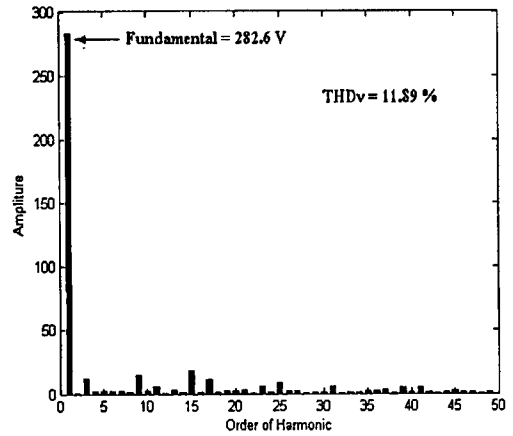
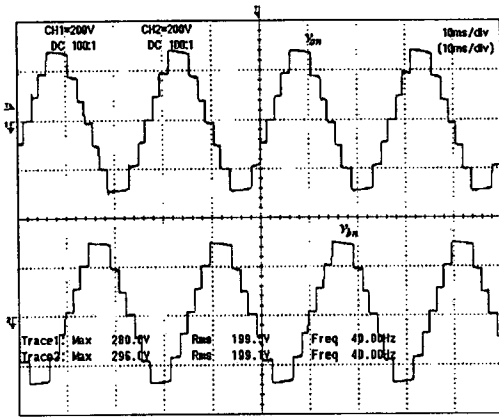


รูปที่ 6.59 สัญญาณกระแสและค่ากำลังไฟฟ้าของอินเวอร์เตอร์เซชบริดจ์แต่ละเซลล์ในเฟส A ที่  $f = 40 \text{ Hz}$

ค่ากำลังไฟฟ้าที่แหล่งจ่ายส่งผ่านไปให้กับอินเวอร์เตอร์เซชบริดจ์เซลล์ที่ 1, 2 และ 3

เท่ากับ 59 W, 51.4 W และ 62.5 W ตามลำดับ

เอกสารนี้เป็นเอกสารที่สงวนไว้สำหรับการใช้งานเพื่อการศึกษาเท่านั้น ไม่อนุญาตให้นำไปใช้ประโยชน์ด้านการค้า ไม่ว่าจะกรณีใดๆทั้งสิ้น อีกทั้งห้ามมิให้ดัดแปลงเนื้อหา และต้องอ้างอิงถึงเจ้าของเอกสารทุกครั้งที่มีการนำไปใช้

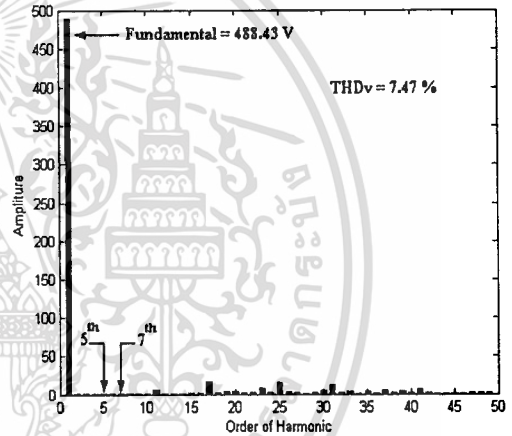
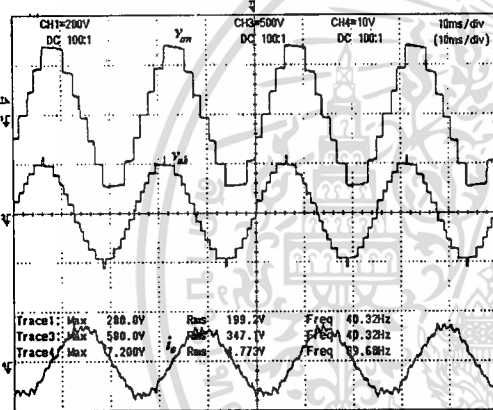


(ก) รูปสัญญาณ  $V_{an}$ ,  $V_{bn}$

(ข) สเปกตรัมของแรงดันเฟสเอาต์พุต  $V_{an}$

$V_{an}, V_{bn} = 200V/div, 10ms/div$

รูปที่ 6.60 สัญญาณแรงดันเฟส  $V_{an}, V_{bn}$  และสเปกตรัมของแรงดันเฟส  $V_{an}$  ที่  $f = 40$  Hz

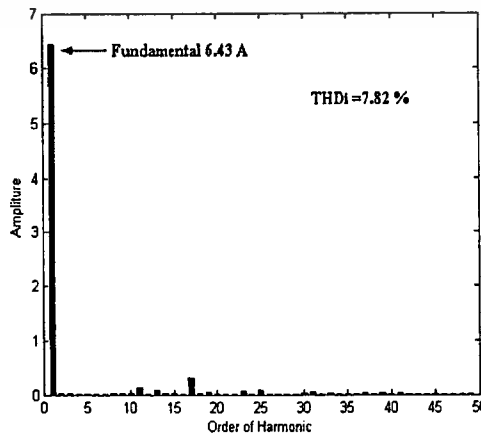


(ก) รูปสัญญาณ  $V_{an}, V_{ab}, i_a$  ตามลำดับ

(ข) สเปกตรัมของแรงดันไลน์  $V_{ab}$

$V_{an} = 200V/div, V_{ab} = 500V/div, i_a = 10 A/div$

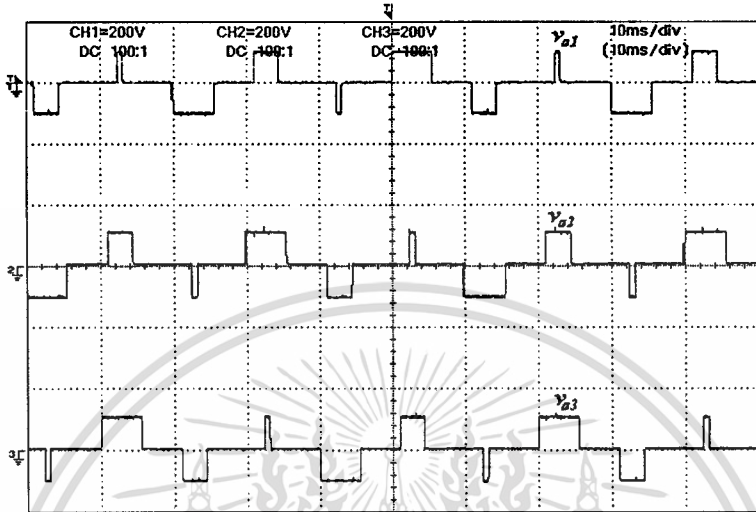
รูปที่ 6.61 สัญญาณแรงดันเฟส, แรงดันไลน์, และกระแสเอาต์พุต  $V_{an}, V_{ab}, i_a$  และสเปกตรัมของแรงดันไลน์  $V_{ab}$  ที่  $f = 40$  Hz



เอกสารนี้เป็นเอกสารที่สงวนไว้สำหรับนักศึกษาที่เข้าเรียนที่ภาควิชาวิศวกรรมพลังงาน ไม่อนุญาตให้นำไปใช้ประโยชน์ด้านการค้า  
ไม่ว่ากรณีใดๆทั้งสิ้น อีกทั้งห้ามมิให้ดัดแปลงเนื้อหา และต้องอ้างอิงถึงเจ้าของเอกสารทุกครั้งที่มีการนำไปใช้

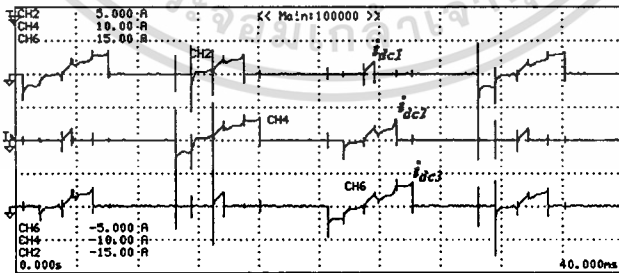
6.2.3.4 ที่  $f = 50 \text{ Hz}$ ,  $M = 0.6$

ทำการทดลองขับมอเตอร์เมื่อกำหนดให้  $f = 50 \text{ Hz}$ , ค่าดัชนีมอดูเลชัน ( $M$ ) เท่ากับ 0.6 ค่ามุมสวิทชิงเป็น  $\alpha_1 = 39.4298^\circ$ ,  $\alpha_2 = 58.5839^\circ$  และ  $\alpha_3 = 83.1042^\circ$



รูปที่ 6.63 ลักษณะแรงดันเอาต์พุตของอินเวอร์เตอร์เซชบริดจ์แต่ละเซลล์ในเฟส A ที่  $f = 50 \text{ Hz}$

Element1	Element2	Element3	Element4	$\Sigma A$	$\Sigma B$
Urms[V] 102.26	102.23	102.50	0.00	102.26	102.23
Umn[V] 113.59	113.54	113.85	0.00	113.59	113.54
Udc[V] 102.26	102.22	102.50	-0.02	102.26	102.22
Uac[V] 0.26	0.28	0.25	0.00	0.26	0.28
Irms[A] 0.489	0.490	0.502	0.0000	0.489	0.490
Imin[A] 0.270	0.276	0.290	0.0000	0.270	0.276
I dc[A] 0.134	0.145	0.144	0.0004	0.134	0.145
I ac[A] 0.470	0.468	0.481	0.0000	0.470	0.468
P [W] 0.0137k	0.0149k	0.0148k	-0.00	0.0137k	0.0149k
S [VA] 0.0500k	0.0501k	0.0515k	0.00	0.0500k	0.0501k
Q [var] 0.0481k	0.0478k	-0.0493k	0.00	0.0481k	0.0478k
$\lambda$	0.2732	0.2968	0.2869	Error	0.2968

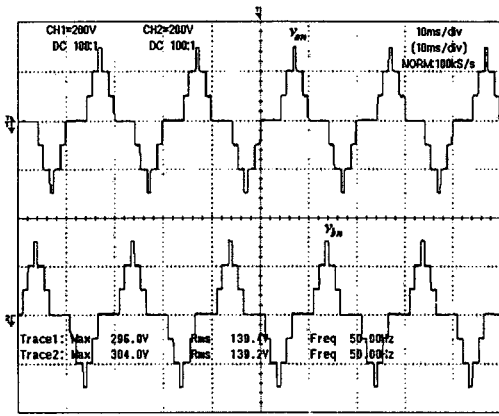


รูปที่ 6.64 สัญญาณกระแสและค่ากำลังไฟฟ้าของอินเวอร์เตอร์เซชบริดจ์แต่ละเซลล์ในเฟส A ที่  $f = 50 \text{ Hz}$

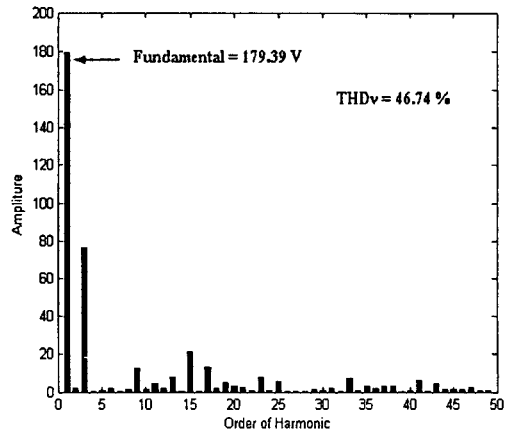
ค่ากำลังไฟฟ้าที่แหล่งจ่ายส่งผ่านไปให้กับอินเวอร์เตอร์เซชบริดจ์เซลล์ที่ 1, 2 และ 3

เท่ากับ 13.7 W, 14.9 W และ 14.8 W ตามลำดับ

เอกสารนี้เป็นเอกสารที่สงวนไว้สำหรับการใช้งานเพื่อการศึกษาเท่านั้น ไม่อนุญาตให้นำไปใช้ประโยชน์ด้านการค้า ไม่ว่าจะกรณีใดๆทั้งสิ้น อีกทั้งห้ามมิให้ดัดแปลงเนื้อหา และต้องอ้างอิงถึงเจ้าของเอกสารทุกครั้งที่มีการนำไปใช้



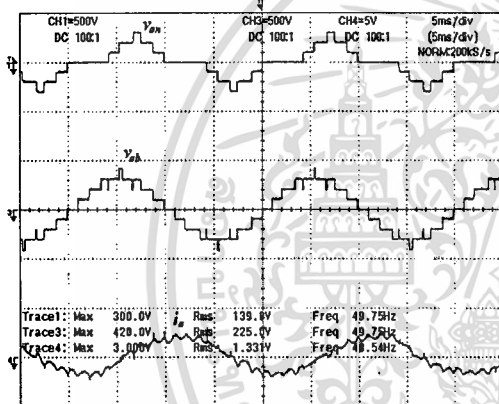
(ก) รูปสัญญาณ  $V_{an}$ ,  $V_{bn}$



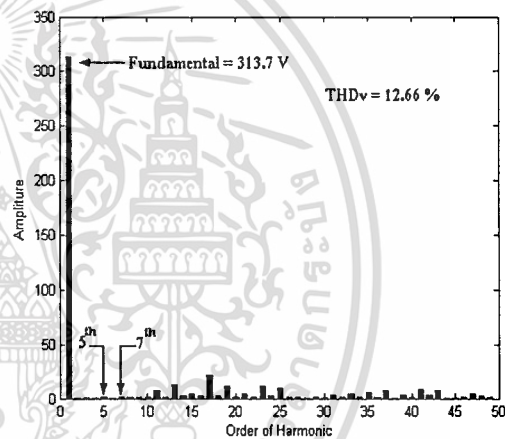
(ข) สเปกตรัมของแรงดันเฟสเอาต์พุต  $V_{an}$

$V_{an}, V_{bn} = 200V/div, 10 ms/div$

รูปที่ 6.65 สัญญาณแรงดันเฟส  $V_{an}, V_{bn}$  และสเปกตรัมของแรงดันเฟส  $V_{an}$  ที่  $f = 50$  Hz



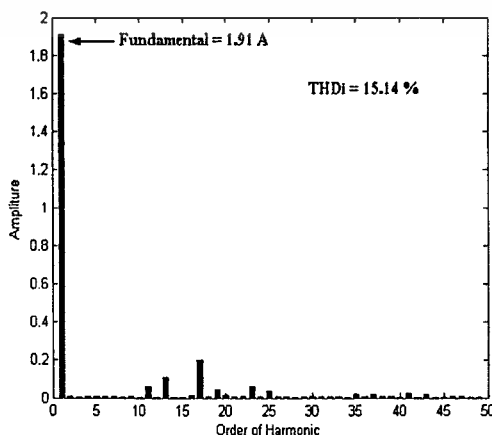
(ก) รูปสัญญาณ  $V_{an}, V_{ab}, i_a$  ตามลำดับ



(ข) สเปกตรัมของแรงดันไลน์  $V_{ab}$

$V_{an} = 500V/div, V_{ab} = 500V/div, i_a = 5 A/div$

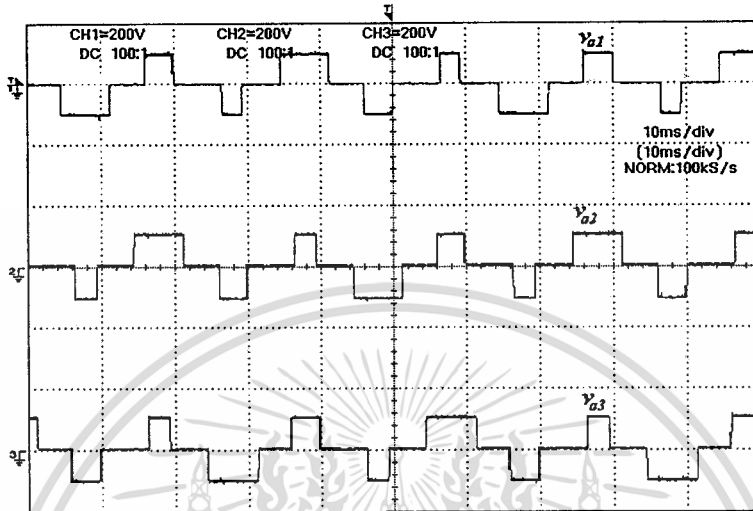
รูปที่ 6.66 สัญญาณแรงดันเฟส, แรงดันไลน์, และกระแสเอาต์พุต  $V_{an}, V_{ab}, i_a$  และสเปกตรัมของแรงดันไลน์  $V_{ab}$  ที่  $f = 50$  Hz



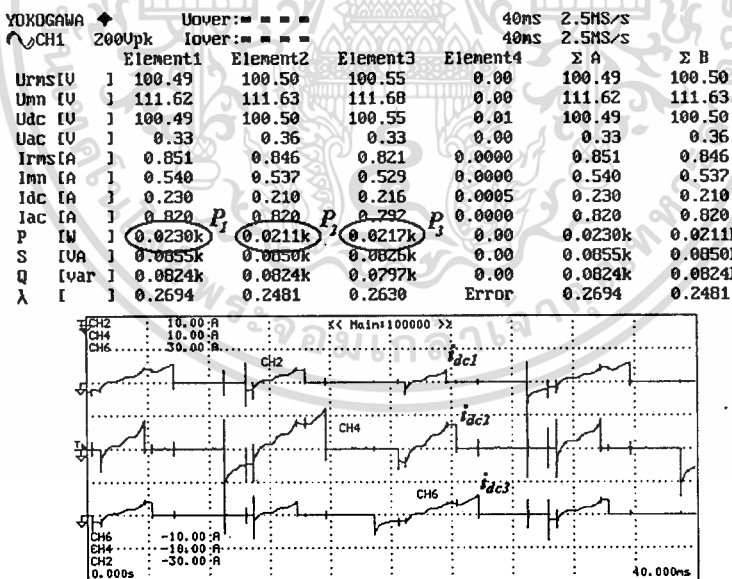
เอกสารนี้เป็นเอกสารที่สงวนไว้สำหรับรูปที่ 6.67 สเปกตรัมของกระแสเอาต์พุต  $i_a$  ภาดให้นำไปใช้ประโยชน์ด้านการค้า  
ไม่ว่ากรณีใดๆทั้งสิ้น อีกทั้งห้ามมิให้ดัดแปลงเนื้อหา และต้องอ้างอิงถึงเจ้าของเอกสารทุกครั้งที่มีการนำไปใช้

6.2.3.5 ที่  $f = 50 \text{ Hz}$ ,  $M = 0.8$

ทำการทดลองขับมอเตอร์เมื่อกำหนดให้  $f = 50 \text{ Hz}$ , ค่าดัชนีมอดูเลชั่น ( $M$ ) เท่ากับ 0.8 ค่ามุมสวิตชิ่งเป็น  $\alpha_1 = 29.2355^\circ$ ,  $\alpha_2 = 54.4383^\circ$  และ  $\alpha_3 = 64.4844^\circ$



รูปที่ 6.68 ลักษณะแรงดันเอาต์พุตของอินเวอร์เตอร์เซชบริดจ์แต่ละเซลล์ในเฟส A ที่  $f = 50 \text{ Hz}$

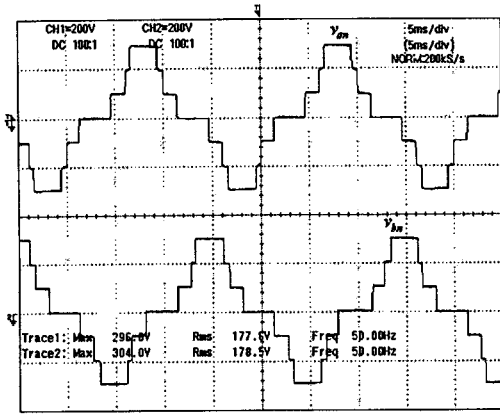


รูปที่ 6.69 สัญญาณกระแสและค่ากำลังไฟฟ้าของอินเวอร์เตอร์เซชบริดจ์แต่ละเซลล์ในเฟส A ที่  $f = 50 \text{ Hz}$

ค่ากำลังไฟฟ้าที่แหล่งจ่ายส่งผ่านไปให้กับอินเวอร์เตอร์เซชบริดจ์เซลล์ที่ 1, 2 และ 3

เท่ากับ 23 W, 21.1 W และ 21.7 W ตามลำดับ

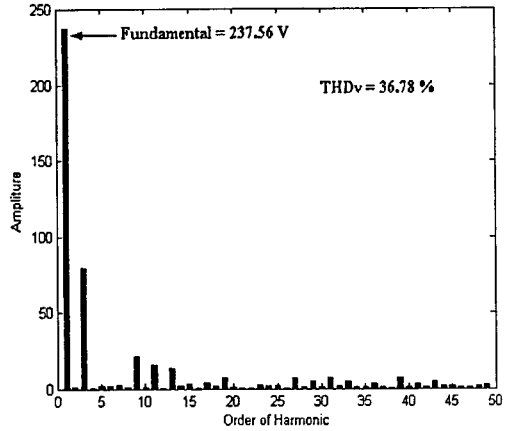
เอกสารนี้เป็นเอกสารที่สงวนไว้สำหรับการใช้งานเพื่อการศึกษาเท่านั้น ไม่อนุญาตให้นำไปใช้ประโยชน์ด้านการค้า ไม่ว่าจะกรณีใดๆทั้งสิ้น อีกทั้งห้ามมิให้ดัดแปลงเนื้อหา และต้องอ้างอิงถึงเจ้าของเอกสารทุกครั้งที่มีการนำไปใช้



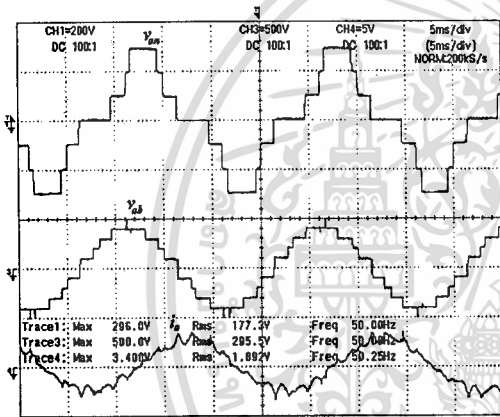
(ก) รูปสัญญาณ  $V_{an}$ ,  $V_{bn}$

$V_{an}$ ,  $V_{bn} = 200 \text{ V/div}$ ,  $5 \text{ ms/div}$

รูปที่ 6.70 สัญญาณแรงดันเฟส  $V_{an}$ ,  $V_{bn}$  และสเปกตรัมของแรงดันเฟส  $V_{an}$  ที่  $f = 50 \text{ Hz}$



(ข) สเปกตรัมของแรงดันเฟสเอาต์พุต  $V_{an}$

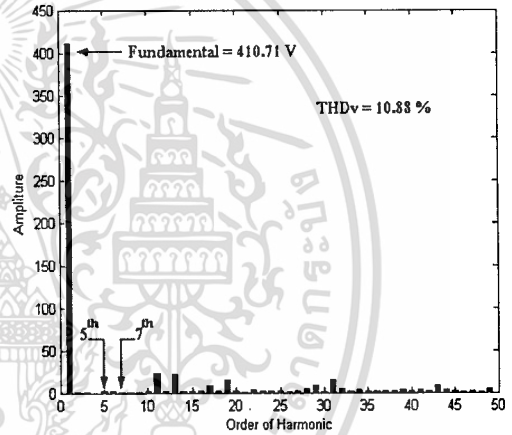


(ก) รูปสัญญาณ  $V_{an}$ ,  $V_{ab}$ ,  $i_a$  ตามลำดับ

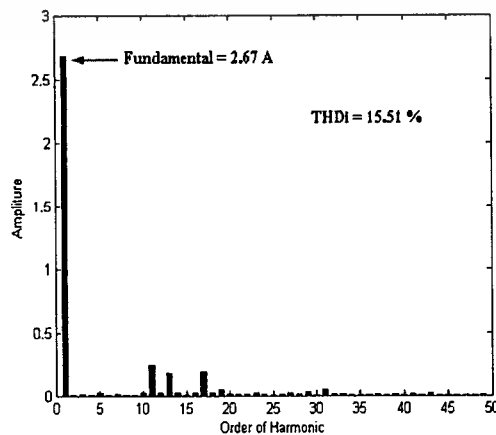
$V_{an} = 200\text{V/div}$ ,  $V_{ab} = 500\text{V/div}$ ,  $i_a = 5 \text{ A/div}$

รูปที่ 6.71 สัญญาณแรงดันเฟส, แรงดันไลน์, และกระแสเอาต์พุต  $V_{an}$ ,  $V_{ab}$ ,  $i_a$

และสเปกตรัมของแรงดันไลน์  $V_{ab}$  ที่  $f = 50 \text{ Hz}$



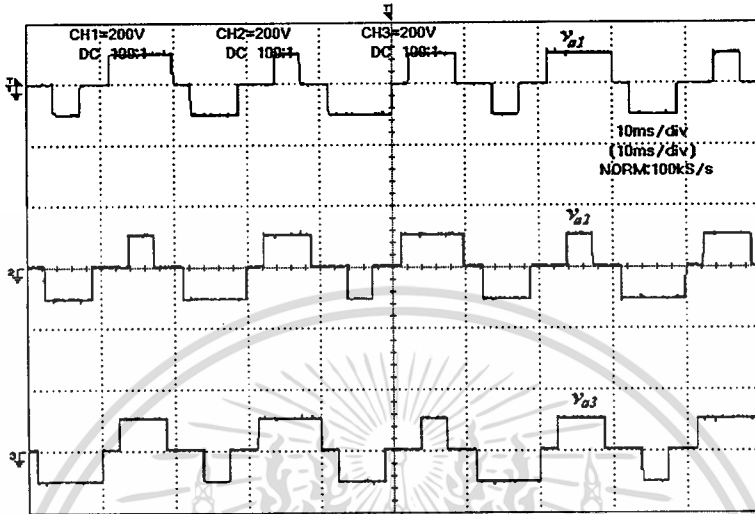
(ข) สเปกตรัมของแรงดันไลน์  $V_{ab}$



เอกสารนี้เป็นเอกสารที่สงวนไว้สำหรับรูปที่ 6.72 สเปกตรัมของกระแสเอาต์พุต  $i_a$  แต่ให้นำไปใช้ประโยชน์ด้านการค้า  
ไม่ว่ากรณีใดๆทั้งสิ้น อีกทั้งห้ามมิให้ดัดแปลงเนื้อหา และต้องอ้างอิงถึงเจ้าของเอกสารทุกครั้งที่มีการนำไปใช้

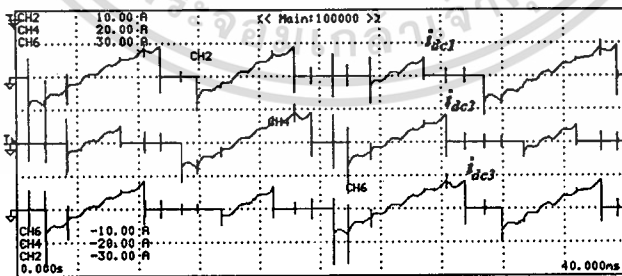
6.2.3.6 ที่  $f = 50 \text{ Hz}$ ,  $M = 1$

ทำการทดลองขั้วมอเตอร์เมื่อกำหนดให้  $f = 50 \text{ Hz}$ , ค่าดัชนีมอดูลชั้น ( $M$ ) เท่ากับ 1 ค่ามุมสวิตช์ซึ่งเป็น  $\alpha_1 = 11.6817^\circ$ ,  $\alpha_2 = 31.1783^\circ$  และ  $\alpha_3 = 58.5774^\circ$



รูปที่ 6.73 ลักษณะแรงดันเอาต์พุตของอินเวอร์เตอร์เซชบริดจ์แต่ละเซลล์ในเฟส A ที่  $f = 50 \text{ Hz}$

YOKOGAWA	Uover: - - - -	40ns	2.5MS/s			
CH1	200Upk	lower: - - - -	40ns	2.5MS/s		
	Element1	Element2	Element3	Element4	Σ A	Σ B
Urms[V]	99.80	99.40	99.59	0.00	99.80	99.40
Umn[V]	110.85	110.40	110.62	0.00	110.85	110.40
Udc[V]	99.80	99.39	99.59	0.00	99.80	99.39
Uac[V]	0.86	0.75	0.67	0.00	0.86	0.75
Irms[A]	1.981	1.663	1.800	0.0000	1.981	1.663
Imn[A]	1.578	1.217	1.405	0.0000	1.578	1.217
Idc[A]	0.319	0.312	0.357	0.0005	0.319	0.312
Iac[A]	1.956	1.634	1.765	0.0000	1.956	1.634
P [W]	0.0315k	0.0309k	0.0354k	0.00	0.0315k	0.0309k
S [VA]	0.1978k	0.1653k	0.1795k	0.00	0.1978k	0.1653k
Q [var]	0.1952k	-0.1624k	0.1758k	0.00	0.1952k	-0.1624k
λ	0.1594	0.1867	0.1973	Error	0.1594	0.1867

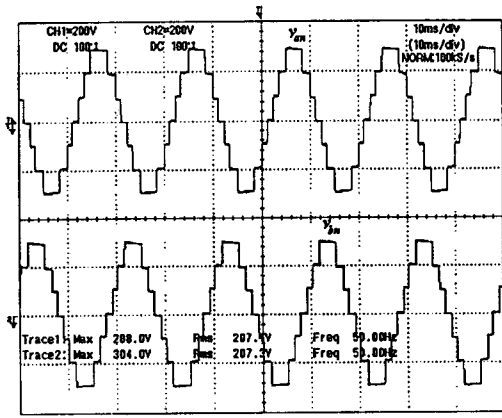


รูปที่ 6.74 สัญญาณกระแสและค่ากำลังไฟฟ้าของอินเวอร์เตอร์เซชบริดจ์แต่ละเซลล์ในเฟส A ที่  $f = 50 \text{ Hz}$

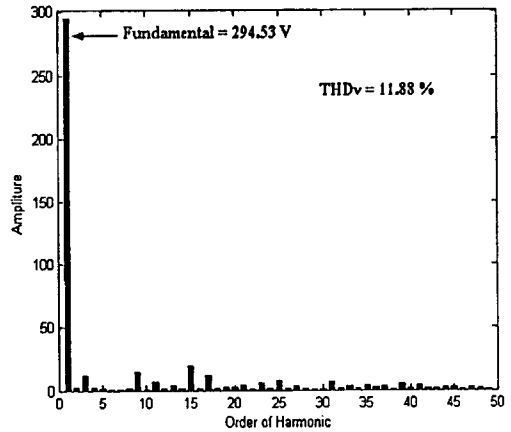
ค่ากำลังไฟฟ้าที่แหล่งจ่ายส่งผ่านไปให้กับอินเวอร์เตอร์เซชบริดจ์เซลล์ที่ 1, 2 และ 3

เท่ากับ 31.5 W, 30.9 W และ 35.4 W ตามลำดับ

เอกสารนี้เป็นเอกสารที่สงวนไว้สำหรับการใช้งานเพื่อการศึกษาเท่านั้น ไม่อนุญาตให้นำไปใช้ประโยชน์ด้านการค้า ไม่ว่าจะกรณีใดๆทั้งสิ้น อีกทั้งห้ามมิให้ดัดแปลงเนื้อหา และต้องอ้างอิงถึงเจ้าของเอกสารทุกครั้งที่มีการนำไปใช้



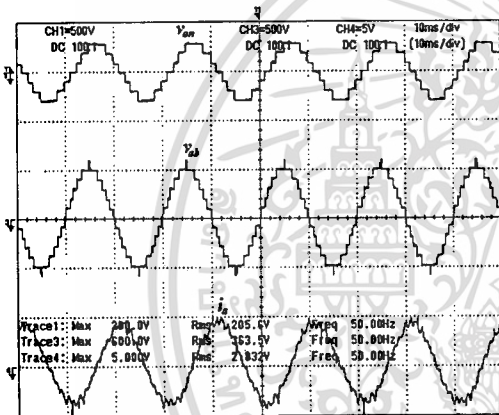
(ก) รูปสัญญาณ  $V_{an}$ ,  $V_{bn}$



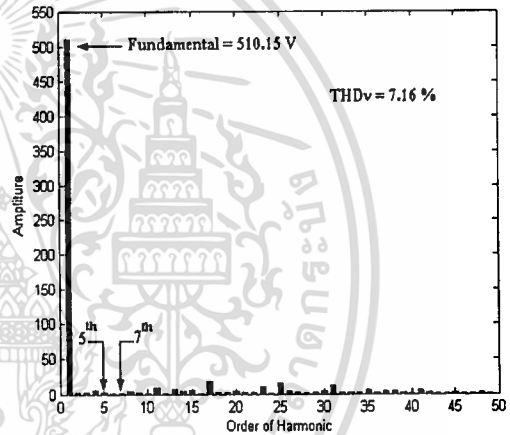
(ข) สเปกตรัมของแรงดันเฟสเอาต์พุต  $V_{an}$

$V_{an}$ ,  $V_{bn}$  = 200V/div, 10ms/div

รูปที่ 6.75 สัญญาณแรงดันเฟส  $V_{an}$ ,  $V_{bn}$  และสเปกตรัมของแรงดันเฟส  $V_{an}$  ที่  $f=50$  Hz



(ก) รูปสัญญาณ  $V_{an}$ ,  $V_{ab}$ ,  $i_a$  ตามลำดับ

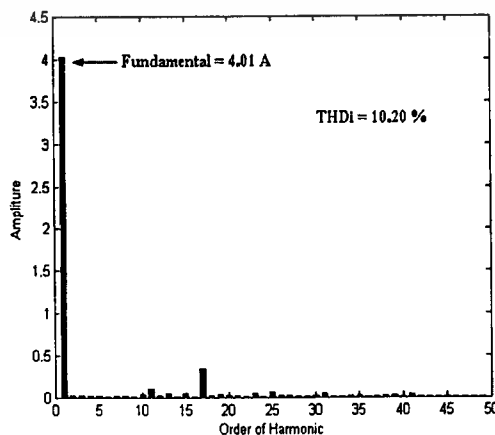


(ข) สเปกตรัมของแรงดันไลน์  $V_{ab}$

$V_{an}$  = 200V/div,  $V_{ab}$  = 500V/div,  $i_a$  = 5 A/div

รูปที่ 6.76 สัญญาณแรงดันเฟส, แรงดันไลน์, และกระแสเอาต์พุต  $V_{an}$ ,  $V_{ab}$ ,  $i_a$

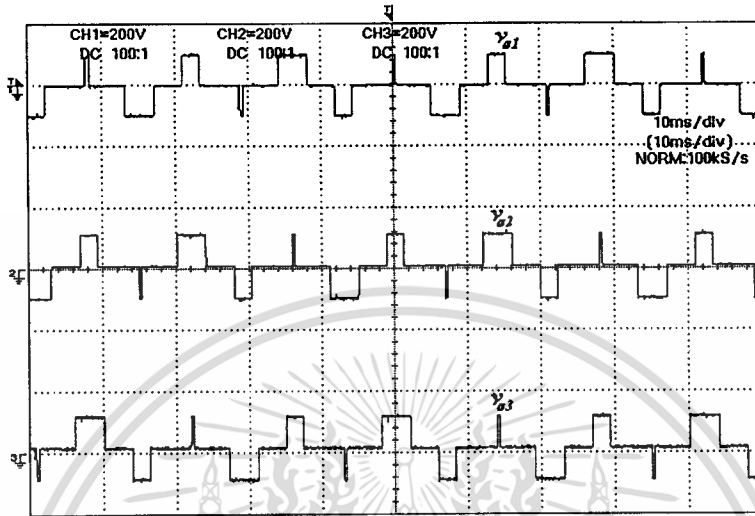
และสเปกตรัมของแรงดันไลน์  $V_{ab}$  ที่  $f=50$  Hz



เอกสารนี้เป็นเอกสารที่สงวนไว้สำหรับรูปที่ 6.77 สเปกตรัมของกระแสเอาต์พุต  $i_a$  ให้นำไปใช้ประโยชน์ด้านการค้า  
ไม่ว่ากรณีใดๆทั้งสิ้น อีกทั้งห้ามมิให้ดัดแปลงเนื้อหา และต้องอ้างอิงถึงเจ้าของเอกสารทุกครั้งที่มีการนำไปใช้

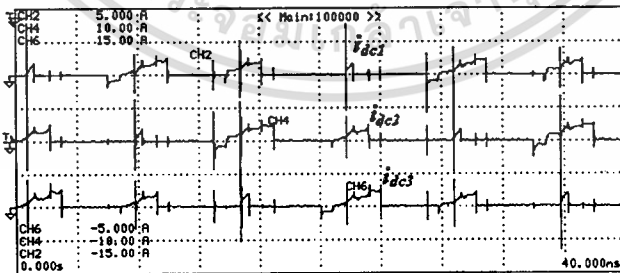
6.2.3.7 ที่  $f = 70 \text{ Hz}$ ,  $M = 0.6$

ทำการทดลองขั้วมอเตอร์เมื่อกำหนดให้  $f = 70 \text{ Hz}$ , ค่าดัชนีมอดูเลชัน ( $M$ ) เท่ากับ 0.6 ค่ามุมสวิตชิงเป็น  $\alpha_1 = 39.4298^\circ$ ,  $\alpha_2 = 58.5839^\circ$  และ  $\alpha_3 = 83.1042^\circ$



รูปที่ 6.78 ลักษณะแรงดันเอาต์พุตของอินเวอร์เตอร์เซชบริดจ์แต่ละเซลล์ในเฟส A ที่  $f = 70 \text{ Hz}$

YOKOGAWA		Uover: - - - -				40ms	2.5MS/s
CH1		Iover: - - - -				40ms	2.5MS/s
		Element1	Element2	Element3	Element4	$\Sigma A$	$\Sigma B$
Urms[V]	I	100.72	100.68	100.84	0.00	100.72	100.68
Umn[V]	I	111.87	111.83	112.01	0.00	111.87	111.83
Uac[V]	I	100.72	100.68	100.84	0.01	100.72	100.68
Uac[I]	I	0.21	0.23	0.20	0.00	0.21	0.23
Irms[A]	I	0.421	0.412	0.406	0.0000	0.421	0.412
Ian[A]	I	0.259	0.246	0.238	0.0000	0.259	0.246
Iac[A]	I	0.182	0.178	0.181	0.0005	0.182	0.178
Iac[I]	I	0.380	0.372	0.364	0.0000	0.380	0.372
P [W]	I	0.0183k	0.0179k	0.0183k	0.00	0.0183k	0.0179k
S [VA]	I	0.0424k	0.0415k	0.0410k	0.00	0.0424k	0.0415k
Q [var]	I	0.0382k	-0.0375k	0.0367k	0.00	0.0382k	-0.0375k
$\lambda$	I	0.4319	0.4306	0.4457	Error	0.4319	0.4306

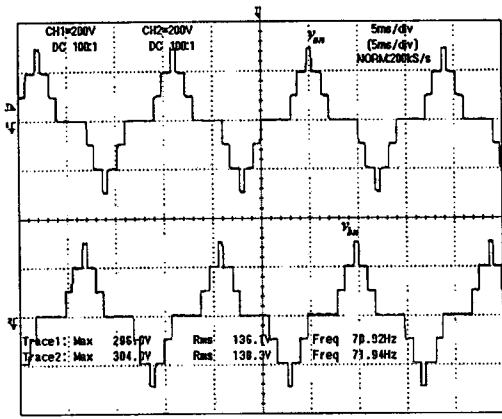


รูปที่ 6.79 สัญญาณกระแสและค่ากำลังไฟฟ้าของอินเวอร์เตอร์เซชบริดจ์แต่ละเซลล์ในเฟส A ที่  $f = 70 \text{ Hz}$

ค่ากำลังไฟฟ้าที่แหล่งจ่ายส่งผ่านไปให้กับอินเวอร์เตอร์เซชบริดจ์เซลล์ที่ 1, 2 และ 3

เท่ากับ 18.3 W, 17.9 W และ 18.3 W ตามลำดับ

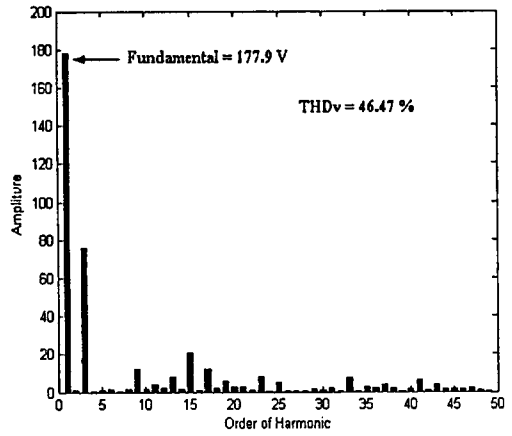
เอกสารนี้เป็นเอกสารที่สงวนไว้สำหรับการใช้งานเพื่อการศึกษาเท่านั้น ไม่อนุญาตให้นำไปใช้ประโยชน์ด้านการค้า ไม่ว่าจะกรณีใดๆทั้งสิ้น อีกทั้งห้ามมิให้ดัดแปลงเนื้อหา และต้องอ้างอิงถึงเจ้าของเอกสารทุกครั้งที่มีการนำไปใช้



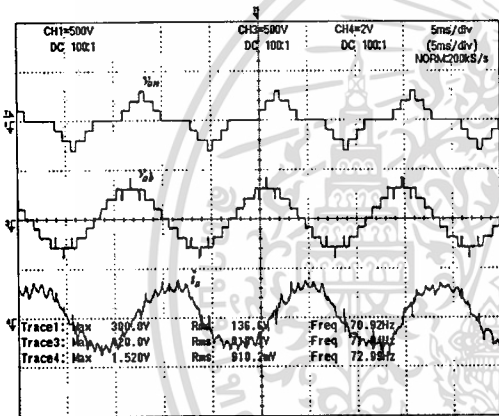
(ก) รูปสัญญาณ  $V_{an}, V_{bn}$

$V_{an}, V_{bn} = 200V/div, 5 ms/div$

รูปที่ 6.80 สัญญาณแรงดันเฟส  $V_{an}, V_{bn}$  และสเปกตรัมของแรงดันเฟส  $V_{an}$  ที่  $f = 70$  Hz



(ข) สเปกตรัมของแรงดันเฟสเอาต์พุต  $V_{an}$

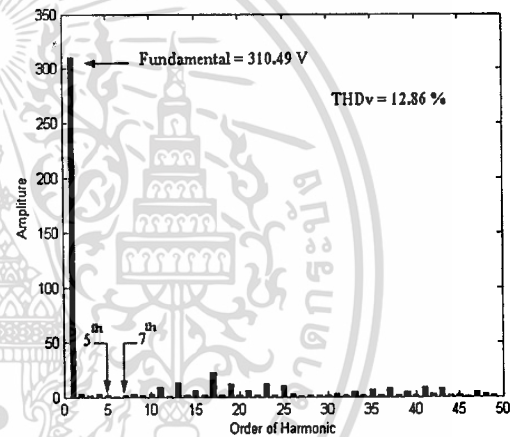


(ก) รูปสัญญาณ  $V_{an}, V_{ab}, i_a$  ตามลำดับ

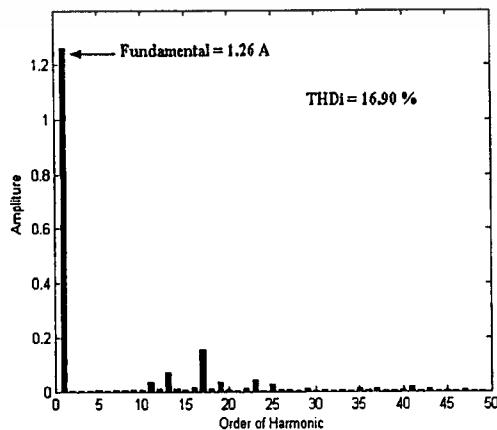
$V_{an} = 500V/div, V_{ab} = 500V/div, i_a = 2 A/div$

รูปที่ 6.81 สัญญาณแรงดันเฟส, แรงดันไลน์, และกระแสเอาต์พุต  $V_{an}, V_{ab}, i_a$

และสเปกตรัมของแรงดันไลน์  $V_{ab}$  ที่  $f = 70$  Hz



(ข) สเปกตรัมของแรงดันไลน์  $V_{ab}$

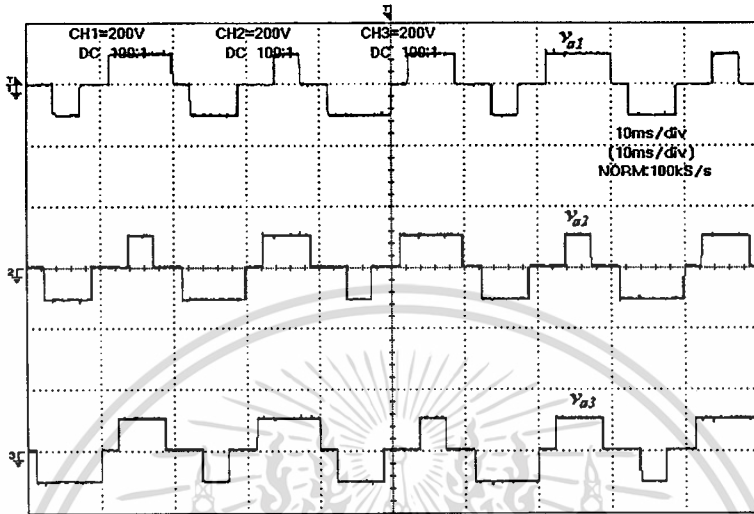


รูปที่ 6.82 สเปกตรัมของกระแสเอาต์พุต  $i_a$  ให้นำไปใช้ประโยชน์ด้านการค้า

ไม่ว่ากรณีใดๆทั้งสิ้น อีกทั้งห้ามมิให้ตัดแปลงเนื้อหา และต้องอ้างอิงถึงเจ้าของเอกสารทุกครั้งที่มีการนำไปใช้

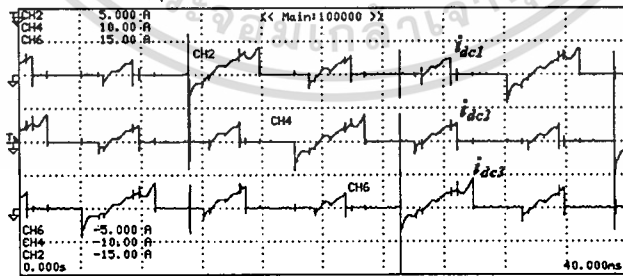
6.2.3.8 ที่  $f = 70 \text{ Hz}$ ,  $M = 0.8$

ทำการทดลองขั้วมอเตอร์เมื่อกำหนดให้  $f = 70 \text{ Hz}$ , ค่าดัชนีมอดูเลชัน ( $M$ ) เท่ากับ 0.8 ค่ามุมสวิตช์ซึ่งเป็น  $\alpha_1 = 29.2355^\circ$ ,  $\alpha_2 = 54.4383^\circ$  และ  $\alpha_3 = 64.4844^\circ$



รูปที่ 6.83 ลักษณะแรงดันเอาต์พุตของอินเวอร์เตอร์เซพรีคัตแต่ละเซลล์ในเฟส A ที่  $f = 70 \text{ Hz}$

YOKOGAWA		Uover: = = =				40ns 2.5MS/s	
CH1		Iover: = = =				40ns 2.5MS/s	
	Element1	Element2	Element3	Element4	Σ A	Σ B	
Urms(V)	100.13	100.11	100.22	0.00	100.13	100.11	
Uam(V)	111.22	111.20	111.31	0.00	111.22	111.20	
Udc(V)	100.13	100.11	100.22	-0.04	100.13	100.11	
Uac(V)	0.24	0.24	0.21	0.00	0.24	0.24	
Irms(A)	0.567	0.534	0.567	0.0000	0.567	0.534	
Iam(A)	0.356	0.337	0.368	0.0000	0.356	0.337	
Iac(A)	0.186	0.201	0.189	0.0005	0.186	0.201	
Iac(A)	0.536	0.495	0.534	0.0000	0.536	0.495	
P	0.0186k	0.0201k	0.0189k	-0.00	0.0186k	0.0201k	
S	0.0568k	0.0535k	0.0568k	0.00	0.0568k	0.0535k	
Q	0.0536k	0.0495k	0.0535k	0.00	0.0536k	0.0495k	
λ	0.3283	0.3761	0.3336	Error	0.3283	0.3761	

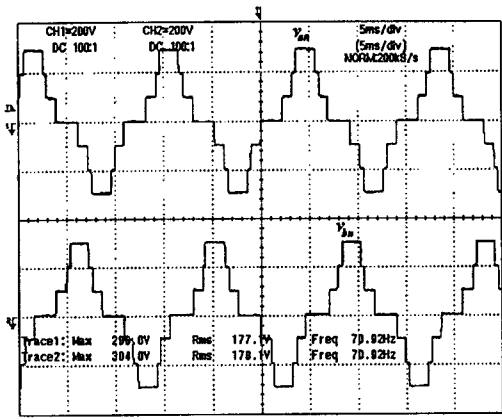


รูปที่ 6.84 สัญญาณกระแสและค่ากำลังไฟฟ้าของอินเวอร์เตอร์เซพรีคัตแต่ละเซลล์ในเฟส A ที่  $f = 70 \text{ Hz}$

ค่ากำลังไฟฟ้าที่แหล่งจ่ายส่งผ่านไปให้กับอินเวอร์เตอร์เซพรีคัตเซลล์ที่ 1, 2 และ 3

เท่ากับ 18.6 W, 20.1 W และ 18.9 W ตามลำดับ

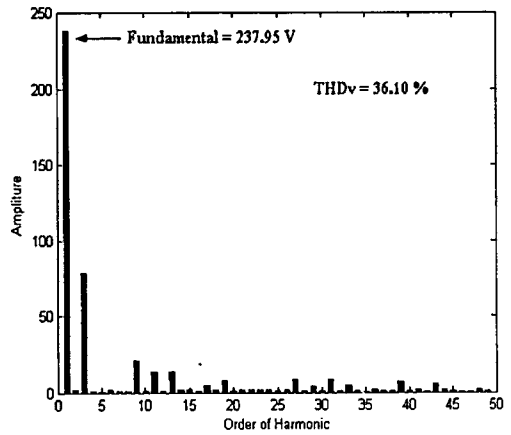
เอกสารนี้เป็นเอกสารที่สงวนไว้สำหรับการใช้งานเพื่อการศึกษาเท่านั้น ไม่อนุญาตให้นำไปใช้ประโยชน์ด้านการค้า ไม่ว่าจะกรณีใดๆทั้งสิ้น อีกทั้งห้ามมิให้ดัดแปลงเนื้อหา และต้องอ้างอิงถึงเจ้าของเอกสารทุกครั้งที่มีการนำไปใช้



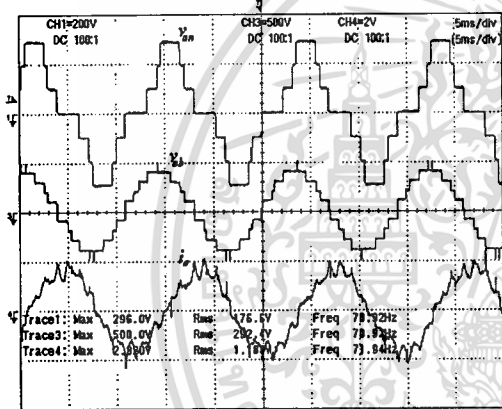
(ก) รูปสัญญาณ  $V_{an}$ ,  $V_{bn}$

$V_{an}$ ,  $V_{bn}$  = 200 V/div, 5 ms/div

รูปที่ 6.85 สัญญาณแรงดันเฟส  $V_{an}$ ,  $V_{bn}$  และสเปกตรัมของแรงดันเฟส  $V_{an}$  ที่  $f = 70$  Hz



(ข) สเปกตรัมของแรงดันเฟสเอาต์พุต  $V_{an}$

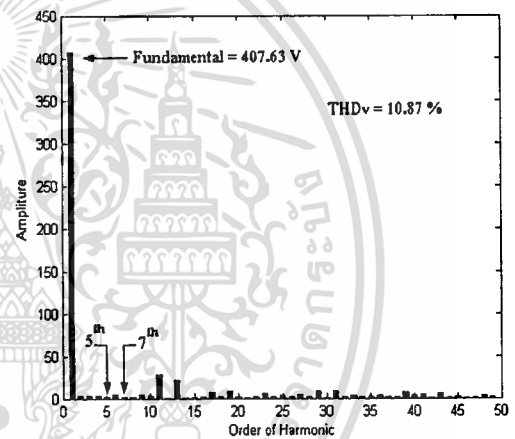


(ก) รูปสัญญาณ  $V_{an}$ ,  $V_{ab}$ ,  $i_a$  ตามลำดับ

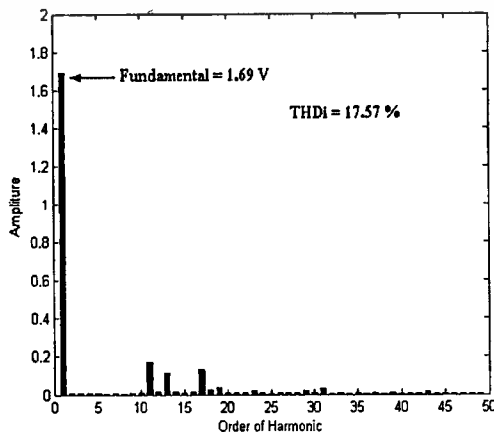
$V_{an}$  = 200V/div,  $V_{ab}$  = 500V/div,  $i_a$  = 2 A/div

รูปที่ 6.86 สัญญาณแรงดันเฟส, แรงดันไลน์, และกระแสเอาต์พุต  $V_{an}$ ,  $V_{ab}$ ,  $i_a$

และสเปกตรัมของแรงดันไลน์  $V_{ab}$  ที่  $f = 70$  Hz



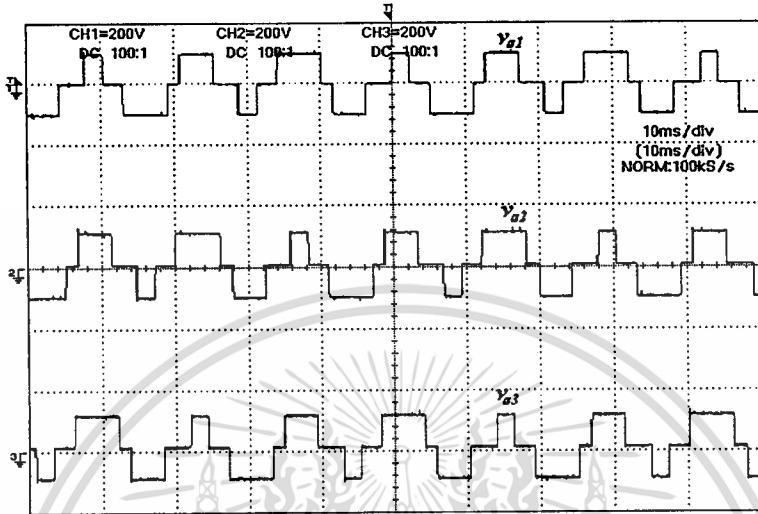
(ข) สเปกตรัมของแรงดันไลน์  $V_{ab}$



เอกสารนี้เป็นเอกสารที่สงวนไว้สำหรับใช้ภายในเท่านั้น ไม่ควรเผยแพร่สู่สาธารณะโดยไม่ได้รับอนุญาต  
รูปที่ 6.87 สเปกตรัมของกระแสเอาต์พุต  $i_a$  ที่  $f = 70$  Hz

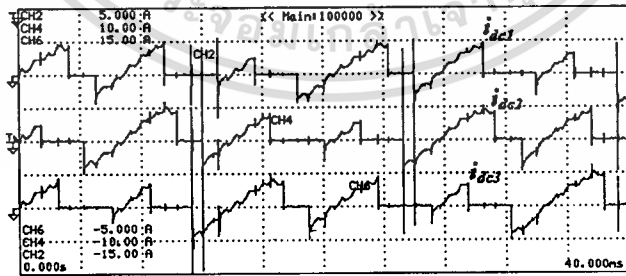
6.2.3.9 ที่  $f = 70 \text{ Hz}$ ,  $M = 1$

ทำการทดลองขั้วมอเตอร์เมื่อกำหนดให้  $f = 70 \text{ Hz}$ , ค่าดัชนีมอดูลชั้น ( $M$ ) เท่ากับ 1 ค่ามุมสวิตช์ซึ่งเป็น  $\alpha_1 = 11.6817^\circ$ ,  $\alpha_2 = 31.1783^\circ$  และ  $\alpha_3 = 58.5774^\circ$



รูปที่ 6.88 ลักษณะแรงดันเอาต์พุตของอินเวอร์เตอร์เซชบริดจ์แต่ละเซลล์ในเฟส A ที่  $f = 70 \text{ Hz}$

YOKOGAWA	Uover: - - - -	40ms	2.5MS/s			
CH1	200Upk	Lower: - - - -	40ms	2.5MS/s		
	Element1	Element2	Element3	Element4	Σ A	Σ B
Urms(V)	99.17	98.95	99.25	0.00	99.17	98.95
Uam (V)	110.15	109.91	110.24	0.00	110.15	109.91
Udc (V)	99.17	98.95	99.25	-0.00	99.17	98.95
Uac (V)	0.35	0.39	0.31	0.00	0.35	0.39
Irms(A)	0.969	1.019	0.994	0.0000	0.969	1.019
Iam (A)	0.720	0.773	0.749	0.0000	0.720	0.773
Iac (A)	0.302	0.267	0.266	0.0006	0.302	0.267
Iac (A)	0.921	0.983	0.958	0.0000	0.921	0.983
P (W)	0.0299k	0.0264k	0.0264k	-0.00	0.0299k	0.0264k
S (VA)	0.0961k	0.1008k	0.0987k	0.00	0.0961k	0.1008k
Q (var)	0.0914k	0.0973k	0.0951k	0.00	0.0914k	0.0973k
λ	0.3112	0.2621	0.2674	Error	0.3112	0.2621

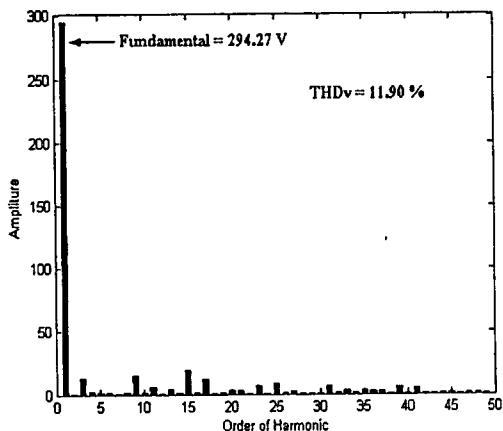
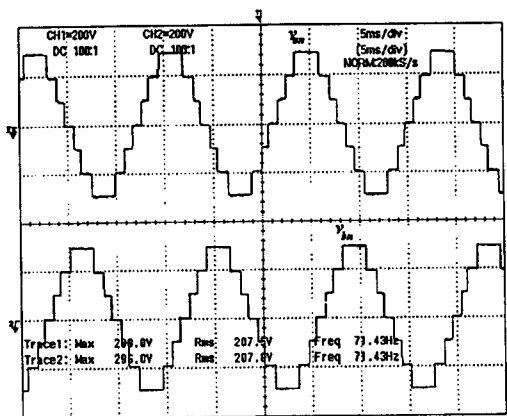


รูปที่ 6.89 สัญญาณกระแสและค่ากำลังไฟฟ้าของอินเวอร์เตอร์เซชบริดจ์แต่ละเซลล์ในเฟส A ที่  $f = 70 \text{ Hz}$

ค่ากำลังไฟฟ้าที่แหล่งจ่ายส่งผ่านไปให้กับอินเวอร์เตอร์เซชบริดจ์เซลล์ที่ 1, 2 และ 3

เท่ากับ 29.9 W, 26.4 W และ 26.4 W ตามลำดับ

เอกสารนี้เป็นเอกสารที่สงวนไว้สำหรับการใช้งานเพื่อการศึกษาเท่านั้น ไม่อนุญาตให้นำไปใช้ประโยชน์ด้านการค้า ไม่ว่าจะกรณีใดๆทั้งสิ้น อีกทั้งห้ามมิให้ดัดแปลงเนื้อหา และต้องอ้างอิงถึงเจ้าของเอกสารทุกครั้งที่มีการนำไปใช้

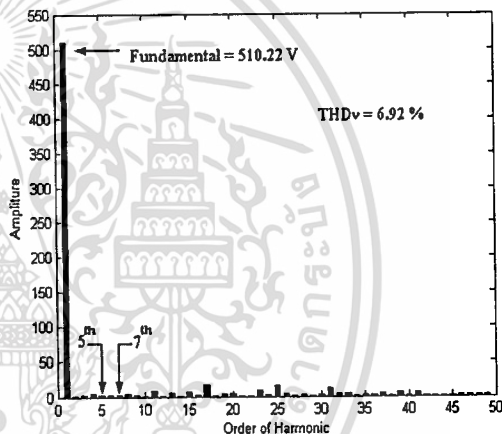
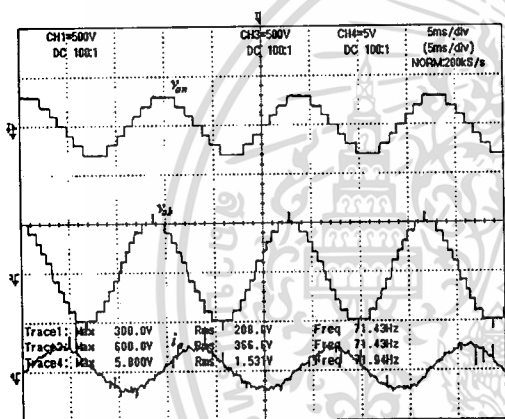


(ก) รูปสัญญาณ  $V_{an}$ ,  $V_{bn}$

(ข) สเปกตรัมของแรงดันเฟสเอาต์พุต  $V_{an}$

$V_{an}$ ,  $V_{bn} = 200\text{V/div}$ ,  $5\text{ms/div}$

รูปที่ 6.90 สัญญาณแรงดันเฟส  $V_{an}$ ,  $V_{bn}$  และสเปกตรัมของแรงดันเฟส  $V_{an}$  ที่  $f = 70\text{ Hz}$



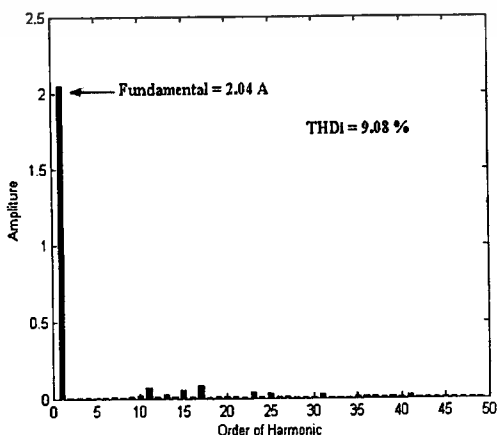
(ก) รูปสัญญาณ  $V_{an}$ ,  $V_{ab}$ ,  $i_a$  ตามลำดับ

(ข) สเปกตรัมของแรงดันไลน์  $V_{ab}$

$V_{an} = 500\text{V/div}$ ,  $V_{ab} = 500\text{V/div}$ ,  $i_a = 5\text{ A/div}$

รูปที่ 6.91 สัญญาณแรงดันเฟส, แรงดันไลน์, และกระแสเอาต์พุต  $V_{an}$ ,  $V_{ab}$ ,  $i_a$

และสเปกตรัมของแรงดันไลน์  $V_{ab}$  ที่  $f = 70\text{ Hz}$



เอกสารนี้เป็นเอกสารที่สงวนไว้สำหรับรูปที่ 6.92 สเปกตรัมของกระแสเอาต์พุต  $i_a$  ให้นำไปใช้ประโยชน์ด้านการค้า  
ไม่ว่ากรณีใดๆทั้งสิ้น อีกทั้งห้ามมิให้ดัดแปลงเนื้อหา และต้องอ้างอิงถึงเจ้าของเอกสารทุกครั้งที่มีการนำไปใช้

#### 6.2.4 สรุปผลการทดสอบ ในกรณีของแหล่งจ่ายมีการส่งผ่านกำลังไฟฟ้าสมดุล

จากผลการทดสอบอินเวอร์เตอร์เจ็กระดับชนิดแคสเคด โดยทดลองขับมอเตอร์เหนี่ยวนำสามเฟส เพื่อหาความสัมพันธ์ระหว่างค่าดัชนีมอดูเลชันกับเปอร์เซ็นต์ค่าความผิดเพี้ยนของแรงดันไลน์ (% THD<sub>v</sub>) และความสัมพันธ์ระหว่างค่าดัชนีมอดูเลชันกับค่ากำลังไฟฟ้าที่แหล่งจ่ายแรงดันไฟตรงจ่ายให้กับอินเวอร์เตอร์เอชบริดจ์แต่ละเซลล์ โดยจะทำการปรับเปลี่ยนค่าดัชนีมอดูเลชัน ซึ่งมีความถี่กำหนด  $f_1$  เท่ากับ 40 Hz,  $f_2$  เท่ากับ 50 Hz, และ  $f_3$  เท่ากับ 70 Hz จากผลการทดลองจะเห็นว่า แหล่งจ่ายแรงดันไฟตรงของอินเวอร์เตอร์เอชบริดจ์แต่ละเซลล์ของอินเวอร์เตอร์เจ็กระดับ จะจ่ายกำลังไฟฟ้าออกมาได้ใกล้เคียงกัน ส่งผลให้แหล่งจ่ายแรงดันไฟตรงของอินเวอร์เตอร์เอชบริดจ์แต่ละเซลล์มีอายุการใช้งานใกล้เคียงกัน ซึ่งเป็นผลเนื่องมาจาก ได้มีการปรับปรุงรูปแบบของการสวิตช์ใหม่ โดยใช้เทคนิคการหมุนพัลส์ (Pulse rotation) ที่ทำให้ลักษณะแรงดันเอาต์พุตของอินเวอร์เตอร์เอชบริดจ์แต่ละเซลล์เหมือนกันในหนึ่งคาบเวลาการทำงานนั่นเอง

ตารางที่ 6.3 แสดงค่ากำลังไฟฟ้าที่แหล่งจ่ายแรงดันไฟตรงจ่ายให้กับอินเวอร์เตอร์เอชบริดจ์แต่ละเซลล์ในเฟส A

ดัชนี มอดูเลชัน (M)	ค่ากำลังไฟฟ้าที่แหล่งจ่าย ของอินเวอร์เตอร์เอชบริดจ์ (Watt) ที่ 40 Hz			ค่ากำลังไฟฟ้าที่แหล่งจ่าย ของอินเวอร์เตอร์เอชบริดจ์ (Watt) ที่ 50 Hz			ค่ากำลังไฟฟ้าที่แหล่งจ่าย ของอินเวอร์เตอร์เอชบริดจ์ (Watt) ที่ 70 Hz		
	1	2	3	1	2	3	1	2	3
0.6	12	12.9	12.8	13.7	14.9	14.8	18.3	17.9	18.3
0.8	23.8	28.5	24.1	23	21.1	21.7	18.1	20.1	18.9
1	59	51.4	62.5	31.5	30.9	35.4	29.9	26.4	26.4

ส่วนในด้านของค่าเปอร์เซ็นต์ความผิดเพี้ยนรวม (% THD) ของแรงดันไลน์ จากผลการทดลองจะเห็นว่า ที่ทุกค่าความถี่ที่กำหนด เมื่อค่าดัชนีมอดูเลชันเพิ่มขึ้น ค่า THD จะมีค่าลดลง ดังแสดงในตารางที่ 6.4

ตารางที่ 6.4 ความสัมพันธ์ระหว่างค่าดัชนีมอดูเลชันกับเปอร์เซ็นต์ค่าความผิดเพี้ยนของแรงดันไลน์ และกระแสไลน์

ค่าดัชนี มอดูเลชัน (M)	เปอร์เซ็นต์ค่าความผิดเพี้ยนของแรงดันไลน์ และกระแสไลน์ (% THD)					
	40 Hz		50 Hz		70 Hz	
	$V_{ab}$	$I_a$	$V_{ab}$	$I_a$	$V_{ab}$	$I_a$
0.6	12.19	15.41	12.66	15.14	12.86	16.90
0.8	10.79	13.16	10.88	15.51	10.87	17.57
1	7.47	7.82	7.16	10.20	6.92	9.08

6.3 ผลการทดสอบคุณสมบัติของอัตราส่วนแรงดันและความถี่ทางด้านเอาต์พุตของ อินเวอร์เตอร์ جهدระดับชนิดแคสเคด

จากสมการที่ 3.12 ในบทที่ 3 สามารถนำมาคำนวณหาค่าขนาดของแรงดันไลน์ได้ดังนี้

$$V_{out}(\omega t) = \sum_{n=1}^{\infty} \frac{4E}{n\pi} \sum_{k=1}^5 \cos(\alpha_k) \sin(n\omega t) \quad (6.1)$$

∴ ขนาดของ  $V_{out}(\omega t)$  เท่ากับ

$$V_{out} = \frac{4E}{\pi} [\cos \alpha_1 + \cos \alpha_2 + \cos \alpha_3] \quad (6.2)$$

ที่  $V_{out} = V_p$  คือแรงดันเฟส

$$\therefore V_p = \frac{4E}{\pi} [\cos \alpha_1 + \cos \alpha_2 + \cos \alpha_3] \quad (6.3)$$

และแรงดันไลน์เท่ากับ

$$V_{LL} = \sqrt{3}V_p \quad (6.4)$$

$$V_{LL}(rms) = \frac{\sqrt{3}V_p}{\sqrt{2}} \quad (6.5)$$

เอกสารนี้เป็นเอกสารที่สงวนไว้สำหรับการใช้งานเพื่อการศึกษาเท่านั้น ไม่อนุญาตให้นำไปใช้ประโยชน์ด้านการค้า ไม่ว่าจะกรณีใดๆทั้งสิ้น อีกทั้งห้ามมิให้ดัดแปลงเนื้อหา และต้องอ้างอิงถึงเจ้าของเอกสารทุกครั้งที่มีการนำไปใช้

ซึ่งค่าของ  $\alpha_1$ ,  $\alpha_2$  และ  $\alpha_3$  สามารถหาได้จากตารางที่ 3.3 ในบทที่ 3 และค่าแรงดันไฟตรง  $E = 106 V_{dc}$  ซึ่งจากสมการที่ 6.3 และ 6.5 สามารถคำนวณค่าของขนาดแรงดันไลน์ที่ค่าดัชนีมอดูเลชันต่างๆ ได้ดังตารางที่ 6.5

ตารางที่ 6.5 ค่าขนาดของแรงดันไลน์ที่ค่าดัชนีมอดูเลชันต่างๆ

ดัชนีมอดูเลชัน (M)	แรงดันไลน์
0.55	214.20
0.6	233.68
0.65	253.15
0.7	272.62
0.75	292.10
0.8	311.56
0.85	331.04
0.9	350.52
0.95	369.99
1	389.46

หลังจากนั้นทำการทดสอบขับมอเตอร์เหนี่ยวนำสามเฟส โดยใช้อินเวอร์เตอร์เจ็ดระดับชนิดแคสเคด เพื่อหาความสัมพันธ์ระหว่างแรงดันมูลฐานกับความถี่ที่จ่ายให้กับมอเตอร์ โดยการทดสอบจะตั้งค่าความถี่กำหนดไว้ 4 ค่าเพื่อปรับเปลี่ยนค่าอัตราส่วนแรงดันมูลฐานต่อความถี่ ผลที่ได้แสดงในตารางที่ 6.6 – 6.9 ซึ่งมีความถี่กำหนด  $f_{base1}$  เท่ากับ 40 Hz,  $f_{base2}$  เท่ากับ 50 Hz,  $f_{base3}$  เท่ากับ 60 Hz และ  $f_{base4}$  เท่ากับ 70 Hz และจากค่าในตารางและกราฟสังเกตเห็นได้ว่า อัตราส่วนของแรงดันต่อความถี่จะมีค่าคงที่ ทั้งค่าจากการคำนวณและการทดลอง ส่วนค่าของแรงดันไลน์ที่ได้จากการทดลองจะมีค่าน้อยกว่าค่าที่ได้จากการคำนวณในตารางที่ 6.5 นั้น ซึ่งสาเหตุเกิดจากการสูญเสียภายในวงจรอินเวอร์เตอร์ และการสูญเสียภายในตัวมอเตอร์เหนี่ยวนำเอง

ตารางที่ 6.6 ค่าอัตราส่วนแรงดันมูลฐานต่อความถี่ ที่ความถี่กำหนด  $f_{base1} = 40 \text{ Hz}$

M	f (Hz)	แรงดันไลน์ที่ ได้จากการ คำนวณ	แรงดันไลน์ที่ ได้จากการ ทดลอง	V/f (คำนวณ)	V/f (ทดลอง)
0.6	24	233.68	214	9.73	8.91
0.7	28	272.62	250	9.73	8.92
0.8	32	311.56	289	9.73	9.00
0.9	36	350.52	318	9.73	8.83
1	40	389.46	339	9.73	8.47

ตารางที่ 6.7 ค่าอัตราส่วนแรงดันมูลฐานต่อความถี่ ที่ความถี่กำหนด  $f_{base2} = 50 \text{ Hz}$

M	f (Hz)	แรงดันไลน์ที่ ได้จากการ คำนวณ	แรงดันไลน์ที่ ได้จากการ ทดลอง	V/f (คำนวณ)	V/f (ทดลอง)
0.6	30	233.68	215	7.78	7.16
0.7	35	272.62	256	7.78	7.31
0.8	40	311.56	298	7.78	7.45
0.9	45	350.52	328	7.78	7.28
1	50	389.46	361	7.78	7.22

ตารางที่ 6.8 ค่าอัตราส่วนแรงดันมูลฐานต่อความถี่ ที่ความถี่กำหนด  $f_{base3} = 60 \text{ Hz}$

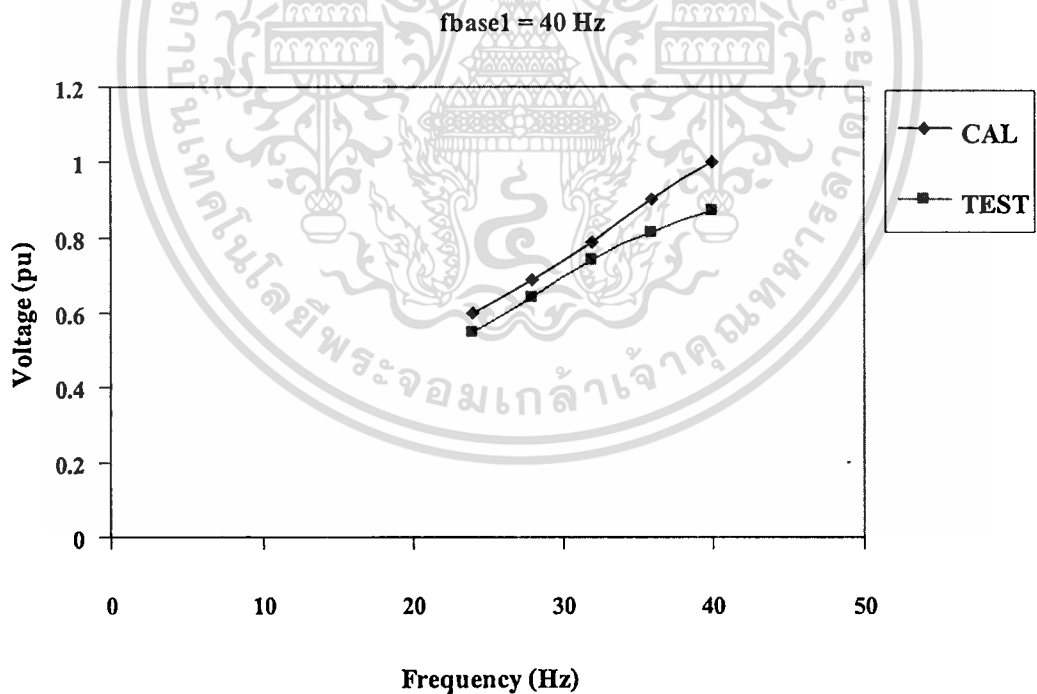
M	f (Hz)	แรงดันไลน์ที่ ได้จากการ คำนวณ	แรงดันไลน์ที่ ได้จากการ ทดลอง	V/f (คำนวณ)	V/f (ทดลอง)
0.6	36	233.68	215	6.49	5.97
0.7	42	272.62	254	6.49	6.04
0.8	48	311.56	295	6.49	6.14
0.9	54	350.52	327	6.49	6.05
1	60	389.46	367	6.49	6.11

เอกสารนี้เป็นเอกสารที่สงวนไว้สำหรับการใช้งานเพื่อการศึกษาเท่านั้น ไม่อนุญาตให้นำไปใช้ประโยชน์ด้านการค้า  
ไม่ว่ากรณีใดๆทั้งสิ้น อีกทั้งห้ามมิให้ดัดแปลงเนื้อหา และต้องอ้างอิงถึงเจ้าของเอกสารทุกครั้งที่มีการนำไปใช้

ตารางที่ 6.9 ค่าอัตราส่วนแรงดันมูลฐานต่อความถี่ ที่ความถี่กำหนด  $f_{base4} = 70 \text{ Hz}$

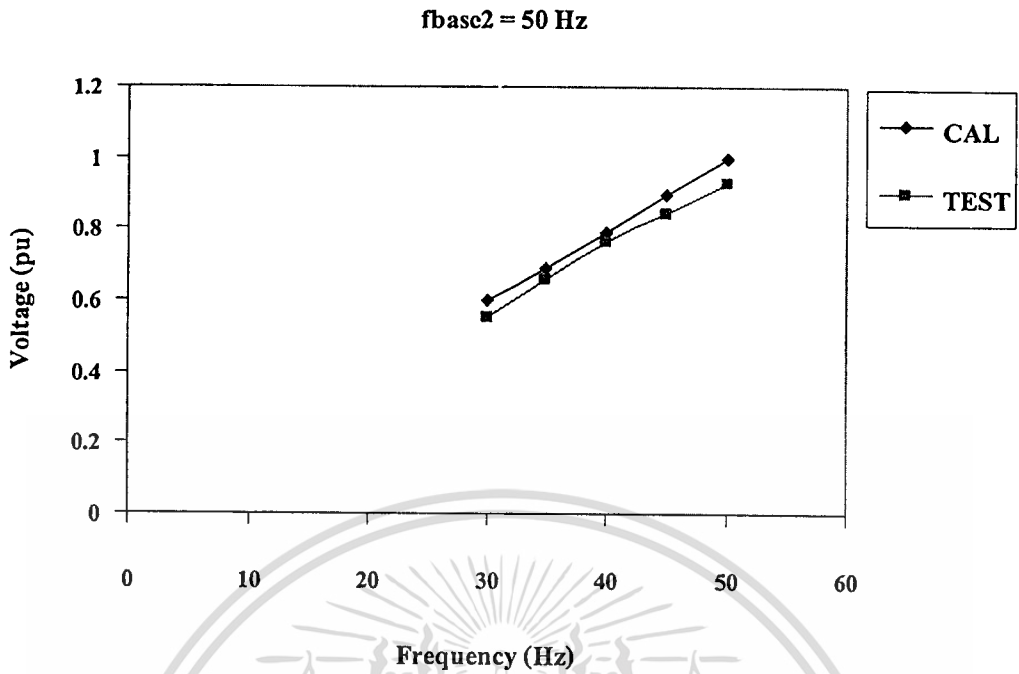
M	f (Hz)	แรงดันไลน์ที่ ได้จากการ คำนวณ	แรงดันไลน์ที่ ได้จากการ ทดลอง	V/f (คำนวณ)	V/f (ทดลอง)
0.6	42	233.68	215	5.56	5.11
0.7	49	272.62	255	5.56	5.20
0.8	56	311.56	297	5.56	5.30
0.9	63	350.52	330	5.56	5.23
1	70	389.46	365	5.56	5.21

จากตารางค่าอัตราส่วนแรงดันมูลฐานต่อความถี่ ที่ความถี่กำหนดทั้งสี่ค่าสามารถนำมาเขียนกราฟความสัมพันธ์ระหว่างแรงดันมูลฐานกับความถี่ด้านเอาต์พุต ของแต่ละความถี่กำหนดได้ดังนี้

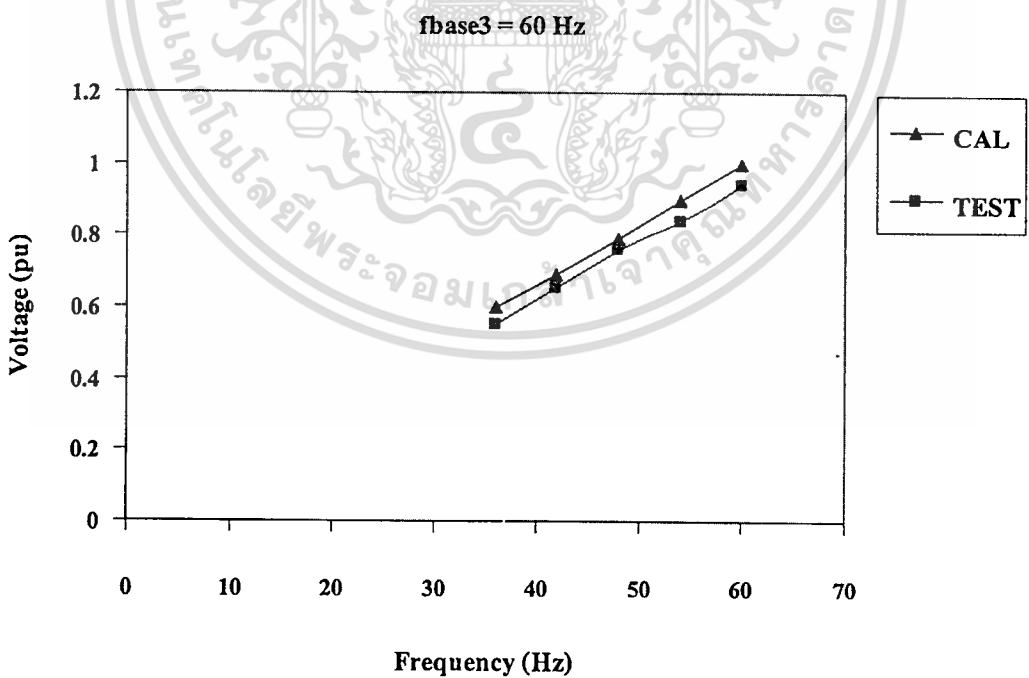


รูปที่ 6.93 กราฟเปรียบเทียบความสัมพันธ์ระหว่างแรงดันมูลฐานต่อความถี่จากการคำนวณและทดลอง ที่ความถี่กำหนด  $f_{base1} = 40 \text{ Hz}$

เอกสารนี้เป็นเอกสารที่สงวนไว้สำหรับการใช้งานเพื่อการศึกษาเท่านั้น ไม่อนุญาตให้นำไปใช้ประโยชน์ด้านการค้า ไม่ว่ากรณีใดๆทั้งสิ้น อีกทั้งห้ามมิให้ตัดแปลงเนื้อหา และต้องอ้างอิงถึงเจ้าของเอกสารทุกครั้งที่มีการนำไปใช้

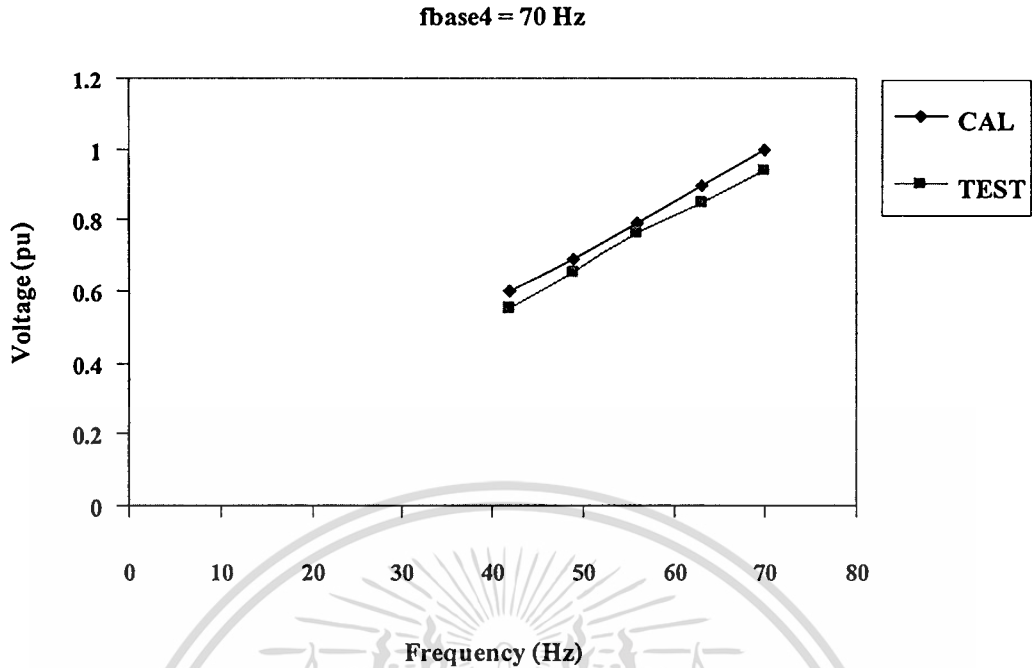


รูปที่ 6.94 กราฟเปรียบเทียบความสัมพันธ์ระหว่างแรงดันมูลฐานต่อความถี่จากการคำนวณและทดลอง ที่ความถี่กำหนด  $f_{base2} = 50 \text{ Hz}$

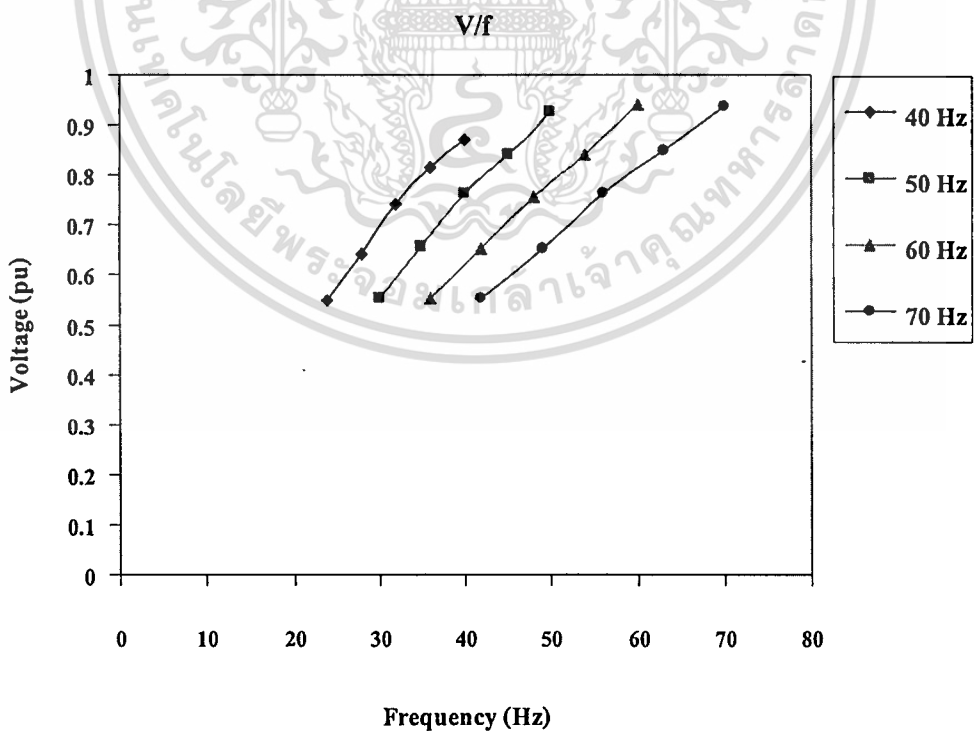


รูปที่ 6.95 กราฟเปรียบเทียบความสัมพันธ์ระหว่างแรงดันมูลฐานต่อความถี่จากการคำนวณและทดลอง ที่ความถี่กำหนด  $f_{base3} = 60 \text{ Hz}$

เอกสารนี้เป็นเอกสารที่สงวนไว้สำหรับการใช้งานเพื่อการศึกษาเท่านั้น ไม่อนุญาตให้นำไปใช้ประโยชน์ด้านการค้า ไม่ว่าจะกรณีใดๆทั้งสิ้น อีกทั้งห้ามมิให้ดัดแปลงเนื้อหา และต้องอ้างอิงถึงเจ้าของเอกสารทุกครั้งที่มีการนำไปใช้



รูปที่ 6.96 กราฟเปรียบเทียบความสัมพันธ์ระหว่างแรงดันมูลฐานต่อความถี่จากการคำนวณและทดลอง ที่ความถี่กำหนด  $f_{base4} = 70 \text{ Hz}$



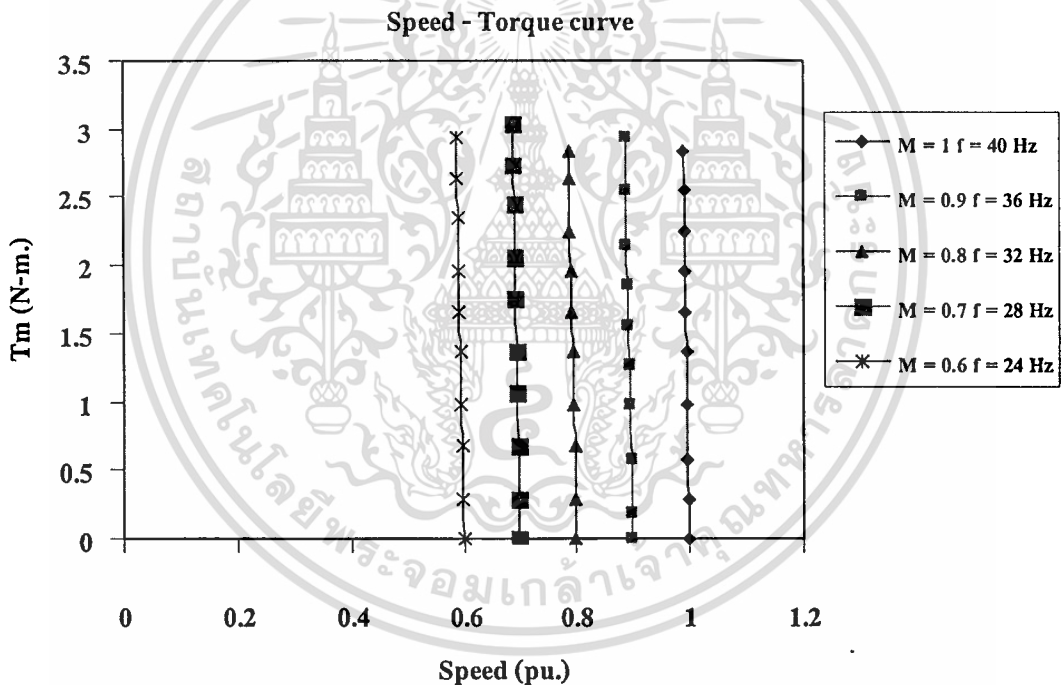
รูปที่ 6.97 กราฟแสดงความสัมพันธ์ระหว่างแรงดันมูลฐานกับความถี่ด้านเอาต์พุตที่ความถี่

กำหนดต่างๆ ที่ได้จากการทดลอง

เอกสารนี้เป็นเอกสารที่สงวนลิขสิทธิ์ไว้สำหรับใช้เพื่อการศึกษาเท่านั้น ไม่อนุญาตให้นำไปใช้ประโยชน์ด้านการค้า  
ไม่ว่ากรณีใดๆ ทั้งสิ้น อีกทั้งห้ามมิให้ดัดแปลงเนื้อหา และต้องอ้างอิงถึงเจ้าของเอกสารทุกครั้งที่มีการนำไปใช้

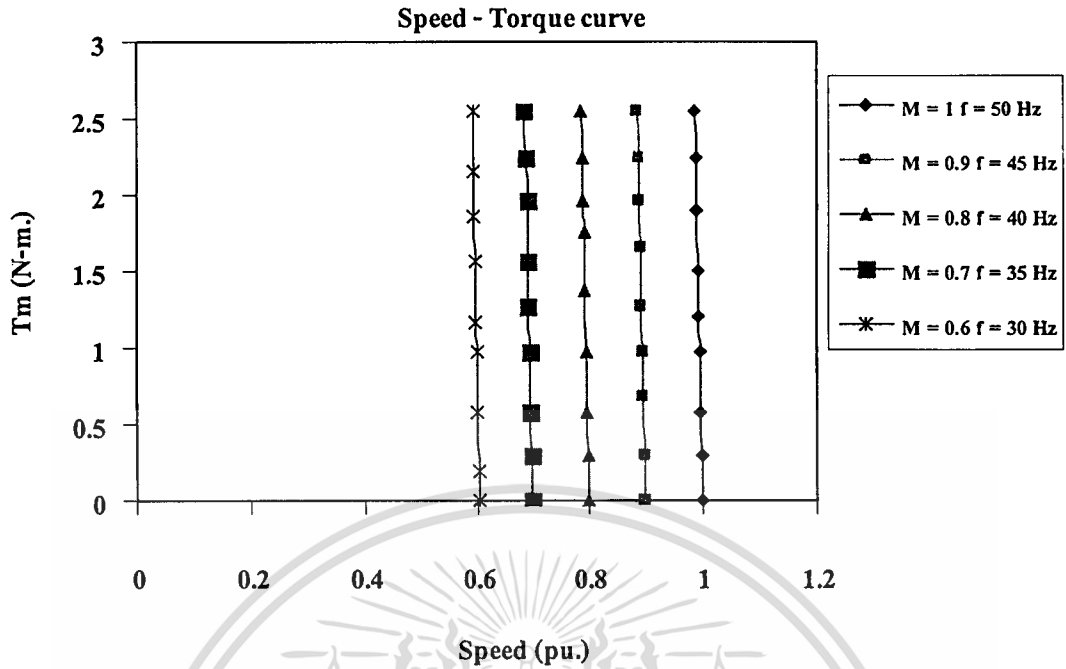
#### 6.4 ผลการทดสอบคุณสมบัติ speed – torque curve ของมอเตอร์เหนี่ยวนำสามเฟส

จากกราฟรูปที่ 6.94 และ 6.95 แสดงผลของการทดสอบคุณสมบัติของแรงบิดกับความเร็วของมอเตอร์เหนี่ยวนำสามเฟส เมื่อใช้อินเวอร์เตอร์เจ็ดระดับชนิดแคสเคด ขับเคลื่อนและโหลดของมอเตอร์ที่ใช้ในการทดสอบได้ใช้โหลดทางกลเป็นเหล็กถ่วงน้ำหนักที่สถานะคงตัว ถือได้ว่าแรงบิดของมอเตอร์จะเท่ากับแรงบิดของโหลด รูปที่ 6.94 ทดสอบเมื่อตั้งค่าความถี่กำหนดเท่ากับ 40 Hz และรูปที่ 6.95 ทดสอบเมื่อตั้งค่าความถี่กำหนดเท่ากับ 50 Hz จะเห็นว่า แรงบิดกับความเร็วของมอเตอร์รูปที่ 6.94 จะให้ค่าแรงบิดที่สูงกว่ารูปที่ 6.95 ที่ความเร็วรอบเดียวกันหรือที่ความถี่อินเวอร์เตอร์เดียวกัน ทั้งนี้เป็นผลเนื่องมาจากมีความถี่กำหนดที่ต่ำกว่าจึงทำให้ความชันของ  $v/f$  มีค่าสูงทำให้ฟลักซ์แม่เหล็กในแอร์ – แก๊ป (Air-gap) สูงกว่าจึงสามารถให้แรงบิดแก่โหลดได้มากกว่า



รูปที่ 6.98 กราฟความสัมพันธ์ระหว่างแรงบิดกับความเร็วของมอเตอร์เมื่อความถี่กำหนด

$$f = 40 \text{ Hz}$$



รูปที่ 6.99 กราฟความสัมพันธ์ระหว่างแรงบิดกับความเร็วของมอเตอร์เมื่อความถี่กำหนด  $f = 50 \text{ Hz}$

## 6.5 ผลการทดสอบกำลังไฟฟ้าและประสิทธิภาพของอินเวอร์เตอร์เจ็ดระดับ ชนิดแคสเคด

เป็นการทดสอบเพื่อหาค่ากำลังไฟฟ้าทางด้านอินพุต - เอาท์พุท และประสิทธิภาพของอินเวอร์เตอร์ขณะขับโหลด โดยที่โหลดของมอเตอร์ที่ใช้จะ ใช้โหลดทางกลเป็นเหล็กถ่วงน้ำหนัก และในการวัดค่ากำลังไฟฟ้าทางด้านอินพุต - เอาท์พุทได้ใช้ Power Analyzer (YAKOGAWA) รุ่น PZ4000 เป็นเครื่องมือในการวัดและทดสอบ ซึ่งได้ผลการทดสอบดังนี้

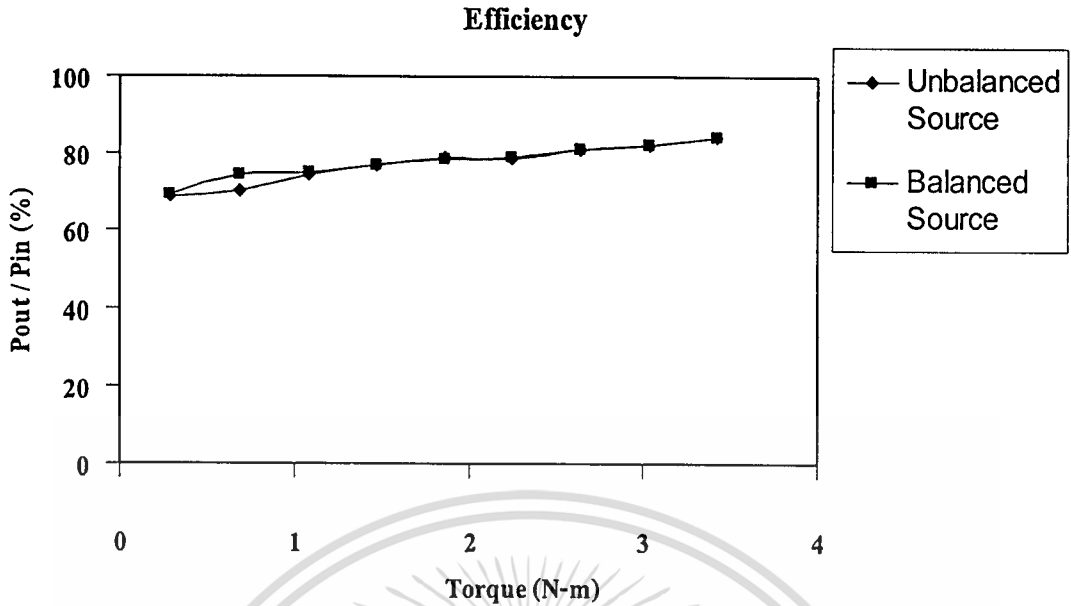
ตารางที่ 6.10 ผลการทดลองอินเวอร์เตอร์เจี๊ระดับกรณีของแหล่งจ่ายมีการส่งผ่านกำลังไฟฟ้า  
ไม่สมดุล

ความเร็วรอบ (rpm)	แรงบิด (N-m)	$P_{in}$ (W)	$P_{out}$ (W)	ประสิทธิภาพ $\eta$ (%)
1491	0.2943	507.8	349.6	68.84
1489	0.6867	587	413	70.35
1486	1.0791	660	492.5	74.62
1482	1.4715	751	577	76.83
1479	1.8639	844	668	79.14
1474	2.2563	968	763	78.82
1470	2.6487	989	801.3	81.02
1467	3.0411	1091	895	82.03
1463	3.4335	1213	1021	84.17

ตารางที่ 6.11 ผลการทดลองอินเวอร์เตอร์เจี๊ระดับกรณีของแหล่งจ่ายมีการส่งผ่านกำลังไฟฟ้า  
สมดุล

ความเร็วรอบ (rpm)	แรงบิด (N-m)	$P_{in}$ (W)	$P_{out}$ (W)	ประสิทธิภาพ $\eta$ (%)
1492	0.2943	508	351.4	69.17
1489	0.6867	581	431.9	74.33
1486	1.0791	661	494.6	74.82
1482	1.4715	748	578.2	77.29
1478	1.8639	848	666.2	78.56
1474	2.2563	967	765.3	79.14
1470	2.6487	992	806.4	81.29
1467	3.0411	1097	900	82.04
1463	3.4335	1204	1015	84.30

เอกสารนี้เป็นเอกสารที่สงวนไว้สำหรับการใช้งานเพื่อการศึกษาเท่านั้น ไม่อนุญาตให้นำไปใช้ประโยชน์ด้านการค้า  
ไม่ว่ากรณีใดๆทั้งสิ้น อีกทั้งห้ามมิให้ดัดแปลงเนื้อหา และต้องอ้างอิงถึงเจ้าของเอกสารทุกครั้งที่มีการนำไปใช้



รูปที่ 6.100 กราฟเปรียบเทียบความสัมพันธ์ระหว่างแรงบิดกับประสิทธิภาพของอินเวอร์เตอร์  
ในกรณีแหล่งจ่ายมีการส่งผ่านกำลังไฟฟ้าไม่สมดุลและสมดุล

จะเห็นว่าจากกราฟรูปที่ 6.95 แสดงถึงประสิทธิภาพของอินเวอร์เตอร์เจ็ดระดับชนิดแคสเคดทั้งในกรณีของแหล่งจ่ายมีการส่งผ่านกำลังไฟฟ้าไม่สมดุล และกรณีแหล่งจ่ายมีการส่งผ่านกำลังไฟฟ้าสมดุล ซึ่งมีค่าที่ใกล้เคียงกันมาก แสดงให้เห็นว่า การนำเทคนิคการหมุนพัลส์ (Pulse rotation) มาช่วยในการออกแบบรูปแบบการสวิตช์นั้น จะไม่ทำให้ประสิทธิภาพของอินเวอร์เตอร์ลดลง

## 6.6 สรุป

จากผลการทดสอบอินเวอร์เตอร์เจ็ดระดับชนิดแคสเคด ทดลองขับมอเตอร์เหนี่ยวนำสามเฟสที่สภาวะไร้อโหลด ในกรณีของแหล่งจ่ายมีการส่งผ่านกำลังไฟฟ้าไม่สมดุล จะเห็นว่าในกรณีนี้แหล่งจ่ายแรงดันไฟตรงของอินเวอร์เตอร์เอชบริดจ์แต่ละเซลล์จะจ่ายกำลังไฟฟ้าออกมาได้ไม่เท่ากันคือ เซลล์ที่ 1 น้อยกว่าเซลล์ที่ 2 น้อยกว่าเซลล์ที่ 3 ตามลำดับ ดังแสดงในตารางที่ 6.1 ซึ่งเกิดจากรูปแบบการสวิตช์ที่ทำให้ ลักษณะแรงดันเอาต์พุตของอินเวอร์เตอร์เอชบริดจ์แต่ละเซลล์ไม่เหมือนกันในหนึ่งคาบเวลาการทำงาน ซึ่งจะส่งผลให้แหล่งจ่ายแรงดันไฟตรงของอินเวอร์เตอร์เอชบริดจ์แต่ละเซลล์ มีอายุการใช้งานไม่เท่ากัน และในกรณีของแหล่งจ่ายมีการส่งผ่านกำลังไฟฟ้าสมดุล จะเห็นว่าแหล่งจ่ายแรงดันไฟตรงของอินเวอร์เตอร์เอชบริดจ์แต่ละเซลล์จะจ่ายกำลังไฟฟ้าออกมาได้ใกล้เคียงกัน ดังแสดงในตารางที่ 6.3 ซึ่งเกิดจากการปรับปรุงการสวิตช์ใหม่ โดยใช้เทคนิคการหมุนพัลส์ (Pulse rotation) ที่ทำให้ลักษณะแรงดันเอาต์พุตของอินเวอร์เตอร์เอชบริดจ์ไม่ต่างกัน

นอกจากนี้ทั้งนี้ ยังต้องคำนึงถึงข้อจำกัดของอินเวอร์เตอร์เอชบริดจ์ด้วย ซึ่งถ้าหากอินเวอร์เตอร์เอชบริดจ์ไม่ทำงานได้นานพอ ก็จะส่งผลให้ประสิทธิภาพของอินเวอร์เตอร์เอชบริดจ์ลดลง และต้องอ้างอิงถึงเจ้าของเอกสารทุกครั้งที่มีการนำไปใช้

แต่ละเซลล์เหมือนกันในหนึ่งคาบเวลาการทำงานนั่นเอง ซึ่งทั้งในกรณีของแหล่งจ่ายมีการส่งผ่านกำลังไฟฟ้าไม่สมดุล และในกรณีของแหล่งจ่ายมีการส่งผ่านกำลังไฟฟ้าสมดุลนั้น ค่าเปอร์เซ็นต์ความผิดเพี้ยน (% THD) ของแรงดันไลน์จะมีค่าลดลง เมื่อค่าดัชนีมอดูเลชันเพิ่มขึ้น (ที่ค่าความถี่มูลฐานเดียวกัน) ดังแสดงในตารางที่ 6.2 และ 6.4 ตามลำดับ

จากผลการทดลองจะเห็นว่า ลักษณะของรูปคลื่นแรงดันเฟส, แรงดันไลน์, และกระแสไลน์ รวมทั้งค่าเปอร์เซ็นต์ความผิดเพี้ยน (% THD) ของรูปคลื่นแรงดันเฟส, แรงดันไลน์, และกระแสไลน์ ทั้งในกรณีของแหล่งจ่ายมีการส่งผ่านกำลังไฟฟ้าไม่สมดุล และกรณีของแหล่งจ่ายมีการส่งผ่านกำลังไฟฟ้าสมดุลมีลักษณะและค่าที่ใกล้เคียงกันมาก จะเห็นว่าผลจากการจำลองกับผลการทดลองจริงจะมีลักษณะใกล้เคียงกัน นั่นแสดงว่าอินเวอร์เตอร์เจ็ดระดับชนิดแคสเคดเครื่องต้นแบบที่มีการปรับปรุงรูปแบบการสวิตช์ใหม่ที่ได้สร้างขึ้นนั้นสามารถทำงานได้จริง



## บทที่ 7

# สรุปผลการวิจัยและข้อเสนอแนะ

### 7.1 สรุปผลการทดสอบ

วิทยานิพนธ์ฉบับนี้ได้นำเสนอการวิเคราะห์และการออกแบบอินเวอร์เตอร์หลายระดับชนิดแคสเคด โดยใช้เทคนิคการกำจัดฮาร์มอนิกส์ที่เหมาะสมและเทคนิคการหมุนพัลส์ (Pulse rotation) เพื่อปรับปรุงรูปแบบการสวิตช์ที่ทำให้แรงดันด้านเอาต์พุตอินเวอร์เตอร์เอชบริดจ์แต่ละเซลล์มีลักษณะที่เหมือนกัน ในหนึ่งคาบเวลาการทำงาน ทำให้แหล่งจ่ายแรงดันไฟตรงของอินเวอร์เตอร์เอชบริดจ์แต่ละเซลล์ จ่ายกำลังไฟฟ้าออกมาเท่าๆ กัน และทำให้แหล่งจ่ายแรงดันไฟตรงของอินเวอร์เตอร์เอชบริดจ์แต่ละเซลล์มีอายุการใช้งานใกล้เคียงกัน ซึ่งในวิทยานิพนธ์ฉบับนี้ได้เลือกทำการวิเคราะห์และออกแบบอินเวอร์เตอร์ชนิดนี้ที่เจ็ดระดับ โดยได้นำไปทำการทดสอบขับมอเตอร์เตอร์เหนี่ยวนำสามเฟส ที่ค่าดัชนีมอดูเลชันและความถี่มูลฐานต่างๆ ทั้งในกรณีของแหล่งจ่ายมีการส่งผ่านกำลังไฟฟ้าไม่สมดุลและ ในกรณีของแหล่งจ่ายมีการส่งผ่านกำลังไฟฟ้าสมดุล เปรียบเทียบกัน เพื่อศึกษาถึงผลกระทบของค่าเปอร์เซ็นต์ความผิดเพี้ยน (% THD) ของแรงดันไลน์และกระแสไลน์ เมื่อค่าดัชนีมอดูเลชันและความถี่มูลฐานเปลี่ยนแปลง

#### 7.1.1 สรุปผลการทดสอบ ในกรณีของแหล่งจ่ายมีการส่งผ่านกำลังไฟฟ้าไม่สมดุล

จากผลการทดสอบในกรณีนี้จะเห็นว่า แหล่งจ่ายแรงดันไฟตรงของอินเวอร์เตอร์เอชบริดจ์แต่ละเซลล์ของอินเวอร์เตอร์เจ็ดระดับ จะจ่ายกำลังไฟฟ้าออกมาได้ไม่เท่ากัน คือ เซลล์ที่ 1 น้อยกว่าเซลล์ที่ 2 น้อยกว่าเซลล์ที่ 3 ตามลำดับ ดังแสดงในตารางที่ 6.1 ส่งผลให้แหล่งจ่ายแรงดันไฟตรงของอินเวอร์เตอร์เอชบริดจ์แต่ละเซลล์มีอายุการใช้งานไม่เท่ากัน ซึ่งเป็นสาเหตุเนื่องมาจากรูปแบบของการสวิตช์ที่ทำให้ลักษณะแรงดันเอาต์พุตของอินเวอร์เตอร์เอชบริดจ์แต่ละเซลล์ไม่เหมือนกันนั่นเอง ส่วนค่าเปอร์เซ็นต์ความผิดเพี้ยน (% THD) ของแรงดันไลน์จะมีค่าลดลงเมื่อค่าดัชนีมอดูเลชันเพิ่มขึ้น (ที่ค่าความถี่มูลฐานเดียวกัน) ดังแสดงในตารางที่ 6.2

#### 7.1.2 สรุปผลการทดสอบ ในกรณีของแหล่งจ่ายมีการส่งผ่านกำลังไฟฟ้าสมดุล

จากผลการทดสอบในกรณีนี้จะเห็นว่า แหล่งจ่ายแรงดันไฟตรงของอินเวอร์เตอร์เอชบริดจ์แต่ละเซลล์จะจ่ายกำลังไฟฟ้าออกมาได้ใกล้เคียงกัน ดังแสดงในตารางที่ 6.3 ซึ่งเกิดจากการปรับปรุงการสวิตช์ใหม่ โดยใช้เทคนิคการหมุนพัลส์ (Pulse rotation) ที่ทำให้ลักษณะแรงดันเอาต์พุตของอินเวอร์เตอร์เอชบริดจ์แต่ละเซลล์เหมือนกันในหนึ่งคาบเวลาการทำงานนั่นเอง ส่วนเอกสารนี้เป็นเอกสารที่สงวนไว้สำหรับการใช้งานเพื่อการศึกษาเท่านั้น ไม่อนุญาตให้นำไปใช้ประโยชน์ด้านการค้า ไม่ว่าจะกรณีใดๆทั้งสิ้น อีกทั้งห้ามมิให้ดัดแปลงเนื้อหา และต้องอ้างอิงถึงเจ้าของเอกสารทุกครั้งที่มีการนำไปใช้

ค่าเปอร์เซ็นต์ความผิดเพี้ยน (% THD) ของแรงดันไลน์จะมีค่าลดลง เมื่อค่าดัชนีมอดูเลชันเพิ่มขึ้น (ที่ค่าความถี่มอดูเลชันเดียวกัน) ดังแสดงในตารางที่ 6.4

## 7.2 สรุปผลการทำงานทั้งระบบ

จากหัวข้อที่ผ่านมาจะเห็นว่า ทั้งในกรณีของแหล่งจ่ายมีการส่งผ่านกำลังไฟฟ้าไม่สมดุล และกรณีของแหล่งจ่ายมีการส่งผ่านกำลังไฟฟ้าสมดุลนั้น ลักษณะของรูปคลื่นแรงดันเฟส, แรงดันไลน์, และกระแสไลน์ รวมทั้งค่าเปอร์เซ็นต์ความผิดเพี้ยน (% THD) ของรูปคลื่นแรงดันเฟส, แรงดันไลน์, และกระแสไลน์ มีลักษณะและค่าที่ใกล้เคียงกันมาก นั้นแสดงให้เห็นว่า ในการปรับปรุงรูปแบบการสวิตช์ใหม่ โดยใช้เทคนิคการหมุนพัลส์ (Pulse rotation) ที่ทำให้ลักษณะแรงดันเอาท์พุทของอินเวอร์เตอร์เอชบริดจ์แต่ละเซลล์เหมือนกันในหนึ่งคาบเวลาการทำงาน โดยช่วงเวลาการทำงานในหนึ่งคาบจะยี่ดออกไปนั้น ไม่ส่งผลกระทบต่อลักษณะของรูปคลื่นแรงดันเฟส, แรงดันไลน์, และกระแสไลน์ รวมทั้งค่าเปอร์เซ็นต์ความผิดเพี้ยน (% THD) ของรูปคลื่นแรงดันเฟส, แรงดันไลน์, และกระแสไลน์ และทำให้แหล่งจ่ายแรงดันไฟตรงของอินเวอร์เตอร์เอชบริดจ์แต่ละเซลล์สามารถทำงานได้ใกล้เคียงกัน อีกทั้งยังช่วยเพิ่มประสิทธิภาพในการทำงานของอินเวอร์เตอร์ทั้งระบบได้อีกทางหนึ่งด้วย

## 7.3 ข้อเสนอแนะ

7.3.1 วงจรขับนำเกตในงานวิจัยนี้มีประสิทธิภาพไม่ดีเท่าที่ควร เนื่องจากเมื่อทำการทดลองขับมอดูเลชันที่ค่าความถี่มอดูเลชันต่ำๆ จะทำให้ตัวไอซีเบอร์ IR2110 เกิดความเสียหายบ่อยมาก สำหรับงานวิจัยต่อไปควรนำเลือกใช้วงจรขับนำเกตชุดอื่นที่มีแหล่งจ่ายไฟเลี้ยงที่เป็นอิสระต่อกัน

7.3.2 เนื่องจากการเขียนโปรแกรมในการสร้างสัญญาณขับเกตสวิตช์ในงานวิจัยนี้ได้ใช้เทคนิคการเปิดค่าในตาราง (Look Up Table) ซึ่งจำเป็นต้องใช้หน่วยความจำที่มีขนาดใหญ่ แต่ชุดของไมโครคอนโทรลเลอร์ในงานวิจัยนี้ได้เลือกใช้ไมโครคอนโทรลเลอร์เบอร์ dsPIC30F4011 ที่มีหน่วยความจำที่ 16 kBit ซึ่งสามารถเขียนโปรแกรมให้อ่านค่ามอดูเลชันได้เพียงค่าเดียวเท่านั้น จึงมีความยุ่งยากที่จะเปลี่ยนค่ามอดูเลชันในการทดลอง จึงต้องทำการคอมไพล์ (Compile) โปรแกรมใหม่ทุกครั้งที่ต้องการเปลี่ยนค่ามอดูเลชัน ซึ่งในงานวิจัยต่อไปควรเลือกใช้เบอร์ไมโครคอนโทรลเลอร์ที่มีขนาดหน่วยความจำมากกว่านี้

7.3.3 วงจรประวิงเวลา (เดคไทม์) ในงานวิจัยนี้ได้ใช้วงจรดังรูปที่ 5.8 มาต่อรวมกันเป็นจำนวน 18 ชุด เพื่อสร้างสัญญาณขับนำเกตสวิตช์ให้ครบ 36 ชุด (ในอินเวอร์เตอร์เจ็ดระดับมีสวิตช์เป็นจำนวน 36 ตัว) ซึ่งในวงจรประวิงเวลาทั้ง 18 ชุด จะมี Oscillator 1MHz ในการกำเนิดสัญญาณนาฬิกา อยู่หนึ่งตัว อาจจะทำให้วงจรประวิงเวลาในแต่ละชุดอาจจะทำงานได้ไม่พร้อมกัน ซึ่งมีผล

เอกสารนี้เป็นเอกสารที่สงวนไว้สำหรับการใช้งานเพื่อการศึกษาเท่านั้น ไม่อนุญาตให้นำไปใช้ประโยชน์ด้านการค้า ไม่ว่าจะกรณีใดๆทั้งสิ้น อีกทั้งห้ามมิให้ดัดแปลงเนื้อหา และต้องอ้างอิงถึงเจ้าของเอกสารทุกครั้งที่มีการนำไปใช้

ทำให้สัญญาณขั้วนำเกตสวิตช์ที่ได้ออกมาอาจจะมีความผิดพลาดไม่ตรงกับค่าที่ได้คำนวณไว้ สำหรับในงานวิจัยต่อไปควรใช้วงจรประวิงเวลา (เดค ไทม์) ที่มีแหล่งกำเนิดสัญญาณนาฬิกาจากที่เดียวกัน ซึ่งอาจจะใช้เป็นไอซี CPLD (Complex Programmable Logic Device) หรือ FPGA (Field Programmable Gate Array) ช่วยให้ประหยัด, ลดขนาดของวงจร และลดปัญหาดังกล่าวได้



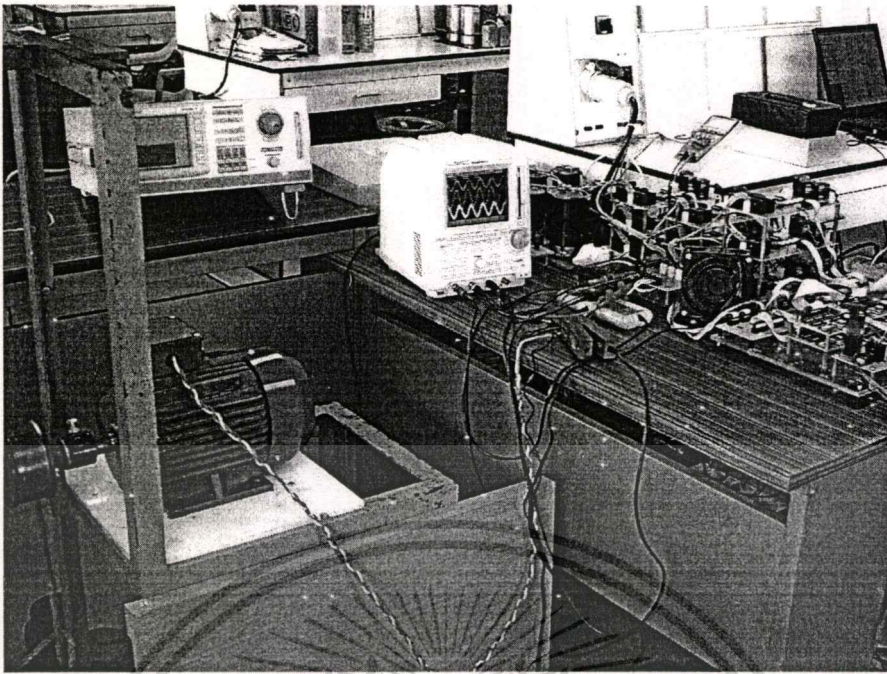
เอกสารนี้เป็นเอกสารที่สงวนไว้สำหรับการใช้งานเพื่อการศึกษาเท่านั้น ไม่อนุญาตให้นำไปใช้ประโยชน์ด้านการค้า ไม่ว่าจะกรณีใดๆทั้งสิ้น อีกทั้งห้ามมิให้ดัดแปลงเนื้อหา และต้องอ้างอิงถึงเจ้าของเอกสารทุกครั้งที่มีการนำไปใช้

## เอกสารอ้างอิง

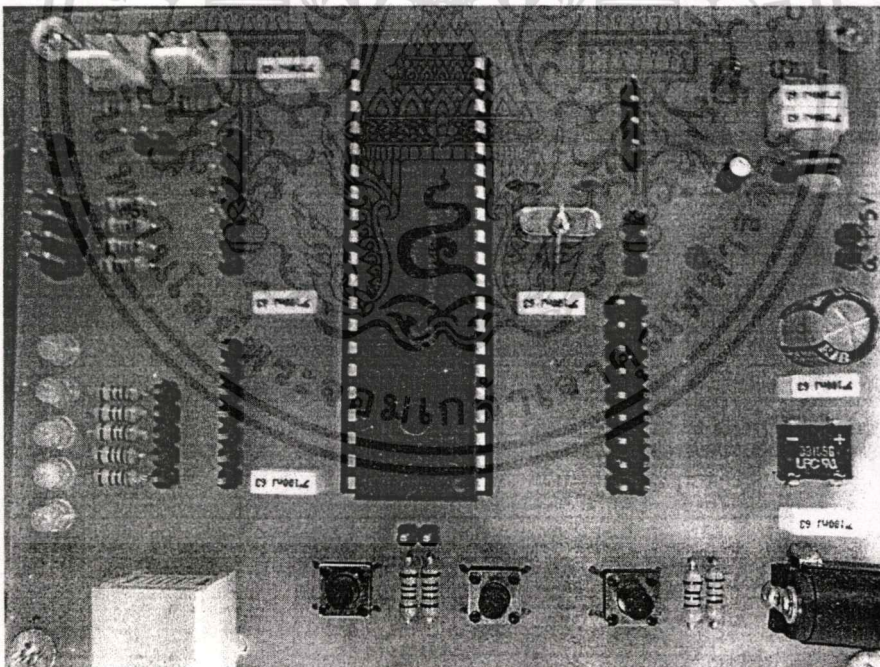
- [1] I. Takahashi A. Nabae and H. Akagi, "A new neutral-point clamped pwm inverter," IEEE Trans. Ind. Application, vol. IA-17, Sep-Oct. 1981, pp. 518-523
- [2] S. Sirisukprasert, J.S. Lai and T.H. Liu, "Optimum Harmonic Reduction with a Wide Range of Modulation Indexes for Multilevel Converter," CPES. pp. 212-217.
- [3] S. Sirisukprasert, J.S. Lai and T.H. Liu, "Optimum Harmonic Reduction with a Wide Range of Modulation Indexes for Multilevel Converter," IEEE Trans. On Ind. Electronics, vol. 49, No. 4, August 2002, pp. 875-881.
- [4] Leon M. Tolbert, Fang Zheng Peng, Tim Cunyngham and John N. Chiasson, "Charge Balance Control Schemes for Cascade Multilevel Converter in Hybrid Electric Vehicles," IEEE Trans. Ind. Electronics, vol. 49, no. 5, October 2002, pp. 1058-1064
- [5] Leon M. Tolbert, Fang Zheng Peng, and Thomas G. Habetler, "Multilevel Converter for Large Electric Drives," IEEE Trans. On Ind. Applications, vol. 35, No.1, January/February 1999, pp. 36-44
- [6] Leon M. Tolbert, John N. Chiasson, Zhong Du, Keith J. McKenzie, "Elimination of Harmonics in a Multilevel Converter With Nonequal DC Sources," IEEE Trans. On Ind. Applications, vol. 41, No. 1, January/February 2005, pp. 75-82
- [7] Burak Ozpineci, Leon M. Tolbert, John N. Chiasson, "Harmonic Optimization of Multilevel Converters Using Genetic Algorithms," IEEE Power Electronics Letters, vol. 3, No. 3, September 2005, pp. 92-95
- [8] เชิงชาย สมประชา "การออกแบบและสร้างอินเวอร์เตอร์หลายระดับสำหรับควบคุม ความเร็ว รมอเตอร์เหนี่ยวนำ 3 เฟสด้วยเทคนิค RBM CHOPPER" วิทยานิพนธ์ วิศวกรรมศาสตรมหาบัณฑิต สาขาวิศวกรรมไฟฟ้า บัณฑิตวิทยาลัย สถาบันเทคโนโลยีพระจอมเกล้าเจ้าคุณทหารลาดกระบัง 2548
- [9] สิทธิพร เจียรนนทพิสุทธิ์, วิจิตร กิณเรศ "อินเวอร์เตอร์สามระดับ โดยใช้เทคนิคการกำจัดฮาร์มอนิกส์" วิศวกรรมลาดกระบัง ปีที่ 20 ฉบับที่ 4 ธันวาคม 2546, หน้า 53-58
- [10] สิทธิพร เจียรนนทพิสุทธิ์, วิจิตร กิณเรศ "อินเวอร์เตอร์หลายระดับชนิดแคสเคดแหล่งจ่ายที่มีการส่งผ่านกำลังไฟฟ้าสมดุลโดยใช้เทคนิคการกำจัดฮาร์มอนิกส์ที่เหมาะสม" วิศวกรรมลาดกระบัง ปีที่ 23 ฉบับที่ 3 กันยายน 2549, หน้า 42-47



เอกสารนี้เป็นเอกสารที่สงวนไว้สำหรับการใช้งานเพื่อการศึกษาเท่านั้น ไม่อนุญาตให้นำไปใช้ประโยชน์ด้านการค้า  
ไม่ว่ากรณีใดๆทั้งสิ้น อีกทั้งห้ามมิให้ดัดแปลงเนื้อหา และต้องอ้างอิงถึงเจ้าของเอกสารทุกครั้งที่มีการนำไปใช้

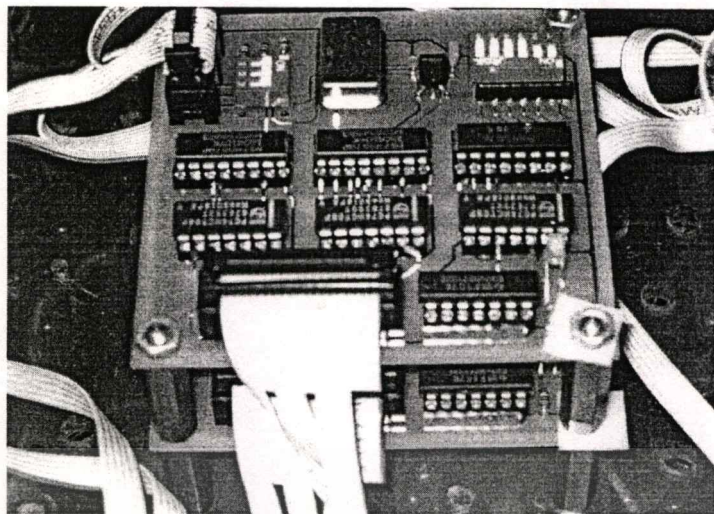


ระบบของชุดทดสอบ



ชุดกำเนิดสัญญาณเกทสวิทช์ dsPIC30F4011

เอกสารนี้เป็นเอกสารที่สงวนไว้สำหรับการใช้งานเพื่อการศึกษาเท่านั้น ไม่นุญาตให้นำไปใช้ประโยชน์ด้านการค้า  
ไม่ว่ากรณีใดๆทั้งสิ้น อีกทั้งห้ามมิให้ดัดแปลงเนื้อหา และต้องอ้างอิงถึงเจ้าของเอกสารทุกครั้งที่มีการนำไปใช้



ชุดวงจรเคดไทม์



รูปมอเตอร์ที่ใช้ในการทดสอบ

ป้ายพิกัดมอเตอร์เหนี่ยวนำที่ใช้ในการทดสอบ

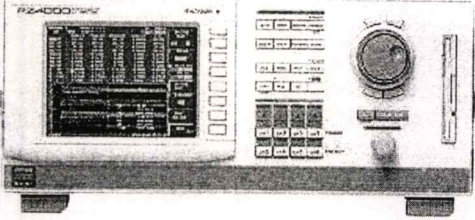
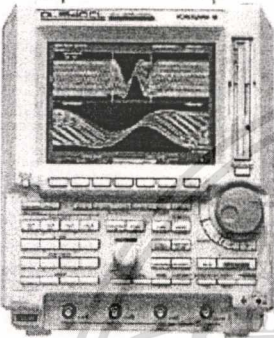


THREE PHASE INDUCTION MOTOR			
TYPE	Y2-100L <sub>1-4</sub>	IP	55
Hp/kW	3/2.2	VOLTS	220/380
POLES	4	Hz	50
AMP'S	8.91/5.16	RPM	1430
FRAME	B3	INS CLASS	F
SERIAL NO.	03080692	DATE	2003.08

เอกสารนี้เป็นเอกสารที่สงวนไว้สำหรับการใช้งานเพื่อการศึกษาเท่านั้น ไม่อนุญาตให้นำไปใช้ประโยชน์ด้านการค้า  
ไม่ว่ากรณีใดๆทั้งสิ้น อีกทั้งห้ามมิให้ดัดแปลงเนื้อหา และต้องอ้างอิงถึงเจ้าของเอกสารทุกครั้งที่มีการนำไปใช้

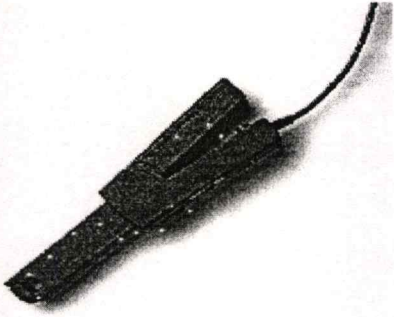

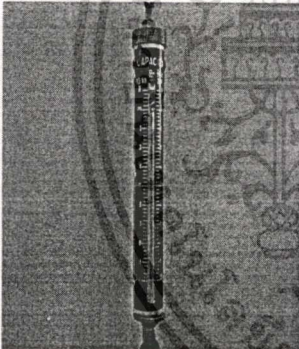


ภาคผนวก ข  
เครื่องมือวัดที่ใช้ในวิทยานิพนธ์

เอกสารนี้เป็นเอกสารที่สงวนไว้สำหรับการใช้งานเพื่อการศึกษาเท่านั้น ไม่อนุญาตให้นำไปใช้ประโยชน์ด้านการค้า  
ไม่ว่ากรณีใดๆทั้งสิ้น อีกทั้งห้ามมิให้ดัดแปลงเนื้อหา และต้องอ้างอิงถึงเจ้าของเอกสารทุกครั้งที่มีการนำไปใช้

	<p>ผลิตภัณฑ์ Power Analyzer (YAKOGAWA)          รุ่น PZ4000          รายละเอียด</p> <ul style="list-style-type: none"> <li>- Wide Measurement Bandwidth (DC to 2 MHz)</li> <li>- Accurately Sampling 5 MS/s</li> <li>- Harmonic Analysis (up to 500<sup>th</sup> Order)</li> </ul>
	<p>ผลิตภัณฑ์ Digital Oscilloscope (YOKOGAWA)          รุ่น DL1520/L (4 Channel)          รายละเอียด</p> <ul style="list-style-type: none"> <li>- Bandwidth 150 MHz</li> <li>- 200 MS/s sampling rate on one channel</li> <li>- or 100 MS/s on two channels</li> <li>- 8 bit vertical resolution</li> <li>- DC to 30 MHz, 850V (DC + AC peak)</li> <li>- 2% DC accuracy, Internal low pass filter</li> </ul>
	<p>ผลิตภัณฑ์ Band Differential Probe          รุ่น 700924          รายละเอียด</p> <ul style="list-style-type: none"> <li>- Sampling Rate 100 MHz</li> <li>- A Probe Lets You Make Wide-Band</li> <li>- Differential Input Measurements</li> </ul>
	<p>ผลิตภัณฑ์ Multi Meter (Hewlett Packard)          รุ่น 973A          รายละเอียด</p> <ul style="list-style-type: none"> <li>- True RMS 20 kHz Accuracy = 0.1%</li> <li>- Vac or Vdc : 0 to 1000 Volts</li> <li>- Iac or Idc : 0 to 10 Amperes.</li> </ul>

เอกสารนี้เป็นเอกสารที่สงวนไว้สำหรับการใช้งานเพื่อการศึกษาเท่านั้น ไม่อนุญาตให้นำไปใช้ประโยชน์ด้านการค้า  
 ไม่ว่าจะกรณีใดๆทั้งสิ้น อีกทั้งห้ามมิให้ดัดแปลงเนื้อหา และต้องอ้างอิงถึงเจ้าของเอกสารทุกครั้งที่มีการนำไปใช้

	<p>ผลิตภัณฑ์ Current Probe (CHAUVIN ARNOUX)</p> <p>รุ่น E3N</p> <p>รายละเอียด</p> <ul style="list-style-type: none"> <li>- Current Probe 10-100 Ampere/ 1Volt</li> <li>- Input 100 A Peak Max</li> <li>- Frequency: DC to 100 kHz .(@3 db)</li> <li>- Output 10 mV/A, 100 mV/A CAT III</li> </ul>
	<p>ผลิตภัณฑ์ TACHOMETER (LULRON)</p> <p>รุ่น DT-2236</p> <p>รายละเอียด</p> <ul style="list-style-type: none"> <li>- Photo (rpm)</li> <li>- Contact (rpm)</li> </ul>
	<p>ผลิตภัณฑ์ ดาซังสปริง</p> <p>รายละเอียด</p> <ul style="list-style-type: none"> <li>- 0 - 10 กิโลกรัม (ขีดละ 200 กรัม)</li> </ul>

เอกสารนี้เป็นเอกสารที่สงวนไว้สำหรับการใช้งานเพื่อการศึกษาเท่านั้น ไม่อนุญาตให้นำไปใช้ประโยชน์ด้านการค้า  
ไม่ว่ากรณีใดๆทั้งสิ้น อีกทั้งห้ามมิให้ดัดแปลงเนื้อหา และต้องอ้างอิงถึงเจ้าของเอกสารทุกครั้งที่มีการนำไปใช้



เอกสารนี้เป็นเอกสารที่สงวนไว้สำหรับการใช้งานเพื่อการศึกษาเท่านั้น ไม่อนุญาตให้นำไปใช้ประโยชน์ด้านการค้า  
ไม่ว่ากรณีใดๆทั้งสิ้น อีกทั้งห้ามมิให้ดัดแปลงเนื้อหา และต้องอ้างอิงถึงเจ้าของเอกสารทุกครั้งที่มีการนำไปใช้

# การหาค่ามุมสวิทช์ที่ค่าดัชนีมอดูเลชันต่ำ

## ก.1 หลักการหาค่ามุมสวิทช์ที่ค่าดัชนีมอดูเลชันต่ำ

จากเทคนิคการกำจัดฮาร์โมนิกส์ที่เหมาะสมแบบรูปคลื่นขั้นบันได ในบทที่ 3 จะเป็นการหาค่ามุมสวิทช์ซึ่งของอินเวอร์เตอร์หลายระดับนั้น จะเห็นว่าเมื่อค่าดัชนีมอดูเลชันมีค่าต่ำกว่า 0.55 จะไม่สามารถคำนวณหาค่ามุมสวิทช์ที่เหมาะสม โดยใช้สมการในรูปแบบเดิมได้ จึงได้มีการนำเสนอวิธีการหาค่ามุมสวิทช์ซึ่งของอินเวอร์เตอร์หลายระดับที่ค่าดัชนีมอดูเลชันต่ำ [2], [3]

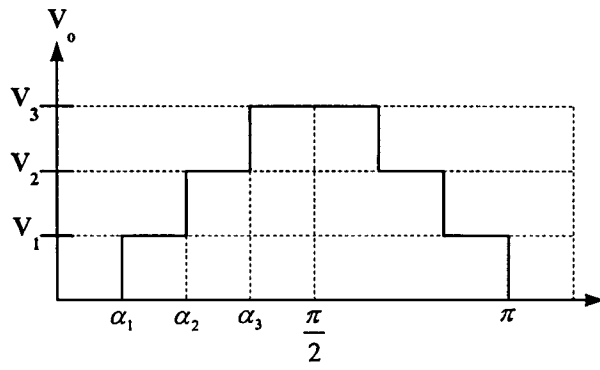
จากรูปที่ ก.1 แสดงรูปคลื่นสเต็ปที่ครึ่งคาบบวกของอินเวอร์เตอร์เจ็ดระดับชนิดแคสเคด ซึ่งสามารถแบ่งระดับการมอดูเลชันออกเป็น 3 ระดับด้วยกัน คือ ระดับมอดูเลชันสูง, ระดับมอดูเลชัน กลาง, ระดับมอดูเลชันต่ำ ตามลำดับ และจากรูปที่ ก.1 สามารถหาวิเคราะห์รูปคลื่นด้วยอนุกรมฟูเรียร์ เพื่อหาสมการในการกำจัดฮาร์โมนิกส์ได้ดังนี้

$$h_n = \frac{4}{n\pi} [V_1 \cos(n\alpha_1) + V_2 \cos(n\alpha_2) + V_3 \cos(n\alpha_3)] \quad (\text{ก-1})$$

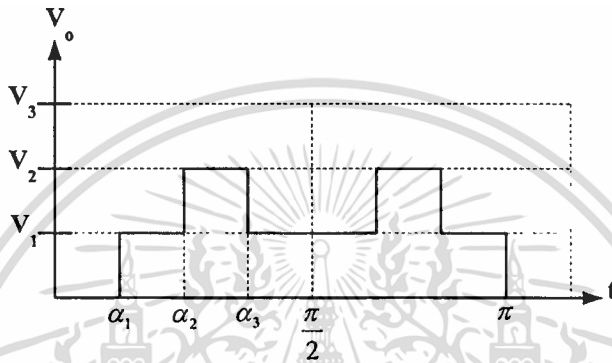
$$h_n = \frac{4}{n\pi} [V_1 \cos(n\alpha_1) + V_2 \cos(n\alpha_2) - V_3 \cos(n\alpha_3)] \quad (\text{ก-2})$$

$$h_n = \frac{4}{n\pi} [V_1 \cos(n\alpha_1) - V_2 \cos(n\alpha_2) + V_3 \cos(n\alpha_3)] \quad (\text{ก-3})$$

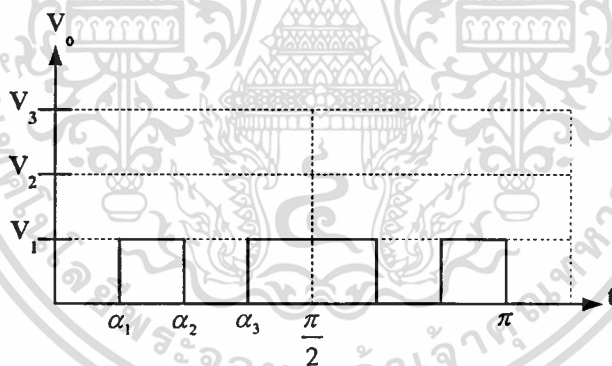
สมการ ก-1 เป็นสมการกำจัดฮาร์โมนิกส์ที่ระดับมอดูเลชันสูง ซึ่งเป็นสมการที่ในงานวิจัยนี้ ส่วนสมการ ก-2 และสมการ ก-3 เป็นสมการกำจัดฮาร์โมนิกส์ที่ระดับมอดูเลชันกลาง และระดับมอดูเลชันต่ำ ตามลำดับ จากสมการทั้งสามสามารถนำไปใช้วิธีนิวตัน-ราฟสัน เพื่อคำนวณหาค่ามุมสวิทช์ซึ่งของอินเวอร์เตอร์เจ็ดระดับชนิดแคสเคด ได้ดังตารางที่ ก.1



(ก)



(ข)



(ค)

รูปที่ ค.1 แสดงรูปคลื่นที่ครึ่งคาบบวกของอินเวอร์เตอร์เจ็ดระดับชนิดแคสเคดที่ระดับมอดูเลชันต่างๆ

(ก) ระดับมอดูเลชันสูง

(ข) ระดับมอดูเลชันกลาง

(ค) ระดับมอดูเลชันต่ำ

เอกสารนี้เป็นเอกสารที่สงวนไว้สำหรับการใช้งานเพื่อการศึกษาเท่านั้น ไม่อนุญาตให้นำไปใช้ประโยชน์ด้านการค้า ไม่ว่าจะกรณีใดๆทั้งสิ้น อีกทั้งห้ามมิให้ดัดแปลงเนื้อหา และต้องอ้างอิงถึงเจ้าของเอกสารทุกครั้งที่มีการนำไปใช้

ตารางที่ ก.1 แสดงความสัมพันธ์ระหว่างค่า Modulation Index กับมุมสวิทช์ของอินเวอร์เตอร์ جهد

ระดับชนิดแคสเคด

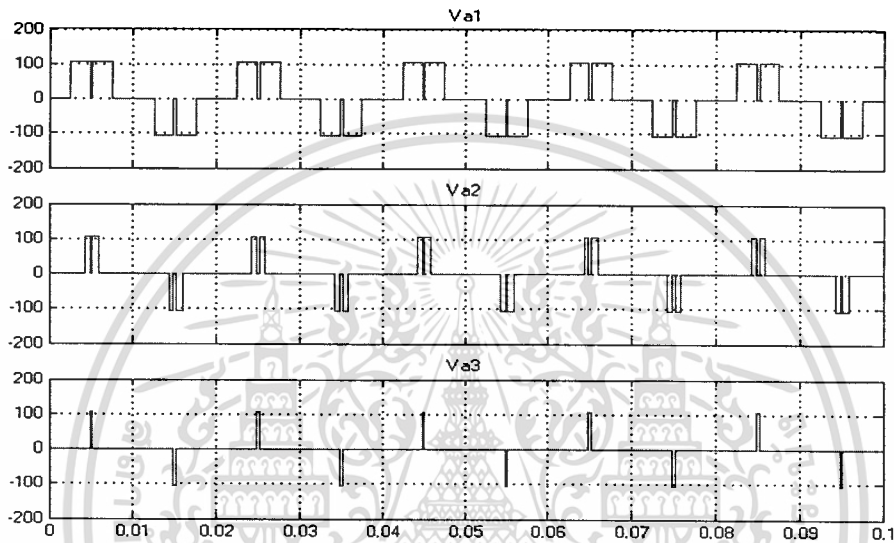
ระดับดัชนีมอดูเลชัน	ดัชนีมอดูเลชัน (M)	$\alpha_1$	$\alpha_2$	$\alpha_3$
ระดับสูง	1	11.6817	31.1783	58.5774
	0.95	13.8158	37.1899	61.9216
	0.9	17.5104	43.0523	64.1395
	0.85	22.7654	49.3798	64.5562
	0.8	29.2395	54.4383	64.4844
	0.75	34.8935	54.4622	68.5500
	0.7	38.3413	53.9297	73.9648
	0.65	39.3876	55.5215	78.8979
	0.6	39.4298	58.5839	83.1042
	0.55	39.7742	62.1282	86.5693
ระดับกลาง	0.5	19.3237	66.1132	80.1832
	0.45	42.2974	69.7408	88.5307
	0.4	44.1689	74.3271	87.4234
ระดับต่ำ	0.35	22.3189	37.7252	46.3273
	0.3	29.2286	39.2439	52.5088
	0.25	43.4165	51.0234	60.5493
	0.2	50.9218	63.3639	73.1910
	0.15	53.5810	64.3754	78.9178
	0.1	55.8519	63.4311	83.0179
	0.05	57.9840	61.8571	86.5988

เอกสารนี้เป็นเอกสารที่สงวนไว้สำหรับการใช้งานเพื่อการศึกษาเท่านั้น ไม่อนุญาตให้นำไปใช้ประโยชน์ด้านการค้า  
ไม่ว่ากรณีใดๆทั้งสิ้น อีกทั้งห้ามมิให้ดัดแปลงเนื้อหา และต้องอ้างอิงถึงเจ้าของเอกสารทุกครั้งที่มีการนำไปใช้

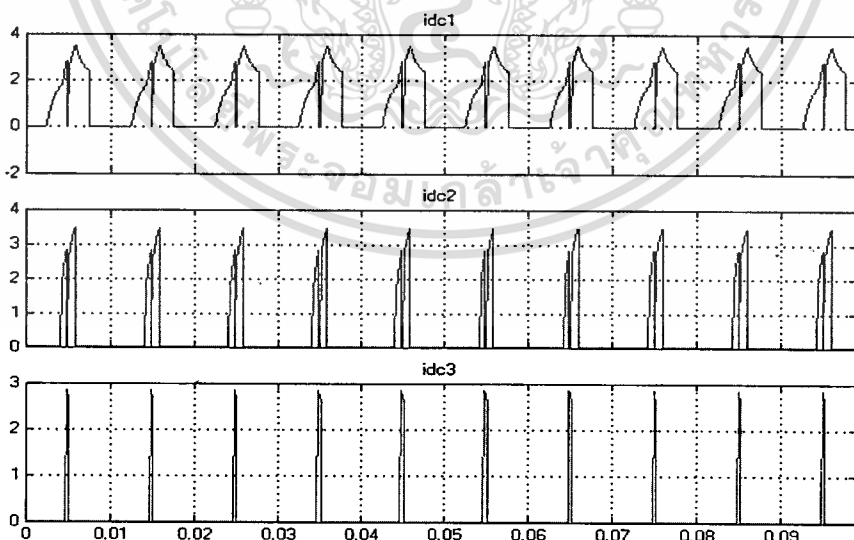
## ค.2 การจำลองการทำงานของอินเวอร์เตอร์แฉะระดับชนิดแคสเคด ที่ค่าดัชนีมอดูเลชันต่ำ

จากตารางที่ ค.1 สามารถนำมาทำการจำลองการทำงานของอินเวอร์เตอร์แฉะระดับชนิดแคสเคด โดยใช้โปรแกรม MATLAB/SIMULINK ซึ่งได้ผลการจำลองดังนี้

### ค.2.1 ที่ระดับมอดูเลชันกลาง $M = 0.4$ $f = 50$ Hz



รูปที่ ค.2 แรงดันเอาต์พุตของอินเวอร์เตอร์เอชบริดจ์แต่ละเซลล์ในเฟส A



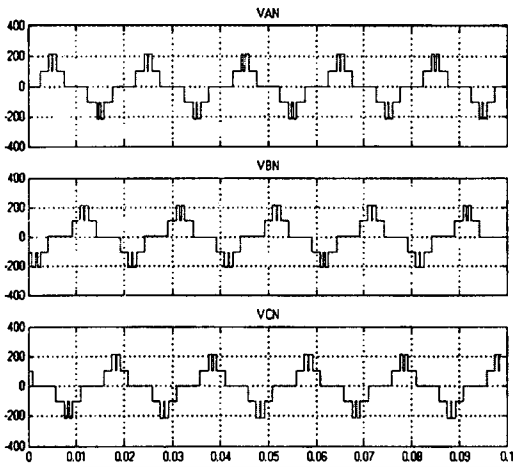
รูปที่ ค.3 กระแสที่แหล่งจ่ายของอินเวอร์เตอร์เอชบริดจ์แต่ละเซลล์ในเฟส A

ค่ากำลังไฟฟ้าที่แหล่งจ่ายส่งผ่านไปให้กับอินเวอร์เตอร์เอชบริดจ์เซลล์ที่ 1, 2 และ 3

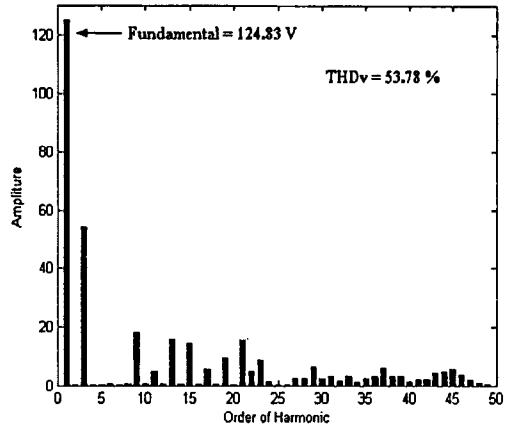
เท่ากับ 110 W, 38.37 W และ 8.583 W ตามลำดับ

เอกสารนี้เป็นเอกสารที่สงวนลิขสิทธิ์ไว้เพื่อการศึกษานี้ ไม่อนุญาตให้นำไปใช้ประโยชน์ด้านการค้า

ไม่ว่ากรณีใดๆทั้งสิ้น อีกทั้งห้ามมิให้ดัดแปลงเนื้อหา และต้องอ้างอิงถึงเจ้าของเอกสารทุกครั้งที่มีการนำไปใช้

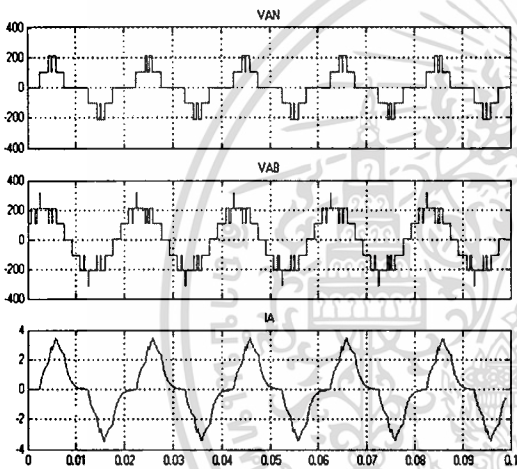


(ก) รูปสัญญาณ  $V_{an}$ ,  $V_{bn}$ ,  $V_{cn}$

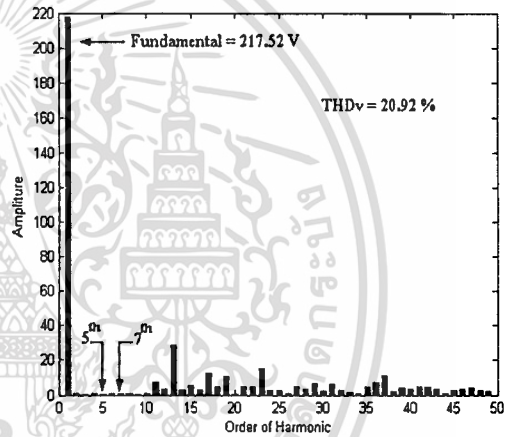


(ข) สเปกตรัมของแรงดันเฟสเอาต์พุต  $V_{an}$

รูปที่ ค.4 สัญญาณแรงดันเฟส  $V_{an}$ ,  $V_{bn}$ ,  $V_{cn}$  และสเปกตรัมของแรงดันเฟส  $V_{an}$

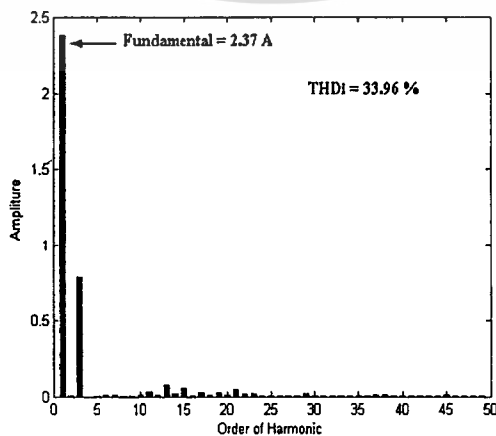


(ก) รูปสัญญาณ  $V_{an}$ ,  $V_{ab}$ ,  $i_a$  ตามลำดับ



(ข) สเปกตรัมของแรงดันไลน์  $V_{ab}$

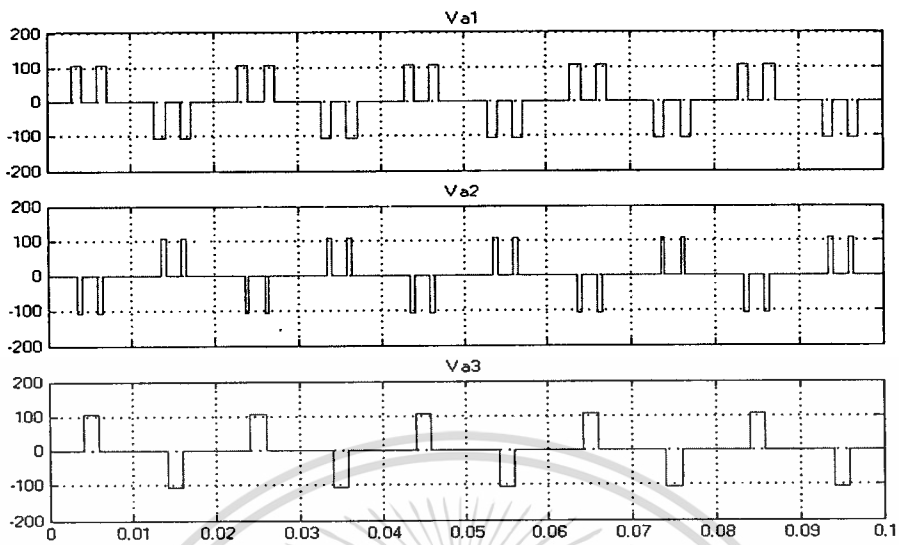
รูปที่ ค.5 สัญญาณแรงดันเฟส, แรงดันไลน์, กระแสเอาต์พุต  $V_{an}$ ,  $V_{ab}$ ,  $i_a$  และสเปกตรัมของแรงดันไลน์  $V_{ab}$



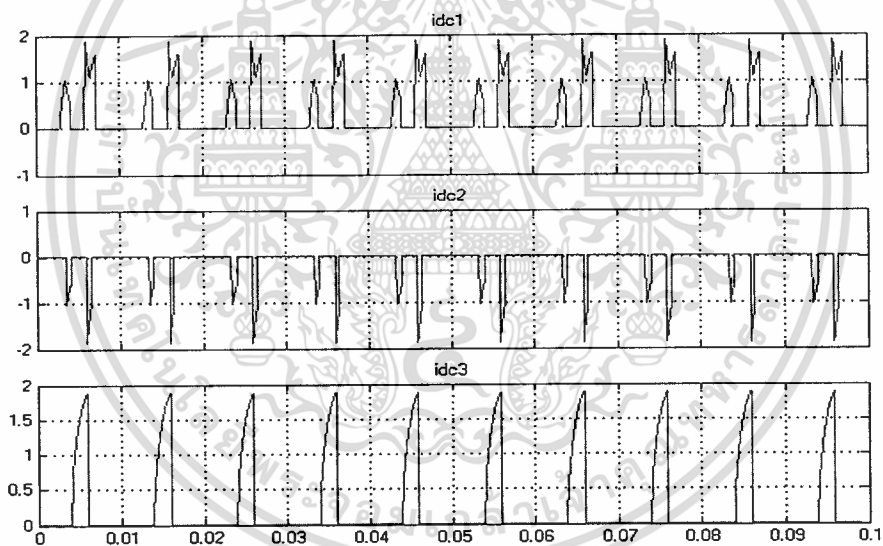
รูปที่ ค.6 สเปกตรัมของกระแสเอาต์พุต  $i_a$

เอกสารนี้เป็นเอกสารที่สงวนไว้สำหรับการใช้งานเพื่อการศึกษาเท่านั้น ไม่นุญาตให้นำไปใช้ประโยชน์ด้านการค้า  
ไม่ว่ากรณีใดๆทั้งสิ้น อีกทั้งห้ามมิให้ดัดแปลงเนื้อหา และต้องอ้างอิงถึงเจ้าของเอกสารทุกครั้งที่มีการนำไปใช้

ค.2.2 ที่ระดับมอดูเลชันต่ำ  $M = 0.2$   $f = 50$  Hz

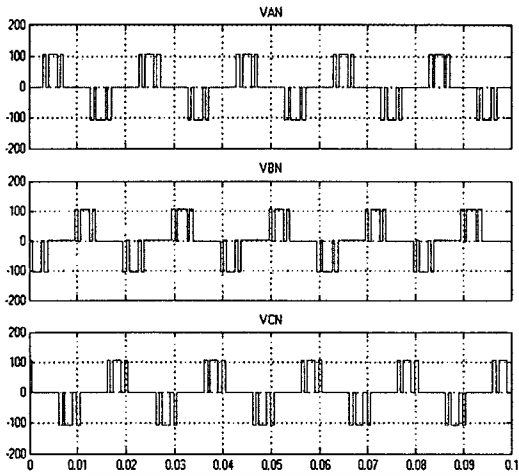


รูปที่ ค.7 แรงดันเอาต์พุตของอินเวอร์เตอร์เอชบริดจ์แต่ละเซลล์ในเฟส A

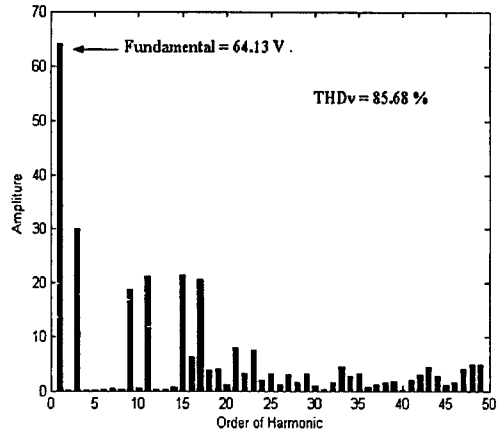


รูปที่ ค.8 กระแสที่แหล่งจ่ายของอินเวอร์เตอร์เอชบริดจ์แต่ละเซลล์ในเฟส A

ค่ากำลังไฟฟ้าที่แหล่งจ่ายส่งผ่านไปให้กับอินเวอร์เตอร์เอชบริดจ์เซลล์ที่ 1, 2 และ 3 เท่ากับ 27.76 W, -12.89 W และ 28.66 W ตามลำดับ

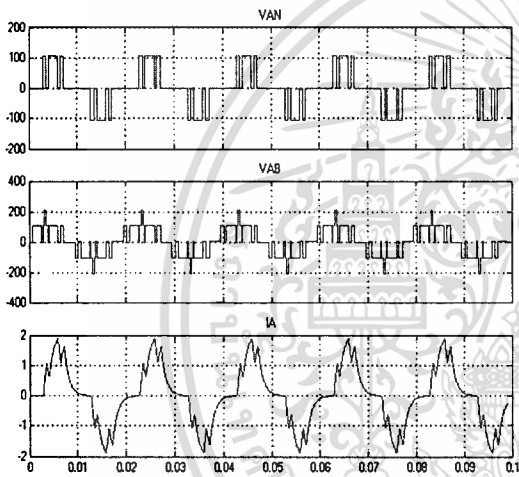


(ก) รูปสัญญาณ  $V_{an}$ ,  $V_{bn}$ ,  $V_{cn}$

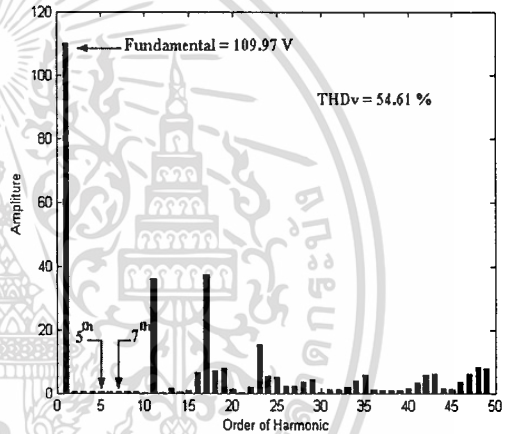


(ค) สเปกตรัมของแรงดันเฟสเอาต์พุต  $V_{an}$

รูปที่ ๙.๙ สัญญาณแรงดันเฟส  $V_{an}$ ,  $V_{bn}$ ,  $V_{cn}$  และสเปกตรัมของแรงดันเฟส  $V_{an}$

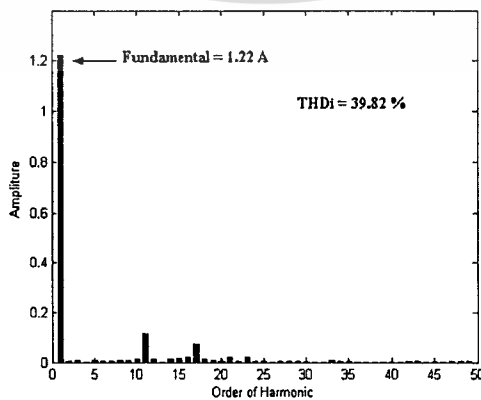


(ก) รูปสัญญาณ  $V_{an}$ ,  $V_{ab}$ ,  $i_a$  ตามลำดับ



(ข) สเปกตรัมของแรงดันไลน์  $V_{ab}$

รูปที่ ๑๐.๑๐ สัญญาณแรงดันเฟส, แรงดันไลน์, และกระแสเอาต์พุต  $V_{an}$ ,  $V_{ab}$ ,  $i_a$  และสเปกตรัมของแรงดันไลน์  $V_{ab}$



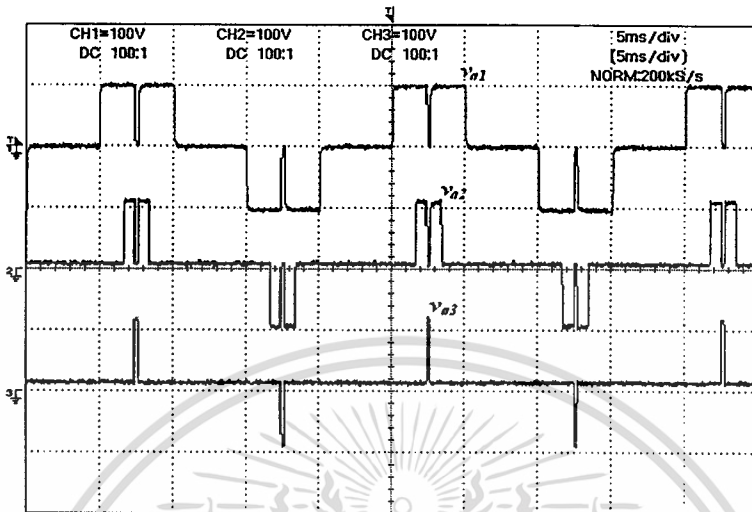
รูปที่ ๑๑.๑๑ สเปกตรัมของกระแสเอาต์พุต  $i_a$

เอกสารนี้เป็นเอกสารที่สงวนไว้สำหรับการใช้งานเพื่อการศึกษาเท่านั้น ไม่อนุญาตให้นำไปใช้ประโยชน์ด้านการค้า  
ไม่ว่ากรณีใดๆทั้งสิ้น อีกทั้งห้ามมิให้ดัดแปลงเนื้อหา และต้องอ้างอิงถึงเจ้าของเอกสารทุกครั้งที่มีการนำไปใช้

### ค.3 ผลการทดสอบขั้วมอเตอร์ที่สภาวะไร้โหลด

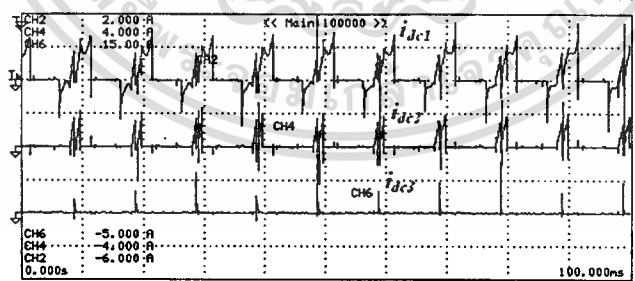
#### ค.3.1 กรณีแหล่งจ่ายมีการส่งผ่านกำลังไฟฟ้าไม่สมดุลที่ระดับมอดูละชั้นกลาง

$$M = 0.4 \quad f = 50 \text{ Hz}$$



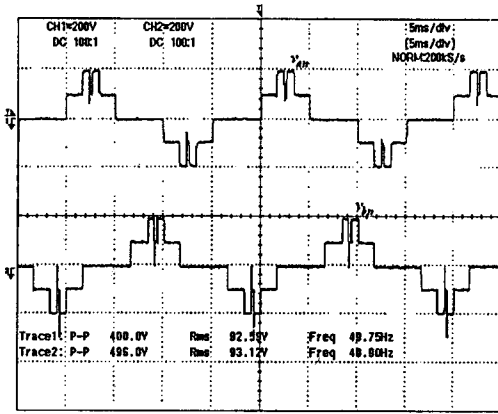
รูปที่ ค.12 แรงดันเอาต์พุทของอินเวอร์เตอร์เซมิคอนดักเตอร์แต่ละเซลล์ในเฟส A

YOKOGAWA	Uover: == ==	100ms	1MS/s			
CH1	200Upk	100ms	1MS/s			
	Element1	Element2	Element3	Element4	Σ A	Σ B
U <sub>mn</sub> [V]	110.09	111.14	112.10	0.00	110.09	111.14
U <sub>dc</sub> [V]	99.12	100.06	100.93	0.02	99.12	100.06
U <sub>ac</sub> [V]	0.26	0.23	0.17	0.00	0.26	0.23
I <sub>rms</sub> [A]	0.4420	0.1986	0.075	0.0000	0.4420	0.1986
I <sub>mn</sub> [A]	0.2914	0.0763	0.000	0.0000	0.2914	0.0763
I <sub>dc</sub> [A]	0.1713	0.0662	0.017	0.0016	0.1713	0.0662
I <sub>ac</sub> [A]	0.4075	0.1972	0.072	0.0000	0.4075	0.1873
P [W]	16.96	6.62	0.0018k	0.00	16.96	6.62
S [VA]	43.81	17.88	0.0076k	0.00	43.81	19.88
Q [var]	40.40	-18.74	0.0074k	0.00	40.40	-18.74
λ [°]	0.3872	0.3333	0.2313	Error	0.3872	0.3333
φ [°]	16.22	70.53	76.63	Error	67.22	70.53

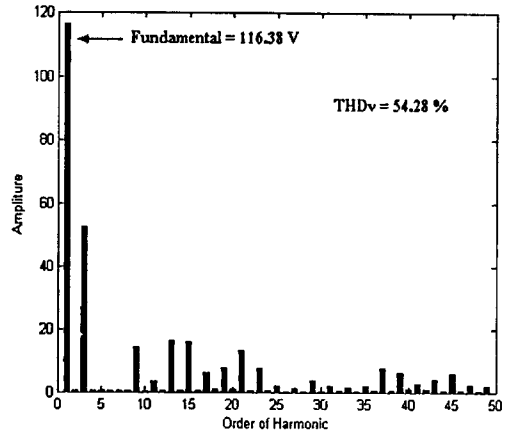


รูปที่ ค.13 กระแสที่แหล่งจ่ายของอินเวอร์เตอร์เซมิคอนดักเตอร์แต่ละเซลล์ในเฟส A

ค่ากำลังไฟฟ้าที่แหล่งจ่ายส่งผ่านไปให้กับอินเวอร์เตอร์เซมิคอนดักเตอร์เซลล์ที่ 1, 2 และ 3 เท่ากับ 16.96 W, 6.62 W และ 1.80 W ตามลำดับ



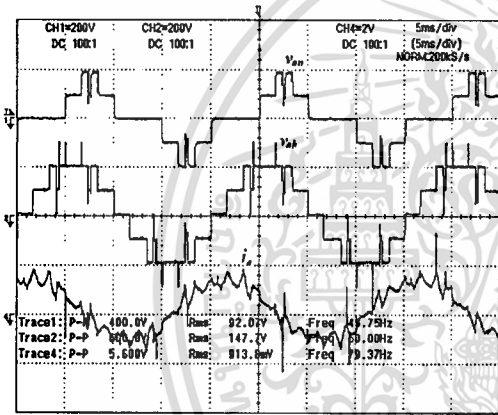
(ก) รูปสัญญาณ  $V_{an}$ ,  $V_{bn}$



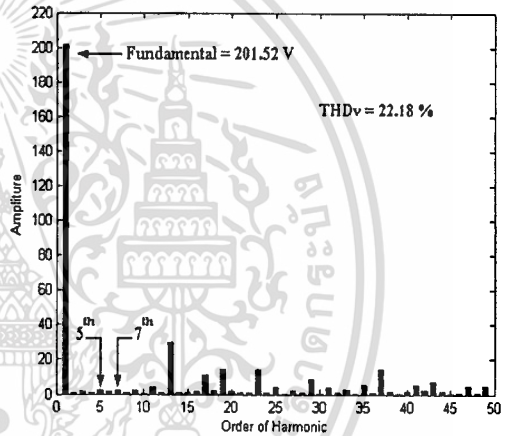
(ข) สเปกตรัมของแรงดันเฟสเอาต์พุต  $V_{an}$

$V_{an}$ ,  $V_{bn}$  = 200 V/div, 5 ms/div

รูปที่ ค.14 สัญญาณแรงดันเฟส  $V_{an}$ ,  $V_{bn}$  และ สเปกตรัมของแรงดันเฟส  $V_{an}$  ที่  $f = 50$  Hz



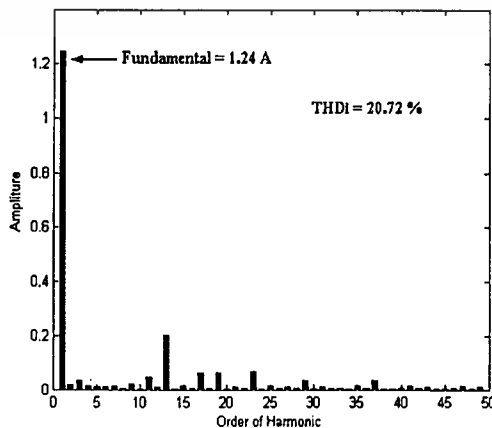
(ก) รูปสัญญาณ  $V_{an}$ ,  $V_{ab}$ ,  $i_a$  ตามลำดับ



(ข) สเปกตรัมของแรงดันไลน์  $V_{ab}$

$V_{an}$  = 200V/div,  $V_{ab}$  = 200V/div,  $i_a$  = 2 A/div

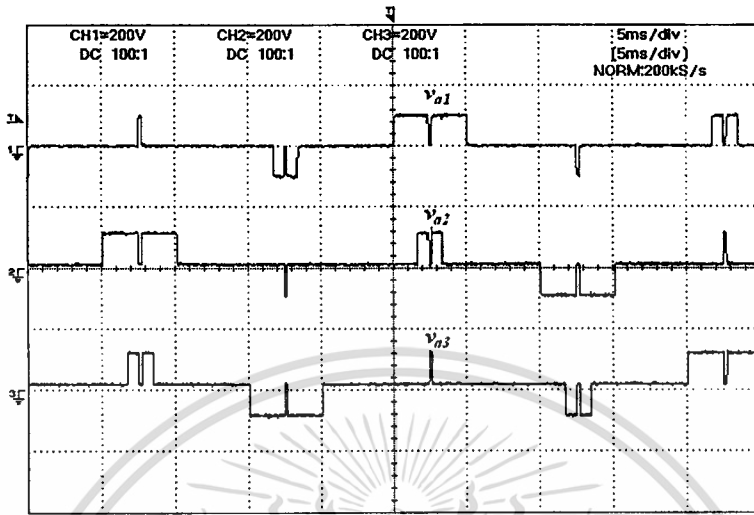
รูปที่ ค.15 สัญญาณแรงดันเฟส, แรงดันไลน์, กระแสเอาต์พุต  $V_{an}$ ,  $V_{ab}$ ,  $i_a$  และสเปกตรัมของแรงดันไลน์  $V_{ab}$  ที่  $f = 50$  Hz



เอกสารนี้เป็นเอกสารที่สงวนไว้สำหรับรูปที่ ค.16 สเปกตรัมของกระแสเอาต์พุต  $i_a$  ให้นำไปใช้ประโยชน์ด้านการค้า  
ไม่ว่ากรณีใดๆทั้งสิ้น อีกทั้งห้ามมิให้ดัดแปลงเนื้อหา และต้องอ้างอิงถึงเจ้าของเอกสารทุกครั้งที่มีการนำไปใช้

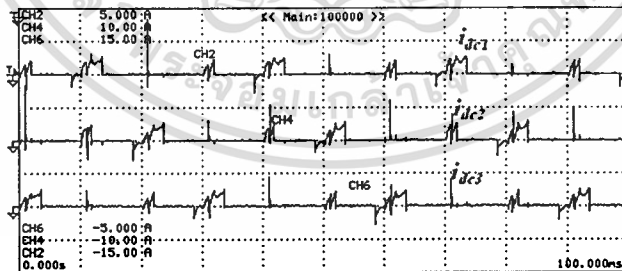
ค.3.2 กรณีแหล่งจ่ายมีการส่งผ่านกำลังไฟฟ้าสมดุลที่ระดับมอดูละชั้นกลาง

$$M = 0.4 \quad f = 50 \text{ Hz}$$



รูปที่ ค.17 แรงดันเอาต์พุตของอินเวอร์เตอร์เอชบริดจ์แต่ละเซลล์ในเฟส A

YOKOGAWA		Uover: - - - -				100ns	1MS/s
CH1		Iover: - - - -				100ns	1MS/s
		Element1	Element2	Element3	Element4	Σ A	Σ B
U <sub>mn</sub>	[V]	108.83	108.91	109.11	0.00	108.83	108.91
U <sub>dc</sub>	[V]	97.99	98.06	98.23	0.02	97.99	98.06
U <sub>ac</sub>	[V]	0.27	0.31	0.21	0.00	0.27	0.31
I <sub>rms</sub>	[A]	0.319	0.322	0.282	0.0000	0.319	0.322
I <sub>mn</sub>	[A]	0.148	0.153	0.134	0.0000	0.148	0.153
I <sub>dc</sub>	[A]	0.109	0.101	0.090	0.0017	0.109	0.101
I <sub>ac</sub>	[A]	0.300	0.306	0.268	0.0000	0.300	0.306
P	[W]	0.0107k	0.0099k	0.0088k	0.00	0.0107k	0.0099k
S	[VA]	0.0313k	0.0316k	0.0277k	0.00	0.0313k	0.0316k
Q	[var]	0.0294k	0.0300k	0.0263k	0.00	0.0294k	0.0300k
λ	[ ]	0.3420	0.3120	0.3183	Error	0.3420	0.3120
θ	[°]	78.00	71.82	71.44	Error	70.00	71.82

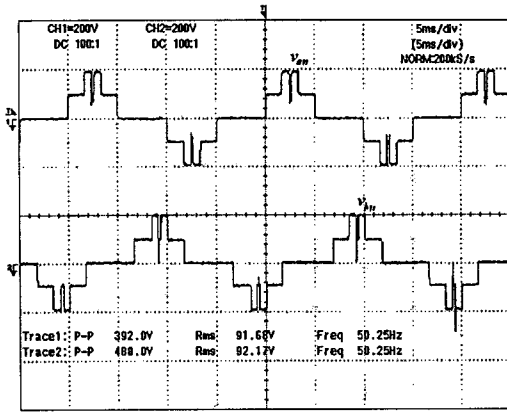


รูปที่ ค.18 กระแสที่แหล่งจ่ายของอินเวอร์เตอร์เอชบริดจ์แต่ละเซลล์ในเฟส A

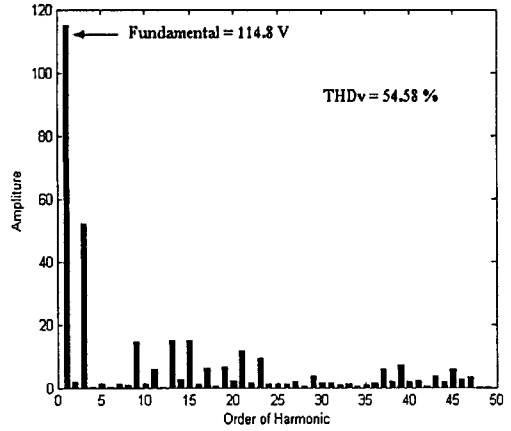
ค่ากำลังไฟฟ้าที่แหล่งจ่ายส่งผ่านไปให้กับอินเวอร์เตอร์เอชบริดจ์เซลล์ที่ 1, 2 และ 3

เท่ากับ 10.70 W, 9.90 W และ 8.80 W ตามลำดับ

เอกสารนี้เป็นเอกสารที่สงวนไว้สำหรับการใช้งานเพื่อการศึกษาเท่านั้น ไม่อนุญาตให้นำไปใช้ประโยชน์ด้านการค้า ไม่ว่าจะกรณีใดๆทั้งสิ้น อีกทั้งห้ามมิให้ดัดแปลงเนื้อหา และต้องอ้างอิงถึงเจ้าของเอกสารทุกครั้งที่มีการนำไปใช้



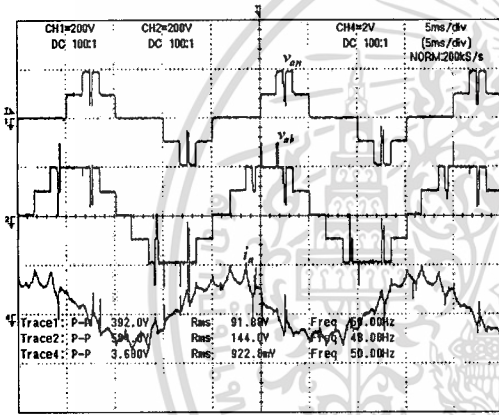
(ก) รูปสัญญาณ  $V_{an}$ ,  $V_{bn}$



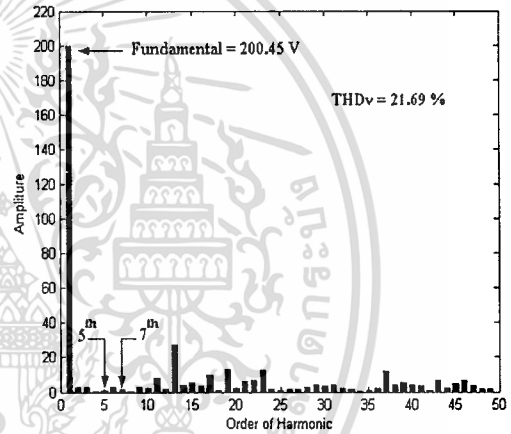
(ข) สเปกตรัมของแรงดันเฟสเอาต์พุต  $V_{an}$

$V_{an}$ ,  $V_{bn} = 200$  V/div, 5 ms/div

รูปที่ ค.19 สัญญาณแรงดันเฟส  $V_{an}$ ,  $V_{bn}$  และ สเปกตรัมของแรงดันเฟส  $V_{an}$  ที่  $f = 50$  Hz



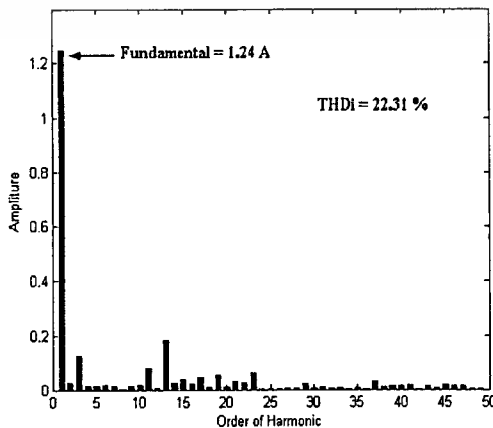
(ก) รูปสัญญาณ  $V_{an}$ ,  $V_{ab}$ ,  $i_a$  ตามลำดับ



(ข) สเปกตรัมของแรงดันไลน์  $V_{ab}$

$V_{an} = 200$ V/div,  $V_{ab} = 200$ V/div,  $i_a = 2$  A/div

รูปที่ ค.20 สัญญาณแรงดันเฟส, แรงดันไลน์, กระแสเอาต์พุต  $V_{an}$ ,  $V_{ab}$ ,  $i_a$  และสเปกตรัมของแรงดันไลน์  $V_{ab}$  ที่  $f = 50$  Hz



เอกสารนี้เป็นเอกสารที่สงวนไว้สำหรับรูปที่ ค.21 สเปกตรัมของกระแสเอาต์พุต  $i_a$  ที่นำไปใช้ประโยชน์ด้านการค้า  
ไม่ว่ากรณีใดๆทั้งสิ้น อีกทั้งห้ามมิให้ดัดแปลงเนื้อหา และต้องอ้างอิงถึงเจ้าของเอกสารทุกครั้งที่มีการนำไปใช้

#### ก.4 สรุป

จากหลักการข้างต้น โดยทำการแบ่งระดับดัชนีมอดูละชั้นออกเป็น 3 ระดับนั้น ทำให้สามารถหาค่ามุมสวิทซ์ที่เหมาะสมเมื่อดัชนีมอดูละชั้นมีค่าต่ำได้ ซึ่งจากผลการจำลองการทำงานของอินเวอร์เตอร์เจ็คระดับชนิดแคสเคด ด้วยโปรแกรม MATLAB/SIMULINK จะเห็นว่าเมื่อดัชนีมอดูละชั้นมีค่าต่ำลงก็จะส่งผลให้ค่าเปอร์เซ็นต์ความผิดเพี้ยน (%THD) ของแรงดันและกระแสที่เอาท์พุทมีค่าเพิ่มมากขึ้น จากผลการทดสอบขั้วมอเตอร์เหนี่ยวนำสามเฟส จะเห็นว่าเมื่อผลสอดคล้องกันกับผลที่ได้จากการจำลองด้วยโปรแกรม MATLAB/SIMULINK กล่าวคือ เมื่อดัชนีมอดูละชั้นมีค่าลดลงก็จะส่งผลให้ค่าเปอร์เซ็นต์ความผิดเพี้ยน (%THD) ของแรงดันและกระแสที่เอาท์พุทมีค่าเพิ่มมากขึ้น และจากการทดสอบขั้วมอเตอร์เหนี่ยวนำสามเฟส พบว่าที่ค่าดัชนีมอดูละชั้นต่ำกว่า 0.4 จะไม่สามารถจ่ายแรงดันขั้วมอเตอร์ให้หมุนได้ เนื่องจากแรงดันที่ค่าดัชนีมอดูละชั้นต่ำกว่า 0.4 นั้น มีขนาดไม่เพียงพอที่จะทำให้มอเตอร์หมุนได้





เอกสารนี้เป็นเอกสารที่สงวนไว้สำหรับการใช้งานเพื่อการศึกษาเท่านั้น ไม่อนุญาตให้นำไปใช้ประโยชน์ด้านการค้า  
 ไม่ว่าจะกรณีใดๆทั้งสิ้น อีกทั้งห้ามมิให้ดัดแปลงเนื้อหา และต้องอ้างอิงถึงเจ้าของเอกสารทุกครั้งที่มีการนำไปใช้

```

;*****
;
;      Filename      : HARMONIC ELIMINATION      *
;
;      Date          : 27/6/2006                *
;
;      Frequency     : 7.3728 MHz at PLL 16x     *
;
;
;
;      Other Files Required: p30F4011.gld, p30f4011.inc *
;
;      Tools Used: MPLAB GL: 7.22              *
;
;      Compiler: 1.30                          *
;
;      Assembler: 1.30                         *
;
;      Linker  : 1.30                          *
;
;
;      Devices Supported by this file: dsPIC 30F4011 *
;*****
;
;      Additional Notes: Balance Source Modulation Index = 1 *
;
;      f = 50 Hz                                         *
;
;*****
;
;      .equ __30F4011, 1
;
;      .include "p30f4011.inc"
;*****
; Configuration bits:
;
;*****
;
;      config __FOSC, CSW_FSCM_OFF & XT_PLL16
;
;      config __FWDT, WDT_OFF
;
;      config __FBORPOR, PBOR_ON & BORV_27 & PWRT_16 & MCLR_DIS
;
;      config __FGS, CODE_PROT_OFF
;
;*****
; Global Declarations:
;
;*****
;
;      .global __reset                                ; The label for the first line of code.
;
;      .global __T1Interrupt                          ; Declare Timer 1 ISR name global

```

เอกสารนี้เป็นเอกสารที่สงวนไว้สำหรับการใช้งานเพื่อการศึกษาเท่านั้น ممنอนุญาตให้นำไปใช้โดยไม่แจ้งขออนุญาต

ไม่ว่ากรณีใดๆทั้งสิ้น อีกทั้งห้ามมิให้ดัดแปลงเนื้อหา และต้องอ้างอิงถึงเจ้าของเอกสารทุกครั้งที่มีการนำไปใช้

```

; *****
;Define Variable and Global Declaration Constants:
; *****

        .bss          COUNT_SWICTH,2
        .global      COUNT_SWICTH
        .bss          S11,2          ;RB0
        .global      S11
        .bss          S13,2          ;RB1
        .global      S13
        .bss          S21,2          ;RB2
        .global      S21
        .bss          S23,2          ;RB3
        .global      S23
        .bss          S31,2          ;RB4
        .global      S31
        .bss          S33,2          ;RB5
        .global      S33
        .bss          SB11,2         ;RB6
        .global      SB11
        .bss          SB13,2         ;RB7
        .global      SB13
        .bss          SB21,2         ;RB8
        .global      SB21
        .bss          SB23,2         ;RE0
        .global      SB23
        .bss          SB31,2         ;RE1
        .global      SB31
        .bss          SB33,2         ;RE2
        .global      SB33
        .bss          SC11,2         ;RE3
        .global      SC11

```

เอกสารนี้เป็นเอกสารที่สงวนไว้สำหรับการใช้งานเพื่อการศึกษานั้น ไม่อนุญาตให้นำไปใช้ประโยชน์ด้านการค้า  
ไม่ว่ากรณีใดๆทั้งสิ้น อีกทั้งห้ามมิให้ดัดแปลงเนื้อหา และต้องอ้างอิงถึงเจ้าของเอกสารทุกครั้งที่มีการนำไปใช้

```

.global      SC13
.bss        SC21,2      ;RE5
.global      SC21
.bss        SC23,2      ;RF0
.global      SC23
.bss        SC31,2      ;RF1
.global      SC31
.bss        SC33,2      ;RF4
.global      SC33
.bss        VT_1,2      ;VARIABLE OF TABLE 1
.global      VT_1
.bss        VT_2,2      ;VARIABLE OF TABLE 2
.global      VT_2
.bss        VT_3,2      ;VARIABLE OF TABLE 3
.global      VT_3
.bss        VT_4,2      ;VARIABLE OF TABLE 4
.global      VT_4
.bss        VT_5,2      ;VARIABLE OF TABLE 5
.global      VT_5
.bss        VT_6,2      ;VARIABLE OF TABLE 6
.global      VT_6
.bss        VT_7,2      ;VARIABLE OF TABLE 7
.global      VT_7
.bss        VT_8,2      ;VARIABLE OF TABLE 8
.global      VT_8
.bss        VT_9,2      ;VARIABLE OF TABLE 9
.global      VT_9
.bss        VT_10,2     ;VARIABLE OF TABLE 10
.global      VT_10
.bss        VT_11,2     ;VARIABLE OF TABLE 11
.global      VT_11
.bss        VT_12,2     ;VARIABLE OF TABLE 12

```

เอกสารนี้เป็นเอกสารที่สงวนไว้สำหรับการใช้งานเพื่อการศึกษาเท่านั้น ไม่อนุญาตให้เผยแพร่ประโยชน์ด้านการค้า  
ไม่ว่ากรณีใดๆทั้งสิ้น อีกทั้งห้ามมิให้ดัดแปลงเนื้อหา และต้องอ้างอิงถึงเจ้าของเอกสารทุกครั้งที่มีการนำไปใช้

```

.global      VT_12
.bss        VT_13,2      ; VARIABLE OF TABLE 13
.global      VT_13
.bss        VT_14,2      ; VARIABLE OF TABLE 14
.global      VT_14
.bss        VT_15,2      ; VARIABLE OF TABLE 15
.global      VT_15
.bss        VT_16,2      ; VARIABLE OF TABLE 16
.global      VT_16
.bss        VT_17,2      ; VARIABLE OF TABLE 17
.global      VT_17
.bss        VT_18,2      ; VARIABLE OF TABLE 18
.global      VT_18
;*****
; Code Section in Program Memory
; *****
.text
__reset:
MOV  #__SP_init, W15      ; Initialize the Stack Pointer
MOV  #__SPLIM_init, W0    ; Initialize the Stack Pointer Limit Register
MOV  W0, SPLIM
NOP                               ; Add NOP to follow SPLIM initialization
CLR  W0                        ; Initialization of W registers to 0x0000
MOV  W0,W14
REPEAT #12
MOV  W0,[++W14]
CLR  W14
CALL Init_PORTS              ; Initialize the I/O ports
CALL Init_TMR                ; initialize TMR

```

เอกสารนี้เป็นเอกสารที่สงวนไว้สำหรับการใช้งานเพื่อการศึกษาเท่านั้น ไม่อนุญาตให้นำไปใช้ประโยชน์ด้านการค้า  
ไม่ว่ากรณีใดๆทั้งสิ้น อีกทั้งห้ามมิให้ดัดแปลงเนื้อหา และต้องอ้างอิงถึงเจ้าของเอกสารทุกครั้งที่มีการนำไปใช้

```

; *****
; Clear All Value of Program *
; *****

CLR  COUNT_SWICHTH
CLR  VT_1
CLR  VT_2
CLR  VT_3
CLR  VT_4
CLR  VT_5
CLR  VT_6
CLR  VT_7
CLR  VT_8
CLR  VT_9
CLR  VT_10
CLR  VT_11
CLR  VT_12
CLR  VT_13
CLR  VT_14
CLR  VT_15
CLR  VT_16
CLR  VT_17
CLR  VT_18
CLR  S11
CLR  S13
CLR  S21
CLR  S23
CLR  S31
CLR  S33
CLR  SB11
CLR  SB13
CLR  SB21
CLR  SB23

```

เอกสารนี้เป็นเอกสารที่สงวนไว้สำหรับการใช้งานเพื่อการศึกษาเท่านั้น ไม่อนุญาตให้นำไปใช้ประโยชน์ด้านการค้า  
ไม่ว่ากรณีใดๆทั้งสิ้น อีกทั้งห้ามมิให้ดัดแปลงเนื้อหา และต้องอ้างอิงถึงเจ้าของเอกสารทุกครั้งที่มีการนำไปใช้

```

CLR SB31
CLR SB33
CLR SC11
CLR SC13
CLR SC21
CLR SC23
CLR SC31
CLR SC33

```

```

;*****
;

```

```

; Start of Program *

```

```

;*****
;

```

```

;*****PHASE A*****
;

```

```

;*****
;

```

```

BEGIN:

```

```

MOV #0,W1

```

```

MOV S11,W2

```

```

CPSEQ W2,W1

```

```

BRA S11_SET

```

```

BRA S11_CLR

```

```

S11_SET: BSET LATB,#RB0

```

```

BRA SW13

```

```

S11_CLR: BCLR LATB,#RB0

```

```

SW13: MOV #0,W3

```

```

MOV S13,W2

```

```

CPSEQ W2,W3

```

```

BRA S13_SET

```

```

BRA S13_CLR

```

```

S13_SET: BSET LATB,#RB1

```

```

BRA SW21

```

```

S13_CLR: BCLR LATB,#RB1

```

เอกสารนี้เป็นเอกสารที่สงวนไว้สำหรับการใช้งานเพื่อการศึกษาเท่านั้น ไม่อนุญาตให้นำไปใช้ประโยชน์ด้านการค้า  
ไม่ว่ากรณีใดๆทั้งสิ้น อีกทั้งห้ามมิให้ดัดแปลงเนื้อหา และต้องอ้างอิงถึงเจ้าของเอกสารทุกครั้งที่มีการนำไปใช้

```

SW21:    MOV        #0,W1
          MOV        S21,W2
          CPSEQ     W1,W2
          BRA        S21_SET
          BRA        S21_CLR
S21_SET: BSET     LATB,#RB2
          BRA        SW23
S21_CLR: BCLR     LATB,#RB2

SW23:    MOV        #0,W3
          MOV        S23,W2
          CPSEQ     W3,W2
          BRA        S23_SET
          BRA        S23_CLR
S23_SET: BSET     LATB,#RB3
          BRA        SW31
S23_CLR: BCLR     LATB,#RB3

SW31:    MOV        #0,W1
          MOV        S31,W2
          CPSEQ     W1,W2
          BRA        S31_SET
          BRA        S31_CLR
S31_SET: BSET     LATB,#RB4
          BRA        SW33
S31_CLR: BCLR     LATB,#RB4

SW33:    MOV        #0,W3
          MOV        S33,W2
          CPSEQ     W3,W2
          BRA        S33_SET
          BRA        S33_CLR

```

```

S33_SET:   BSET      LATB,#RB5
           BRA       SWB11
S33_CLR:   BCLR      LATB,#RB5

```

```

,*****
,*****PHASE B*****
,*****

```

```

SWB11:    MOV       #0,W1
           MOV       SB11,W2
           CPSEQ    W1,W2

```

```

           BRA      SB11_SET
           BRA      SB11_CLR
SB11_SET: BSET      LATB,#RB6
           BRA      SWB13
SB11_CLR: BCLR      LATB,#RB6

```

```

SWB13:    MOV       #0,W3
           MOV       SB13,W2
           CPSEQ    W3,W2
           BRA      SB13_SET
           BRA      SB13_CLR

```

```

SB13_SET: BSET      LATB,#RB7
           BRA      SWB21
SB13_CLR: BCLR      LATB,#RB7

```

```

SWB21:    MOV       #0,W1
           MOV       SB21,W2
           CPSEQ    W1,W2
           BRA      SB21_SET
           BRA      SB21_CLR

```

```

SB21_SET: BSET      LATB,#RB8
           BRA      SWB23

```

```

SB21_CLR: BCLR      LATB,#RB8

```

```

SWB23:    MOV        #0,W3
          MOV        SB23,W2
          CPSEQ     W3,W2
          BRA        SB23_SET
          BRA        SB23_CLR
SB23_SET: BSET     LATE,#RE0
          BRA        SWB31
SB23_CLR: BCLR     LATE,#RE0

```

```

SWB31:    MOV        #0,W1
          MOV        SB31,W2
          CPSEQ     W1,W2
          BRA        SB31_SET
          BRA        SB31_CLR
SB31_SET: BSET     LATE,#RE1
          BRA        SWB33
SB31_CLR: BCLR     LATE,#RE1

```

```

SWB33:    MOV        #0,W3
          MOV        SB33,W2
          CPSEQ     W3,W2
          BRA        SB33_SET
          BRA        SB33_CLR
SB33_SET: BSET     LATE,#RE2
          BRA        SWC11
SB33_CLR: BCLR     LATE,#RE2

```

```

,*****
,*****PHASE C*****
,*****

```

```

SWC11:    MOV        #0,W1

```

เอกสารนี้เป็นเอกสารที่ **MOV** ไว้สำหรับ **SC11,W2** การศึกษาเท่านั้น ไม่อนุญาตให้นำไปใช้ประโยชน์ด้านการค้า  
ไม่ว่ากรณีใดๆทั้งสิ้น อีกทั้งห้ามมิให้ดัดแปลงเนื้อหา และต้องอ้างอิงถึงเจ้าของเอกสารทุกครั้งที่มีการนำไปใช้

```

CPSEQ      W1,W2
BRA        SC11_SET
BRA        SC11_CLR
SC11_SET:  BSET    LATE,#RE3
           BRA     SWC13
SC11_CLR:  BCLR    LATE,#RE3

SWC13:     MOV     #0,W3
           MOV     SC13,W2
           CPSEQ   W3,W2
           BRA     SC13_SET
           BRA     SC13_CLR
SC13_SET:  BSET    LATE,#RE4
           BRA     SWC21
SC13_CLR:  BCLR    LATE,#RE4

SWC21:     MOV     #0,W1
           MOV     SC21,W2
           CPSEQ   W1,W2
           BRA     SC21_SET
           BRA     SC21_CLR
SC21_SET:  BSET    LATE,#RE5
           BRA     SWC23
SC21_CLR:  BCLR    LATE,#RE5

SWC23:     MOV     #0,W3
           MOV     SC23,W2
           CPSEQ   W3,W2
           BRA     SC23_SET
           BRA     SC23_CLR
SC23_SET:  BSET    LATE,#RF0
           BRA     SWC31

```

เอกสารนี้เป็นเอกสารที่สงวนไว้สำหรับใช้เพื่อการศึกษาเท่านั้น ไม่อนุญาตให้นำไปใช้ประโยชน์ด้านการค้า  
ไม่ว่ากรณีใดๆทั้งสิ้น อีกทั้งห้ามมิให้ดัดแปลงเนื้อหา และต้องอ้างอิงถึงเจ้าของเอกสารทุกครั้งที่มีการนำไปใช้

```

SC23_CLR:  BCLR      LATF,#RF0

SWC31:     MOV       #0,W1
           MOV       SC31,W2
           CPSEQ    W1,W2
           BRA      SC31_SET
           BRA      SC31_CLR

SC31_SET:  BSET     LATF,#RF1
           BRA      SWC33

SC31_CLR:  BCLR     LATF,#RF1

SWC33:     MOV       #0,W3
           MOV       SC33,W2
           CPSEQ    W3,W2
           BRA      SC33_SET
           BRA      SC33_CLR

SC33_SET:  BSET     LATF,#RF4
           BRA      BEGIN

SC33_CLR:  BCLR     LATF,#RF4

           BRA      BEGIN

```

```

;*****
; Timer 1 Interrupt Service Routine
;*****

__T1Interrupt:
    BCLR        IFS0,#T1IF    ; Clear the Timer1 Interrupt flag Status bit.
                                ;<<insert user code here>>

    CALL        LOOK_UP

    BTG         LATD,#RD0

    RETFIE      ; Return from Interrupt Service routine

;*****
; End of AllTimer 1 Interrupt Service Routine
;*****
; *****End of All Code Sections*****
.end
; End of program code in this file
;*****

```

```

;*****
;Subroutine:Init_PORTS
;*****

.global      Init_PORTS

Init_PORTS:

    CLR        LATB                ; clear LATB
    MOV        #0x0000,W0          ; set is inputs
    MOV        W0,TRISB

    CLR        LATC                ; clear LATC
    MOV        #0xFF00,W0          ; set is outputs
    MOV        W0,TRISC

    CLR        LATD                ; clear LATD
    MOV        #0x0000,W0          ; set is outputs
    MOV        W0,TRISD

    CLR        LATE                ; clear LATE
    MOV        #0x0000,W0          ; set is outputs
    MOV        W0,TRISE

    CLR        LATF                ; clear LATF
    MOV        #0x0000,W0          ; set is outputs
    MOV        W0,TRISF

    RETURN

;*****
;*****

```

เอกสารนี้เป็นเอกสารที่สงวนไว้สำหรับการใช้งานเพื่อการศึกษาเท่านั้น ไม่อนุญาตให้นำไปใช้ประโยชน์ด้านการค้า  
ไม่ว่ากรณีใดๆทั้งสิ้น อีกทั้งห้ามมิให้ดัดแปลงเนื้อหา และต้องอ้างอิงถึงเจ้าของเอกสารทุกครั้งที่มีการนำไปใช้

```

*****
;Subroutine to Init TMR
*****
.global      Init_TMR

Init_TMR:

    CLR      T1CON      ; Stops the Timer1 and reset control reg.
    CLR      TMR1      ; Clear contents of the timer register
    MOV      #0x0030,W0 ; 1:256
    MOV      W0,T1CON   ;
    MOV      #3540,W0   ; Load the Period register
    MOV      W0,PR1     ; Sampling 120 us = 8.333 kHz
    MOV      #0x6000,W0
    MOV      W0,IPC0
    BCLR     IFS0,#T1IF ; Clear the Timer1 interrupt status flag
    BSET     IEC0,#T1IE ; Enable Timer1 interrupts
    BSET     T1CON,#TON ; Start Timer1
                    ; the internal instruction cycle
    RETURN

*****
;
*****

```

```

;*****
; Subroutine: LOOK_UP_S11
;*****

.global          LOOK_UP

LOOK_UP:

    CP0          COUNT_SWICTH
    BRA          Z,INTI_TABLE1
    BRA          SEND_S11

INTI_TABLE1:

    MOV          #tblpage(S11_TABLE),W4          ;TABLE 1
    MOV          W4,TBLPAG
    MOV          #tbloffset(S11_TABLE),W4
    MOV          W4,VT_1

    MOV          #tblpage(S13_TABLE),W4          ;TABLE 2
    MOV          W4,TBLPAG
    MOV          #tbloffset(S13_TABLE),W4
    MOV          W4,VT_2

    MOV          #tblpage(S21_TABLE),W4          ;TABLE 3
    MOV          W4,TBLPAG
    MOV          #tbloffset(S21_TABLE),W4
    MOV          W4,VT_3

    MOV          #tblpage(S23_TABLE),W4          ;TABLE 4
    MOV          W4,TBLPAG
    MOV          #tbloffset(S23_TABLE),W4
    MOV          W4,VT_4

    MOV          #tblpage(S31_TABLE),W4          ;TABLE 5
    MOV          W4,TBLPAG
    MOV          #tbloffset(S31_TABLE),W4

```

```

MOV          W4,VT_5

MOV          #tblpage(S33_TABLE),W4          ;TABLE 6
MOV          W4,TBLPAG
MOV          #tbloffset(S33_TABLE),W4
MOV          W4,VT_6

MOV          #tblpage(SB11_TABLE),W4        ;TABLE 7
MOV          W4,TBLPAG
MOV          #tbloffset(SB11_TABLE),W4
MOV          W4,VT_7

MOV          #tblpage(SB13_TABLE),W4        ;TABLE 8
MOV          W4,TBLPAG
MOV          #tbloffset(SB13_TABLE),W4
MOV          W4,VT_8

MOV          #tblpage(SB21_TABLE),W4        ;TABLE 9
MOV          W4,TBLPAG
MOV          #tbloffset(SB21_TABLE),W4
MOV          W4,VT_9

MOV          #tblpage(SB23_TABLE),W4        ;TABLE 10
MOV          W4,TBLPAG
MOV          #tbloffset(SB23_TABLE),W4
MOV          W4,VT_10

MOV          #tblpage(SB31_TABLE),W4        ;TABLE 11
MOV          W4,TBLPAG
MOV          #tbloffset(SB31_TABLE),W4
MOV          W4,VT_11

```

เอกสารนี้เป็นเอกสารที่สงวนไว้สำหรับการใช้งานเพื่อการศึกษาเท่านั้น ไม่อนุญาตให้นำไปใช้ประโยชน์ด้านการค้า  
ไม่ว่ากรณีใดๆทั้งสิ้น อีกทั้งห้ามมิให้ดัดแปลงเนื้อหา และต้องอ้างอิงถึงเจ้าของเอกสารทุกครั้งที่มีการนำไปใช้

```

MOV      #tblpage(SB33_TABLE),W4      ;TABLE 12
MOV      W4,TBLPAG
MOV      #tbloffset(SB33_TABLE),W4
MOV      W4,VT_12

```

```

MOV      #tblpage(SC11_TABLE),W4      ;TABLE 13
MOV      W4,TBLPAG
MOV      #tbloffset(SC11_TABLE),W4
MOV      W4,VT_13

```

```

MOV      #tblpage(SC13_TABLE),W4      ;TABLE 14
MOV      W4,TBLPAG
MOV      #tbloffset(SC13_TABLE),W4
MOV      W4,VT_14

```

```

MOV      #tblpage(SC21_TABLE),W4      ;TABLE 15
MOV      W4,TBLPAG
MOV      #tbloffset(SC21_TABLE),W4
MOV      W4,VT_15

```

```

MOV      #tblpage(SC23_TABLE),W4      ;TABLE 16
MOV      W4,TBLPAG
MOV      #tbloffset(SC23_TABLE),W4
MOV      W4,VT_16

```

```

MOV      #tblpage(SC31_TABLE),W4      ;TABLE 17
MOV      W4,TBLPAG
MOV      #tbloffset(SC31_TABLE),W4
MOV      W4,VT_17

```

```

MOV      #tblpage(SC33_TABLE),W4      ;TABLE 18

```

เอกสารนี้เป็นเอกสารที่สงวนลิขสิทธิ์สำหรับการใช้เพื่อการศึกษาเท่านั้น ไม่อนุญาตให้นำไปใช้ประโยชน์ด้านการค้า  
ไม่ว่ากรณีใดๆทั้งสิ้น อีกทั้งห้ามมิให้ดัดแปลงเนื้อหา และต้องอ้างอิงถึงเจ้าของเอกสารทุกครั้งที่มีการนำไปใช้

```
MOV      #tbloffset(SC33_TABLE),W4
MOV      W4,VT_18
```

SEND\_S11:

```
MOV      VT_1,W4
TBLRDL  [W4++],W11          ;OPEN TABLE 1
MOV      W11,S11
MOV      W4,VT_1
```

```
MOV      VT_2,W4
TBLRDL  [W4++],W11          ;OPEN TABLE 2
MOV      W11,S13
MOV      W4,VT_2
```

```
MOV      VT_3,W4
TBLRDL  [W4++],W11          ;OPEN TABLE 3
MOV      W11,S21
MOV      W4,VT_3
```

```
MOV      VT_4,W4
TBLRDL  [W4++],W11          ;OPEN TABLE 4
MOV      W11,S23
MOV      W4,VT_4
```

```
MOV      VT_5,W4
TBLRDL  [W4++],W11          ;OPEN TABLE 5
MOV      W11,S31
MOV      W4,VT_5
```

```
MOV      VT_6,W4
TBLRDL  [W4++],W11          ;OPEN TABLE 6
```

```
MOV      W11,S33
```

เอกสารนี้เป็นเอกสารที่จัดทำขึ้นไว้สำหรับการเรียนการสอน การศึกษาเท่านั้น ไม่อนุญาตให้นำไปใช้ประโยชน์ด้านการค้า  
ไม่ว่ากรณีใดๆทั้งสิ้น อีกทั้งห้ามมิให้ดัดแปลงเนื้อหา และต้องอ้างอิงถึงเจ้าของเอกสารทุกครั้งที่มีการนำไปใช้

```

MOV      W4,VT_6

MOV      VT_7,W4
TBLRDL  [W4++],W11          ;OPEN TABLE 7
MOV      W11,SB11
MOV      W4,VT_7

MOV      VT_8,W4
TBLRDL  [W4++],W11          ;OPEN TABLE 8
MOV      W11,SB13
MOV      W4,VT_8

MOV      VT_9,W4
TBLRDL  [W4++],W11          ;OPEN TABLE 9
MOV      W11,SB21
MOV      W4,VT_9

MOV      VT_10,W4
TBLRDL  [W4++],W11          ;OPEN TABLE 10
MOV      W11,SB23
MOV      W4,VT_10

MOV      VT_11,W4
TBLRDL  [W4++],W11          ;OPEN TABLE 11
MOV      W11,SB31
MOV      W4,VT_11

MOV      VT_12,W4
TBLRDL  [W4++],W11          ;OPEN TABLE 12
MOV      W11,SB33
MOV      W4,VT_12

```

เอกสารนี้เป็นเอกสารที่สงวนไว้สำหรับการใช้งานเพื่อการศึกษาเท่านั้น ไม่อนุญาตให้นำไปใช้ประโยชน์ด้านการค้า  
ไม่ว่ากรณีใดๆทั้งสิ้น อีกทั้งห้ามมิให้ดัดแปลงเนื้อหา และต้องอ้างอิงถึงเจ้าของเอกสารทุกครั้งที่มีการนำไปใช้

```

MOV      VT_13,W4
TBLRDL   [W4++],W11          ;OPEN TABLE 13
MOV      W11,SC11
MOV      W4,VT_13

MOV      VT_14,W4
TBLRDL   [W4++],W11          ;OPEN TABLE 14
MOV      W11,SC13
MOV      W4,VT_14

MOV      VT_15,W4
TBLRDL   [W4++],W11          ;OPEN TABLE 15
MOV      W11,SC21
MOV      W4,VT_15

MOV      VT_16,W4
TBLRDL   [W4++],W11          ;OPEN TABLE 16
MOV      W11,SC23
MOV      W4,VT_16

MOV      VT_17,W4
TBLRDL   [W4++],W11          ;OPEN TABLE 17
MOV      W11,SC31
MOV      W4,VT_17

MOV      VT_18,W4
TBLRDL   [W4++],W11          ;OPEN TABLE 18
MOV      W11,SC33
MOV      W4,VT_18

```

```
CT:      INC      COUNT_SWICTH
```

เอกสารนี้เป็นเอกสารที่ **MOV** #500,W0 สำหรับการใช้งานเพื่อการศึกษาเท่านั้น ไม่อนุญาตให้นำไปใช้ประโยชน์ด้านการค้า  
ไม่ว่ากรณีใดๆทั้งสิ้น อีกทั้งห้ามมิให้ดัดแปลงเนื้อหา และต้องอ้างอิงถึงเจ้าของเอกสารทุกครั้งที่มีการนำไปใช้





.WORD 1,1,1,1,1,1,1,1,1,1,1,1,1,1,1,1,1 ;460  
 .WORD 1,1,1,1,1,1,1,1,1,1,1,1,1,1,1,1,1 ;480  
 .WORD 1,1,1,1,0,0,0,0,0,0,0,0,0,0,0,0,0 ;500

\*\*\*\*\*  
 ; DATA TABLE OF SWICTH S21 \*  
 \*\*\*\*\*

S21\_TABLE:

.WORD 0,0,0,0,0,0,0,0,0,0,0,0,0,1,1,1,1,1,1 ;20  
 .WORD 1,1,1,1,1,1,1,1,1,1,1,1,1,1,1,1,1,1 ;40  
 .WORD 1,1,1,1,1,1,1,1,1,1,1,1,1,1,1,1,1,1 ;60  
 .WORD 1,1,1,1,1,1,1,0,0,0,0,0,0,0,0,0,0,0,0 ;80  
 .WORD 0,0,0,0,0,0,0,0,0,0,0,0,0,0,0,0,0,0,0 ;100  
 .WORD 0,0,0,0,0,0,0,0,0,0,0,0,0,0,0,0,0,0,0 ;120  
 .WORD 0,0,0,0,0,0,0,0,0,0,0,0,0,0,0,0,0,0,0 ;140  
 .WORD 0,0,0,0,0,0,0,0,0,0,0,0,0,0,0,0,0,0,0 ;160  
 .WORD 0,0,0,0,0,0,0,0,0,0,0,0,0,0,1,1,1,1,1,1 ;180  
 .WORD 1,1,1,1,1,1,1,1,1,1,1,1,1,1,1,1,1,1,1 ;200  
 .WORD 1,1,1,1,1,1,1,1,1,1,1,1,1,1,1,1,1,1,1 ;220  
 .WORD 1,1,1,1,1,1,1,1,1,1,1,1,1,1,1,1,1,1,1 ;240  
 .WORD 1,1,1,0,0,0,0,0,0,0,0,0,0,0,0,0,0,0,0 ;260  
 .WORD 0,0,0,0,0,0,0,0,0,0,0,0,0,0,0,0,0,0,0 ;280  
 .WORD 0,0,0,0,0,0,0,0,0,0,0,0,0,0,0,0,0,0,0 ;300  
 .WORD 0,0,0,0,0,0,0,0,0,0,0,0,0,0,0,0,0,0,0 ;320  
 .WORD 0,0,0,0,0,0,0,0,0,0,0,0,0,0,0,0,0,0,0 ;340  
 .WORD 0,0,0,0,0,0,0,0,0,0,0,0,0,0,0,0,0,0,0,1 ;360  
 .WORD 1,1,1,1,1,1,1,1,1,1,1,1,1,1,1,1,1,1,1 ;380  
 .WORD 1,1,1,1,1,1,1,1,0,0,0,0,0,0,0,0,0,0,0,0 ;400  
 .WORD 0,0,0,0,0,0,0,0,0,0,0,0,0,0,0,0,0,0,0,0 ;420  
 .WORD 0,0,0,0,0,0,0,0,0,0,0,0,0,0,0,0,0,0,0,0 ;440  
 .WORD 0,0,0,0,0,0,0,0,0,0,0,0,0,0,0,0,0,0,0,0 ;460  
 .WORD 0,0,0,0,0,0,0,0,0,0,0,0,0,0,0,0,0,0,0,0 ;480

.WORD0,0 ;500

\*\*\*\*\*

; DATA TABLE OF SWITCH S23 \*

\*\*\*\*\*

S23\_TABLE:

.WORD0,0 ;20

.WORD0,0 ;40

.WORD0,0 ;60

.WORD0,0 ;80

.WORD0,0 ;100

.WORD0,0,0,0,0,0,0,0,0,0,1,1,1,1,1,1,1,1,1,1,1 ;120

.WORD1,1,1,1,1,1,1,1,1,1,1,1,1,1,1,1,1,1,1,0,0 ;140

.WORD0,0 ;160

.WORD0,0 ;180

.WORD0,0 ;200

.WORD0,0 ;220

.WORD0,0 ;240

.WORD0,0 ;260

.WORD0,0,0,0,1,1,1,1,1,1,1,1,1,1,1,1,1,1,1,1,1 ;280

.WORD1,1 ;300

.WORD1,1,1,1,1,1,1,1,1,1,1,1,1,1,1,1,1,1,1,0,0 ;320

.WORD0,0 ;340

.WORD0,0 ;360

.WORD0,0 ;380

.WORD0,0 ;400

.WORD0,0 ;420

.WORD0,1 ;440

.WORD1,1 ;460

.WORD1,1 ;480

.WORD1,1,1,1,1,1,1,1,1,1,1,1,1,1,0,0,0,0,0,0,0 ;500

เอกสารนี้เป็นเอกสารที่สงวนไว้สำหรับการใช้งานเพื่อการศึกษาเท่านั้น ไม่อนุญาตให้นำไปใช้ประโยชน์ด้านการค้า  
ไม่ว่ากรณีใดๆทั้งสิ้น อีกทั้งห้ามมิให้ดัดแปลงเนื้อหา และต้องอ้างอิงถึงเจ้าของเอกสารทุกครั้งที่มีการนำไปใช้

```

*****
; DATA TABLE OF SWICTH S31
*****

```

S31\_TABLE:

.WORD0,0,0,0,0,1,1,1,1,1,1,1,1,1,1,1,1,1	;20
.WORD1,1,1,1,1,1,1,1,1,1,1,1,1,1,1,1,1	;40
.WORD1,1,1,1,1,1,1,1,1,1,1,1,1,1,1,1,1	;60
.WORD1,1,1,1,1,1,1,1,1,1,1,1,1,1,1,0,0	;80
.WORD0,0,0,0,0,0,0,0,0,0,0,0,0,0,0,0,0	;100
.WORD0,0,0,0,0,0,0,0,0,0,0,0,0,0,0,0,0	;120
.WORD0,0,0,0,0,0,0,0,0,0,0,0,0,0,0,0,0	;140
.WORD0,0,0,0,0,0,0,0,0,0,0,0,0,0,0,0,0	;160
.WORD0,0,0,0,0,0,0,0,0,0,0,0,0,0,0,0,0	;180
.WORD0,0,0,0,0,0,0,0,0,0,0,0,0,1,1,1,1,1	;200
.WORD1,1,1,1,1,1,1,1,1,1,1,1,1,1,1,1,1	;220
.WORD1,1,0,0,0,0,0,0,0,0,0,0,0,0,0,0,0	;240
.WORD0,0,0,0,0,0,0,0,0,0,0,0,0,0,0,0,0	;260
.WORD0,0,0,0,0,0,0,0,0,0,0,0,0,0,0,0,0	;280
.WORD0,0,0,0,0,0,0,0,0,0,0,0,0,0,0,0,0	;300
.WORD0,0,0,0,0,0,0,0,0,0,0,0,0,0,0,0,0	;320
.WORD0,0,0,0,0,0,0,0,0,0,0,0,0,0,0,0,0	;340
.WORD0,0,0,0,0,0,0,1,1,1,1,1,1,1,1,1,1,1	;360
.WORD1,1,1,1,1,1,1,1,1,1,1,1,1,1,1,1,1	;380
.WORD1,1,1,1,1,1,1,1,1,1,1,1,1,1,1,1,1	;400
.WORD1,0,0,0,0,0,0,0,0,0,0,0,0,0,0,0,0	;420
.WORD0,0,0,0,0,0,0,0,0,0,0,0,0,0,0,0,0	;440
.WORD0,0,0,0,0,0,0,0,0,0,0,0,0,0,0,0,0	;460
.WORD0,0,0,0,0,0,0,0,0,0,0,0,0,0,0,0,0	;480
.WORD0,0,0,0,0,0,0,0,0,0,0,0,0,0,0,0,0	;500

```

*****
; DATA TABLE OF SWITCH S33
*****

```

เอกสารนี้เป็นเอกสารที่สงวนไว้สำหรับการใช้งานเพื่อการศึกษเท่านั้น เมื่อนุญต์เห็นาเบเซบระเยชนดานการค้ำ  
ไม่ว่ากรณีใดๆทั้งสิ้น อีกทั้งห้ามมิให้ดัดแปลงเนื้อหา และต้องอ้างอิงถึงเจ้าของเอกสารทุกครั้งที่มีการนำไปใช้

S33\_TABLE:

.WORD0,0	;20
.WORD0,0	;40
.WORD0,0	;60
.WORD0,0	;80
.WORD0,0,0,0,0,0,0,0,0,0,0,0,0,0,0,0,0,0,0,1,1,1	;100
.WORD1,1	;120
.WORD1,1	;140
.WORD1,1,1,1,1,1,1,1,1,1,1,1,1,1,0,0,0,0,0,0,0,0	;160
.WORD0,0	;180
.WORD0,0	;200
.WORD0,0	;220
.WORD0,0	;240
.WORD0,0,0,0,0,0,0,0,0,0,0,0,0,0,0,0,0,0,0,1,1,1,1	;260
.WORD1,1	;280
.WORD1,1	;300
.WORD1,1	;320
.WORD1,1,1,1,1,1,1,1,0,0,0,0,0,0,0,0,0,0,0,0,0,0	;340
.WORD0,0	;360
.WORD0,0	;380
.WORD0,0	;400
.WORD0,0	;420
.WORD0,0	;440
.WORD0,0,0,1,1,1,1,1,1,1,1,1,1,1,1,1,1,1,1,1,1,1	;460
.WORD1,1,1,1,1,1,1,1,1,1,1,1,1,1,0,0,0,0,0,0,0,0	;480
.WORD0,0	;500

\*\*\*\*\*

; DATA TABLE OF SWITCH SB11 \*

\*\*\*\*\*

SB11\_TABLE:

.WORD0,0 ;20

.WORD0,0 ;40

.WORD0,0	;60
.WORD0,0	;80
.WORD0,0,1	;100
.WORD1,1,1,1,1,1,1,1,1,1,1,0,0,0,0,0,0,0,0,0,0,0	;120
.WORD0,0	;140
.WORD0,0	;160
.WORD0,0	;180
.WORD0,0	;200
.WORD0,0	;220
.WORD0,0,0,0,0,0,0,0,0,0,0,0,0,0,0,0,0,0,1,1,1,1	;240
.WORD1,1	;260
.WORD1,1	;280
.WORD1,1,1,1,1,1,1,1,1,1,0,0,0,0,0,0,0,0,0,0,0,0	;300
.WORD0,0	;320
.WORD0,0	;340
.WORD0,0	;360
.WORD0,0	;380
.WORD0,0,0,0,0,0,0,0,0,0,0,0,0,0,0,0,1,1,1,1,1,1	;400
.WORD1,1	;420
.WORD1,1	;440
.WORD1,1	;460
.WORD1,1,1,1,1,1,0,0,0,0,0,0,0,0,0,0,0,0,0,0,0,0	;480
.WORD0,0	;500

\*\*\*\*\*

; DATA TABLE OF SWITCH SB13

\*

\*\*\*\*\*

SB13\_TABLE:

.WORD1,1	;20
.WORD1,1	;40
.WORD0,0	;60
.WORD0,0	;80

เอกสาร .WORD0,0 การศึกษาเท่านั้น ไม่อนุญาตให้ให้นำไปใช้ประโยชน์ด้านการค้า

ไม่ว่ากรณีใดๆทั้งสิ้น อีกทั้งห้ามมิให้ดัดแปลงเนื้อหา และต้องอ้างอิงถึงเจ้าของเอกสารทุกครั้งที่มีการนำไปใช้



.WORD 0,0,0,0,0,0,0,0,0,0,0,0,0,0,0,0,0,0,0 ;180

.WORD 0,0,0,0,0,0,0,0,0,0,0,0,0,0,0,0,0,0,0 ;200

.WORD 0,0,0,0,0,0,0,0,0,0,0,0,0,0,0,0,0,0,0 ;220

.WORD 0,0,0,0,0,0,0,1,1,1,1,1,1,1,1,1,1,1,1 ;240

.WORD 1,1,1,1,1,1,1,1,1,1,1,1,1,1,1,1,1,1,1 ;260

.WORD 1,1,1,1,1,1,1,1,1,1,1,1,1,1,1,1,1,1,1 ;280

.WORD 1,1,1,1,1,1,1,1,1,1,1,1,1,1,1,1,1,1,0 ;300

.WORD 0,0,0,0,0,0,0,0,0,0,0,0,0,0,0,0,0,0,0 ;320

.WORD 0,0,0,0,0,0,0,0,0,0,0,0,0,0,0,0,0,0,0 ;340

.WORD 0,0,0,0,0,0,0,0,0,0,0,0,0,0,0,0,0,0,0 ;360

.WORD 0,0,0,0,0,0,0,0,0,0,0,0,0,0,0,0,0,0,0 ;380

.WORD 0,0,0,0,0,0,0,0,0,0,0,0,0,0,0,0,0,0,0 ;400

.WORD 0,0,0,0,0,0,0,0,0,0,0,0,0,0,0,0,1,1,1,1 ;420

.WORD 1,1,1,1,1,1,1,1,1,1,1,1,1,1,1,1,1,1,1 ;440

.WORD 1,1,1,1,0,0,0,0,0,0,0,0,0,0,0,0,0,0,0,0 ;460

.WORD 0,0,0,0,0,0,0,0,0,0,0,0,0,0,0,0,0,0,0,0 ;480

.WORD 0,0,0,0,0,0,0,0,0,0,0,0,0,0,0,0,0,0,0,0 ;500

\*\*\*\*\*

; DATA TABLE OF SWITCH SB23 \*

\*\*\*\*\*

SB23\_TABLE:

.WORD 1,1,1,1,1,1,1,1,1,1,1,1,1,1,1,1,1,1,1 ;20

.WORD 1,1,1,1,1,1,1,1,1,1,1,1,1,1,1,1,1,1,1 ;40

.WORD 1,1,1,1,1,1,1,1,1,0,0,0,0,0,0,0,0,0,0,0 ;60

.WORD 0,0,0,0,0,0,0,0,0,0,0,0,0,0,0,0,0,0,0,0 ;80

.WORD 0,0,0,0,0,0,0,0,0,0,0,0,0,0,0,0,0,0,0,0 ;100

.WORD 0,0,0,0,0,0,0,0,0,0,0,0,0,0,0,0,0,0,0,0 ;120

.WORD 0,0,0,0,0,0,0,0,0,0,0,0,0,0,0,0,0,0,0,0 ;140

.WORD 0,0,0,0,0,0,0,0,0,0,0,0,0,0,0,0,0,0,0,0 ;160

.WORD 0,0,0,0,0,0,1,1,1,1,1,1,1,1,1,1,1,1,1,1 ;180

.WORD 1,1,1,1,1,1,1,1,1,1,1,1,1,1,1,0,0,0,0,0 ;200

.WORD 0,0,0,0,0,0,0,0,0,0,0,0,0,0,0,0,0,0,0,0 ;220





.WORD 1,1 ;360  
 .WORD 1,1 ;380  
 .WORD 1,1,0,0,0,0,0,0,0,0,0,0,0,0,0,0,0,0,0,0,0 ;400  
 .WORD 0,0 ;420  
 .WORD 0,0 ;440  
 .WORD 0,0 ;460  
 .WORD 0,0 ;480  
 .WORD 0,0,0,0,0,0,0,0,0,0,0,0,0,0,0,0,0,0,0,1,1 ;500

\*\*\*\*\*  
 ;

; DATA TABLE OF SWITCH SC11 \*

\*\*\*\*\*  
 ;

SC11\_TABLE:

.WORD 0,0 ;20  
 .WORD 0,0 ;40  
 .WORD 0,0 ;60  
 .WORD 0,0 ;80  
 .WORD 0,0 ;100  
 .WORD 0,0 ;120  
 .WORD 0,0,0,0,0,1,1,1,1,1,1,1,1,1,1,1,1,1,1,1,1 ;140  
 .WORD 1,1 ;160  
 .WORD 1,0 ;180  
 .WORD 0,0 ;200  
 .WORD 0,0 ;220  
 .WORD 0,0 ;240  
 .WORD 0,0 ;260  
 .WORD 0,0 ;280  
 .WORD 0,0,1,1,1,1,1,1,1,1,1,1,1,1,1,1,1,1,1,1,1 ;300  
 .WORD 1,1 ;320  
 .WORD 1,1 ;340  
 .WORD 1,1,1,1,1,1,1,1,1,1,1,1,1,1,1,1,0,0,0,0,0 ;360  
 .WORD 0,0 ;380

เอกสาร: WORD 0,0 การศึกษาเท่านั้น ไม่อนุญาตให้ให้นำไปใช้ประโยชน์ด้านการค้า  
 ไม่ว่ากรณีใดๆทั้งสิ้น อีกทั้งห้ามมิให้ดัดแปลงเนื้อหา และต้องอ้างอิงถึงเจ้าของเอกสารทุกครั้งที่มีการนำไปใช้

.WORD0,0 ;420  
.WORD0,0 ;440  
.WORD0,0 ;460  
.WORD0,0,0,0,0,0,0,0,0,0,0,0,0,0,0,1,1,1,1,1,1,1,1,1,1,1,1,1,1,1,1,1 ;480  
.WORD1,1 ;500

\*\*\*\*\*

; DATA TABLE OF SWITCH SC13

\*

\*\*\*\*\*

SC13\_TABLE:

.WORD0,0 ;20  
.WORD0,1,1,1,1,1,1,1,1,1,1,1,1 ;40  
.WORD1,1 ;60  
.WORD1,1 ;80  
.WORD1,1 ;100  
.WORD1,1,1,1,1,0 ;120  
.WORD0,0 ;140  
.WORD0,0 ;160  
.WORD0,0 ;180  
.WORD0,0 ;200  
.WORD0,0 ;220  
.WORD0,1 ;240  
.WORD1,1,1,1,1,1,1,1,1,1,0 ;260  
.WORD0,0 ;280  
.WORD0,0 ;300  
.WORD0,0 ;320  
.WORD0,0 ;340  
.WORD0,0 ;360  
.WORD0,1,1,1,1,1,1,1 ;380  
.WORD1,1 ;400  
.WORD1,1 ;420  
.WORD1,1,1,1,1,1,1,1,1,0 ;440  
.WORD0,0 ;460



\*\*\*\*\*

; DATA TABLE OF SWITCH SC23

\*

\*\*\*\*\*

SC23\_TABLE:

.WORD0,0,0,0,0,0,0,0,0,0,0,0,0,0,0,0,0,0	;20
.WORD0,0,0,0,0,0,0,0,0,0,0,0,0,0,0,0,0,0	;40
.WORD0,0,0,0,0,0,0,0,0,0,0,0,0,0,1,1,1,1	;60
.WORD1,1,1,1,1,1,1,1,1,1,1,1,1,1,1,1,1,1	;80
.WORD1,1,1,0,0,0,0,0,0,0,0,0,0,0,0,0,0,0	;100
.WORD0,0,0,0,0,0,0,0,0,0,0,0,0,0,0,0,0,0	;120
.WORD0,0,0,0,0,0,0,0,0,0,0,0,0,0,0,0,0,0	;140
.WORD0,0,0,0,0,0,0,0,0,0,0,0,0,0,0,0,0,0	;160
.WORD0,0,0,0,0,0,0,0,0,0,0,0,0,0,0,0,0,0	;180
.WORD0,0,0,0,0,0,0,0,0,0,0,0,0,0,0,0,0,0	;200
.WORD0,0,0,0,0,0,0,0,1,1,1,1,1,1,1,1,1,1	;220
.WORD1,1,1,1,1,1,1,1,1,1,1,1,1,1,1,1,1,1	;240
.WORD1,1,1,1,1,1,1,1,1,1,1,1,1,1,1,1,1,1	;260
.WORD1,1,0,0,0,0,0,0,0,0,0,0,0,0,0,0,0,0	;280
.WORD0,0,0,0,0,0,0,0,0,0,0,0,0,0,0,0,0,0	;300
.WORD0,0,0,0,0,0,0,0,0,0,0,0,0,0,0,0,0,0	;320
.WORD0,0,0,0,0,0,0,0,0,0,0,0,0,0,0,0,0,0	;340
.WORD0,0,0,0,0,0,0,0,0,0,0,0,0,0,0,0,0,0	;360
.WORD0,0,0,0,0,0,1,1,1,1,1,1,1,1,1,1,1,1	;380
.WORD1,1,1,1,1,1,1,1,1,1,1,1,1,1,1,1,1,1	;400
.WORD1,1,1,1,1,1,1,1,1,1,1,1,1,1,1,1,1,1	;420
.WORD1,1,1,1,1,1,1,1,1,1,1,1,1,1,1,1,0,0	;440
.WORD0,0,0,0,0,0,0,0,0,0,0,0,0,0,0,0,0,0	;460
.WORD0,0,0,0,0,0,0,0,0,0,0,0,0,0,0,0,0,0	;480
.WORD0,0,0,0,0,0,0,0,0,0,0,0,0,0,0,0,0,0	;500

\*\*\*\*\*

; DATA TABLE OF SWITCH SC31

\*

SC31\_TABLE:

.WORD1,1,1,1,1,1,1,1,1,1,1,1,1,1,1,1,1,1	;20
.WORD1,0,0,0,0,0,0,0,0,0,0,0,0,0,0,0,0,0	;40
.WORD0,0,0,0,0,0,0,0,0,0,0,0,0,0,0,0,0,0	;60
.WORD0,0,0,0,0,0,0,0,0,0,0,0,0,0,0,0,0,0	;80
.WORD0,0,0,0,0,0,0,0,0,0,0,0,0,0,0,0,0,0	;100
.WORD0,0,0,0,0,0,0,0,0,0,0,0,0,0,0,0,0,0	;120
.WORD0,0,0,0,0,0,0,0,0,0,0,0,0,0,0,0,1,1	;140
.WORD1,1,1,1,1,1,1,1,1,1,1,1,1,1,1,1,1,1	;160
.WORD1,1,1,1,1,1,0,0,0,0,0,0,0,0,0,0,0,0	;180
.WORD0,0,0,0,0,0,0,0,0,0,0,0,0,0,0,0,0,0	;200
.WORD0,0,0,0,0,0,0,0,0,0,0,0,0,0,0,0,0,0	;220
.WORD0,0,0,0,0,0,0,0,0,0,0,0,0,0,0,0,0,0	;240
.WORD0,0,0,0,0,0,0,0,0,0,0,0,0,0,0,0,0,0	;260
.WORD0,0,0,0,0,0,0,0,0,0,0,0,0,0,0,0,0,0	;280
.WORD0,0,0,0,0,0,0,0,0,0,0,0,1,1,1,1,1,1	;300
.WORD1,1,1,1,1,1,1,1,1,1,1,1,1,1,1,1,1,1	;320
.WORD1,1,1,1,1,1,1,1,1,1,1,1,1,1,1,1,1,1	;340
.WORD1,1,1,1,0,0,0,0,0,0,0,0,0,0,0,0,0,0	;360
.WORD0,0,0,0,0,0,0,0,0,0,0,0,0,0,0,0,0,0	;380
.WORD0,0,0,0,0,0,0,0,0,0,0,0,0,0,0,0,0,0	;400
.WORD0,0,0,0,0,0,0,0,0,0,0,0,0,0,0,0,0,0	;420
.WORD0,0,0,0,0,0,0,0,0,0,0,0,0,0,0,0,0,0	;440
.WORD0,0,0,0,0,0,0,0,0,1,1,1,1,1,1,1,1,1	;460
.WORD1,1,1,1,1,1,1,1,1,1,1,1,1,1,1,1,1,1	;480
.WORD1,1,1,1,1,1,1,1,1,1,1,1,1,1,1,1,1,1	;500

\*\*\*\*\*  
; DATA TABLE OF SWITCH SC33 \*  
\*\*\*\*\*

SC33\_TABLE:

.WORD0,0,0,0,0,0,0,0,0,0,0,0,0,0,0,0,0,0	;20
--	-----

เอกสาร: WORD0,0,0,0,0,0,0,0,0,0,0,0,0,0,0,0,0,0 การศึกษาเท่านั้น ไม่อนุญาตให้นำไปใช้ประโยชน์ด้านการค้า  
ไม่ว่ากรณีใดๆทั้งสิ้น อีกทั้งห้ามมิให้ดัดแปลงเนื้อหา และต้องอ้างอิงถึงเจ้าของเอกสารทุกครั้งที่มีการนำไปใช้

.WORD0,0,1,1,1,1,1,1,1,1,1,1,1,1,1,1,1,1 ;60  
 .WORD1,1,1,1,1,1,1,1,1,1,1,1,1,1,1,1,1,1 ;80  
 .WORD1,1,1,1,1,1,1,1,1,1,1,1,1,1,1,1,0,0,0,0 ;100  
 .WORD0,0,0,0,0,0,0,0,0,0,0,0,0,0,0,0,0,0,0,0 ;120  
 .WORD0,0,0,0,0,0,0,0,0,0,0,0,0,0,0,0,0,0,0,0 ;140  
 .WORD0,0,0,0,0,0,0,0,0,0,0,0,0,0,0,0,0,0,0,0 ;160  
 .WORD0,0,0,0,0,0,0,0,0,0,0,0,0,0,0,0,0,0,0,0 ;180  
 .WORD0,0,0,0,0,0,0,0,0,0,0,0,0,0,0,0,0,0,0,1 ;200  
 .WORD1,1,1,1,1,1,1,1,1,1,1,1,1,1,1,1,1,1,1,1 ;220  
 .WORD1,1,1,1,1,1,1,1,1,1,1,1,1,1,1,1,1,1,1,1 ;240  
 .WORD1,1,1,1,1,1,1,1,1,1,1,1,1,1,1,1,1,1,1,1 ;260  
 .WORD1,1,1,1,1,1,1,1,1,1,1,1,1,1,0,0,0,0,0,0,0,0 ;280  
 .WORD0,0 ;300  
 .WORD0,0 ;320  
 .WORD0,0 ;340  
 .WORD0,0 ;360  
 .WORD0,0 ;380  
 .WORD0,0,0,0,0,0,0,0,1,1,1,1,1,1,1,1,1,1,1,1,1,1 ;400  
 .WORD1,1,1,1,1,1,1,1,1,1,1,1,1,1,1,1,1,1,0,0,0,0 ;420  
 .WORD0,0 ;440  
 .WORD0,0 ;460  
 .WORD0,0 ;480  
 .WORD0,0 ;500

;\*\*\*\*\*

เอกสารนี้เป็นเอกสารที่สงวนไว้สำหรับการใช้งานเพื่อการศึกษาเท่านั้น ไม่อนุญาตให้นำไปใช้ประโยชน์ด้านการค้า  
 ไม่ว่ากรณีใดๆทั้งสิ้น อีกทั้งห้ามมิให้ดัดแปลงเนื้อหา และต้องอ้างอิงถึงเจ้าของเอกสารทุกครั้งที่มีการนำไปใช้

ภาคผนวก จ

บทความที่ได้รับการตีพิมพ์

1. อินเวอร์เตอร์สามระดับ โดยใช้เทคนิคการกำจัดฮาร์มอนิกส์
2. อินเวอร์เตอร์หลายระดับชนิดแคสเคดแหล่งจ่ายที่มีการส่งผ่านกำลังไฟฟ้าสมดุล โดยใช้เทคนิคการกำจัดฮาร์มอนิกส์ที่เหมาะสม



ISSN 0125-1724

วิศวกรรม

# ลาดกระบัง

คณวิศวกรรมศาสตร์ สถาบันเทคโนโลยีพระจอมเกล้าเจ้าคุณทหารลาดกระบัง

## LADKRABANG ENGINEERING JOURNAL

ปีที่ 20 ฉบับที่ 4

ธันวาคม 2546

1. วงจรบดสแตมป์ในซีเอ็มเอสอินเวอร์เตอร์แบบป้องกันไฟฟ้าสถิตย์โดยใช้ไดโอดแรงดัน	1
ศิริวัฒน์ สิมโพบุญดี กอบชัย เศรษฐัญ วิจิตต์ แก้วไพฑูริย์ รินณ กอพิศกสินทร์	
2. วงจรความต้านทานแปรค่าได้ด้วยแรงดันแบบมอสเฟตต่อกราวด์ที่มีการชดเชยอุณหภูมิ	6
พิพัฒน์ พรหมมี เบนรัตน์ หวังนุช กอบชัย เศรษฐัญ มนต์รี สมดุลอกนก	
3. วงจรสายพจนกระแสนับถั่วอินพุทเป็นแรงดันความแตกต่างโดยใช้เทคโนโลยีซีเอ็มเอส	12
มนตรี ศำเงิน พิพัฒน์ พรหมมี กอภิกษี สุปรีย์ กอบชัย เศรษฐัญ	
4. วงจรถอดรอกที่ส่งให้แตรกระแส	18
อภิสิทธิ์ ชัยสามัคคี ธนิตา จันทรศิริ สมเกียรติ เจริญพรานทอง	
5. การประยุกต์ใช้การจำลองแบบหนึ่งมิติกับเทรนนิ่งเซลล์รอกก่อนนำไปใช้จริง	23
โสภณ พรหมชัย โยธินิ ชัยวุฒิระ เจริญพงษ์ เพ็ชรภู	
6. การตัดต้นโงแก่ตามข้อต่อเพื่อใช้ในกระบวนการผลิตด้วยวิธีเชื่อมบัดวีวีซี	29
ประทีป สิมประเสริฐ พิเชษฐ ม่วงนวล	
7. การปรับปรุงประสิทธิภาพของระบบสื่อสาร FH-CDMA ด้วยเทคนิคการแปลงเป็นสัญญาณความถี่เสียงแบบหลายเส้นความถี่	35
สมยศ หรรษาสุตสิน สมยศ จุฑะปะนิกะ พิเชษฐ ม่วงนวล	
8. การศึกษาและพัฒนาระบบแปลงแรงดันไฮสวิตติงแบบอนุพัทธ์	41
ภรุต รัตนกำพล ประภาชน ไพรสุวรรณา	
9. การจัดตั้งพื้นที่วางฉนวนสำหรับสถานีไฟฟ้าชื่อย	47
ทวีทิศา สว่างคอมภักดีภา นนทพล สว่างจันทร์ภาณุรักษ์	
10. อินเวอร์เตอร์สามระดับโดยใช้เทคนิคการจำกัดฮาร์มอนิก	53
สิทธิพร เขียวอินทสุภษี วิจิตร กิมเรศ	
11. การประเมินค่ากระแสสแต็ทเจอร์เนื่องจากกลุ่มขดลวดอินเวอร์ชันโดยใช้แบบจำลองการรวมกลุ่ม	59
วิไลภ สุวรรณเวช สานันท์วิวัฒน์ คุณากร	
12. การออกแบบและวิเคราะห์วงจรใหม่คณเวกเตอร์สำหรับระบบแปลงมอเตอร์ไฟฟ้าเหนี่ยวนำสองเฟส	65
ราชา อารีระพันธ์ วิจิตร กิมเรศ	
13. การป้องกันสายส่งโดยอาศัยการวิเคราะห์ทางแบบปรับเปลี่ยนได้สำหรับสายส่งแรงดัน	71
ไพโรจน์ เทียนทอง มณฑล สีลาจินตวโรสุภษ	
14. การแปลงเวฟสี่เหลี่ยมกับโครงข่ายประสาทเทียมสองชนิดสำหรับกระบวนการค้นหาแหล่งพอสัมผัสสายส่ง	77
อรอนพด เวฬุพิทักษ์กุล สุวี บรรจงจิตร บุญเลิศ สีสง	
15. การวางแผนโดยคำนึงถึงความเชื่อถือได้ของระบบส่งกำลังไฟฟ้าโดยใช้ความเสียหายเนื่องจากไฟฟ้าดับของผู้ใช้ไฟ	83
วราวุธ วิจิตพันธ์ มณฑล สีลาจินตวโรสุภษ	
16. จลนพลศาสตร์ของระบบเติมไอโดโรเจนกับขั้วคาร์บอนไดออกไซด์บนตัวเร่งปฏิกิริยา Rh-Fe/SiO <sub>2</sub>	89
เทอดไทย วัฒนธรรม ศิริพันธ์ บุรธาธิญัสภินันท์	
17. การสังเคราะห์นำมันดีเซลชีวภาพในเครื่องปฏิกรณ์ระบบสองเนื่องแบบท่อ	94
อนวัช ตระกูลกันนทร์ ประภคณ กิจไชยา	

เอกสารนี้เป็นเอกสารที่สงวนไว้สำหรับการใช้งานเพื่อการศึกษาเท่านั้น ไม่อนุญาตให้นำไปใช้ประโยชน์ด้านการค้า  
ไม่ว่ากรณีใดๆทั้งสิ้น อีกทั้งห้ามมิให้ตัดแปลงเนื้อหา และต้องอ้างอิงถึงเจ้าของเอกสารทุกครั้งที่มีการนำไปใช้

# อินเวอร์เตอร์สามระดับโดยใช้เทคนิคการกำจัดฮาร์มอนิกส์

## A Three-Level Inverter Based on Harmonic Elimination Method

สิทธิพร เจียรนันทพิสุทธิ

วิจิตร กิณเรศ

ภาควิชาวิศวกรรมไฟฟ้า คณะวิศวกรรมศาสตร์ สถาบันเทคโนโลยีพระจอมเกล้าเจ้าคุณทหารลาดกระบัง

### บทคัดย่อ

บทความนี้นำเสนอ 3  $\phi$  ที่ขับเคลื่อนอินเวอร์เตอร์สามระดับ หรือ นิวทรัลพอยท์แคลมป์อินเวอร์เตอร์ (NPC) ซึ่งในแต่ละกิ่งของวงจรหลักประกอบด้วยสวิตช์หลักสองตัว, สวิตช์ช่วยสองตัว และไดโอดช่วยสองตัว ซึ่งถูกควบคุมด้วยไมโครโปรเซสเซอร์ โดยการใช้เทคนิค PWM ที่กำจัดฮาร์มอนิกที่ไม่ต้องการออกไป ในบทความนี้ได้นำเสนอหลักการการทำงาน และ การวิเคราะห์เทคนิคที่จับกับวิธีเชื่อมโยงละเอียด, มีการจำลองการทำงานด้วยโปรแกรม PSPICE เพื่อยืนยันความถูกต้องของวงจรซึ่งให้ผลเป็นที่น่าพอใจ

### Abstract

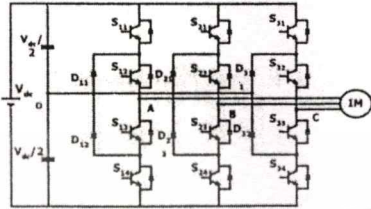
This paper presents a three-phase three level PWM Inverter so-called Neutral-Point-Clamped Inverter. Each branch of the main power circuit consists of two main switches, two auxiliary switches and two auxiliary diodes. This is controlled by a microprocessor using a harmonic elimination method. The principle and analysis of PWM technique are fully given. Also simulation using PSPICE program is included in order to verify correct operation of the circuit.

### 1. บทนำ

จากงานวิจัยในอดีตจนถึงปัจจุบันได้มีความพยายามที่จะนำอินเวอร์เตอร์แบบทั่วไป (อินเวอร์เตอร์สองระดับคือ มีระดับแรงดันระหว่างไลน์ เป็น 0 กับ  $+V_{dc}$  หรือ 0 กับ  $-V_{dc}$ ) มาใช้งานในระบบขับเคลื่อนกำลัง และแรงดันสูง แต่ด้วยข้อจำกัดของอุปกรณ์สวิตชิง และตัวเก็บประจุในด้านระดับของแรงดันที่รับได้ และกำลังสูญเสียที่เพิ่มขึ้นจากการใช้ความถี่สวิตชิงสูงขึ้นเพื่อลดฮาร์มอนิก ทำให้ไม่สามารถนำอินเวอร์เตอร์สองระดับไปใช้งานที่มีกำลังสูงได้ [2]

ดังนั้นจึงได้มีการคิดค้นอินเวอร์เตอร์สามระดับขึ้น

โดยมีวงจรสมมูล ดังรูปที่ 1 (a) ส่วนรูปที่ 2 (b) แสดงแรงดันระหว่างไลน์เอาต์พุตของอินเวอร์เตอร์สามระดับ ที่มีระดับแรงดันเป็น  $+V_{dc}$ ,  $+V_{dc}/2$  และ 0 หรือ  $-V_{dc}$ ,  $-V_{dc}/2$  และ 0 ทำให้รูปคลื่นเอาต์พุตที่มีฮาร์มอนิกต่ำกว่าอินเวอร์เตอร์สองระดับที่ความถี่สวิตชิงเดียวกันเนื่องจากระดับแรงดันที่เพิ่มขึ้น แต่เนื่องจากที่ระดับกำลังสูง ๆ นั้นจะมีปัญหาที่ความถี่สวิตชิงสูง ซึ่งในบทความนี้จะนำเสนอ เทคนิค PWM แบบการกำจัดฮาร์มอนิกที่ไม่ต้องการ มาใช้กับอินเวอร์เตอร์สามระดับ เพื่อลดปัญหาทางด้านความถี่ สวิตชิง



(a)

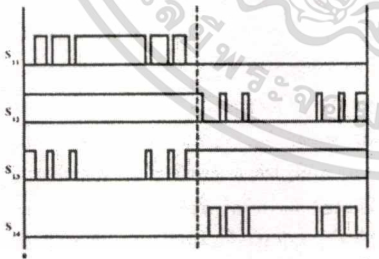


(b)

รูปที่ 1 (a) วงจรสมมูลของอินเวอร์เตอร์สามระดับ (b) แรงดันระหว่างไลน์เอ๊าท์พุท

2. หลักการทำงานของอินเวอร์เตอร์สามระดับ

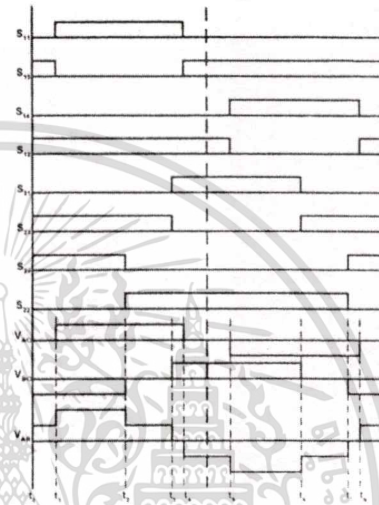
จากรูปที่ 1 (a) จะเห็นว่าในแต่ละกิ่งของอินเวอร์เตอร์สามระดับจะประกอบด้วย สวิตช์หลัก  $S_{11}$  กับ  $S_{14}$  ที่ทำหน้าที่เหมือนในอินเวอร์เตอร์สองระดับ ส่วนสวิตช์ช่วย  $S_{12}$  กับ  $S_{13}$  ทำหน้าที่แคสเมปแรงดันขึ้นกับจุดนิวทรัลที่ขั้วเอ๊าท์พุทร่วมกับไดโอดช่วย  $D_{11}$  กับ  $D_{12}$  ส่วนแหล่งจ่ายไฟตรงเกิดจากตัวประจุทั้งสองตัว แบ่งแรงดันที่บัสไฟตรงทีละครึ่งส่วนสัญญาณ PWM ที่ใช้ควบคุมสวิตช์แต่ละตัวในกิ่งกั้นนั้นสามารถแสดงได้ดังรูปที่ 3



รูปที่ 2 สัญญาณ PWM ของ  $S_{11} - S_{14}$

รูปที่ 2 แสดงสัญญาณ PWM ของ  $S_{11} - S_{14}$  จะเห็นว่าสัญญาณของ สวิตช์  $S_{11}$  นั้นได้จากการนำสัญญาณของ สวิตช์  $S_{14}$  มาทำการอินเวอร์ส (inverse) ส่วน

สัญญาณสวิตช์  $S_{12}$  ได้จากการนำสัญญาณของ สวิตช์  $S_{14}$  มาทำการอินเวอร์ส (inverse)



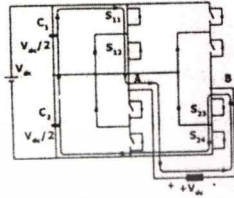
รูปที่ 3 สัญญาณสวิตช์ในแต่ละกิ่ง

จากรูปที่ 3 ในภาคผนวกสามารถเห็นโหมดการทำงานในหนึ่งไซเคิลของแรงดัน  $-V_{AB}$  ออกเป็น 9 โหมด ดังนี้



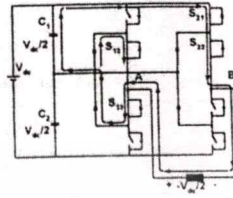
รูปที่ 4 โหมด 1 ( $1, -1$ )

โหมด 1 ( $1, -1$ ): ที่เวลา  $t_0$  สวิตช์  $S_{12}, S_{13}, S_{15}, S_{16}$  นำกระแสทำให้กระแสไหลจาก  $D_{11}, S_{12}$  เข้าไหลกลับ  $S_{13}, S_{14}$  กลับไปยังตัวเก็บประจุ  $C_2$  สร้างระดับแรงดัน  $V_{AB}$  เป็น  $+V_{dc}/2$  การทำงานของโหมดนี้จะสิ้นสุดที่เวลา  $t_1$  ดังรูปที่ 4



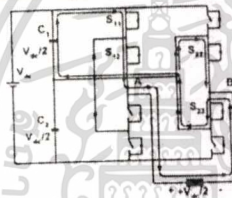
รูปที่ 5 โหมด 2 ( $t_1 - t_2$ )

โหมด 2 ( $t_1 - t_2$ ) : ที่เวลา  $t_1$  สวิตช์  $S_{12}$  จะหยุดนำกระแส ส่วนสวิตช์  $S_{11}, S_{21}, S_{22}$  จะนำกระแส ทำให้กระแสไหลจาก  $S_{11}, S_{12}$  ผ่านโหลด  $S_{21}, S_{22}$  กลับไปยัง  $C_2$  สร้างระดับแรงดัน  $V_{AB}$  เป็น  $+V_{dc}$  การทำงานของโหมดนี้สิ้นสุดที่เวลา  $t_2$  ดังรูปที่ 5



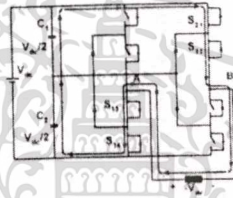
รูปที่ 8 โหมด 5 ( $t_5 - t_6$ )

โหมด 5 ( $t_5 - t_6$ ) : ที่เวลา  $t_5$  สวิตช์  $S_{11}$  จะหยุดนำกระแส ส่วนสวิตช์  $S_{12}, S_{11}, S_{21}, S_{22}$  จะนำกระแส ทำให้กระแสไหลผ่าน  $S_{21}, S_{22}$  ผ่านโหลด  $S_{11}, D_{12}$  กลับไปยังตัวเก็บประจุ  $C_1$  สร้างระดับแรงดัน  $V_{AB}$  เป็น  $-V_{dc}/2$  การทำงานของโหมดนี้สิ้นสุดที่เวลา  $t_6$  ดังรูปที่ 8



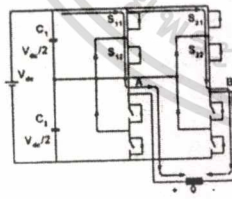
รูปที่ 6 โหมด 3 ( $t_3 - t_4$ )

โหมด 3 ( $t_3 - t_4$ ) : ที่เวลา  $t_3$  สวิตช์  $S_{21}$  จะหยุดนำกระแส ส่วนสวิตช์  $S_{11}, S_{12}, S_{21}, S_{22}$  จะนำกระแส ทำให้กระแสไหลผ่าน  $S_{11}, S_{12}$  ผ่านโหลด  $S_{21}, D_{22}$  กลับไปยังตัวเก็บประจุ  $C_1$  สร้างระดับแรงดัน  $V_{AB}$  เป็น  $+V_{dc}/2$  การทำงานของโหมดนี้สิ้นสุดที่เวลา  $t_4$  ดังรูปที่ 6



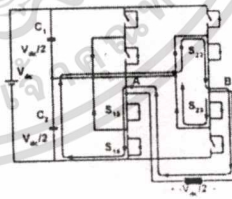
รูปที่ 9 โหมด 6 ( $t_9 - t_{10}$ )

โหมด 6 ( $t_9 - t_{10}$ ) : ที่เวลา  $t_9$  สวิตช์  $S_{12}$  จะหยุดนำกระแส ส่วนสวิตช์  $S_{11}, S_{14}, S_{21}, S_{22}$  จะนำกระแส ทำให้กระแสไหลผ่าน  $S_{21}, S_{22}$  ผ่านโหลด  $S_{11}, S_{14}$  กลับไปยังตัวเก็บประจุ  $C_2$  สร้างระดับแรงดัน  $V_{AB}$  เป็น  $-V_{dc}$  การทำงานของโหมดนี้สิ้นสุดที่เวลา  $t_{10}$  ดังรูปที่ 9



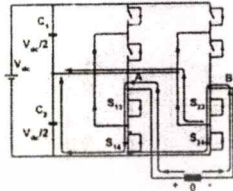
รูปที่ 7 โหมด 4 ( $t_4 - t_5$ )

โหมด 4 ( $t_4 - t_5$ ) : ที่เวลา  $t_4$  สวิตช์  $S_{21}$  จะหยุดนำกระแส ส่วนสวิตช์  $S_{11}, S_{12}, S_{21}, S_{22}$  นำกระแส ทำให้กระแสที่ไหลจากเฟส A มาหักล้างกันกับเฟส B ทำให้ระดับแรงดัน  $V_{AB}$  เป็นศูนย์ การทำงานของโหมดนี้จะสิ้นสุดที่เวลา  $t_5$  ดังรูปที่ 7



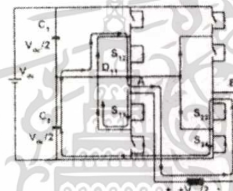
รูปที่ 10 โหมด 7 ( $t_7 - t_8$ )

โหมด 7 ( $t_7 - t_8$ ) : ที่เวลา  $t_7$  สวิตช์  $S_{21}$  จะหยุดนำกระแส ส่วนสวิตช์  $S_{11}, S_{14}, S_{21}, S_{22}$  จะนำกระแส ทำให้กระแสไหลผ่าน  $D_{21}, S_{22}$  ผ่านโหลด  $S_{11}, S_{14}$  กลับไปยังตัวเก็บประจุ  $C_1$  สร้างระดับแรงดัน  $V_{AB}$  เป็น  $-V_{dc}/2$  การทำงานของโหมดนี้สิ้นสุดที่เวลา  $t_8$  ดังรูปที่ 10



รูปที่ 11 โหมด 8 ( $t_1 - t_2$ )

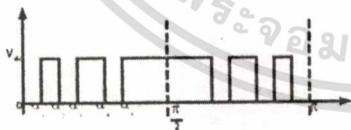
โหมด 8 ( $t_1 - t_2$ ): ที่เวลา  $t_1$  , thyristor  $S_{12}$  จะหยุดนำกระแส ส่วน thyristor  $S_{11}, S_{21}, S_{22}$  จะนำกระแสจึงทำให้กระแสจากเฟส A และเฟส B หักล้างกัน ทำให้ระดับแรงดันที่  $V_{AB}$  เป็นศูนย์ การทำงานของโหมดนี้จะสิ้นสุดที่เวลา  $t_2$  ดังรูปที่ 11



รูปที่ 12 โหมด 9 ( $t_2 - t_3$ )

โหมด 9 ( $t_2 - t_3$ ): ที่เวลา  $t_2$  , thyristor  $S_{11}, S_{21}, S_{22}$  นำกระแสทำให้กระแสไหลจาก  $D_{11}, S_{12}$  เข้าโหลดผ่าน  $S_{21}, S_{22}$  กลับไปยังตัวเก็บประจุ  $C_2$  สร้างระดับแรงดัน  $V_{AB}$  เป็น  $+V_{dc}/2$  การทำงานของโหมดนี้จะสิ้นสุดที่เวลา  $t_3$  และที่เวลานี้แรงดัน  $V_{AB}$  ครบรอบหนึ่งไซเคิลดังรูปที่ 12

3.การวิเคราะห์สัญญาณ PWM



รูปที่ 13 สัญญาณ PWM

จากรูปที่ 13 จะเห็นว่าสัญญาณ PWM เป็นสมมาตรทั้งข้างที่ ดังนั้นสามารถเขียนสมการฟูเรียร์ได้ดังนี้

$$f(\omega t) = \sum_{n=1}^{\infty} a_n \sin(n\omega t) \quad (1)$$

ที่

$$a_n = \frac{4V_{dc}}{n\pi} \sum_{k=1}^N (-1)^{k+1} \cos(n\alpha_k) \quad (2)$$

N คือ จำนวนมุมสวิทซ์

$\alpha_k$  คือ มุมสวิทซ์ ซึ่งจะต้องเป็นไปตามเงื่อนไข

$$\alpha_1 < \alpha_2 < \dots < \alpha_N < \frac{\pi}{2}$$

$V_{dc}$  คือ แรงดันไฟตรง

n คือ อันดับฮาร์โมนิก

จากสมการที่ (2) สามารถเขียนใหม่ได้เป็น

$$h_n = \frac{4V_{dc}}{n\pi} [\cos(n\alpha_1) - \cos(n\alpha_2) + \dots + \cos(n\alpha_N)] \quad (3)$$

ซึ่งจากสมการนี้สามารถนำมาใช้ในการกำจัดฮาร์โมนิกที่ไม่ต้องการได้ โดยกำหนดให้สมการที่มีฮาร์โมนิกอันดับที่ไม่ต้องการนั้นเป็นศูนย์คือสมการ

$$\begin{aligned} \cos(\alpha_1) - \cos(\alpha_2) + \dots + \cos(\alpha_N) &= \frac{M\pi}{4} \quad (4) \\ \cos(5\alpha_1) - \cos(5\alpha_2) + \dots + \cos(5\alpha_N) &= 0 \\ \cos(N\alpha_1) - \cos(N\alpha_2) + \dots + \cos(N\alpha_N) &= 0 \end{aligned}$$

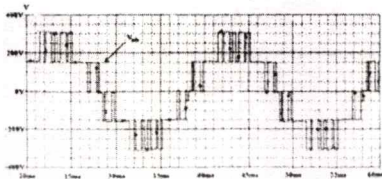
ที่  $M = \text{Modulation Index} = \frac{h_1}{V_{dc}}$

$h_1$  คือ ขนาดของค่าประกอบมูลฐาน

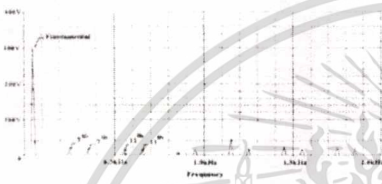
จากนั้นใช้หลักการของ Newton-Raphson กับสมการ (4) เพื่อแก้สมการหาค่ามุม สวิทซ์ ( $\alpha_k$ ) ซึ่งในบทความนี้จะยกตัวอย่างการกำจัดฮาร์โมนิกอันดับที่ 5, 7, 11, 13 โดยใช้ค่า M เท่ากับ 0.8 สามารถแก้สมการหาค่า  $\alpha_k$  ได้ดังนี้  $\alpha_1 = 10.6000^\circ, \alpha_2 = 17.2762^\circ, \alpha_3 = 22.4262^\circ, \alpha_4 = 35.0244^\circ, \alpha_5 = 38.0223^\circ$

4.การกำจัดด้วยโปรแกรม Pspice

กำหนดให้สวิทซ์ทุกตัวเป็นสวิทซ์ทางอุดมคติ แหล่งจ่ายไฟเป็นแหล่งจ่ายไฟตรงที่ไม่มีรีเลย์เปิด 311 V จัวยแรงดันให้กับวงจรอินเวอร์เตอร์สามระดับซึ่งต่ออยู่กับโหลดจำลองมอเตอร์คอกเป็นวงจรสมมูล R . L ที่ต่อแบบ Y ซึ่งสามารถแสดงผลการจำลองได้ดังนี้

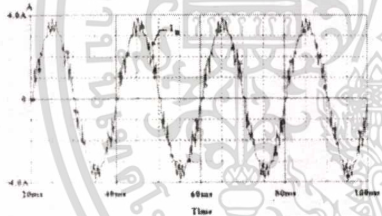


(a)

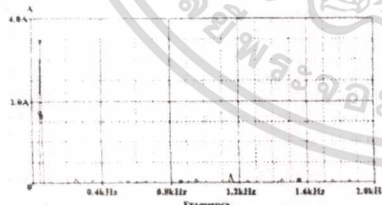


(b)

รูปที่ 14 (a) แสดงรูปคลื่นแรงดันระหว่างไลน์  $V_{AB}$   
(b) สเปกตรัมแรงดัน  $V_{AB}$  ที่สอดคล้องกับรูป (a) ค่า THD<sub>v</sub> = 20.38 %



(a)



(b)

รูปที่ 15 (a) แสดงรูปคลื่นกระแสไลน์  $I_a$   
(b) สเปกตรัมกระแส  $I_a$  ที่สอดคล้องกับรูป (a)

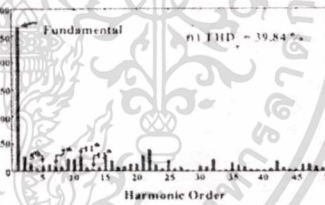
**5.ผลการทดลอง**

จากหลักการและค่าของมุมสวิทซึ่งที่ได้จากหัวข้อที่ผ่านมาสามารถนำมาสร้างอินเวอร์เตอร์สามระดับที่เป็น

เครื่องต้นแบบได้ โดยใช้ไมโครคอนโทรลเลอร์เป็นอุปกรณ์สร้างสัญญาณควบคุมอุปกรณ์สวิทซึ่งแต่ละตัว ซึ่งจะต้องนำมุมสวิทซึ่งที่ได้จากการคำนวณนั้นมาทำการปรับค่าให้เป็นจำนวนเต็ม จากนั้นจึงนำค่ามุมที่ได้มาเปลี่ยนเป็นข้อมูลในเลขฐานสิบหก แล้วจึงนำข้อมูลที่ได้ออกไปเก็บไว้ในหน่วยความจำของไมโครคอนโทรลเลอร์ โดยจะทำการทดลองขับมอเตอร์ที่มีขนาด 2.2 kW , 220/380 V , 8.5/5 A  $\Delta/Y$ , 1420 rpm ,  $\cos\phi = 0.82$  ต่อแบบ Y ซึ่งได้ผลการทดลองดังนี้

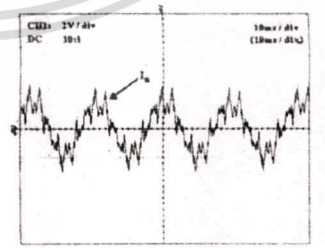


(a)



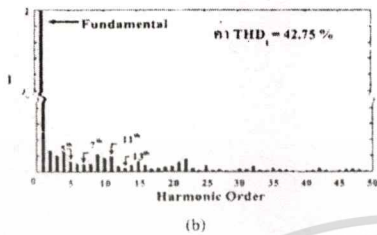
(b)

รูปที่ 16 (a) แสดงรูปคลื่นแรงดันระหว่างไลน์  $V_{AB}$   
(b) สเปกตรัมแรงดัน  $V_{AB}$  ที่สอดคล้องกับรูป (a) ค่า THD<sub>v</sub> = 39.84 %



(a)

เอกสารนี้เป็นเอกสารที่สงวนไว้สำหรับการใช้งานเพื่อการศึกษาเท่านั้น ไม่อนุญาตให้นำไปใช้ประโยชน์ด้านการค้า ไม่ว่ากรณีใดๆทั้งสิ้น อีกทั้งห้ามมิให้ดัดแปลงเนื้อหา และต้องอ้างอิงถึงเจ้าของเอกสารทุกครั้งที่มีการนำไปใช้



รูปที่ 17 (a) แสดงรูปคลื่นกระแส  $i_a$ , (b) สเปกตรัมกระแส  $i_a$  ที่สอดคล้องกับรูป (a) ค่า THD<sub>1</sub> = 42.75 %

6.สรุป

จากผลการใช้โปรแกรม Pspice จำลองการทำงานของอินเวอร์เตอร์สามระดับในการกำจัดฮาร์มอนิกอันดับที่ 5<sup>th</sup>, 7<sup>th</sup>, 11<sup>th</sup>, 13<sup>th</sup> จะเห็นว่าสามารถลดขนาดของฮาร์มอนิกที่ไม่ต้องการให้มีขนาดน้อยลงได้ ส่วนผลการทดลองจะเห็นว่าอินเวอร์เตอร์สามระดับเครื่องต้นแบบที่ได้สร้างขึ้นสามารถนำมาขับมอเตอร์เหนี่ยวนำ ซึ่งเห็นว่าผลการทดลองมีลักษณะที่แตกต่างกับผลการจำลองด้วยโปรแกรม Pspice ซึ่งในการทดลองนั้นค่า THD<sub>1</sub> ของแรงดันระหว่างไลน์  $V_{ab}$  จะมีค่าใกล้เคียงกับผลในการจำลองด้วยโปรแกรม Pspice ส่วนค่า THD ของกระแสไลน์  $i_a$  ในการทดลองจะมีค่าแตกต่างจากผลการจำลองด้วยโปรแกรม Pspice เนื่องจากในการทดลองนั้นไม่สามารถนำค่าจริงของมุมสวิทช์ที่ได้จากการคำนวณมาใช้ได้โดยตรง เนื่องจากไมโครคอนโทรลเลอร์ไม่สามารถอ่านค่าที่เป็นทศนิยมได้ จึงต้องทำการปรับค่ามุมที่คำนวณได้ให้เป็นจำนวนเต็มเสียก่อน ดังที่ได้กล่าวมาแล้ว และประกอบกับอินเวอร์เตอร์สามระดับเครื่องต้นแบบที่ได้สร้างขึ้นนั้น ใช้ทรานซิสเตอร์เป็นอุปกรณ์สวิทช์ ซึ่งทรานซิสเตอร์ไม่สามารถทำงานที่ความถี่สวิทช์สูง ๆ ได้ และวงจรขับเบสเองก็มีอุปกรณ์มากเกินไป ซึ่งทำให้เกิดความสูญเสียในวงจรขึ้น ด้วยเหตุนี้จึงทำให้ค่า THD ของกระแสไลน์  $i_a$  และรูปคลื่นของกระแสไลน์  $i_a$  รวมทั้งรูปคลื่นแรงดันระหว่างไลน์  $V_{ab}$  ในผลการทดลองมีความแตกต่างไปจากผลการจำลองด้วยโปรแกรม Pspice ซึ่งทางผู้วิจัยได้กำลังดำเนินการปรับ

ปรุงและแก้ไขข้อบกพร่องดังกล่าว ซึ่งสามารถนำอินเวอร์เตอร์สามระดับมาประยุกต์ใช้งานทางด้าน Active Power Filter เพื่อปรับปรุงค่าตัวประกอบกำลังไฟฟ้า ( power factor ) ให้ดีขึ้น และลดฮาร์มอนิกในกระแสของโหลดที่ไม่เป็นเชิงเส้น ( non linear load ) ให้น้อยลง ช่วยให้อุณหภูมิของกระแสดีขึ้น

7.เอกสารอ้างอิง

- [1] A. Nabae, I. Takahashi, H. Agaki, "A New Neutral-Point-Clamped PWM Inverter," IEEE Trans. Ind. Appl., Vol. IA-17, No. 5, Sep./Oct., 1981, pp. 518-523.
- [2] S. Sirisukprasert, J.S. Lai, T.-H. Liu, "Optimum Harmonic Reduction with a Wide Range of Modulation Indexes for Multilevel Converters," CPES, pp. 212-217.
- [3] สุธี ธีระขวัญ "วิธีปรับความกว้างพัลส์อย่างง่ายสำหรับอินเวอร์เตอร์สามระดับ" วิทยานิพนธ์วิศวกรรมศาสตรมหาบัณฑิต สาขาวิศวกรรมไฟฟ้า บัณฑิตวิทยาลัย จุฬาลงกรณ์มหาวิทยาลัย 2534.
- [4] M.H. Rashid "Power Electronics Handbook." Academic Press, 2001, pp. 619-622.
- [5] S. Mouttou, E. Ngandui, P. Sicard "A novel PWM Current Control Method for AC Harmonic Elimination by Active Power Filter," Hydro-Quebec Research Chair on Power and Electrical Energy, pp. 793-797.
- [6] J. Chiasson, L. Tolben, K. McKenzie and Z. Du, "Real-Time Computer Control of a Multilevel Converter using the Mathematical Theory of Resultants," Electrimacs 2002, August 18-21, pp.1-6.
- [7] L. Salazar, G. Joos, "PSPICE Simulation of Three-Phase Inverters by Means of Switching Functions." IEEE Trans. Power Electronics, Vol. 9, No. 1, Jan. 1994, pp. 35-42.



ISSN 0125-1724

วิศวกรรม

# ลาดกระบัง

คณะวิศวกรรมศาสตร์ สถาบันเทคโนโลยีพระจอมเกล้าเจ้าคุณทหารลาดกระบัง

## LADKRABANG ENGINEERING JOURNAL

ปีที่ 23 ฉบับที่ 3

กันยายน 2549

- |    |   |    |
|----|---|----|
| 1. | ข้อมูลสมมูลของการสกัดน้ำมันงาโดยใช้เออร์มอลเฮกเซนเป็นตัวทำละลาย<br>รินฤดี เบญจางคประเสริฐ   | 1  |
| 2. | การกำจัดสีย้อมฟาสฟลูปีในน้ำเสียสังเคราะห์ด้วยวิธีไอโซเนนชัน<br>สุธาสินี เนรมิตตภพพงศ์ อาทิตย์ เนรมิตตภพพงศ์   | 7  |
| 3. | การศึกษาพื้นที่ไวแสงประสิทธิภาพของฟิล์มคอนโด้ไดโอดชนิด p-i-n แบบพลาสมาร์<br>คงศักดิ์ อิมอุไร สมเกียรติ สุขเดช   | 13 |
| 4. | แบบจำลองทางคณิตศาสตร์ของเซลล์แสงอาทิตย์สำหรับแบบจำลองแหล่งจ่ายไฟจากเซลล์แสงอาทิตย์<br>ที่ถูกต้อง<br>เอก เอื้อตระการวิวัฒน์ วิศิษฐ์ ชูรักษ์ วิจิตร กิณเรศ      | 18 |
| 5. | วงจรกำเนิดสัญญาณไซน์หลายเฟสแบบปรับค่าด้วยวิธีทางอิเล็กทรอนิกส์โดยใช้ไอทีเอแบบหลาย<br>เอาต์พุต<br>สฤดี จินตนาปัญญา กอบชัย เดชหาญ                               | 24 |
| 6. | การพยากรณ์ความต้องการใช้พลังงานไฟฟ้าสูงสุดระยะยาวของระบบ กฟน. โดยให้โครงข่ายประสาทเทียม<br>จตุพร ธรรมเจริญ สมชาติ จิรวิภากร                                   | 30 |
| 7. | การทำนายค่าความสูญเสียในหม้อแปลงจำหน่ายโดยวิธีโครงข่ายประสาทเทียมชนิดแพร่ค่าย้อนกลับ<br>นุชทิศา สุทธิสินทอง มณฑล ลีลาจินดาไกรฤกษ์                             | 36 |
| 8. | อินเวอร์เตอร์หลายระดับชนิดแคสเคดแหล่งจ่ายที่มีการส่งผ่านกำลังไฟฟ้าสมมูลโดยใช้เทคนิคการกำจัด<br>ฮาร์มอนิกส์ที่เหมาะสม<br>สิทธิพร เจียรนันท์สุทธิ วิจิตร กิณเรศ | 42 |
| 9. | การศึกษาเชิงตัวเลขของผลของการปรับแต่งพื้นเพ็องตรงโดยวิธีเงื่อนไขพื้นที่ต่อการหล่อลื่นแบบ<br>อิลาสโตไฮโดรไดนามิกส์<br>อานันท์พล แสนคำ มนต์ศักดิ์ ทิมสาร        | 48 |

เอกสารนี้เป็นเอกสารที่สงวนไว้สำหรับการใช้งานเพื่อการศึกษาเท่านั้น ไม่อนุญาตให้นำไปใช้ประโยชน์ด้านการค้า  
ไม่ว่ากรณีใดๆทั้งสิ้น อีกทั้งห้ามมิให้ดัดแปลงเนื้อหา และต้องอ้างอิงถึงเจ้าของเอกสารทุกครั้งที่มีการนำไปใช้

## อินเวอร์เตอร์หลายระดับชนิดแคสเคดแหล่งจ่ายที่มีการส่งผ่าน กำลังไฟฟ้าสมดุลโดยใช้เทคนิคการกำจัดฮาร์โมนิกส์ที่เหมาะสม

### A Balanced Source Power Transfer Cascade Multilevel Inverter Based on an Optimized Stepped-Waveform Harmonic Elimination Technique

สิทธิพร เขียวแก้วพิศุขย์

วิจิตร กิยพรรค

ภาควิชาวิศวกรรมไฟฟ้า คณะวิศวกรรมศาสตร์ สถาบันเทคโนโลยีพระจอมเกล้าเจ้าคุณทหารลาดกระบัง

#### บทคัดย่อ

บทความนี้นำเสนอการวิเคราะห์และการที่งานของอินเวอร์เตอร์หลายระดับชนิดแคสเคดในการขับเคลื่อนมอเตอร์เหนี่ยวนำสามเฟส โดยใช้เทคนิคการกำจัดฮาร์โมนิกส์ที่เหมาะสมแบบรูปคลื่นขั้นบันไดที่แหล่งจ่ายมีการส่งผ่านกำลังไฟฟ้าสมดุล มีจุดประสงค์เพื่อหาวิธีที่แหล่งจ่ายไฟที่กระแสตรงของอินเวอร์เตอร์หลายระดับแต่ละตัว มีอยู่อย่างใดอย่างหนึ่ง ซึ่งในบทความนี้จะนำเสนอวิธีการกำหนดมุมสวิทช์โดยใช้หลักการของวิธีนี้ รวมไปถึงวิธีวิเคราะห์และมีการจำลองการทำงานด้วยโปรแกรมคอมพิวเตอร์ MATLAB/SIMULINK นอกจากนี้ยังได้ทดสอบเครื่องต้นแบบเพื่อตรวจสอบการดำเนินงานเทียบกับการจำลอง ซึ่งได้ผลเป็นที่น่าพอใจ

#### Abstract

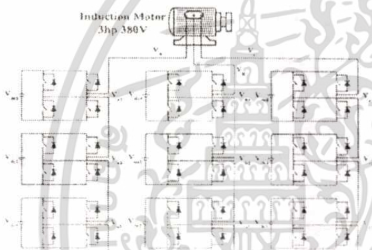
This paper presents analysis and operation of a cascade multilevel inverter for three phase induction motor drives using an optimized stepped-waveform harmonic elimination technique which provides balanced source power transfer. The objective of this technique is to offer similarly useful life time of each dc supply of the H-bridge inverter. This paper gives detail of switching angle calculation based on a Newton-Raphson method. Simulation using MATLAB/SIMULINK program is also included. Additionally, testing of the prototype for verifying operation compared with simulation was conducted. The result appears satisfactory.

#### 1. บทนำ

ในปัจจุบันงานทางด้านอุตสาหกรรม ได้มีการนำอินเวอร์เตอร์หลายระดับชนิดแคสเคด มาใช้ในการขับเคลื่อนมอเตอร์เหนี่ยวนำกันอย่างแพร่หลาย แต่

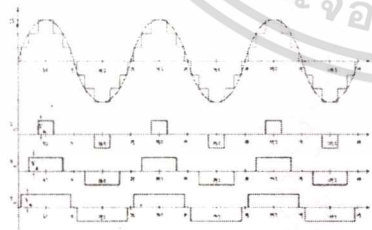
เนื่องจากลักษณะของแรงดันค้ำเอาต์พุทของอินเวอร์เตอร์เอชบริดจ์ที่ไม่เหมือนกันตลอดการทำงานในแต่ละระดับแรงดัน ซึ่งเกิดจากลักษณะการสวิทช์ภายในอินเวอร์เตอร์เอชบริดจ์ ดังแสดงในรูปที่ 2 จะเห็นว่าอินเวอร์เตอร์เอช

บริดจ์ตัวที่ 1 จะทำงานแทนว่าอินเวอร์เตอร์เอชบริดจ์อีกสองตัว ทำให้แหล่งจ่ายของอินเวอร์เตอร์เอชบริดจ์ตัวที่ 1 จะต้องจ่ายกำลังไฟฟ้าให้กับโหลดมากกว่าอินเวอร์เตอร์เอชบริดจ์อีกสองตัว ส่งผลให้แหล่งจ่ายแรงดันไฟตรง (แบบเคอร์หรือหม้อแปลงแยกเก็บ) ของอินเวอร์เตอร์เอชบริดจ์ตัวที่ 1 จะจ่ายพลังงานมากกว่า (เกิดความร้อนสะสมในกรณีนี้ที่แหล่งจ่ายเป็นหม้อแปลงแยกเก็บ) แหล่งจ่ายพลังงานของอินเวอร์เตอร์ตัวอื่นๆ และมีผลให้อุปกรณ์สวิทช์ภายในอินเวอร์เตอร์เอชบริดจ์ตัวที่ 1 ทำงานมากกว่า อุปกรณ์สวิทช์ของอินเวอร์เตอร์ตัวอื่นๆ จึงเกิดความร้อนสะสมและอายุการใช้งานจะสั้นลงเร็วกว่าตัวอื่นๆ



รูปที่ 1 วงจรกำลังของอินเวอร์เตอร์จัดระดับขนาดเซลล์

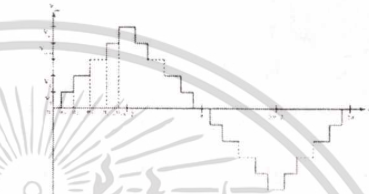
ดังนั้นในบทความนี้จึงได้ทำการปรับปรุงรูปแบบการสวิทช์ที่จะทำให้อายุที่ทุกของอินเวอร์เตอร์เอชบริดจ์ในแต่ละระดับมีลักษณะที่เหมือนกันในหนึ่งคาบเวลาทำงาน เพื่อช่วยทำให้แหล่งจ่ายจ่ายพลังงานได้ใกล้เคียงกัน และลดปัญหาต่างๆ ดังที่กล่าวมาแล้ว โดยใช้เทคนิคการกำจัดฮาร์มอนิกส์ที่เหมาะสมแบบรูปคลื่นขั้นบันได



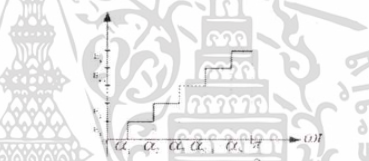
รูปที่ 2 แรงดันเอาต์พุทของอินเวอร์เตอร์เอชบริดจ์

**2. เทคนิคการกำจัดฮาร์มอนิกส์ที่เหมาะสมแบบรูปคลื่นขั้นบันได**

จากรูปที่ 3 และ 4 จะเห็นได้ว่ารูปคลื่นเป็นแบบสมมาตรที่ ดังนั้นสามารถทำการวิเคราะห์รูปคลื่นแบบฟูเรียร์ของฟังก์ชันคาบได้ดังต่อไปนี้



รูปที่ 3 รูปคลื่นแรงดันเอาต์พุทของอินเวอร์เตอร์หลายระดับขนาดเซลล์



รูปที่ 4 กราฟของแอมพลิจูดของแรงดันไฟของอินเวอร์เตอร์หลายระดับขนาดเซลล์

$$b_n = \frac{4}{\pi} \int_0^{\frac{\pi}{2}} f(\omega t) \sin(n\omega t) d(\omega t) \quad (1)$$

$$f(\omega t) = V_{out}(\omega t) \quad (2)$$

ดังนั้น

$$f(\omega t) = \sum_{k=1}^n b_k \sin(n\omega t) \quad (3)$$

สุดท้ายแล้วอนุกรมฟูเรียร์ของรูปคลื่นสามารถเขียนได้เป็น

$$V_{out}(\omega t) = \sum_{n=1}^{\infty} \left[ \frac{4E}{n\pi} \sum_{k=1}^s \cos(n\alpha_k) \right] \sin(n\omega t) \quad (4)$$

ที่  $\alpha_k$  คือ ค่าของมุมสวิทช์ภายในเฟส

$$\alpha_1 < \alpha_2 < \dots < \alpha_s < \frac{\pi}{2}$$

s คือ จำนวนของอินเวอร์เตอร์ย่อย

n คือ ฮาร์มอนิกที่ n

E คือ ขนาดของแรงดันไฟตรงของอินเวอร์เตอร์เอช-บริดจ์

$$T = \begin{bmatrix} \frac{sM\pi}{4} & 0 & \dots & 0 \end{bmatrix}^T \quad (10)$$

จากสมการที่ (4) ขนาดของ  $V_{out}(\omega t)$  คือ

$$h_n = \frac{4E}{n\pi} \sum_{k=1}^n \cos(n\alpha_k) \quad (5)$$

จากสมการที่ (8) - (10) สามารถเขียนให้อยู่ในรูปของเมตริกซ์ดังนี้

$$F(\alpha) = T \quad (11)$$

การควบคุมขนาดของความเร็วพื้นฐาน พิจารณาให้อยู่ในรูปของคิซันมอดูเลชัน

$$M = \frac{h_1}{sE} \quad (6)$$

โดยมีขั้นตอนการหาค่ามุม  $\alpha$  ดังนี้

1) กำหนดค่าเริ่มต้นของ  $\alpha^j$  ที่  $j=0$

$$\alpha^0 = [\alpha_1^0 \quad \alpha_2^0 \quad \dots \quad \alpha_s^0]^T \quad (12)$$

ที่  $h_1$  คือ ขนาดของความเร็วพื้นฐาน

s คือ จำนวนอินเวอร์เตอร์เอชบริดจ์

E คือ ขนาดของแรงดันไฟตรงของอินเวอร์เตอร์เอช-บริดจ์

2) ส่วนนค่าของ

$$F(\alpha^0) = F^0 \quad (13)$$

จากสมการที่ (5) สามารถนำขนาดของ  $V_{out}(\omega t)$  มาใช้หาร่างหาค่ามุมคิซันมอดูเลชันเพื่อหาค่าจิสอาร์มอติกส์

3) นำสมการที่ (11) ไปใช้ในสมการเชิงเส้น

โดยนำวิธีนิวตัน-ราฟสันมาใช้ ซึ่งสามารถสรุปขั้นตอนได้ดังนี้

$$F^0 + \left[ \frac{\partial F}{\partial \alpha} \right]^0 d\alpha^0 = T \quad (14)$$

$$\alpha^1 = [\alpha_1^1 \quad \alpha_2^1 \quad \dots \quad \alpha_s^1]^T \quad (7)$$

และ

$$d\alpha^0 = [d\alpha_1^0 \quad d\alpha_2^0 \quad \dots \quad d\alpha_s^0]^T \quad (15)$$

เมตริกซ์ของสมการ Nonlinear เป็น

4) หาค่า  $d\alpha^0$  จากสมการที่ (14)

$$F^1 = \begin{bmatrix} \cos(\alpha_1^1) + \cos(\alpha_2^1) + \dots + \cos(\alpha_s^1) \\ \cos(5\alpha_1^1) + \cos(5\alpha_2^1) + \dots + \cos(5\alpha_s^1) \\ \vdots \\ \cos(n\alpha_1^1) + \cos(n\alpha_2^1) + \dots + \cos(n\alpha_s^1) \end{bmatrix} \quad (8)$$

$$d\alpha^0 = INV \left[ \frac{\partial F}{\partial \alpha} \right]^0 (T - F^0) \quad (16)$$

และ

ที่  $INV \left[ \frac{\partial F}{\partial \alpha} \right]^0$  เป็นอินเวอร์สของเมตริกซ์  $\left[ \frac{\partial F}{\partial \alpha} \right]^0$

$$\left[ \frac{\partial F}{\partial \alpha} \right]^1 =$$

5) นำค่า  $d\alpha^0$  ที่ได้จากสมการที่ (16) มาบวกกับค่า  $\alpha^0$  เริ่มต้น

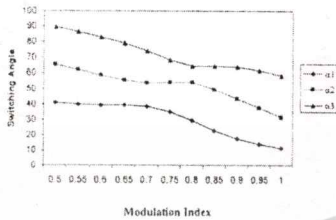
$$\begin{bmatrix} -\sin(\alpha_1^1) & -\sin(\alpha_2^1) & \dots & -\sin(\alpha_s^1) \\ -5\sin(5\alpha_1^1) & -5\sin(5\alpha_2^1) & \dots & -5\sin(5\alpha_s^1) \\ \vdots & \vdots & \ddots & \vdots \\ -n\sin(n\alpha_1^1) & -n\sin(n\alpha_2^1) & \dots & -n\sin(n\alpha_s^1) \end{bmatrix} \quad (9)$$

$$\alpha^{j+1} = \alpha^j + d\alpha^j \quad (17)$$

เมตริกซ์ของขนาดของฮาร์โมนิกเป็น

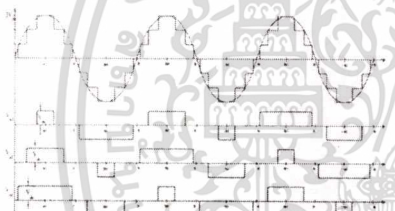
6) ทำซ้ำตั้งแต่ขั้นตอนที่ 1 ถึง s ใหม่จนกระทั่งค่าของ  $\alpha$  ทำให้สมการที่ (11) เป็นจริง

จากขั้นตอนการหาค่าโดยข้างต้น สามารถหาค่ามุมสวิทช์ของอินเวอร์เตอร์หลายระดับชนิดแคสเคดได้ดังรูปที่ 5



รูปที่ 5 กราฟแสดงความสัมพันธ์ระหว่างค่า Modulation Index กับมุมสวิทช์ของอินเวอร์เตอร์ใช้ระดับชนิดแคสเคด

จากค่ามุมสวิทช์ที่คำนวณได้ สามารถนำมาทำการออกแบบสัญญาณการสวิทช์ให้กับอินเวอร์เตอร์เอชอาร์วีดีในแคสเคดระดับ เพื่อให้มีลักษณะแรงดันเอาต์พุตในหนึ่งคาบเวลาที่เหมือนกัน ดังแสดงในรูปที่ 6

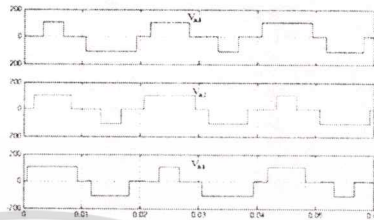


รูปที่ 6 แรงดันเอาต์พุตของอินเวอร์เตอร์เอชอาร์วีดีเมื่อมีการปรับรูป

3. การจำลองการทำงานด้วยโปรแกรม

MATLAB/SIMULINK

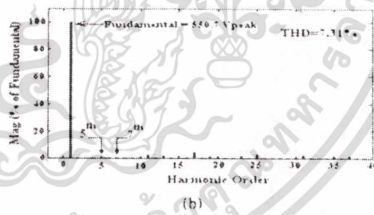
กำหนดให้สวิทช์ทุกตัวเป็นสวิทช์ในทางอุดมคติ แหล่งจ่ายไฟเป็นแหล่งจ่ายไฟตรงที่ไม่มีripple ขนาด 106 V 3 ชุดเฟส จ่ายแรงดันให้กับวงจรอินเวอร์เตอร์เอชอาร์วีดีแต่ละตัว ที่ค่า  $M = 1$  ซึ่งสอดคล้องกับ โทลด์ R, L ที่ต่ออนุกรมกันเป็นวงจรสมมูลของมอเตอร์ ที่ต่อแบบ Y ซึ่งสามารถแสดงผลการจำลองได้ดังนี้



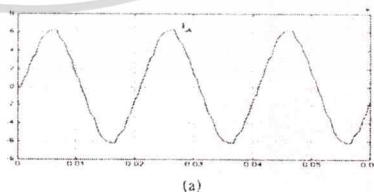
รูปที่ 7 แสดงรูปคลื่นแรงดันเอาต์พุตของอินเวอร์เตอร์เอชอาร์วีดีแต่ละตัว ที่เฟส A



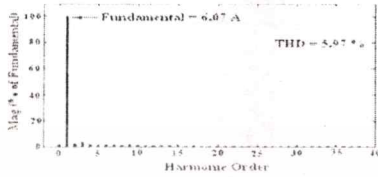
รูปที่ 8 รูปคลื่นแรงดันเฟสเอาต์พุต



รูปที่ 9 (a) รูปคลื่นแรงดันโวลต์เอาต์พุต  $v_{AB}$  (b) สเปกตรัมแรงดันโวลต์  $v_{AB}$  ที่สอดคล้องกับรูป (a)



รูปที่ 10

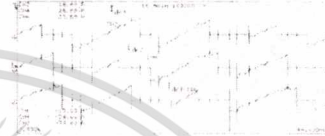


(b)

รูปที่ 10 (ต่อ) (a) รูปคลื่นกระแสไลน์

(b) สเปกตรัมกระแสไลน์  $i_{L1}$  ที่สอดคล้องกับรูป (a)

Element	Value	Unit	Min	Max
$P_{avg}$	2.525	W	2.525	2.525
Element1	97.81	97.81	97.81	97.81
Element2	98.19	98.19	98.19	98.19
Element3	101.05	101.05	101.05	101.05
Element4	97.81	97.81	97.81	97.81
Element5	97.81	97.81	97.81	97.81
Element6	97.81	97.81	97.81	97.81
Element7	97.81	97.81	97.81	97.81
Element8	97.81	97.81	97.81	97.81
Element9	97.81	97.81	97.81	97.81
Element10	97.81	97.81	97.81	97.81
Element11	97.81	97.81	97.81	97.81
Element12	97.81	97.81	97.81	97.81
Element13	97.81	97.81	97.81	97.81
Element14	97.81	97.81	97.81	97.81
Element15	97.81	97.81	97.81	97.81
Element16	97.81	97.81	97.81	97.81
Element17	97.81	97.81	97.81	97.81
Element18	97.81	97.81	97.81	97.81
Element19	97.81	97.81	97.81	97.81
Element20	97.81	97.81	97.81	97.81
Element21	97.81	97.81	97.81	97.81
Element22	97.81	97.81	97.81	97.81
Element23	97.81	97.81	97.81	97.81
Element24	97.81	97.81	97.81	97.81
Element25	97.81	97.81	97.81	97.81
Element26	97.81	97.81	97.81	97.81
Element27	97.81	97.81	97.81	97.81
Element28	97.81	97.81	97.81	97.81
Element29	97.81	97.81	97.81	97.81
Element30	97.81	97.81	97.81	97.81
Element31	97.81	97.81	97.81	97.81
Element32	97.81	97.81	97.81	97.81
Element33	97.81	97.81	97.81	97.81
Element34	97.81	97.81	97.81	97.81
Element35	97.81	97.81	97.81	97.81
Element36	97.81	97.81	97.81	97.81
Element37	97.81	97.81	97.81	97.81
Element38	97.81	97.81	97.81	97.81
Element39	97.81	97.81	97.81	97.81
Element40	97.81	97.81	97.81	97.81
Element41	97.81	97.81	97.81	97.81
Element42	97.81	97.81	97.81	97.81
Element43	97.81	97.81	97.81	97.81
Element44	97.81	97.81	97.81	97.81
Element45	97.81	97.81	97.81	97.81
Element46	97.81	97.81	97.81	97.81
Element47	97.81	97.81	97.81	97.81
Element48	97.81	97.81	97.81	97.81
Element49	97.81	97.81	97.81	97.81
Element50	97.81	97.81	97.81	97.81
Element51	97.81	97.81	97.81	97.81
Element52	97.81	97.81	97.81	97.81
Element53	97.81	97.81	97.81	97.81
Element54	97.81	97.81	97.81	97.81
Element55	97.81	97.81	97.81	97.81
Element56	97.81	97.81	97.81	97.81
Element57	97.81	97.81	97.81	97.81
Element58	97.81	97.81	97.81	97.81
Element59	97.81	97.81	97.81	97.81
Element60	97.81	97.81	97.81	97.81
Element61	97.81	97.81	97.81	97.81
Element62	97.81	97.81	97.81	97.81
Element63	97.81	97.81	97.81	97.81
Element64	97.81	97.81	97.81	97.81
Element65	97.81	97.81	97.81	97.81
Element66	97.81	97.81	97.81	97.81
Element67	97.81	97.81	97.81	97.81
Element68	97.81	97.81	97.81	97.81
Element69	97.81	97.81	97.81	97.81
Element70	97.81	97.81	97.81	97.81
Element71	97.81	97.81	97.81	97.81
Element72	97.81	97.81	97.81	97.81
Element73	97.81	97.81	97.81	97.81
Element74	97.81	97.81	97.81	97.81
Element75	97.81	97.81	97.81	97.81
Element76	97.81	97.81	97.81	97.81
Element77	97.81	97.81	97.81	97.81
Element78	97.81	97.81	97.81	97.81
Element79	97.81	97.81	97.81	97.81
Element80	97.81	97.81	97.81	97.81
Element81	97.81	97.81	97.81	97.81
Element82	97.81	97.81	97.81	97.81
Element83	97.81	97.81	97.81	97.81
Element84	97.81	97.81	97.81	97.81
Element85	97.81	97.81	97.81	97.81
Element86	97.81	97.81	97.81	97.81
Element87	97.81	97.81	97.81	97.81
Element88	97.81	97.81	97.81	97.81
Element89	97.81	97.81	97.81	97.81
Element90	97.81	97.81	97.81	97.81
Element91	97.81	97.81	97.81	97.81
Element92	97.81	97.81	97.81	97.81
Element93	97.81	97.81	97.81	97.81
Element94	97.81	97.81	97.81	97.81
Element95	97.81	97.81	97.81	97.81
Element96	97.81	97.81	97.81	97.81
Element97	97.81	97.81	97.81	97.81
Element98	97.81	97.81	97.81	97.81
Element99	97.81	97.81	97.81	97.81
Element100	97.81	97.81	97.81	97.81



รูปที่ 11 รูปคลื่นกระแสไลน์  $i_{L1}$  ที่สอดคล้องกับรูป (a) และ (b)



รูปที่ 12 รูปคลื่นกระแสไลน์  $i_{L2}$  ที่สอดคล้องกับรูป (a) และ (b)



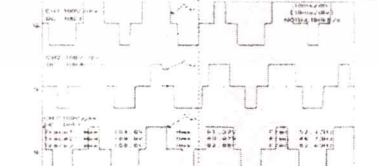
รูปที่ 13 รูปคลื่นกระแสไลน์  $i_{L3}$  ที่สอดคล้องกับรูป (a) และ (b)



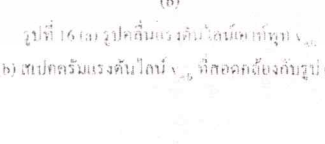
รูปที่ 14 รูปคลื่นกระแสไลน์  $i_{L4}$  ที่สอดคล้องกับรูป (a) และ (b)



รูปที่ 15 รูปคลื่นกระแสไลน์  $i_{L5}$  ที่สอดคล้องกับรูป (a) และ (b)



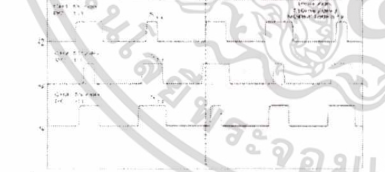
รูปที่ 16 รูปคลื่นกระแสไลน์  $i_{L6}$  ที่สอดคล้องกับรูป (a) และ (b)



รูปที่ 17 รูปคลื่นกระแสไลน์  $i_{L7}$  ที่สอดคล้องกับรูป (a) และ (b)

4. ผลการทดลอง

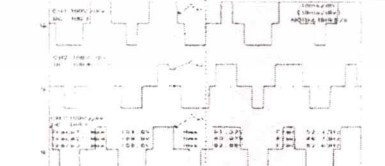
เปรียบเทียบแรงดันขาออกของอินเวอร์เตอร์ที่ได้ออกไว้ก่อนหน้านี้ ซึ่งค้นพบ สามารถสร้างอินเวอร์เตอร์ที่ระดับขนาดสเกลเครื่องต้นแบบได้และให้ผลการทดลองขั้วมอเตอร์เหนี่ยวนำสามเฟสขนาด 3 HP 380 V เพื่อพิสูจน์กับผลการจำลองในหัวข้อที่ผ่านมา



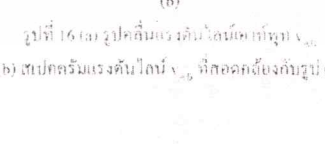
รูปที่ 18 รูปคลื่นกระแสไลน์  $i_{L8}$  ที่สอดคล้องกับรูป (a) และ (b)



รูปที่ 19 รูปคลื่นกระแสไลน์  $i_{L9}$  ที่สอดคล้องกับรูป (a) และ (b)

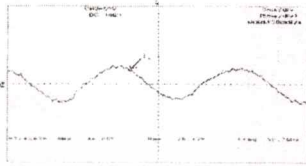


รูปที่ 20 รูปคลื่นกระแสไลน์  $i_{L10}$  ที่สอดคล้องกับรูป (a) และ (b)



รูปที่ 21 รูปคลื่นกระแสไลน์  $i_{L11}$  ที่สอดคล้องกับรูป (a) และ (b)

แต่ละตัวในเฟส A



(a)



(b)

รูปที่ 17 (a) รูปคลื่นกระแสใน  $i_A$

(b) ผลการวิเคราะห์สเปกตรัมของคลื่นรูป (a)

### 5. สรุป

จากผลการทดลองบนชุดเครื่องมือในวิชาสมทศ เห็นได้ว่ารูปคลื่นสัญญาณต่างๆ มีลักษณะคล้ายกันกับผลจากการจำลองด้วยโปรแกรม MATLAB/SIMULINK ซึ่งเป็นไปตามหลักการข้างต้นซึ่งในรูปที่ 11 แสดงลักษณะสัญญาณแรงดันไฟตรงและกระแสสวิตช์อินพุตของอินเวอร์เตอร์ขาขวามือแต่ละตัวที่ผูกกันและจากผลการทดลองนั้นเมื่อได้ทำการปรับปรุงรูปแบบการสวิตช์ใหม่แล้ว จะเห็นได้ในรูปที่ 13 นั้นแรงดันสวิตช์ของอินเวอร์เตอร์ขาขวามือแต่ละตัวในหนึ่งคาบเวลาจะมีลักษณะที่คล้ายคลึงกัน ซึ่งทำให้ค่าของกำลังไฟที่เต็มส่งจ่ายให้กับอินเวอร์เตอร์ขาขวามือแต่ละตัวนั้นมีค่าใกล้เคียงกันดังแสดงในรูปที่ 14 ส่วนในรูปที่ 15 และ 16 แสดงรูปคลื่นแรงดันเฟส  $v_{AN}$  และแรงดันไลน์  $v_{AD}$  ตามลำดับนั้น สังเกตมีลักษณะที่เหมือนเดิมอยู่ถึงแม้จะมีการปรับปรุงรูปแบบการสวิตช์ใหม่แล้วก็ตาม รวมถึงยังสามารถลดค่า THD ของแรงดันไลน์ได้ตามทฤษฎีข้างต้น แสดงให้เห็นว่าการปรับปรุงรูปแบบการสวิตช์นั้น ไม่ส่งผลกระทบต่อรูปคลื่นแรงดันเฟส, แรงดันไลน์ และกระแสที่เอาท์พุท จึงเป็นการช่วยเพิ่มประสิทธิภาพในการทำงานของอินเวอร์เตอร์หลายระดับชนิดแคสเคดได้อีกทางหนึ่ง

หมายเหตุ : บทความนี้ใช้เครื่อง PZ4000 Power Analyzer เป็นเครื่องมือที่ใช้ในการวัดกำลังไฟที่เต็มส่งจ่ายให้กับอินเวอร์เตอร์ขาขวามือแต่ละตัว

### 6. เอกสารอ้างอิง

- [1] S. Sirisukprasert, J.S. Lai, T.-H. Liu, "Optimum Harmonic Reduction with a Wide Range of Modulation Indexes for Multilevel Converters," CPES, vol. 49, no. 4, pp. 212-217, August 2002.
- [2] J.N. Chasson, L. M. Tolbert, K. J. McKenzie and Z. Du, "Real Time Computer Control of a Multilevel Converter using the Mathematical Theory of Resonants," Electrimacs 2002, pp. 1-6, August 18-21.
- [3] J. N. Chasson, L. M. Tolbert, K. J. McKenzie and Z. Du, "Control of a Multilevel Converter Using Resonant Theory," IEEE Trans. Control Systems Technology, vol. 11, no. 3, pp. 343-359, May 2003.
- [4] L. M. Tolbert, J. Z. Peng, J. F. Gungunbun and J. N. Chasson, "Charge Balanced Control Schemes for Cascade Multilevel Converter in Hybrid Electric Vehicle," IEEE Trans. Ind. Electronics, vol. 49, no. 5, pp. 1058-1064, October 2002.
- [5] L. M. Tolbert, J. N. Chasson, Z. Du, K. J. McKenzie, "Elimination of Harmonics in a Multilevel Converter With Nonequal DC Sources," IEEE Trans. Ind. Applications, vol. 41, No. 1, pp. 75-82, January/February 2005.
- [6] B. Ozpineci, L. M. Tolbert, J. N. Chasson, "Harmonic Optimization of Multilevel Converters Using Genetic Algorithms," IEEE Power Electronics Letters, vol. 3, no. 3, pp. 92-95, September 2005.
- [7] สัททิพร เจริญนันทพิศุทธิ, วิจิตร ถิณเรศ "อินเวอร์เตอร์สามระดับโดยใช้เทคนิคการกำจัดฮาร์โมนิก" วิศวกรรมสารภาคประจำ หน้า 53-58, ปีที่ 20 ฉบับที่ 4 ธันวาคม 2546.

เอกสารนี้เป็นเอกสารที่สงวนไว้สำหรับการใช้งานเพื่อการศึกษาเท่านั้น ไม่อนุญาตให้นำไปใช้ประโยชน์ด้านการค้า  
ไม่ว่ากรณีใดๆทั้งสิ้น อีกทั้งห้ามมิให้ดัดแปลงเนื้อหา และต้องอ้างอิงถึงเจ้าของเอกสารทุกครั้งที่มีการนำไปใช้

## ประวัติผู้เขียน

นายสิทธิพร เจียรนันทพิสุทธิ์ เกิดเมื่อวันที่ 7 กุมภาพันธ์ พ.ศ. 2518 ที่จังหวัด นครศรีธรรมราช สำเร็จการศึกษาระดับปริญญาตรี เกียรตินิยมอันดับ 2 วิศวกรรมศาสตรบัณฑิต สาขาวิชาวิศวกรรมไฟฟ้า จากมหาวิทยาลัยสยาม ปีการศึกษา 2540

ปี 2542 ได้เข้าทำงานในบริษัท เดอะมอลล์กรุ๊ป จำกัด (มหาชน) ในตำแหน่ง ช่างไฟฟ้า (2)

ปี 2546 – 2548 ได้เข้าทำงานที่ บริษัท เกร็ววิศวกรรม จำกัด (มหาชน) ในตำแหน่ง ผู้ช่วย หัวหน้าแผนกซ่อมบำรุง



เอกสารนี้เป็นเอกสารที่สงวนไว้สำหรับการใช้งานเพื่อการศึกษาเท่านั้น ไม่อนุญาตให้นำไปใช้ประโยชน์ด้านการค้า  
ไม่ว่ากรณีใดๆทั้งสิ้น อีกทั้งห้ามมิให้ดัดแปลงเนื้อหา และต้องอ้างอิงถึงเจ้าของเอกสารทุกครั้งที่มีการนำไปใช้